AZƏRBAYCAN MİLLİ ELMLƏR AKADEMİYASI AZERBAIJAN NATIONAL ACADEMY OF SCIENCES

FİZİKA-RİYAZİYYAT VƏ TEXNİKA ELMLƏRİ SERİYASI FİZİKA VƏ ASTRONOMİYA

XƏBƏRLƏR TRANSACTIONS

SERIES OF PHYSICAL-MATHEMATICAL AND TECHNICAL SCIENCES PHYSICS AND ASTRONOMY

CİLD VOLUME XXXI

№5

<<ELM>> NƏŞRİYYATI

<<ELM>>PUBLISHERS

BAKI – 2011 - BAKU

REDAKSİYA HEYYƏTİ

A.Haciyev- baş redaktor, Ə.Abbasov, C.Allahverdiev, Ç.Qaçar, N.Quliyev, M.Əliyev, T.Əliyev, F.Əliyev, İ.İbrahimov, M.Kərimov, A.Mehdiyev, A.Paşayev, K.Ramazanov, F.Həşimzadə, E.Salayev.

BURAXILIŞIN REDAKSİYA HEYYƏTİ

M.Əliyev-Fizika İnstitutu, baş redaktor, S.Mehdiyeva- Fizika İnstitutu, baş redaktorun müavini, C.Abdinov- Fizika İnstitutu, Ə.Quliyev — Şamaxı Astrofizika Rəsədxanası, H.Əjdərov — Fizika İnstitutu, B.Əsgərov-Bakı Dövlət Universiteti, E.Hüseynov- Fizika İnstitutu, Ş.Naqıyev- Fizika İnstitutu, A.Qəribov- Radiasiya Problemləri İnstitutu, A. Xəlilova- Fizika İnstitutu, məsul katib, İ.Məmmədyarova- Radiasiya Problemləri İnstitutu, baş texniki redaktor.

MÜƏLLİFLƏRİN NƏZƏRİNƏ

"Azərbaycan MEA Xəbərləri" jurnalı fizika və astronomiyanın müxtəlif sahələrinə həsr olunmuş orijinal və qısa məlumatları qəbul edir. Məqalələr bütün dünya tədqiqatçılarından qəbul olunur.

Əlyazmalar azərbaycan, rus və ingilis dillərində qəbul edilir. Hər bir məqalənin əvvəlində məqalə yazilan dildə qısa xülasə çap edilir. Nəşr olunmaq üçün göndərilən məqalələr 210x297mm ölçülü ağ kağızın bir üzündə olmaqla, 1 intervalla lazımi sahə saxlanmasına əməl etməklə (yuxarından – 30mm, soldan – 20mm, aşağıdan – 30mm, sağdan -20mm), mətndəki şrift normal, düzünə 12, sərlövhə - yağlı – 12, müəlliflər – yağlı -12, müəssisə, poçt ünvanları, telefon, e-mail, – normal 12 iki interval buraxmaqla çap edilir. Məqalələr 2 nüsxədə və CD diskdə Microsoft Word formada (şrift-Times New Roman) təqdim olunmalıdır. Çapa qəbul olunmayan məqalələr geri qaytarılmır. Məqalələr işin yerinə yetirildiyi təşkilatın məktubu ilə redaksiyaya qöndərilməlidir.

1. TİTUL SƏHİFƏSİ.

Məqalənin titul səhifəsində 1 sətir intervalla məqalənin adı, müəliflərin soyadı, adı, atasının adı (böyük hərflərlə), tədqiqatçıların iş yeri və müəssisənin poçtun indek<u>si</u> və ünvanı, məqalə yazilan dildə xülasə çap edilir.

2. ƏDƏBİYYAT.

Ədəbiyyat siyahısı məqalədə qeyd olunan ardıcıllıqla və aşağıdakı qaydada yazılır:

-jurnal məqaləsi üçün: müəlliflərin inisialları və soyadı (jurnalın adı, cild (seriya), nömrə, nəşr ili, səhifə;

-kitab və tezislər ücün: müəlliflərin inisialları və soyadı, kitabın tam adı, nəşr olunan yer və il, fəsil (paraqraf), səhifə.

3. XÜLASƏ.

Xülasə ayri vərəgdə digər 2 dildə çap edilir. Xülasənin həcmi 60-70 sözü keçməməlidir.

4. SƏKİLLƏR.

Şəkillər ağ kağızda dəqiq və aydın çəkilməli və ya fotoşəkil təqdim olunmalıdır. Şəkillərin ölçüsü 60x80mm-dən kiçik və 125x160mm-dən böyük olmamalıdır. Şəkilləti yazılar ayrıca vərəqdə çap olunmalıdır. Şəkilin arxa tərəfində onun nömrəsi və məqalənin adı qöstərilir. Şəkillərdə aydınlaşdırıcı mətn və səkilaltı ifadələr olmamalıdır. Qrafiklərin koordinat oxlarında kifayət qədər az sayda rəqəm olmalı, oxların adı iri və aydın, dəqiq qöstərilməlidir. Əgər qrafikdə bir neçə əyri verilmişsə, onda onları nömrələmək və nömrələrin izahı şəkil altı yazılarda verilməlidir. Bu əyrilərin müxtəlif işarələrlə qöstərilməsinə icazə verilmir. Sİ SİSTEMİNDƏ QÖSTƏRİLƏN VAHİDLƏR İNQİLİS DİLİNDƏ OLMALIDIR. Məqalədə şəkillərin sayi 5-dən çox olmamalıdır.

5. CƏDVƏLLƏR.

Cədvəllər ayrıca vərəqdə təqdim olunur, onlar nömrələnməli və adlandırılmalıdır. Cədvəllərin ölçüləri 125x160mm aşmamalıdır. Məqalədə 3-dən artıq cədvəl olmamalıdır.

6. ÜNVAN.

Məqalələr aşağıdakı ünvana qöndərilir:

Azerbaycan, AZ 1143, Bakı, Hüseyn Cavid prospekti, 33,MEA H.M.Abdullayev adına Fizika institutu.

Tel: (99412) 439-33-15, Faks: (99412)447-04-56; E-mail: <u>jtransaction@physics.ab.az</u>; <u>almaz@physics.ab.az</u>; internet: www.physics.gov.az

Fizika institutunda çap üçün hazırlanmışdır.

УДК 6787.077

РАСЧЕТ ЭЛЕКТРОННОЙ СТРУКТУРЫ КРИСТАЛЛА $TIFeS_2$ В Φ EPPOMAГНИТНОЙ Φ A3E

3.А.ДЖАХАНГИРЛИ 1,4* , КОДЖИРО МИМУРА 2 , КАЗУКИ ВАКИТА 3 , ЕНГ ШИМ 2 , Г.С.ОРУДЖЕВ 4 , Н.Т.МАМЕДОВ 2

Институт Физики НАН Азербайджана¹
AZ 1143, Баку, пр. Г.Джавид, 33
Department of Physics and Electronics, Graduate School of Engineering, Osaka
Prefecture University²
Gakuen-cho 1-1, Sakai, Osaka 599-8531, Japan
Department of Electronics and Computer Engineering,
Chiba Institute of Technology ³, 2-17-1,
Aзербайджанский технический университет⁴
AZ 1073, Баку, пр. Г.Джавид, 25
*cahanzakir@yahoo.com

поступила 12.01.2011 принята к печати 22.08.2011

Ключевые слова: DFT, GGA, LAPW, спинтроника, ферромагнетики

РЕФЕРАТ

Представлены результаты теоретического исследования электронной структуры кристаллического $TlFeS_2$ методом функционала плотности с GGA (обобщенная градиентная обменно-корреляционным аппроксимация) потенциалом в базисе линеаризованных плоских (LAPW). волн Ha основе анализа энергетического спектра И плотности энергетических состояний показано, химическая связь в TlFeS2 имеет металлический Металлическая характер. компонента обусловлена химической связи локализованными на атоме железа электронами с энергиями вблизи уровня Ферми.

Спинтроника - новое направление в микроэлектронике, базирующееся на квантово-механической характеристике электронов, как спине. Устройства, созданные на ее основе, отличаются от подобных устройств микроэлектроники энергонезависимостью, уменьшением энергопотребления, увеличением плотности логических элементов и скорости обработки данных. В настоящее время идет активная работа над созданием магнитных полупроводников, которые могут быть использованы в спинтронике. Уникальные физические свойства магнитных полупроводников связаны с наличием в их зонной структуре особенностями, которые образуются электронными d- и f-оболочками атомов переходных или редкоземельных элементов.

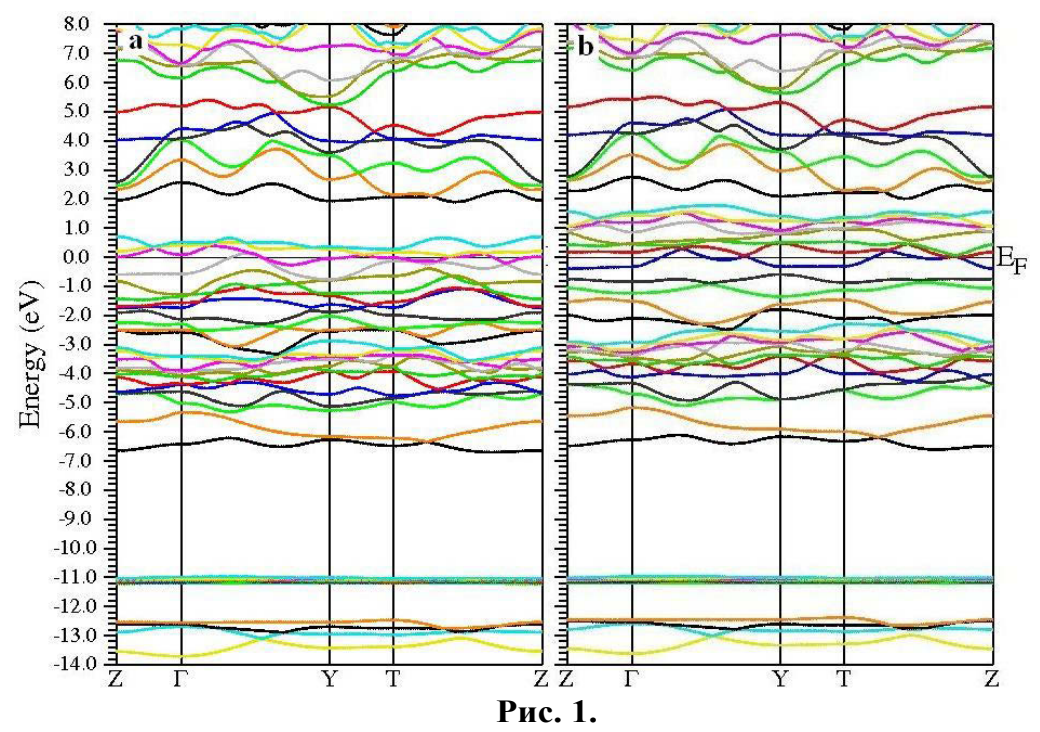
Наличие сильной анизотропии в межатомных взаимодействиях, а также сочетание полупроводниковых и магнитных свойств вызывает интерес к цепочечным соединениям типа $TlFeS_2$. Эти кристаллы являются перспективными материалами для применения в спинтронике.

Квазиодномерное соединение $TlFeS_2$ кристаллизуется в параметрической структуре с пространственной группой симметрии $C_{2/m}(C_{2h}^3)$ моноклинной сингонии [1]. Расслаивание таких монокристаллов на тонкие пластины перпендикулярные только одному из кристаллографических направлений без больших механических усилий свидетельствует о том, что силы связей между

З.А.ДЖАХАНГИРЛИ, К.МИМУРА, К.ВАКИТА, ЕНГ ШИМ, Г.С.ОРУДЖЕВ, Н.Т.МАМЕДОВ

атомами носят сильно анизотропный характер. Элементарная ячейка кристалла содержит четыре формульные единицы. Преобразование одного атома Fe в другой происходит операцией инверсии. Атомы Tl и S расположены в стандартных положениях 4(i), а атомы Fe в положении 4(g). Анализируя результаты экспериментов по магнитной восприимчивости и зависимости электрического сопротивления от температуры монокристалла TlFeS₂, авторы работы [2] пришли к выводу, что этот кристалл является антиферромагнитным полупроводником. расчеты методом теории функционала Проведенные нами плотности градиентной приближении обобщенной аппроксимации действительно подтверждают, что кристаллы являются антиферромагнитным ЭТИ полупроводником. При исследовании электронной структуры этих соединений необходимо учесть релятивистические эффекты, электронную корреляцию и в основном состоянии соответствует конфигурация валентных электронов 3d⁶4s². Электронный спектр носителей заряда в TlFeS₂ исследован ранее в работе [3,4] методом эмпирического псевдопотенциала, в котором d-электроны атома железа в качестве валентных не учитываются.

До настоящего времени кристаллическое соединение $TIFeSe_2$ теоретически мало исследовано. В данной работе методом функционала плотности с использованием LAPW [5] исследована электронная структура кристаллического соединения $TIFeSe_2$ в ферромагнитной фазе. В наших расчетах учтен тот факт, что основное состояние атома железа является состоянием с незаполненной оболочкой, для которой существенны эффекты спиновой поляризации. Выбирая направление спина d-электронов атома E, исследовали зависимость полной энергии на ячейку Etot от значения проекции полного спина S_z . Расчеты проводились с помощью пакета программ WIEN2k [6]. Сходимость самосогласованных итераций была порядка E1мэE2 для E3 для E4 гочек внутри приведенной зоны E4 бриллюэна. При этом состояния с энергией меньше E4 принимались как остовные состояния. Полученные результаты позволяют установить характер локализации E4 гочек в этом кристалле и их роль в образовании химической связи.



Зонная структура TlFeS₂ для: a- "spin-up", b- "spin-down" поляризаций

На Рис. 1 показана рассчитанная зонная структура $TlFeS_2$ в ферромагнитной фазе. Из рисунка видно, что этот кристалл в ферромагнитной фазе является металлическим соединением для обеих поляризаций спина.

В Таблице 1. приведены значение полной энергии E_{tot} на ячейку для шести значений проекции полного спина S_z . Как видно из таблицы, основному состоянию соответствует проекции спина S_z =5. Анализ плотности энергетических состояний (Рис.2) и состава соответствующих орбиталей показывает, что электроны с неспаренным спином занимают 3d-орбитали атома железа, а соответствующие одноэлектронные энергии находятся вблизи уровня Ферми.

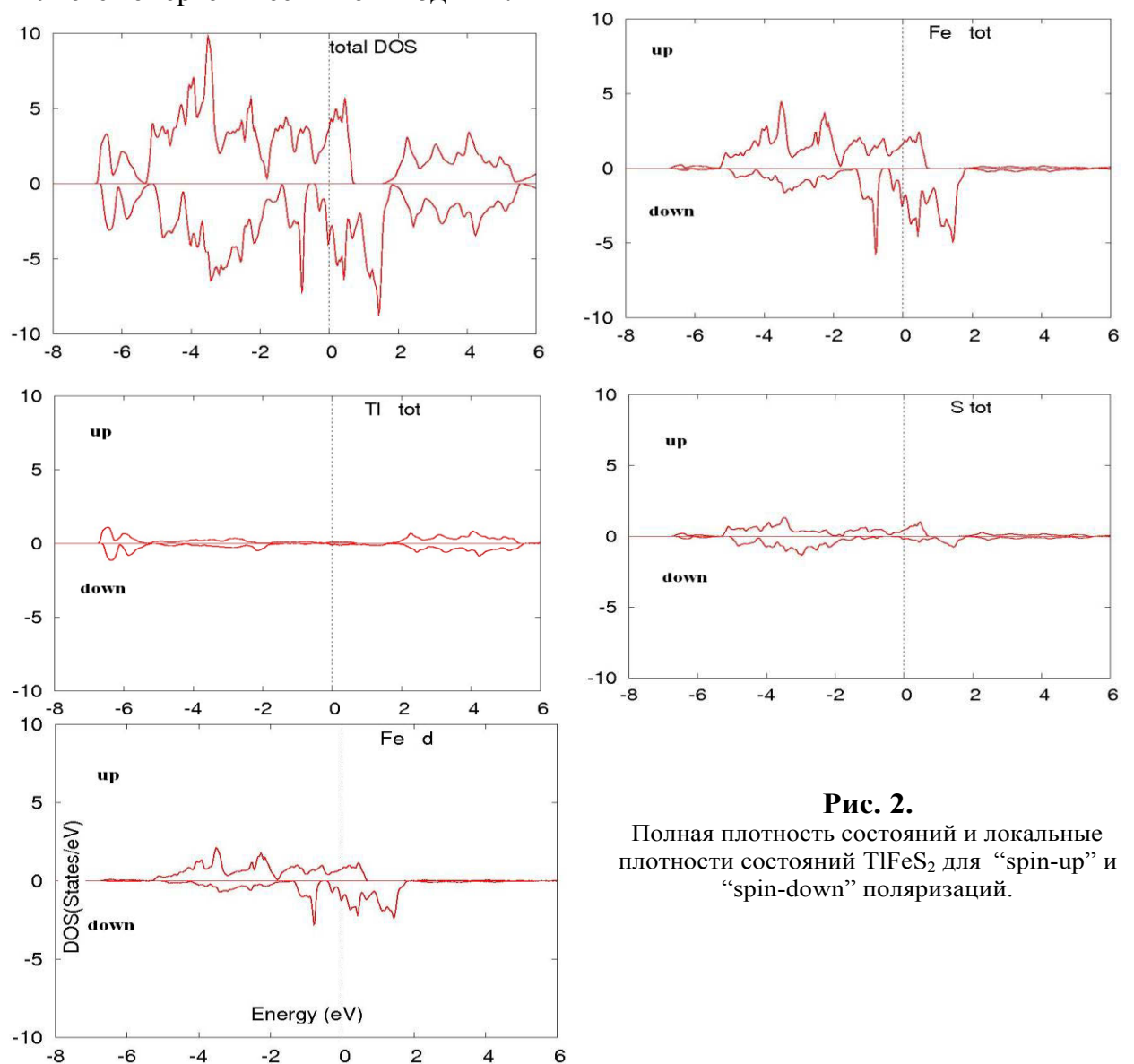
Таблица 1.

 Зависимость полной энергии на ячейку от проекции полного спина

 S_z 6
 5
 4
 3
 2
 1
 0

 E_{tot} -894440.280
 -894440.301
 -894440.295
 -894440.285
 -894440.211
 -894440.157

Из сравнения рассчитанных полных энергий для разных проекций полного спина можно сделать вывод, что спаривание шести 3d-электронов атома $Fe\ (S_z=0)$ является энергетически невыгодным.



З.А.ДЖАХАНГИРЛИ, К.МИМУРА, К.ВАКИТА, ЕНГ ШИМ, Г.С.ОРУДЖЕВ, Н.Т.МАМЕДОВ

Следует отметить, что разница в энергии на ячейку для состояний с S_z =5 и S_z =4 составляет всего 0,006Ry, и поэтому нельзя полностью исключить возможность такой электронной конфигурации, в которой значение проекции полного спина S_z =4

Таблица 2.

"Muffin-tin" радиусы, расстояние до ближайших соседей, сумма"muffin-tin" радиусов ближайших соседей и заряд атомов в "muffin-tin" сфере.

	$R_{MT}(a.u)$	ближайший сосед/расстояние (a.u.)	сумма R _{МТ}	заряд в МТ сфере
T1	2,5	$S_1 - 5.84925$	4.46	5ю4162
Fe	2.21	S ₂ - 4.19643	4.17	5.3288
S_1	1.96	Fe – 4.21755	4.17	1.8389
S_2	1.96	Fe - 4.19643	4.17	1.8421

В Таблице 2. приведены "muffin-tin" радиусы, расстояние до ближайших соседей, сумма "muffin-tin" радиусов ближайших соседей и заряд атомов в "muffin-tin" сфере. Из Таблицы 2 видно, что "muffin-tin" сферы атомов Fe и S почти соприкасаются. Существенное отличие заряда в "muffin-tin" сфере атома S, по сравнению с другими атомами, дает возможность сделать вывод, что эффекты ионности достаточно велики и химическую связь в кристалле $TlFeS_2$ в ферромагнитной фазе можно представить в виде ионно-металлической.

Авторы выражают благодарность академику Ф.М. Гашимзаде за неоднократное обсуждение результатов.

- 1. M.Zabel, K.J.Range, Ternare phasen in system eisentallium-schwefel, Z. Natur., **34** B (1979) 1-6.
- 2. Z.Seidov, H.-A.Krug von Nidda, J.Hemberger, A.Loidl, G.Sultanov, E.Kerimova, A.Panfilov, *Magnetic susceptibility and ESR study of the covalent-chain antiferromagnets TlFeS2 and TlFeSe2, Phys.Rev B*, **65** (2001) 014433-1-014433-7
- 3. Г.С.Оруджев, Н.А.Алиева, З.А.Джахангиров, *Препринт №114 НПО КИ г.Баку*, (1991) 1-12
- 4. Г.С.Оруджев, Д.Г.Гулиев, З.А.Джахангиров, Расчет энергетических спектров и плотности электронных состояний кристаллов TlFeS₂ и TlFeS₂ Тезисы докладов XXX Международной конференции «Материалы и химические превращения под давлением», г. Баку, (1992) 15-18.
- 5. David J.Singh, Plane Waves, *Pseudopotentials and the LAPW Method, Kluwer Academic Publishers, Boston,* (1994) 225.
- 6. P.Blaha, K.Schwarz, J.Luitz, WIEN2k, A Full Potential Linearized Augmented Plane Wave Package for Calculating Crystal Properties, Karlheinz Schwarz, Techn. Universitat Wien, Austria, (1999) ISBN 3-9501031-0-4.

TIFeS₂ KRISTALININ ELEKTRON QURULUŞUNUN FERROMAQNIT FAZADA HESABLANMASI

ZA.A.CAHANGIRLI, KOJIRO MIMURA, KAZUKI WAKITA, YONGGU SHIM, H.S.ORUCOV, N.T.MƏMMƏDOV

Sıxlıq funksionalı nəzəriyyəsindən istifadə etməklə LAPW bazasında GGA mübadilə-korrelyasiya potensialı yaxınlaşmasında TIFeS₂ kristalının elektron quruluşu tədqiq edilmişdir. Elektron quruluşunun və energetik hal sıxlığının analizi göstərir ki, bu kristalda kimyəvi rabitə metallik xarakter daşıyır. Metallik rabitə Fermi səviyyəsi ətrafında yerləşən dəmir atomlarının 3-d elektronları vasitəsilə yaranır.

РАСЧЕТ ЭЛЕКТРОННОЙ СТРУКТУРЫ КРИСТАЛЛА $TIFeS_2$ В ФЕРРОМАГНТНОЙ ФАЗЕ

CALCULATION OF ELECTRONIC STRUCTURE OF TIFeS₂ CRYSTAL IN FERROMAGNETIC PHASE

Z.A.CAHANGIRLI, KOJIRO MIMURA, KAZUKI WAKITA, YONGGU SHIM, H..S.ORUDJEV, N.T.MAMEDOV

Results of theoretical investigation of electronic structure of $TIFeS_2$ crystal using density functional theory with GGA exchange-correlation potential in basis of LAPW have been shown. On the basis of the analysis of electronic structure and density of states has been shown, that chemical bonding in $TIFeS_2$ has had metallic character. Metallic component of chemical bonding has been caused by 3d-electrons located on iron atoms with energy near to Fermi's level.

Редактор: М.Бабаев

УДК 621. 385. 833

ОСОБЕННОСТИ ФОРМИРОВАНИЯ АСМ-ИЗОБРАЖЕНИЙ ПРИ НАЛИЧИИ СЛОЕВ ПОВЕРХНОСТНОГО АДСОРБАТА

$C.Д.АЛЕКПЕРОВ^{1,2}$

Филиал МГУ им. М.В. Ломоносова в г. Баку¹ AZ 1141, Баку, ул. Ф.Агаева, 14 Институт физики НАН Азербайджана² AZ 1143, г.Баку, пр. Г.Джавида, 33 sdalekperov@mail.ru

поступила 17.01.2011 принята к печати 12.05.2011

Ключевые слова: атомно-силовая микроскопия, зондовая микроскопия, силовые кривые, пленки жидкого адсорбата, адсорбционные пленки

РЕФЕРАТ

В работе проанализированы артефакты, возникающие при исследовании поверхности методом атомносиловой микроскопии. Рассмотрены процессы, происходящие в системе «зонд-молекулы водыповерхность графита». Произведена оценка параметров зонда и окружающей среды, а также степени влияния этих параметров на поверхность при сканировании.

ВВЕДЕНИЕ

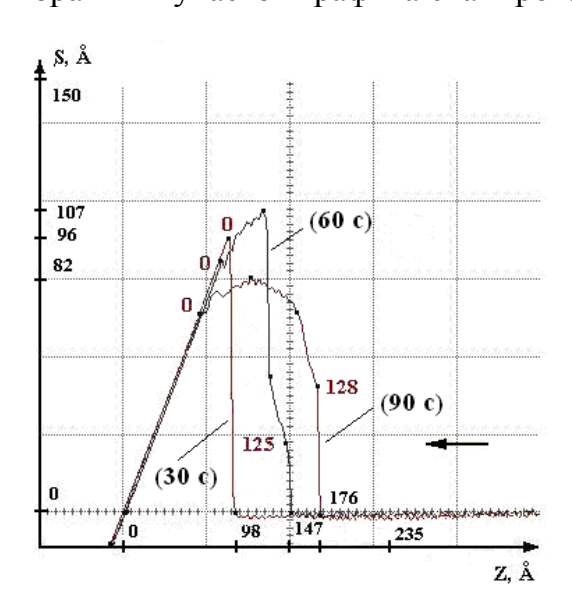
Количественное определение характеристик материалов на воздухе с помощью атомно-силового микроскопа (АСМ) остается достаточно сложным делом. Наиболее общая проблема состоит в том, что поверхность образца, находящегося на воздухе, обычно бывает покрыта адсорбированными парами воды. Когда зонд касается этой пленки, образующийся мениск создает дополнительное поверхностное натяжение, притягивающее зонд к поверхности. А это, в свою очередь, может существенно исказить результаты исследований, поскольку при этом меняются все параметры самих силовых кривых (СК) [1, 2]. В данной работе проведен анализ степени влияния параметров зонда и характеристик внешней среды на параметры получаемых в ходе эксперимента СК. Основным объектом рассмотрения являлась система «зонд-молекулы воды-поверхность графита». Во всех экспериментах в качестве образцов использовались свежие сколы пиролитического графита. Это связано с тем, что на поверхности графита можно легко получить большие атомарно-гладкие площадки, и на ней практически не адсорбируются кислород и другие газы, что позволяет получить изображение поверхности с атомарным разрешением даже на воздухе. Кроме того высокая плоскостность и однородность поверхности графита минимизируют влияние рельефа на параметры СК, получаемые АСМ. Измерения проводились в специальной камере в диапазоне температур (20÷22)°С и в диапазоне относительной влажности окружающей среды 5%≤p/p_s≤96% (относительная влажность измерялась на термогигрометре "Wendox" с точностью ~1%). Фактически были выбраны три диапазона относительной влажности: пониженная влажность $5\% \le p/p_s \le 10\%$; нормальная влажность $40\% \le p/p_s \le 60\%$ и повышенная влажность 80% <p/p_s<96%. Для исключения процесса переноса воды с зонда на поверхность и наоборот использовался гидрофобный пирамидальный зонд из нитрида кремния (Si₃N₄). Применялись серийные зонды типа CSG10, имеющие следующие параметры (согласно паспортным данным): R (радиус острия)=30нм; острия)=20°; кантилевера)=0,2Н/м; θ (угол конусности k_c(жесткость

ОСОБЕННОСТИ ФОРМИРОВАНИЯ АСМ-ИЗОБРАЖЕНИЙ ПРИ НАЛИЧИИ СЛОЕВ ПОВЕРХНОСТНОГО АДСОРБАТА

 f_0 (резонансная частота)=27к Γ ц; Н(высота зонда)=18 μ m; L×W×t(размеры кантилевера)=250×35×1,3 μ m.

ВЛИЯНИЕ ПАРАМЕТРОВ ЗОНДА

Степень влияния самого зонда на параметры СК определяется, в основном, двумя факторами: 1). эффект влияния геометрии зонда, 2). эффект конденсации молекул воды в точке контакта зонда с поверхностью [3]. Чтобы исключить влияние первого фактора, во всех экспериментах использовались зонды с одними и теми же, приведенными выше, параметрами. Чтобы определить степень влияния второго фактора, был проведен следующий эксперимент. Поверхность графита предварительно была исследована в контактном режиме (т.е. в режиме "C-AFM"), что показало атомарно-гладкую поверхность, на которой встречались лишь ступеньки высотой в несколько ангстрем и отдельные точечные дефекты. Затем выбранный участок графита сканировался в режиме "MD-AFM" [4]. Как оказалось,



при повышенной влажности, контакт зонда поверхностью вызывал процесс конденсации или переноса на поверхность дополнительных молекул воды, приводило к образованию капиллярного мениска вокруг контактной точки. Процесс конденсации и формирования мениска был зарегистрирован при непрерывном снятии СК в одной точке с интервалом в 30 секунд. На Рис.1 изображены в одном масштабе СК подвода, полученные во время этого процесса.

Рис. 1.

Силовые кривые, полученные с интервалом 30 секунд в одной точке поверхности графита в условиях повышенной влажности ($80\% \le p/p_s \le 96\%$). СК получены после контакта зонда с поверхностью.

Цифрами обозначены расстояния от поверхности до зонда, расположенного в этих точках. Кривая (30с) показывает отсутствие в точке измерения молекул воды в конденсированном состоянии. Кривая (60с) снималась уже на небольшом, находящемся в процессе роста, капиллярном мениске. На кривой подвода прилипание зонда к капле происходит в два этапа – в процессе прыжка зонд, пролетев 22Å (участок 147÷125Å), сталкивается с небольшим препятствием, а затем свободно продолжает свое движение в сторону поверхности графита. Очевидно, небольшой формирующийся мениск конденсированной воды под влиянием тех же Ван-дер-Ваальсовых взаимодействий отрывается от поверхности графита и устремляется навстречу острию зонда. Так как после замедления скачка СК очень резко уходит вверх, то это не позволяет интерпретировать данную ситуацию как процесс прохождения зонда через слой самого мениска, ускоренный капиллярными силами. Дело В TOM, что Ван-дер-Ваальсовы взаимодействия между поверхностью графита и зондом внутри жидкой среды не приводят к большим скачкам. После контакта с молекулами капиллярного мениска происходит постепенное втягивание в него зонда. При этом изгиб кантилевера увеличивается, а участок СК снова уходит вверх. Кривая (90с) получена уже на сформированном мениске. До контакта с молекулами мениска зонд пролетает расстояние в 48Å (участок 176÷128Å), причем, область втягивания зонда в объем

мениска хорошо выражена. Следующий за участком втягивания на СК (60c) и (90c) наклонный вниз участок означает сопротивление капиллярного мениска прохождению зонда. Завершает процесс прохода зонда также на всех трех кривых небольшой скачок вверх, который в этом случае может означать попадание зонда под влияние Ван-дер-Ваальсовых взаимодействий со стороны поверхности графита и последующий контакт с ней. Как показали эксперименты, форма СК изменяется только в интервале времени до 90 секунд, после чего стабилизируется. Это свидетельствует о конечном времени процесса конденсации и наступлении термодинамического равновесия.

ВЛИЯНИЕ ПАРАМЕТРОВ ОКРУЖАЮЩЕЙ СРЕДЫ

Из всех характеристик внешней среды при экспериментах на воздухе с помощью АСМ фактором первого порядка является величина относительной влажности (р/р_s). Дело в том, что в зависимости от уровня влажности, слой адсорбированной воды на поверхности будет иметь неодинаковую толщину и различный характер распределения [5]. Поскольку твердое тело посредством образования водородных связей как бы «программирует» изменения во взаимном расположении молекул воды в приповерхностном слое, а образованные межмолекулярные водородные связи распространяют эти изменения на расстояния ≥10нм, то стабильность адсорбированного слоя на поверхности оказывается достаточно высокой. Фактически, здесь имеет место своеобразное эпитаксиальное влияние на расположение молекул воды в граничном слое со стороны твердого тела. На Рис.2 приведены СК подвода, снятые на поверхности графита при пониженной, нормальной и повышенной влажности.

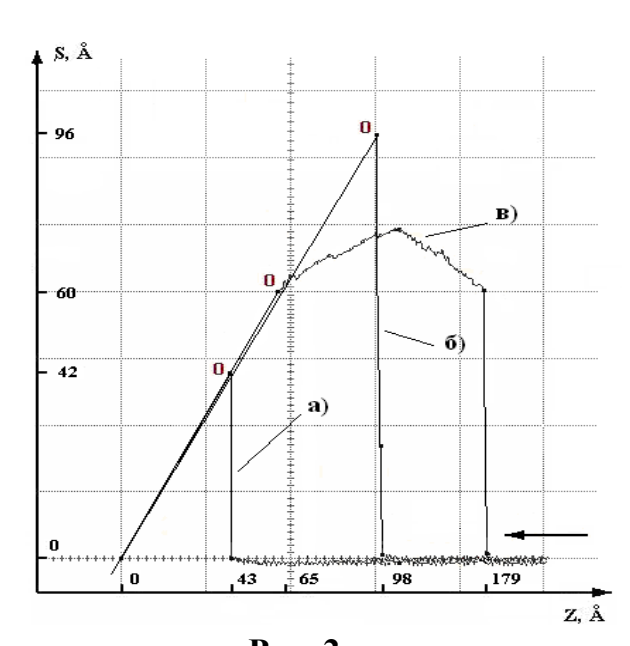


Рис. 2. Силовые кривые подвода, снятые при: a)

пониженной (5% \leq p/p_s \leq 10%) и нормальной (40% \leq p/p_s \leq 60%) влажности; б) при повышенной влажности (80% \leq p/p_s \leq 96%) вне капель; в) при повышенной влажности (80% \leq p/p_s \leq 96%) на каплях.

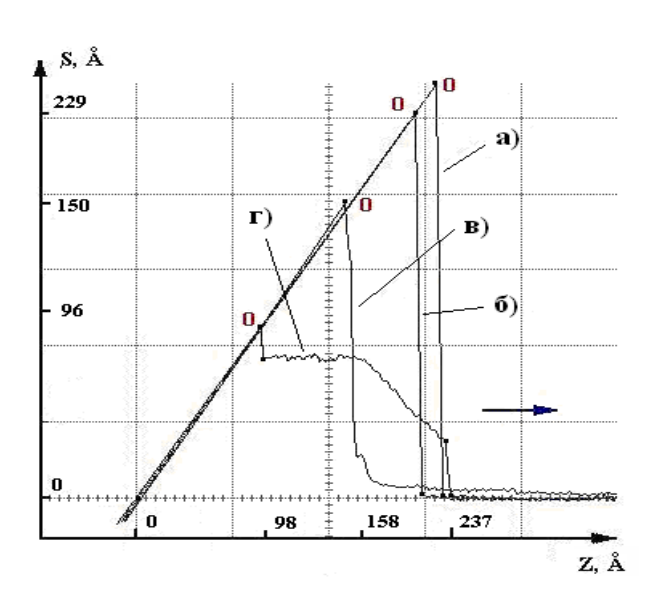


Рис. 3.

Силовые кривые отвода зонда от поверхности графита: а) при пониженной влажности (5% \leq p/p_s \leq 10%); б) при нормальной влажности (40% \leq p/p_s \leq 60%); в) при повышенной влажности вне центров конденсации (80% \leq p/p_s \leq 96%); г) при повышенной влажности на центрах конденсации (80% \leq p/p_s \leq 96%).

ОСОБЕННОСТИ ФОРМИРОВАНИЯ АСМ-ИЗОБРАЖЕНИЙ ПРИ НАЛИЧИИ СЛОЕВ ПОВЕРХНОСТНОГО АДСОРБАТА

В условиях пониженной и нормальной влажности (Рис.2,а), как видно из СК, зонд, проходя молекулярный слой воды, свободно доходит до механического контакта непосредственно c поверхностью графита, затем также беспрепятственно отрывается от нее (это отражает характерная треугольная форма СК). В данном случае СК показывает отсутствие каких-либо препятствий зонду при подходе к поверхности и при контакте с ней говорит о высокой подвижности данного молекулярного слоя воды и отсутствии капиллярных эффектов. Состояние этого хорошо подвижного «неконденсированного» слоя воды скорее можно отнести к квазидвумерному пару (т.к. толщина все-таки есть), нежели к слою жилкости. В условиях повышенной влажности форма СК, снятых вне центров конденсации (Рис.2,б), совпадает с формой СК, снятых при условиях пониженной и нормальной влажности (Рис.2,а), т.е. и в этом случае, как показывает форма СК, адсорбированный слой воды находится в высокоподвижном («газообразном») состоянии. СК, снятые непосредственно на самих центрах конденсации (Рис.2,в), резко изменяли свою форму, т.к. имели характерные области прохождения зондом самого центра конденсации и выхода из нее. Форма этих СК показывает, что вода оказывала сопротивление прохождению центров свидетельствовало о ее жидком состоянии, т.е. налицо наличие капиллярных Состояние воды В этих центрах, очевидно, конденсированной жидкостью. Кроме этого, в зависимости от уровня влажности окружающей среды заметно меняется характер распределения сил адгезии на поверхности, что тоже влияет на АСМ-изображения поверхности, изменяя силу взаимодействия в системе «зонд-поверхность» [6]. На Рис.3 представлены СК отвода при различных уровнях влажности: пониженной (а), нормальной (б), повышенной вне центров конденсации (в), повышенной на центрах конденсации (г). Все результаты приведены в Таблице 1.

Таблица 1.

Относительная влажность,	$5\% \le p/p_s \le 10\%$	40%≤p/p _s ≤60%	$80\% \le p/p_s \le 96\%$		
$(p/p_s), \%$			вне центров	на центрах	
			конденсации	конденсации	
Общая толщина слоя адсорбата	l				
(зонд+поверхность), нм	$(5,1\div5,5)\pm0,4$	$(4,3\div4,8)\pm0,4$	$(9,2 \div 9,8) \pm 0,6$	$(17,3\div17,9)\pm0,8$	
Толщина слоя поверхностного					
адсорбата, нм	$(3,0\div3,2)\pm0,3$	$(2,6\div2,9)\pm0,3$	$(4,4\div4,7)\pm0,5$	$(8,3\div8,7)\pm0,7$	
Средняя сила адгезии, H×10 ⁻⁹	$(6,5\div6,9)\pm0,3$	$(6,1\div6,4)\pm0,3$	$(4,2\div4,5)\pm0,2$	$(2,9\div3,3)\pm0,2$	

Относительная толщина пленки воды при влажности $(5\% \le p/p_s \le 10\%)$ составляла $\sim 3,1$ нм, а средняя величина адгезионной силы оказалась равной $\sim 6,7 \times 10^{-9}$ H. При влажности $(40\% \le p/p_s \le 60\%)$ относительная толщина пленки воды составила $\sim 2,7$ нм, а средняя величина адгезионной силы была равна $\sim 6,2 \times 10^{-9}$ H. Другими словами, при повышении влажности от $(5 \div 10\%)$ до $(40 \div 60\%)$ относительная толщина пленки адсорбирован-ной воды, наоборот, уменьшилась с 3,1 нм до 2,7 нм. Это говорит о том, что в условиях пониженной влажности на поверхности графита практически полностью отсутствуют молекулы воды, и характерная гистерезисная форма СК определяется Ван-дер-Ваальсовыми взаимодействиями, отличными от процесса силового взаимодействия в системе «зонд-вода-графит» [7]. Кроме того, как оказалось, при увеличении влажности величина адгезионной силы между поверхностью графита и зондом также стала убывать. При повышении влажности с $(5 \div 10\%)$ до $(40 \div 60\%)$, величина силы адгезии уменьшилась на $\approx 7\%$. Данный эффект можно объяснить влиянием пленок

адсорбированной воды на гидрофобные поверхности графита и зонда из нитрида кремния (перед измерениями зонд был очищен). При влажности (80%≤p/p_s≤96%) формы СК, снятых вне центров конденсации (Рис.3,в), в общем и целом, совпадают с формой СК, снятых при пониженной и нормальной влажности. Это доказывает, что пленка адсорбированной воды находится в высокоподвижном газообразном состоянии. Относительная толщина пленки воды при этом увеличилась до 4,5нм, а величина силы адгезии составила ~4,3×10⁻⁹H. Совсем другой вид имеет СК, снятая непосредственно на самом центре конденсации (Рис.3,г). Непосредственно на самих центрах конденсации регистрировались низкие значения сил адгезии, которые в среднем составили $\sim 3.1 \times 10^{-9}$ H при средней высоте капель воды ~ 8.5 нм. Достаточно большой диапазон изменения сил адгезии от ~4,3×10⁻⁹H вне центров конденсации до $\sim 3.1 \times 10^{-9}$ H на самих центрах конденсации (т.е. $\Delta F = 1.2 \times 10^{-9}$ H) связан, по-видимому, не с топографией поверхности, а определяется наличием дополнительных капиллярных сил внутри центров конденсации [8]. Резкое уменьшение величины сил адгезии на центрах конденсации можно объяснить следующим образом. В данном случае при росте толщины пленки адсорбированной воды наличествует, так называемый, геометрический эффект [9]: с увеличением толщины пленки воды "текущей" увеличивается "текущий" радиус гидрофобного зонда на границе раздела «воздух-жидкость». Это, в свою очередь, увеличивает выталкивающую капиллярную силу, что, в итоге, приводит к уменьшению величины силы адгезии внутри центров конденсации. Общая толщина слоя адсорбата, приведенная в Таблице 1 – это суммарная толщина слоя адсорбата на острие зонда и слоя поверхностного адсорбата. Чтобы получить отдельно толщину слоя поверхностного адсорбата, надо каким-то образом «отделить» тот вклад, который вносит сюда слой адсорбата на острие зонда. Для этого был проведен отдельный эксперимент, результаты которого приведены в Таблице 2.

Таблица 2.

Относительная			80%≤p/p _s ≤96%		
влажность,	$5\% \le p/p_s \le 10\%$	$40\% \le p/p_s \le 60\%$	вне центров	на центрах	
(p/p_s) , %			конденсации	конденсации	
Общая толщина слоя адсорбата (зонд+поверхность), нм	(4,2÷4,6)±0,2	(3,3÷3,8)±0,2	(9,6÷10,2)±0,4	(18,0÷18,4)±0,6	
Голщина слоя поверхностного адсорбата, нм	(2,1÷2,3)±0,2	(1,7÷1,9)±0,2	(4,8÷5,1)±0,3	(9,0÷9,2)±0,4	

В качестве образца была взята кремниевая пластина, покрытая естественным оксидом SiO_2 (для того чтобы материалы образца и зонда совпадали). Был проведен весь цикл экспериментов при различных величинах относительной влажности. После этого (пренебрегая эффектом влияния геометрии зонда и возможными различиями в состоянии поверхности и уровне легирования) уже можно было определить толщину слоя адсорбата на острие и на поверхности просто путем деления на 2 полученного значения общей толщины адсорбата. Определенная таким образом толщина слоя адсорбата на острие зонда вычиталась из общей толщины адсорбата, что, в итоге, давало возможность определить толщину слоя поверхностного адсорбата.

Таким образом, при повышенной влажности зонд на поверхности сам становится центром конденсации водяных паров, и вокруг него образуется капиллярный мениск, который он сам и исследует. Вдобавок, различные уровни влажности дают совершенно разные по своим характеристикам слои поверхностного адсорбата. Все это может служить причиной наличия артефактов

ОСОБЕННОСТИ ФОРМИРОВАНИЯ АСМ-ИЗОБРАЖЕНИЙ ПРИ НАЛИЧИИ СЛОЕВ ПОВЕРХНОСТНОГО АДСОРБАТА

при исследовании поверхности с помощью АСМ и, как следствие, вызывать большие трудности при интерпретации полученных данных.

- 1. G.K.Zhavnerko, V.N.Staroverov, V.E.Agabekov, *Interpretation of SPM images of Langmuir-Blodgett films based on long-chain carboxylic acids, Thin Solid Films*, **359** (2000) 98-103.
- 2. A.V.Bolshakova, O.I.Kiselyova, A.S.Filonov, Comparative studies of bacteria with atomic force microscopy operating in different modes, Ultramicroscopy, **86** (2001) 121-128.
- 3. С.И.Васильев, Ю.Н.Моисеев, А.И.Орешкин, *Исследование поверхности* палладия методом сканирующей туннельной микроскопии, Письма в ЖЭТФ, **57** (1993) 309-312.
- 4. С.П.Молчанов, В.В.Дремов, А.П.Кирпичников, *Способ сбора и обработки информации с поверхности образца, Патент № 2145055, Российская Федерация*, (1999).
- 5. А.Н.Булатов, С.В.Хартов, *Исследование адсорбата воздуха на твердотельных подложках методами атомно-силовой микроскопии, Известия вузов.* Электроника, № 4 (2004) 9-16.
- 6. A.V.Bolshakova, I.A.Golutvin, N.S.Nasikan, Determination of mechanical characteristics of surface of block copolymers of atomic force microscopy techniques, Polymer Science, Ser. A, 46 (2004) 926-932.
- 7. О.В.Синицына, И.В.Яминский, Зондовая микроскопия поверхности графита с атомным разрешением, Успехи химии, 75 (2006) 27-35.
- 8. Д.С.Сайко, В.В.Ганжа, С.А.Титов, Адсорбционные слои воды на поверхности тонких пленок оксида аммония, Журнал технической физики, **79** вып.12 (2009) 86-91.
- 9. Е.А.Образцова, Е.Д.Образцова, И.В.Яминский, *Атомно-силовая микроскопия* поверхности графита с атомным разрешением, Сборник тезисов *IV* международной конференции «Современные достижения бионаноскопии», *Москва*, 15-18 июня (2010) 53-54.

SƏTHİN ÜZƏRİNDƏ ADSORBAT LAYLARI OLDUĞU HALDA AQM TƏSVİRLƏRİNİN FORMALAŞMASININ XÜSUSİYYƏTLƏRİ

S.C.ƏLƏKBƏROV

Məqalədə atom-qüvvə mikroskopiya metodu ilə səthin tədqiqi zamanı təzahür edən artefaktlar araşdırılmışdır. "Zond – su molekulları – qrafit səthi" sistemində olan proseslərə baxılmışdır. Zondun və ətraf mühitin parametrləri, eyni zamanda bu parametrlərin skan zamanı səthə təsir dərəcəsi qiymətləndirilmişdir.

AFM IMAGES FORMATION PECULIARITIES IN THE PRESENCE OF LAYERS OF A SURFACE ADSORBATE

S.D.ALEKPEROV

The artifacts arising at surface scanning by method of atomic force microscopy have been analyzed. The processes occurring in system "probe-molecules of water-graphite surface" have been considered. The estimation of parameters of probe and of environment, also a degree of influence of these parameters on a surface has been made at scanning.

Редактор: Х.Везиров

PACS: 621.315.592

INVESTIGATION OF RADIATION HARDNESS OF MICRO-PIXEL AVALANCHE PHOTODIODES (MAPD)

F.I.AHMADOV^{1,2}, R.S.MADATOV², Z.Y.SADYGOV¹, Y.M.MUSTAFAEV²

¹Frank Laboratory of Neutron Physics, Joint Institute of Nuclear Research 141 980, Russia, Moscow region, Dubna, J.Curie,6 ²Institute of Radiation Problems ANAS AZ 1143, Baku, F.Aghayev str., 9

received: 27.04.2011	ABSTRACT
accepted: 11.06.2011	The work has been dedicated to the investigation of
	radiation damages caused by the beam of alpha particles
	and protons in micro-pixel avalanche photodiodes
	(MAPD). The results of the investigation show that the
	beam of alpha particles and protons of 6.1·10 ⁸ alpha/cm ²
Keywoeds: photoconductivity, APD,	and 1.0·10 ¹⁰ proton/cm ² is not critical values for MAPD, i.e.
defect, protons and α-particles	the device is still functional. The results allow using such
	diodes for the registration of alpha particles.

INTRODUCTION

In the last several years the advanced progress in the area of MAPD allows using this type of diodes in high energy physics as detectors (in CERN and NICA-MPD) so the investigation of the radiation hardness of MAPD is very important [1-3]. The influence of protons and alpha particles on MAPD has not been investigated clearly yet. This paper is dedicated to the investigation of the influence of protons and alpha particles on MAPD [4-5].

EXPERIMENT

The tested devices named as MAPD-3N1P have $3\times3 \text{mm}^2$ active area and 15000pixels/mm^2 pixel density. The manufacturing technology of MC APD has been described in [1]. A single pixel gain of the MAPD was of order 10^4 .

Proton beam with the energy of 150 MeV at FAZOTRON accelerator installed in the Laboratory of Nuclear Problems of Joint Institute for Nuclear Research has been used for irradiation. The beam has a rectangular shape with an area of 50cm^2 , which is larger than the active area of the holder (the holder area is 25cm^2). The distribution of the beam intensity around the beam center is almost flat; the uniformity of the beam intensity within 25 cm^2 region is better than 7%. The proton intensity is $1 \cdot 10^8 \text{p/cm}^2 \text{sec}$. MAPD has been irradiated at room temperature. Reverse voltage (9V) has been applied to each diode during irradiation. The device has been irradiated up to the dose of $1 \cdot 10^{10} \text{p/cm}^2$.

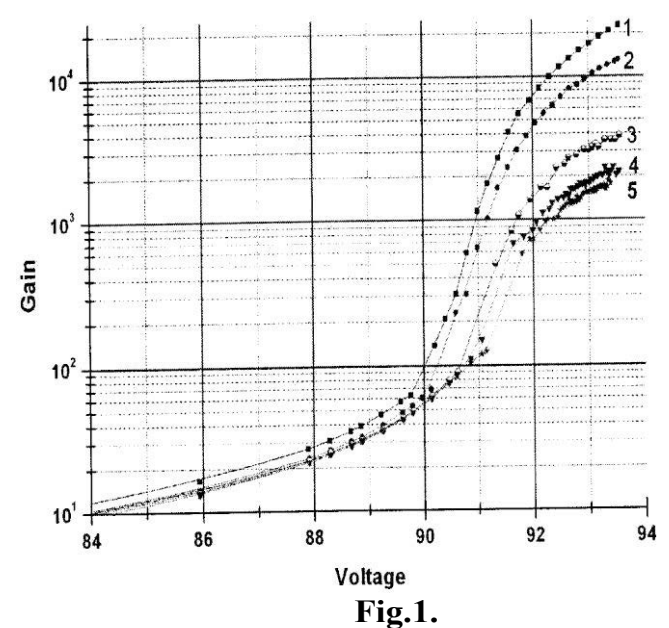
Am-241 with the kinetic energy of 5.5MeV has been used as an alpha source. The alpha source has been located above MAPD and the distance between the alpha source and the diode has been selected as 1cm. The energy lost of the alpha particles in air is about 700keV and the rest of the energy of the alpha particles has been deposited in the diode. The range of the alpha particles in silicon is 22µm (for 4,8MeV). The alpha particle intensity has been measured by the counter and the intensity is 3.1·10³alpha/cm²sec. MAPD has been irradiated at room temperature. During irradiation reverse voltage (91.7V) has been applied to each diode. The irradiation process consists of 4 steps: 3.3·10⁸alpha/cm², 3.3·10⁸alpha/cm², 6.3·10⁸alpha/cm² and 8.3·10⁸alpha/cm². The total radiation time is 73.3 hours and the total irradiation dose is 8.3·10⁸alpha/cm².

MAPD has been illuminated by light emitting diode (LED) with 100 ns long light pulses with 450 nm wavelength and 2.5 kHz frequency. The total dose of the alpha particles has been calculated by KC-014 type counter.

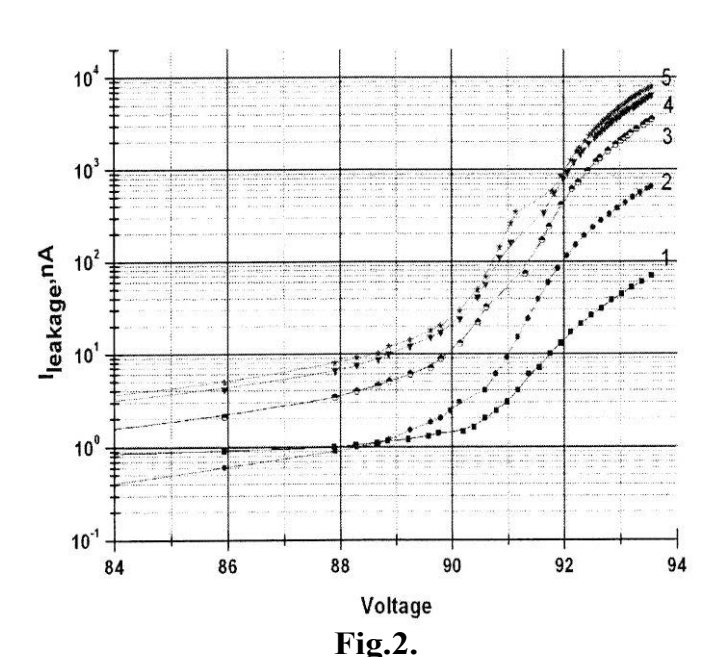
RESULTS AND DISCUSSION

The gain has been determined from the ratio of resposivities with and without gain. The gain has been determined as $M=I_{ph,M}/I_{ph,1}$, where $I_{ph,1}$ - a total average primary photocurrent in diode with M=1 (20÷25V), where $I_{ph,M}$ -a total average photocurrent in diode with gain M>1 (U>30V).

In Fig.2 the gain dependences with the supplied voltage of diode before and after irradiation are given. In the first step the diode has been irradiated up to the dose of $3.3 \cdot 10^7$ alpha/cm² then the irradiated diode has been kept for 15 minutes at room temperature and then its I-V characteristic has been measured. The data show that the dark current has increased for 9 times and the gain has decreased for 3 times at 93V voltage. In the second step the diode has been irradiated up to the dose of $3 \cdot 10^8$ alpha/cm² and the dark current and the gain have been measured according to the rule shown above. The data show that the dark current has increased for 46 times and the gain has decreased for 5.6 times at 93V voltage. In the third and fourth steps the diode has been irradiated up to the dose of $6.3 \cdot 10^8$ alpha/cm² and $8.3 \cdot 10^8$ alpha/cm². The data show that the dark current has increased for 89.5 and 108 times and the gain has decreased for 9.4 and 11 times at 93V voltage [4].

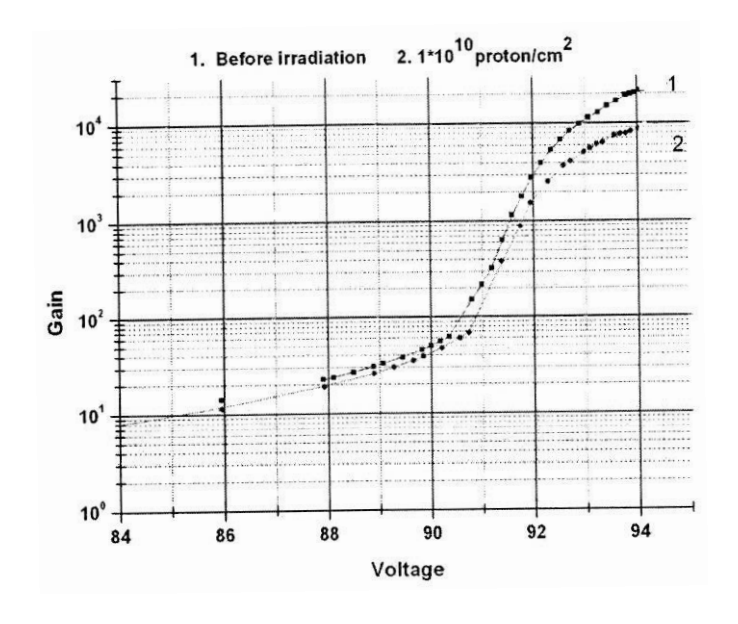


Gain dependence with the supplied voltage of MAPD diode (at 27C⁰), 1-Before irradiation, 2-3.3·10⁷alpha/cm², 3-3.3·10⁸alpha/cm², 4-6.3·10⁸alpha/cm² and 5-8.3·10⁸alpha/cm².



Current-Voltage (C-V) characteristics of MAPD diode (at 27C⁰), 1-Before irradiation, 2-3.3·10⁷ alpha/cm², 3-3.3·10⁸ alpha/cm², 4-6.3·10⁸ alpha/cm², 5-8.3·10⁸ alpha/cm².

Fig. 3-4 shows the dependence of the dark current and the gain of the photodiode on bias voltage before and after irradiation. After irradiation the diode has been kept for two days at room temperature and then its current-voltage dependence has been measured at room temperature. The data show that the dark current has increased for an order of magnitude at 93V. At the same time the gain has decreased approximately for 2 times [5].



1. Before irradiation 2. 1*10* proton/cm²

103

104

104

105

104

84

86

88

90

92

94

Voltage

Fig.3.Gain dependence with the supplied voltage for MAPD (27C⁰), 1-before irradiation, 2-1·10¹⁰proton/cm².

Fig.4.Current-Voltage (C-V) characteristics of MAPD diode (27C⁰), 1-before irradiation, 2-1·10¹⁰proton/cm².

It is known that the full dark current $(J_{\rm full})$ of MAPD may be expressed as $J_{\rm full.}=J_{\rm surf.}+M*J_{\rm gen.}$, where $J_{\rm surf.}-{\rm surface}$ dark current which have no multiplication, $J_{\rm gen}-{\rm dark}$ current generated in photosensitive volume which may have multiplication, $M-{\rm multiplication}$ factor of avalanche process. Generally, $J_{\rm surf.}>>J_{\rm gen.}$ An increase of the avalanche dark current at U>91V is caused by the increase of the dark generation rate due to the creation of new generation centers in the volume of silicon. The decrease of photocurrent is an indication of the decrease of the gain and the photon detection efficiency. The latter occurs due to the decrease of avalanche triggering probability which is in its turn the result of the dark count rate increase which leads to a smaller number of pixels available at the given moment for the avalanche triggering.

The measurements show that the doses of $8.3 \cdot 10^8$ alpha/cm² and $1 \cdot 10^{10}$ p/cm² are not very critical for MAPD. Despite the changes in the dark current and the gain after irradiation the device still can be operated after the irradiation at such dose.

- 1. Z.Ya.Sadygov, Russian Patent № 2316848, priority from 01.06.2006.
- 2. Y.V. Musienko, D.D.Renker, Z.X.Charifoulline, U.K.Deiters, S.X.Reucroft, J.X.Swain, *Nuclear Instruments and Methods in Physics Research A (NIM-A)*, **610** (2009) 87–92.
- 3. З.Й.Садыгов, А.Г.Ольшевский, Н.В.Анфимов, Ф.И.Ахмедов, В.Н.Жежер, З.В.Крумштейн, Р.Х.Мухтаров, В.В.Чалышев, И.Е.Чириков-Зорин, Международная Конференция «Инженерия Сцинтилляционных Материалов и Радиационные Технологии», Харьков, Украина, (2010) 52.
- 4. F.I.Ahmadov, N.V.Anfimov, Z.V.Krumshtein, R.S.Madatov, R.N.Mechtiyeva, A.A.Nozdrin, A.Q.Olshevski, V.N.Shvetsov, Z.Y.Sadygov, S.I.Tyutyunnikov, V.N.Zhezher, *International Conference on Perspectives of Peaceful use of Nuclear Energy (ICPPNE), Baku, Azerbaijan, 8-10 November*, (2010).
- 5. Z.Y.Sadygov, R.S.Madatov, F.I.Ahmadov, *ICPPNE*, *Baku*, *Azerbaijan*, 8-10 *November*, (2010).

INVESTIGATION OF RADIATION HARDNESS OF MICRO-PIXEL AVALANCHE PHOTODIODES (MAPD)

MİKRO-PİKSELLİ SELVARİ FOTODİODLARIN RADİASİYAYA DAVAMLILIĞININ TƏDQİQİ

F.İ.ƏHMƏDOV, R.S.MƏDƏTOV, Z.İ.SADIQOV, Y.M.MUSTAFAYEV

Bu iş Mikro-pikselli selvari fotodiodların xarakteristiq parametrlərinə alfa zərəciklərin və protonların təsirinin öyrənilməsinə həsir edilmişir.Tədqiqat nəticəsində müəyyən edilmişdir ki, alfa və proton selinin uyğun qiymətləri (6,1·10⁸ alfa/sm² və 1,0·10¹⁰ proton/sm²), MSFD üçün kritik doza deyil. Şüalanma dozasının sonrakı qiymətlərində, qaranlıq cərəyanın və gücləndirmə əmsalının dəyişməsinə baxmayaraq, diod öz işləmə qabilyətini saxlayır. Alınan nəticələr göstəriri ki, MSFD alfa zərəciylərini qeyd etmək üçün istifadə edilə bilər.

ИССЛЕДОВАНИЕ РАДИАЦИОННОЙ СТОЙКОСТИ МИКРО- ПИКСЕЛЬНЫХ ЛАВИННЫХ ФОТОДИОДОВ (МЛФД)

Ф.И.АХМЕДОВ, Р.С.МАДАТОВ, З.И.САДИКОВ, Ю.М.МУСТАФАЕВ

Работа посвящена исследованию радиационных повреждении, вызванных потоками альфачастиц и протонов на микро-пикселный лавинный фотодиод (МЛФД). Результаты исследования показывают, что поток альфа-частиц $6,1\cdot10^8$ альфа/см² и протонов $1,0\cdot10^{10}$ протон/см² не являются критической величиной для МЛФД, т.е. прибор все еще остается работоспособным. Результаты позволяют использовать такие диоды для регистрации альфа-частиц.

Редактор: О.Абдинов

UOT 534

TISe KRİSTALININ QƏFƏS DİNAMİKASI V.N.CƏFƏROVA¹, H.S.ORUCOV^{1,2}

Azərbaycan MEA-nın Fizika İnstitutu¹ AZ 1143, Bakı şəh., H.Cavid, 33 Azərbaycan Texniki Universiteti² AZ 1073, Bakı şəh., H.Cavid, 25

Daxil olub: 16.05.2011

Çapa verilib: 12.09.2011

Açar sözlər: *TlSe*, təməl prinsiplər, Funksional Sıxlıq Nəzəriyyəsi, Lokal Sıxlıq Yaxınla Gması, Born effektiv yükü, dielektrik sabiti tenzoru, elastiki sabitlər, fonon hal sıxlığı, istilik tutumu

REFERAT

ABĠNĠT programlar paketi istifadə olunmaqla ĠŒ Funksional Sıxlıq HəyəcanlaQna Nəzəriyyəsi əsasında normanı qoruyan Hartwigsen-Goedecker-Hutter psevdopotensialları ilə TlSe zəncirvari kristalının fonon spektri təməl prinsiplərdən hesablanmıG və onun fiziki ara@dırılmı@dır. Hesablanmı@ fonon spektri əsasında BZ-nın mərkəzində Raman, infraqırmızı-aktiv və qeyri-aktiv modlar, onların simmetriyaları, optik fonon tezliklərinin uzununa və eninə modlara parçalanmaları və bu parçalanmaların spektrə təsiri tədqiq olunmuÇdur. GÇad TlSe birləÇnəsi üçün Born effektiv yük və dielektrik tenzorları, elastiki sabitlər, molyar istilik tutumu, fonon hal sıxlığı təməl prinsiplərdən hesablanmı Glir. Hesablanmı Gelastiki sabitlər istifadə olunmaqla kristalda yayılan akustik dalğaların sürətləri təyin edilmi@dir.

GÖRÖZ

Gdə kristal qurulu Gundakı kəskin anizotropluğu ilə seçilən zəncirvari qurulu Gu TlSe birləQnəsinin fonon spektri və onun əsasında bir sıra fiziki parametrlər təməl prinsiplərdən, yəni atomlararası qarGlıqlı təsirin model təsəvvürlərinə əsaslanmadan Funksional Sıxlıq Nəzəriyyəsinin Lokal Sıxlıq Yaxınla Gması ilə ara Glırılmı Gdr.

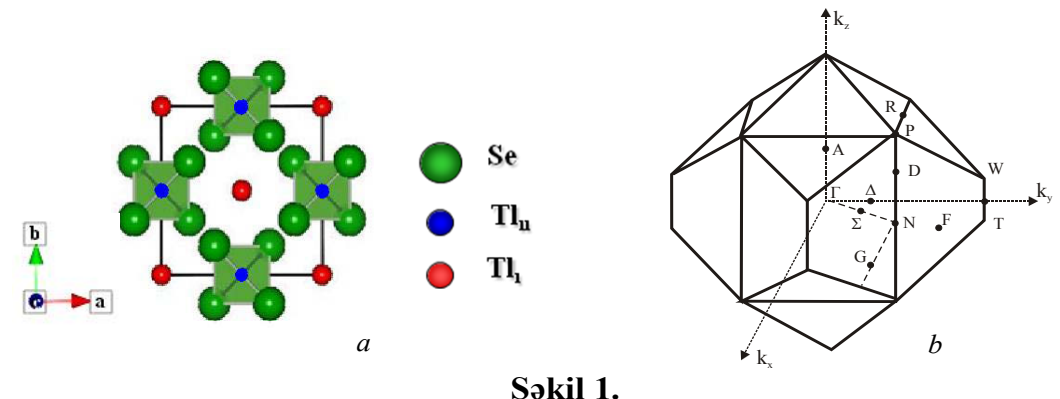
Təqdim olunan iGəqədər TlSe-in fonon spektri model hesablamalarla tədqiqatçılar tərəfindən əvvəllər hesablamı Gdr. Həmin i Qərdə TlSe-in fonon spektri müəlliflərin qəbul etdiyi atomlararası qarGlıqlı təsir modelinə doqquz ədəd uyğunlaGlırma parametrləri daxil etməklə və Brillouin zonasının (BZ) mərkəzində infragırmızı əksolmadan (beG tezlik) və Raman spektrindən (altı tezlik) təyin edilmiGon bir ədəd eksperimental fonon tezliklərinə uyğunla@dırma proseduru aparmaqla hesablanmı@ lakin fonon tezliklərindən bəzilərini düzgün identifikasiya etmək mümkün olmamıÇdır: məsələn, 204sm⁻¹ (simmetriyası - $\Gamma_4(B_{2g})$) fonon tezliyinə uyğun model hesablamalardan $72sm^{-1}$; $93sm^{-1}$ ($\Gamma_4(B_{2g})$) tezliyinə uyğun $25sm^{-1}$ alınmıÇdr. Qəbul edilmiÇ model, həm də BZ-nın mərkəzində infraqırmızı-aktiv fonon tezliklərinin uzununa və eninə modlara parçalanmalarını düzgün hesablamağa, bu parçalanmaların bütövlükdə spektrə təsirini tədqiq etməyə yararlı deyildir.

TISe-ÖN KRÖSTAL QURULUĠU, TARAZLIQ HALININ QƏFƏS PARAMETRLƏRĞ

TlSe birləÇnəsinin kristalloqrafik quruluÇuilk dəfə [1] iÇində öyrənilmiÇdr. TlSe kristalı zəncirvari qurulu Gamalik olub, qurulu Gtipi B37, qəfəsi həcməmərkəzlə Gmi G tetragonal, otaq temperaturunda fəza simmetriya qrupu $D_{4h}^{18}(I4/mcm)$ -dir.

[2] iGində TlSe tipli yarımkeçiricilər üçün aGağıdakı kimyəvi rabitə modeli təklif olunmuÇdur Bu quruluÇdaüçüncü grup elementləri fərqli kristalloqrafik vəziyyətlərdə durur. TlSe-in kristal quruluQu ion-kovalent rabitə hesabına yaranır. Belə ki, Tl atomlarının yarısı (Tl_I) öz xarici p-elektronunu digər Tl atomlarına (Tl_{II}) verir və bu

zaman Tl_I^{1+} ionuna çevrilir. Tl_{II}^{1-} ionu malik olduğu dörd elektronla sp^3 -konfiqurasiya əldə edir və halkogen atomları (Se) ilə tetraedrik rabitə yaratmaq imkanı qazanır. Tetraqonal ox boyunca düzülmüÇtetraedr zəncirləri bu qayda ilə əmələ gəlir. Biryüklü Tl_I^{1+} ionları səkkiz ədəd Se atomunun əhatəsində olmaqla kovalent rabitədə iÇirak etmir. Beləliklə, tetraqonal özəkdə dörd ədəd $TlTlSe_2$ molekulu yerləÇir. Deməli, TlSe kristalında zəncirlərdə üçvalentli tallium və ikivalentli selen arasında (Tl^{3+} - Se^{2-}) kovalent, birvalentli tallium və onu oktaedrik əhatə edən ikivalentli selen ionları arasında isə (Tl^+ - Se^{2-}) ion rabitəsi mövcuddur. AÇığıda gəkil 1.a və gəkil 1.b-də uyğun olaraq a-b müstəvisində TlSe tip birləÇmələrin kristal quruluÇu vəBZ təsvir edilmiÇdir [3].



a) TlSe tip birlə Grablərin kristal qurulu Gu; b) həcməmərkəzlə Grai Gtetraqonal qəfəs (c/a < 1) üçün Brillouin zonası [3].

TlSe, onun binar və üçqat analoqlarının elektrik, fotoelektrik, optik və digər xassələrində onların praktiki tətbiqinə geniÇ imkanlar yaradan bir sıra maraqlı xüsusiyyətlər aÇkar edilmiÇdr. Bu birləÇmələr texnikada tətbiq olunmaq üçün əlveriÇl materiallar olmaqla geniÇ exniki tətbiq imkanlarına malikdirlər [4].

Təməl prinsiplərdən fonon spektrini gurmaq üçün əvvəlcə TlSe birləGnəsi üçün tam enerjinin minimuma gətirilməsi ilə tarazlıq halının qəfəs və halkogen parametrləri təyin edilmiGdi. Hesablamalar normanı goruyan Hartwigsen-Goedecker-Hutter [5] ion psevdopotensialları istifadə olunmaqla Funksional Sıxlıq HəyəcanlaGna Nəzəriyyəsinin [6] Lokal Sıxlıq Yaxınla Çmasında [7] ABÖNÖT proqramlar paketi [8] ilə yerinə yetirilmiGdir. Kristal üçün Kohn-Sham tənliklərinin [7] həllində qoGna qradient minimalla@irma metodu [9] tətbiq edilmi@dr. Dalğa funksiyalarının sıraya ayrılı@nda enerjiləri 20Ha-ni aQmayan müstəvi dalğalardan istifadə olunmuQdur Korelyasiya effektləri Ceperley-Alder-Perdew-Zunger [10] sxemi üzrə nəzərə alınmı Gdr. BZ üzrə integrallama Monkhorst-Pack [11] sxemi üzrə 2x2x2 və 4x4x4 gridlərlə yerinə yetirilmi Gdr. Tl üçün psevdopotensialın seçilməsində atomun 5d-elektronlarının valent və ya özək hallarına aid edilməsi ilə əlaqədar olaraq iki hala baxılmıÇdır. Bir halda Tl atomunun [Xe]+4f¹⁴5d¹⁰ elektron konfiqurasiyası özək, 6s²6p¹ elektronları isə valent elektronları-, digər halda [Xe]+4f¹⁴-konfiqurasiyası özək, 5d¹⁰6s²6p¹ elektronları isə valent elektronları hesab edilmiGdr. GGd bu hallar üçün psevdopotensiallar müvafiq olaraq Tl-HGH və Tl-HGH(d) kimi iÇazə edilmiÇdr.

TlSe üçün təməl prinsiplərdən hesablanmıG termodinamik tarazlıq halının qəfəs parametrləri a, c və halkogen parametri x Cədvəl 1-də gətirilmiGdir. Müqayisə üçün hesablanmıGnəzəri nəticələr, həmçinin eksperimental nəticələr və onların eksperimental qiymətlərdən fərqi faizlərlə yandakı sütunda verilmiGdir. Göründüyü kimi, TlSe üçün hesablanmıGkristal parametrlərinin qiymətləri eksperimental qiymətlərlə yaxG uyğunluq təGkli edir. TlSe üçün təməl prinsiplərdən hesablanmıG tazazlıq qəfəs və halkogen parametrlərinin qiymətləri əsasında kristalı təGkli edən ionlar (Tl^{I+} , Tl^3 və Se^{2-}) arasındakı rabitə uzunluqları və digər yaxın məsafələr təyin edilmiGvə Cədvəl 2-də gətirilmiGdir.

V.N.CƏFƏROVA, H.S.ORUCOV

Müqayisə üçün cədvəldə [1] iÇində eksperimental təyin edilmiÇ qəfəs və halkogen parametrlərinin qiymətlərinə görə tipik rabitə uzunluqları və digər yaxın atomlararası məsafələr də verilmiÇdr.

Cədvəl 1.TlSe üçün hesablanmı Gqəfəs və halkogen parametrləri.

	Parametr	Psp: Tl-HGH, 2	22, 20Ha	Psp:Tl-HGH((d), 222, 20Ha	Eksp. [1]
	a, Å	7.794	2.8 %	7.814	2.6 %	8.02±0.01
	c, Å	6.630	5.3 %	6.884	1.7 %	7.00 ± 0.02
Γ	x	0.1795	0.3 %	0.186	3.9 %	0.179±0.0009

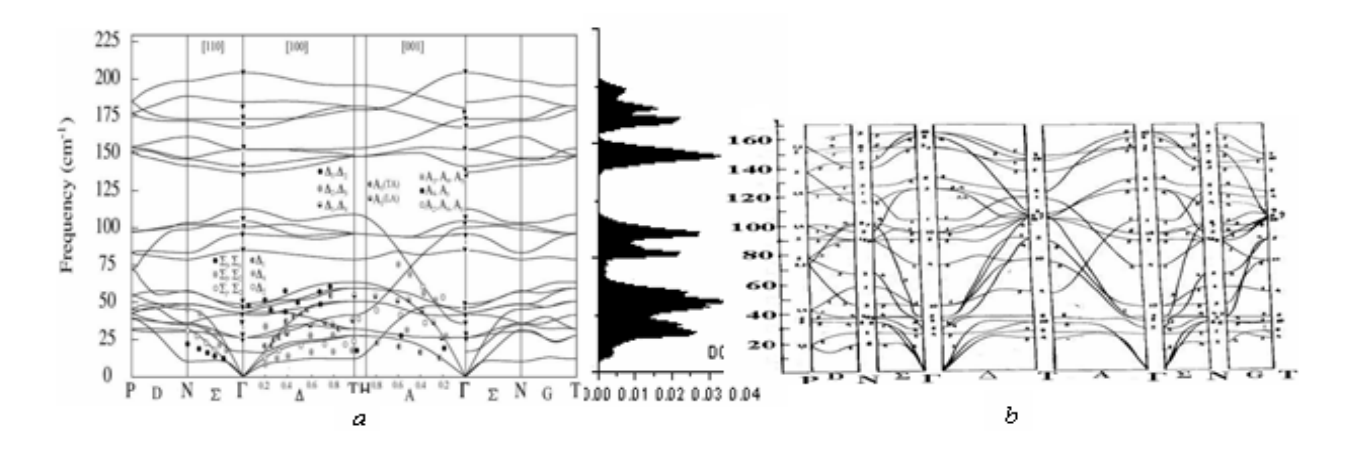
Cədvəl 2.

TlSe kristalını təÇkil edən atomlar arasındakı hesablanmıÇrabitə uzunluqları və digər yaxın məsafələr (MP qrid: 2x2x2, maksimal kinetik enerji 20Ha).

Məsafələr	Psp: Tl-HGH,	Psp: Tl-HGH(d),	Eksp.[1]
	Se-HGH	Se-HGH	
$d(Tl^{3+}-Se^{2-})$	2.585 Å	2.681 Å	2.68Å
$d(Tl^{l^+}-Se^{2^-})$	3.307 Å	3.331 Å	3.43Å
$d(Tl^{3+}-Tl^{3+})=d(Tl^{+}-Tl^{+})$	3.31 Å	3.442 Å	3.5Å
$d(Se^{2^{2}}-Se^{2^{2}})$	3.657 Å	3.721 Å	3.85Å
$d(Tl^{3+}-Tl^{I+})$	4.047 Å	3.907 Å	4.01Å
$d(Se^{2^{2}}-Se^{2^{2}})$	3.897 Å	4.033 Å	4.17Å

TISe-ÖN TƏMƏL PRÖNSÖPLƏRDƏN HESABLANMI İ FONON SPEKTRÖ

TlSe üçün BZ-nın bütün mühüm simmetriya xətləri üzrə hesablamalardan alınmıĞ (üç ədəd akustik və iyirmi bir ədəd optik budaq olmaqla) dispersiya əyrilərindən ibarət fonon zona quruluĞuğəkil 2.a-da verilmiĞdr. Spektrin sağ tərəfində fonon hal sıxlığı təsvir edilmiĞdr [12]. TlSe üçün qeyri-elastiki neytron [13], infraqırmızı və Raman səpilməsi eksperimentlərindən [14,15] alınmıĞfonon tezlikləri müqayisə üçün gəkil 2.a-da göstərilmiĞdr. gəkildə qeyri-elastiki neytron səpilməsindən təyin edilmiĞ fonon tezlikləri kiçik dairələrlə, infraqırmızı və Raman səpilməsi eksperimentlərindən alınmıĞ tezliklər üçbucaqlar ilə iĞatə edilmiĞdir. TlSe-in əvvəllər model təsəvvürlərə əsaslanmaqla hesablanmıĞ fononspektri [16] müqayisə üçün gəkil 2.b-də verilmiĞdir.



Səkil 2.

a)TlSe-in hesablanmıG 6non spektri (bütöv əyri) və fonon hal sıxlığı. Eksperimentlər: qeyri-elastiki neytron səpilməsi [13]-dairələr, Raman səpilmə və infraqırmızı əksolma [14,15]-üçbucaqlar; b)TlSe-in model təsəvvürlərdən hesablanmıG fonon spektri [16].

TISe KRÖSTALININ QƏFƏS DÖNAMÖKASI

Müəyyən edilmi Gdir ki, TlSe üçün qurulmu Gfonon spektrində BZ-nın P və R simmetrik nöqtələrini birlə Gdirən K xətti boyu zonalar zaman inversiyası simmetriyasına görə ikiqat cırla Gmı Gdir (Gəkildə gətirilməmi Gdir). BZ üzrə D və A xətləri boyu bəzi fonon budaqlarında nisbətən güclü dispersiya mü Ganidə olunur və 110÷140sm¹ tezlik intervalında yasaq aralıq mövcuddur. Bundan əlavə spektrdə akustik və a Gağı tezlikli optik budaqlar a Gağı ölçülü birlə Gmələr üçün xarakterik olan Gəkildə daha a Gağı tezliklərdə yerlə Gir. TlSe üçün BZ-nın mərkəzində təməl prinsiplərdən və əvvəllər model təsəvvürlərdən hesablanmı G[16], həmçinin eksperimentlərdə [14,15] əldə edilmi Gfonon tezlikləri müqayisə edilərək simmetriyalarına görə qrupla Gdırılmi Gvə Cədvəl 3-də verilmi Gdir.

Cədvəl 3.

TlSe üçün Γ nöqtəsində hesablanmı Gfonon tezlikləri ilə infraqırmızı (IR) əksolma və Raman (R) səpilməsi eksperimentlərindən [14,15] və model hesablamalardan [16] alınmı Gqiymətlərin müqayisəsi.

Simmetriya, optik spektrdə fonon	ω _{hes.} (sm ⁻¹)psp Tl- HGH222-MPqrid,20.0Ha	Ekspo	eriment	Model hes.
aktivliyi		[14]	[15]	[16]
Γ_5 (E _g)	26.8 (7.5%)	29R	29R	29
R-aktiv	43.3 (12%)	38R	38R	37
	151.8 (7.1%)	141R	135R	125
$\Gamma_9(A_{2u})$	17.6 (32%)/35.3 (3.8%)	26/33IR	26/34IR	34
ĠRaktiv	135.8 (0.1%)/177.2 (1%)	136/173IR	134/179IR	160
$\Gamma_{10} \left(E_{\mathrm{u}} \right)$	42.1 (6.4%)/48.8 (2.4%)	46 /50IR	45/50IR	44
ĠRaktiv	96.1 (9%)/112.6 (4%)	88/103IR	88 /108IR	95
	166.3 (5%)/183.0 (4.6%)	158/175IR	158/175IR	164
Γ_4 (B _{2g})	100.3 (7.3%)	93R	93R	25
R-aktiv	203.1 (0.4%)	204R	204R	72
Γ ₃ (B _{1g}) R-aktiv	105.1	-	-	154
$\Gamma_1(A_{1g})$ R-aktiv	171.9 (8%)	159R	159R	104
$\Gamma_2 \left(A_{2g} \right)$	46.7	_	-	90
qeyri-aktiv	85.4	_	-	154
Γ ₆ (B _{1u}) qeyri-aktiv	140.4	-	-	133

HesablanmıG fonon tezliklərindən sonra mötərizələrdə tezliklərin uyğun eksperimental qiymətlərdən fərqinin nisbi xətaları verilmiGdi. Cədvəldə uzununa və eninə optik modlara parçalanmalardan alınan tezliklərin qiymətləri bir-birindən maili xəttlə ayrılmıGdr. Cədvəldən göründüyü kimi, *TlSe* üçün Γ nöqtəsində hesablanmıGən kiçik optik fonon tezliyi $16.8sm^{-1}$ (LO-TO parçalanmadan alınır) (eksp.: $26sm^{-1}$), simmetriyası $\Gamma_9(A_{2u})$, infraqırmızı-aktiv; ən böyük tezlik $203.5sm^{-1}$, simmetriyası Γ_4 (B_{2g}), Raman-aktiv olub, simmetriyaca və kəmiyyətcə eksperimentlə əla uyğunluq təGkl edir (eksp.: $204sm^{-1}$) [14,15]. Fonon tezlikləri üçün infraqırmızı-, Raman səpilməsi

[14,15] və qeyri-elastiki neytron səpilməsindən [13] alınan eksperimental qiymətlərlə iÇdə təməl prinsiplərdən hesablamalardan alınan nəticələr yaxQ uyğunluq təQkl edir. [12,13] iQbrində Γ_3 (B_{1g}) simmetriyalı R-aktiv (hes.: $105.1sm^{-1}$), rəqsləri Γ_2 (A_{2g}) və Γ_6 (B_{1u}) təsvirləri ilə çevrilən qeyri-aktiv fonon modları (hes.: 46.7; 85.4; və $140.4sm^{-1}$) eksperimentdə müQdə edilməmiQdə.

Sonda *TlSe* birləÇnəsi üçün model fonon spektri (ġəkil 2.*b*) hesablamalarında nəzərə çarpan bəzi çatıÇnazlıqları qeyd etmək istərdik:

- 1. [14,15] eksperimental i \Graphi brində Γ nöqtəsində ən böyük fonon tezliyi uyğun olaraq $204sm^{-1}$ olduğu halda model hesablamalarda [16] $164sm^{-1}$ alınmı \Graphi dr.
- 2. [16]-da model hesablamaların [14,15] eksperimental iÇlərə uyğunlaÇılırma proseduru aparılmaqla yerinə yetirilməsinə baxmayaraq bəzi tezlikləri identifikasiya etmək mümkün olmamıÇdır: məs., $204sm^{-1}$ fonon tezliyinə uyğun model hesablamadan $72sm^{-1}$ (Γ_4 (B_{2g})); $93sm^{-1}$ -ə uyğun $25sm^{-1}$ (Γ_4 (B_{2g})) alınmıÇdır.
- 3. Model fonon spektrində (gəkil 2.b) *TlSe* birlə Qməsinin ion komponentlərinin yaratdığı Kulon sahəsinin təsiri ilə fonon tezliklərinin uzununa (LO) və eninə (TO) modlara parçalanmalarının fonon spektrinə təsiri tədqiq edilməmi Qdr.

BORN EFFEKTÓV YÜKLƏRĞVƏ DÖELEKTRÖK SABÖTÖTENZORLARI

TlSe kristalı üçün Born effektiv yükləri və dielektrik sabiti tenzorlarının hesablamaları ABÖNÖT paketinə daxil olan ANADDB proqramı ilə yerinə yetirilmi Gdi. TlSe birlə Gnəsi üçün təməl prinsiplərdən Born effektiv yüklərini hesablamaq üçün a Qığıdakı ifadədən istifadə edilmi Gdr [17]:

$$Z_{i,\alpha,\beta}^* = Z_i + \frac{\Omega_0}{|e|} \frac{(\Delta P_{el})_{\alpha}}{u_{\beta i}},\tag{1}$$

burada Ω_0 - kristallik bəsit özəyin həcmi, Z_i *i*-ci atomun ion yükü, $u_{\beta i}$ isə elementar özək R-də i-ci atomun β istiqamətində tarazlıq vəziyyətindən yerdəyiGməsidir.

Dielektrik sabiti tenzoru a@gidakı ifadə ilə hesablanmı@dr [17]:

$$\epsilon_{\alpha\beta} = \frac{\partial D_{mac,\alpha}}{\partial E_{mac,\beta}} = \delta_{\alpha\beta} + 4\pi \frac{\delta P_{mac,\alpha}}{\delta E_{mac,\beta}},$$
(2)

burada D_{mac} makroskopik elektrik sahəsinin induksiya vektoru, E_{mac} intensivliyi, P_{mac} deformasiya hesabına əmələ gələn polyarlaQmadır.

Hesablamalarda 6x6x6 MP *q*-qrid, müstəvi dalğaların maksimal kinetik enerjisi 60*Ha* götürülmüÇdür Akustik cəmləmə qaydasının əvvəlki hesablamalarla müqayisədə daha dəqiq ödənilməsi hesablamanın dəqiqliyinin kifayət qədər yüksək olmasını Gətləndirir:

$$Z^{*}_{xx}(Tl_{I})+2Z^{*}_{xx}(Tl_{II})+4Z^{*}_{xx}(Se)=2Z^{*}_{yy}(Tl_{I})+2Z^{*}_{yy}(Tl_{II})+4Z^{*}_{yy}(Se)$$

$$=2Z^{*}_{zz}(Tl_{I})+2Z^{*}_{zz}(Tl_{II})+4Z^{*}_{zz}(Se)=-0.02.$$

Hesablamanın nəticələri Cədvəl 4-də gətirilmi Gdir. Müəyyən edilmi Gdir ki, TlSe-in elementar özəyini tə Glil edən iki növ Tl atomlarının bir-birindən fərqi bu atomlar üçün zəncirlərə paralel istiqamətdə hesablanmı GBorn effektiv yükləri arasında təxminən iki dəfə fərqdə özünü göstərir: $Z_{zz}^*(Tl^{I^+})=2.41e$ və $Z_{zz}^*(Tl^{3^+})=4.06e$. Zəncirlərə perpendikulyar istiqamətdə bu atomların $(Tl^{I^+}$ və $Tl^{3^+})$ Born effektiv yükləri arasında əhəmiyyətli fərq yoxdur: $Z_{xx}^*(Tl^{I^+})=Z_{yy}^*(Tl^{I^+})=2.74e$, $Z_{xx}^*(Tl^{3^+})=Z_{yy}^*(Tl^{3^+})=2.45e$. Tl atomları üçün Born effektiv yük tenzoru diaqonal Gəkilə malikdir. Se atomları üçün yalnız $Z_{xy}^*(Se^{2^-})=Z_{yx}^*(Se^{2^-})$ qeyri-diaqonal element sıfırdan fərqli olub, (±0.11e) diaqonal elementlərin təxminən 4%-ni tə Glil edir. [18] i Gində TlSe-in optik spektrləri əsasında təyin edilmi G dielektrik sabitinin qiymətləri $E \parallel c$ və $E \perp c$ polyarla Gmalarında

TISe KRĠSTALININ QƏFƏS DÖNAMÖKASI

 $\epsilon_{\infty\parallel} = 11.5 \text{ və } \epsilon_{\infty\perp} = 10.8 \text{ alınmı} \text{Gdr.} [19]-da yüksək fonon tezliyi oblastında, səpilmə spektrindən tapılmı yüksəktezlikli dielektrik sabitləri üçün <math>\epsilon_{\infty\parallel} = 10.1 \text{ və } \epsilon_{\infty\perp} = 9$, [20] i yüksəktezlikli optik ölçmələrdən təyin edilmi yülləri i sabitləri üçün isə $\epsilon_{\infty\parallel} = 13.4 \text{ və } \epsilon_{\infty\perp} = 12 \text{ alınmı} \text{yür.} \text{ Cədvəl } 5\text{-də } \text{TlSe}$ üçün təməl prinsiplərdən hesablamalardan alınmı yülləri i sabitlərinin qiymətləri ilə əldə edilmi yülləri və eksperimental qiymətlər müqayisə edilmi yür. Müəyyən edilmi yür ki, tetraqonal koordinat sistemində kristalın dielektrik sabiti tenzoru diaqonal yökilə malik olub, $\epsilon_{xx} = \epsilon_{yy} = 12.8 \text{ və } \epsilon_{zz} = 13$, kristalın dielektrik xassələrində ciddi anizotropluğun olmadığını göstərir.

Cədvəl 4.

TlSe üçün Born effektiv yüklərinin hesablanmı Çqiymətləri (MP qrid: 6x6x6, maksimal kinetik enerji 60*Ha*).

Effektiv yüklər									Özək	üzrə
$Z^*(Tl_I)$			$Z^*(Tl_{II})$			$Z^*(Se)$			yüklərin	cəmi
2.74	0	0	2.45	0	0	-2.60	± 0.11	0	-0.02	
0	2.74	0	0	2.45	0	±0.11	-2.60	0	-0.02 -0.02	
0	0	2.41	0	0	4.06	0	0	-3.24	-0.02	

Cadval 5.

TlSe üçün hesablanmı Çdielektrik sabiti tenzorunun qiymətləri.

Dielektrik sabiti	Hesablama	Optik hesab.	Eksp. [19]	Ellipsometrik eksp. [20]
$\in_{\infty\parallel}$	13	11.5	10.1	13.4
$\in_{\infty\perp}$	12.8	10.8	9	12

FONON HAL SIXLIĞI (PHONON DOS)

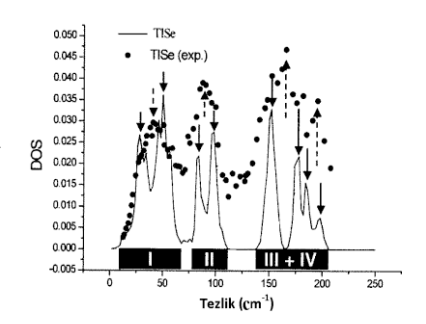
 G_{Φ} , həmçinin TlSe-in BZ-nın ixtiyari q fonon dalğa vektorları üçün olduqca sıx (32x32x32) q fonon dalğa vektorları qridi götürməklə fonon hal sıxlığı hesablanmıG, yasaq aralıq, qruplar və alt qruplar müəyyən edilmi G_{Φ} . Fonon hal sıxlığı $g(\omega)$ vahidə normalla G_{Φ} lırılmı G_{Φ} :

$$\int_0^{\omega_{\text{max.}}} g(\omega) d\omega = 1, \tag{3}$$

burada

$$g(\omega) = \sum_{q,j} \delta(\omega - \omega_j(\vec{q})). \tag{4}$$

TlSe üçün hesablanmı Gonon hal sıxlığı gəkil 3-də verilmi Gdi. gəkildə kristal üçün hesablamadan (bütöv əyri) və qeyri-elastiki neytron səpilməsi eksperimentlərindən [13] alınmı G (dairələr) fonon hal sıxlıqları müqayisə edilmi Gdr. Sonuncu Gəkildə oxlarla yüksək sıxlıqla paylanmı Gtezliklər (piklər) göstərilmi Gdir. TlSe-in fonon hal sıxlığı mənzərəsini dörd tezlik zonasına ayırmaq olar. Müəyyən edilmi Gdir ki, birinci zonadakı a Gağı tezlikli fononlar Tl^{+l} ionundan və $(Tl^{3+}Se_2^{2-})^{l-}$ zəncir hissəsindən ibarət, ikinci zonadakı orta tezlikli fononlar $Se^{2-}+Tl^{3+}$ və Se^{2-} , yaxın yerlə Gni Güçüncü və dördüncü zonalardakı yüksək tezlikli fonlar Se^{2-} və Se^{2-} və Se^{2-} 0 və Se^{2-} 1 və Se^{2-} 1 və Se^{2-} 2 və Se^{2-} 3 və Se^{2-} 3 və Se^{2-} 4 və Se^{2-} 4 və Se^{2-} 5



Şəkil 3.

TlSe-in fonon hal sıxlığı [10]; (bütöv əyri-hesablama; dairələr-qeyri-elastiki neytron səpilməsi eksperimenti [13]).

TISe ÜÇÜN ELASTĞK**Ğ**ABĞTLƏR

Təqdim edilən iÇdən əvvəl *TlSe* üçün elastiki sabitlər eksperimental və model təsəvvürlərə əsaslanmaqla təyin edilmiÇdir. Ədəbiyyatda bu kəmiyyətlərin təməl prinsiplərdən hesablanmasına rast gəlinmir. [21]-də elastiki sabitlər akustik dalğaların sürətlərinin eksperimentdən tapılmıÇ qiymətləri əsasında, [22] iÇndə *TlSe*-də akustik dalğaların yayılma sürətləri kristalloqrafik ox [001] və [110] istiqamətlərdə impuls metodu ilə təyin olunmuÇ və alınmıÇ qiymətlərdən istifadə etməklə *TlSe*-in elastiki sabitləri təyin edilmiÇdir. [23] iÇndə *TlSe* üçün elastiki sabitlər neytronların qeyri-elastiki səpilməsi eksperimentindən tapılmıÇdir.

ABÖNÖT-də ixtiyari təzyiqdə elastiki sabitlərin hesablanması üçün aÇığıdakı ifadədən istifadə olunur [24]:

$$c_{ijkl} = \frac{1}{V_0} \frac{d}{d\eta_{kl}} \left(V \sigma_{ij} \right) - \sigma_{ij}^0 \delta_{kl}, \tag{5}$$

burada V_0 -deformasiya edilməmiG, V-deformasiya olunmuG kristalın həcmi, η_{kl} və σ_{ij} kəmiyyətləri uyğun olaraq deformasiya və mexaniki gərginlik tenzorlarının, σ_{ij}^0 elastiki sabitləri hesablayarkən tətbiq olunan gərginlik tenzorunun elementləridir.

Cədvəllərdə elastiki sabitlər üçün Voigt iĞatələmələrindən istifadə edilmiĞdr [23]. Bu iĞatələmələrə görə $(xx)\leftrightarrow 1$, $(yy)\leftrightarrow 2$, $(zz)\leftrightarrow 3$, $(yz)=(zy)\leftrightarrow 4$, $(xy)=(yx)\leftrightarrow 6$, $(xz)=(zx)\leftrightarrow 5$. Qeyd edək ki, həcməmərkəzləĞniĞ tetraqonal kristalın simmetriya xassələrindən alınır ki, elastiki sabitlərin komponentləri arasında aĞatıdakı münasibətlər mövcuddur: $c_{11}=c_{22}$, $c_{44}=c_{55}$, $c_{12}=c_{21}$, $c_{13}=c_{31}$, $c_{23}=c_{32}$, $c_{44}=c_{55}$. Bu münasibətlər doqquz ədəd sıfırdan fərqli elementdən asılı olmayanların sayını altıya endirir. Beləliklə, həcmmərkəzləĞniĞtetraqonal kristal üçün asılıolmayan elastiki sabitlər - c_{11} , c_{12} , c_{13} , c_{33} , c_{44} və c_{66} -dır.

TlSe kristalında elastiki sabitlər üçün Se-HGH, Tl-HGH və Tl-HGH(d) psevdopotensialları ilə "relaksasiya olunmuĞ" və "bərkidilmiĞ" ion yaxınlaÇmalarında yerinə yetirilmiĞ hesablamaların nəticələri Cədvəl 6-da və cədvəl 7-də verilmiĞdir. Cədvəl 6-da müqayisə üçün, həmçinin eksperimentdən [21,22] alınmıĞelastiki sabitlərin qiymətləri gətirilmiĞdir. Cədvəl 6-ya diqqətlə baxdıqda elastiki sabitlərin eksperimental qiymətləri arasında böyük xəta ilə alınan qiymətləri görmək olar. Elastiki sabitlərin qiymətlərində doymanın alınmasını təmin etmək məqsədi ilə müstəvi dalğaların maksimal kinetik enerjiləri 20Ha, 40Ha və 60Ha, cəmləmə nöqtələri isə 2x2x2, 4x4x4, 6x6x6 qridləri üzrə götürülməklə hesablamalar aparılmıĞdır.

Cədvəl 6.TlSe üçün elastiki sabitlərin "relaksasiya olunmuĞ"ion yaxınlaĞmasında qiymətləri (10GPa).

c_{11}	c_{12}	c_{13}	C33	C44	C ₆₆	
5.0	2.34	2.25	6.81	1.19	1.51	40Ha,444,Se-HGH,Tl-HGH(d)
5.22	2.34	2.35	7.24	1.39	1.52	40Ha,666,Se-HGH,Tl-HGH(d)
5.12	2.27	2.31	7.54	1.25	1.44	60Ha,444,Se-HGH,Tl-HGH(d)
5.33	2.21	2.14	8.33	1.45	1.56	40Ha,444,Se-HGH,Tl-HGH
5.31	2.22	2.15	8.30	1.53	1.58	40Ha,666,Se-HGH,Tl-HGH
5.31	2.21	2.14	8.33	1.45	1.56	60Ha,444,Se-HGH,Tl-HGH
4.2	1.19	-	6.85	1.3	1.6	Eksp.[23, s. 36]
4.5	0.3	1.7	4.2	3.2	1.2	Eksp. [21]
3.9	0.79	3.12	7.28	1.27	1.57	Eksp. [22]

Nəzəri təhlillər nəticəsində müəyyən edilmi Gdir ki, elastiki sabitlər üçün 60*Ha*, 4x4x4 Monkhorst-Pack qridi ilə alınmı Gnəticələr hesablamalarda istifadə olunan hər iki psevdopotensial (Se-HGH, Tl-HGH və Tl-HGH(d)) üçün ən etibarlı hesab oluna bilər.

Cədvəl 7.**TiSe üçün elastiki sabitlərin "bərkidilmiĞ" ion yaxınlaÇmasında qiymətləri (10GPa).

c_{II}	c_{12}	c_{13}	c_{33}	c_{44}	c_{66}	
6.74	3.88	4.14	8.99	3.62	3.46	40Ha,444,Se-HGH,Tl-HGH(d)
6.95	3.87	4.24	9.45	3.75	3.49	40Ha,666,Se-HGH,Tl-HGH(d)
6.86	3.81	4.20	9.72	3.69	3.38	60Ha,444,Se-HGH,Tl-HGH(d)
7.33	3.94	4.11	10.4	3.91	3.65	40Ha,444, Se-HGH,Tl-HGH
7.31	3.94	4.13	10.4	3.95	3.69	40Ha,666,Se-HGH,Tl-HGH
7.31	3.94	4.11	10.4	3.91	3.65	60Ha,444, Se-HGH,Tl-HGH

TlSe üçün təməl prinsiplərdən hesablamalardan təyin edilmiG elastiki sabitlərin qiymətləri c_{12} istisna olmaqla eksperimental və model hesablamadan alınmıGqiymətlər ilə yaxG uyğunluq təGkl edir. c_{12} üçün eksperimentlərdən alınan qiymətər iGdə alınan qiymətlərə nisbətən xeyli kiçik olmaqla bir-birlərindən çox fərqlənirlər: $(2.21 \cdot 10^{10} Pa-hes.; eksp. [21,22,23]: 0.3 \cdot 10^{10} Pa; 0.79 \cdot 10^{10} Pa; 1.19 \cdot 10^{10} Pa)$.

TISe KRÖSTALINDA YAYILAN AKUSTÖK DALĞALARIN SÜRƏTLƏRÖ

Go TlSe üçün hesablanmıG elastiki sabitlərin qiymətləri əsasında bu kristalda yayılan eninə və uzununa akustik dalğaların sürətləri ilk dəfə olaraq təməl prinsiplərdən, təqdim olunan iQə qədər isə TlSe kristalında yayıan akustik dalğaların sürətləri eksperimental tədqiq edilmiGdi. [22] iQndə TlSe kristalında akustik dalğaların yayılma sürətləri kristalloqrafik ox [001] və [110] istiqamətlərində impuls metodu ilə təyin olunmuGdur

TlSe üçün elastiki sabitlərin yuxarıda hesablanmı Çqiymətlərindən istifadə etməklə məlum Christoffel tənlikləri:

$$\left(\Gamma_{ik} - \delta_{ik} \rho \upsilon^2\right) u_k = 0 \tag{6}$$

əsasında bu kristalda [001], [110], [100], [101] və [111] kristalloqrafik ox istiqamətlərdə yayılan akustik dalğaların sürətləri təyin edilmiGd**i**, burada $\Gamma_{ik} = c_{ijkl} n_j n_l$, $\rho v^2 \Gamma_{ik}$ - Christoffel tenzorunun məxsusi qiymətidir.

$$\det \left| \Gamma_{ik} - \delta_{ik} \rho \upsilon^2 \right| = 0 \tag{7}$$

Çərtindən məxsusi qiymətlər, (6) tənliklərinin həllindən isə u_k məxsusi vektorları tapılmıÇdır. Bu məxsusi vektorlar rəqslərin polyarlaÇmasını təyin edir. Tetraqonal kristallar üçün Christoffel tenzorunun komponentləri Cədvəl 8-də verilmiÇdir.

Cədvəl 9-da Tl-HGH və Tl-HGH(d) psevdopotensialları ilə akustik dalğaların sürətlərini hesablayarkən istifadə olunmuĞTlSe kvazi-birölçülü birləĞnəsinin elementar özəyinin həcmi və sıxlığının qiymətləri gətirilmiĞdir. Tetraqonal kristalın elementar özəyinin həcmi $V=1/2\,a^2c$ ilə hesablandığından, sıxlıq (ρ) üçün yazmaq olar:

$$\rho = \frac{Z(m_{TI} + m_{Se})}{1/2 a^2 c},\tag{8}$$

burada $2 \cdot Z$ -elementar özəkdəki atomların sayı, $m_{Tl} = 33.95 \cdot 10^{-23} q$ və $m_{Se} = 13.12 \cdot 10^{-23} q$ uyğun olaraq Tl və Se atomlarının kütlələri, a və c optimalla Çdırılmı Ç qəfəs parametrləridir (Cədvəl 10).

TlSe kristalında kristalloqrafik ox [100] istiqamətində cədvəl 8-ə əsasən (7)-dən alınmıÇmatris diaqonal Çəkildə olduğundan onun məxsusi qiymətləri Tl-HGH və Tl-HGH(d) psevdopotensialları ilə müvafiq olaraq {5.31, 1.56, 1.45} və {5.12, 1.44, 1.25}-

V.N.CƏFƏROVA, H.S.ORUCOV

dir. Bu qiymətlərə uyğun məxsusi vektorlar hesablanmı və müəyyən edilmi va ki, kristalda [100] istiqamətində yayılan uzununa və eninə akustik dalğaların sürətləri uyğun olaraq [100], [001], [010] polyarla valarda, Tl-HGH psevdopotensialı ilə v_t =2380m/san, v_{tl} =1250m/san və v_{t2} =1290m/san; Tl-HGH(d) ilə v_t =2400m/san, v_{tl} =1190m/san və v_{t2} =1270m/san-dir.

Cədvəl 8.Tetraqonal kristallar üçün Christoffel tenzorunun komponentləri.

Γ_{ik}	Ġŧsiqamət	[100	[01 0]	[00	[110]	[101]	[011]	[111]
Г	2 2 2	J		1]	1//	1//	1//	1/2/
Γ_{11}	$n_1^2 c_{11} + n_2^2 c_{66} + n_3^2 c_4$	c_{II}	c_{66}	C_{44}	$^{1}/_{2}(c_{11}+c_{66})$	$\frac{1}{2}(c_{11}+c_{44})$	$\frac{1}{2}(c_{66}+c_{44})$	$1/3(c_{11}+c_{44}+c_{66})$
Γ_{22}	$n_1^2 c_{66}^2 + n_2^2 c_{11}^2 + n_3^2 c_{44}^2$	c_{66}	c_{11}	C_{44}	$^{1}/_{2}(c_{11}+c_{66})$	$^{1}/_{2}(c_{66}+c_{44})$	$\frac{1}{2}(c_{11}+c_{44})$	$1/3(c_{11}+c_{44}+c_{66})$
	1 00 2 11 3 4							
Γ_{33}	$n_1^2 c_{44} + n_2^2 c_{44} + n_3^2 c_3$	Слл	c_{44}	C33	C ₄₄	$\frac{1}{2}(c_{33}+c_{44})$	$\frac{1}{2}(c_{33}+c_{44})$	$1/3(c_{33}+2c_{44})$
33	$n_1 c_{44} + n_2 c_{44} + n_3 c_3$,,	,,,	33	,,,	33 117	(33 11)	(33 ,11)
	,	_	_	_		_		
Γ_{12}	$n_1 n_2 (c_{12} + c_{66})$	0	0	0	$^{1}/_{2}(c_{12}+c_{66})$	0	0	$1/3(c_{12}+c_{66})$
Γ_{13}	$n_1 n_3 (c_{13} + c_{44})$	0	0	0	0	$\frac{1}{2}(c_{13}+c_{44})$	0	$1/3(c_{13}+c_{44})$
- 15	1113 (013 1 044)							
Γ_{23}	$n_2 n_3 (c_{13} + c_{44})$	0	0	0	0	0	$^{1/_{2}}(c_{13}+c_{44})$	$1/3(c_{13}+c_{44})$

Cədvəl 9.

TlSe üçün elementar özəyin həcmi və sıxlığının hesablanmı Çqiymətləri.

Kəmiyyət	60Ha,444, Tl-HGH	60Ha,444, Tl-HGH(d)
$V, sm^3 (10^{-24})$	201.42	211.46
ρ , q/sm^3	9.347	8.904

Cədvəl 10.

TlSe üçün hesablanmı Çqəfəs və halkogen parametrləri.

Parametr	60Ha,444, Tl-HGH		60Ha,444, Tl-HGH(d)		Eksp.[1]
a, Å	7.792	2.8%	7.834	2.3 %	8.02
c, Å	6.636	5.2%	6.892	1.5 %	7.00
x	0.179	-	0.185	3.4%	0.179

[001] kristalloqrafik ox istiqamətində qurulmuGmatrisin məxsusi qiymətləri Tl-HGH və Tl-HGH(d) psevdopotensialları ilə müvafiq olaraq {8.33, 1.45, 1.45} və {7.54, 1.25, 1.25}-dir. [001] istiqamətdə [001], [100] polyarlaGmalarda, akustik dalğaların sürətləri üçün Tl-HGH ilə v_i =2980m/san, v_{tl} = v_{t2} =1250m/san; Tl-HGH(d) ilə v_i =2910, v_{tl} = v_{t2} =1190m/san (eksp. [22]: v_i =2926 m/san, v_{tl} = v_{t2} =1234m/san)-dir.

[110] kristalloqrafik ox istiqamətində yayılan akustik dalğaların sürətləri (7) Çərtinə və cədvəl 8-ə əsasən uyğun matrisin diaqonallaÇdırılması ilə tapılmıÇdır. Bu matrisinin məxsusi qiymətləri Tl-HGH və Tl-HGH(d) psevdopotensialları ilə elastiki sabitlərin cədvəl 6-da gətirilmiÇqiymətlərinə uyğun olaraq $\{5.32, 1.55, 1.45\}$ və $\{5.135, 1.425, 1.25\}$ -dir. [110] istiqamətdə uzununa və eninə akustik dalğaların sürətləri [110], [-110], [001] polyarlaÇmalarda, Tl-HGH ilə v_i =2390m/san, v_{tt} =1290m/san və v_{t2} =1250m/san; Tl-HGH(d) ilə v_i =2400m/san, v_{tt} =1270m/san və v_{t2} =1190m/san (eksp. [22]: v_i =2268m/san, v_{t2} =1363m/san)-dir.

[101] istiqamətində $\{6.08232, 2.18768, 1.505\}$ və $\{5.67001, 1.90999, 1.345\}$ məxsusi qiymətləri və məxsusi vektorları təyin edilmi \mathbf{G} di. Bu kristalloqrafik ox istiqamətdə [101], [-101], [0-10] polyarla \mathbf{G} malarda akustik dalğaların sürətləri üçün Tl-HGH ilə v_i =2550m/san, v_{tJ} =1530m/san və v_{tZ} =1270m/san; Tl-HGH(d) ilə v_i =2520m/san, v_{tJ} =1470m/san və v_{tZ} =1230m/san alınmı \mathbf{G} dr.

TISe KRÖSTALININ QƏFƏS DÖNAMÖKASI

[111] istiqamətində məxsusi qiymətləri belə alınmı Gdr: $\{5.58507, 2.18827, 1.51667\}$ və $\{5.28956, 1.8971, 1.36667\}$. Kristalda [111] kristalloqrafik ox istiqamətində yayılan uzununa və eninə akustik dalğaların rəqslərinin [111], [11-1], [1-10] polyarla Gmalarda sürətləri üçün Tl-HGH ilə v_t =2440m/san, v_{tl} =1530m/san və v_{t2} =1270m/san; Tl-HGH(d) ilə v_t =2440m/san, v_{tl} =1460m/san və v_{t2} =1240m/san alınmı Gdr. Akustik dalğalarının sürətlərinin hesablamadan alınmı G qiymətləri sistemlə Gdrilmi G və eksperimentdə [22] alınanlarla birlikdə Cədvəl 11-də verilmi Gdr.

Cədvəl 11.

**TlSe üçün elastiki sabitlər ilə hesablanmı Qakustik dalğaların sürətləri.

Ġŧsiqamət	$\boldsymbol{\mathcal{U}}_{l}$ (m/san)		$U_t(m/san)$				
Polyar-	Tl-HGH	Tl-HGH(d)	eksp. [22]	Polyar-	Tl-HGH	Tl-HGH(d)	eksp. [22]
laĢma				laĢma			
[001]	2980	2910	2926	[100]	1190	1250	1234
	(1.8%)	(0.6%)	(T=300K)		(3.7%)	(1.3%)	(T=288K)
[110]	2390	2400	2268	[-110]	1250	1190	-
	(5.1%)	(5.5%)	(T=290K)	[001]	1290	1270	1363
					(5.6%)	(7.3%)	(T=288K)
							1360
							(T=293K)
[100]	2380	2400	-	[010]	1250	1190	-
				[001]	1290	1270	-
[101]	2550	2520	-	[-101]	1530	1470	-
				[0-10]	1270	1230	-
[111]	2440	2440	-	[11-1]	1530	1460	-
				[1-10]	1270	1240	-

Müəyyən edilmi Gdi ki, TlSe kristalının tetraqonal oxuna perpendikulyar bütün istiqamətlərdə akustik dalğaların yayılma sürətlərinin istiqamətdən asılılığı olduqca zəifdir: Tl-HGH ilə v_i =2390m/san, v_{t1} =1290m/san, v_{t2} =1250m/san; Tl-HGH(d) ilə v_i =2400m/san, v_{t1} =1270m/san, v_{t2} =1190m/san. [101] və [111] istiqamətlərində eninə akustik dalğaların sürətləri təxminən eynidir: Tl-HGH ilə v_{t1} =1530m/san, v_{t2} =1270m/san; Tl-HGH(d) ilə v_{t1} =1470m/san, v_{t2} =1240m/san. Kristalloqrafik ox [001] istiqamətdə uzununa akustik dalğanın yayılma sürəti kristalda ən böykdür: Tl-HGH ilə v_i =2980m/san; Tl-HGH(d) ilə v_i =2910m/san.

TISe-ÖN MOLYAR ÖSTÖLÖKUTUMU

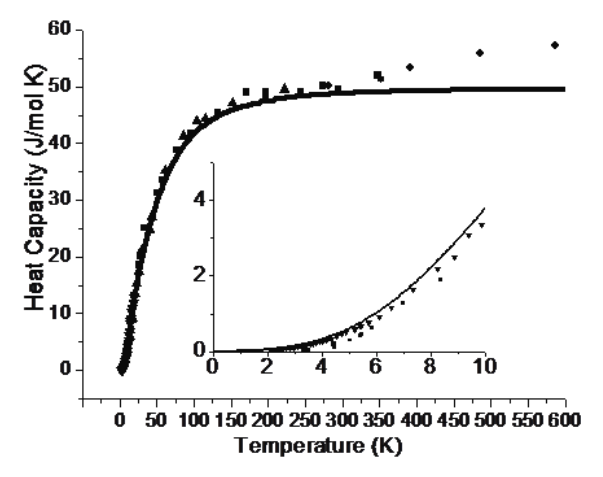
TlSe kristalı üçün təməl prinsiplərdən hesablanmı Ģfonon zona qurulu Ģuvə fonon hal sıxlığı əsasında birlə Ģnə üçün kvazi-harmonik yaxınla Çmada $0\div600K$ temperatur intervalında molyar istilik tutumu hesablanmı Çdr. Bunun üçün a Çağıdakı ifadədən istifadə edilmi Çdr [12]:

$$C_V(T) = 3nNk_B \int_0^{\omega_{\text{max}}} g(\omega) \frac{(\hbar\omega/k_B T)^2 e^{\hbar\omega/k_B T}}{(e^{\hbar\omega/k_B T} - 1)^2} d\omega, \tag{9}$$

burada n-bir molekuldakı atomların sayı (n=2), k_B -Bolsman sabiti, $g(\omega)$ -normalanmıG fonon hal sıxlığı, ω_{\max} -maksimum fonon tezliyi, N-harmonik yaxınlaGmada hesablanmıG normallaGdırıcı faktordur. Təməl prinsiplərdən hesablamalardan TlSe üçün kvaziharmonik yaxınlaGmada $0\div600K$ temperatur intervalında, sabit həcmdə molyar istilik tutumunun temperaturdan asılılığı üçün gəkil 4-də verilən əyri alınmıGdır. gəkildə müxtəlif fiqurlarla əldə edilmiG ekperimental qiymətlər göstərilmiGdır: bütöv əyri hesablamadan alınmıG sabit həcmdə molyar istilik tutumu (C_V), fiqurlar isə eksperimentdən təyin edilmiGsabit təzyiqdə molyar istilik tutumudur (C_p) (üçbucaqlar diferensial kalorimetrik metod [25], dairələr impuls metodu [25] və kvadratlar adiabatik

V.N.CƏFƏROVA, H.S.ORUCOV

kalorimetrik metodla [26] əldə edilmi Çqiymətlərdir). İşəkil 4-də 0÷10K temperaturlarda alınmı Ç nəticələr ayrıca göstərilmi Çdir. Müəyyən edilmi Çdir ki, TlSe-in molyar istilik tutumunun temperatur asılılığında 275K-dən yuxarı temperaturlarda anharmoniklik ciddi Çəkildə özünü göstərir. Harmoniklik oblastında TlSe-in sabit həcmdə molyar istilik



tutumunun hesablanmı Çvə eksperimentdən tapılmı Çqiymətlərinin yax Çquyğunluğu göstərir ki, *TlSe* birlə Çməsinin qəfəs dinamikasında əyilmə modları o qədər nəzərə çarpan rol oynamır.

Şəkil 4.

TlSe-in hesablanmı Çsabit həcmdə molyar istilik tutumu

NƏTĠŒ

TlSe üçün təməl prinsiplərdən hesablanmı Gfonon spektri Raman-, infraqırmızı-, neytron spektroskopiyasına, termodinamik, akustik, elastiki və dielektrik xassələrə dair məlum eksperimentlərin nəticələrini tamamilə identifikasiva və izah etməyə imkan verir. TlSe-in fonon zona guruluĢu 110÷140sm⁻¹ yasaq aralıqla ayrılmıĢ iki əsas grupa, hesablanmıG fonon hal sıxlığı mənzərəsinə görə qruplardan hər biri öz növbəsində iki altgrupa bölünür. Müəyyən edilmi Gdr ki, güclü anizotrop TlSe birlə Gnasinin fonon spektrində və elastiki sabitlərinin qiymətlərində gözlənildiyinin əksinə olaraq güclü anizotropluq müGahidə olunmur. TlSe-in 0÷600K temperatur intervalında kvazi-harmonik yaxınla Gmada hesablanmı G molyar istilik tutumunun temperatur asılılığında 275 K-dən yuxarı temperaturlarda anharmoniklik ciddi Okildə özünü göstərir. TlSe-in elementar özəyini təGkil edən iki növ Tl atomlarının bir-birindən fərqi bu atomlar üçün zəncirlərə paralel istiqamətdə hesablanmıGBorn effektiv yükləri arasında təxminən iki dəfə fərqdə özünü göstərir. TlSe-in dielektrik tenzoru tetraqonal koordinat sistemində diaqonal Qikilə malik olub, kristalın dielektrik xassələrində ciddi anizotropluğun olmadığını göstərir. Müəyyən edilmiGdi ki, TlSe kristalının tetragonal oxuna perpendikulyar bütün istiqamətlərdə akustik dalğaların yayılma sürətləri təxminən eynidir.

- 1. J.Ketelaar, W. t'Hart, R.Moorel et al., *The crystal structure of TlSe, thallous thallic or thallosic selenide, Z. Kristallogr.*, **101A** (1939) 396-404.
- 2. E.Mooser, W.Pearson, *The chemical bond in semiconductors, J. Electronics,* **1** (1956) 629-645.
- 3. Ф.М.Гашимзаде, *Симметрия энергетических зон в кристаллах типа TlSe, ФТТ,* **2** (1960) 3040-3044.
- 4. И.В.Алексеев, Гетерепереход на полупроводниках с цепочечной структурой TlSe-TlInSe₂, ФТП, **32** (1998) 588-590.
- 5. C.Hartwigsen, S.Goedecker, and J.Hutter, *Relativistic separable dual space Gaussian pseudopotentials from H to Rn, Phys. Rev.* **B**, **58** (1998) 3641-3662.
- 6. P.Hohenberg, W.Kohn, *Inhomogeneous electron gas, Phys. Rev.*, **136** (1964) B864-B871.
- 7. W.Kohn and L.Sham, *Self-Consistent Equations Including Exchange and Correlation Effects, Phys. Rev.*, **140** (1965) A1133-A1138.
- 8. X.Gonze, J.M.Beuken, R.Caracas et al., *First-principles computation of material properties: the ABINIT software project, Comp.Mat.Sci.*, **25** (2002) 478-492.

TISe KRÖSTALININ QƏFƏS DÖNAMÖKASI

- 9. M.Payne, M.Teter, D.Allan et al., *Iterative minimization techniques for ab initio total-energy calculations: molecular dynamics and conjugate gradients, Rev. Mod. Phys.*, **64** (1992) 1045-1097.
- 10. D.Ceperley, B.Alder, *Ground state of the electron gas by a stochastic method, Phys. Rev. Lett.*, **45** (1980) 566-569.
- 11. H.Monkhorst, J.Pack, Special points for Brillouin-zone integrations, Phys. Rev. B., 13 (1976) 5188-5192.
- 12. G.Orudzhev, V.Jafarova, S.Schorr, K.Mimura, K.Wakita, Y.Shim, N.Mamedov, F.Hashimzade, *Phonon spectra of chain TlSe and TlInSe₂: DFT-Based Study, Jpn. J. of Appl. Phys.*, **47** (2008) 8193-8199.
- 13. С.Б.Вахрушев, Б.Е.Квятковский, Н.М.Окунева, К.Р.Аллахвердиев и др., *Неупругое рассеяние нейтронов в TlSe, ФТТ,* **26** (1984) 1225-1228.
- 14. N.M.Gasanly, A.S. Ragimov, Special features of vibrational properties of mixed crystals with TlSe structure, Physica B+C, 115 (1983) 381-394.
- 15. K.R.Allakhverdiev, E.A.Vinogradov, N.N.Melnik, M.A.Nizametdinova et al., *Vibrational Properties of TlSe, Phys. Stat. Sol.*, **B 87** (1978) K115-K118.
- 16. М.Г.Шахтахтинский, Дж.А.Гусейнов и др,. Динамика решетки и упругие постоянные кристалла селенида таллия, ФТП, **15** (1981) 1522-1524.
- 17. X.Gonze. C.Lee, Dynamical matrices, Born effective charges, dielectric permittivity tensors, and interatomic force constants from density-functional perturbation theory, Phys. Rev., **B** 55 (1997) 10355-10368.
- 18. H.S.Orucov, Zəncirvari $A^3B^3C_2^6$, layl A^4B^6 aşağiölçülü birləşmələrdə enerji spektrləri, optik sabitlər və kimyəvi rabitə: Fiz.riy.elm.dok. ... dis., (2007) 300s.
- 19. Л.Л.Януленис, Г.А.Бабонас, М.А.Низаметдинова, Г.С.Оруджев, А.Ю.Шилейка, Спектры отражения и термоотражения монокристаллов TlSe, Литовский Физ. Сб., 22 (1982) 63-71.
- 20. M.Yamazaki, H.Toyota et al., Dielectric function spectra and intraband density of states in TlSe, Jpn. of J. Appl. Phys., **39** (2000) 305-306.
- 21. K.Shin and K.Hashimoto, *Temperature dependence of the reduced Fermy level in TlSe, Technol. Reports Kyushi Univ.*, **45** (1972) 820-826.
- 22. Х.М.Халилов, Ш.О.Оруджева, К.И.Рзаев, Температурно-частотная зависимость коэффициента поглощения ультразвука и упругих постоянных монокристалла TlSe, ФТТ, **11** (1969) 3043-3049.
- 23. Р.М.Сардарлы, Колебательные спектры соединений A^3B^6 и $A^3B^3C_2^6$, Баку: Изд-во «Элм», (2004) 226.
- 24. A.R.Oganov, J.P.Brodholt et al., *The elastic constants of MgSiO3 perovskite at pressures and temperatures of the Earth's mantle, Nature*, **411** (2001) 934-937.
- 25. G.Brekow, M.Meissner et al., Heat Capacity TlSe from 3 to 600 K, J. Phys.C: Solid State Phys., 6 (1973) L462-L464.
- 26. К.К.Мамедов, И.Г.Керимов, В.Н.Кострюков, М.И.Мехтиев, *Теплоемкость* селенида галлия и селенида таллия, ФТП, **1** (1967) 441-442.

LATTICE DYNAMICS OF TISE CRYSTAL

V.N.JAFAROVA, G.S.ORUDZHEV

The work has been dedicated to the *ab initio* calculation of phonon spectrum of *TISe* chain crystal using ABINIT program package on the base of Density Functional Perturbation Theory with the Hartwigsen-Goedecker-Hutter norm-conserving ionic pseudopotentials and to the study of physical properties of the crystal. The peculiarities of Raman- and IR-active and non-active modes, their symmetry, and frequencies of longitudinal and transversal optic phonons have been investigated using calculated phonon spectrum for the center of the Brillouin zone. The Born effective charges and dielectric tensor, elastic constants, molar

V.N.CƏFƏROVA, H.S.ORUCOV

thermal capacity, density of states have been determined in the chain *TlSe* crystal from *ab initio*. Acoustic wave propagation velocity has been defined using calculated elastic constants.

ДИНАМИКА РЕШЕТКИ КРИСТАЛЛА TISe

В.Н.ДЖАФАРОВА, Г.С.ОРУДЖЕВ

Работа посвящена расчету из первых принципов фонноного спектра цепочечного кристалла *TISe*, выполненному при помощи пакета программ ABINIT на основе Теории Возмущения Функционала Плотности с применением норм-сохраняющих ионных псевдопотенциалов Hartwigsen-Goedecker-Hutter, и изучению физических свойств указанного кристалла. На основе рассчитанных фононных спектров для центра зоны Бриллюэна установлены особенности Раман- и ИК-активных и неактивных мод, их симметрия, частоты продольных и поперечных оптических фононов. В работе рассчитаны тензор Борновских эффективных зарядов и диэлектрический тензор, упругие константы, молярная теплоемкость, плотность фононных состояний из первых принципов для цепочечного соединения TISe. С помощью рассчитанных упругих постоянных были определены скорости распространения акустических волн в кристалле.

Редактор: М.Бабаев

UOT 621.315.592

Ge_{1-x}Si_xKRİSTAL TƏBƏQƏLƏRİNİN ELEKTRİK XASSƏLƏRİNİN XÜSUSİYYƏTLƏRİ

$H.MEHDAVI^{1}$, $R.S.MƏDƏTOV^{1,2}$, $S.M.ABBASOV^{1}$, $Y.M.MUSTAFAYEV^{1}$, Ü.F.FƏRƏCOVA²

Azərbaycan MEA-nın Radiasiya Problemləri Unstitutu¹ AZ 1145, Bakı şəh., F.Ağayev, 9 Aviasiya Akademiyası² AZ 1045, Bakı şəh., Binə, 25-km

Daxil olub: 20.06.2011 Capa verilib: 09.09.2011

REFERAT

Açar sözlər: Nadir torpaq elementləri, elektrik keçiriciliyi, termoelektrik hərəkət qüvvəsi, Holl əmsalı.

Molekulyar dəstənin epitaksiya üsulu ilə alınmış və T=400÷600K temperaturunda otjiq olunmuş Si/Ge_{1-x}Si_x (x=0; 5 və 15at.%) kristal təbəqələrin elektrofiziki xassələrinin texnoloji parametrlərdən və temperaturdan asılılığı tədqiq edilmişdir. Müəyyən edilmişdir ki, dislokasiyanın sıxlığı 2·10⁵ -dən 8·10⁵ sm⁻² və kristallaşma temperaturunun artması təbəqənin qalınlığı artdıqca artır və Si atomunun miqdarından asılıdır. Göstərilmişdir ki, Si atomunun miqdarının artması nəticəsində deşiklərin konsentrasiyasının ($10^{16} \div 10^{15} \text{sm}^{-3}$) və yüyrüklüyünün azalması (1320÷750sm²/V·san) defektlərin konsentrasiyasının artması (10¹⁶÷10¹⁷sm⁻³) nəticəsində baş verir.

GİRİS

Epitaksiya texnologiya üsulu ilə alınmış Ge və Si nazik təbəqələrindən optoelektron qurğularda və mikroelektron sxemlərində geniş istifadə edilir [1,2]. Geniş temperatur intervalında (570÷870K) alınmış nazik təbəqələrin yetişdirilmə mexanizmi ,defektlərin və elektrofiziki xassələri [3,4] və praktiki tədbiqi haqqında məlumatlar möycuddur [5]. Alınmıs nəticələrə əsasən demək olar ki, Ge və Si həcmi monokristallarında olduğu kimi , nazik kristal təbəqələrdə də yükdaşıyıcıların yürüklüyünün kiçik və termik əmsalının yüksək olması onların müxtəlif tipli diodların, tranzistorların və fotoqəbuledicilərin hazırlanmasında müəyyən məhdudiyyətlər yaradır. Qeyd edilən məhdudiyyətləri aradan qaldırmaq məqsədilə Ge və Si əsasında alınmış bərk məhlullardan, o cümlədən nazik təbəqələrdən istifadə olunması praktiki və elmi cəhətdən maraqlıdır [6,7]. Belə ki, germaniuma müxtəlif faizli (0÷15at.%) silisium atomunun daxil edilməsi, onun parametrlərini məqsədyönlü idarə etməyə və onlar əsasında hazırlanmış cihazların ətalətliyini, temperatur və tezlik diapazonunu idarəetməyə imkan verir [5]. Ancaq nazik təbəqələrin elektrofiziki xassələrinin onların alınma texnologiyasından asılı yeni texnoloji üsulların işlənilməsini parametrlərin vә qanunauyğunluqlarının müəyyən edilməsi vacibdir. Təqdim edilən işdə molekulyar dəstəsinin epitaksiyası üsulu (MDE) ilə alınmış müxtəlif komponentli Ge_{1-x}Si_x nazik kristal təbəqələrinin elektrik keçiriciliyinin və Holl sabitinin temperaturdan asılılığının tədqiqi zamanı alınmış nəticələr göstərilmişdir.

TƏCRÜBƏNİN METODİKASI

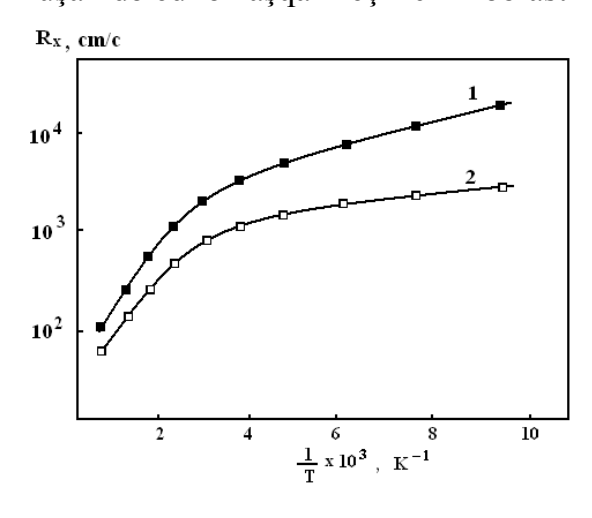
Nazik Ge_{1-x}Si_x (x=0; 5 və 15at.%) təbəqələri molekulyar dəstənin altlıq üzərinə kondensasiya üsulu ilə alınmış və p-tip keçiriciliyə malikdir [8]. Təbəqələrin qalınlığa görə bircinsliyi Holl və elektrik keçiriciliyinin tədqiqindən alınan nəticələr əsasında öyrənilmişdir. Epitaksiya zamanı (100) istiqamətli silisium altlığın

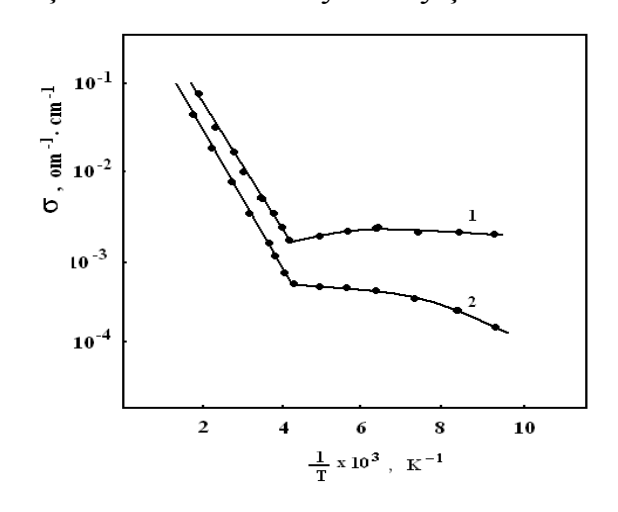
H.MEHDAVI, R.S.MƏDƏTOV, Ş.M.ABBASOV, Y.M.MUSTAFAYEV, Ü.F.FƏRƏCOVA

 $400 \div 600 \text{K}$, tədqiqat üçün alınmış nümunələrin qalınlığı isə $50 \div 150 \text{mkm}$ olmuşdur. Alınmış təbəqələrin quruluşu elektronoqrafik, elektron mikroskopiya və rentgenodifraktometrik üsullarla tədqiq edilmişdir. Müəyyən edilmişdir ki, $\text{Ge}_{1\text{-x}}\text{Si}_x$ təbəqəsində Si atomunun miqdarının artması (x=0÷15at.%) ilə dislokasiyanın sıxlığı $2 \cdot 10^5$ —dən $8 \cdot 10^5 \text{cm}^{-2}$ (deşiklərin kimyəvi aşqarlanması) qədər, kristallaşma temperaturu və dislokasiyanın sıxlığı təbəqənin qalınlığı artdıqca artır. Ölçüləri 15x3x0,3mm olan nazik kristal təbəqələrdə elektrik keçiriciliyinin və Holl sabitinin temperatur asılılığı işdə [7] göstərilən üsulla tədqiq edilmişdir. ölçmələr $100 \div 300 \text{K}$ temperaturda aparılmışdır.

TƏCRÜBİ NƏTİCƏLƏR VƏ ONLARIN MÜZAKİRƏSİ

Şəkil 1 və 2-də müxtəlif tərkibli Ge_{1-x}Si_x (x=5 və 15at.%) təbəqələrdə Holl sabitinin elektrik keçiriciliyin temperaturdan asılılığı göstərilmişdir. Səkil 1-dən göründüyü kimi asqar oblastda desiklərin konsentrasiyası temperaturun azalması ilə dəyismir. Bu isə həmin oblastda aşqar mərkəzlərinin tam ionlaşmadığını göstərir. Temperaturun artması ilə Holl sabitinin kəskin azalması nəticəsində məxsusi yükdaşıyıcıların konsentrasiyası artır. R~f(1/T) asılılığının yüksək temperatur oblastının düzxətli hissəsindən təyin olunmuş ΔE–qadağan olunmuş zonanın eninə uyğun gəlir və 0,76eV təşkil edir (x=5at.%) və işlərdə [6] göstərilən ədədi qiymətlərlə uzlaşır. Ge_{1-x}Si_x təbəqəsində Si atomunun migdarı artdıqca (Səkil 1, 2-əyri, x=5at.%) desiklərin konsentrasiyası azalır və temperaturdan zəif asılılığı müşahidə olunur. Aşqar oblastda müşahidə edilən əyrinin meylinə əsasən təyin edilmiş aktivləşmə enerjisi 0,15eV olmuşdur və Si atomunun miqdarından asılı olaraq aktivləşmə enerjisinin qiyməti 0,11÷0,15eV intervalında dəyişir. Oevd edilən qanunauyğunluq Ge-Si bərk məhlullarının elektrik xassələrinin tədqiqi zamanı da müəyyən edilmişdir [6]. y~f(1/T) asılılığından alınmış nəticələr də bunu təsdiq edir (Şəkil 2). Belə ki, şəkil 2-dən görünür ki, 100÷150K temperatur intervalında müşahidə edilən aşqar keçiricilik oblastında deşiklərin konsentrasiyası dəyişmir.





Şəkil 1. $Ge_{1-x}Si_x$ təbəqələrində Holl sabitinin temperatur asılılığı: 1-x=5at.% Si; 2-x=15at.% Si.

Şəkil 2. $Ge_{1-x}Si_x$ təbəqələrinin elektrik keçiriciliyinin temperaturdan asılılığı: 1-x=5at.%Si; 2-x=15at.%Si.

Temperaturun 150K-dən yüksək qiymətlərində isə məxsusi yükdaşıyıcıların konsentrasiyasının artması müəyyən edilmişdir. y \sim f(1/T) asılılığının yüksək temperatur oblastından təyin edilmiş səviyyələrin enerjisi 0,75eV (x=5at.%), aşağı temperatur oblastından isə 0,12 eV olmuşdur. Müəyyən edilmişdir ki, Ge_{1-x}Si_x təbəqəsində Si atomunun miqdarının artması nəticəsində hər iki səviyyənin aktivləşmə enerjisinin qiyməti artır. Holl sabitinin və elektrik keçiriciliyinin temperatur asılılığından müxtəlif qalınlıqlı Ge_{1-x}Si_x (x=5 və 15at.%, d=70 və 150mkm) təbəqələrdə yükdaşıyıcıların

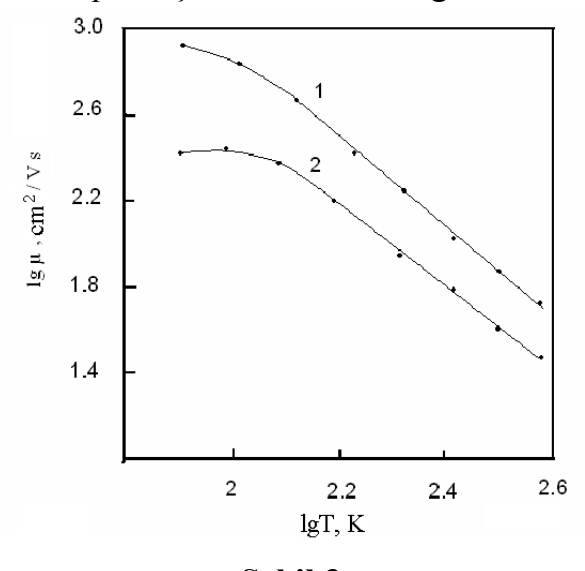
konsentrasiyası, yürüklüyü və akseptor səviyyələrinin aktivləşmə enerjisi təyin edilmiş və cədvəldə göstərilmişdir.

Cədvəl.

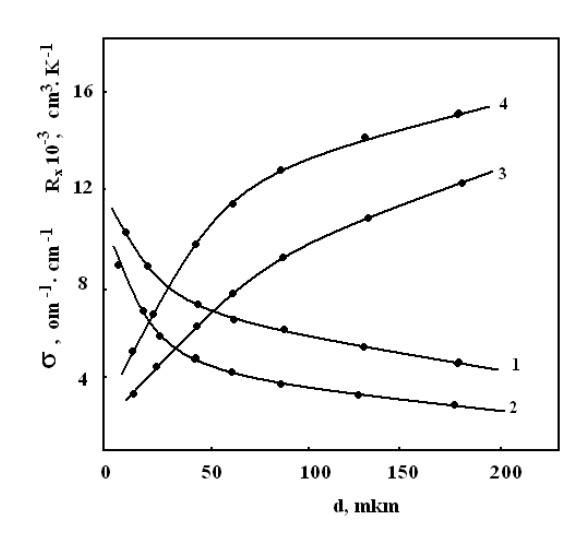
$Ge_{1-x}Si_x$	ΔE, eV	μ , sm ² /V s	p , sm ⁻³	ρ, Om sm
x=5 at.%	0, 76	1320	1,2 10 16	0,24
x=10 at.%	0, 88	830	1,0 10 16	0,43
x=15 at.%	0, 95	750	7,5 10 15	1,00

Şəkil 3-də müxtəlif tərkibli $Ge_{1-x}Si_x$ (x=5 və 15at.%) təbəqələrində deşiklərin yürüklüyünün (omik yürüklük adlanır) temperaturadan asılılığı verilmişdir. Şəkil 3-dən görünür ki, $lg \ \mu \sim f(lgT)$ asılılığında $150 \div 400 \text{K}$ oblastında deşiklərin yürüklüyü $T^{-1,6}$ qanunu ilə, $80 \div 150 \text{K}$ oblastında isə $\mu \sim T^{-0,5}$ qanunu dəyişir və işdə [7] həcmi monokristallarda alınan nəticələrlə uzlaşır. Bu isə deməyə imkan verir ki, $Ge_{1-x}Si_x$ kristallik təbəqəsində deşiklərin yürüklüyü T<150 K oblastında kristalın nizamsızlığından, T>150 K isə qəfəsin istilik rəqslərindən səpilməsi ilə izah oluna bilər. Alınan nəticələrin təhlili göstərir ki, nazik $Ge_{1-x}Si_x$ təbəqələrdə də deşiklərin yürüklüyü Si atomunun miqdarından asılıdır və Si atomunun miqdarı $0 \div 15$ at.% artdıqca yürüklük azalır.

Şəkil 4-də müxtəlif temperaturlarda alınmış təbəqələrin elektrik keçiriciliyinin $Ge_{1-x}Si_x$ (x=5 və 15at.%) təbəqələrinin qalınlığından asılılığı göstərilmişdir. Şəkil 4-dən görünür ki, d<5mkm olduqda µ-nın ədədi qiyməti artır, R—isə azalır. d>70mkm olduqda isə elektrik keçiriciliyinin azalması R və n-artması müəyyən edilmişdir. Eyni texnoloji rejimdə alınmış müxtəlif qalınlıqlı Ge-Si nazik təbəqələrin parametrləri cədvəldə verilmişdir. Alınmış qiymətlərin müqayisəsi göstərir ki, d=5÷50mkm arasında dəyişdiyi zaman µ, R və p—nin qiymətlərinin 3÷7% tərtibində dəyişməsi ,onların həcmi xassələrinin eyni və kristalın isə qalınlığa görə bircinsli olmasını deməyə imkan verir. $Ge_{1-x}Si_x$ təbəqələrinin elektrik xassələrinin tədqiqindən alınan nəticələr cədvəldə göstərilmişdir. Cədvəldən görünür ki, epitaksial $Ge_{1-x}Si_x$ təbəqələrinin elektrofiziki xassələrinin Si atomunun miqdarından asılı olaraq dəyişməsi , həcmi kristallarda olduğu kimi [6], onun kristal quruluşa malik olmasını göstərir.



Şəkil 3.
Ge_{1-x}Si_x təbəqələrində deciklərin yürüklüyünun temperaturdan asılılığı: 1-x=5at.% Si;
2- x=15at.%Si.



Şəkil 4.Ge_{1-x}Si_x təbəqələrində elektrik keçiriciliyinin (1,2) və Holl sabitinin (3,4) təbəqənin qalınlığından asılılığı: 1,3 - x=5at.% Si; 2,4 - x=15at.% Si.

Alınmış təbəqələrin keçiriciliyi kristal quruluşun yetkinliyindən, qalınlığından və alınma şəraitindən asılıdır. Şəkil 4-dən göründüyü kimi, təbəqənin qalınlığının d>2mkm qiymətlərində elektrik keçiriciliyi praktiki olaraq dəyişmir, d<2mkm şərtində isə

H.MEHDAVI, R.S.MƏDƏTOV, Ş.M.ABBASOV, Y.M.MUSTAFAYEV, Ü.F.FƏRƏCOVA

elektrik keçiriciliyi artır. Holl sabiti isə nümunənin qalınlığının azalması ilə eksponensial qanunla azalır və d<2mkm olduqda Holl sabiti elektrikkeçiricilikdən kiçik, d>2mkm isə yüksək olur. Müşahidə olunan effekt altlıq- təbəqə arasında keçid oblastının yarana bilməsi ilə bağlı ola bilər. İşlərdə [8] göstərildiyi kimi, altlıq-təbəqə arasında yaranan keçid oblastı təbəqənin quruluşunun qalınlığa görə qeyri-bircinsli olması ilə əlaqədardır və bu səbəbdən onun elektrofiziki xassələri dəyişir. Məhz bu faktı nəzərə alaraq tədqiq olunan nümunələrin qalınlığı 50÷150mkm tərtibində seçilmişdir. Bu isə, nümunələrin struktur quruluşunun stabilliyinə və defektlərin qalınlığa görə bircins paylanmasına imkan vermişdir.

 $Ge_{1-x}Si_x$ (x=0; 5 və 15at.%) təbəqələrində elektrik xassələrinin və Holl sabitinin 80-400 K intervalında zamanı müəyyən edilmişdir ki, T=400÷600K intervalında alınmış təbəqələrdə aktivləsmə enerjisi 0,11÷0,15eV və konsentrasiyası 7,5·10¹⁵÷1·10¹⁶sm⁻³ olan akseptor səviyyəsi müşahidə olunmuşdur. y~f(1/T) aşılılığında müşahidə edilən aşqar keciriciliyin Ge_{1-x}Si_x təbəqəsində komponentlərin miqdarından asılı olaraq dəvisməsi isə yükdaşıyıcıların yürüklüyündən asılı olması ilə bağlı ola bilər. Belə ki, işlərdə [9] göstərildiyi kimi, Ge-Si monokristallarda qəfəs rəqslərindən səpilmə zamanı deşiklərin yürüklüyü Si miqdarı artdıqca azalır. Bu faktın kristal nazik təbəqələr üçün də doğru olduğu Şəkil 4–də öz təsdiqini tapır. Belə ki, 80÷150K oblastında µ~T^{-1,6}, 80÷150K isə $\mu \sim T^{-0.5}$ qanunu ilə dəyişməsi təcrübi nəticələrin eyni xüsusiyyətlərə malik olduğunu göstərir. Eyni zamanda Ge_{1-x}Si_x təbəqəsində Si atomunun miqdarından asılı olaraq dislokasiyanın sıxlığının dəyisməsinin 2·10⁵—dən 8·10⁵cm⁻² olduğu müəyyən edilmişdir. Nəzəri və təcrübi işlərdə alınan nəticələrə görə [10] altlıq –yarımkeçirici sərhəddində (Si-Ge, GaAs-Ce və s.) müşahidə edilən quruluş defektləri, keçid oblastları və mexaniki gərginlik gəfəs parametrlərinin uyğunsuzluğundan və texnoloji prosesdən asılıdır. Si-Ge_{1-x}Si_x (x=0; 5 və 15at.%) təbəqələrin alınması zamanı qeyd olunan nəticə nəzərə alınmış və müəyyən edilmişdir ki, 0÷5at.% təbəqələr üçün dislokasıyanın sıxlığı ~(1÷2,3)10⁵sm⁻² bərabərdir. Si atomunun miqdarının yüksək qiymətlərində isə (5÷15at.%), eyni texnoloji rejimdə alınan təbəqələrdə, dislokasıyanın sıxlığı ~(7÷9)10⁵sm⁻² olmuşdur. Bu fərq ,nazik təbəqədə Si atomunun miqdarının artması nəticəsində baş verən nizamsızlıq hesabına ola bilər. lg μ ~f(lgT) asılılığında (2-əy.) T<150K müşahidə olunan μ ~T $^{-0,5}$ qanunauyğunluğu, məhz Ge_{1-x}Si_x təbəqələrində lokal nizamsızlığın Si atomları ilə bağlı olduğunu göstərir.

NƏTİCƏ

Beləliklə, tədqiqat nəticəsində epitaksial üsul ilə alınmış $Ge_{1-x}Si_x$ (x=0; 5 və 15at.%) kristal təbəqələrinin alınması üçün optimal rejim işlənilmiş və müəyyən edilmişdir ki, təbəqə Si atomunun miqdarını dəyişməklə , onun elektrofiziki xassələrini məqsədyönlü idarə etmək olur.

- 1. Э.А.Клименко, А.Г.Клименко, А.Ф.Кравченко, Б.П.Зотьев, *Особенности* электрофизических свойств слоев *Ge*, полученных на неориентирующих подложках, Из.Вузов. Сер. «Физика», **5** (1973) 26-31.
- 2. Э.А.Клименко, А.Г.Клименко, А.В.Ржанов, Р.Ш. Ибрагимов, *Новый способ получения монокристаллических слоев кремния на на неориентирующих подложках, В кн.: Процессы роста и синтеза полупроводниковых кристаллов и пленок. Новосибирск, «Наука»*, Ч.2. (1975) 312-315.
- 3. Ф.Ф.Сизов, Ю.Н. Козырев, В.П.Кладько, С.В.Пляцко, В.М.Оренко, А.П.Шевляков, Эпитаксиальные слои и сверхрешетки Si/SiGe, ФТП, **31** (1997) 922-926.
- 4. Ш.М.Аббасов, Г.Т.Агавердиева, А.С.Байцар, У.Ф.Фараджова, Структура и важнейщие электрофизические свойства тонких пленок $Ge_{1-x}Si_x$, Электронная обработка материалов, **2** (2009) 98-104

Ge_{1.x}Si_xKRİSTAL TƏBƏQƏLƏRİNİN ELEKTRİK XASSƏLƏRİNİN XÜSUSİYYƏTLƏRİ

- 5. М.Я.Бакиров, Р.С.Мадатов, Ю.М.Мустафаев, *Фотодиоды на основе Ge*_{1-х}Si_х, ДАН Азерб. ССР, **34** №32 (1978) 75-79.
- 6. В.И.Тагиров, Полупроводниковые твердые растворы Ge –Si, Из-во «Елм», (1983) 206.
- 7. Н.А.Агаев, Г.Х.Аждаров, Подвижность дырок в кристаллах твердых растворов германий-кремний, Мат. докладов VII коорд. Совещания по исследованию и применению твердых растворов германий-кремний., Из-во «Елм», (1989) 56-60.
- 8. Л.П.Александров, Р.Н.Ловягин, Эпитаксия тонких пленок германия и кремния из атомных и молекулярных пучков, М., Электроника, (1974) 34-45.
- 9. Y.A.Tkhorik, L.S.Khazan, *Plastic deformation and dislocation of heteroepitaxial systems. Kiev, Nauka Dumka,* (1983) 200.
- 10. И.В.Грехов, Л.С.Костина, Т.С.Аргунова, Е.И.Велякова, А.В.Рожков, Структурные и электрические свойства подложек SiGe изоляторе, сформированных методом прямого сращивания, ФТП, 44 (2010) 1135-1140.

FEATURES OF ELECTRIC PROPERTIES OF CRYSTAL LAYERS Ge1-xSix

N.MEHDEVI, R.S.MADATOV, Sh.M.ABBASOV, Y.M.MUSTAFAEV, I.F.FARAJOVA

The research results of electrophysical properties of thin-film construction have been given on the basis of Si/ $Ge_{1-x}Si_x$ (x=0; 5 and 15 at %), by the achieved method of molecular beam epitaxy on silicon substrate, depending on the technological parameters and annealing temperature (T=400÷600K).

The density of dislocation has changed from $2 \cdot 10^5$ to $8 \cdot 10^5$ cm⁻², but the crystallization degree of the films has depended on the thickness and content of Si atoms.

With the increase of Si content, the hole concentration has been $(10^{16} \div 10^{15} \text{cm}^{-3})$, and the mobility has decreased to $(1320 \div 750 \text{cm}^2/\text{V} \cdot \text{C})$, which has been connected with the increase of concentration of defects to $(10^{16} \div 10^7 \text{cm}^{-3})$.

ОСОБЕННОСТИ ЭЛЕКТРИЧЕСКИХ СВОЙСТВ КРИСТАЛЛИЧЕСКИХ СЛОЕВ $Ge_{1-x}Si_x$ Н.МЕХДЕВИ, Р.С.МАДАТОВ, Ш.М.АББАСОВ, Ю.М.МУСТАФАЕВ, И.Ф.ФАРАДЖОВА

Представлены результаты исследования электрофизических свойств тонкопленочных структур на основе $Si/Ge_{1-x}Si_x$ (x=0; 5 и 15ат.%), полученных методом молекулярно-лучевой эпитаксии на кремниевых подложках в зависимости от технологических параметров и температуры отжига ($T=400\div600K$).

Показано, что плотность дислокаций изменяется от $2 \cdot 10^5$ до $8 \cdot 10^5$ см⁻², а степень кристаллизации пленок зависит от толщины и содержания атомов Si.

С ростом содержания Si концентрация дырок составляет $(10^{16} \div 10^{15} \text{cm}^{-3})$, а подвижность падает $(1320 \div 750 \text{cm}^2/\text{V} \cdot \text{c})$, что связано с ростом концентрации дефектов до $(10^{16} \div 10^7 \text{cm}^{-3})$.

Редактор: А.Гарибов

УДК 678. 077

АВ INITIO РАСЧЕТ ФОНОННОГО СПЕКТРА ε – GaSe 3.А.ДЖАХАНГИРЛИ 1,2

Институт Физики НАН Азербайджана¹ AZ 1143, Баку, пр. Г.Джавида, 33 Азербайджанский технический университет² AZ 1073, Баку, пр. Г.Джавида, 25 cahanzakir@yahoo.com

поступила 16.05.2011 принята к печати 01.09.2011

Ключевые слова: SEPT, LDA, ABINIT, ε-GaSe, LO-TO расщепление

РЕФЕРАТ

функционала представлены плотности расчета результаты фононного спектра слоистого полупроводника ε – GaSe. Определены упругие постоянные и скорости звука вдоль и поперек слоев. Исследование равновесной структуры и фононного спектра поверхности (0001) ε – GaSe показывает, что объемные и поверхностные структурные и этих динамические свойства кристаллов незначительно. Рассчитанные отличаются частоты и симметрии фононных мод в центре зоны Бриллюэна хорошо согласуются экспериментальными данными, полученными из

Из первых принципов на основе теории

ВВЕДЕНИЕ

КР и ИК спектров.

Слоистые полупроводники типа A^3B^6 в настоящее время широко применяются в современной квантовой электронике, нелинейной оптике, полупроводниковом приборостроении и оптоэлектронике. В связи с этим в последние годы важное значение приобрели теоретические и экспериментальные исследования колебательных спектров этих полупроводниковых соединений, поскольку они являются источником информации об их структуре, совершенстве, перестройках структуры при фазовых переходах, о характере межатомного взаимодействия.

Получение информации о фононном спектре является исключительно важным и актуальным с точки зрения практических применений низкоразмерных структур в микро- и оптоэлектронных устройствах, поскольку фононы влияют на скорость релаксации возбужденных электронов и на подвижность носителей заряда. Настоящая работа посвящена исследованию из первых принципов фононного спектра слоистого полупроводника ε – GaSe на основе теории функционала плотности, использующие релятивистические аналитические псевдопотенциалы Троиллера-Мартинса [1] в приближении локальной плотности (LDA) с учетом обменно-корреляционных поправок [2].

КРИСТАЛЛИЧЕСКАЯ СТРУКТУРА И МЕТОД РАСЧЕТА

Полупроводниковые кристаллы GaSe состоят из слабосвязанных слоев [3,4], каждый слой включает в себя четыре плотноупакованные атомные плоскости. Внутри слоя атом металла тетраэдрически окружен тремя атомами халькогена и одним атомом металла и образует с ними химические связи ионно-ковалентного характера. Возможны четыре различных способа упаковки слоев, которым соответствуют четыре политипа β , ε , γ и δ , имеющие пространственные группы

АВ INITIO РАСЧЕТ ФОНОННОГО СПЕКТРА ε – GaSe

симметрии D_{6h}^4 , D_{3h}^1 , C_{3v}^5 и C_{6v}^4 , соответственно. Различные политипы отличаются между собою количеством слоев в примитивной ячейке и, следовательно, правилами отбора для фононных спектров. Симметрия монослоя D_{3h}^1 одинакова у всех политипов. Основные закономерности фононных спектров этих кристаллов определяются симметрией слоя. Наличие нескольких слоев в примитивной ячейке в β , ε и δ - политипах приводит к появлению межслоевых колебаний и резонансному расщеплению внутрислоевых колебаний. В ε -политипе центр симметрии отсутствует.

Кристаллографические положения восьми атомов в элементарной ячейке следующие

Ga_I B 2(g): $\pm (0,0,z)$

Ga_{II} B Se_I 2(i): 2/3, 1/3, z; 2/3, 1/3, -z Se_{II} B 2(h): 1/3, 2/3, z; 1/3, 2/3, -z

корректных вычислений динамики решетки.

где $z(Ga_I)=0.075$, $z(Ga_{II})=0.575$, $z(Se_I)=0.150$, $z(Se_{II})=0.650$.

В Таблице 1 приведены параметры решетки после оптимизации с помощью 8x8x4 разбиения зоны Бриллюэна (ЗБ) по схеме Монкхорста-Пака [5] вместе с экспериментальными данными. Как видно из Таблицы1, оптимизированные и экспериментальные [6] значения параметров решетки хорошо согласуются. ЗБ для гексагональной решетки приведена в [7].

Таблица1.

Оптимизированные и экспериментальные параметры решетки ε – GaSe

Параметры	теория	эксперимент[6]
a(Å)	3.598	3.755
c(Å)	15.561	15.946

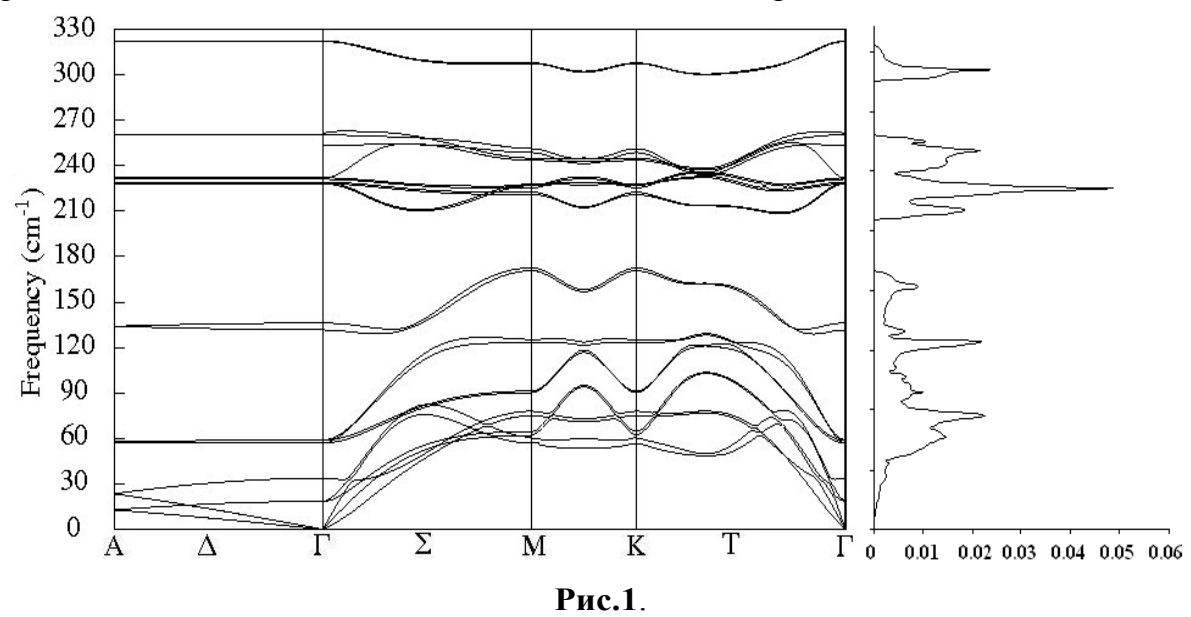
Вычисление фононного спектра ε – GaSe было проведено методом функционала плотности с использованием псевдопотенциального подхода в базисе плоских волн. Расчеты осуществлялись с помощью пакета программ ABINIT [8] в приближении линейного отклика и псевдопотенциалами Троиллера-Мартинса, сохраняющие нормы. В разложении волновой функции были учтены плоские волны с энергией до 40Ha, которые обеспечивают хорошую сходимость полной энергии. Интегрирование по 3Б совершено разбиением 8x8x4 согласно схеме Монкхорста-Пака. Равновесная структура определена минимизацией полной энергии относительно параметров решетки, а внутренние параметры структуры оптимизированы с помощью сил Гельмана-Фейнмана. Процесс минимизации осуществлялся до тех пор, пока модули сил $|\vec{F}| < 2 \frac{mRy}{a.u.}$. Важно упомянуть, что определение точной ионной и решеточной релаксации существенно для

Динамика решетки определена по теории DFPT (Density Functional Perturbation Theory) [9-11]. В DFPT статический линейный отклик на фононные искажения определяется исходя из электронных свойств основного состояния. С помощью DFPT динамические матрицы могут быть получены в любой точке 3Б. Используя элементы симметрии пространственной группы D_{6h}^4 , были вычислены динамические матрицы и фононные частоты в определенных точках (8х8х4 Монкхорст-Пак разбиение) 3Б. Потом, используя программу ANADDB из пакета программ ABINIT, путем Фурье-преобразования были определены межатомные

силовые постоянные в конфигурационном пространстве. Наконец, произведя обратное Фурье-преобразование, можно найти динамическую матрицу для любого волнового вектора в 3Б и, следовательно, частоты для всех фононов. Используя 40x40x40 разбиение 3Б, определена фононная плотность состояний.

ОБСУЖДЕНИЕ РЕЗУЛЬТАТОВ

На Рис.1 приведен рассчитанный фононный спектр и фононная плотность состояний для ε – GaSe. Дисперсия оптических фононов в направлении ΓA перпендикулярно к слоям незначительна, что указывает на слабость межслоевого взаимодействия. Характерное попарное расположение фононных состояний параллельно слоям является следствием слоистости кристалла.



Дисперсия фононов в ε – GaSe.

Колебания решетки исследуемых кристаллов распределяются по неприводимым представлениям фактор-группы D^1_{3h} кристалла в центре 3Б следующим образом [12]

$$\Gamma = 4A_1' + 4A_2'' + 4E' + 4E''$$
.

В ε – GaSe политипе шесть ИК-активных колебаний, из которых два образуют давыдовские дублеты с акустическими колебаниями, и, следовательно, являются низкочастотными. В спектрах КР активны одиннадцать колебаний, из которых десять образуют давыдовские дублеты друг с другом. Кроме того, поскольку в ε – GaSe нет центра инверсии, снимается правило альтернативного запрета и в КР могут проявляться ИК—активные моды E'.

На Рис.1 приведены рассчитанный фононный спектр и фононная плотность состояний для ε – GaSe. Как видно из рисунка, оптические фононы в направлении ГА поперек слоев обладают слабой дисперсией, что указывает на слабость межслоевого взаимодействия. В то же время частоты внутрислоевых колебаний проявляют существенную зависимость от волнового вектора. Из-за того что элементарная ячейка кристалла содержит два слоя и имеет слоистую структуру, фононные состояния параллельно слоям располагаются попарно. Низкочастотные оптические моды соответствуют колебаниям слоев как целое относительно друг друга. Кроме того, как видно из Рис.1, низкочастотные оптические ветви пересекаются с акустической. Этот факт может оказаться важным в процессах, где фонон-фононные взаимодействия играют существенную роль.

АВ INITIO РАСЧЕТ ФОНОННОГО СПЕКТРА ε – GaSe

Теоретические и экспериментальные [13,14] значения фононных частот по типам симметрии представлены в Таблице 2. Рассчитанные фононные частоты и экспериментальные данные находятся в хорошем согласии, и полученный фононный спектр можно считать достоверным.

Дальнодействующее электрическое поле вызывает расщепление дипольных оптических колебаний на поперечные (TO) и продольные (LO) оптические моды. В наших вычислениях дальнодействующее макроскопическое поле вызывающее LO-TO расщепление учитывается в динамической матрице с помощью Борновского эффективного заряда и высокочастотной диэлектрической постоянной. В ε – GaSe эти расщепления в точке Γ появляются как разрывы фононных мод, которые хорошо видны на Puc1.

Таблица 2. Рассчитанные $\omega_{\text{тео}}(\text{см}^{\text{-1}})$ и экспериментальные $\omega_{\text{экс}}(\text{см}^{\text{-1}})$ частоты ИК- и КР-активных мод ε – GaSe.

симметрия и	$\omega_{\text{reo}}(\text{cm}^{-1})$	$\omega_{\mathfrak{KC}}(cM^{-1})$	
активность фононов		[13]	[14]
A_1'	134.2	135.7	135
КР-актив	319.2	310.8	308
A ₂ "	32.7	-	37
ИК- актив	229.5		236
	230.4	247	247
E'	17.9	19.8	19.5
ИК+КР-актив	229	215.6	215
	253	254.5	252
E"	59.3	60	60
КР-актив	226	212.3	211

Как известно, скорости звуковых волн, определяемые наклонами акустических ветвей в центре зоны Бриллюэна, зависят от упругих свойств кристалла. Поэтому нами также определены упругие постоянные ε – GaSe. Гексагональные кристаллы имеют пять независимых упругих постоянных: C_{11} , C_{12} , C_{13} , C_{33} и C_{44} . В Таблице 3. приведены рассчитанные и экспериментальные [15-17] значения упругих постоянных.

Таблица 3.

Упругие постоянные $\varepsilon - GaSe$ (в 10^{10} N/m^2).

упругие	[15]	[16]	[17]	теория
постоянные				
C ₁₁	9.4	10.5	10.33	10.74
C ₃₃	3.18	3.57	3.41	3.29
C ₄₄	1.25	1.05	0.9	0.97
C_{12}	-	2.75	2.89	2.93
C ₁₃	-	1.22	1.2	1.09

В связи с экспериментальными трудностями, значения C_{13} , определенные разными авторами, сильно отличаются. Поэтому различие рассчитанного и экспериментального значения для C_{13} может быть вызвано отсутствием точных экспериментальных данных для C_{13} . Фактор анизотропии упругих свойств, определяемый соотношением C_{11}/C_{33} , составляет 3.26. Такая большая продольная анизотропия также свидетельствует о различных величинах сил межатомных взаимодействий внутри слоев и перпендикулярно к нему. Используя полученные упругие постоянные, нами рассчитаны и скорости звука, распространяющиеся вдоль гексагональной оси C в поляризациях C_{13} , C_{13} и перпендикулярно оси C в

3.А.ДЖАХАНГИРЛИ

поляризациях L_2 , T_2 , T_2 ' (L_i , T_i продольные и поперечные моды, соответственно) по следующим формулам:

$$L_1, T_1: \qquad \rho v^2 = C_{33}; \quad \rho v^2 = C_{44},$$

L₂, T₂, T₂':
$$\rho v^2 = C_{11}$$
; $\rho v^2 = C_{66} = (C_{11} - C_{12})/2$; $\rho v^2 = C_{44}$,

где v – скорость звука, $\rho = 5030$ кг/м³ - плотность $\varepsilon - GaSe$.

Сопоставление рассчитанных и измеренных скоростей звука приведено в Таблице4. Результаты расчета находятся в хорошем согласии с экспериментальными данными.

Таблица 4.

Рассчитанные и экспериментальные значения звука (в м/с) ε – GaSe.

Моды	V _{reo}	[17]
L_1	2557	2604
T_1	1388	-
L_2	4620	4537
T_2	2786	2719
T_2'	1388	-

Для того чтобы оценить влияние поверхности, мы рассчитали также структуру и фононные частоты поверхности (0001) ε – GaSe в точках Γ , K и M. Расчет фононов проводился в модели пластинок, содержащей 16 слоев атомов, с использованием периодичность решетки. А в периодической геометрии соответствующие пластинки были разделены вакуумом толщиной 9Å. Равновесные положения поверхностных атомов получены минимизацией силы Γ ельмана-Фейнмана. Анализ рассчитанной равновесной структуры атомов показывает, что структурное изменение незначительно, что и следовало ожидать, так как межслоевое взаимодействие в этих кристаллах слабое и удаление слоя при создании поверхности мало влияет на геометрию атомов ближайшего слоя. Как показывают результаты разница в значении фононных частот в точках Γ , K, M и в эквивалентных точках Γ , K, M в объемном кристалле незначительна и находится в пределах $\Delta \omega$ <2 см⁻¹, что еще раз подтверждает слабость межслоевой связи.

ЗАКЛЮЧЕНИЕ

В настоящей статье на основе теории функционала плотности с помощью функции линейного отклика исследован колебательный спектр, определены скорости звука вдоль и поперек слоям и упругие постоянные ε – GaSe . Данные расчета и экспериментальных работ хорошо согласуются друг с другом. Результаты исследования атомной структуры и фононного спектра поверхности (0001) показывают, что объемные и поверхностные структурные, а также динамические свойства этих кристаллов имеют схожие характеристики, что характерно для слоистых кристаллов.

- 1. N.Troullier, L.Martins, *Efficient pseudopotentials for plane-wave calculations*, *Phys. Rev.* B, **43** (1991) 1993–2006.
- 2. T.J.Wieting, J.L.Verble, *Interlayer bonding and the lattice vibrations of GaSe, Phys.Rev.* B, **5** (1972) 1473-1479.
- 3. G.Lucazeau, Vibrational spectra of a GaS single crystal, Solid state commun., 18 (1976) 917-922.
- 4. R.Zallen, M.Slade, *Rigid-layer modes in chalcogenide crystals, Phys. Rev. B*, **9** (1974) 1627-1637.
- 5. H.Monkhorst, J.Pack, *Special points for Brillouin zone integrations, Phys. Rev.* B, **13** (1976) 5188-5192.

- 6. A.Kuhn, A.Chevy, R.Chevaller, *Crystal structure and interatomic distances in GaSe, Phys. Stat. Sol.(a)*, **31** (1975) 469-475.
- 7. L.Plucinski, R.LJohnson, B.J.Kowalski, K.Kopalko, B.A.Orlowski, Z.D.Kovalyuk, G.V.Lashkarev, *Electronic band structure of GaSe (0001):* Angle-resolved photoemission and ab initio theory, Phys. Rev. B, 6 (2003) 125304-1 125304-8.
- 8. X.Gonze, J.M.Beuken, R.Caracas, F.Detraux, M.Fuchs, G.M.Rignanese, L.Sindic, M.Verstraete, G.Zerah, F.Jallet, *First-principles computation of material properties: the ABINIT softwave project, Comput. Mater. Sci.*, **25** (2002) 478-487.
- 9. P.Gianozzi, S.de Gironcoli, P.Pavone, S.Baroni, *Ab initio calculationof photon dispersion in semiconductors, Phys. Rev. B*, **43** (1991) 7231-7244.
- 10. S.Baroni, S.de Gironcoli, A.Dal Corso, P.Gianozzi, *Photons and related properties of extended systems from density functional perturbation theory*, *Rev. Mod. Phys.*, **73** (2001) 515-521.
- 11. X.Gonze, Phys.Rev. B, First-principles responses of solids to atomic displacements and homogeneous electric fields: implementation of conjugate-gradient algorithm, 55 (1997) 10337-10348.
- 12. S.Jandl, J.L.Brebner, *Group theoretical analysis in lattice vibrations in GaSe polytypes, Can. J. Phys.*, **52** (1974) 2454-2458.
- 13. R.M.Hoff, J.C.Irvin, Resonant Raman scattering in GaSe, Phys.Rev. B, 10 (1974) 3464-3470.
- 14. E.Finkman, A.Rizzo, Lattice vibration and structure of Gas and GaSe, Solid state commun., 15 (1974) 1841-1845
- 15. B.M.Powell, S.Jandl, J.L.Brebner, F.Levy, *Anisotropic photon dispersion in GaS. J. Phys. C*, **10** (1977) 3039-3044.
- 16. Ch. Hamaguchi. K. Wasa, M. Yamawaki, The III Internat. Conf. Phonon Scattering in Condenced Matter, Providence 1979, Ed. H.J. Maris, Plenum Press, (1980) 441
- 17. M.Gatulle, M.Fischer, A.Chevy, *Elastic Constants of the layered compounds GaS, GaSe, InSe and their pressure dependence, Phys. Stat., Sol.*, (b), **119** (1983) 327-33.

ε – GaSe Kristalinin fonon spektrinin ilk prinsiplərdən hesablanması

Z.A.JAHANGIRLI

İlk prinsiplərdən $\mathcal{E}-GaSe$ kristalının fonon spektri hesablanmışdır. Elastiki sabitlər, laylara paralel və perpendikulyar istiqamətdə səsin sürəti təyin olunmuşdur. Hesablama göstərir ki, (0001) səthinin relaksasiya olunmuş atom strukturu və fonon spektri ideal kristaldan cüzi fərqlənir. Brilluen zonasının mərkəzində fononların simmetriyası və tezliyi Raman və İQ eksperimentlərinin nəticəsilə yaxşı uzlaşır.

AB INITIO CALCULATION OF PHONON SPECTRA OF ε – GaSe

Z.A.JAHANGIRLI

The density functional theory based ab initio calculations of the phonon spectra of the layered semiconductor of ε -GaSe have been carried out. Elastic constants and sound velocity along and perpendicular to layers have been determined. Investigation of equilibrium structure and phonon spectra of a surface (0001) of ε -GaSe have been shown, that atomic structural and dynamic properties of these crystals differ insignificantly. The calculated and symmetry of phonons frequencies in the center of Brillouin zone have been in good agreement with experimental data received from Raman and IR spectra.

Редактор: М. Бабаев

UOT 621·315; 548·552; 546·28

QAMMA KVANTLARI İLƏ ŞÜALANDIRILMIŞ Pb_{1-x}Mn_xTe EPİTAKSİAL TƏBƏQƏLƏRİNİN SƏTHININ AGM- TƏDQİQİ

T.İ.KƏRIMOVA, H.R.NURIYEV*, Ş.M.ABBASOV, M.Ə.RAMAZANOV**

Azərbaycan MEA Radiasiya Problemleri İnstitutu
AZ 1143, Bakı çəh.. F.Agaev, 9
Azərbaycan MEA Fizika İnstitutu*
AZ 1143, Bakı şəh., H.Cavid pr. 33
Bakı Dövlət Universiteti**
AZ 1148, Bakı şəh., Z.Xəlilov küç.. 23
kerimova.t@rambler.ru

Daxil olub: 16.05.2011 Çapa verilib: 01.09.2011

Açar sözlər: epitaksial təbəqə, atom – güc mikraskopu (AGM), qamma şüalanma, üç ölçülü (3D), AGM- təsvirləri.

REFERAT

Pb_{1-x}Mn_xTe epitaksial təbəqələrinin qamma şüalanmadan əvvəl və sonra səth morfologiyasının müqayisəli mikroskopik tədqiqatı aparılmışdır. Üçölçülü AGM-təsvirləri və onların histoqrammaları əsasında müəyyən edilmişdir ki, manqanın konsentrasiyasını və udulma dozasının qiymətini dəyişməklə müxtəlif defekt hallarına malik səthli təbəqələr almaq olar.

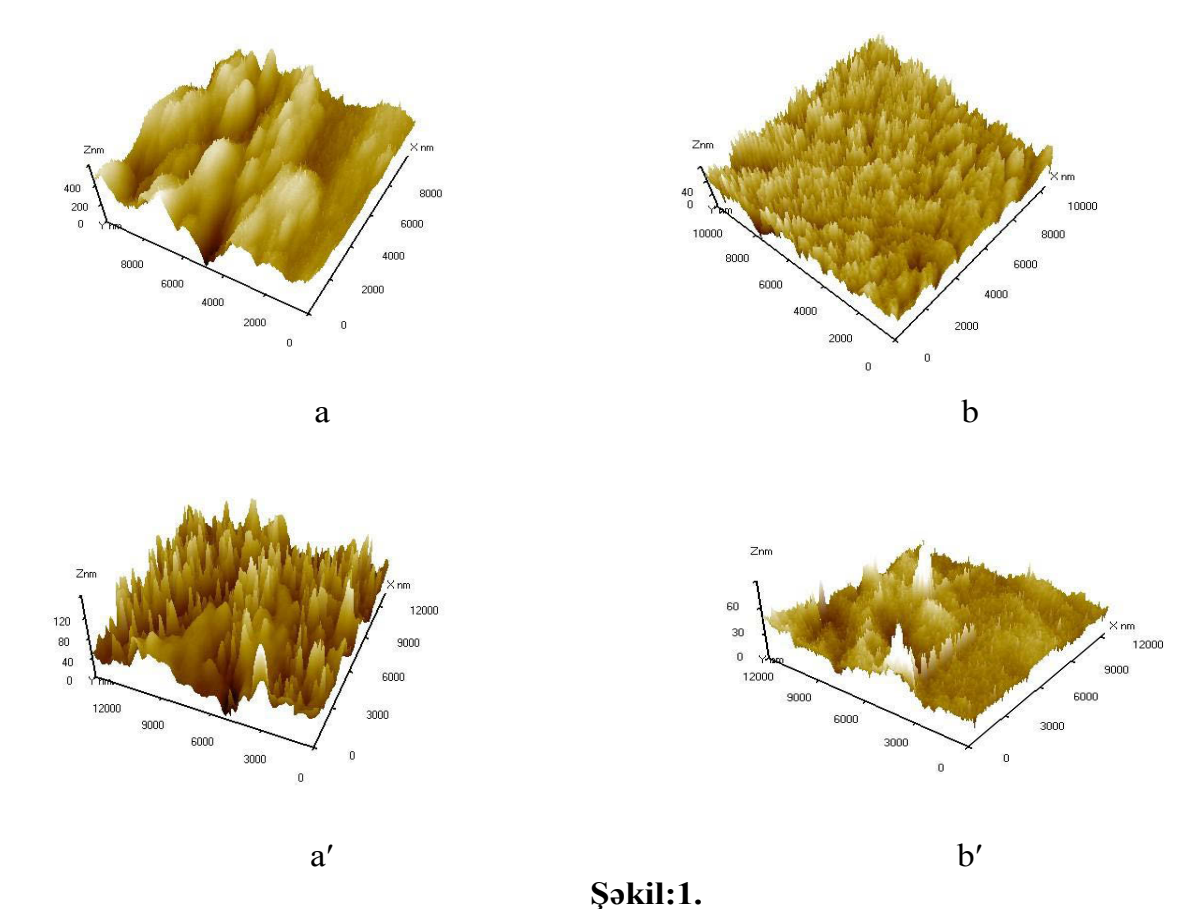
GIRIŞ

A^{IV}B^{VI} tipli qrupa daxil olan Pb_{1-x}Mn_xTe epitaksial təbəqələri çoxözəkli qəfəsə malik yarımkeçiricilərdir. Bu nümunələrin tərkibində Mn (manqan) ionlarının olması onlardan maqnitlə idarə olunan yeni yarımmaqnit xassəli diodların hazırlanmasına zəmin yaradır. Qeyd etmək lazımdır ki, çoxözəkli qəfəsə malik bu tip materiallarda nizamli, periodik ,lay –lay yiğilmiş bir neçə yarimkeciricinin birgə yaratdiği əlavə potensial hesabina qeyri-adi elektrofiziki və optik xassələr meydana çixir [1]. Bu xassələr xarici amillərin, o cümlədən, radiasiyanın təsiri altında dəyişə bilər [2]. Nazik epitaksial təbəqələrin fundamental (optik və elektrofiziki) xassələrinin dəyişməsi onların səth halları ilə birbaşa bağlıdır və səthdə baş verən dəyişikliklər ilə tənzimlənirlər. Bu nöqteyi nəzərdən epitaksial təbəqələrin səthlərində radiasiyanın təsirilə baş verən dəyişikliklərin izlənilməsi xüsusi əhəmiyyət kəsb edir.Bu ölçmələrin nəticələri radiasiyaya davamlı diodların alınması və onların ğeniş tətbiq oblastlarının müəyyən edilməsində xüsusi rol oynaya bilər.

Yuxarıda deyilənlərə əsaslanaraq $Pb_{1-x}Mn_xTe$ epitaksial təbəqələrinin səthində, nümunələrin tərkibindəki manqan aşqarının faiz miqdarından və γ - şüalanmanın udulma dozasından asılı olaraq , baş verən dəyişikliklər AGM –metodu ilə öyrənilməsidir.

NÜMUNƏLƏRIN ALINMA VƏ ÖLÇÜLMƏ METODIKASI

Nümunələr, qalınlıqları 2,5 \pm 0,3mkm tərtibində molekulyar dəstədən kondensasiya üsulu ilə alınmışdır [3]. Manqan aşqarının nümunədəki kütlə faiz miqdarı 1 və 4 olmuşdur. Nümunələr Co⁶⁰ izotop mənbəli MRX-25 γ -25 qurgusunda D $_{\gamma}$ =10÷25kGr dozada şüalandırılmışdır. Şüalanma dozasının gücü dD $_{\gamma}$ /dt=0.4Qr/s. Nümunələrin səthləri şüalanmadan əvvəl və sonra atom güc mikroskopu(AGM) metodu ilə tədqiq olunmuşdur [4]. Bu məqsədlə səthin üç ölçülü (3d) təsvirləri və səth təsvirlərinin ölçülərə görə paylanma əyriləri- histogrammaları alınmışdır.



 $Pb_{1-x}Mn_xTe$ epitaksial təbəqələrinin üçölçülü (3d) AGM təsvirləri: a - $Pb_{1-x}Mn_xTe$ (x=0,01), b - $Pb_{1-x}Mn_xTe$ (x=0,04)(şüalanmadan əvvəl), a - $Pb_{1-x}Mn_xTe$ (x=0,01), b'- $Pb_{1-x}Mn_xTe$ (x=0,04) (şüalanmadan sonra)

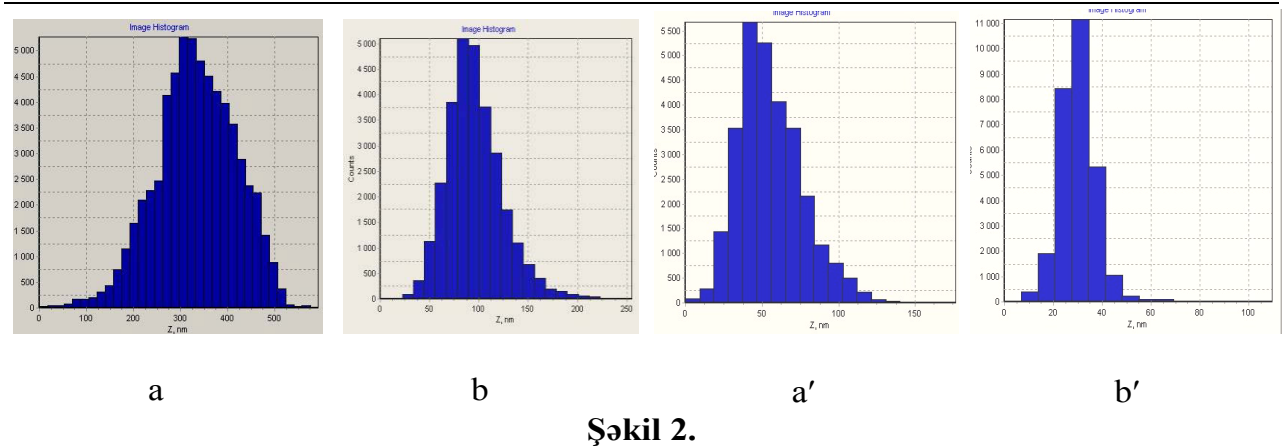
ALINAN NƏTICƏLƏRIN MÜZAKIRƏSI

Şəkil-1 AGM vasitəsi ilə alınmış səth təsvirlərinə nəzər salsaq görərik ki, şüalanmadan əvvəl səthin defektlik dərəcəsi(a), şüalanmadan sonrakı (a') səthin defektlik dərəcəsindən bir neçə dəfə çoxdur. Bu isə deməyə imkan verir ki, artım γ- şüaların təsiri nəticəsində Mn aşqarının sərbəst atomlarının kristalın səthinə diffuziyasının artmasının nəticəsidir [2]. Həmçinin iki müxtəlif faizli Pb_{1-x}Mn_xTe təbəqələrində aşqarının faizinin artması ilə də, nümunənin şəkil-1 a) və b) səth təsvirlərini müqayisə etsək, görərik ki, Mn aşqarının səth defektlərinin konsentrasiyası artır. Bu da öz növbəsində dediklərimizi təsdiq edir, belə ki, aşqarın faiz miqdarı artdıqda təbəqələrin səthində sərbəst atomların konsentrasiyası da artmış olur və səthin defektlik dərəcəsi də artır.

Bu fikirləri 4%-li Mn aşqarlı nümunələrin şüalanmadan əvvəlki və sonrakı səth təsvirlərinin müqayisəsi zamanı da demək olar şəkil-1 b), b^{\prime}).

2-ci şəkildə $Pb_{1-x}Mn_xTe$ yarimkeciriçisinin şüalanmadan əvvəl a), b) və şüalanmadan sonra a'), b') səth elementlərinin ölcülərə görə atomların paylanma histoqramı göstərilmişdir.Göründüyü kimi,şüalanmadan əvvəl səth elementlərinin ölçülərə görə paylanması $60 \div 100$ nm arasında olan hissəyə, şüalanmadan sonra isə $20 \div 40$ nm arasında olan hissəyə düşür. Bu fərq isə kristalın tərkibində Mn aşqarının artması hesabına baş verə bilər [3].

T.İ.KƏRIMOVA, H.R.NURIYEV, Ş.M.ABBASOV, M.Ə.RAMAZANOV



 $Pb_{1-x}Mn_xTe$ nazik təbəqəsinin AGM-də histoqramması: a - $Pb_{1-x}Mn_xTe$ (x=0,01), b - $Pb_{1-x}Mn_xTe$ (x=0,04)(süalanmadan əvvəl), a - $Pb_{1-x}Mn_xTe$ (x=0,01), b - $Pb_{1-x}Mn_xTe$ (x=0,04)(süalanmadan sonra).

NƏTICƏ

Aparılmış AGM tədqiqatları nəticəsində belə nəticəyə gəlmək olur ki, Mn aşqarının konsentrasiyasını və γ şüalarının dozasını dəyişməklə tələb olunan monosturuktura malik nümunələr almaq, onların xassələrini idarə etmək və tətbiq oblastını genişləndirmək olar. Bu isə $Pb_{1-x}Mn_x$ Te təbəqələri əsasında radiasiyaya davamlı yüksək həssaslığa malik fotoqəbuledicilərin hazırlanması üçün imkanlar yaradır.

- 1. Я.И.Нестерец, В.И.Пунегов, К.М.Павлов, Н.Н.Фалеев, *Исследование структурных характеристик полупроводниковой сверхрешетки (JnGa)As/GaAs с использованием высокоразрешающей рентгеновской дифрактометрии, ЖТФ*, **69** №2 (1999) 44-53.
- 2. П.М.Латвии, И.В.Прокопенко, В.П.Кладько, Л.Л.Федеренко, *АСМ* исследования наноостровков на поверхности полупроводниковых структур, БелСЗМ-5. г. Минск. 7-8 окт., (2002) 28-32.
- 3. С.А.Рыков, Полупроводниковых материалов и наноструктур. БелСЗМ-5 Санкт-Петербург, Наука, (2001) 53.
- 4. В.Миронов, Основы сканирующей зондовой микроскопии, Москва, Техносфера, (2001) 143.

AFM RESEARCH OF QAMMA-KVHANTS IRRADIATED $Pb_{1-x}Mn_xTe$ EPITAXIAL FILMS SURFACE

T.I.KERIMOVA, N.R.NURIYEV, Sh.M.ABBASOV, M.A.RAMAZANOV

The comparitive microexamination of surface morphology of sources and gamma-irradiated lead manganese telluride ($Pb_{1-x}Mn_xTe$) epitaxial films has been carried out.

On the basis of there dimensional (3-d) ASM-images and histograms has been determined that, it has been possible to obtain surface layers, with different defective conditions by changing the concentration and absorbed dose of manganese.

АСМ-ИССЛЕДОВАНИЕ ПОВЕРХНОСТИ ОБЛУЧЕННЫХ ГАММА-КВАНТАМИ ЭПИТАКСИАЛЬНЫХ ПЛЕНОК $Pb_{1-x}Mn_xTe$

Т.И.КЕРИМОВА, Н.Р.НУРИЕВ, Ш.М.АББАСОВ, М.А.РАМАЗАНОВ

Проведено сравнительное микроскопическое исследование морфологии поверхности исходных и гамма-облученных эпитаксиальных пленок теллурида марганца свинца ($Pb_{1-x}Mn_xTe$). На основе трехмерных АГМ- изображенний и их гистограмм показано, что варьированием концентрации марганца и поглощенной дозы можно получить пленки с различным поверхностным дефектным состоянием.

Редактор: Дж.Исмайлов

УДК 544.25; 548.74

ВЛИЯНИЕ СИЛЬНОГО ЭЛЕКТРИЧЕСКОГО ПОЛЯ НА ТОКОПРОХОЖДЕНИЕ В ХАЛЬКОГЕНИДНОМ СТЕКЛООБРАЗНОМ ПОЛУПРОВОДНИКЕ Se₉₅As₅, СОДЕРЖАЩЕМ ПРИМЕСИ РЕДКОЗЕМЕЛЬНЫХ АТОМОВ EuF₃

С.Н.ГАРИБОВА, А.И.ИСАЕВ, С.И.МЕХТИЕВА, В.З.ЗЕЙНАЛОВ

Институт Физики НАН Азербайджана AZ 1143, г. Баку, пр. Г.Джавида, 33 sqaribova@rambler.ru

поступила 25.04.2011 принята к печати 04.07.2011

Ключевые слова: токопрохождение, система $Se_{95}As_5$, длина активации, U-центры.

REFERAT

Исследованием вольтамперных характеристик (ВАХ) структуры $Al-Se_{95}As_5 < EuF_3 > -Te$ установлено, токопрохождение в нем при приложении к Те положительного потенциала осуществляется токов монополярной инжекции, механизму ограниченных пространственными зарядами (ТОПЗ), а при обратной полярности наблюдается ВАХ N-типа. Показано, что при напряженностях приложенного электрического поля, превышающего 10^5 B/см, токопрохождения механизме В исследованных структурах преобладающую роль играют процессы термополевой ионизации нейтральных и отрицательно заряженных U-центров, а также процессы рекомбинации электронов и дырок, и захват носителей заряда на U-центры. Определены энергетическое положение и концентрация локальных состояний, соответствующих указанным центрам и характеризующее влияние электрического поля - длина активации. Установлено, что примеси EuF₃, в основном, влияют на концентрацию локальных состояний.

В последнее время сильно возрос интерес к электронным свойствам стеклообразных полупроводников $(XC\Pi)$. халькогенидных полупроводников уникальны тем, что обладают оптической прозрачностью в ближнем и среднем ИК-диапазоне, имеют высокий показатель преломления, низкую энергию фононного взаимодействия, а также способны изменять край оптического поглощения при освещении светом с энергией фотона в порядке щели подвижности. Кроме этого, при таком освещении появляются регистрируемые электронным спиновым резонансом неспаренные спины, фотолюминесценция стоксового сдвига и т.д. Благодаря таким уникальным особенностям электронных свойств ХСП материалы широко используются в качестве активных сред в различных оптоэлектронных устройствах, в частности, в лазерах, оптических усилителях и преобразователях [1-5]. Кроме этого, ХСП считаются перспективными материалами для элементов памяти, информации на которых осуществляется за счет фазового перехода стеклокристалл, происходящего под действием электрического поля. Переход из высокоомного стеклообразного состояния в низкоомное кристаллическое происходит на фоне сильной нелинейности вольтамперной характеристики (ВАХ). Предложены различные модели, описывающие нелинейность ВАХ ХСП материалов [6-11], но отсутствует общепризнанный механизм, объясняющий основные особенности ВАХ указанных материалов в сильном электрическом поле.

Особый интерес представляют XCП, в состав которых введены ионы редкоземельных элементов (РЗЭ). Это обусловлено с тем что, 4f электронное

С.Н.ГАРИБОВА, А.И.ИСАЕВ, С.И.МЕХТИЕВА, В.З.ЗЕЙНАЛОВ

состояние в РЗЭ элементах является более устойчивым, и в запрещенной зоне ХСП системы располагаются локальные уровни, обусловленные 4f состояниями ионов РЗЭ. В таком случае оптическая ширина запрещенной зоны ХСП перекрывает по энергии максимально возможное число переходов, разрешенных для ионов РЗЭ, вследствие чего наблюдается широкий спектр фотоиндуцированных явлений при облучении светом с энергией фотона, соответствующего оптической ширине запрещенной зоны. Проведенные исследования показали, что добавление примеси в ХСП, проявляющейся в виде ионов позволяет направленно изменять электронные свойства, в частности, улучшить параметры переноса электрического заряда, повысить фоточувствительность [12-13] и добиться повышения оптической прозрачности материала [14-16]. Это объясняется влиянием указанной примеси на параметры собственных заряженных дефектов $(D^- \text{ и } D^+)$, т.е. дефектов с отрицательной корреляционной энергией, так называемых U-центров [17], контролирующих большинство электронных свойств ХСП. Одним из надежных способов, позволяющих выяснить механизм электронных процессов, ответственных за вышеперечисленные особенности, является исследование влияния сильного электрического поля на перенос электрического заряда, которому посвящена настоящая работа.

МЕТОДИКА ЭКСПЕРИМЕНТА И ИЗГОТОВЛЕНИЕ ОБРАЗЦОВ

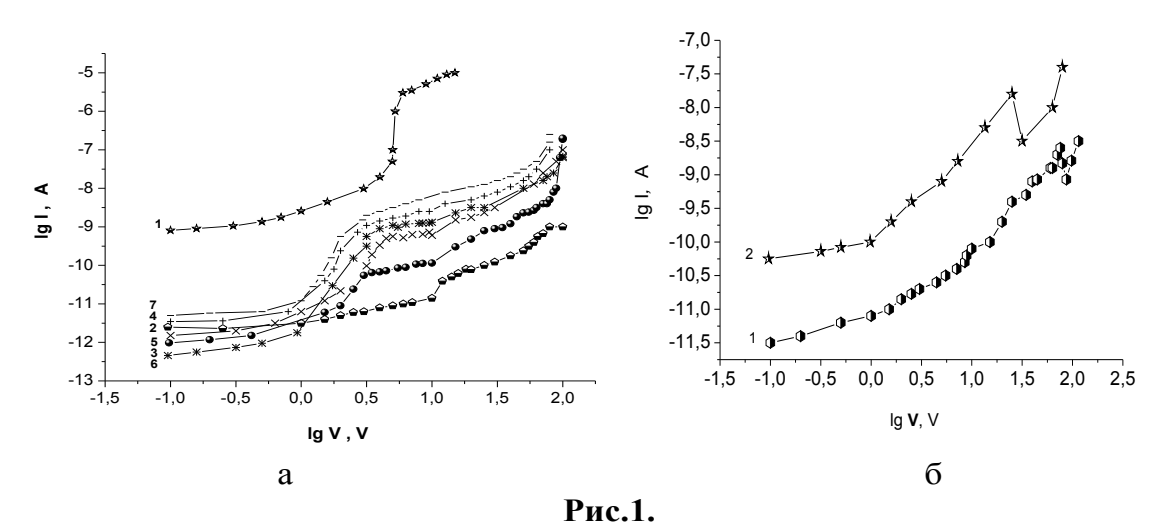
Синтез XCП состава $Se_{95}As_5$ с примесью EuF_3 осуществлялся сплавлением соответствующих количеств химических элементов особой чистоты в вакуумированных до 10^{-6} мм. рт.ст. кварцевых ампулах при температуре выше 900^{0} С во вращающейся печи с последующим охлаждением в режиме выключенной печи. Примесь вводилась в процессе синтеза, концентрация ее лежала в пределах $0.005 \div 1$ ат%.

Вольтамперные характеристики (BAX) измерены в стационарном режиме по стандартной методике. Образцы представляли собой «сендвич» с алюминиевыми и теллуровыми электродами и изготовлялись методом термического испарения в вакууме $\sim \! 10^{-6}$ мм. рт.ст. Толщина пленок измерялась интерферометрическим методом и варьировалась в диапазоне $1 \div 10$ мкм. BAX структуры Al-Se₉₅As₅<EuF₃>-Те исследовались при приложении электрического напряжения обеих полярностей. Режим ТОПЗ наблюден при приложении к Те положительного потенциала, а при обратной полярности наблюдается BAX N-типа.

РЕЗУЛЬТАТЫ И ИХ ОБСУЖДЕНИЕ

На Рис. 1 показана ВАХ структуры Al-Se₉₅As₅<(EuF₃)_x>-Te (x=0.005; 0.5) при приложении к Те положительного (Рис.1, а), и отрицательного (Рис.1, б) потенциалов при комнатной температуре (такие же ВАХ наблюдены для других концентраций примеси EuF_3). Наблюдаемые особенности ВАХ исследуемых структур при приложении к теллуровым электродам положительного потенциала (Рис.1, а) свидетельствует о том, что перенос носителей заряда (дырок) в указанном направлении осуществляется по механизму токов монополярной инжекции, ограниченных пространственными зарядами, при участии ловушек захвата носителей заряда [18]. Исследование показало, что напряжение, при котором начинается сверхлинейная зависимость силы тока от напряжения, квадратично зависит от толщины образца, что еще раз доказывает осуществление механизма ТОПЗ. ВАХ структуры Al-Se₉₅As₅<EuF₃>-Те при приложении положительного потенциала к Те отличается тем, что после участка, подчиняющегося омическому закону, не наблюдается $I\sim V^2$, которая имеет место при участии мелких ловушек, а наблюдается участок, соответствующий степенному закону, т.е. $I\sim V^n$, где п

превышает 2. Далее наблюдается участок, где $I \sim V^2$. Наконец квадратичный участок сменяется участком, в котором наблюдается область более сильного возрастания тока. Здесь возрастание тока с напряжением описывается зависимостью близкой к экспоненциальной, что обычно связывается с ионизацией локальных центров [19].



BAX структуры Al-Se₉₅As₅<EuF₃>-Те при приложении к Те положительного (а) и отрицательного (б) потенциалов при комнатной температуре: $1-Se_{95}As_5(EuF_3)_{0.005}$, $2-Se_{95}As_5(EuF_3)_{0.5}$.

Особенности ВАХ исследованных нами структур Al-Se₉₅As₅<EuF₃>-Te свидетельствуют о том, что в указанном материале перенос электрического заряда ловушечных контролируется несколькими группами центров захвата, расположенных по разные стороны от уровня Ферми. Из Рис.1, б видно, что при обратном направлении (при отрицательном потенциале у теллурового электрода) с ростом значения приложенного напряжения линейная зависимость заменяется нелинейным законом и, наконец, при напряженности электрического поля, превышающего 10³B/см наблюдается N-образная BAX. Такое поведение BAX свидетельствует об отсутствии токов монополярной инжекции в исследуемых структурах при приложении к теллуровым электродам отрицательного потенциала. Линейность ВАХ исследованных структур, представленная на Рис.2, зависимости логарифма силы тока от величины напряжения (т.е. экспоненциальная напряжения) свидетельствует зависимость тока об делокализации локальных состояний под действием электрического поля. Об этом также сообщалось авторами работ [9-11]. В работе [10] нелинейность ВАХ ХСП в сильном электрическом поле связывалась с многофононной ионизацией U⁻-центров [20-21]. Суть данной модели заключается в том, что на первом этапе процесса происходит тепловое возбуждение электрона до некоторого энергии, затем возбужденные электроны туннелируют уровня барьер, потенциальный создаваемый электрическим полем D-центра ионизации D^0 -центра, или же короткодействующим полем нейтрального D^0 -центра при ионизации D⁻-центра. Принимая энергетическое расположение D⁰-центра, соответствующим глубине 0,6Эв от края валентной зоны, авторами работы [10] рассчитана вероятность термоионизации в зависимости от приложенного электрического поля и установлено, что максимальная вероятность данного процесса должна иметь место при напряженности, превышающей 10⁵B/см. В наших экспериментах N-образный участок ВАХ (Рис. 1, б) наблюдается при таких же значениях напряженности приложенного электрического поля, что еще раз свидетельствует о преобладающей роли ионизации локальных центров в механизме токопрохождения в исследованных структурах. Согласно [10], в

С.Н.ГАРИБОВА, А.И.ИСАЕВ, С.И.МЕХТИЕВА, В.З.ЗЕЙНАЛОВ

сильном электрическом поле происходит ионизация нейтральных и отрицательно заряженных U-центров, а также процессы захвата электронов на ионизованные центры:

$$D^{-} \leftrightarrow D^{0} + e$$

$$D^{-} \leftrightarrow D^{+} + e.$$

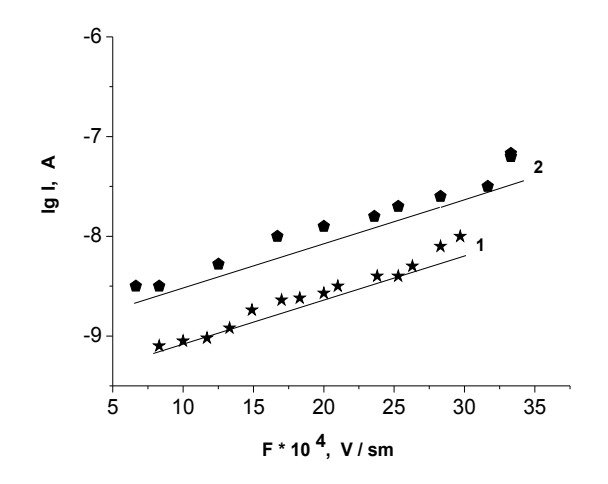


Рис.2.

Зависимости логарифма силы тока от напряженности приложенного электрического поля: $1-Se_{95}As_5(EuF_3)_{0.005}$, $2-Se_{95}As_5(EuF_3)_{0.5}$.

Рис.3.

Температурная зависимость силы тока при различных значениях приложенного электрического поля для структуры AlSe₉₅As₅<(EuF₃)_{0.5}>-Te: I-10V, 2-18V, 3-32V, 4-56V, 5-100V.

Уменьшение силы тока, по-видимому, связано с тем, что после достижения определенной концентрации свободных носителей заряда происходит их лавинообразный захват U-центрами, или же рекомбинация электронов и дырок. Не проявление N-образного участка в ВАХ при приложении положительного потенциала к теллуровому электроду объясняется тем, что сильная инжекция носителей заряда через контакты превалирует над процессами захвата и рекомбинации. На Рис. 3 показана температурная зависимость силы тока при различных значениях приложенного электрического поля для структуры $Al-Se_{95}As_5 < (EuF_3)_{0.5} > -Te$. Аналогичная зависимость была наблюдена для Se₉₅As₅, содержащего разные концентрации EuF₃ Ha Рис.4 показана зависимость энергии активации проводимости от напряженности приложенного электрического поля для ХСП материала Se₉₅As₅, содержащего разные концентрации EuF₃. Наблюдаемые особенности ВАХ в области сильных полей (величина напряженности поля превышает 10³В/см) позволяют нам для интерпретации полученных результатов привлечь механизм, предложенный авторами работы [9], согласно которому величина силы тока определяется выражением

$$I=AVexp(-\frac{Ea}{kT}), (1)$$

где Ea - энергия активации, к — постоянная Больцмана, T — температура, V напряжение, приложенное к образцу, A — величина с размерностью проводимости, характерная для данного образца.

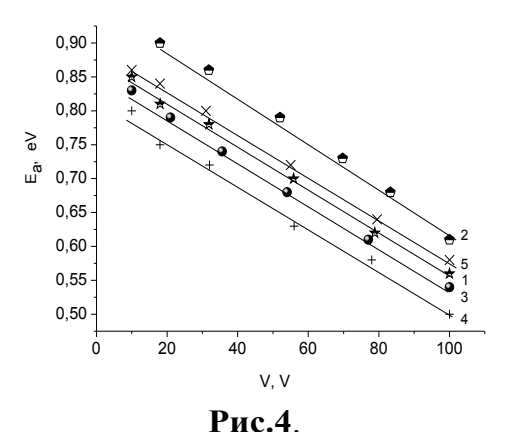
Согласно [9]
$$A=Gq\mu_pVN_e$$
, (2) где $G=S/d$ коэффициент, характеризующий геометрию образца, μ_p – подвижность дырок, N_e – концентрация эмиссионных центров, q – заряд электрона.

Как видно из Рис.4, энергия активации электропроводности уменьшается с ростом напряженности электрического поля по закону

$$Ea = B - qLF, (3)$$

где В - характеризует высоту эмиссионного барьера и соответствует половине ширины запрещенной зоны, F – напряженность электрического поля, L – активационная длина в соответствии с [9].

Используя уравнения (1), (2), (3) и учитывая $\mu_p = 10^{-4} \text{ cm}^2/\text{B} \cdot \text{сек}$ [14], из кривых Рис.2 и Рис. 4 определены параметры B, N_e и L, результаты которых представлены в Таблице. Как видно из Таблицы, малые концентрации примеси EuF₃ уменьшают концентрацию эмиссионных центров, а большие увеличивают, но при этом значение L не изменяется. Предполагается, что в качестве эмиссионных выступают центры с отрицательной корреляционной энергией с уровнями энергии, расположенными вблизи середины запрещенной зоны, что позволяет нам для интерпретации полученных результатов привлечь представление, развитое в рамках модели заряженных собственных дефектов[17].



Зависимость энергии активации проводимости от напряженности приложенного электрического

поля для структур: 1-Al-Se₉₅As₅-Te, 2-Al-Se₉₅As₅<(EuF₃)_{0 01}>-Te, 3-Al-Se₉₅As₅<(EuF₃)_{0 005}>-Te, 4-Al- $Se_{95}As_5 < (EuF_3)_0 > -Te$, $5-Al-Se_{95}As_5 < (EuF_3)_1 > -Te$.

_	•		
ลด	ЛІ	111	а.

	N _e , sm ⁻³	B, eV	L, nm
Se ₉₅ As ₅	$2 \cdot 10^{19}$	0.87	21
Se ₉₅ As ₅ (EuF ₃) _{0.005}	$9.4 \cdot 10^{18}$	0.86	22
$Se_{95}As_{5}(EuF_{3})_{0.01}$	$9.3 \cdot 10^{18}$	1.00	21
$Se_{95}As_{5}(EuF_{3})_{0.1}$	$1.5 \cdot 10^{18}$	0.85	21
$Se_{95}As_{5}(EuF_{3})_{0.5}$	$3.1 \cdot 10^{18}$	0.81	23
$Se_{95}As_5(EuF_3)_1$	$1.25 \cdot 10^{19}$	0.89	20

Согласно этой модели, перенос носителей заряда в ХСП контролируется U-центрами, представляющими собой заряженные дефекты D^+ и D^- , которые образуются из исходных нейтральных дефектов D^0 согласно реакции

$$2D^0 \rightarrow D^+ + D^-, \tag{4}$$

 D^{+} и D^{-} -центры, являющиеся ловушками для электронов и дырок. Предпологается, что роль D-центров в нашем случае играют центры C_1 и P_2 , связанные с оборванными связями селена и атомами мышьяка с нарушенной координацией, соответственно, а роль D^+ -центров играют трехкоординированные атомы мышьяка и селена.

При введении ХСП положительно заряженной примеси (предполагается, что европий, в основном проявляется в виде положительно заряженного иона Eu⁺³) должен выполняться закон электронейтральности

$$[A^{+}]+[D^{+}]=[D^{-}].$$
 (5)

Согласно закону действующих масс количественное соотношение между концентрациями заряженных центров определяется выражением

$$[D^{+}][D^{-}] = [D^{0}]^{2} = const.$$
 (6)

Согласно (5) и (6), при введении положительно заряженной А⁺ примеси концентрация D⁺-центров должна уменьшаться, а концентрация D⁻центров - увеличиваться. Действительно, при относительно больших концентрациях европия (0.5÷1ат%) концентрация D⁻-центров увеличивается (Таблица). Влияния примеси EuF₃ при малых концентрациях не происходит в рамках модели заряженных собственных дефектов, т.е. в результате участия примеси EuF₃ концентрация D⁻центров уменьшается. Такое же влияние на U⁻-центры оказывают и примеси галогенов, т.е. примеси галогенов в малых концентрациях вследствие химической активности, образуя ковалентную связь с мышьяком и селеном, уменьшают концентрацию собственных дефектов обоих знаков [13,14]. Аналогичное влияние наблюдалось и в настоящей работе, и, по-видимому, также обусловлено химической активностью ионов РЗЭ и фтора, способных образовать химические соединения с селеном и мышьяком, в результате чего уменьшается концентрация исходных собственных дефектов.

Согласно [23] ХСП материалы, например, селенид мышьяка, к которым можно отнести и XCП состав Se₉₅As₅, обладают менее лабильной и более жесткой структурой, вследствие чего в указанных материалах формируются упорядоченные микрообласти с высоким координационным числом, отдаленные друг от друга областями с пониженной атомной плотностью. Такое различие в расположении атомов приводит к тому, что микроскопическая плотность ρ у границы микрообласти с высоким координационным числом становится меньше, чем внутри самой области. Если принять, что введенные EuF₃ проявляются в виде ионов Eu³⁺ и F⁻ и в малых количествах, в основном, наполняют существующие пустоты, то они будут способствовать устранению неоднородностей, связанных с дефицитом плотности в указанных областях и, одновременно, благодаря химической активности способствовать образованию структурного элемента типа EuSe₃ SeF₆. Вследствие этого уменьшится концентрация оборванных связей, сопровождаемая уменьшением плотности локализованных состояний в щели подвижности, связанной с заряженными дефектами (U-центрами). При больших концентрациях примесных молекул EuF₃ ионы Eu³⁺ и F⁻ распределяются по всей матрице, и в щели подвижности Se₉₅As₅ образуются новые локальные состояния, связанные с ними. Если принять, что L – активационная длина, входящая в формулу (3), соответствует размерам областей с пониженной плотностью, то можем утверждать, что вводимые примеси, не влияя на размеры указанных областей, только изменяют концентрацию заряженных собственных дефектов.

ЗАКЛЮЧЕНИЕ

В результате проведенных исследований установлено, что перенос носителей заряда (дырок) в структуре Al-Se $_{95}$ As $_{5}$ <EuF $_{3}$ >—Те осуществляется по механизму токов монополярной инжекции, ограниченных пространственными зарядами, при участии ловушек захвата, а экспоненциальная зависимость тока от напряжения наблюдаемая при напряженности электрического поля, превышающего 10^{5} B/см, объясняется ионизацией локальных состояний под действием электрического поля. Используя модель, предложенную в [9], определены энергетическое положение и концентрация локальных состояний, играющих роль эмиссионных центров. Показано, что введением примеси EuF $_{3}$ концентрация эмиссионных центров заметно изменяется, а их энергетическое положение, а также длина активации остаются неизменными и не зависят от концентрации вводимых

примесей. Предполагая, что в качестве эмиссионных выступают центры с отрицательной корреляционной энергией с уровнями энергии, расположенными вблизи середины запрещенной зоны, а также с учетом структурных особенностей XCП материалов интерпретация полученных результатов проведена в рамках модели заряженных собственных дефектов [17]. Малые содержания примеси EuF_3 (до 0.1at%) уменьшают концентрацию глубоких ловушек, а большие (больше чем 0.1at%) - увеличивают. Поведение примеси EuF_3 в малых концентрациях объяснено химической активностью ионов P39 и фтора, способных образовать химические соединения с селеном и мышьяком, в результате чего и уменьшается концентрация исходных собственных дефектов. Поведение примеси EuF_3 в больших концентрациях происходит согласно модели заряженных собственных дефектов [7]. Если принять, что примеси P39, в основном, проявляются в виде положительно заряженных ионов, то в результате их присутствия концентрация U1-центров должна претерпевать изменения - D^+ 1-центры должны уменьшаться, а D^- 1-центры - увеличиваться, что и действительно было наблюдалось.

- 1. А.В.Васильев, Г.Г.Девятых, Е.М.Дианов и др., Двухслойные халькогенидные волоконные световоды с оптическими потерями менее 30дБ/км, Квантовая электроника, **20** №2 (1993) 109-110.
- 2. G.G.Devyatyth, M.F.Churbanov, I.V.Scripachev, et al., *Middle infrared As-S, As-Se, Ge-As-Se chalcogenide glass fibres, J. of Optoelectron.*, 7 (1992) 237-254.
- 3. V.S.Shiryaev, J.L.Adam, X.H.Zhang, et al., *Infrared fibers based on Te-As-Se glass system with low optical losses, J. Non. Cryst. Solids*, **336** (2004) 113-119.
- 4. K.Wei, D.P.Machewirth, J.Wenzel, et al., Pr^{3+} doped by Ge-Ga-S glasses for 1.3 μm optical fiber amplifiers, J. Non.- Cryst. Solids, **182** (1995) 257-261.
- 5. A.R.Hilton, Chalcogenide Glass Optical Fibers, Proc. SPIE. Infrared Fiber Optics III, 1591 (1992) 34-42.
- 6. К.Д.Цендин. Электронные явления в халкогенидных стеклообразных полупроводниках, СПб., Наука, (1996) 320.
- 7. D.Adler, M.S.Shur, M.Silver, S.R.Ovshinsky, *Threshold switching in chalcogenide-glass thin films, J. Appl. Phys.*, **51** (1980) 3289-3309.
- 8. D.Ielmini, Threshold switching mechanism by high-field energy gain in the hopping transport of chalcogenide glasses, Phys., Rev. B, 78 (2008) 035 308.
- 9. Э.Н.Воронков, С.А.Козюхин, Электропроводность аморфных пленок халькогенидных соединений в сильных электрических полях, ФТП, **43** (2009) 953-956.
- 10. Н.А.Богословский, К.Д.Цендин, Нелинейность вольтамперных характеристик халькогенидных стеклообразных полупроводников, обусловленная многофононной туннельной ионизацией U-минус центров, ФТП, **43** (2009) 1378-1382.
- 11. Э.А.Лебедев, С.А.Козюхин, Н.Н.Константинова, Л.П.Казаковат, Проводимость слоев халькогенидного стеклообразного полупроводника $Ge_2Sb_2Te_5$ в сильных электрических полях, ФТП, **43** (2009) 1383-1386.
- 12. Н.Ф.Мотт, Э.А.Девис, Электронные процессы в некристаллических веществах, М., Мир, (1982).
- 13. Л.П.Казакова, Э.А.Лебедев, А.И.Исаев, С.И.Мехтиева, Н.Б.Захарова, И.И.Ятлинко, Влияние примесей галогенов на перенос носителей заряда в стеклообразной системе Se-As, ФТП, **27** (1993) 959-965.
- 14. L.P.Kazakova, E.A.Lebedev, N.B.Zakharova, I.I.Yatlinko, A.I.Isayev, S.I.Mekhtiyeva, *Improvement of charge transport in Se-As glasses by doping with halogens, J. of Non Cristalline solids*, **167** (1994) 65-69.

С.Н.ГАРИБОВА, А.И.ИСАЕВ, С.И.МЕХТИЕВА, В.З.ЗЕЙНАЛОВ

- 15. A.I.Isayev, S.I.Meκhtiyeva, N.Z.Jalilov, R.I.Alekperov, V.Z.Zeynalov, *The optical absorption of Se*₉₅*As*₅ *system doped by atoms of samarium, J. of Optoelectronics and Advanced Materials-RC, 1ISS*, **8** (2007) 368-372.
- 16. А.И.Исаев, С.И.Мехтиева, С.Н.Гарибова, Р.И.Алекперов, В.З.Зейналов, Оптические константы халькогенидной стеклообразной полупроводниковой системы Se-As, содержащей примеси фторида европия (EuF₃), Transactions of Azerbaijan Academy of Sciences, Series of Physical-mathematical and Technical sciences, Physics and Astronomy, XXX №2 (2010) 121-126
- 17. P.W.Anderson, *Model for the electronics structure of amorphous semiconductors*, *Phys. Rev. Lett.*, **34** (1975) 953-955.
- 18. М.Ламперт, П.Марк, Инжекционные токи в твердых телах. М., (1973) 416.
- 19. E. Voronkov, Calculation of threshold voltage for phase-change memory device, J. Non.- Cryst. Solids., **353** (2007) 2591-2594.
- 20.В.Н.Абакумов, В.Карпус, В.И.Перель, И.Н.Яссиевич, Влияние заряда глубокого центра на многофононные процессы термоионизации и захвата электронов, ФТП, **22** (1988) 262-268.
- 21. В.Н. Абакумов, В.И. Перель, И.Н. Яссиевич, Безызлучательная рекомбинация в полупроводниках, СПб., Изд-во ПИЯФ РАН, (1997).
- 22. J.M.Marshall, G.R.Miller, Field-dependent carrier transport in non-crystalline semiconductors, Phil. Mag., 27 (1973) 1151-1168
- 23. A.I.Popov, Structural characteristics on non-crystalline semiconductor and semimetals, Semiconductors and Semimetals, 78 (2004) 51-95.

EuF₃ AŞQARLI Se₉₅As₅ ŞÜŞƏVARİ HALKOGENİD YARIMKEÇİRİCİNİN ELEKTRİKKEÇİRMƏSİNƏ GÜCLÜ ELEKTRİK SAHƏSİNİN TƏSİRİ

S.N.GƏRİBOVA, A.İ.İSAYEV, S.İ.MEHDİYEVA, V.Z.ZEYNALOV

Al-Se₉₅As₅<EuF₃>-Te strukturunun volt amper xarakteristikasının tədqiqatı nəticəsində müəyyən olunmuşdur ki, Te elektroduna müsbət potensial tətbiq olunduğu halda, elektrikkeçirmə fəza yüklərilə məhdudlaşmış cərəyanların monopolyar injeksiyası ilə baş verir, potensialın əks istiqamətibdə isə N-tip VAX müşahidə olunur. Göstərilmişdir ki, tətbiq olunan elektrik sahəsinin intensivliyi 10⁵V/sm-dən çox olduqda tədqiq olunan strukturların elektrikkeçirmə mexanizmində U⁻-mərkəzlərin sahəsinin təsiri ilə ionlaşması, yükdaşıyıcıların rekombinasiyası və U⁻-mərkəzlər tərəfindən tutulması prosesləri üstün rol oynayır. Tədqiqatlar nəticəsində U⁻-mərkəzlərə uyğun olan lokal halların enerjisi, konsentrasiyası və elektrik sahəsinin təsirini xarakterizə edən aktivləşmə uzunluğu təyin olunmuşdur. Göstərilmişdir ki, EuF₃ aşqarları əsasən lokal halların konsentrasiyasına təsir edir.

INFLUENCE OF STRONG ELECTRIC FIELD ON THE CURRENT FLOW IN Se₉₅As₅ CHALCOGENIDE GLASS-LIKE SEMICONDUCTOR, CONTAINING EuF₃ RARE-EARTH ATOMS IMPURITIES

S.N.GARIBOVA, A.I. ISAYEV, S.I.MEKHTIYEVA, V.Z.ZEYNALOV

By investigation of current-voltage characteristics (CVC) Al-Se $_{95}$ As $_{5}$ <EuF $_{3}$ >-Te structure it was established that at applying Te to positive potential the current flow is carried out on the monopolar injection current mechanism limited by space charges, and at reverse polarity CVC of N-type is observed. It is shown under the field above 10^{5} V/cm in current flow mechanism for investigated structure the prevailing role is a processes of thermo- field ionization of neutral and negatively charged U $^{-}$ -centres, and also electron and hole recombination processes, and charge carries capture on the U $^{-}$ -centres. Energy position and local states concentration corresponding to mentioned centres and the activation length which characterizes influence of electric field have been defined. It is established that EuF $_{3}$ impurities especially influence on local state concentration.

Редактор: Д.Араслы

УДК 544.25

ЭЛЕКТРОННО-ДЫРОЧНОЕ РАССЕЯНИЕ В КРЕМНИИ ПРИ ЛАЗЕРНОМ ВОЗБУЖДЕНИИ

А.Г.КЯЗЫМ-ЗАДЕ 1 , А.М.АЛИЕВА 2 , В.М.САЛМАНОВ 1 , И.М.АЛИЕВ 1 , А.А.САЛМАНОВА 3

Бакинский Государственный Университет¹
AZ 1148, г. Баку, ул. З.Халилова, 23
Институт Физики НАН Азербайджана²
AZ 1143, г. Баку, пр. Г.Джавида, 33
Азербайджанская Государственная Нефтяная Академия³
AZ 1010, г. Баку, пр. Азадлыг, 20
vagif salmanov@yahoo.com

поступила 12.07.2011	РЕФЕРАТ
принята к печати 15.09.2011	Экспериментально исследована фотопроводи-
	мость кремния под действием лазерного
	излучения. Наблюдаемые особенности вольт-
	амперных и люкс-амперных характеристик
Ключевые слова: лазер, кремний, фото-	фотопроводимости объясняются изменением
проводимость, электронно-дырочное рас-сеяние	подвижности носителей тока за счет рассеяния
	неравновесных электронов на неравновесных же

ВВЕДЕНИЕ

лазерного излучения.

дырках, генерируемых под действием мощного

Появление мощных источников когерентного электромагнитного излучения в оптическом диапозоне позволяет исследовать особенности взаимодействия такого излучения с веществом в весьма широком интервале интенсивностей. При высоких интенсивностях заметную роль начинают играть различного рода нелинейные эффекты взаимодействия излучения с веществом, а обычные механизмы поглощения и рассеяния света приобретают специфическую окраску из-за большого удельного энерговыделения. В настоящее время эти явления привлекают большое внимание исследователей, причем рассматривается как взаимодействия интенсивного электромагнитного излучения веществом, так и вопросы прикладного характера в связи с разработкой новых технологических операций, усовершенствования лазерной техники. Так как поглощение мощного лазерного излучения в полупроводниках способствует концентрации неравновесных носителей, представляет увеличению самостоятельный интерес изучение неравновесных электронных процессов, в частности, явления фотопроводимости в широком интервале интенсивности. При этом генерация больших концентраций неравновесных носителей может явиться одной из причин, ограничивающих подвижность в полупроводниках за счет электронно-дырочного рассеяния. Естественно, что указанный эффект будет играть особенно существенную роль в полупроводниках, находящихся при низкой температуре и содержащих малое количество заряженных примесей. Для описания электронно-дырочного рассеяния (ЭДР) предлагается использовать выражения для обычного рассеяния носителей на заряженных примесных центрах с заменой массы рассеиваемого носителя приведенной массой электрона Экспериментальное исследование ЭДР сопряжено с рядом трудностей и, в первую очередь, с необходимостью высокой равномерности генерации больших концентраций неравновесных электронно-дырочных пар. Ранее, в работе [1], была

А.Г.КЯЗЫМ-ЗАДЕ, А.М.АЛИЕВА, В.М.САЛМАНОВ, И.М.АЛИЕВ, А.А.САЛМАНОВА

предпринята попытка экспериментального исследования этого эффекта в Ge, причем генерация осуществлялась при комнатной температуре через p-n переход, что естественно не могло обеспечить высокую точность в выполнении указанных выше условий и, соответственно, в измерении величины инъектируемой концентрации носителей. С этой точки зрения гораздо более перспективным представляется световое возбуждение и, в частности, возбуждение кремния при низких температурах светом неодимового лазера с длиной волны λ =1,06мкм. Использование излучения неодимового лазера позволяет получать высокую и весьма равномерную объемную генерацию неравновесных носителей в Si без заметного нагрева образца ввиду малого коэффициента поглощения $\alpha \cdot 2 \cdot 10^{-2}$ см⁻¹ [2] при 4,2К на этой длине волны.

Следует отметить, что благодаря своим термодинамическим, физикохимическим и полупроводниковым свойствам кремний получил широкое применение в микроэлектронике, сенсорной технологии, биомедицине и т.д. Причем интерес к воздействию на кремний лазерного излучения непрерывно растет. В частности, в настоящее время активно изучается возможность использования текстур, получаемых на поверхности полупроводникового материала под действием лазерного излучения, для создания перспективных конструкций солнечных элементов [3-10].

С целью экспериментального исследования ЭДР нами изучалась зависимость фотопроводимости от электрического поля и интенсивности возбуждения в Si при 4,2К при возбуждении светом неодимового лазера с модулированной добротностью.

МЕТОДИКА ЭКСПЕРИМЕНТА

Для измерения фотопроводимости (ФП) были введены система регистрации импульса ФП и система согласования импульса лазера и импульса напряжения, подаваемого на образец. При этом в качестве импульсного источника напряжения мы использовали генератор Γ 5-15 с переменной задержкой импульса выхода относительно импульса, который являлся результатом совпадения опорного импульса (снимаемого с фотодиода) и импульса поджига тиратрона в системе накачки лазера (Рис. 1). Время задержки подбиралось таким образом, что при длительности импульса от генератора 7÷8мксек вспышка лазера происходила приблизительно через 2÷3мксек после начала импульса напряжения. При этом напряжение питания оставалось постоянным в течение всего времени релаксации ФП после лазерной вспышки.

Сигнал ФП снимаемый с нагрузочного сопротивления через катодный повторитель поступал на запоминающий однократные импульсы осциллограф. Запуск развертки осциллографа производился от фотодиода, на который отводилось около 8% энергии лазерной вспышки с помощью стеклянной плоскопараллельной пластинки. Нагрузочное сопротивление выбиралось так, чтобы сопротивление нагрузки $R_{\rm H}$ было значительно меньше светового сопротивления образца $R_{\rm cb}$. При этом справедлива формула

$$\Delta \sigma = \frac{gl}{(V - g)SR_i},\tag{1}$$

где $\Delta \sigma$ -изменение проводимости, θ -регистрируемый на осциллографе сигнал, V-напряжение питания схемы $\Phi\Pi$, l-длина, S- площадь поперечного сечения образца.

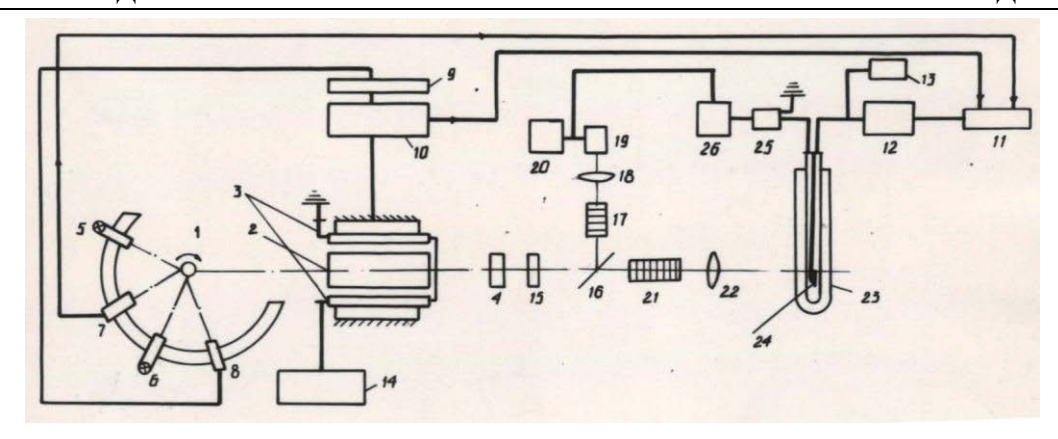


Рис.1.

Схема экспериментальной установки:

1- вращающаяся призма; 2-неодимовый стержень; 3-импульсная лампа; 4-сепаратор мод; 5, 6 – лампы накаливания; 7, 8, 19 – фотодиоды; 9 – генератор импульса с линией задержки; 10 – генератор импульса и поджига лампы; 11 – схема совпадения; 12 – генератор Г5-15; 13 – контрольный осциллограф; 14 – система накачки и автоматика для ограничения напряжений; 15 – светофильтр для отсекания света импульсной лампы; 16 – плоскопараллельная пластинка; 17, 21 – нейтральные фильтры для изменения интенсивности света; 18, 22 – линзы; 20, 26 - осциллографы; 23 – стеклянный дьюар для жидкого гелия и азота; 24- исследуемый образец; 25 – нагрузочное сопротивление.

Образцы при измерении находились при температуре жидкого гелия и были приготовлены из монокристаллов кремния n-и p-типа, их удельное сопротивление составляло $\rho = 100\,\mathrm{Om}\cdot\mathrm{cm}$ и $\rho = 2500\,\mathrm{Om}\cdot\mathrm{cm}$, соответственно. Образцы представляли собой параллелепипеды со средними размерами 4x2x0,2мм. Омические контакты на них наносились путем химического осаждения никеля, вжиганием его в вакууме при $t=650^{0}\mathrm{C}$ и вторичного осаждения никеля. К этим контактам оловом припаивались мягкие никеливые проволочки. Качество контактов проверялось на характериографе. Лазерный пучок фокусировался таким образом, что освещалась вся межконтактная область образца.

Исследование $\Phi\Pi$ проводилось путем снятия люкс-амперных (ЛАХ) и вольтамперных (ВАХ) характеристик. При этом интенсивность света изменялась с помощью калиброванных нейтральных фильтров. Набор фильтров позволял снижать интенсивность на $4\div 6$ порядков.

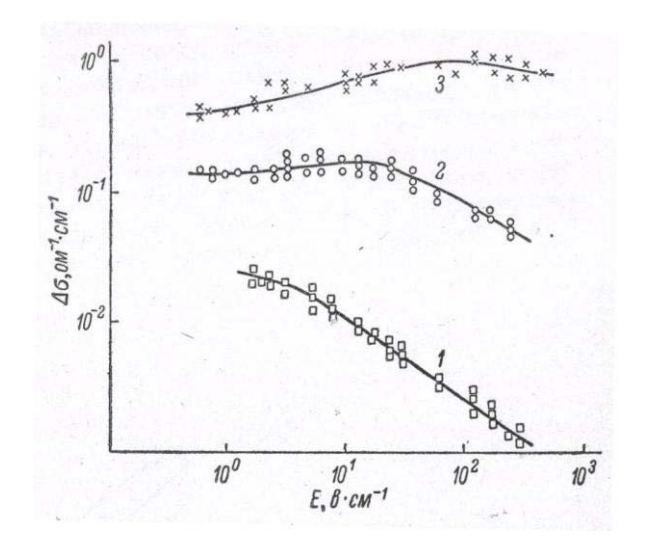
РЕЗУЛЬТАТЫ ЭКСПЕРИМЕНТА И ИХ ОБСУЖДЕНИЕ

Фотопроводимость, как функция электрического поля, представлена на Рис.2. При малых интенсивностях света при 4,2К наблюдается спад фотопроводимости $\Delta\sigma$ с полем приблизительно по закону $\Delta\sigma \sim E^{-1/2}$ (Рис.2, кривая 1). Такая зависимость может быть результатом разогрева носителей в электрическом поле, что приводит к уменьшению подвижности, обусловленной рассеянием на акустических фононах, по корневому закону [11]. При повышении интенсивности возбуждения вместо спада с увеличением поля наблюдается постоянство или даже некоторое возрастание фотопроводимости и лишь при больших полях видна тенденция к спаду (Рис.2, кривые 2 и 3).

Качественно такой ход можно объяснить следующим образом. При повышении интенсивности света и, соответственно, концентрации неравновесных носителей становится существенным некоторый дополнительный механизм рассеяния, заметно ограничивающий подвижность, причем подвижность, обусловленная этим новым механизмом, не только не падает с полем, а даже

А.Г.КЯЗЫМ-ЗАДЕ, А.М.АЛИЕВА, В.М.САЛМАНОВ, И.М.АЛИЕВ, А.А.САЛМАНОВА

обнаруживает тенденцию к нарастанию. Таким дополнительным механизмом может явиться рассеяние неравновесных электронов на неравновесных же дырках.



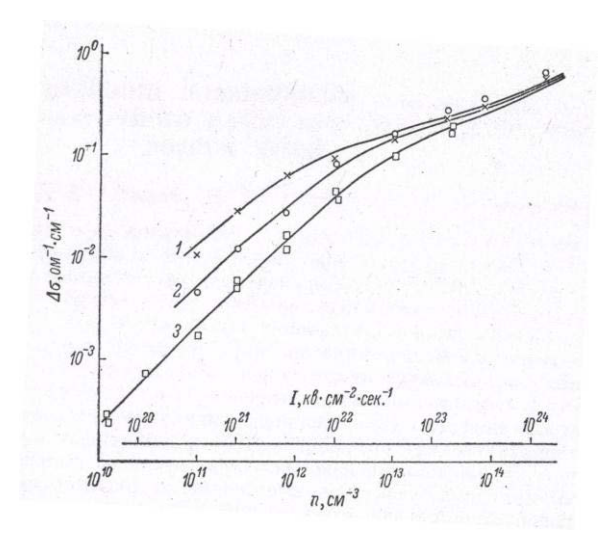


Рис.2.

Зависимость фотопроводимости от напряженности электрического поля при различных уровнях возбуждения. І, кв./см 2 ·сек.: $1 - 1 \cdot 10^{21}$, $2 - 1 \cdot 10^{22}$, $3 - 5 \cdot 10^{23}$, T = 4.2 К.

Рис.3.

Фотопроводимость как функция уровня возбуждения при различной напряженности электрического поля E (B/cm): 1-2.9; 2-29; 3-290, T=4.2K, расчетные - сплошные линии.

Для проверки этого нами исследовались зависимости фотопроводимости от интенсивности возбуждения при различных электрических полях (Рис.3). При этом концентрация неравновесных электронно-дырочных пар определялась из абсолютной величины фотопроводимости при малом уровне возбуждения с учетом известной величины подвижности электронов и дырок в слабом электрическом поле ($\mu_{n_0} \approx \mu_{p_0} = 5 \cdot 10^5 \text{см}^2 \text{B}^{-1} \text{сек}^{-1}$ при 4,2К). Концентрация носителей при больших уровнях возбуждения считалась пропорциональной интенсивности света, так как время жизни значительно больше длительности лазерного импульса.

Как видно из Рис.3, при всех электрических полях с повышением концентрации неравновесных носителей наблюдается отклонение от линейного хода фотопроводимости, что может явиться следствием существенного влияния электронно-дырочного рассеяния при высоких концентрациях. Мы попытались сравнить наблюдаемые зависимости с расчетными, учитывающими как решеточную подвижность μ_0 , так и μ_{np} , обусловленную ЭДР. При этом для вычисления μ_{np} использовалась формула Брукса—Херринга [12] с включением фактора 0.29, учитывающего электрон-электронные столкновения в случае, когда рассеяние определяется заряженными центрами

$$\mu_{np} = \frac{2^{7/2} \varepsilon^2 (kT)^{3/2} (m_n + m_p)^{1/2}}{\pi^{3/2} e^3 (m_n m_p)^{1/2} \left[\ln(1+B) - B/1 + B \right]},$$
(2)

где
$$B = \frac{6\varepsilon (kT)^2 m_n m_p}{\pi \hbar e^2 (m_n + m_p) (np)^{1/2}}$$
.

Соответствующие теоретические зависимости представлены на Рис.3 сплошными линиями. Обращает на себя внимание весьма хорошее соответствие между экспериментальными и теоретическими зависимостями, особенно в случае малых полей, когда разогрев носителей еще не существенен, а также больших полей, при которых ввиду существенного уменьшения решеточной подвижности ее

величина при максимальных уровнях возбуждения оказывается соизмеримой с μ_{np} . Решеточная подвижность при полях, когда необходимо учитывать ее изменение за счет разогрева в поле, определялась из кривых, подобных кривой 1 Рис.2, а в промежуточном случае (Рис.3, кривая 2) теоретическая зависимость идет несколько ниже экспериментальной, поскольку при расчете не учитывалось увеличение μ_{np} за счет разогрева носителей в поле.

В заключение отметим, что приведенные результаты свидетельствуют о необходимости учета при низких температурах электронно-дырочного рассеяния во всех случаях, когда имеются электронно-дырочные пары, генерированные под действием мощного лазерного излучения.

- 1. L.W.Davies, Silicon diodes made by laser irradiation, *Nature*, **194** (1972) 762-769.
- 2. A.M.Dean, Rapid reversible light-induced crystallization of amorphous semiconductors, Phys. Rev., **163** (1977) 721-726.
- 3. V.S.Makin, Y.I.Pestov, Laser-induced tip-shaped pump formation on silicon and germanium surfaces, X International Conference "Nonresonant Laser-Matter Interaction", St. Petersburg, (2000) 37-40.
- 4. Ю.Блумс, Е.И.Гацкевич, Г.В.Ивлев, Образование донорных центров в кремнии под действием импульсного лазерного излучения, 4-я Межд. Конф. «Взаимодействие излучений с твердым телом», Минск, (2001)108-110.
- 5. В.А.Володин, Е.И.Гацкевич, А.В.Двуреченский, М.Д.Ефремов, Г.Д.Ивлев, А.И.Никифоров, Д.А.Орехов, А.И.Якимов, *Модифицирование нанокластеров германия в кремнии под действием импульсного лазерного излучения, ФТП*, **37** (2003) 1352-1357.
- 6. А.Ф.Банишев, В.С.Голубев, А.Ю.Кремнев, *Разрушение поверхности кремния при импульсном воздействии лазерных импульсов, ЖТФ*, **74** №8 (2004) 81-85
- 7. В.Я.Панченко, О.А.Новодворский, В.С.Голубев, *Технология лазерно-* плазменного напыления пленок нанометровых толщин, *Наука и технологии в* промышленности, **4** (2006) 39-51.
- 8. С.В.Заботнов, А.А.Ежов, Л.А.Головань, М.А.Ластовкина, В.И.Панов, В.Ю.Тимошенко, П.К.Кашкаров, Формирование наночастиц на поверхности кремния под действием фемтосекундных лазерных импульсов, ФТП, 41 (2007) 1018-1020.
- 9. А.Д. ирюхин, В.В. ригорьев, А.В.Зуев, В.В.Зуев, Н.А.Королев, *Форма сигналов нестационарной фотопроводимости в кремнии, легированным золотом или серой, ФТП,* **41** (2007) 269-272.
- 10. Г.А.Качурин, С.Г.Черкова, В.А.Володин, Д.В.Марин, М.Deutschmann. Действие мощных нано- и фемтосекундных лазерных импульсов на кремниевые наноструктуры, ФТП, **42** (2008) 181-185.
- 11. Ф.Д.Блатт, Теория подвижности электронов в твердых телах, ГИ ФМЛ, Москва, (1963) 143.
- 12. F.J.Morin, J.P.Majta, *Properties of Si diodesprepared by alloying al into n-type Si with heat pulses from a Nd:YAG laser, Phys. Rev.*, **94** (1974) 1525-1531.

А.Г.КЯЗЫМ-ЗАДЕ, А.М.АЛИЕВА, В.М.САЛМАНОВ, И.М.АЛИЕВ, А.А.САЛМАНОВА

LAZER ŞÜALARININ TƏSİRİ İLƏ SİLİSİUM KRİSTALLARINDA ELEKTRON –DEŞİK SƏPİLMƏSİ

A.H.KAZIMZADƏ, A.M.ƏLIYEVA, V.M.SALMANOV, İ.M.ƏLIYEV, A.A.SALMANOVA

Lazer şüalarının təsiri ilə Si kristallarının fotokeçiriciliyi təcrübi olaraq tədqiq edilmişdir. Fotokeçiriciliyin volt-amper və lyüks—amper xarakteristikalarında müşahidə olunan xüsusiyyətlər lazer şüalarının təsiri ilə generasiya olunan yükdaşıyıcıların yürüklüyünün qeyri-tarazlıqda olan elektronların qeyri-tarazlıqda olan desiklərdən səpilmə mexanizmi ilə izah olunur.

ELECTRON-HOLE SCATTERING IN SILICON AT LASER EXCITATION

A.G.KYAZYM-ZADE, A.M.ALIEVA, V.M.SALMANOV, I.M.ALIEV, A.A.SALMANOVA

The photoconductivity of silicon crystals under action of laser radiation have been investigated experimentally. Observable features volt-ampere and lyuks-ampere characteristics of photoconductivity have been explicated by mobility change of current carrier due to scattering nonequilibrium electrons on nonequilibrium holes, generated under action of powerful laser radiation.

Редактор: М.Алиев

УДК 621.315.592

ОСОБЕННОСТИ ИНДУЦИРОВАННОЙ ПРИМЕСНОЙ ФОТОПРОВОДИМОСТИ В КРИСТАЛЛАХ МОНОСЕЛЕНИДА ИНДИЯ

А.Ш.АБДИНОВ, Р.Ф.БАБАЕВА*, Р.М.РЗАЕВ

Бакинский Государственный Университет
Азербайджанский Государственный Экономический Университет*
AZ 1145, г. Баку, ул. 3.Халилова, 23
abdinov_axmed@yahoo.com
Babaeva-Rena@yandex.ru

поступила 12.02.2011	РЕФЕРАТ
принята к печати 18.06.2011	Рассмотрены особенности индуцированной примесной фотопроводимости (ИПФ) в чистых и легированных с различным содержанием атомами гольмия
Ключевые слова: индуцированная примесная фотопроводимость, токовые контакты, уровень возбуждения, уровень легирования, фоновая подсветка, примесный свет, высокоомные кристаллы, двухбарьерная энергетическая модель.	монокристаллах селенида индия. Установлено, что в высокоомных чистых и слаболегированных атомами гольмия кристаллах моноселенида индия для полного объяснения механизма ИПФ, помимо наличия уровней прилипания в запрещенной зоне, необходимо учитывать также значительную роль флуктуации потенциала свободных энергетических зон, возникшей вследствие частичной неупорядоченности этого материала.

ВВЕДЕНИЕ

Моноселенид индия (n-InSe) с первых же дней своего открытия привлекает внимание исследователей как полупроводник с высокой фоточувствительностью и разнообразными фотоэлектрическими свойствами [1-3]. В ходе ранее проведенных исследований установлено, что в кристаллах этого материала хотя обычная положительная примесная фотопроводимость не наблюдается, однако имеет место значительная индуцированная примесная фотопроводимость (ИПФ) [4] со специфическими не до конца выясненными особенностями [5-7].

В данной работе рассмотрены некоторые моменты ИПФ в чистых (специально нелегированных) и легированных атомами гольмия (Но) монокристаллах ($N_{\text{Ho}} \approx 10^{-5} \div 10^{-1}$ at .%) n-InSe.

МЕТОДИКА

Изучаемые образцы срезались из крупных слитков n-InSe и n-InSe<Ho>, выращенных по описанной в [8] методике. При 77К удельное темновое сопротивление (ρ_T) различных образцов чистых и легированных кристаллов составляло $\sim 10^3 \div 10^7$ и $\sim 10^2 \div 10^9$ Ом·см, соответственно.

Токовые контакты создавались путем припаивания металлического индия в открытой атмосфере. Брались образцы с поперечными и продольными контактами (образцы, в которых ток протекает в направлении параллельно и перпендикулярно оси «С» кристалла, соответственно). Оказалось, что геометрия образцов влияет лишь на численные значения отдельных параметров ИПФ, но не вызывает качественных изменений.

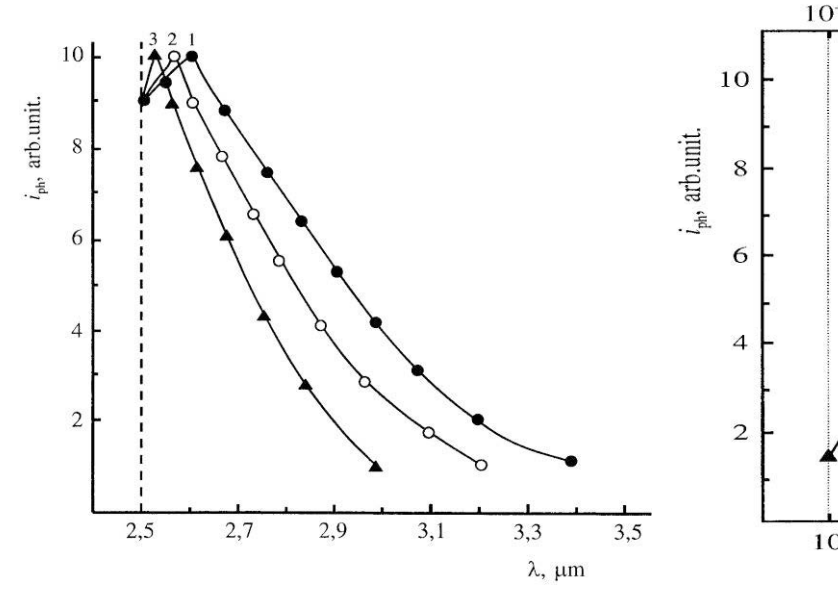
Измерения проводились в широком интервале изменения температуры (77÷350 K), электрического поля ($E \le 2.5 \cdot 10^3 \text{B/cm}$), длины волны ($0.30 \le \lambda \le 4.00 \text{мкм}$) и интенсивности (вплоть до $\sim 5 \cdot 10^2 \text{Лк}$) света при помощи экспериментальной

установки, собранной на базе двух монохроматоров (МДР-12 и МДР-12 У) со сменными (кварцевыми и флюоритовыми) линзами и источниками света (лампой накаливания и ртутной лампы). При всех рассмотренных нами случаях освещение образца осуществлялось по плоскости «С» кристалла.

ЭКСПЕРИМЕНТ

В результате проведенных измерений установлено, что в обеих группах кристаллов при $T \le 150$ К наблюдается ярковыраженная индуцированная примесная фотопроводимость (ИПФ) различного происхождения, т.е. индуцированная фоновой подсветкой из области собственного поглощения (ИСПФ) и (или) внешним электрическим напряжением, большего некоторого граничного (ИИПФ). Эта (индуцированная) полоса фоточувствительности при высоких уровнях возбуждения, т.е. при больших интенсивностях фоновой подсветки (Φ_{ϕ}) и (или) больших значениях внешнего электрического напряжения (U_i) охватывает диапазон длины волны $1.90 \le \lambda \le 3.60$ мкм и имеет максимум при $\lambda = 2.60$ мкм.

С повышением уровня возбуждения (с увеличением Φ_{ϕ} , или U_i) ширина спектра ИПФ несколько уменьшается, максимум и красная граница его (спектра) смещаются в сторону более коротких длин волн, а длинноволновая ветвь — спадает более резко (Рис.1).



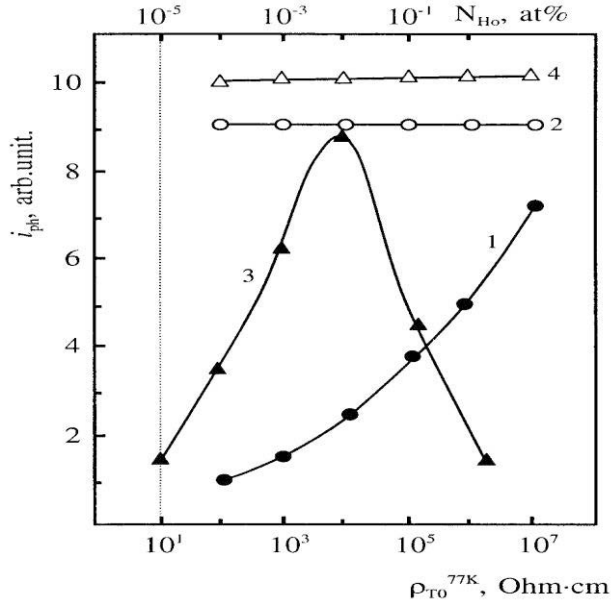


Рис.1.

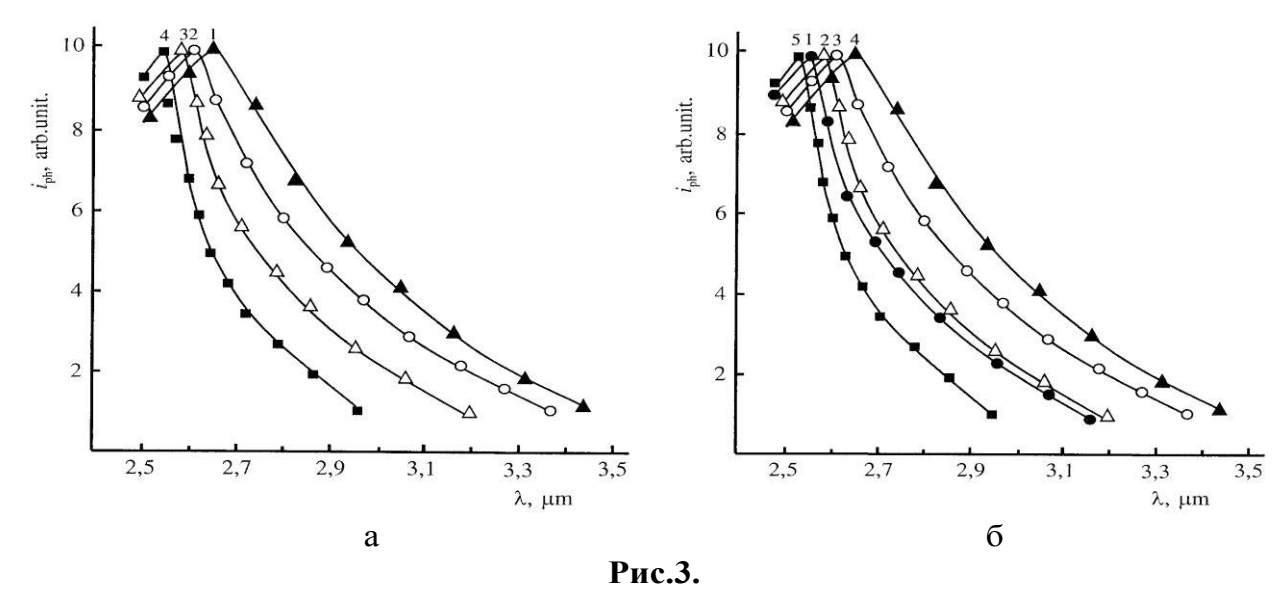
Спектр ИСПФ в кристаллах n-InSe<Ho> при различных интенсивностях фоновой подсветки: T=77K, λ_{φ} =0.95мкм, N_{Ho} =10⁻³aт.%, U=5B, Φ_{Π} =0.8 $\Phi_{\Pi M}$, Φ_{φ} (от.ед.): 1 - 0.1; 2 - 0.4; 3 - 0.8.

Рис.2.

Зависимость величины ИПФ ($i_{\phi\Pi}$) от темнового удельного сопротивления (кр.1 и 2) и уровня легирования (кр.3 и 4) кристаллов n-InSe при различных интенсивностях фоновой подсветки. Т=77K, λ_{ϕ} =0,95мкм, U=5B λ_{Π} =2,60мкм, Φ_{Π} =0.8 $\Phi_{\Pi M}$; Φ_{ϕ} (от.ед.): 1, 3 – 0.2; 2, 4 – 1.0.

ОСОБЕННОСТИ ИНДУЦИРОВАННОЙ ПРИМЕСНОЙ ФОТОПРОВОДИМОСТИ В КРИСТАЛЛАХ МОНОСЕЛЕНИДА ИНДИЯ

В отличие от случая умеренных уровней возбуждений (Рис.2, кр.2 и 4), при низких уровнях возбуждений (при слабых Φ_{φ} и U_i) величина $i_{\varphi\Pi}$ (рис.2) и основные параметры спектра ИПФ (положение максимума и красной границы, а также резкость спада длинноволновой ветви) (Рис.3) меняются с ρ_{τ} (Рис.3, а) и N_{Ho} (Рис.3, б) в чистых и легированных кристаллах, соответственно. В чистых кристаллах n-InSe с ростом ρ_{τ} резкость спада длинноволновой ветви спектра увеличивается, а максимум и красная граница его смещаются в сторону более длинных волн (Рис.3, а). Влияние уровня легирования на величину (Рис.2, кр.3) и спектр (Рис.3, б) ИПФ имеет немонотонный характер: с ростом N_{Ho} сначала (при $N_{Ho} < 10^{-3}$ at.%) увеличивается, а далее ослабляется.



Спектр ИСПФ в кристаллах n-InSe с различным темновым удельным сопротивлением (a) и при различных уровнях легирования (б) T=77K, λ_{φ} =0.95мкм, Φ_{Π} =0.6 Φ , Φ_{Π} =0.8 $\Phi_{\Pi M}$, U=5B; a) ρ_{T}^{77K} (Ом·см): $1-10^{6}$; $2-10^{5}$; $3-10^{4}$; $4-10^{2}$; б) N_{Ho} (ат.%): 1-0; $2-10^{-5}$; $3-10^{-4}$; $4-10^{-3}$; $5-10^{-1}$.

Зависимость $i_{\phi\Pi}(\Phi_{\phi})$ имеет степенной характер $(i_{\phi\Pi}\sim\Phi^{\alpha}_{\ \phi})$. При этом в зависимости от значений $\rho_{\text{\tiny T}}$, Φ_{ϕ} (или U_i) и N_{Ho} величина α (показатель степени $i_{\phi\Pi}$ от Φ_{ϕ}) меняется в пределах $0 \le \alpha \le 1$.

В высокоомных кристаллах при напряжениях $U>U_{\Pi 3\Pi}$ (где $U_{\Pi 3\Pi}$ - напряжение предельного заполнения уровней прилипания [9]) наблюдается резкий спад $i_{\Phi \Pi}$ с U_i , что, по-видимому, связано с туннельным опустошением уровней прилипания [10].

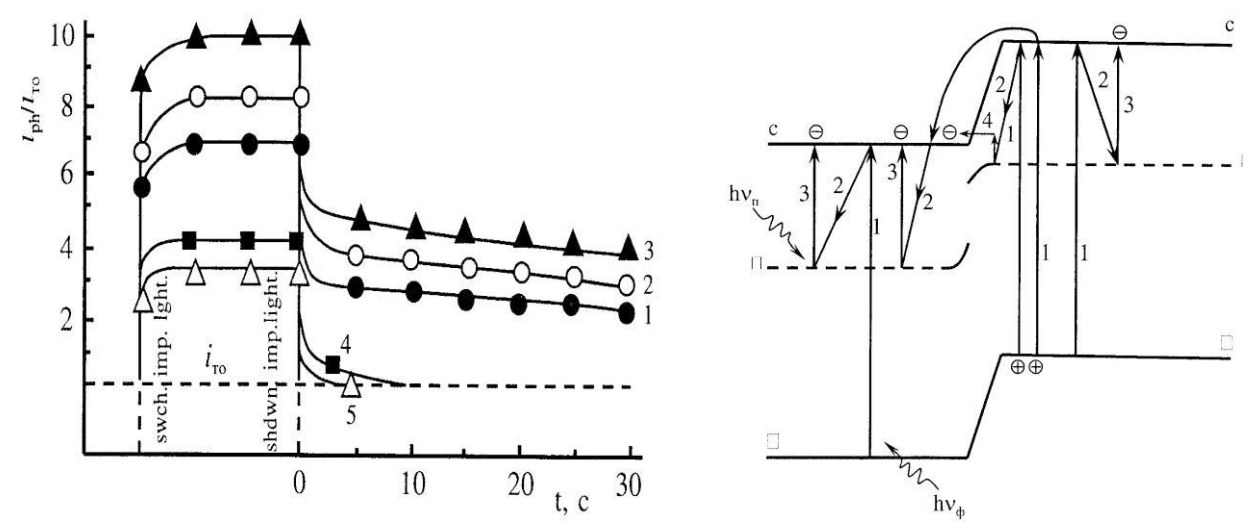
Что касается зависимости $i_{\phi\Pi}$ от интенсивности примесного света (Φ_{Π}), прежде всего следует отметить, что при этом ситуация больше контролируется величиной возбуждающего фактора (значением Φ_{ϕ} или U_{i}), чем Φ_{Π} . При слабых уровнях возбуждения зависимость $i_{\phi\Pi}(\Phi_{\phi})$ состоит из последовательных суперлинейного, линейного и сублинейного участков.

С понижением уровня возбуждения (уменьшением Φ_{ϕ} и U_{i}) величина $i_{\phi n}/i_{T}$ (где i_{T} - значение темнового тока через образец) увеличивается.

Выявлено, что время установления стационарного значения ИПФ при включении примесного света ($\tau_{\rm cr}$) зависит от ряда факторов, таких как $\Phi_{\rm \phi}$, $U_{\rm i}$, $\rho_{\rm r}$, $N_{\rm Ho}$ и $\Phi_{\rm \Pi}$. При низких уровнях возбуждения в высокоомных чистых (с $\rho_{\rm r} \ge 10^4 {\rm Om} \cdot {\rm cm}$ при 77К) и слаболегированных ($N_{\rm Ho} \le 10^{-3} {\rm at.}\%$) кристаллах n-InSe процесс установления стационарного значения ИПФ ($i_{\rm nc}$) имеет медленный характер. С

ростом уровня возбуждения и легирования, а также с уменьшением $\rho_{\scriptscriptstyle T}$, этот процесс ускоряется. Значение $\tau_{\scriptscriptstyle CT}$ - уменьшается также с ростом $\Phi_{\rm II}$.

В высокоомных n-InSe и слаболегированных n-InSe<Ho> кристаллах процесс спада (исчезновения) ИПФ после прекращения воздействия примесного света оказывается долговременным - наблюдается ярковыраженная остаточная ИПФ. Установлено, что величина $\Delta i_{\rm no}/i_{\rm фп}$ (где $\Delta i_{\rm no}$ – значение остаточного ИПФ) и время



запоминания τ_{CT} остаточной ИПФ при этом зависят от уровня возбуждения, а также от значения ρ_{T} , N_{Ho} (Puc.4).

Рис.4.

Кинетика ИПФ в кристаллах n-InSe с различным ρ_T (кр.1 и 4) и n-InSe<Ho> с различным N_{Ho} (кр.2, 3 и 5). T=77K, λ_{φ} =0.95мкм, Φ_{Π} =0.8 $\Phi_{\Pi M}$, Φ_{φ} =0.4 $\Phi_{\Phi M}$, λ_{Π} ≈2.6мкм, U=5B; N_{Ho} (ат.%): 1, 4 – 0; 2 – 10^{-5} ; 3 – 10^{-3} ; 5 – 10^{-1} ; ρ_T^{77K} (Ом·см): 1 – 10^6 ; 4 - 10^2 .

Рис.5.

Энергетическая модель высокоомных кристаллов моноселенида индия и схема электронных переходов, обуславливающих ИПФ в них.

Установлено, что в изучаемых кристаллах как значение ИПФ $(i_{\phi \Pi})$, так и ход кривых $i_{\phi \Pi}(\Phi_{\phi})$, $i_{\phi \Pi}(U_{\rm i})$, $i_{\phi \Pi}(\Phi_{\pi})$ зависят от ρ_{TO} , $N_{\rm Ho}$ и температуры. С уменьшением $\rho_{\rm T}$ протяженность начального сублинейного участка кривых $i_{\phi \Pi}(\Phi_{\Pi})$ постепенно укорачивается и наконец (при $\rho_{\rm T}^{77{\rm K}} < 10^3 {\rm OM \cdot cm}$) совсем исчезает. С уменьшением $\rho_{\rm T}$ уменьшается также величина $i_{\phi \Pi}$. Аналогичная ситуация наблюдается и при повышении температуры. В изучаемых кристаллах при ${\rm T} \ge 150~{\rm K}$ ИПФ не наблюдается.

С ростом N_{Ho} сначала (при $N_{Ho} \le 10^{-3}$ ат.%) как протяженность начального сублинейного участка кривых $i_{\phi \Pi}(\Phi_{\phi})$, так и величина $i_{\phi \Pi}$ увеличиваются, а затем (при $N_{Ho} \approx 10^{-3}$ ат.%), проходя через максимум, оба уменьшаются. При $N_{Ho} \approx 10^{-1}$ ат.% хотя параметры и характеристики ИПФ, в том числе зависимость $i_{\phi \Pi}(\Phi_{\phi})$ становятся более стабильными и высоковоспроизводимыми, однако, во-первых, на этой зависимости отсутствует начальный сублинейный участок, во-вторых, величина $i_{\phi \Pi}$ оказывается даже меньшей, чем имеющая место в низкоомных чистых кристаллах.

При слабых Φ_{ϕ} в чистых кристаллах n-InSe с ростом температуры и уменьшением $\rho_{\rm T}$ протяженность начального сублинейного участка зависимости $i_{\phi \rm n}(\Phi_{\rm n})$ и величина $i_{\phi \rm n}$ резко уменьшаются, а в кристаллах n-InSe<Ho> хотя с ростом

ОСОБЕННОСТИ ИНДУЦИРОВАННОЙ ПРИМЕСНОЙ ФОТОПРОВОДИМОСТИ В КРИСТАЛЛАХ МОНОСЕЛЕНИДА ИНДИЯ

температуры значение $i_{\phi \Pi}$ уменьшается, однако как $i_{\phi \Pi}$, так и параметры зависимости $i(\Phi_{\Pi})$ с N_{Ho} меняются немонотонно.

Установлено, что среди основных характеристик ИПФ ее кинетика сравнительно сильно зависит как от ρ_T (Рис.4., кр.1 и 4), так и от уровня легирования (Рис.4, кр.2, 3, 5) и температуры. С повышением температуры, а также с уменьшением ρ_T величина ($\Delta i_{\Pi O}$) и время релаксации ($\tau_{\phi \Pi}$) остаточной ИПФ резко уменьшаются. В низкоомных кристаллах ($\rho_T^{77K} \le 10^3 \text{Ом} \cdot \text{см}$) вообще (Рис. 4, кр. 4), а в высокоомных кристаллах при T>150K остаточная ИПФ не наблюдается. Влияние уровня легирования на кинетику ИПФ имеет немонотонный характер (Рис. 4, кр. 2, 3, 5). С ростом N_{Ho} сначала (при $N_{Ho} < 10^{-3} \text{at.}\%$) увеличивается как $\Delta i_{\Pi O}$, так и $\tau_{\phi \Pi}$, а далее оба уменьшаются, и в кристаллах с $N_{Ho} \approx 10^{-1} \text{at.}\%$ остаточной ИПФ не наблюдается (Рис. 4, кр. 5).

ОБСУЖДЕНИЕ

ИПФ к настоящему времени обнаружена в различных полупроводниках и полученные при этом результаты удовлетворительно объяснялись на основе предложенной в [4] модели. Эта модель в общих чертах удовлетворительно объясняет и ИПФ в кристаллах моноселенида индия. Однако при этом ряд особенностей, в частности, специфика кинетики, световой и спектральной характеристик, зависимостей от уровня возбуждения и легирования, а также от значения темнового удельного сопротивления кристаллов не находят своего исчерпывающего объяснения. Предполагаем, что с целью полного и детального объяснения ИПФ в кристаллах n-InSe при рассмотренных нами условиях необходимо использовать адаптированный вариант предложенной в [4] модели. Вернее, помимо доминирующей роли существующих в запрещенной зоне мелких прилипания, следует обязательно учитывать также специфику потенциального рельефа свободных энергетических зон кристаллов моноселенида индия.

Как показано в ранних работах [2,3,7,11] высокоомные кристаллы моноселенида индия могут описываться двухбарьерной (рекомбинационный и дрейфовый) энергетической моделью [12] частично-неупорядоченного полупроводника, состоявшего в целом из низкоомной матрицы (НО) с хаотическими высокоомными включениями (ВО), в запрещенной зоне которых существуют локальные уровни различного типа, в том числе мелкие уровни прилипания. Причем плотность последних (мелких уровней прилипания) в НО, значительно больше, чем в ВО (Рис.5). На границах НО-ВО существуют рекомбинационные, а между соседними ВО – дрейфовые барьеры (Рис.5).

В отличие от высокоомных в низкоомных чистых кристаллах n-InSe такая неупорядоченность отсутствует, вернее, является совсем незначительной. Поэтому в таких кристаллах без всякого ущерба можно пренебречь ролью обоих типов барьера в электронных процессах, в том числе в ИПФ. При этом можно не учитывать также неравномерность распределения уровней прилипания по объему образца. В таких (низкоомных) чистых кристаллах все электронные процессы, в том числе ИПФ, с единых позиций могут удовлетворительно объясняться на основе модели кристаллического полупроводника с равномерно распределенными по всему объему уровнями прилипании [4].

В высокоомных же кристаллах в области низких температур, помимо концентрационного, необходимо учесть также влияние подвижностного компонента изменения проводимости и значительной зависимости процесса рекомбинации от наличия и параметров рекомбинационных барьеров. При этом

генерированные под действием фоновой подсветки (hvb) основные носители тока (Рис.5, пер.1) сначала, захватываясь уровнями прилипания (Рис.5, пер.2), заполняют их, далее, высвобождаясь под действием света из области примесного (Рис.5,пер.3) поглощения $(h\nu_{\Gamma})$ создают индуцированную фотопроводимость. В отличие от низкоомных кристаллов при этом возможность туннельного перехода захваченных на уровнях прилипания неравновесных носителей тока в зону проводимости (Рис.5, пер.4) обеспечивает осуществление также облегченной туннелированием индуцированной примесной фотопроводимости. Последний приводит к смещению максимума и красной границы спектра ИПФ в сторону более длинных волн, а также уменьшению резкости спада его (спектра ИПФ) длинноволновой ветви по сравнению с имеющимся место в низкоомных кристаллах.

Дрейфовые барьеры и обусловленный с ними подвижностный компонент изменения проводимости значительным образом определяют величину и скорость установления стационарного значения ИПФ при включении примесного света. Рекомбинационные барьеры, во-первых, обуславливают туннелированием индуцированную примесную фотопроводимость (при включении примесного света), во-вторых, вызывают долговременную релаксацию ИПФ после прекращении воздействия примесного света, т.е. наблюдение остаточной ИПФ. Повидимому, зависимость положения максимума и красной границы спектра ИПФ от $\rho_{\rm T}$, ${
m N}_{
m Ho}$ и уровня возбуждения тоже обусловлены соответствующей зависимостью вероятности облегченной туннелированием индуцированной примесной фотопроводимости от этих факторов. Большая величина $\rho_{\scriptscriptstyle T}$ в чистых кристаллах является показателем больших размеров и числа ВО. Поэтому в таких кристаллах вероятность облегченных туннелированием через рекомбинационные барьеры процессов высока. Рост высоты рекомбинационных барьеров (в чистых кристаллах с большим $\rho_{\scriptscriptstyle T}$) сопровождает смещение максимума и красной границы спектра ИПФ в сторону более длинных волн.

В рамках предложенной модели можно предполагать, что при высоких уровнях возбуждения (при больших Φ_{φ} и U_i) происходит оптическое и (или) электрическое, соответственно, сглаживание потенциального рельефа свободных энергетических зон изучаемого полупроводника. Поэтому при таких условиях эффекты, обусловленные наличием дрейфовых и рекомбинационных барьеров, исчезают и наблюдается ИП Φ , обусловленная лишь наличием соответствующих уровней прилипания в запрещенной зоне полупроводника.

В кристаллах n-InSe<Ho> в зависимости от уровня легирования немонотонно меняется амплитуда флуктуации потенциала свободных энергетических зон, что, в свою очередь, приводит к соответствующей немонотонной зависимости времени релаксации при установлении стационарного значения и исчезновении ИПФ, а также эффектов, обусловленных туннелированием находящихся на уровнях прилипания неравновесных носителей тока через рекомбинационные барьеры. В кристаллах n-InSe<Ho> с $N_{\text{Ho}} \approx 10^{-1} \text{at}$.% из-за высокой степени сглаживания потенциального рельефа и увеличения вклада ковалентной связи между соседними слоями [13] наблюдаются более стабильные и высоковоспроизводимые результаты, которые присущи модели упорядоченного кристаллического полупроводника [4].

В рамках предложенной модели влияние температуры на ИПФ может объясняться как температурным сглаживанием флуктуации потенциала свободных энергетических зон, так и термическим опустошением мелких уровней прилипания.

Что касается отсутствия обычной примесной фотопроводимости в чистых и легированных кристаллах моноселенида индия, оно, прежде всего, обусловлено

ОСОБЕННОСТИ ИНДУЦИРОВАННОЙ ПРИМЕСНОЙ ФОТОПРОВОДИМОСТИ В КРИСТАЛЛАХ МОНОСЕЛЕНИДА ИНДИЯ

тем, что под действием примесного света, хотя возбуждаются неравновесные носители тока из существующих в запрещенной зоне неконтролируемых или специально введенных активных примесных уровней, но эти, сравнительно в небольшом количестве носители тока, попадая в ограниченные дрейфовыми барьерами потенциальные ямы (находясь ниже уровня протекания [14]), не участвуют в процессе проводимости.

ЗАКЛЮЧЕНИЕ

В высокоомных чистых и слаболегированных атомами гольмия кристаллах моноселенида индия для полного объяснения механизма ИПФ, помимо наличия уровней прилипания в запрещенной зоне, необходимо учесть также значительную роль флуктуации потенциала свободных энергетических зон, возникших вследствие частичной неупорядоченности этого материала.

- 1. F.N.Kaziyev, M.K.Seinkman, J.B.Ermolovich, G.A.Akhundov, *On photoconductivity of n-InSe single crystals, Phys. Stat. Sol. (a)*, **31** (1969) 59-61.
- 2. А.Ш.Абдинов, А.Г.Кязым-заде, Явления фото- и электропамяти в высокоомных монокристаллах n-InSe, Физ. и техн. полупроводников, **9** (1975) 1690-1693.
- 3. А.Ш.Абдинов, П.Г.Аббасова, Я.Г.Гасанов, Эффект фотоэлектрической утомляемости в монокристаллах селенида индия, Физ. и техн. полупроводников, **17** (1983) 761.
- 4. С.М.Рывкин, Фотоэлектрические явления в полупроводниках, М.: Наука, (1963) 494.
- 5. А.Ш.Абдинов, А.А.Ахмедов, Я.Г.Гасанов, А.З.Магомедов, Индуцированная собственной подсветкой примесная фотопроводимость в монокристаллах селенида индия, со свойством остаточной фотопроводимости, Физ. и техн. полупроводников, **15** (1981) 1255-1258.
- 6. А.Ш.Абдинов, Я.Г.Гасанов, Электроиндуцированная примесная фотопроводимость в монокристаллах InSe со стимулированной фотопроводимостью и остаточной проводимостью. Физ. и техн. полупроводников, **16** (1982) 769-772.
- 7. А.Ш.Абдинов, Р.Ф.Бабаева, Р.М.Рзаев, Г.Х.Эйвазова, Влияние легирования редкоземельными элементами на исходную и сенсибилизированную ИК-фоточувствительность слоистых кристаллов селенида индия, Прикладная физика, № 2 (2006) 62-66.
- 8. А.М.Гусейнов, Т.И.Садыхов, Получение легированных редкоземельными элементами монокристаллов селенида индия, В сб.: Электрофизические свойства полупроводников и плазмы газового разряда, Баку, АГУ, (1989) 42-44.
- 9. М.Ламперт, П.Марк, Инжекционные токи в твердых телах, М. Изд. «Мир», (1973) 416.
- 10. А.Ш. Абдинов, Р.Ф. Бабаева, Эффект переключения в слоистых моноселенидах $A^{III} B^{VI}$ и гетероструктурах на их основе, Вестник Бакинского Университета, сер. физ.-мат. наук, №3 (2009) 139-147.
- 11. А.Ш. Абдинов, Р.Ф. Бабаева, Долговременная изотермическая релаксация темнового электросопротивления монокристаллов селенида индия, легированного диспрозием. Неорганические материалы, **31** (1995) 1020-1022

А.Ш.АБДИНОВ, Р.Ф.БАБАЕВА, Р.М.РЗАЕВ

- 12. М.К.Шейнкман, А.Я.Шик, Долговременные релаксации и остаточная проводимость в полупроводниках, Физ. и техн. полупроводников, **10** (1976), 209-232
- 13. Р.Ф.Бабаева, Особенности электронных явлений в частичнонеупорядоченных полупроводниках типа легированных редкоземельными элементами кристаллов $A^{III}B^{VI}$ со слоистой структурой и гетероструктурах на их основе, Автореф. докт. дисс., Баку, 2009, 38.
- 14. В.Б.Сондамирский, А.Г.Ждан, М.А.Месерер, И.Б.Гуляев, Механизм замороженной (остаточной) проводимости полупроводников, Физ. и техн. полупроводников, 7 (1973) 1314-1321

İNDİUM MONOSELENİDİ KRİSTALLARINDA İNDUKSİYALANMIŞ AŞQAR FOTOKEÇİRİCİLİYİN XÜSUSİYYƏTLƏRİ

Ə.Ş.ABDINOV, R.F.BABAYEVA, R.M.RZAYEV

Təqdim olunan işdə təmiz (aşqarlanmamış) və müxtəlif tərkibdə holmium atomları ilə aşqarlanmış indium monoselenidi kristallarında induksiyalanmış aşqar fotokeçiriciliyin (İAF) xüsusiyyətlərinə baxılmışdır.

Müəyyən olunmuşdur ki, yüksəkomlu təmiz və holmium atomları ilə zəif aşqarlanmış indium monoselenidi kristallarında İAF-ın baş vermə mexanizmini tam izah etmək üçün, həmin materialın qadağan olunmuş zonasında tutma mərkəzləri ilə yanaşı, qismən nizamsızlıq hesabına sərbəst enerji zonalarının potensialının əhəmiyyətli dərəcədə flüktuasiyasının mövcudluğunu da nəzərə almaq lazımdır.

FEATURES OF INDUCED IMPURITY PHOTOCONDUCTIVITY IN CRYSTALS OF INDIUM MONOSELENIDES

A.SH.ABDINOV, R.F.BABAYEVA, R.M.RZAYEV

The features of the induced impurity photoconductivity in pure and doped with different content of atoms of holmium single crystals of indium selenide have been discussed.

It has been established that in high-pure and lightly doped holmium atoms, crystals of indium selenide single crystals for a full explanation of the mechanism of IAP, in addition to the availability levels of the adhesion in the gap, it must also has been considered the significant role of the fluctuations of free potential energy bands, arising from a partial disorder of this material.

Редактор: С.Мехтиева

УДК 621.383

ФОТОДИОДЫ НА ОСНОВЕ Cd_xHg_{1-x}Te, ПОЛУЧЕННЫЕ ОБЛУЧЕНИЕМ ИОНАМИ ИНДИЯ С ЭНЕРГИЕЙ 5 кэВ

Н.Д.ИСМАЙЛОВ, Э.К.ГУСЕЙНОВ, И.С.ГАСАНОВ, Ш.М.КУЛИЕВ, Р.МУХТАРОВА

Институт физики НАН Азербайджана AZ 1143, г. Баку, ул. Г.Джавида, 33 ilkhamg@mail.ru

поступила 12.02.2011 принята к печати 18.06.2011

Ключевые слова: фотодиоды, ИКоптоэлектроника, p-n переходы

РЕФЕРАТ

Приведены результаты экспериментального исследования свойств фотодиодных структур на основе Cd_xH_{g1-x} Те (0,2<x<0,3), впервые изготовленных методом обработки поверхности материала р-типа ионами индия с энергией 5кэВ. На основе анализа электрических и фотоэлектрических свойств полученных структур сделан вывод о высоком качестве структур, полученных при обработке ионами индия. Сделано предположение, что это связано с электрической активацией атомов индия и с сравнительно меньшими дозами облучения ионами индия, необходимыми для формирования инверсного слоя.

В настоящее время узкозонные материалы СфхНд1-хТе сохраняют свое лидирующее место в ИК-оптоэлектронике, несмотря на технологическую сложность и высокую цену этого материала. Это связано как с постоянным спросом на этот материал для военных и коммерческих применений, так и с уникальными свойствами КРТ, позволяющими использовать структуры на квантовых ямах на его основе для изучения физических эффектов и явлений, таких как квантовый эффект Холла, спин-орбитальное расщепления и т.п. [1.2]. Основное развитие ИК-фотоприемников происходит в направлении создания большеформатных фотодиодных матриц [1]. В большинстве случаев формируют фотодиоды n⁺-p-типа с использованием ионной имплантации элементов Hg, B, H, Ве, A1,In, Aг с энергией $30 \div 200$ кэВ и дозами $10^{12} \div 10^{15}$ см⁻² в вакансионнолегированный материал [2,3]. При этом p-n-переход формируется на глубине 1÷3мкм, которая значительно превышает субмикронную область имплантированных ионов, а уровень легирования инверсного n^+ слоя намного выше, чем доза имплантации. Это обусловлено тем, что ионы высокой энергии высвобождают в приповерхностной области в большом количестве слабосвязанные атомы ртути, которые, диффундируя в объем F формируют n^+ слой. Необходимости в посимплантационном отжиге не появляется, особенно при малых дозах облучения, хотя в некоторых случаях при имплантации донорных примесей указывается на улучшение параметров перехода [4].

Метод низкоэнергетичной ионной обработки (НИО), широко используемый в технологии изготовления ИК-фотоприемников, выступает в качестве альтернативы традиционной ионной имплантации для изготовления p-n переходов на основе $Cd_xH_{gl-x}Te$ [5]. Процесс обработки проводится ионами инертных газов энергией $100\div1500$ эВ. Глубина залегания p-n-перехода зависит от исходных параметров материала (состава x, исходной концентрации вакансий или примесей) и параметров процесса НИО, поэтому режим обработки необходимо подбирать для каждого конкретного случая. При одинаковых параметрах подложки для получения глубины залегания перехода в несколько микрон необходимая доза ионов при НИО на несколько порядков превышает их значения при ионной

имплантации. При этом происходят распыление и удаление части верхних слоев. Вопрос формирования инверсного слоя в p-типе $Cd_xH_{gl-x}Te$ как при НИО, так и при ионной имплантации остается еще предметом обсуждений.

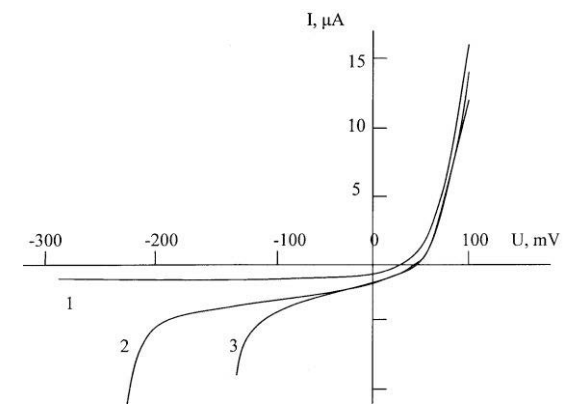
В этом смысле представляет определенный интерес исследование свойств инверсного слоя, полученного обработкой поверхности р- $Cd_xH_{gl-x}Te$ низкоэнергетичными ионами (E<30кэB) донорных примесей.

В данной работе приводятся результаты экспериментального исследования свойств фотодиодных структур, полученных обработкой поверхности р- $Cd_xH_{gl-x}Te$ ионами индия энергией ~ 5 кэВ.

Для изготовления фотодиодных структур использовались объемные монокристаллы р- $Cd_xHg_{1-x}Te$ составов $x=0,19\div0,2$ и $x=0,27\div0,3$ как вакансионнолегированые, так и легированные медью и серебром, с концентрацией дырок $p=10^{15}\div5\cdot10^{16}cm^3$ и подвижностями $\mu_p=400\div700cm^2/(B\cdot c)$ при 77К. Планарные фотодиоды площадью $S_1=3.2\cdot10^{-5}cm^{-2}$ формировали методом фотолитографии. Для получения инверсного слоя образцы подвергали облучению пучком нейтрализованных ионов индия с энергиями $5\kappa \ni B$ при плотности тока $4m\kappa A/cm^2$ на вакуумной установке с жидкометаллическим источником ионов. Для сравнения инверсные слои были получены также методом НИО ионами аргона с энергией $250 \ni B$ при плотности тока $0,3mA/cm^{-2}$ и ионами бора с энергией $150\kappa \ni B$ и дозой $3\cdot10^{13}cm^{-2}$. В случае НИО доза облучения варьировалась в зависимости от исходных параметров материала. В качестве пассивирующего покрытия использовались термически напыленные слои 2nS толщиной $3m\kappa M$. Во всех случаях процесс отжига не проводился.

Качество перехода и механизм прохождении тока в полученных структурах определялись по измерениям температурной зависимости ВАХ в интервале T=77÷300K, а также параметров фоточувствительности и их спектральных зависимостей. Анализ температурных зависимостей ВАХ показывает, что основными механизмами, определяющими ток в полученных структурах являются: для x>0,2 при T>90K и для x<0,28 при T>11OK термоактивационные механизмы, а при T<90K для x ≈0,2 и при T<110 K для x ≈0,28 — межзонное туннелирование и туннелирование через локальные центры в запрещенной зоне. Лучшими характеристиками обладали p-n переходы, полученные обработкой ионами индия.

На Рис. 1 приведена ВАХ планарного *p-n*-перехода на основе p-Cd_xHg_{1-x}Te с $x\approx0,2$ при концентрации дырок $p=3x10^{15}$ cм-³, полученной обработкой ионами индия дозой $D_I=4-10^{14}$ см-². Как видно из Рис.1, обратные токи имеют характер



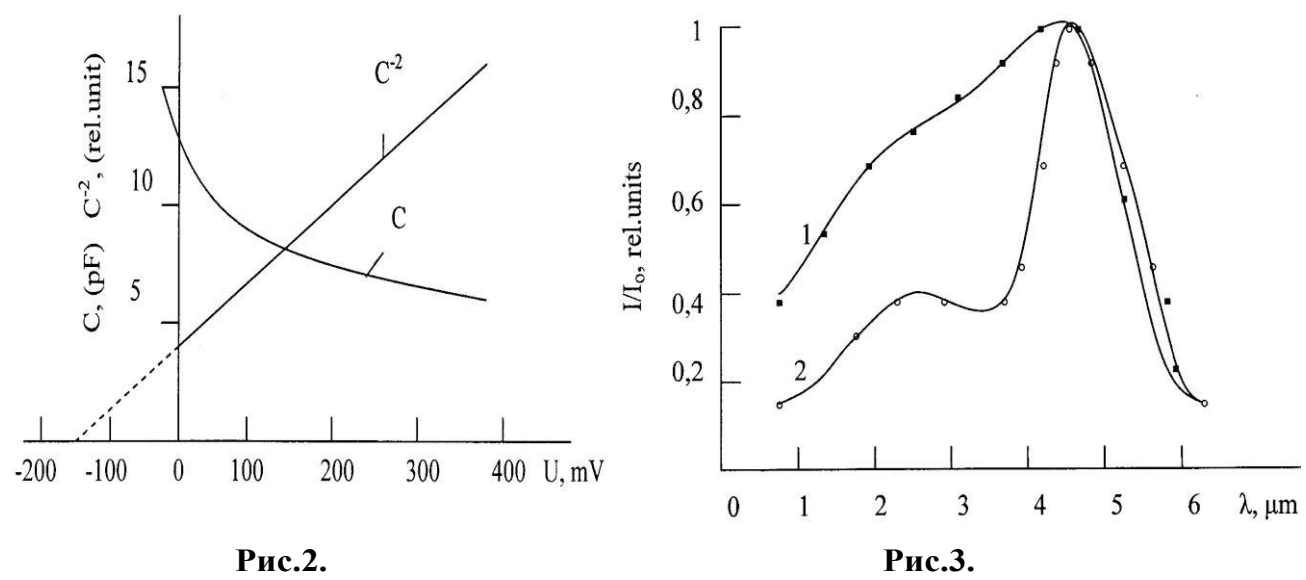
насыщения до $U\approx 0.3$ B, что указывает на термоактивационный или диффузионный механизм прохождения тока. Величина дифференциального сопротивления $R_dA\geq 10$ Om/cm² до $U\approx 0.2$ B, что сравнимо с наилучшими результатами на объемных монокристаллах.

Рис. 1. ВАХ фотодиодов на основе p-Cd_{0.2}Hg_{0.72}Te при 77K, полученных НИО ионами индия (1), ионами аргона (2) и имплантацией ионами $B^+(3)$.

Для сравнения приведены также ВАХ для структур, полученных НИО ионами аргона и имплантацией ионов бора. Следует отметить, что формирование инверсного слоя наблюдается при НИО ионами индия при дозах на два порядка больших, чем при имплантации ионов B^+ , и на три порядка меньших, чем при НИО ионами аргона. Так, например, для $x\approx0.2$ и $p=3\cdot10^{15}$ см⁻³ необходимая доза ионов

ФОТОДИОДЫ НА ОСНОВЕ $Cd_xHg_{1-x}Te$, ПОЛУЧЕННЫЕ ОБЛУЧЕНИЕМ ИОНАМИ ИНДИЯ С ЭНЕРГИЕЙ 5 кэВ

аргона D_A =3·10¹⁶cm⁻², а ионами индия — D_1 =4·10¹⁴cm⁻²; при p=2·10¹⁶cm⁻², D_A =2·10¹⁷cm⁻², D_I =3·10¹⁵cm⁻². Для x≈0,28 эти величины имели в несколько раз большие значения. Как известно, при НИО, на самом деле, образуется не n^+ -p, а n^+ -n-p- тип перехода, причем переход расположен в области n с концентрацией носителей заряда на порядок меньшей, чем в исходном образце до обработки. Об этом свидетельствуют значения концентраций, полученных из C-V измерений.



Емкостные характеристики фотодиодных структур на основе p- $Cd_{0.28}Hg_{0.72}Te\ c\ N_A$ - $N_D=10^{16}cm^{-3}$ при T=77K.

Спектральная характеристика фоточувствительности фотодиодных структур на основе p- $Cd_{0.2}Hg_{0.72}Te$ при 77К до (1) и после (2) химического травления.

На Рис.2 приведена емкостная характеристика для $x\approx0,28$ с N_A - N_D = 10^{16} см⁻³ в исходной подложке, характеристика $C^2(U)$ - прямая, указывающая на ступенчатый характер распределения примесей. Величина отсечки на оси абцисс дает значение высоты диффузионного барьера U_b =130мВ, совпадающее со значениями, полученными из ВАХ и с величиной фото-ЭДС насыщения. С использованием данных измерений рассчитана величина концентрации N_A - N_D = 10^{16} см⁻³ в р-слое. Верхний n^+ -слой характеризуется большой степенью радиационных нарушений и скоростью поверхностной рекомбинации, что может существенно влиять на фотоэлектрические характеристики прибора, если его толщина более 3мкм.

На Рис.3 приведена спектральная характеристика фотодиода для $x\approx0,28$ до и после химического стравливания слоя толщиной $3\div4$ мкм. До травления спектральная характеристика имела спад в коротковолновой области спектра; после травления фоточувствительность возросла более чем в 2 раза, а спектральная характеристика в коротковолновой области увеличилась на 40%. При этом емкостная характеристика не изменилась. Это объясняется удалением при химическом травлении радиационно-нарушенного n^+ -слоя с повышенной скоростью поверхностной рекомбинации, где погибает значительная часть фотогенерированных носителей заряда.

Надо отметим, что на сегодняшний день индий является наиболее изученной и широко применяемой донорной примесью для $Cd_xHg_{1-x}Te$. В диапазоне концентраций $10^{15} \div 10^{17} \text{cm}^{-3}$ все введенные в $Cd_xHg_{1-x}Te$ атомы индия, как правило, оказываются на 100% электрически активными и являются однозарядными донорами как примесь замещения в подрешетке катиона [6]. Анализ полученных результатов позволяет сделать предположение, что значительное уменьшение энергии ионов индия, который является донорной примесью в $Cd_xHg_{1-x}Te$,

Н.Д.ИСМАЙЛОВ, Э.К.ГУСЕЙНОВ, И.С.ГАСАНОВ, Ш.М.КУЛИЕВ, Р.МУХТАРОВА

позволяет существенно снизить степень радиационной нарушенности поверхностных слоев по сравнению с имплантацией ионами высоких энергий (100÷200кэВ). Значительно меньшая степень нарушенности кристаллической решетки, возможно, создает условия для электрической активации атомов индия, что позволяет для получения инверсного слоя на три порядка снизить дозу облучения по сравнению с НИО ионами аргона, при которых происходит распыление и удаление верхних слоев. Иначе говоря, если при ионной имплантации и при обработке ионами аргона инверсный слой формируется за счет быстрой диффузии по междоузельному механизму высвободившихся атомов ртути, то в случае с обработкой ионами индия он формируется также или в основном за счет электрической активации донорных атомов индия.

Таким образом, использование для изготовления фотодиодов на основе р- Cd_xHg_{1-x} Те обработки поверхности ионами индия с энергией ~5кэВ позволяет значительно облегчить технологию получения качественных ИК-фотодиодов .

- 1. A.M.Filachev, *Ponomarenko V. P., Taubkin I. I., Ushakova M. B.* Infrared focal plane arrays: state of the art and development trends, Proceeding of SPIE, № <u>5126</u> (2003) 52-85.
- 2. P.G.Pitcher, Pl.F.Hemmet, Q.V.Davis, Formation of shallow photodiodes by implantation of boron into mercury cadmium telluride, Electron. Let., **18** (1980) 1090-1092.
- 3. L.J.Kozlowski, R.B.Bailey, S.C.Cabelli, D.E.Cooper, G.Mc.Comas, K.Vural, W.E.Tennant, 640x480 PACE Cd_xHg_{1-x}Te FPA, Proceeding SPIE, №1735 (1992) 163-174.
- 4. М.Г.Андрюхив, С.В.Белотелое, И.С.Вирт, П.С.Шкумбатюк, Шум дефектов обратносмещенных n^+ -p-переходов на основе $Cd_xHg_{1-x}Te$, $\Phi T\Pi$, **26** (1992) 393-394
- 5. К.Р.Мынбаев, В.И.Иванов-Омский, *Модифицирование свойств Сд_xHg*_{1-x}*Tе* низкоэнергетичными ионами, $\Phi T\Pi$, **37** (2003) 1153-1178.
- 6. H.R.Vydyanath, *The dopping of HgCdTe epitaxial layers with In*, *J. Cryst. Growth.*, **161** (1996) 64-69.

5keV ENERJILI INDIUM IONLARI ILƏ ŞUALANDIRILMIŞ Hg_1-xCd_xTe ƏSASINDA FOTODIODLAR

N.D.İSMAYILOV, E.K.HÜSEYNOV, İ.S.HƏSƏNOV, S.M.GULIYEV, R.MUXTAROVA

İlk dəfə olaraq p-tipli materialın səthiniн 5 keV enerjili indium ion şualanдырылması ilə alınmış $Hg_{1-x}Cd_xTe$ (0,2<x<0,3) əsasında fotodiodların xassələri eksperimental tədqiq olunmuşdur. Alınmış strukturların elektrik və fotoelektrik xassələrinun təhlili əsasında onların yüksək keyfiyata malik olması мирийн edilmişdir. Fərz edilir ki, bu, indium atomlarınыn elektrik aktivləşməsi иlə və invers təbəqəsinin formalaşması üçün zəruri olan indium ionlarınыn şualanma dozasınыn nisbətən aşağı olması ilə əlaqədarдыр.

PHOTODIODES ON THE BASIS OF $Hg_{1-x}Cd_xTe$ OBTAINED BY IRRADATION OF 5KeV INDIUM IONS

N.D.İSMAYILOV, E.K.GUSEYINOV, İ.S.GASANOV, S.M.GULIYEV, R.MUKHTAROVA

Results of an experimental research of properties of photodiode structures on the $Hg_{1-x}Cd_xTe$ basis (0.2<x<0.3) have been made by treatment of a surface of p-type material by 5keV ions of indium have been presented. By analysis of electric and photoelectric properties of obtained structures it has been drawn a conclusion about higher quality of the structures fabricated by indium ion treatment. It has been expected that it has been related with electric activity of In atoms and with relatively low irradiation doses for inverse layer formation.

Редактор:Б.Бархалов

Pacs 548.1.61.66

SYNTHESIS, STRUCTURE INVESTIGATION AND OPTICAL PROPERTIES OF $Ga_{0.83}In_{0.83}Fe_{0.34}S_3$ COMPOUND

J. HASANI BARBARAN², G.G.GUSEINOV¹, Y.I.ALIYEV¹, G.M.AGAMIRZEYEVA¹

Institute of Physics, National Academy of Sciences¹
AZ 1143, Baku, Husein Javid ave., 33
Solid State Lasers Research Department, Laser and Optic Research Institute²
P.O.Box.14155-1339, Tehran, Iran
g.guseinov@rambler.ru

	ABSTRACT
received: 11.03.2011	Ga _{0.83} In _{0.83} Fe _{0.34} S ₃ solid solution has been synthesized.
accepted: 04.06.2011	Different characterization methods such as XRD, SEM and
	EDS were used to study the compound of prepared sample.
	The unit cell parameters of the hexagonal lattice are:
Key words: semiconductor, single crystal,	$a=3.7813\text{Å}$, $c=12.1888\text{Å}$, $V=151.04\text{Å}^3$, $\rho_{XRD}=3.84\text{g/cm}^3$,
crystal structure, optical absorption	sp.gr. $P3m1$, $Z=1.33$. The optical absorption edge is
	measured and established that optical transitions of
	Ga _{0.83} In _{0.83} Fe _{0.34} S ₃ are direct and characterized by energy
	about ~1.47eV.

INTRODUCTION

The phase diagram of quasi-binary section Ga₂S₃-In₂S₃ was investigated by the authors of [1-2], who had found that in this system only one compound of GaInS₃ was produced, where the cell constants of the hexagonal lattice are *a*=3.810Å, *c*=17.241Å, sp.gr. *P3m1*, *Z*=2. The authors of [3-8] investigated into the phase formation in the above mentioned section by X-ray diffraction methods through changing In/Ga ratio. For this purpose a number of single crystals with general formula of (Ga,In)₂S₃ were grown and crystal structures of all obtained crystals were determined [3-8]. In order to grow these single crystals, preliminarily synthesized powder crystals of the following compositions were used: GaInS₃, Ga_{0.75}In_{1.25}S₃ and Ga_{0.5}In_{1.5}S₃. The temperature ranges of the grown were:

GaInS₃ T_I =973 K, T_2 =873 K; Ga_{0.75}In_{1.25}S₃ T_I =1073 K, T_2 =973 K; Ga_{0.5}In_{1.5}S₃ T_I =1173 K, T_2 =1073 K;

A number of single crystals were obtained by CVD (Chemical Vapor Deposition) and analyzed by detailed X-ray analysis. These single crystals were tested by X-ray Laue, rotation and precession methods, also determined the crystal structure for most of them. Particularly the following results were obtained:

- Volumetric lamellar slightly yellow crystals, obtained from the compositions of GaInS₃ and Ga_{0.75}In_{1.25}S₃, were crystallized in the hexagonal system with the lattice parameters of a=6.53Å and c=17.90Å [3].
- The red colored layered single crystals grown at temperature range of TI=1073K and T2=973K belong to the hexagonal system with the lattice parameters of a=3.80Å and c=30.50Å [4]. Among the red crystals were observed slight grayish layer single crystals of triangular shapes. These crystals belong to polytypical form of GaInS₃ with the unit cell constants of a=3.80Å and c=45.90Å [5].
- The layered yellow crystals obtained from the $Ga_{0.5}In_{1.5}S_3$ composition in the temperature ranges of T_I =973K and T_2 =873K, are orthorhombic with the lattice parameters of a=19.11Å, b=6.20Å and c=3.81Å [6].

J. HASANI BARBARAN, G.G.GUSEINOV, Y.I.ALIYEV, G.M.AGAMIRZEYEVA

- The oval-shaped layered, yellow crystals obtained from the $Ga_{0.75}In_{1.25}S_3$ composition in the temperature ranges of T_I =1173K and T_2 =1073K, have hexagonal structure and are crystallized in two polytypical forms. Their cell parameters are a=3.81Å, c=18.20Å and a=3.81Å, c=54.92Å, respectively [7].
- The layered blackish crystals obtained from the $Ga_{0.5}In_{1.5}S_3=GaIn_3S_6$ and $Ga_{0.75}In_{1.25}S_3$ compositions at $T_I=1073$ K and $T_2=973$ K are hexagonal with a=3.8Å and c=21.1Å lattice parameters [8].
- The octahedron-shaped crystals were grown at high temperatures and belong to cubic spinel with $a=10.61\text{\AA}$ [7].

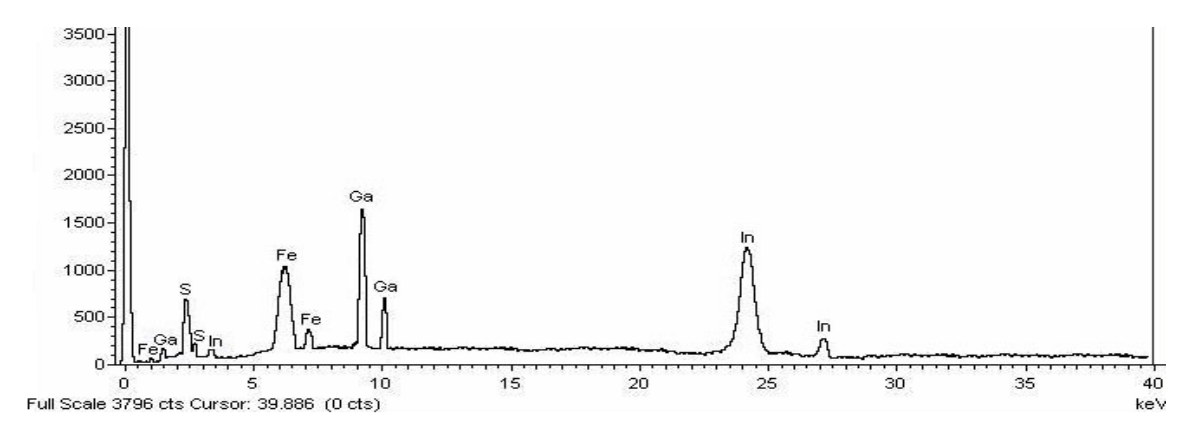
The present research is dedicated to refinement of the structure and measurement of the optical absorption edge of the solid solution $Ga_{0.83}In_{0.83}Fe_{0.34}S_3$, obtained through partial substitution the atoms In and Ga with Fe in the hexagonal structure of $GaInS_3$.

SYNTHESIS OF THE Ga_{0.83}In_{0.83}Fe_{0.34}S₃ COMPOUND

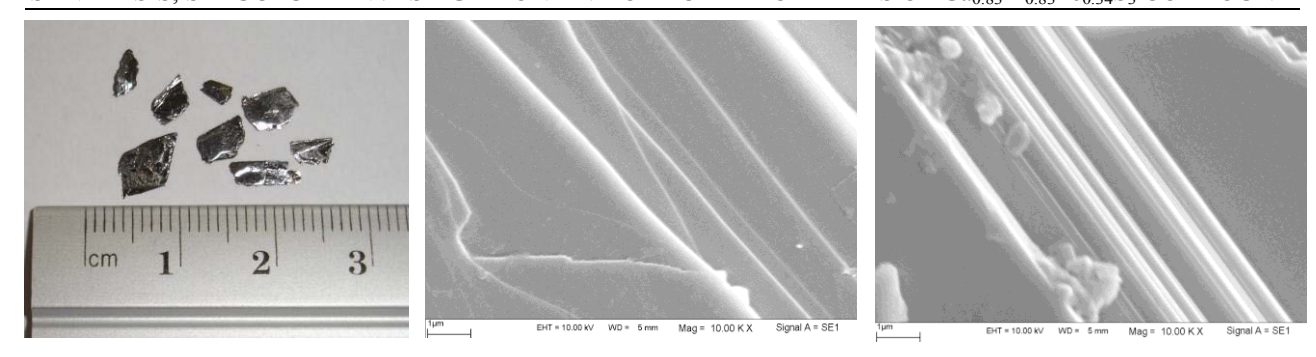
The $Ga_{0.83}In_{0.83}Fe_{0.34}S_3$ was synthesized through the direct fusion of the initial elements with stoichiometric ratio. The elements purity was no less than 99.998%. Iron was preliminarily purified from the oxide layer by hydrogen passing in a temperature range of $820 \div 880 K$. The necessary amounts of elements were placed into the glass-carbonic Su-2500 crucibles and then in quartz tubes. Synthesis in the glass-carbonic crucibles prevents the interaction between metal compound and quartz, which may contaminate the synthesized material by oxides. Then the preliminarily evacuated ampoules were filled with argon gas and evacuation was done again to achieve a residual pressure of $10^{-4} Torr$. The $Ga_{0.83} In_{0.83} Fe_{0.34} S_3$ solid solution was obtained by heating the ampoule content in inclined furnace at $1250 \div 1275 K$ for $2.0 \div 2.5 hrs$. Then the melted mass was cooled down to 973 K and kept at this temperature for improving the product quality for 15 days. The method in detail has been described by Memo [9].

SEM IMAGE AND EDS ANALYSIS

The elemental analysis of the synthesized compound Ga_{0.83}In_{0.83}Fe_{0.34}S₃ was performed by EDS XGT-7000 (Fig.1), which shown that the composition consists all of four elements (Ga, In, Fe, S). The photo of the layer shaped of Ga_{0.83}In_{0.83}Fe_{0.34}S₃ compound are shown in Fig.2. The images of the two pieces of the Ga_{0.83}In_{0.83}Fe_{0.34}S₃, obtained by variable pressure scanning electron microscope LEO 1455VP (Fig.3), clearly shown the layered single crystal nature of them.



 $\label{eq:Fig.1.} \textbf{Fig. 1.}$ The EDS image of the $Ga_{0.83}In_{0.83}Fe_{0.34}S_3.$

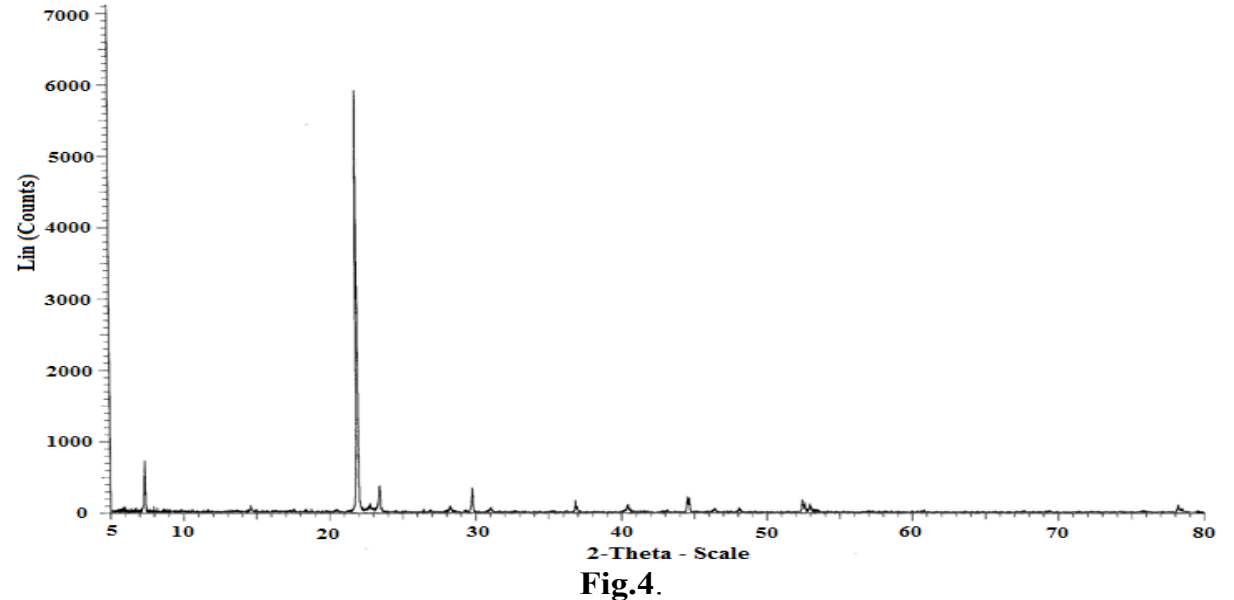


 $\begin{aligned} & \textbf{Fig.2.} \\ & \text{Photo of layered crystals} \\ & \text{Ga}_{0.83} In_{0.83} Fe_{0.34} S_3. \end{aligned}$

 $\label{eq:Fig.3.} Fig.3. \\ \text{SEM images of the $Ga_{0.83}In_{0.83}Fe_{0.34}S_3$.}$

THE STRUCTURE INVESTIGATION

The structural analysis was carried out by the X-ray powder diffractometer (D8 ADVANCE, CuK_{α} -radiation, λ =1.5406Å, mode-40 kV, 40mA, 0.5° <2 θ <80°, T=300K). The experimental data processing was done by the EVA and TOPAS softwares. Comparison the diffraction data of this compound with appropriate data of the polymorphic and polytypical forms of Ga_2S_3 - In_2S_3 system showed that they are completely similar with the crystals synthesized from the $Ga_{0.5}In_{1.5}S_3$ gas phase [10]. Table I presents the X-ray diffraction data (Fig.4) indexed by TOPAS software.



X-ray diffraction for $Ga_{0.83}In_{0.83}Fe_{0.34}S_3$.

The process of indexing showed that the studied phase was crystallized in the hexagonal system with the lattice constants of $a=3.7813\text{\AA}$, $c=12.1888\text{\AA}$, $V=151.04\text{\AA}^3$, $\rho_{XRD}=3.84\text{g/cm}^3$, sp.~gr.~P3m1, Z=1.33. As mentioned above, one of polytypes of $Ga_{0.5}In_{1.5}S_3$ was characterized by similar crystallographic data. The differences between these crystals and those obtained in the present research are due to the presence or absence of the inversion symmetry: the structure in the first crystal is symmetrical but the studied crystals of $Ga_{0.83}In_{0.83}Fe_{0.34}S_3$ have no such symmetry. According to the atomic positions of $Ga_{0.5}In_{1.5}S_3$ crystal, the atomic positions of $Ga_{0.83}In_{0.83}Fe_{0.34}S_3$ were defined easily. In this case, the main issue was finding the position of the Fe atoms. It is important to know that in such layered structures, the octahedral voids are always filled with In atoms. Hence, it appears that the atoms of iron must be statically located in the

J. HASANI BARBARAN, G.G.GUSEINOV, Y.I.ALIYEV, G.M.AGAMIRZEYEVA

tetrahedral positions of In or Ga atoms. Among the two possible tetrahedral positions for distribution of Fe atoms, the best result was obtained in the version, which is shown in Fig.5.

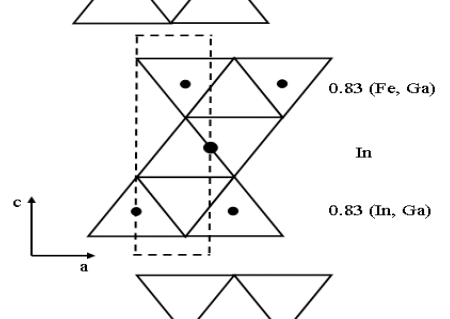


Fig.5. The projection of $Ga_{0.83}In_{0.83}Fe_{0.34}S_3$ crystal structure on the (010) Plane.

Table 1

Table	e 1.	V roy diffraction	data for Ga _{0.83} In _{0.83} I	Eo S		
<u>№</u>	2θ	d_{exp}	I/I_0	h	k	l
1	7.247	u_{exp} 12.1888	577	$\frac{n}{0}$	0	1
2	14.523 6.0944		50.6	0	0	2
3	21.858	4.0629	5929	0	0	3
4 5	23.334	3.8091	402	1	0	2
6	28.195	3.1625	83.8	1	0	1
	29.753	3.0004	412	0	1	3
7 8	29.285	3.0472	9.7	0	0	4
	30.976	2.8846	54.5	1	0	2
9	36.841	2.4377	107	0	0	5
10	40.401	2.2307	101	1	0	4
11	44.566	2.0314	132	0	0	6
12	46.398	1.9554	36.9	1	0	5
13	48.087	1.8906	64.8	1	1	0
14	48.699	1.8683	10	1	1	1
15	52.512	1.7412	94.2	0	0	7
16	53.003	1.7262	69.9	1	0	6
17	53.408	1.7141	9.48	1	1	3
18	56.128	1.6373	3.39	2	0	0
19	56.677	1.6227	8.66	2	0	1
20	58.305	1.5812	7.77	2	0	2
21	60.137	1.5374	4.54	1	0	7
22	60.74	1.5236	16.7	0	0	8
23	62.075	1.4939	2.46	1	1	5
24	67.639	1.3839	4.75	1	1	6
25	67.783	1.3814	3.84	1	0	8
26	69.044	1.3592	6.8	2	0	5
27	69.33	1.3543	3.77	0	0	9
28	73.943	1.2808	6.14	1	1	7
29	74.349	1.2748	5.24	2	0	6
30	75.976	1.2515	14.3	1	0	9
31	76.977	1.2377	12.3	2	1	0
32	78.392	1.2188	43.1	0	0	10
33	78.849	1.2129	4.27	2	1	2

Thus this structure is similar with $Ga_{0.5}In_{1.5}S_3$, which refers to the structural type $ZnIn_2S_4$ [11]. The structure was refined in the isotropic approximation to R=0.070. The final atomic coordinates are given in Table II.

Interatomic distances are S–S=3.70Å, In–S=2.60Å (in octahedron), (Ga,Fe)–S=2.30÷2.34Å; (In, Ga)–S=2.34÷2.36Å. Since the package involved four layers of S atoms, the structural formula for one package corresponds to Ga_{1.11}In_{1.11}Fe_{0.44}S₄.

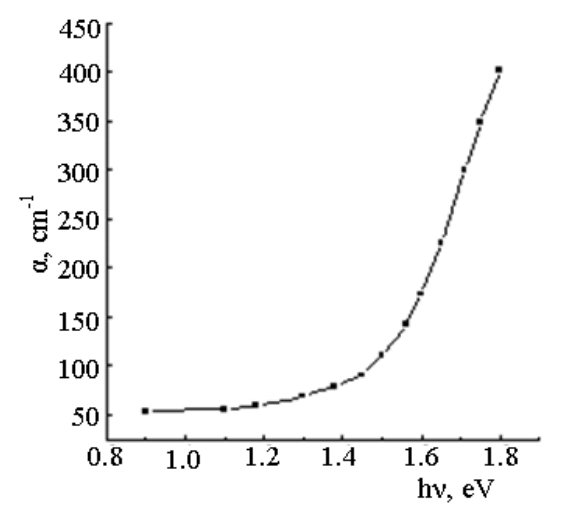
Table 2.Atomic coordinates and isotropic temperature displacement factors of Ga_{0.83}In_{0.83}Fe_{0.34}S₃.

Atom	х	Y	Z	B_i
In	0	0	0.5000	2.533
(Ga, In)	2/3	1/3	0.8100	1.820
(Ga, Fe)	1/3	2/3	0.1900	1.679
\mathbf{S}_1	2/3	1/3	0.6126	1.721
S_2	1/3	2/3	0.3874	2.653
S_3	1/3	2/3	0.8757	1.574
S_4	2/3	1/3	0.1243	1.721

OPTICAL ABSORPTION EDGE OF Ga_{0.83}In_{0.83}Fe_{0.34}S₃

In order to determine the energy-band gap and the nature of the optical transitions of $Ga_{0.83}In_{0.83}Fe_{0.34}S_3$, its optical absorption spectrum was measured. The measurements were carried out on the samples with ~40µm thickness by spectrophotometer SF-26 at 300K. The absorption coefficient α is calculated according to the following formula:

 $I=I_0e^{-\alpha d}$,



where I_0 is the intensity of incident radiation, I is the intensity of transmitted radiation, d=sample thickness and α is the absorption coefficient.

As shown in Fig.6, in the range of $0.9 \div 1.4 \text{eV}$ energy, the absorption coefficient depends weakly on the photon energy of the incident radiation. In the range of $1.4 \div 1.8 \text{eV}$, the absorption coefficient changed from 50cm^{-1} to 450cm^{-1} .

 $\label{eq:Fig.6.} \textbf{Fig.6.}$ The dependence of the absorption coefficient on the photon energy of the incident radiation in the \$Ga_{0.83}In_{0.83}Fe_{0.34}S_3\$ sample.

Due to absence the energy-band structure for $Ga_{0.83}In_{0.83}Fe_{0.34}S_3$, it was impossible to conclude that in which point of the Brillouin zone were localized the smallest optical transitions. However, on the base of dependence of absorption coefficient from incident radiation energy, we can make qualitative conclusions about the nature of the optical transitions and the minimal values of the optical band gap. It is clear that to determine the nature of optical transitions the steepness of the absorption edge is important. As it is mentioned in above in the range of $1.4 \div 1.8 \text{eV}$ the steepness of the edge (dlnk/dhv) is about $27 - 28 \text{ eV}^{-1}$. These values of the steepness of the optical absorption edge are also characteristic for the semiconductor compounds with direct optical transitions. For example, for $CdGa_2Se_4$ and $ZnGa_2Se_4$ the steepness of the absorption edge is about 20eV^{-1} , which is well consistent with the data in reference [12]. Therefore, the optical transitions in $Ga_{0.83}In_{0.83}Fe_{0.34}S_3$ are direct and characterized with energy gap of $\sim 1.47 \text{eV}$. Comparison the ε_g of this semiconductor and for other modifications [13], shown that for investigated material the energy gap is lower about 1eV. So the particularly replacement of the tetrahedral coordinated elements (In, Ga) with 3d elements (Fe) decreases the

J. HASANI BARBARAN, G.G.GUSEINOV, Y.I.ALIYEV, G.M.AGAMIRZEYEVA

value of ε_g , which is necessary for effective application of such materials in semiconductor technology.

CONCLUSIONS

Ga_{0.83}In_{0.83}Fe_{0.34}S₃ solid solution was synthesized, its structure was analyzed by X-ray diffraction method and its crystal class was identified as trigonal with: $a=3.7813 \text{\AA}$, $c=12.1888 \text{\AA}$, $V=151.04 \text{\AA}^3$, $\rho_{XRD}=3.84 g/cm^3$, sp.~gr.~P3m1, Z=1.33. The absorption coefficient of these semiconductors was obtained and it was established that their optical transitions are direct and the energy gap characterized with 1.47 eV.

- 1. M.İ.Zargarova, R.S.Gamidov, İzv. AN. USSR., Triple indium gallium sulfide, Non-org. mater., 5 №5 (1969) 371-373.
- 2. V.P.Ambros, I.Y.Andronik, V.P.Mushinskiy, Some physico-chemical properties of crystals of ternary systems Ga-In-Se and Ga-In-S. Some questions in chemistry and physics of semiconAductor complex composition, (Ujgorod: Publishing house UGU.), (1970) 238-239.
- 3. G.G.Guseinov, M.G.Kazimov, A.S.Guliyev, *The crystal structure of GaInS*₃, *Rep. of Azerb. SSR AS*, **44** (1990) 26-27.
- 4. I.R.Amiraslanov, Yu.G.Asadov, R.B.Veliyev, A.A.Musaev, G.G.Guseynov, Structure and intercalation twopaketnogo polytypic GaInS₃ (b, II), Crstallogr. Rep., **35** (1990) 1298-1299.
- 5. I.R.Amiraslanov, G.G.Guseynov, H.S.Mamedov, The crystal structure of polytype trehnaketnogo GaInS₃ (III), Crstallogr. Rep., **33** (1988) 767-768.
- 6. G.G.Guseinov, I.R.Amiraslanov, H.S.Mamedov, A.S.Guliyev, *The crystal structure of orthorhombic GaInS*₃, *Crstallogr. Rep.*, 32 (1987) 243-244.
- 7. I.R.Amiraslanov, T.X.Azizov, G.G.Guseinov, A.S.Kuliyev, G.M.Niftiyev, *Neorg. Single-crystal growth, structure and crystal chemistry of polymorph modifications GaInS*₃, *Azerb. IPAS Baku*, №185 (1986) 6-37.
- 8. I.R.Amiraslanov, F.Y.Asadov, G.G.Guseinov, *The crystal structure of new layer semiconductor Ga*_{0.74}*In*_{2.92}*S*₇, *Crstallogr. Rep.*, **34** (1989) 1012-1014.
- 9. A.Memo, H.Haeuseler, A new layered chalcogenides in the system NiIn₂S₄-NiIn₂Se₄, Z.Naturforsch, **57 b** (2002) 509-511.
- 10.I.R.Amiraslanov, R.B.Veliyev, A.A.Musaev, On the Phase Formation in the Ga_2 - S_3 - In_2S_3 and crystal structure $Ga_{0,5}In_{1,5}S_3$, DAS Acad. Sci. of Azerb., **46** No 1 (1990) 33-36.
- 11. F.G.Donika, S.I.Radautsan, G.A.Kiosse, *The crystal structure of polytype twopaketnogo ZnIn₂S₄ (II)a refinement of the structure and threepaketnogo polytype ZnIn₂S₄ (II)a, Crstallogr. Rep.*, **16** №1 (1971) 235-237.
- 12. A.Shileika, Energy band structure and modulation spectra of A²B⁴C₂⁵ semiconductors, Surf. Sci., **37** (1973) 730-747.
- 13. G.G.Guseynov, N.N.Musaeva, M.G.Kayzumov, The structure and optical absorption kiristalls of $Ga_{0.5}Fe_{0.5}InS_3$ and $Ga_{0.5}Fe_{0.25}In_{1,25}S_3$, Non-org. mater., **39** (2003) 1078-1080.

Ga_{0.83}In_{0.83}Fe_{0.34}S₃ BƏRK MƏHLUL KRİSTALLARININ QURULUŞU VƏ OPTİKİ XASSƏLƏRİ

C.HASANİ BARBARAN, Q.H.HÜSEYNOV, Y.İ.ALIYEV, G.M.AĞAMİRZƏYEVA

Ga_{0.83}In_{0.83}Fe_{0.34}S₃ tərkibli məhlul sintez edilmişdir. Alınan kristalların bircinsliyi RFA, EDX və SEM üsulları ilə müəyyən edilmişdir. Ga_{0.83}In_{0.83}Fe_{0.34}S₃ triqonal quruluşda kristallaşır. Onun qəfəs sabitləri a=3.7813Å, c=12.1888Å, fə.qr.P3m1, Z=1.33, V=151.04ų, d_{rent}=3.84q/sm³. Quruluş laylıdır və birpaketli ZnIn₂S₄-n quruluşu ilə eynidir.

SYNTHESIS, STRUCTURE INVESTIGATION AND OPTICAL PROPERTIES OF Ga_{0.83}In_{0.83}Fe_{0.34}S₃ COMPOUND

Tədqiq edilən bərk məhlul kristallarının udulma spektrinin sərhəddi ölçülmüş və müəyyən edilmişdir ki, optik keçidlər xəttidir və onun enerjisi $E_g \sim 1.47 eV$ -dur.

ИССЛЕДОВАНИЕ СТРУКТУРЫ И ОПТИЧЕСКИЕ СВОЙСТВА КРИСТАЛЛОВ ТВЕРДЫХ РАСТВОРОВ $Ga_{0.83}In_{0.83}Fe_{0.34}S_3$

Дж.ХАСАНИ БАРБАРАН, Г.Г.ГУСЕЙНОВ, Ю.И.АЛЫЕВ, Г.М.АГАМИРЗОЕВА

Синтезирован твердый раствор состава $Ga_{0.83}In_{0.83}Fe_{0.34}S_3$, однофазность и состав кристаллов установлен методами $P\Phi A$, EDS и SEM. Показано, что кристаллы $Ga_{0.83}In_{0.83}Fe_{0.34}S_3$ кристаллизуются в тригональной структуре с периодами решетки $a=3.7813 \, \text{Å}$, $c=12.1888 \, \text{Å}$, пр.гр.P3m1, Z=1.33, $V=151.04 \, \text{Å}^3$, $d_{\text{рент}}=3.84 \, \text{г/см}^3$, структура слоистая, однопакетная и изоморфно со структурной $ZnIn_2S_4(I)$.

Измерен оптический край поглощения, установлено, что оптический переход является прямым с энергией ~1,47эВ.

Редактор: И. Нуриев

UOT 537.311:322

Cu₅SmSe₄ BİRLƏŞMƏSİNDƏ KİNETİK XASSƏLƏRİN XÜSUSİYYƏTİ R.N.RƏHİMOV, Y.R.ƏLİYEVA, Z.İ.SÜLEYMANOV, Q.Q.HÜSEYNOV

Azərbaycan MEA-nın Fizika İnstitutu AZ 1143, Bakı şəh., H.Cavid pr.33 rashad@physics.ab.az

Daxil olub: 16.05.2011; Çapa verilib: 05.09.2011

Açar sözlər: Nadir torpaq elementləri, elektrik keçiriciliyi, termoelektrik hərəkət qüvvəsi, Holl əmsalı.

REFERAT

Cu₅SmSe₄ birləşməsinin elektrik keçiriciliyi, Holl sabiti və termoelektrik hərəkət qüvvəsi 80÷400K temperatur bölümündə tədqiq olunmuşdur. Kinetik əmsalların temperatur asılılığında müşahidə olunan xüsusiyyətlər müəyyən temperatur bölümündə samariumun valentliyinin dəyişməsi ilə izah olunur.

GIRIŞ

Nadir torpaq elementləri bir sıra xüsusiyyətlərə malik olduğundan, onlar əsasında yaradılan yeni birləşmələr perspektivli materiallar sayılır və onların öyrənilməsi həm elmi cəhətdən, həm də praktiki tətbiq baxımından maraq kəsb edir. Lantanoidlərdə 4f örtüyü boş və ya qismən dolduğundan onlar birləşmələrin tərkibinə ion şəklində daxil olurlar. Lantandan başlayaraq lütensiumadək bu örtük tədricən dolur. Birləşmə yarandığı zaman f təbəqələri bir-birini örtmür və $10^{22} \mathrm{cm}^3$ konsentrasiyayadək lokallaşmış səviyyələr yaradırlar. Bu səviyyələr enerjisinə görə yarımkeçiricinin qadağan olunmuş zonasına düşərək "aşqar" səviyyə rolunu oynaya bilir. Standart yarımkeçiricilərdə belə yüksək konsentrasiyalı lokal səviyyələr yaradılması mümkün deyil və məhz bu cəhət tərkibində nadir torpaq elementi olan yarımkeçirici birləşmələrin kinetik və optik xassələrində bir sıra xüsusiyyətlər və onlarda müxtəlif növ faza keçidləri yaradır.

Lantanoidlər əsasında Cu-Ln-VI tipli üçqat birləşmələr ilk dəfə P.Rüstəmov və əməkdaşları tərəfindən [1,2] sintez edilmiş və onların strukturu öyrənilmişdir. Qeyd etmək lazımdır ki, müəlliflər Cu₅LnSe₄ birləşməsində samariumdan başqa lantanoidlər sinfinə daxil olan bütün elementlərin hər birinin daxil olduğu birləşmələri öyrənilmişlər. Belə birləşmələrin bəziləri yarımkeçirici, bəziləri metillik və bəziləri hətta ifrat keçiricilik kəsb edir

Lantanoidlər metal halında və birləşmələrdə üçvalentlilik (Ln³+) göstərdikləri halda, onlardan bəziləri anomal valentlilik (Ln²+ və ya Ln⁴+) göstərir. Bu hal tam dolmuş, boş qalmış, və ya yarımçıq dolmuş 4f-təbəqələrin dayanıqlılığı ilə bağlıdır. İki valentli hal daha çox 4f səviyyəsi yarısınadək dolmuş olan 4 f 7 konfiqurasiyalı Eu²+ -da və 4f səviyyəsi tam dolmuş olan 4f¹4 konfiqurasiyalı Yb²+-da dayanıqlıdır. Sm—un 4f² konfiqurasiyaya malik olduğu ikivalentli halı Eu və Yb nisbətən dayanıqsızdır [3]. Keçirici zonada aktivləşmiş elektronların ekranlaşması nəticəsində samarium atomları valentliyini sıçrayışla ikidən üçə dəyişə bilir. Sm valentliyini dəyişdiyi zaman onun ion radiusu da əhəmiyyətli dərəcədə kiçilir: Sm²+ üçün ion radiusu 1.14Å və Sm³+ üçün 0.96Å bərabərdir [4]. Ona görə də tərkibində Sm olan birləşmələr qeyri adi xüsusiyyətləri ilə digərlərindən seçilir.

İlk dəfə Maud və b. [5] Ln₂Se₃-Cu₂Se sistemində bəzi tərkibləri sintez edərək onların elektrofiziki və maqnit xassələrini tədqiq etmişlər. Pribilskiy və Həmidov [6] Cu₂Se-Sm₂Se₃ sisteminin faza diaqramını öyrənmiş və bu sistemdə Cu₅SmSe₄, CuSmSe₂ birləşmələrin yarandığını göstərmişlər. Bu maddələr ancaq sintetik preparativ metodla alınmışdır. Sm₂Se₃-Cu₂Se sistemi 1048K temperaturunadək qızdırıldıqda Cu₅SmSe₄ birləşməsi yaranır və onun ərimə temperaturu 1353 K olur [6]. Belə faza ancaq 1270K

Cu₅SmSe₄ BİRLƏŞMƏSİNDƏ KİNETİK XASSƏLƏRİN XÜSUSİYYƏTİ

temperaturadək stabil qalır, ondan yuxarıda parçalanır. Əliyeva və d. [7] elektrik hərəkət qüvvəsi metodu [8] ilə Sm₂Se₃—Cu₂Se sistemində yaranan Cu₅SmSe₄, Cu₃SmSe₃, CuSmSe₂, CuSm₅Se₈ birləşmələrin termodinamiki funksiyaları müəyyənləşdimişlər. Cu₅SmSe₄ birləşməsi yenidən sintez edilərək onun polikristalı alınmış və adiabatik kalorimetriya üsulu ilə istilik tutumu tədqiq edilmiş və termodinamiki parametrlər hesablanmışdır [9].

Bu işdə Cu₅SmSe₄ birləşməsi haqqında bilgiləri genişləndirmək məqsədilə geniş temperatur bölümündə kinetik parametrlər tədqiq olunmuşdur.

EKSPERIMENTIN APARILMASI

Cu₅SmSe₄ birləşməsini sintez etmək üçün Cu- 99,990%, CMM-1 markalı Sm, Se-99,999% elementləri 5:1:4 molekulyar nisbətində götürülərək içərisi əvvəlcədən qrafitlənmiş kvars ampulun içərisinə doldurularaq 1.3*x*10⁻³ *Pa* vakuum yaradılmışdır. Sintez zamanı Sm₂Se₃–Cu₂Se sisteminin hal diaqramından və onun termoqrafiki analizinin nəticələrindən [5,6] istifadə olunmuşdur.

Mis, samarium və selendən ibarət qarışıq qızdırıldıqda, əvvəlcə 648K temperaturda Cu₂Se birləşməsi, 923K temperaturda isə Sm₂Se₃ birləşməsi əmələ gəlir. Temperatur 1158K dərəcəyədək yüksəldikdə Cu₂Se və Sm₂Se₃ arasında qarşılıqlı təsir başlayır və Cu₅SmSe₄ birləşməsi əmələ gəlir. Ampulda temperatur 1333K-ə qədər yüksəldilərək 30 dəqiqə saxlanılmışdır. Sonrakı mərhələdə ampula 1033K temperaturda 168 saat saxlanıldıqdan sonra otaq temperaturunadək soyudulur. Sintez olunmuş maddə külçə halında və parıltılı tünd alüminium rəngində alınır.

Ampuldan çıxarılan maddə döyülərək ovuntu halına salınmış, 250 MPa təzyiq altında preslənərək 2x20x2mm³ ölçülü paralelepiped şəklində nümunələr alınmışdır. Qara rəngdə alınan nümunələr 450÷500K temperaturlarda 144 saat müddətində saxlanılaraq tabı alınmışdır.

Elektrik ölçülərini aparmaq üçün 12x3x2mm³ ölçüdə nümunələr kəsilmiş, üzləri pardaqlanaraq azot turşusunda dağlanmışdır.

Nümunənin səthinin tədqiqi MİM-8 optik mikroskopunda aparılmışdır. Nümunələrin. səthinin şəkillərini çəkmək üçün mikroskopun okulyarında rəqəmli videokamera yerləsdirilmişdir. Alınan görünüs 1-ci səkildə verilmişdir.

Dörd zondlu metoddan istifadə olunaraq 80÷400K temperatur bölümündə elektrik keçiriciliyi, termoelektrik hərəkət qüvvəsi və Holl əmsalı kompleks şəkildə tədqiq olunmuşdur. Zondlar nümunəyə gümüş pastası ilə bərkidilmişdir. Holl əmsalı, elektrik keçiriciliyi və termoelektrik hərəkət qüvvəsinin temperatur asılılığı uyğun olaraq 2, 3, 4 – cü şəkillərdə verilmişdir.

NƏTICƏLƏRIN ARAŞDIRILMASI

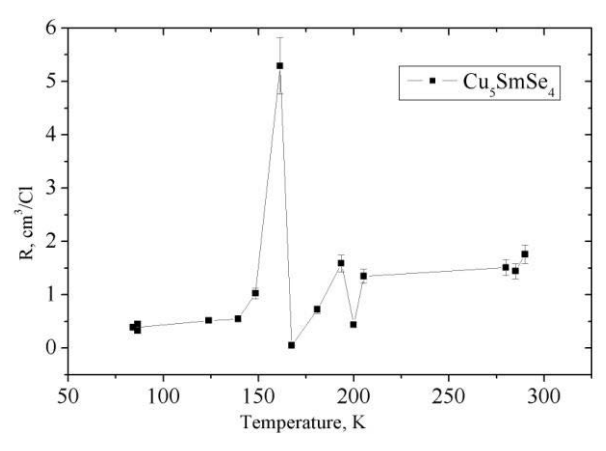
1-ci şəkildən göründüyü kimi preslənmiş nümunələrin səthi dendrid quruluşa malikdir.

Holl əmsalının temperatur asılılığı (2-ci şəkil) göstərir ki, nümunələrdə deşiklərin konsentrasiyası $10^{19} \mathrm{sm}^{-3}$ tərtibindədir və 150K yuxarı temperaturlarda onun temperaturdan asılılığı sıçrayışla dəyişir.

Şəkil 1. Cu₅SmSe₄ birləşməsinin mikroqrafikası (böyütmə 200 dəfə).

180÷200K temperatur bölümündə elektrik keçiriciliyi və termoelektrik hərəkət qüvvəsinin temperatur asılılığında da xüsusiyyət vardır (3 və 4-cü şəkillər): elektrik keçiriciliyi və termoelektrik hərəkət qüvvəsi minimumdan keçir. Bu xüsusiyyət həmin

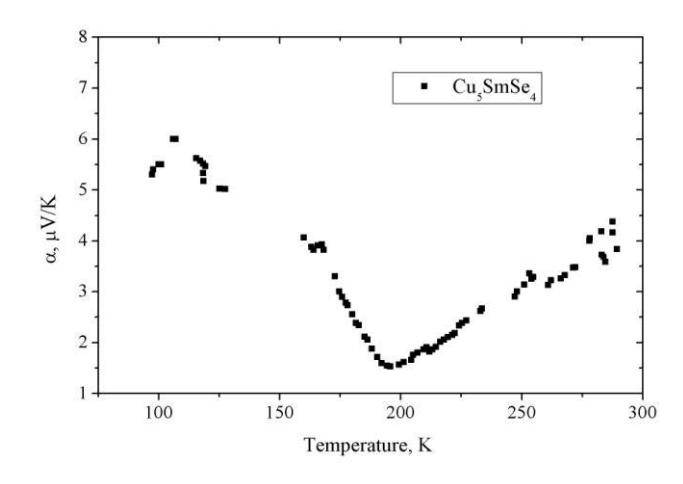
bölgəsində faza keçidinin baş verməsi ilə və ya yükdaşıyıcıların temperatur konsentrasiyasının dəyişməsi hesabına baş verə bilər. Bu səbəbdən keçiddən əvvəl, sonra və keçid temperaturunda rentgen şüalarının difraksiya spektrləri tədqiq olunmuş və heç bir struktur dəyişikliyinin baş vermədiyi müəyyən olunmuşdur. konsentrasiyasının vükdasıyıcıların vә yürüklüyünün dəyişməsi hesabına xüsusiyyətlərin baş verdiyini ehtimal etmək olar. Doğrudan da həmin temperatur bölümündə Holl sabitinin sıçrayışla dəyişməsi elektrik keçiriciliyin minimumdan səbəb ola bilər. Termoelektrik hərəkət qüvvəsinin dəyişməsi konsentrasiyanın dəyişməsinə uyqun gəlmir - konsentrasiya azaldığına görə o artmalı idi, əksinə, azalır. Ona görə də xüsusiyyətin üçüncü səbəbdən yarandığını - samariumun valentliyinin həmin temperatur bölümündə dəyişməsi hesabına baş verdiyini ehtimal etmək olar.

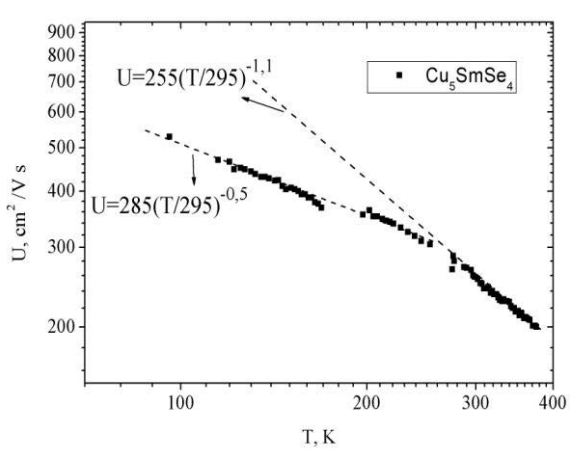


1800 1600 1400 E 1200 800 1000 1000 150 200 250 300 350 400 Temperature, K

Şəkil 2. Cu₅SmSe₄birləşməsi üçün Holl sabitinin temperatur asılılığı.

Şəkil 3. Cu₅SmSe₄ birləşməsi üçün elektrik keçiriciliyin temperatur asılılığı.





Şəkil 4.
Cu₅SmSe₄ birləşməsi üçün termoelektrik hərəkət qüvvəsinin temperatur asılılığı.

Şəkil 5. Cu₅SmSe₄ birləşməsi üçün yürüklüyün temperatur asılılığı.

Qeyd etmək lazımdır ki, samariumun valentliyinin dəyişməsi özünü SmS monokristalında daha aydın göstərir: müəyyən temperatur bölümündə xarici temperatur qradiyenti mövcud olmadıqda belə elektrik hərəkət qüvvəsi və Mott tipli I növ metalyarımkeçirici faza keçidi yaranır. Kamenskiy və b. [10, 11] göstərmişlər ki, elektrik hərəkət qüvvəsinin yaranması və Mott tipli I növ metal-yarımkeçirici faza keçidinin yaranması defekt kimi düyünlər arasında yerləşən Sm ionlarının valentliyinin ikidən üçə dəyisməsi ilə bağlıdır. Eksperiment zamanı ~460K temperatur ətrafında amplitudası 2.5V

və davametmə müddəti 1.3s olan impulslar alınmışdır, həmçinin fasiləsiz rejimdə 375÷405K bölgəsində elektrik hərəkət qüvvəsinin maksimal qiyməti üçün ~50mV alınmışdır. Müəlliflər, düyünlər arasında yerləşən Sm²+ ionlarından ibarət aşqar sistemində Mott tipli faza keçidi nəticəsində samarium ionlarının valentliyinin dəyişməsini iki səbəbdən baş verdiyini ehtimal edirlər: 1) faza keçidi zamanı istiliyin udulması və ya buraxılması nəticəsində temperatur qradiyenti yaranır; 2) valent dəyişməsi nəticəsində keçirici elektronların konsentrasiya qradiyenti yaranır. Müəlliflərin fikrincə düyünlər arasında yerləşərək defekt yaradan samarium ionlarının valentliyinin dəyişməsi prosesi əsasında yaradılacaq çeviricilər istilik enerjisinin elektrik enerjisinə birbaşa çevirməyə imkan verəcək.

Cu₅SmSe₄ birləşməsində Cu birvalentlidirsə Sm üçvalentli olmalı idi. Lakin, yuxarı temperaturlarda sintez prosesi zamanı mis iki valentli hala keçə bilər. Belə halda neytrallıq şərtinə görə Sm ikivalentli olacaqdır və 280÷200K temperatur intervalında Sm²⁺ ionları Sm³⁺ ionlarına çevrilir (Sm²⁺↔Sm³⁺+e⁻). Sm ionlarından ibarət defektlər qeyri bərabər paylandığından, valentliyin dəyişməsi nəticəsində keçirici elektronların konsentrasiyasında qradiyent yaranır ki, bu elektrik hərəkət qüvvəsinin yaranmasına səbəb olur. Yaranan elektrik hərəkət qüvvəsi deşiklərin hesabına yaranan termoelektrik hərəkət qüvvəsinə əks yönəldiyindən, son nəticədə termoelektrik hərəkət qüvvəsinin effektiv qiyməti azalmış olur.

Valent dəyişməsi nəticəsində yeni yaranan keçirici elektronlarla deşiklərin bir qisminin kompensasiyası elektrik keçiriciliyini azaldaraq onun minimumdan keçməsinə, həmçinin Holl sabitinin sıçrayışla dəyişməsinə səbəb olduğunu ehtimal etmək olar. Yükdaşıyıcıların Holl yürüklüyünün temperatur asılılığı (5-ci şəkil) $80 \div 230 \text{K}$ temperatur bölümündə $U = 285 (T/295)^{-0.5}$, 250-400 K temperatur bölümündə isə $U = 255 (T/295)^{-1.1}$ asılılığı ilə dəyişir. U(T) asılılığının ayrı-ayrı temperatur bölümlərində müxtəlif cür dəyişməsi samariumun valentliyinin dəyişməsi nəticəsində yükdaşıyıcıların səpilmə mexanizminin mürəkkəb xarakter dasıdığını göstərir.

Müşahidə olunan xüsusiyyətlərin fiziki mahiyyətinə daha da aydınlıq gətirmək üçün gələcək tədqiqatlarda dəqiq və avtomatik qurğuda xarici temperatur qradiyenti olmadığı halda nümunədə elektrik hərəkət qüvvəsinin yaranıb—yaranmadığını müəyyən etməyə ehtiyac var.

Müəlliflər, nəticələrin müzakirəsində iştirakına və məsləhətinə görə prof. D.H.Araslıya təşəkkürünü bildirir.

- 1. П.Г.Рустамов, О.М.Алиев, Т.Х.Курбанов, *Тройные халькогениды* редкоземельных элементов, Баку, «Элм», (1981) 228.
- 2. П.Г. устамов, О.М.Алиев, Г.Г.Гусейнов, М.А.Алиджанов, А.Б.Агаев, *Тройные соединения типа* $A_5{}^I B^{III} C_4{}^{VI}$. *Неорганичнские материалы*, **12** (1976) 1192-1195.
- 3. Д.И.Хомский, *Проблемы промежутечной валентности, УФН*, **129** (1979) 443-485.
- 4. И.А.Смирнов, *Редкоземельные полупроводники* перспективы и применение, Журнал всесоюзного химического общества им Д.И.Менделееева, **26**, 6 (1981) 2-11.
- 5. J.P.Maud, M.Guittard, *Chimie Minerale Composes CuLS*₂ *et CuLSe*₂ *formes par les lanthanoides legers, C.R. Acad.*, Sc. Paris., **267** №14 Serie C (1968) 823 826.
- 6. Н.Ю.Прибыльский, Р.С.Гамидов, Система Cu_2Se Sm_2Se_3 , Журнал неорганической химии, **28** (1983) 719-723.
- 7. Е.Р.Алиева, И.Я.Алиев, З.И.Сулейманов, А.С.Аббасов, *Исследование термодинамических свойств системы* Cu_2 Se– Sm_2Se_3 , Fizika, 13 №4 (2007) 134-135.

R.N.RƏHİMOV, Y.R.ƏLİYEVA, Z.İ.SÜLEYMANOV, Q.Q.HÜSEYNOV

- 8. А.С.Аббасов, А.В.Никольская, Я.И.Герасимов, *Исследование термодинамических свойств теллуридов галлия, ДАН СССР*, **14** (1964) Page.
- 9. Y.R.Əliyeva, Z.İ.Süleymanov, A.S.Abbasov, M.Ə.Alcanov, *Cu₅SmSe₄* birləşməsinin istilik tutumu və termodinamiki funksiyaları, Fizika, **15** №2 (2009)122-123.
- 10. В.В.Каминский, С.М.Соловьев, Возникновение электродвижущей силы при изменении валентности ионов самария в процессе фазового перехода в монокристаллах SmS, ФТТ, **43** (2001) 423-426.
- 11. В.В.Каминский, С.М.Лугуев, З.М.Омаров, Н.В.Шаренкова, А.В.Голубков, Л.Н.Васильев, С.М.Соловьев, *Температурная зависимость коэффициента теплового линейного расширения монокристаллического SmS*, Физ. и Тех. Полупрврдников, **41** (2007) 3-6.

FEATURES OF KINETIC PROPERTIES OF Cu₅SmSe₄ COMPOUND R.N.RAHIMOV, Y.R.ALIYEVA, Z.I.SULEYMANOV, G.G.GUSEYNOV

The electrical conductivity, Holl coefficient and thermoelectric power of Cu_5SmSe_4 compound at the temperature range between 80 and 450K have been investigated. The observed features on the temperature dependence of kinetic coefficients at the defined temperatures have been explained by changing the samarium valance.

ОСОБЕННОСТИ КИНЕТИЧЕСКИХ СВОЙСТВ СОЕДИНЕНИЯ Cu_5SmSe_4 Р.Н.РАГИМОВ, Е.Р.АЛИЕВА, З.И.СУЛЕЙМАНОВ, К.Г.ГУСЕЙНОВ

Исследованы электропроводность, коэффициент Холла и термоэлектродвижущая сила соединения Cu_5SmSe_4 в интервале температур $80\div400K$. Наблюдаемые особенности в температурной зависимости кинетических коэффициентов объясняются изменением валентности самария в определенной температурной области.

Редактор: Д. Араслы

УДК 538.975; 537.226.4

FeIn₂S₄-ÜN DIELEKTRIK NÜFUZLUĞUNUN TEMPERATURDAN VƏ DƏYIŞƏN ELEKTRIK CƏRƏYANININ TEZLIYINDƏN ASILILIĞI

N.N.NIFTIYEV, O.B.TAĞIYEV^{*}, F.M.MƏMMƏDOV^{**}, M.B.MURADOV^{***}, Ü.F.QASIMOV^{*}, F.A.KAZIMOVA^{*}

Azərbaycan Dövlət Pedaqoji Universiteti
AZ 1000, Bakı, Ü. Hacıbəyov, 34
AMEA Fizika institutu*
AZ 1143, Bakı, H. Cavıd pr., 33
AMEA Kımya Problemləri İnstitutu**
AZ 1143, Bakı, H. Cavıd pr., 29
Bakı Dövlət Universitet***
AZ 1145, Bakı, Z. Xəlılov, 23
namiq7@bk.ru

Daxil olub: 16.05.2011 Çapa verilib: 05.09.2011

Açar sözlər: kristal, dielektrik nüfuzluğu, rezonans, çəpər modeli, aktivlə Gnə enerjisi, cərəyan, relaksasiya müddəti, polyarizasiya mexanizmi

REFERAT

FeIn $_2$ S $_4$ birləĢməsinin müxtəlif temperatur və tezliklərdə dielektrik nüfuzluğunun həqiqi və xəyali hissəsi tədqid edilmiĢdr. Tezliyin müəyyən qiymətlərində ϵ' üçün rezonans hadisəsi müĢdnidə edilmiĢ və çəpər modelinin köməyi ilə izah edilmiĢlir. Bu birləĢmə üçün aktivləĢmə enerjisi hesablanmıĢ və $\Delta E_1 = 0,44 eV$ və $\Delta E_2 = 0,49 eV$ qiymətləri tapılmıĢdr. FeIn $_2$ S $_4$ -də relaksasiya müddəti hesablanmıĢvə bu kristalda istilik hərəkəti ilə Ģrtlənən elektron polyarizasiya mexanizminin olması müəyyən edilmi $_2$ Gir.

Son zamanlar AB_2X_4 (burada A- Mn, Fe, Co, Ni; B- Ga, $\dot{\Omega}$); X- S, Se, Te) tipli çoxkomponentli birlə Gmələr müasir yarımkeçirici elektronikanın funksional imkanlarını geni Gəndirmək üçün geni Gəndirmək üçün geni Gəndirmək üçün geni Gəndirmək üçün geni Gəndirmələr müxtəlif təyinatlı yarımkeçirici qurğular yaratmaq üçün perspektivlidir. Bu materialların əsasında fotohəssas sturukturlar hazırlanmı G[11-15], FeIn₂S₄ birlə Gməsindən nanosturuktur sintez edilmi Gədr [16-17].

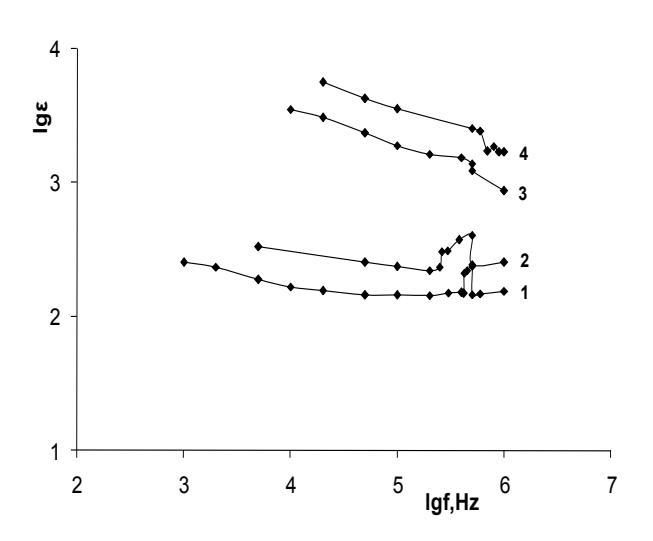
FeIn₂S₄ kristalı stexiometrik miqdarda yüksək təmizlikli (99,999%) elementlər birləGnəsinin sintezindən alınmıGdr. Rentgenoqrafik metodla analiz nəticəsəndə müəyyən edilmi Gdi ki, FeIn₂S₄ birlə Gnəsi kristal qəfəs parametrləri a=10,62Å olan Gpnel quruluGa malik olur [18-19]. Dielektrik xassələrini öyrənmək üçün qalınlığı ~ 0,5mm olan kristal lövhələrə gümü pastası vuraraq kondensatorlar hazırlanmı Gdr. Kristallar 293÷400K temperatur intervalında tənzimlənə bilən kriostatda yerlə Gdrilmi Gdr. Temperatur ölçmələrinin dəqiqliyi ±0,5K tə Gkl edir. Elektrik tutumunun və dielektrik itkisinin tangens bucağının ölçülməsi E7-20 (25÷10⁶Hz) rəqəmli immetans ölçü cihazının köməyi ilə aparılmı Gdr. Nümunəyə 1V ölçmə gərginliyi verilmiGdi.

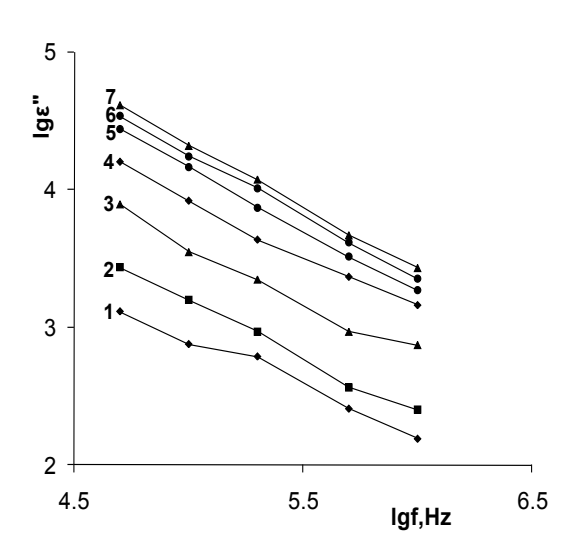
Dielektrik nüfuzluğunun həqiqi hissəsi $\epsilon'=Cd/\epsilon_0S$, xəyali hissəsi isə $\epsilon''=tg\delta\cdot\epsilon'$ ifadələrindən hesablanmıGdr.

ģəkil 1-də $FeIn_2S_4$ üçün müxtəlif temperaturlarda dielektrik nüfuzluğunun həqiqi hissəsinin tezlikdən asılılıq qrafiki verilmiGdr. ġəkildən görünür ki, baGanğıcda dielektrik nüfuzluğu $293 \div 323 K$ temperaturlarda $5 \cdot 10^3 \div 2 \cdot 10^5 Hz$ tezlik oblastında yavaG sürətlə azalır, sonra isə $2 \cdot 10^5 \div 5 \cdot 10^5 Hz$ tezlik intervalında rezonans hadisəsi baGverir. Daha sonra isə temperatur yüksəldikcə rezonans hadisəsi yox olur. BaGverən rezonans

hadisəsini çəpər modelinin[20] köməyi ilə belə izah etmək olar ki, defekti olan mono və polikristallarda yüksək omlu laylardan baQqa lokal çəpərlərin özəkləri arasında dislokasiya, elektrik domeni və s. tipli müxtəlif qeyri bircinsli aQqğı omlu bağlayıcı laylar yerləQə bilər. Bağlayıcı laylar aktiv element olur. Belə ki, onların qalınlığı və birləQmə dərəcəsi gərginlikdən və elektrik sahəsinin tezliyindən asılı olur. Əgər ν tezliyi (ν -konsentrasiya dalğasında rəqs tezliyidir) d-layın qalınlığından və dreyf sürətindən təyin olunarsa onda [20] -ə görə alarıq:

$$2d = \mu F / \nu = \theta_{dr} / \nu \tag{1}$$





Şəkil 1.FeIn₂S₄ kristalı üçün müxtəlif temperaturlarda dielektrik nüfuzluğunun həqiqi hissəsinin elektrik sahəsinin tezliyindən aslılığı. T, K: 1-293, 2-323, 3-338, 4-353.

Şəkil 2.FeIn₂S₄ kristalı üçün müxtəlif temperaturlarda dielektrik nüfuzluğunun xəyali hissəsinin elektrik sahəsinin tezliyindən aslılığı. T, K; 1-296, 2-311, 3-326, 4-341, 5-356, 6-366, 7-376.

Məsələn d $\sim 10^{-4}$ sm və $v_{dr} \sim 10^2$ sm/s olarsa onda $v = 5 \cdot 10^5 Hz$ alarıq. Bizim halda FeIn₂S₄ – də dəyiQən elektrik sahəsində sahənin f tezliyi v tezliyinə yaxın olduğu üçün rezonans hadisəsi müQabidə olunur. Rezonans hadisəsinin yox olmasını belə izah etmək olar ki, temperatur yüksəldikcə v tezliyi (bildiyimiz kimi bu tezlik layın d qalınlığından və dreyf yükdaQyıcıların dreyf sürətindən təyin olunur) yüksəlir və xarici f dəyiQən cərəyan tezliyindən fərqlənir və rezonans hadisəsi baQvermir.

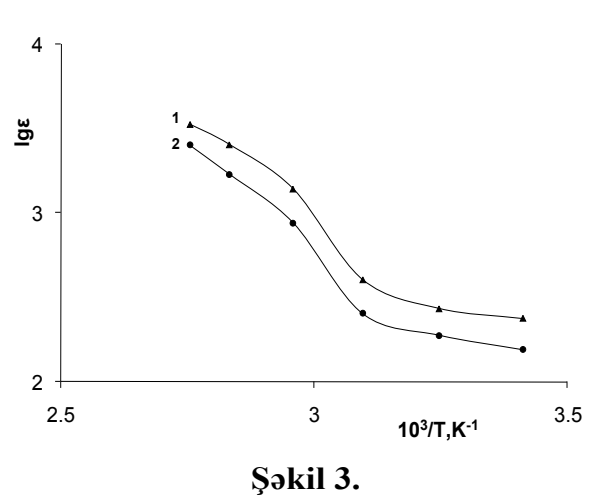
ġəkil 2-də FeIn₂S₄ kristalı üçün müxtəlif temperaturlarda dielektrik nüfuzluğunun xəyali hissəsinin tezlikdən asılılığı göstərilmiGdr. $5\cdot 10^4 \div 2\cdot 10^5 Hz$ tezlik intervalında tezlik artdıqca ϵ " - in sürətlə azalması baGverir. $5\cdot 10^5 \div 10^6 Hz$ tezlik intervalında isə ϵ " - in nisbətən yavaGazalması müGahidə olunur.

ġəkil 3-də $FeIn_2S_4$ birləÇməsi üçün 500kHz (1 əyrisi) və 1MHz (2 əyrisi) tezliklərdə dielektrik nüfuzluğunun həqiqi hissəsinin temperaturdan asılılıq qrafiki verilmiÇdi. ġəkildən görünür ki, $323 \div 373K$ temperatur intervalında ϵ' bir qədər sürətlə artır. Bu hissə üçün $lg\epsilon' \sim 10^3/T$ asılılığından aktivləÇmə enerjisi hesablanmıÇ və E=0,44eV qiyməti tapılmıÇdır. Temperatur artdıqca dielektrik nüfuzluğunun artmasının səbəbi yükdaÇyıcıların konsentrasiyasının artmasıdır.

ġəkil 4-də FeIn₂S₄ kristalı üçün müxtəlif tezliklərdə dielektrik nüfuzluğunun xəyali hissəsinin temperaturdan asılılıq qrafiki təsvir edilmiĢdir. ġəkildən görünür ki, əvvəlcə 296÷326K temperatur intervalında ε" temperatur artdıqca bir qədər sürətlə artır. 341÷376K temperaturlarda isə temperatur artdıqca ε"-in yavaÇartımı müÇanidə edilir.

$FeIn_2S_4$ – ÜN DIELEKTRIK NÜFUZLUĞUNUN DƏYIĞƏN ELEKTRIK CƏRƏYANININ TEZLIYINDƏN VƏ TEMPERATURDAN ASILILIĞI

296÷341K temperatur intervalında 1MHz (5 əyrisi) tezlikdə lgɛ"~ 10^3 /T asılılığından aktivləĢnə enerjisi təyin edilmiĢvə ~0.44eV qiyməti tapılmıĢdır. Qeyd etmək lazımdır ki, ~0.44eV qiyməti lgɛ'~ 10^3 /T və lg ζ ~ 10^3 /T[21] asılılığından da təyin edilmiĢdır. 5· 10^4 kHz (1 əyrisi) tezlikdə isə lgɛ"~ 10^3 /T asılılığından tapılmıĢaktivləĢnə enerjisinin qiyməti 0.49eV-a bərabər olmuĢdur Burada da tezlikdən asılı olaraq ΔE^{ϵ} " - nin qiyməti dəyiĢir.



5 1 2 3 4 5 5 3 10³/T,K⁻¹ 3.5

FeIn₂S₄ kristalı üçün 500kHz (1 əyrisi) və 1 MHz (2 əyrisi) tezliklərdə dielektrik nüfuzluğunun həqiqi hissəsinin temperaturdan aslılığı.

FeIn₂S₄ kristalı üçün müxtəlif tezliklərdə dielektrik nüfuzluğunun xəyali hissəsinin temperaturdan aslılığı. f, Hz: 1-5·10⁴, 2-10⁵, 3-2·10⁵, 4-5·10⁵, 5- 10⁶.

Şəkil 4.

Məlumdur ki, dielektrik nüfuzluğunun həqiqi və xəyali hissəsi üçün Debay tənlikləri aQığıdakı kimidir [20]

$$\varepsilon^{I} = \varepsilon_{\infty} + \frac{\varepsilon_{s} - \varepsilon_{\infty}}{1 + \omega^{2} \tau^{2}},\tag{2}$$

$$\varepsilon^{II} = \frac{\sigma}{\varepsilon_o \cdot \omega} + \frac{(\varepsilon_s - \varepsilon_{\infty})\omega\tau}{1 + \omega^2 \tau^2}.$$
 (3)

(2) və (3) ifadələrindəki ε' və ε'' - in temperatur asılılığı tədqiq olunan maddələrin relaksasiya müddətinin (τ) və elektrik keçiriciliyinin (σ) temperatur asılılığından təyin olunacaqdır. ε' və ε'' - in tezlik asılılığı elektrik keçiriciliyin mexanizmindən asılı olacaqdır (keçiriciliyin zona mexanizmi zamanı $\sigma \neq \sigma(\omega)$ və sıçrayıĢmexanizmi zamanı isə $\sigma = \sigma(\omega)$ olur).

Keyfiyyət tərəfdən ε' və ε'' -in temperatur və tezlik asılılıqlarına nəzər yetirək. Fərz edək tədqiq olunan material keçirici dielektrik və yapis keçirən yarımkeçiricidir. Onda aQağı tezlikli oblast üçün ($\omega \tau <<1$) (2) və (3) ifadələrindən alarıq

$$\varepsilon^{I} = \varepsilon_{s} = const, \tag{4}$$

$$\varepsilon^{II} = (\varepsilon_s - \varepsilon_{\infty})\omega\tau + \frac{\sigma}{\varepsilon_o \cdot \omega},\tag{5}$$

(4)-dən görünür ki, aGağı tezlikli oblastda həqiqi dielektrik nüfuzluğu (ε ') sabit olur və statik dielektrik nüfuzluğuna (ε _s) bərabər olur.

Dielektrik nüfuzluğunun xəyali hissəsi (5) ifadəsinin II həddinə görə tezlik artdıqca azalmalıdır. Məlumdur ki, ε " özündə σ və τ -ni ifadə edir. Tədqiq olunan maddələr üçün bu kəmiyyətlər özü temperaturdan asılıdır və həmçinin σ tezlikdən asılı olur. Ona görə də zona və sıçrayı Gmexanizmlərində dispersiya əyrisi müxtəlif olacaqdır.

Əgər aktiv keçiricilikdə üstün rolu zona mexanizmi oynayırsa, yəni $\sigma \neq \sigma(\omega)$, $\sigma \sim \exp(-\Delta E_{\sigma}/kT)$ və $\tau \sim \exp(\Delta E_{u}/kT)$ onda (5) dən alarıq

$$\varepsilon^{II} \approx \frac{1}{\varepsilon_{o}\omega} \exp(-\frac{\Delta E_{\sigma}}{kT}) + (\varepsilon_{s} - \varepsilon_{\infty}) \cdot \omega \exp(\frac{\Delta E_{\mu}}{kT}), \tag{6}$$

(6) – ya görə aÇığıtezlikli oblastda tezlik artdıqca dielektrik nüfuzluğunun xəyali hissəsi bütünlüklə azalmalıdır.

 $FeIn_2S_4$ birləGnəsinin elektrik keçiriciliyinin temperatur və tezlikdən asılılıqlarının tədqiqi nəticəsində müəyyən edilmiGdr ki, bu birləGnələrdə elektrik keçiriciliyi zona mexanizmi ilə əlaqədardır[22].

ġəkil 3-dən görünür ki, aQığı tezliklərdə tezlik artdıqca ϵ "-in bütövlüklə azalması baQverir. Onların temperaturdan asılılıqları isə $\Delta E_{\sigma}/\Delta E_{\mu}$ nisbətindən asılı olacaqdır. Adətən $\Delta E_{\zeta}>\Delta E_{\mu}$ olur. Onda aQığıtezlikli oblastda (6) ifadəsindən alarıq

$$\varepsilon^{II} \sim \frac{1}{\varepsilon_o \omega} \exp(-\frac{\Delta E_\sigma}{kT}) + const$$
 (7)

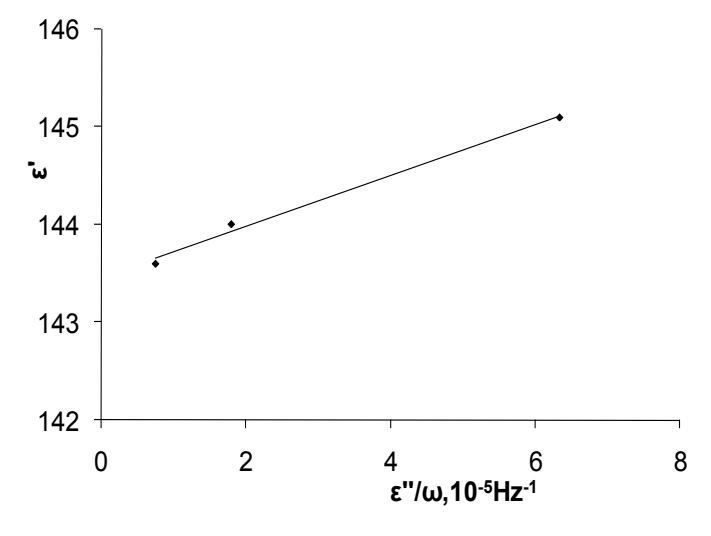
Belə ki, aĢağı tezlikli oblastda temperatur yüksəldikcə ε["]a.t. eksponensial olaraq artmalıdır.

ģəkil 4-də $FeIn_2S_4$ birləGməsinin tezliyin sabit qiymətlərində dielektrik nüfuzluğunun xəyali hissəsinin temperaturdan asılılıq qrafikindən görünür ki, aGağı tezlikli oblastda temperatur yüksəldikcə ϵ " eksponensial olaraq artır.

Debay tənliklərinin təqribiliyinə baxmayaraq onlardan relaksasiya müddətinin qiymətini hesablamaq olar. Doğrudan da (4) və (5)-dən sadə çevrilmələr aparmaqla almaq olar

$$\varepsilon^{I} = \varepsilon_{\infty} + \frac{1}{\tau} \cdot \frac{\varepsilon^{II}}{\omega} \tag{8}$$

(8) ifadəsindən görünür ki, \mathcal{E}_{∞} yüksək tezlikli dielektrik nüfuzluğunun qiymətini və τ relaksasiya müddətini $\epsilon'=f(\epsilon''/\omega)$ asılılığından alınan düz xəttin ordinat oxu ilə



kəsi Grasindən və bu düz xəttin tangens bucağından təyin etmək olar. Otaq temperaturunda $\epsilon'=f(\epsilon''/\omega)$ təcrübi asılılığı FeIn₂S₄ birlə Grasi üçün Gəkil 5-də göstərilmi Gdir. gəkildən görünür ki, $\epsilon'=f(\epsilon''/\omega)$ asılılığında bütövlükdə xəttilik mü Gəhidə olunur. Bu asılılıqdan \mathcal{E}_{∞} və τ -nin qiymətləri hesablanmı Gdir və \mathcal{E}_{∞} =143.6, τ =1,3·10⁻⁵ san. bərabər olur.

Şəkil 5. FeIn $_2$ S $_4$ kristalı üçün otaq temperaturunda $\epsilon' \sim f(\epsilon''/\omega)$ aslılığı.

Relaksasiya müddətini bilməklə bu birlə Gnadə polyarizasiya mexanizmi haqqında fikir söyləmək olar.

Məlumdur ki, elektron elastiki polyarizasiya prosesinin yaranma müddəti $10^{-16} \div 10^{-17}$ san qiymətləndirilir. Ön elastiki polyarizasiyasının yaranma müddəti $10^{-14} \div 10^{-15}$ san-dir. Öttilik hərəkəti ilə Çərtlənən dipol polyarizasiyasında relaksasiya müddəti $10^{-4} \div 10^{-10}$ san olur. Ön istilik polyarizasiyası zamanı relaksasiya müddəti $\tau = 10^{-4} \div 10^{-8}$ san intervalında olur. Öttilik hərəkəti ilə Çərtlənən elektron polyarizasiyası

FeIn₂S₄ – ÜN DIELEKTRIK NÜFUZLUĞUNUN DƏYI<u>İ</u>ƏN ELEKTRIK CƏRƏYANININ TEZLIYINDƏN VƏ TEMPERATURDAN ASILILIĞI

zamanı relaksasiya müddəti $10^{-2} \div 10^{-7}$ saniyəyə bərabər olur. FeIn₂S₄ birləÇməsində polyarizasiya zamanı relaksasiya müddəti 1,3·10⁻⁵san qiymətini alır. Bu da istilik hərəkəti ilə Çərtlənən elektron polyarizasiyasına uyğun gəlir. Bu polyarizasiya mexanizmi bərk dielektriklər üçün xarakterikdir [23].

Beləliklə, iÇdə FeIn $_2$ S $_4$ birləÇməsinin müxtəlif temperatur və tezliklərdə dielektrik nüfuzluğunun həqiqi və xəyali hissəsi tədqid edilmiÇdir. Tezliyin müəyyən qiymətlərində ϵ' üçün rezonans hadisəsi müÇdnidə edilmiÇ və çəpər modelinin köməyi ilə izah edilmiÇdir. Bu birləÇmə üçün aktivləÇmə enerjisi hesablanmıÇ və ΔE_1 =0,44eV və ΔE_2 =0,49eV qiymətəri tapılmıÇdır. FeIn $_2$ S $_4$ birləÇməsində relaksasiya müddəti hesablanmıÇ və istilik hərəkəti ilə Çərtlənən elektron polyarizasiya mexanizminin olması müəyyən edilmiÇdir.

- 1. V.Ursaki, F.Manjon, I.Tiginyanu and et al., *Raman scattering study of pressure induced phase transitions in MnIn₂S₄ spinels, J. of physics: Condensed Matter, 14 (2002) 304-308.*
- 2. Н.Н.Нифтиев, О.Б.Тагиев, *Влияние освещения на вольтамперные* характеристики и электропроводность монокристаллов MnGaInS₄, *Письма в ЖТФ*, **29** (2003) 49-53.
- 3. Н.Н.Нифтиев, О.Б.Тагиев, Вольтамперные характеристики монокристаллов $MnIn_2S_4$ и $MnGa_2S_4$, $\Phi T\Pi$, **38** (2004)164-165.
- 4. R.Sharma, A.Rastogi, S.Kohli and et al., *Growth phasses in the formation of semiconducting manganese indium sulphide thin film and their effekt on the optical absorption*, *Physica B*, **351** (2004) 45-52.
- 5. C.Xiangying, Z.Zhongjie, Z.Xingta and et al., *Hydrothermal synthesis of porous FeIn*₂S₄ *microspheres and their elektrochemical properties, J. of Crystal Growth,* **277** (2005) 524-528.
- 6. M.Quintero, M.Morocoima, E.Guerrero, J.Ruiz, Temperature variation of lattice parameters and thermal expansion coefficients of the compound MnGa₂Se₄, Physica status solidi (a), **146** (2006) 587-593.
- 7. V.Sagredo, M.C.Moron, L.Betancourt, G.E.Delgado, *Antiferromagnetic versus Spin–glass like behavior in MgIn₂S₄, J. of Magnetic Materials*, **312** (2007) 294-297.
- 8. K.Rushchanskii, H.Haeuseler, D.Bercha, *Band structure calculations on the layered compounds FeGa*₂S₄ *and NiGa*₂S₄, *J. of physics and chemistry of solids*, **63** (2008) 2019-2028.
- 9. Н.Н.Нифтиев, О.Б.Тагиев, Влияние сильного электрического поля на электропроводность монокристаллов $MnGa_2S_4$, $MnIn_2S_4$ и $MnGaInS_4$, $\Phi T\Pi$, 43 (2009)1172-1174.
- 10. Н.Н.Нифтиев, О.Б.Тагиев, М.Б.Мурадов, Ф.М. Мамедов, Ф.А.Казымова, Электропроводность монокристаллов $MnGa_2S_4$ на переменном токе, Письма в ЖТФ, **35** (2009) 79-83.
- 11. Р.Н.Бекимбетов, Ю.В.Рудь, М.А.Таиров, Диоды шоттки на магнитных полупроводниках $MnIn_2Te_4$ и $MnGa_2Te_4$, $\Phi T\Pi$, **21** (1987) 1051-1053.
- 12. И.В.Боднарь, В.Ю.Рудь, Ю.В.Рудь, Фоточувствительные структуры на монокристаллах $MnIn_2S_4$: создание и свойства, ФТП, **43** (2009) 1549-1552.
- 13.И.В.Боднарь, С.А.Павлюковец, В.Ю.Рудь, Ю.В.Рудь, Выращивание монокристаллов $FeIn_2S_4$ и создание фоточувствительных структур на их основе, $\Phi T\Pi$, **43** (2009) 1553-1556.
- 14. И.В.Боднарь, В.Ю.Рудь, Ю.В.Рудь, Е.И.Теруков, Выращивание монокристаллов $(In_2S_3)_x$ (FeIn₂S₄)_{1-x} и свойства фоточувствительных структур на их основе, ФТП, **44** (2010) 39-43.

- 15.В.Ю.Рудь, Ю.В.Рудь, М.А.Осипова, И.В.Боднарь, Обнаружение твердых растворов $(In_2S_3)_x$ (MnIn₂S₄)_{1-х} и создание фоточувствительных структур на их основе, ФТП, **44** (2010) 48-52.
- 16. G.Lu, J.Hu, K.Gian, G.Zhou, *The solvothermal sinthesis for monocrystalline FeIn*₂S₄ *at low temperature, Chem. Lett.*, **6** (1999) 481-482.
- 17. C.Xiangyinf, Z.Zhongjie, Z.Xingfa, L.Jianwei, Q.Yitai, *Hydrothermal synthesis* of porous FeIn₂S₄ microspheres and their elektrochemical properties, J. of Cristal Growth, **277** (2005) 524-528.
- 18. T.Kanomata, H.Ido, T.Kaneko, *Maqnetic and crystallographic studies of MIn*₂S₄, *M*=*Mn*, *Fe*, *Co and Ni*, *J. Phys. Soc. Japan*, **34** (1973) 554.
- 19. П.Г.Рустамов, П.К.Бабаева, М.Р.Аллазов, Диаграмма состояния разреза FeS- In_2S_3 , Журн. Неорг. Химии, **24** (1979) 2208-2211.
- $20.\Pi.\Gamma.$ Орешкин, Физика полупроводников и диэлектриков, М., Высшая школа, (1977) 448.
- 21. Н.Н. Нифтиев, Ф.М. Мамедов, Электрические свойства $FeIn_2S_4$ на переменном токе, Fizikanın müasir problemləri, II respublika konfransının materialları, Bakı, BDU, (2008) 212-215.
- 22. Н.Н.Нифтиев, М.А.Алиджанов, О.Б.Тагиев, М.Б.Мурадов, Электрические свойства FeIn₂S₄, Украйн. физ. журн., **47** (2002) 1054-1056.
- 23. Ю.М.Поплавко, Физика диэлектриков, Высшая школа, (1980) 400.

DEPENDENCE OF THE DIELECTRIC CONSTANT OF FeIn₂S₄ ON FREQUENCY OF ALTERNATING ELECTRIC CURRENTS AND TEMPERATURE.

$\begin{array}{c} \textbf{N.N.NIFTIYEV, O.B.TAGHIYEV, F.M.MAMMADOV, M.B.MURADOV, U.F.GASIMOV,} \\ \textbf{F.A.KAZIMOVA} \end{array}$

The real and imaginary part of the dielectric constant of $FeIn_2S_4$ combination at various temperatures and frequencies has been studied. Resonance phenomenon for ϵ ' has been observed in the certain values of the frequency and it has been explained by fence model. The activation energy for this combination has been calculated and ΔE_1 =0,44eV and ΔE_2 =0,49eV values have been found. The reaction term has been calculated in $FeIn_2S_4$ and electronic polarization mechanism conditioned by heating move has been determined in this crystal.

ЗАВИСИМОСТЬ ДИЭЛЕКТРИЧЕСКОЙ ПРОНИЦАЕМОСТИ FeIn₂S₄ ОТ ЧАСТОТЫ ПЕРЕМЕННОГО ЭЛЕКТРИЧЕСКОГО ТОКА И ТЕМПЕРАТУРЫ.

Н.Н.НИФТИЕВ, О.Б.ТАГИЕВ, Ф.М. МАМЕДОВ, М.Б.МУРАДОВ, У.Ф.ГАСЫМОВ, Ф.А.КАЗЫМОВА

Приводятся результаты исследования действительной и мнимой части диэлектрической проницаемости соединений $FeIn_2S_4$ при различных частотах и температурах. При определенном значении частоты в ϵ' наблюдается резонансное явление, что объясняется при помощи барьерной модели. Для этого соединения рассчитана энергия активации и найдено значение ΔE_1 =0,44eV и ΔE_2 =0,49eV. В $FeIn_2S_4$ рассчитано время релаксации и установлено, что в этом кристалле присутствует механизм электронной поляризации, обусловленный тепловым движением.

Редактор: Р.Сардарлы

УДК 547.21: 536.423.1

ТЕПЛОТЫ ПАРООБРАЗОВАНИЯ АЛКАНОВ ПРИ РАЗЛИЧНЫХ ТЕМПЕРАТУРАХ

А.Г.АХМЕДОВ

Азербайджанский Государственный Педагогический Университет AZ 1000, Баку, Ул. Гаджибекова, 34 namiq7@bk.ru

поступила 12.04.2011 принята к печати 20.06.2011

Ключевые слова: теплота парообразования, изо-алканы, гомологический ряд, критическая температура, поверхностное натяжение

РЕФЕРАТ

С целью расчета теплоты парообразования нормальных и изо-алканов применена теория В.М.Татевского. Исследованы теплоты парообразования алканов при различных температурах. Предложена формула для расчета теплоты парообразования алканов в зависимости от температуры.

Изучение теплоты парообразования в зависимости от состава и структуры молекул и установление взаимосвязи с другими физическими свойствами имеют большое научное и прикладное значение [1;2]. С целью расчета теплоты парообразования и исследования зависимости теплоты парообразования от состава и структуры молекул алканов нами применена теория В.М.Татевского [3;4].

По теплоте парообразования н-гексана, 2,2-диметилпропана, 2-метилпентана, 3-метилпентана, 2,2-диметилбутана, 2,3-диметилбутана и н-гептана при 20^{0} С нами определены теплоты парообразования связей C_{12} ; C_{22} ; C_{13} ; C_{23} ; C_{14} ; C_{24} , C_{33} , которые соответственно равны 2020; 1180; 1573,5; 833,3, 1320; 690; 716кал/моль. Зная величину теплоты парообразования вышеуказанных связей, по теории [3-4] мы рассчитали величину теплоты парообразования более ста алканов, которые составляют гомологические ряды: н-алканы, 2-метилалканы, 3-метилалканы, 2,2-диметилалканы, 2,3-диметилалканы, 2,4-диметилалканы, 3,3-диметилалканы, 3,4-диметилалканы и др. Теплоты парообразования указанных гомологический рядов, начиная с определенного члена, увеличиваются строго линейно в зависимости от числа углеродных атомов в молекуле.

Вопрос установления взаимосвязи между теплотой парообразования и поверхностной энергией неассоциированной жидкости теоретически рассматривался работах [5,6]. Нами предлагается формула, отражающая взаимосвязь между теплотой парообразования и $\sigma(\mu\theta)^{2/3}$ [7] (где σ - поверхностное натяжение, $\mu\theta$ - молекулярный объем), которая для прикладных целей намного проще и удобнее, чем уравнения [5,6].

Физические свойства высших (n≥10) и, особенно изо-алканов, экспериментально исследованы недостаточно [8].

В данной работе излагаются результаты исследования теплоты парообразования нормальных и изо-алканов в зависимости от температуры и состава молекул. В работе [7] для гомологических рядов н-алканы, 2-метилалканы, 3-метилалканы, 2,2- диметилалканы и т.д.при 293К получены формула

$$L = L_0 + C\Delta \left[G(\mu V)^{2/3} \right] \tag{1}$$

где L- теплота парообразования, L_0 – постоянная для данного гомологического ряда, C- постоянная, G- поверхностное натяжение, μV - молярный объем.

$$G(\mu V)^{2/3} = B(T_{\kappa} - T - \tau),$$
 (2)

где Т_к – критическая температура, В и τ считают постоянными.

В [7] показана несправедливость утверждения одновременной постоянства В и τ при исследовании величины $G(\mu V)^{2/3}$ для веществ, составляющих гомологический ряд. При постоянстве τ (τ =7=const) величина В увеличивается в зависимости от состава молекул по формуле [7]

$$B=2,12+0,1315\cdot(n-6). \tag{3}$$

Учитывая (2) и (3) для любого и начального членов гомологического ряда, из формулы (1) получим

$$L = L_0 + C \left[2,12 \cdot (T_k^n - T_k^z) + 0,1315(n-6)(T_k^n - T - \tau) \right], \tag{4}$$

где $T_{\kappa}^{\rm n}$ и $T_{\kappa}^{\rm z}$ - критические температуры любого и начального членов данного ряда.

Зная температурную зависимость теплоты парообразования одного из членов данного ряда и критические температуры веществ, составляющих данный гомологический ряд, можно определить теплоту парообразования любого члена этого ряда при различных температурах. Особенность формулы (4) состоит в том, что она отражает зависимость теплоты парообразования жидких алканов от температуры (L_0 , L_0), состава (L_0) и структуры (L_0) молекул.

В работе [7] универсальность постоянной С обоснована тем, что она не зависит от состава и структуры молекул при данной температуре и поэтому имеет одинаковые значения для всех алканов. Используя экспериментальные данные по теплотам парообразования при различных температурах [8] и по критическим температурам для н-гексана, н-гептана, 2-метилбуттана и 2-метилпентана, нами исследована зависимость C=f(T). Значение С определяли по формуле

$$C = \frac{L_{c_{22}}}{\left[G(\mu V)^{2/3}\right]c_{22}} = \frac{L_n - L_{n-1}}{\left[G(\mu V)^{2/3}\right]_n - \left[G(\mu V^{2/3})\right]_{n-1}},\tag{5}$$

где L_n и $L_{n\text{-}1}\text{-}$ теплоты парообразования двух последовательных веществ данного ряда.

В интервале температур от -50 до 100^{0} С величина С увеличивается от 10,50 до 13,07, а в интервале $100 \div 200^{0}$ С – в два раза (от 13,07 до 26,32). Следовательно, при повышенных температурах постоянная С очень чувствительна к изменению температуры.

Зависимость C=f(T) в интервале температур от -50 до 100^{0} С можно описать формулой

$$C=10,50+0,01733 (T-T_0),$$
 (6)

где T₀=223K.

При повышенных температурах (T>383K) эта зависимость имеет более сложный характер. Следовательно, определяя величину С по формуле (6), L_0 (теплоту парообразования какого-либо члена данного ряда) при различных температурах и $T_k^{\ n}$, $T_k^{\ z}$ по формуле (4), можно определить теплоту парообразования любого алкана при различных температурах. Постоянная С от состава и структуры молекул не зависит, а зависит только от температуры. Однако значения С для нормальных и изо-алканов, вычисленные по экспериментальным данным по формуле (5) в интервале от -50 до 100^0 C, отличаются друг от друга на $2\div4\%$, что объясняется неточностью экспериментальных данных.

Критические температуры алканов даны в работе [4]. С целью проверки формулы (4) нами вычислены теплоты парообразования н-октана в интервале от -50 до 100^{0} С и проведено сравнение полученных данных с экспериментальными [8]; максимальное отклонение ~0,5%. Учитывая отсутствие экспериментальных данных по теплотам парообразования высших алканов ($n \ge 10$) и больщую точность

ТЕПЛОТЫ ПАРООБРАЗОВАНИЯ АЛКАНОВ ПРИ РАЗЛИЧНЫХ ТЕМПЕРАТУРА

формулы (4), нами вычислены теплоты парообразования н-ундекаана, н-додекана, н-тридекана и н-тетрадекана при различных температурах (Таблица). Наблюдается достаточно хорошее (\sim 3%) совпадение полученных результатов с экспериментальными данными [8]. При расчете теплоты парообразования высших н-алканов за величину L_0 в формуле (4) были взяты теплоты парообразования н-гексана.

ТаблицаТеплоты парообразования н-алканов L, кал/моль.

T,K	н-октан		н-ундекан (640К)	н-додекан (659К)	н-тридекан (667К)	H-тетра-декан (695К)
	Рас.по [4]	опыт [8]				
223	10605	10610				
233	10531	10570				
243	10446	10480				
253	10351	10390				
263	10251	10290	13776			
273	10143	10190	13670	14834	16021	
283	10034	10080	13562	14727	15914	17156
293	9934	9970	13447	14647	15840	17088
303	9817	9850	13365	14536	15730	16981
313	9681	9720	13221	14389	15580	16829
323	9548	9580	13098	14270	15466	16719
333	9418	9430	12969	14141	15337	16592
343	9270	9270	12809	13977	15169	16420
353	9125	9100	12670	13740	14934	16189
363	8958	8920	12508	13679	14876	16133
373	8770	8740	12324	13497	14693	15953
383				13268	14462	15720

Используя экспериментальные данные по теплотам парообразования изо-алканов [8], по формуле (4) нами вычислена также теплота парообразования 2-метилалканов, 2,2-диметилалканов, 3-метилалканов, 2,3 - диметилалканов и 2,2,4-триметилалканов при различных температурах.

- 1. Н.А.Иванова, Б.А.Безуглый, Создание капель жидкости в пузырьках с использованием механизма капиллярной конвекции, управляемой пучком света. Письма в ЖТФ, **31** (2005) 76-79.
- 2. Г.Н.Куружилин, Е.В.Лыков, *Критическая тепловая нагрузка при кипении* жидкости в большом объеме, *ЖТФ*, **2** (2010) 16-20.
- 3. В.М.Татевский, Химическое строение углеродов и закономерность в их физикохимических свойствах, Изд.- во МГУ, М (1953) 320.
- 4. В.М.Татевский и др., Методы расчета физико-химических свойств парафиновых углеводородов, Гостоптехиздат, М (1964) 45.
- 5. В.И.Рыков, О скрытой теплоте парообразования неассоциированной жидкости. *Ж. Физ. химии*, **34** (1960) 2013-2018.
- 6. В.И.Рыков, Теплота парообразования и поверхностная энергия неассоциированной жидкости, *Ж. физ. химии*, **36** (1962) 1519-1520.
- 7. А.Г.Ахмедов, Теплоты парообразования алканов при различных температурах. Ж. физ. химии, **53** (1979) 2354-2356.
- 8. Н.Б.Варгафтик, Спр. теплофизическим свойствам газов и жидкостей, Физматгиз, М., (1963) 708.
- 9. Я.И.Френкель, Кинетическая теория жидкостей, «Наука», М.-Л, (1975) 182.

А.Г.АХМЕДОВ

10. А.И.Бачинский, Избр. тр, Изд. АН СССР, М (1960) 122.

ALKANLARIN MÜXTƏLIF TEMPERATURLARDA BUXARLANMA ISTILIYI

Ә.Н. ӘНМӘDOV

Normal və izo-alkanların buxarlanma istiliyini hesablamaq üçün V.M.Tatevski nəzəriyyəsi tətbiq edilib. Müxtəlif temperaturlarda alkanların buxarlanma isniliyi tədqiq olunmuşdur. Alkanların buxarlanma istiliyini müxtəlif temperaturlarda hesablamaq üçün düstur təklif olunmuşdur.

HEAT OF VAPORIZATION OF ALKANES AT DIFFERENT TEMPERATURES

A.H.AHMADOV

To calculate the heat of vaporization of normal and iso-alkanes, we have applied the theory of V.M.Tatevski. It has been investigated the heat of vaporization of alkanes at different temperatures. The formula has been offered for calculating the heat of vaporization of alkanes at various temperatures.

Редактор: Э. Масимов

УДК 621.315.592

ВЛИЯНИЕ ВАКАНСИЙ СЕРЫ НА ФОТОПРОВОДИМОСТЬ ГЕКСАГОНАЛЬНЫХ КРИСТАЛЛОВ $Tlin S_2$

Р.С.МАДАТОВ, А.И.НАДЖАФОВ, М.А.МАМЕДОВ

Институт Радиационных Проблем НАН Азербайджана AZ 1141, г.Баку, ул. Ф.Агаева, 9 msrahim@, rambler.ru

поступила30.05.2011 принята к печати25.06.2011

Ключевые слова: фотопроводимость, дефекты, отжиг, поглощение света, пары Френкеля, комплексы.

РЕФЕРАТ

Исследовалось влияние обработки в парах серы на фотопроводимость гексагонального кристалла $TIInS_2$ для выявления корреляции между анионной вакансией серы и фотопроводимостью. Установлена корреляция фотопроводимости с концентрацией вакансий серы и найдено, что при уменьшении концентрации вакансий серы фотопроводимость в собственной и УФ областях спектра увеличивается. Предполагается, что рост фотопроводимости обусловлен «залечиванием» анионной вакансии в парах серы, приводящей к образованию глубоких компенсированных акцепторов, являющихся центрами рекомбинации.

ВВЕДЕНИЕ

В литературе имеются данные о значительной концентрации дефектов в анионной подрешетке тройных халькогенидов типа $A^3B^3C_2^6$ [1-3]. Этот факт особенно относится к сульфидам выше указанных соединений. Соединение TlInS2 является одним из немногих полупроводниковых соединений, в кристаллах моноклинной модификации которого наблюдается последовательность несоразмерных и сегнетоэлектрических фазовых переходов [3-5]. В этих работах авторы пришли к выводу, что вакансии, имеющиеся в анионной подрешетке указанных соединений. должны отражаться на особенностях электропроводности температурной области 170÷220K, а также на фотоэлектрических свойствах. Наибольшая концентрация указанных структурных дефектов имеет место в гексагональном TlInS₂, полученным методом направленной кристаллизации. Это обусловливает сравнительно слабую фоточувствительность TlInS₂ в собственной и УФ-областях спектров. Однако в литературе отсутствуют целенаправленные исследования, посвященные влиянию разного рода структурных дефектов (вакансий) на фотоэлектрические свойства гексагональной модификации TlInS₂. Для установления корреляции между фотопроводимостью и концентрацией структурных дефектов осуществляли отжиг исходных кристаллов гексагонального TlInS₂ в парах серы в вакуумированных ампулах.

Целью данной работы является исследование характера изменений фотопроводимости гексагонального $TlInS_2$ в результате обработки в парах серы.

МЕТОДИКА ЭКСПЕРИМЕНТА

Для исследования были выращены монокристаллы гексагональной модификации $TIInS_2$ из монокристаллов моноклинной путем отжига при 650К в течение 30 дней и подвергнутых зонной очистке при температуре 1060 ± 3 К. Полученные кристаллы имели проводимость n-типа и обладали удельным сопротивлением $1\div6\cdot10^6$ Ом·см. Параметры элементарной ячейки полученных кристаллов имеют следующие значения: a=3.82Å, c=14.85Å. Кристаллы имели

Р.С.МАДАТОВ, А.И.НАДЖАФОВ, М.А.МАМЕДОВ

зеркальную поверхность скола и легко скалывались по базисной плоскости. Кристаллы имели темно-серый цвет с металлическим блеском. В качестве омических контактов использовался индий. Расстояние между электродами L=0.5мм. Измерения проводились в направлении параллельно оси "С" кристалла.

Для получения образцов кристаллов $TIInS_2$ с различной концентрацией вакансий монокристаллы отжигали в атмосфере паров серы. Для этого, исходные образцы и кристаллы элементарной серы помещали в кварцевую ампулу с известным внутренним объемом, ампулу откачивали до остаточного давления 10^{-2} Па, запаивали и помещали в печь. Количество серы для получения необходимого давления еè паров при заданной температуре определяли по уравнению Клапейрона–Менделеева с учетом числа атомов в молекуле (S_6 при $T=800\pm10$ K) [6]. В результате проведенных экспериментов были установлены оптимальные условия отжига в парах серы, обеспечивающие максимальную фотопроводимость при комнатной температуре: $p=0.06\div0.10$ МПа, $T=773\div823$ К и $\tau=(7.20\div7.92)\cdot10^4$ сек. Также было установлено, что при давлении паров серы меньше 0.06МПа продолжительность отжига увеличивается, а при более высоких давлениях поверхность кристалла заметно ухудшается.

Измерения оптических величин проводились в режиме модуляции светового потока с частотой 20 Гц. В качестве монохроматора использовали МДР-23. Регистрация сигнала осуществлялась в режиме синхронного детектирования. Источником света служила ксеноновая лампа ДКСЛ-1000, спектральное распределение которой было определено как число квантов, падающих на единицу поверхности в единицу времени. Измерения зависимости коэффициента поглощения α и фотопроводимости $\Delta \sigma$ от энергии фотонов проводились при температуре 293 К. Для сравнения фоточувствительности образцов находилась спектральная зависимость квантовой эффективности η , определенная как величина фототока, приходящаяся на один квант света, падающего на образец в секунду

$$\eta = \Delta U / R_{\text{Hazp}} \cdot N \cdot S \cdot U, \tag{3.5}$$

где ΔU - величина сигнала фотопроводимости, $R_{\text{нагр}}$ - величина нагрузочного сопротивления, N - количество квантов, падающих в единицу времени на единицу площади образца, S - площадь поверхности образца, U - напряжение на образце.

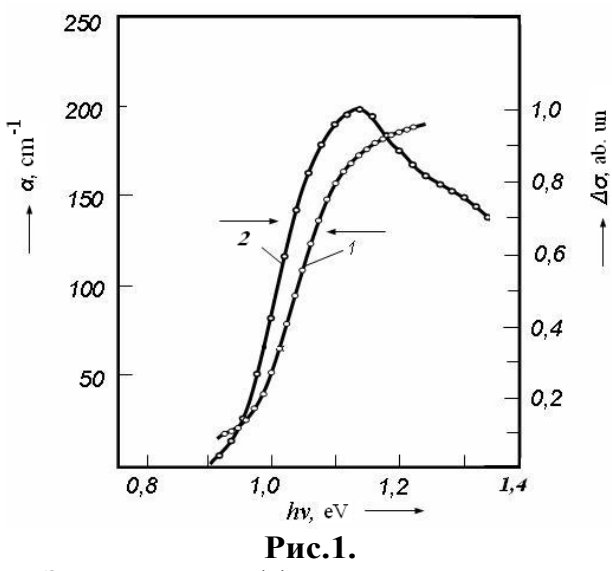
РЕЗУЛЬТАТЫ И ИХ ОБСУЖДЕНИЕ

На Рис.1 показана зависимость фотопроводимости (кривая 2) и коэффициента поглощения (кривая 1) исходных кристаллов гексагонального $TllnS_2$ от энергии фотонов. По зависимости коэффициента поглощения от энергии квантов определена ширина запрещенной зоны: $E_g \approx 0.95$ В. Из рисунка (кр.2) видно, что при увеличении энергии фотонов от 0.9 эВ до 1.1 в фотопроводимость увеличивается, и максимум фотопроводимости имеет место при энергии фотонов ≈ 1.1 в В.

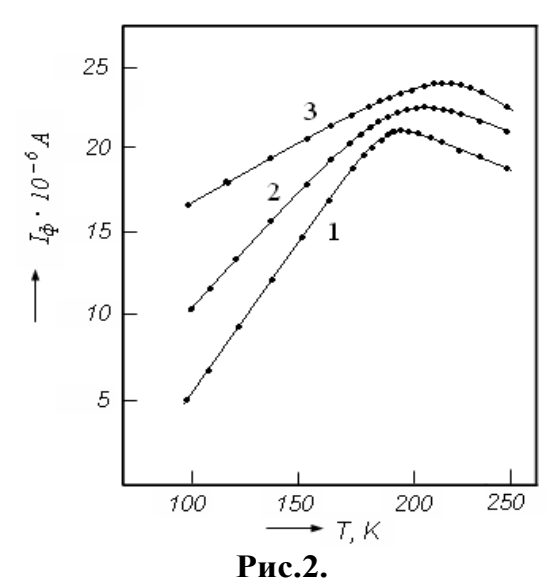
На Рис.2 показана зависимость собственного фототока от температуры. Как видно из рисунка (кривая 1), с ростом температуры до 180К фототок в исходном материале постепенно увеличивается, а далее в интервале 180÷250К наблюдается спад фототока. После отжига образцов при 800К в парах серы (Рис.2, кр.2) максимум фототока смещается в высокотемпературную область, и в области 200÷250К наблюдается участок температурного гашения фототока. Оказалось, что при этом температура гашения фототока смещается в высокотемпературную область, и величина фототока увеличивается с ростом интенсивности освещенности. Такое изменение чувствительности связано, в основном, с перестройкой собственных дефектных уровней в запрещенной зоне и изменением степени дырочного заполнения центров чувствительности в TIInS₂. Исходя из

ВЛИЯНИЕ ВАКАНСИЙ СЕРЫ НА ФОТОПРОВОДИМОСТЬ ГЕКСАГОНАЛЬНЫХ КРИСТАЛЛОВ TllnS $_2$

предложенной рекомбинационной схемы [7], можно объяснить температурную зависимость фототока. Следовательно, можно считать, что возрастание фототока обусловлено влиянием уровней прилипания на время жизни неравновесных дырок. При Т>110К г-центры, являясь уровнями прилипания для электронов, не в рекомбинации. Поскольку скорость термической участвуют электронов из г-центров в с-зону и скорость захвата из с-зоны на г одинакова, с понижением температуры переход электронов из г в с-зону уменьшается, и через грекомбинация дырок. Электроны, уровни начинается которые захватывались на s-центры, теперь переходят на r-центры. При этом увеличивается время жизни дырок и возрастает фототок.



Зависимости коэффициента поглощения α (кривая 1) и фотопроводимости $\Delta \sigma$ (кривая 2) от энергии фотонов для образцов TIInS2 гексагональной модификации при T=293 К.



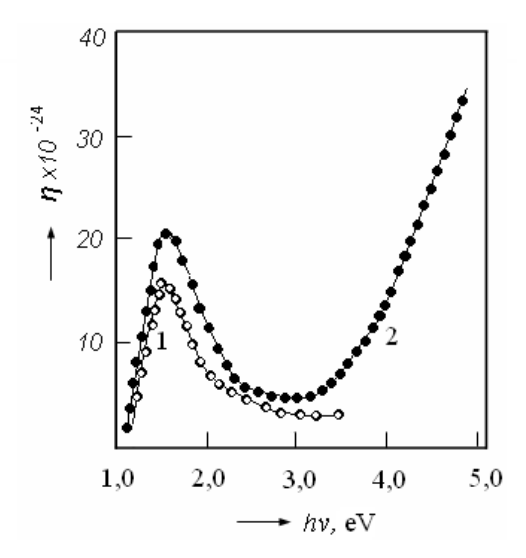
Температурные зависимости фотопроводимости исходных (кривая 1) и отожженных в течение $7.2\cdot10^4$ сек при $T=800\pm10$ К в парах серы (кривые 2-3) кристаллов гексагонального $TIInS_2$ при интенсивности фотовозбуждения $2\cdot10^3$ лк (1), $2\cdot10^3$ лк (2), $15\cdot10^3$ лк (3).

В исходных кристаллах, как следует из Puc.2 (кр.1), в области температур Т>200К наблюдается ТГФ в связи с развитием термической генерации электронов из г-уровней в с-зону и последующим захватом их на s-уровни. При понижении температуры ниже 200К фототок падает, что показывает локализацию дырок на t-уровнях, а соответствующих электронов на r-уровнях рекомбинации. При выполнении условия N_r = N_t , согласно [7], происходит уменьшение времени жизни дырок и фототока.

Термическая активация фототока в области гашения фототока находит удовлетворительное объяснение в рамках трехуровневой схемы рекомбинации, содержащей быстрые (s) уровни захвата неравновесных носителей заряда, медленные очувствляющие (r) уровни рекомбинации и (t) –уровни прилипания для неравновесных носителей заряда [8]. При нагревании образца от 100 до 180К наблюдается увеличение значений фотопроводимости. После стабилизации при 180÷210К значения фототока снова уменьшаются в интервале 210÷250К. Из аналогичной зависимости для отожженных в парах серы кристаллов TlInS₂ при различных интенсивностях возбуждения белым светом (Рис.2, кр.2,3) видно, что в результате отжига ТГФ ослабляется. Более того, значение фотопроводимости отожженных кристаллов в парах серы растет с повышением температуры, а

скорость роста фототока и температура гашения зависят от интенсивности фотовозбуждения.

Сказанное подтверждается спектральной зависимостью квантовой эффективности фотопроводимости в диапазоне $1,0\div5,0$ исходных и отожженных в парах серы в течение $7,2.10^4$ сек при p=0,08МПа и T= 800 ± 10 К кристаллов гексагонального $TIInS_2$ (Рис.3). Как видно из кривой 1 (десятикратное увеличение), фототок в образцах для фотонов с энергией hv>3,5 отожженным в парах серы при давлении p=0,08МПа в течении $7,2.10^4$ сек. Как видно из сравнения кривых 1 и 2, в результате обработки в атмосфере серы квантовая эффективность фотопроводимости в



области энергий фотонов $hv=E_g$ возрастает ~1,5 раза, и появляется фото-чувствительность в ультрафиолетовой области 3,5÷6,0эВ, которая по значению η превышает фоточувствительность при $hv=E_g$. По всей вероятности, отсутствие фотопроводимости в УФ области в исходных кристаллах гексагонального $TllnS_2$ связано с наличием в них вакансий серы, которые "залечиваются" после отжига кристаллов в атмосфере паров серы.

Рис. 3.

Спектральная зависимость квантовой эффективности гексагонального кристалла $TIInS_2$. 1-исходный материал, 2-после отжига в парах серы в течение $7,2\cdot 10^4$ сек. при $T=800\pm 10$ К.

помощью сравнительного анализа температурной и спектральной фотопроводимости влияние вакансий зависимостей исследовано серы TlInS₂. Установлено, что в фотопроводимость гексагонального кристалла результате отжига в парах серы, в полученных из расплава кристаллах TIInS₂ ослабляется эффект температурного гашения фотопроводимости, обусловленный подрешетке серы. Устранение наличием в исходных кристаллах дефектов в указанных дефектов в парах серы сопровождается увеличением заполнения ловушек и времени жизни фотовозбужденных носителей, что приводит к росту фотопроводимости в области края УФ области. На основе результатов проведенных исследований разработан способ получения фоточувствительных монокристаллов гексагонального TlInS₂, позволяющий использовать полученные материалы в качестве фотоприемников ультрафиолетового излучения.

ЗАКЛЮЧЕНИЕ

Таким образом на основе экспериментальных данных показана возможность снижения центров рекомбинации, в частности, при отжиге в парах серы монокристаллов гексагонального $TIInS_2$ за счет уменьшения числа вакансий, приводящего к залечиванию указанных дефектов.

Предложена трехуровневая модель, в рамках которой описывается как возрастание фоточувствительности в коротковолновой, так и ее проявление в ультрафиолетовой областях спектра.

Полученные материалы на основе монокристалла гексагонального $TIInS_2$ могут быть использованы в качестве фотоприемников в УФ области спектра $3.5 \div 6.0 \ni B$.

ВЛИЯНИЕ ВАКАНСИЙ СЕРЫ НА ФОТОПРОВОДИМОСТЬ ГЕКСАГОНАЛЬНЫХ КРИСТАЛЛОВ TlInS $_2$

- 1. А.З.Абасова, Эффекты в монокристаллах слоистых полупроводников A^3B^6 , $A^3B^3C^6_2$ и фоточувствительных структурах на их основе, Дисс. на соискание степени док. физ.-мат. наук., (1986) 350.
- 2.А.З.Абасова, Ф.А.Заитов, В.И.Стафеев, В.Н.Чкунина, *Изменение* фотоэлектрических свойств монокристаллов p- $TlInSe_2$ под действием γ -облучения, Teзисы докладов всесоюзной конференции «Тройные полупроводники и их применение», Кишинев, июнь, (1983) 6-8.
- 3. Р.М.Сардарлы, О.А.Самедов, И.Ш.Садыхов, Влияние различных типов дефектов на сегнетоэлектрические свойства политипных модификаций кристалла TlInS₂, Тезисы докладов XII Всесоюзной конференции по физике сегнетоэлектриков, Ростов-на-Дону, **3** (1989) 50.
- 4.Р.А.Сулейманов, М.Ю.Сеидов, В.Ф.Салаев, Ф.А.Микайлов, Модель последовательности структурных фазовых превращений в слоистом кристалле TllnS₂, ФТТ, **35** (1993) 348-354.
- 5.А.У.Шелег, О.Б.Плющ, В.А.Алиев, Рентгенографические исследования несоизмеримой фазы в кристаллах β $TlInS_2$ ΦTT , **36** (1994) 226-230.
- 6. Ф.Крегер, *Химия несовершенных кристаллов*, *М.*, *Изд-во* (*«МИР»*), (1969) 654.
- 7.В.А.Алиев, Реальная структура, фотоэлектрические явления и фазовые превращения в кристаллах $TlA^3B^6_2$, Автореферат дисс. на соискание степени док. физ.-мат. наук. Баку, (1997), 37.
- 8.В.Е.Лашкарев, А.В.Любченко, М.К.Шейнкман, Неравновесные процессы в фотопроводниках, Киев, «Наукова думка», (1981) 264.

KÜKÜRD VAKANSİYALARININ HEKSAQONAL TIİnS2 KRİSTALLARININ FOTOKEÇİRİCİLİYİNƏ TƏSİRİ

R.S.MƏDƏTOV, A.İ.NƏCƏFOV, M.Ə.MƏMMƏDOV

Kükürdün anion vakansiyaları ilə fotokeçiricilik arasındakı korrelyasiyanı aşkar etmək üçün heksaqonal TlİnS₂ kristallarının fotokeçiriciliyinə kükürd buxarında dəmləmənin təsiri öyrənilmişdir. Fotokeçiriciliyin kükürd vakansiyalarının konsentrasiyası ilə əlaqədar korrelyasiya müəyyən edilmişdir və məlum olmuşdur ki, kükürd vakansiyalarının konsentrasiyası azaldıqda ultrabənövşəyi oblastda fotokeçiricilik artır. Fərz edilir ki, fotokeçiriciliyin artması anion vakansiyalarının kükürd buxarında bərpa olunması hesabına bas verir.

INFLUENCE OF SULFUR VACANCIES ON THE PHOTOCONDUCTIVITY OF HEXAGONAL CRISTALS TIInS2

R.S.MADATOV, A.I.NAJAFOV, M.A.MAMEDOV

The processing influence in vapor of sulfur on photoconductivity of hexagonal crystal $T1InS_2$ for detection of correlation between anionic vacancy of sulfur and photoconductivity has been researched. It has been assigned correlation of photoconductivity with concentration of sulfur vacancy and has been found that while concentration of sulfur vacancy deacreases, the photoconductivity in inherent and UF spectral field increases. It has been supposed that "healing" of anionic vacancy in sulfur vapors has led to formation of deeply compensated acceptors, being recombination centers that has led to the growth of photoconductivity.

Редактор: С.Мустафаева

УДК 537.311.322; 539.213

ИНЖЕКЦИОННЫЕ ТОКИ В ХАЛЬКОГЕНИДНОМ СТЕКЛООБРАЗНОМ ПОЛУПРОВОДНИКЕ Se₉₅As₅, СОДЕРЖАЩЕМ ПРИМЕСИ EuF₃

А.И.ИСАЕВ, С.И.МЕХТИЕВА, С.Н.ГАРИБОВА, В.З.ЗЕЙНАЛОВ, М.М.СЕИДОВ

Институт Физики НАН Азербайджана AZ 1143, г.Баку, пр.Г.Джавида, 33 sqaribova@rambler.ru

поступила: 12.04.2011

принята к печати: 04.06.2011

Ключевые слова: Халькогенидные стеклообразные полупроводники, аморфные полупроводники, инжекционные токи, редкоземельные примеси, электрические свойства.

РЕФЕРАТ

Установлено, что перенос носителей заряда (дырок) в структуре $Al\text{-}Se_{95}As_5 \langle EuF_3 \rangle$ —Те осуществляется по механизму токов монополярной инжекции, ограниченных пространственными зарядами, при участии двух групп ловушек захвата - мелких (E_t , E_t) и глубоких (E_t). Определены концентрация и энергетическое расположение выявленных ловушек. Показано, что примеси EuF_3 сильно влияют на концентрацию ловушек захвата, причем, в основном, влияют на глубокие ловушки, расположенные около уровня Ферми.

стеклообразные полупроводники $(XC\Pi)$ Халькогенидные привлекают внимание исследователей как перспективные материалы для использования в электрических переключателях, запоминающих устройствах, инфракрасной технике, а также в различных акустооптических устройствах[1-3]. Это, прежде всего, связано с тем, что ХСП материалы обладают рядом свойств, присущих только этим материалам. Они обладают способностью изменять свои электрические, фотоэлектрические и оптические свойства под действием света, т. е. изменять показатель преломления света, край оптического поглощения, а также у них появляются неспаренные спины, регистрируемые электронным спиновым резонансом, обладают фотолюминесценцией со стоксовым сдвигом, усталостью и т.д. Привлекательность ХСП материалов обусловлена еще с тем обстоятельством, у них подавляющее большинство локальных состояний связано заряженными дефектами D и D (U-центрами с отрицательной эффективной энергией корреляции электронов), концентрацию которых можно контролировать введением примесных атомов, проявляющихся в виде заряженных центров. Это позволяет существенно улучшить параметры переноса электрического заряда и фоточувствительность [4-9].

Использование фторида редкоземельного элемента (EuF₃) в качестве примеси обусловлено двумя особенностями атомов, входящих в состав указанной молекулы. Во-первых, они проявляются, в основном, в виде заряженных центров (ионы Eu³⁺ и F⁻) и должны влиять на концентрацию U⁻-центров. Во-вторых, атомы РЗЭ в запрещенной зоне XСП создают состояния, обусловленные их 4f-состояниями, вследствие чего оптическая ширина запрещенной зоны XСП перекрывается по энергии электронными переходами, разрешенными для иона РЗЭ (Eu), что должно приводить к существенному изменению его оптических, фотоэлектрических и электрических свойств [7-10]. Понимание механизма электронных процессов, ответственных за вышеперечисленные особенности требует комплексного исследования структуры и физических свойств, с целью определения энергетического спектра локализованных состояний в запрещенной зоне XСП и установления механизма влияния на них ионов РЗЭ, для которых

одним из достоверных методов является исследование токов, ограниченных пространственными зарядами (ТОПЗ), чему и посвящена настоящая работа.

МЕТОДИКА ЭКСПЕРИМЕНТА И ИЗГОТОВЛЕНИЕ ОБРАЗЦОВ

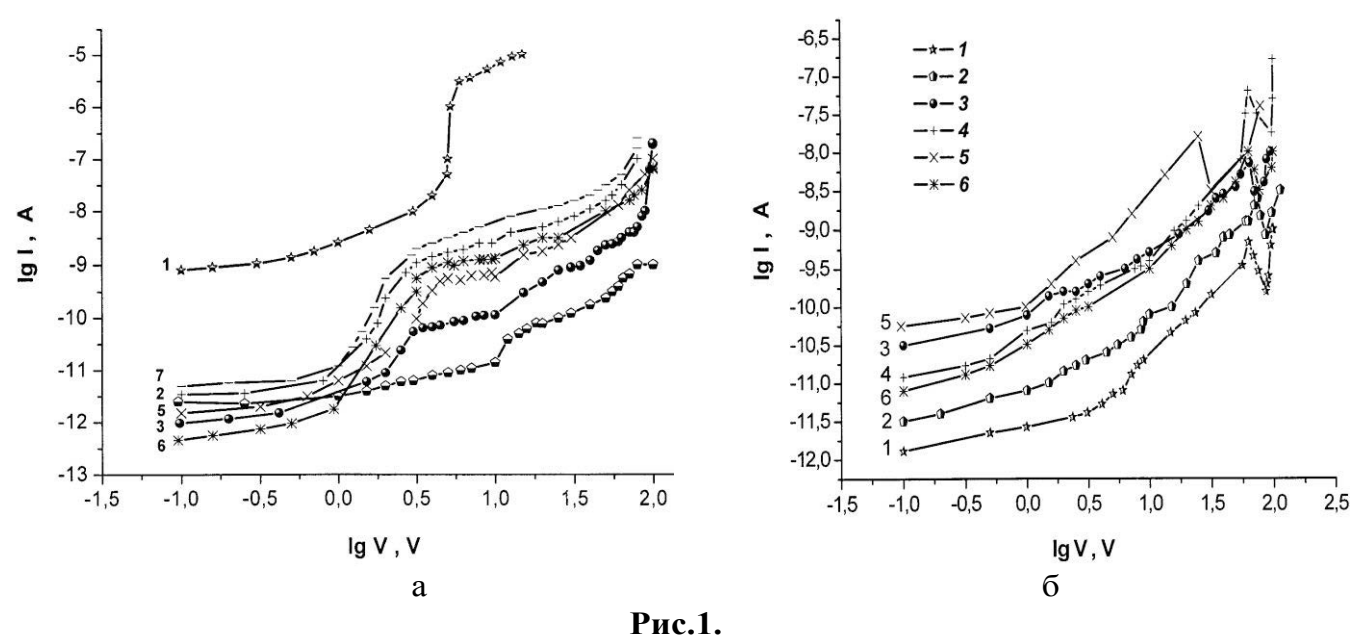
Синтез XCП состава $Se_{95}As_5$ с примесью EuF_3 осуществлялся сплавлением соответствующих количеств химических элементов особой чистоты в вакуумированных до 10^{-6} мм.рт.ст. кварцевых ампулах при температуре выше 900^{0} С во вращающейся печи с последующим охлаждением в режиме выключенной печи. Примесь вводилась в процессе синтеза, концентрация ее лежала в пределах $0.01 \div 1$ ат%.

Вольтамперные характеристики (BAX) измерены в стационарном режиме по стандартной методике. Измерения выполнялись на автоматизированной установке Keithley 6487. Образцы представляли собой «сэндвич» с алюминиевыми и теллуровыми электродами и изготовлялись методом термического испарения в вакууме $\sim 10^{-6}$ мм.рт.ст. Толщина пленок измерялась интерферометрическим методом и варьировалась в диапазоне $1 \div 10$ мкм. BAX структуры Al-Se₉₅As₅<EuF₃>-Te с примесью EuF₃ исследовались при приложении электрического напряжения обоих полярностей. Режим ТОПЗ наблюден при приложении к Те положительного потенциала, а при обратной полярности наблюдена BAX N-типа.

РЕЗУЛЬТАТЫ И ИХ ОБСУЖДЕНИЕ

На Рис.1 показаны BAX структуры Al-Se₉₅As₅<EuF₃>-Те при приложении к Те положительного (Рис.1а), и отрицательного (Рис.1б) потенциалов при комнатной температуре. На Рис.1а также представлены ВАХ структуры Al-аморфный селен-Те. Как видно, в двойном логарифмическом масштабе ВАХ состоит из нескольких отчетливо выраженных прямолинейных участков, соответствующих степенным зависимостям тока (I) от приложенного напряжения (V). В большинстве образцов при малых напряжениях наблюдается зависимость $I \sim V^n$ ($n \le 1$). Далее наблюдается зависимость $I \sim V^n$, где n в разных участках ВАХ получает разные значения, что свидетельствует о том, что перенос носителей заряда (дырок) в указанной структуре осуществляется по механизму токов монополярной инжекции, ограниченных пространственными зарядами (ТОПЗ) при участии ловушек захвата носителей заряда. Исследования показали, что напряжение, при котором начинается сверхлинейная зависимость силы тока от напряжения, квадратично зависит от толщины образца, что еще раз доказывает осуществления механизма ТОПЗ. Как видно из Рис.1а, ВАХ аморфного селена при малых значениях приложенного напряжения подчиняется омическому закону и с ростом напряжения переходит в квадратичный, после чего ток начинает круго возрастать с увеличением приложенного напряжения, наблюдается участок называемый «полным заполнением ловушек» [11]. Далее этот участок сменяется участком, в котором проявляется квадратичная зависимость тока от напряжения, $I \sim V^2$. Такое поведение ВАХ соответствует механизму ТОПЗ, контролируемому мелкими [11]. ВАХ структуры Al-Se $_{95}$ As $_{5}$ <EuF $_{3}$ >-Те отличается от ВАХ ловушками аморфного селена тем, что после участка, подчиняющегося омическому закону, идет участок, соответствующий степенному закону, т.е. $I \sim V^n$, где n превышает 2. Далее наблюдается участок, где $I \sim V^2$. Наконец квадратичный участок сменяется участком, в котором наблюдается область более сильного возрастания тока, чем квадратичная. Здесь возрастание тока с напряжением описывается зависимостью, близкой к экспоненциальной, что обычно связывается с ионизацией локальных

центров [12]. Особенности ВАХ исследованных нами структур Al-Se $_{95}$ As $_{5}$ <EuF $_{3}$ >-Те свидетельствуют о том, что в указанном материале перенос электрического заряда контролируется несколько группами ловушечных центров захвата, расположенных по разные стороны от уровня Ферми. Одновременно с этим, значения напряжений, при которых наблюдается участок, соответствующий резкому возрастанию тока, т.е. режиму соответствующему предельному заполнению ловушек, смешается к высоким напряжениям, что свидетельствует об увеличении концентрации локальных состояний, являющихся ловушками захвата основных носителей заряда. Примеси EuF $_{3}$ довольно сложно влияют на формы ВАХ и на значения переходного напряжения между различными участками.



Вольтамперная характеристика аморфного селена и структуры $Al\text{-}Se_{95}As_5 < EuF_3 >$ -Te при приложении к Te приT \approx 300K: а - положительного потенциала: I-Se, $2\text{-}Se_{95}As_5$, $3\text{-}Se_{95}As_5 (EuF_3)_{0.005}$, $4\text{-}Se_{95}As_5 (EuF_3)_{0.01}$, $5\text{-}Se_{95}As_5 (EuF_3)_{0.1}$, $6\text{-}Se_{95}As_5 (EuF_3)_{0.5}$, $7\text{-}Se_{95}As_5 (EuF_3)_1$; 6- отрицательного потенциала: $I\text{-}Se_{95}As_5$, $2\text{-}Se_{95}As_5 (EuF_3)_{0.005}$, $3\text{-}Se_{95}As_5 (EuF_3)_{0.01}$, $4\text{-}Se_{95}As_5 (EuF_3)_{0.1}$, $5\text{-}Se_{95}As_5 (EuF_3)_{0.5}$, $6\text{-}Se_{95}As_5 (EuF_3)_1$.

Влияние химического состава и примесей EuF₃ на поведение ВАХ позволяет высказать некоторые соображения о природе локальных состояний и их энергетическом расположении в запрещенной зоне относительно равновесного положения уровня Ферми, контролирующего прохождение тока в исследуемых материалах. В аморфном селене ловушки захвата основных носителей заряда (дырки) являются мелкими, т.е. находятся ниже равновесного значения уровня Ферми [14]. Предполагается, что в аморфном селене локальные состояния, контролирующие ВАХ, связаны с заряженными собственными дефектами С₁-, обусловленными оборванными связями селена. Предполагается, что в системе $Se_{95}As_5$ наряду с дефектами типа C_1^- существуют заряженные собственные дефекты P_2 , создаваемые атомами мышьяка с нарушенной координацией. О возможности существования таких дефектов в ХСП, содержащих мышьяк, также сообщалось в работе [13]. Согласно форме ВАХ энергетическое положение локальных состояний, соответствующех указанным дефектам, должно находиться выше уровня Ферми, являясь тем самым глубокими [14].

При низких напряжениях, дырки, инжектируемые в $Se_{95}As_5$ из теллурового контакта, захватываются глубокими ловушками (E_{12}), но благодаря присутствию равновесных дырок проводимость остается омической. С увеличением напряжения происходит заполнение центров E_{12} и одновременно увеличивается концентрация

свободных дырок и как только концентрация инжектированных свободных дырок превышает концентрацию равновесных дырок, ток резко возрастает с увеличением напряжения, т.е. наблюдается так называемый участок «предельного заполнения ловушек». После этого ток контролируется ловушками (E_t и E_{t1}), при этом пока квазиуровень Ферми остается выше этих уровней, наблюдается ловушечный квадратичный закон. Увеличение крутизны ВАХ на последнем участке, повидимому, связано с термополевой эмиссией дырок с уровней ловушек. В пользу последнего свидетельствует еще тот факт, что при обратной полярности приложенного напряжения, когда режим ТОПЗ не наблюдается при тех же значениях напряженности приложенного поля, происходит резкий рост тока, что также связано полевым опустошением ловушек (Рис.1б).

Используя известные теории ТОПЗ [14], определили некоторые параметры, характеризующие перенос электрического заряда в системе $Se_{95}As_5$, а также параметры ловушек захвата дырок.

Таблица.Значения некоторых параметров ХСП системы Se₉₅As₅, содержащей примеси EuF₃.

	p_{0} , cm ⁻³	F_0 - E_v , $\ni B$	p_{t02} , cm ⁻³	$E_{t2,}$ эВ	E_{t1} , $\ni \mathbf{B}$	$N_{\rm t}$, cm ⁻³	$E_{\rm t}$, ${\rm 9B}$
$\begin{array}{c} Se_{95}As_5\\ Se_{95}As_5(EuF_3)_{0.005}\\ Se_{95}As_5(EuF_3)_{0.01}\\ Se_{95}As_5(EuF_3)_{0.1}\\ Se_{95}As_5(EuF_3)_{0.5}\\ Se_{95}As_5(EuF_3)_1 \end{array}$	$0.3 \cdot 10^{4} \\ 0.32 \cdot 10^{4} \\ 1.4 \cdot 10^{4} \\ 0.85 \cdot 10^{4} \\ 1.3 \cdot 10^{4} \\ 0.7 \cdot 10^{4}$	0.95 0.95 0.9 0.92 0.91 0.94	$4 \cdot 10^{14} 8 \cdot 10^{13} 5 \cdot 99 \cdot 10^{13} 6 \cdot 10^{13} 4 \cdot 028 \cdot 10^{13} 4 \cdot 028 \cdot 10^{13}$	1.023 1.05 1.07 1.065 1.07 1.096	0.27 0.25 0.26 0.26 0.26	$8 \cdot 10^{17} 7 \cdot 10^{17} 2.8 \cdot 10^{17} 2 \cdot 10^{17} 3.9 \cdot 10^{17} 4.9 \cdot 10^{17}$	0.687 0.69 0.672 0.686 0.69 0.686

Из омического участка ВАХ вычислили удельное сопротивление пленки и, используя эти значения, оценили концентрацию равновесных свободных дырок (Таблица) из формулы $\rho = (ep_0\mu)^{-1}$, где e- элементарный заряд и μ - подвижность свободных носителей в разрешенной зоне $\mu = 10 \text{см}^2/(\text{B}\cdot\text{c})$ [15]. Используя эти данные, по формуле

$$p_0 = N_{\rm v} \exp\left(-\frac{F_0 - E_{\rm v}}{kT}\right) \tag{1}$$

определили положение уровня Ферми в запрещенной зоне (F_o-E_v) (Таблица), где N_v -эффективная плотность состояний в валентной зоне, κT -тепловая энергия. При вычислениях значения берутся из [15], откуда N_v = 10^{20} см⁻³.

Концентрация (p_{t02}) первоначально незанятых дырками ловушек с энергией E_{t2} вычислена из уравнения

$$V_{\text{FCT}} = \frac{ep_{t02}L^2}{\varepsilon} \tag{2}$$

и значения представлены в Таблице, где $V_{\rm FCT}$ – напряжение, при котором начинается участок полного заполнения ловушек $E_{\rm t2}$. Как видно из Таблицы, $p_{\rm t02}\rangle\rangle p_0$. Как уже было отмечено выше, глубокие уровни в исследуемых материалах связаны с $D^{-}(P_2^{-})$. Принимая концентрацию P_2^{-} центров ($N_{\rm t2}$) порядка 10^{16} см⁻³, по формуле

$$p_{t02} = \frac{N_{t2}}{1 + g_A \exp(\frac{E_{t2} - F_0}{kT})} \approx \frac{N_{t2}}{g_A} \exp(\frac{F_0 - E_{t2}}{kT})$$
(3)

вычислено энергетическое положение уровня E_{t2} (Таблица). В формуле (3) g_{A} -

А.И.ИСАЕВ, С.И.МЕХТИЕВА, С.Н.ГАРИБОВА, В.З.ЗЕЙНАЛОВ, М.М.СЕИДОВ

коэффициент спинового вырождения уровня E_{t2} , который считается равным двум $(g_A=2)$.

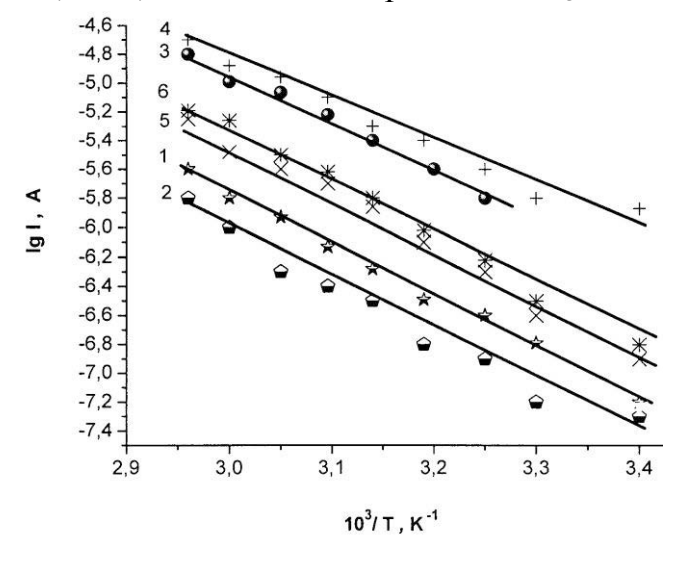
Как видно из Рис.1а, при напряжениях, превышающих 10÷20В наблюдается квадратичная зависимость тока от напряжения, т.е. ВАХ подчиняется закону

$$I = \frac{\theta \epsilon \mu V^2}{L^3} \tag{4}$$

Уравнение (4) называется ловушечным квадратичным законом и отличается от закона Мотта-Герни или от безловушечного квадратичного закона для идеального диэлектрика наличием множителя θ , характеризующего долю свободных носителей от всех инжектированных

$$\theta = \frac{N_c}{gN_t} \exp \frac{E_t - E_c}{kT} \tag{5}$$

Согласно [15], при этом на ток влияет только один дискретный уровень. Если имеется несколько групп мелких уровней прилипания, что следует ожидать в ХСП материалах содержащих примеси атомов РЗЭ, то группа с наименьшим значением θ наиболее сильно ограничивает ток, и в (4) входит параметр θ , связанный именно с этой группой. На Рис.2 показана температурная зависимость θ , вычисляемая в районе ВАХ, подчиняющаяся ловушечному квадратичному закону, из которого определены энергия активации (E_t) и концентрация мелких ловушек (N_t), результаты которых представлены в Таблице. Как видно из таблицы, энергия активации уровней прилипания для всех образцов почти одинакова и составляет 0,68÷0,69эВ. Однако примеси EuF₃ сложно влияют на концентрацию ловушечных



состояний: малые концентрации примесных атомов (до 0,1ат%) их уменьшают, а большие - увеличивают. Аналогичным образом примеси галогенов дрейфовую влияют заряда, подвижность носителей успешно объясняется в рамках модели заряженных собственных дефектов[5-6].

Рис 2.

Температурная зависимость параметра θ , вычисленного в районе BAX, подчиняющейся ловушечному квадратичному закону: I - Se₉₅As₅, 2- Se₉₅As₅(EuF₃)_{0.005}, 3- Se₉₅As₅(EuF₃)_{0.01}, 4- Se₉₅As₅(EuF₃)_{0.1}, 5- Se₉₅As₅(EuF₃)_{0.5}, 6- Se₉₅As₅(EuF₃)₁.

Принимая, что на участке, где начинается ловушечный квадратичный закон (ЛКЗ), квазиуровень Ферми для дырок (F) с точностью до κT совпадает с $E_{\rm tl}$, из уравнения

$$E_{t1} - F_0 \approx F - E_V = kT \ln \frac{N_V}{p_{FCT}}$$
(6)

оценили энергетическое положение уровня $E_{\rm t1}$, где $p_{\rm FCT}$ - концентрация свободных дырок, инжектированных в образец при напряжении, соответствующем началу участков ЛКЗ ($V_{\rm FCT}$).

Значение $P_{\rm FCT}$ вычислено из формулы

$$V_{\text{FCT}} = \frac{ep_{FCT}L^2}{\varepsilon} \tag{7}$$

Результаты оценки E_{t1} также представлены в Таблице, из которой видно, что энергетическое положения E_{t1} уровня соответствует энергии активации дрейфовой подвижности дырок в аморфном селене, что также свидетельствует о связи указанных состояний заряженными собственными дефектами C_1 , обусловленными оборванными связями селена. Этот факт позволяет за концентрацию центров с энергией $E_{t1}(N_{t1})$ принять значение $10^{19} {\rm cm}^{-3}$ [15], соответствующее плотности локализованных состояний, контролирующих дрейфовую подвижность дырок. Таким образом, из анализа BAX в $Se_{95}As_5 < EuF_3 > выявлены три группы локализованных состояний, параметры которых представлены в Ттаблице. Одна из них - глубокие (<math>E_{t2}$) находяться выше уровня Ферми, а две мелкие (E_t и E_{t1}) лежат ниже этого уровня.

Влияние примесей EuF_3 на BAX можно объяснить, если привлечь представления, развитые в рамках модели заряженных собственных дефектов[15]. Согласно этой модели перенос носителей заряда в $XC\Pi$ контролируется U-центрами, представляющими собой заряженные дефекты D^+ и D^- , которые образуются из исходных нейтральных дефектов D^0 по реакции

$$2D^0 \rightarrow D^+ + D^-, \tag{8}$$

где D^+ и D^- - центры, являющиеся ловушками для электронов и дырок. Предполагается, что роль D^- -центров в нашем случае играют центры C_1^- и P_2^- , связанные с оборванными связями селена и атомами мышьяка с нарушенной координацией, соответственно.

При введении в $XC\Pi$ положительно заряженной примеси A^+ (предполагается, что европий, в основном, проявляется в виде положительно заряженного иона Eu^{+3}) должен выполняться закон электронейтральности

$$[A^{+}] + [D^{+}] = [D^{-}]. \tag{9}$$

Согласно закону действующих масс количественное соотношение между концентрациями заряженных центров определяется выражением

$$[D^+][D^-] = [D^0]^2 = const.$$
 (10)

Согласно (9) и (10), при введении положительно заряженной А⁺ примеси, концентрация D^+ -центров должна уменьшаться, а концентрации D-центров увеличиваться, что должно влиять на механизм токопрохождения. Если принять, что перенос дырок в Se₉₅As₅ контролируется локальными состояниями, связанными D-центрами, то можно объяснить изменения, происходящие в BAX при изменении концентрации молекулы EuF₃. Действительно, при относительно больших концентрациях европия (0,5÷1ат%) напряжение, при котором наблюдается участок, соответствующий предельному заполнению ловушек, перемешается в сторону высоких значений приложенного напряжения, что свидетельствует о росте концентрации ловушек захвата дырок. Влияния примесей EuF₃ на BAX при малых концентрациях не происходит в рамках модели заряженных собственных дефектов, т.е. в результате участия примеси EuF₃ уменьшается концентрация как глубоких, так и мелких состояний. Такое же влияние на D и D центры оказывают и примеси галогенов, т.е. примеси галогенов в малых концентрациях концентрации собственных дефектов обоих знаков [13]. Аналогичное влияние наблюдается и в настоящей работе, и, по-видимому, также обусловлено химической активностью ионов РЗЭ и фтора, способных образовать химические соединения с селеном и мышьяком, в результате чего уменьшается концентрация исходных собственных дефектов.

ЗАКЛЮЧЕНИЕ

В результате проведенных исследований установлено, что перенос носителей заряда (дырок) в структуре $Al-Se_{95}As_5 < EuF_3 > -Te$ осуществляется по механизму

А.И.ИСАЕВ, С.И.МЕХТИЕВА, С.Н.ГАРИБОВА, В.З.ЗЕЙНАЛОВ, М.М.СЕИДОВ

токов монополярной инжекции, ограниченных пространственными зарядами, при участии трех групп ловушек захвата: мелкие (E_t и E_{t1}), соответствующие основному $E_{\rm t}$ и возбужденному $E_{\rm t1}$ состояниям заряженных собственных дефектов $C_{\rm 1}$, обусловленных оборванными связями селена и глубокими E_{t2} , соответствующими также заряженным собственным дефектам Р₂, создаваемыми атомами мышьяка с нарушенной координацией. Показано, что примеси EuF₃, в основном, влияют на концентрацию ловушек захвата, а их энергетическое положение остается неизменным и не зависит от концентрации вводимых примесей. Малые содержания примеси EuF₃ (до 0,1ат%) уменьшают концентрации глубоких ловушек, а большие - (больше чем 0,1ат%) увеличивают их. Поведение примеси EuF₃ в малых концентрациях объяснено химической активностью ионов РЗЭ и фтора, способных образовать химические соединения с селеном и мышьяком, в результате чего уменьшается концентрация исходных собственных дефектов. Поведение примеси EuF₃ в больших концентрациях происходит согласно модели заряженных собственных дефектов [15], т. е если принять, что примеси РЗЭ, в основном, проявляются в виде положительно заряженных ионов, то в результате их присутствия концентрация U⁻-центров должна претерпевать изменения - D⁺-центры D-центры увеличиваться, что действительно и должны уменьшаться, а наблюдалось.

- 1. К.Д.Цендин, Электронные явления в халькогенидных стеклообразных полупроводниках, Санкт Петербург, Наука, (1996) 320.
- 2. Tanaka Keiji, Nonlinier Optics in Glasses: How can we analyze? Book of Abstracts 7th Int. Conf. On Solid State Chemistry. Czech Rep., Pardubice, (2006) 60.
- 3. A.Zakery, S.R. Elliott, *Optical properties and applications of chalcogenide glasses; a review, J. Non-Cryst. Sol.*, 330 (2003) 1-12.
- 4. А.И.Исаев, Л.П.Казакова, Э.А.Лебедев, С.И.Мехтиева, И.И.Ятлинко, «Способ получения халькогенидных стеклообразных полупроводников на основе Se–As». А.С.№ 1512015, Москва,(1989).
- 5. Л.П.Казакова, Э.А.Лебедев, А.И.Исаев, С.И.Мехтиева, Н.Б.Захарова, И.И.Ятлинко, Влияние примесей галогенов на перенос носителей заряда в стеклообразной системе Se-As, ФТП, **27** (1993) 959-965.
- 6. L.P.Kazakova, E.A.Lebedev, N.B.Zakharova, I.I.Yatlinko, A.I.Isayev, S.I.Mekhtiyeva, *Improvement of charge transport in Se-As glasses by doping with halogens, J. of Non–Cristalline solids*, **167** (1994) 65-69.
- 7. A.I.Isayev, S.I.Mekhtiyeva, A.K.Rzayev, The effect of halogen impurities on electroconductivity of chalcogenide glass semiconductor Se-As system, Turkish J. of Physics, **22** (1998) 263-266.
- 8. A.I.Isayev, S.I.Mekhtieva, N.Z.Jalilov, R.IAlekperov, Localized states in the band gap of chalcogenide glass-like semiconductors of Se-As system with Sm impurity, Solid State Communications, 149 iss 1-2 (2009) 45-48.
- 9. A.I.Isayev, S.I.Mekhtiyeva, N.Z.Jalilov, R.IAlekperov, V.Z.Zeynalov, *The optical absorption of Se₉₅As₅ system doped by atoms of samarium, J.of Optoelectronics and Advanced Materials-RC*, 1 ISS, 8 (2007) 368-372.
- 10. Я.Г.Клява, Правило Урбаха и континуальная неупорядоченность в некристаллических твердых телах, ФТТ, **27** (1985) 1350-1353.
- 11. А.И.Исаев, С.И.Мехтиева, С.Н.Гарибова, Р.И.Алекперов, В.З.Зейналов, Оптические константы халькогенидной стеклообразной полупроводниковой системы Se-As, содержащей примеси фторида европия (EuF₃), *Transactions of Azerbaijan Academy of Sciences, Series of Physical-mathematical and Technical sciences, Physics and Astronomy,* XXX №2 (2010) 121-126.

ИНЖЕКЦИОННЫЕ ТОКИ В ХАЛЬКОГЕНИДНОМ СТЕКЛООБРАЗНОМ ПОЛУПРОВОДНИКЕ $Se_{95}As_{5}$, СОДЕРЖАЩЕМ ПРИМЕСИ EuF_{3}

- 12. E. Voronkov, Calculation of threshold voltage for phase-change memory device. J. Non.- Cryst. Solids., **353** (2007) 2591-2594.
- 13. Л.П.Казакова, К.Д.Цендин, Изменение концентрации U-центров в халькогенидных стеклообразных полупроводниках системы Se-As при легировании металлами и галогенами, ФТП, **33** (1999) 866-869.
- 14. М.Ламперт, П.Марк, *Инжекционные токи в твердых телах*, М., Мир, (1973) 416
- 15. Н.Ф.Мотт, Э.А.Девис, Электронные процессы в некристаллических веществах, М., Мир, (1982) 664.

EuF₃ AŞQARLI Se₉₅As₅ HALKOGENİD ŞÜŞƏVARİ YARIMKEÇİRİCİSİNDƏ İNJEKSİYA CƏRƏYANLARI

A.İ.İSAYEV, S.İ.MEHDİYEVA, S.N.GƏRİBOVA, V.Z.ZEYNALOV, M.M.SEYİDOV

Müəyyən olunmuşdur ki, Al-Se₉₅As₅<EuF₃>–Te strukturunda elektrik yükünün daşınması iki qrup dayaz (E_t, E_{t1}) və dərin (E_{t2}) tələlərin iştirak etdiyi monopolyar injeksiya mexanizmi ilə həcmi yüklərlə məhdudlaşan cərəyanlarla baş verir. Tələlərin konsentrasiyası və aktivləşmə enerjisi təyin olunmuşdur. Göstərilmişdir ki, EuF₃ aşqarları tələlərin, xüsusilədə, Fermi səviyyəsi ətrafında yerləşən dərin tələlərin konsentrasiyasına ciddi təsir edir.

THE INJECTION CURRENTS OF Se₉₅As₅ GLASS-LIKE SEMICONDUCTOR, CONTAINING EuF₃ IMPURITY

A.I.ISAYEV, S.I.MEKHTIYEVA, S.N.GARIBOVA, V.Z.ZEYNALOV, M.M.SEYIDOV

It has been established that transfer of charge carries (holes) in Al-Se₉₅As₅<EuF₃>—Te structure has been carried out by monopolar injection current mechanism limited by space charged with two groups of capture traps-shallow (E_t , E_{t1}) and deep (E_{t2}). It has been defined concentration and energy location of these traps. It has been shown that EuF₃ impurity influence heavily on concentration of capture traps, especially they influence on deep traps has located about Fermi level.

Редактор:Дж.Абдинов

УДК: 537.622.4; 537.9; 54.057; 548.55

ФАЗОВЫЕ СООТНОШЕНИЯ И МАГНЕТОДИЭЛЕКТРИЧЕСКИЕ СВОЙСТВА ФАЗ В СИСТЕМАХ TIGaSe₂ - TICrS₂(Se₂)

Р.Г.ВЕЛИЕВ, МИР-ГАСАН Ю.СЕИДОВ, Э.М.КЕРИМОВА, Р.З.САДЫХОВ, Ф.М.СЕИДОВ, Ю.Г.АСАДОВ, Н.З.ГАСАНОВ

Институт физики НАН Азербайджана AZ 1143, Баку, пр. Г.Джавида, 33 ramizveliyev@gmail.com

поступила: 30.05.2011 принята к печати: 12.09.2011

Ключевые слова: синтез кристаллов, слоистые соединения, сегнетоэлектрики, диэлектрические свойства, ферромагнетики, магнитные свойства.

РЕФЕРАТ

Исследование диэлектрических свойств слоистого соединения TlGaSe₂ выявило, что TlGaSe₂ является $(T_c=114K)$ сегнетоэлектриком c промежуточной $(T_i=117,2K)$. несоизмеримой фазой Магнитные исследования слоистых соединений TlCrS2 и TlCrSe2 обнаружили, что эти соединения ферромагнетиками с T_C^p=115К и 120К, соответственно. В системах TlGaSe₂-TlCrS₂(Se₂) методом дифференциальноопределены термографического анализа области гомогенного И гетерогенного сосуществования сегнетоэлектрического и ферромагнитного упорядочений.

ВВЕДЕНИЕ

Поиск сильноанизотропных (слоистых, цепочечных) сегнетомагнетоактивных соединений и сплавов является актуальной задачей физики твердого тела, так как сильная анизотропия химической связи между атомными комплексами в низкосимметричной кристаллической структуре таких соединений, в некоторых случаях (структура содержит плоскостные или цепочечные построения), предопределяет специфические особенности, благодаря которым эти кристаллы становятся объектами для модельных представлений.

Исторически сложилось так, что полный существующий набор механизмов электрического упорядочения (сегнетоэлектрики, антисегнетоэлектрики, несобственные сегнетоэлектрики, собственные и несобственные сегнетоэлектрики с промежуточной несоизмеримой фазой, сегнетиэлектрики) был спрогнозирован, а затем реализован в конкретных кристаллах, на основе аналогии явления с механизмами магнитного упорядочения в магнетиках.

Такие материалы проявляют магнетоэлектрический эффект, который отличается появлением электрической поляризации при приложении магнитного поля и появлением намагниченности, когда к материалу прилагается электрическое поле [1]. Изучение сосуществования электрического и магнитного упорядочений в сплавах как гомогенных, так и гетерогенных (композиты) приобрело еще большую актуальность в связи с развитием технических возможностей нанотехнологии [2].

В связи с вышеизложенным были исследованы диэлектрические свойства слоистого соединения $TlGaSe_2$ и магнитные свойства слоистых соединений $TlCrS_2$, $TlCrSe_2$. Дифференциально-термографическим анализом (ДТА) были охарактеризованы фазовые соотношения в системах $TlGaSe_2$ - $TlCrS_2$ и $TlGaSe_2$ - $TlCrSe_2$.

ЭКСПЕРИМЕНТАЛЬНАЯ ЧАСТЬ

Составы $TlGaSe_2$, $TlCrS_2$ и $TlCrSe_2$, взвешенные в стехиометрическом соотношении из химических элементов, синтезировались при температуре $\sim 1150 \mathrm{K}$

ФАЗОВЫЕ СООТНОШЕНИЯ И МАГНЕТОДИЭЛЕКТРИЧЕСКИЕ СВОЙСТВА ФАЗ В СИСТЕМАХ $TIGaSe_2$ - $TICrS_2(Se_2)$

в кварцевых ампулах, эвакуированных до остаточного давления $\sim 10^{-3} \Pi a$. Предварительно хром приводили шаровой мельницей в порошкообразное состояние.

Синтез проводился методом наклонной печи в течение 120 часов. Угол наклона печи составлял приблизительно 30 градусов. Продукт реакции тщательно измельчался и синтез повторялся. Затем полученные сплавы приводились в порошкообразное состояние, спрессовывались и в эвакуированных кварцевых ампулах подвергались гомогенизирующему отжигу при температуре ~600К в течение 480 часов.

Рентгенографический анализ образцов TlGaSe₂. TlCrS₂ и TlCrSe₂, специально подготовленных после отжига, был проведен при комнатной температуре (~300К) на дифрактометре ДРОН-3М (CuK_a-излучение, Ni-фильтр, λ =0,15418нм, режим: 35 kB, 10 мA). Угловое разрешение непрерывного сканирования составляло $\sim 0.01^{\circ}$. Углы дифракции были определены по максимуму интенсивности дифракционных отражений. В экспериментах ошибка определения углов отражений не превышала $\Delta\theta = \pm 0.02^{\circ}$. В интервале углов $10^{\circ} \le 2\theta \le 70^{\circ}$ были зафиксированы дифракционные отражения от образцов TlGaSe₂, TlCrS₂ и TlCrSe₂, которые индицируются на основе сингоний с параметрами кристаллической решетки (Таблица 1 и 2): моноклинной (a=1,0771нм, b=1,0769нм, c=1,5638нм, β =100,4°, z=16, ρ_x =6425кг/м³), (a=0,3538нм, c=2,1962нм, $c/a\approx6,207$, z=3, $\rho_x=6705$ кг/м³) и гексагональной (a=0.3707 HM,c=2.2688HM, $c/a\approx6,120$, z=3, $\rho_x=6186\kappa\Gamma/M^3$), гексагональной соответственно.

Таблица 1.Рентгенографические данные для TlGaSe₂.

№ п/п	I/I_0	d _{эксп.} (нм)	d _{расч.} (нм)	hkl
1	20	0,44102	0,44102	122
2	5	0,40277	0,40272	202
3	100	0,38430	0,38421	004
4	20	0,35575	0,35598	221
5	5	0,34005	0,34002	130
6	5	0,32514	0,32560	114
7	20	0,32054	0,32252	222
8	70	0,28992	0,28940	312
9	10	0,26749	0,26695	025
10	60	0,25947	0,25947	034
11	5	0,24001	0,24001	240
12	5	0,21190	0,21110	150
13	5	0,20271	0,20377	117
14	20	0,19311	0,19270	153
15	20	0,19143	0,19204	512
16	5	0,18241	0,18221	154
17	20	0,17096	0,17079	208
18	10	0,16199	0,16204	119

Следует отметить, что наши рентгеновские данные для образца $TlGaSe_2$ хорошо согласуются с кристаллоструктурными исследованиями, выполненными в работе [3]. Элементарная ячейка кристалла $TlGaSe_2$ содержит двумерно периодический слой групп полиэдров Ga_4Se_{10} [3], каждый из которых представляет собой объединение четырех элементарных тетраэдров $GaSe_4$, размещенных по алмазному закону вокруг центрального пустого октаэдра Se_6 . Между полиэдрическими комплексами Ga_4Se_{10} из разных слоев доминирует слабая Вандер-Ваальсовская связь, а химическая связь внутри слоя имеет ионно-ковалентный

Р.Г.ВЕЛИЕВ, МИР-ГАСАН Ю.СЕИДОВ, Э.М.КЕРИМОВА, Р.З.САДЫХОВ, Ф.М.СЕИДОВ, Ю.Г.АСАДОВ, Н.З.ГАСАНОВ

характер. Поэтому во время расслаивания кристалла $TIGaSe_2$ полиэдры Ga_4Se_{10} сохраняются, т.е. элементарная ячейка кристалла $TIGaSe_2$ имеет двухслойно-плоскостное построение из групп полиэдров Ga_4Se_{10} , и в пространственном кристаллоструктурном строении слоистого соединения $TIGaSe_2$, вследствие сильной анизотропии химической связи между атомными комплексами, возможны как сверхструктурные, так и политипные превращения.

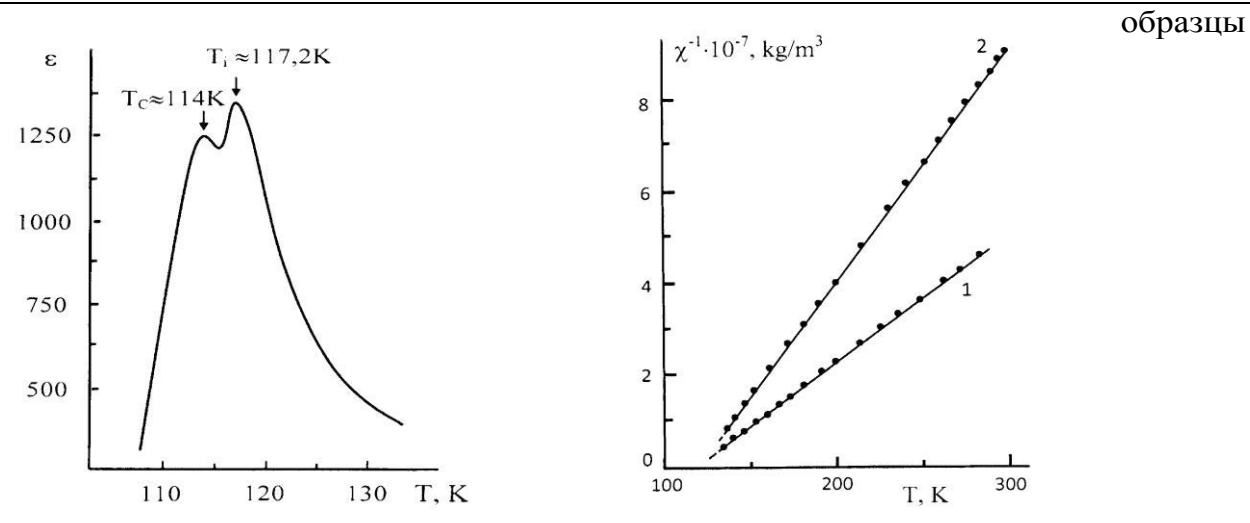
Таблица 2. Рентгенографические данные для TlCrS₂, TlCrSe₂.

TlCrS ₂					TlCrSe ₂				
I/I_0	d _{эксп.} (нм)	d _{расч.} (нм)	hkl	№ п/п	I/I_0	d _{эксп.} (нм)	d _{расч.} (нм)	hkl	
50	0,7314	0,7307	0003	1	50	0,7565	0,7563	0003	
20	0,4388	0,4384	0005	2	10	0,4537	0,4538	0005	
100	0,3662	0,3653	0006	3	80	0,3781	0,3782	0006	
70	0,3065	0,3064	1010	4	40	0,3242	0,3241	0007	
		,	_					_	
40	0,3034	0,3035	1014	6	15	0,2950 0,2837	0,2950 0,2836	1013 0008	
40	0,2513	0,2512	0009	7	20	0,2791	0,2790	1014	
30	0,2443	0,2436	00010	8	50	0,2629	0,2617	1014	
20	0,2201	0,2192	1018	9	100	0,2522	0,2521	0009	
	·		_						
10	0,2043	0,2043	1019	10	20	0,1890	0,1891	00012	
20	0,1913	0,1907	00012	11	50	0,1852	0,1851	00015	
25	0,1440	0,1446	2025	12	20	0,1512	0,1513	2025	

исследования температурной зависимости диэлектрической проницаемости $\varepsilon(T)$ слоистого соединения $TlGaSe_2$ были использованы образцы в форме пластин полярного среза, вырезанные из монокристаллического слитка, который был выращен методом Бриджмена-Стокбаргера. При этом скорость передвижения кристаллизации фронта составляла 2мм/час. Измерения действительной части диэлектрической проницаемости TlGaSe₂ были выполнены с помощью моста переменного тока на частоте 5кГц. Предварительно пластины TIGaSe₂ осторожно полировались, очищались и покрывались серебряной пастой. Размеры электродов были около 5×5мм, межэлектродное расстояние – 1мм.

Для исследования температурной зависимости обратной парамагнитной восприимчивости $\chi^{-1}(T)$ слоистых соединений $TlCrS_2$ и $TlCrSe_2$ были приготовлены





цилиндрической формы с размерами h≈3мм, d≈2,5мм. Измерения осуществлялись с помощью метода Фарадея на магнитоэлектрических весах.

Рис.1.
Температурная зависимость диэлектрической проницаемости $TIGaSe_2$.
Температурные зависимости oбратной парамагнитной восприимчивости $TICrS_2(1)$, $TICrSe_2(2)$.

Как диэлектрические, так и магнитные исследования проводились в температурном интервале 77÷300К в квазистатическом режиме, при этом скорость изменения температуры составляла 0,2К/мин. В процессе измерений образцы находились внутри азотного криостата, где в качестве датчика температуры применялась дифференциальная медь-константановая термопара, спай которой стационарно закреплялся на кристаллодержателе вблизи образца, а опорный спай находился при температуре тающего льда.

Методом ДТА охарактеризовывались фазовые соотношения в системах TlGaSe₂-TlCrSe₂. TlGaSe₂-TlCrS₂ И Исследования были проведены (HTP-64),низкочастотном термографическом регистраторе позволяющем фиксировать температуру фазовых превращений с точностью ±5К. Скорость составляла 2÷4К/мин. Температуру контролировали термопарой, проградуированной по реперным веществам в интервале 430÷1560К.

РЕЗУЛЬТАТЫ И ИХ ОБСУЖДЕНИЕ

Р.Г.ВЕЛИЕВ, МИР-ГАСАН Ю.СЕИДОВ, Э.М.КЕРИМОВА, Р.З.САДЫХОВ, Ф.М.СЕИДОВ, Ю.Г.АСАДОВ, Н.З.ГАСАНОВ

На Рис.1 приведена зависимость $\varepsilon(T)$ слоистого соединения TlGaSe₂, измеренная при атмосферном давлении. Как видно из рисунка, кривая $\varepsilon(T)$ TlGaSe₂ характеризуется аномалиями в виде максимумов, связанных с точками фазовых переходов в несоразмерную фазу при T_i =117,2К и соразмерную сегнетоэлектрическую фазу при T_c =114К. Наличие несоразмерной фазы на кривой $\varepsilon(T)$ показывает, что в этом соединении наряду со сверхструктурными имеют место, по-видимому, и политипные превращения. Зависимость $\varepsilon(T)$ для TlGaSe₂ в параэлектрической и сегнетоэлектрической фазах хорошо аппроксимируется законом Кюри-Вейсса с величиной константы Кюри приблизительно 10^3 К. Отметим, что температурное положение аномалий на кривой $\varepsilon(T)$ и величина константы Кюри TlGaSe₂ хорошо согласуются с результатами, полученными другими авторами [4-8].

На Рис.2 представлена температурная зависимость обратной парамагнитной восприимчивости $\chi^{-1}(T)$ слоистых соединений $TlCrS_2$ и $TlCrSe_2$. Как видно из рисунка, эта зависимость характерна для ферромагнитных материалов. Парамагнитная температура Кюри T_C^p , определенная экстраполяцией зависимости $\chi^{-1}(T)$ на ось температур, равна 115К для $TlCrS_2$ и 120К для $TlCrSe_2$.

Из зависимости $\chi^{-1}(T)$ рассчитан экспериментальный эффективный магнитный момент μ_{eff} , который оказался равным 3,26 μ_B для TlCrS₂ и 3,05 μ_B для TlCrSe₂. Теоретическое значение, рассчитанное с учетом чисто спинового значения магнитного момента иона хрома (Cr³⁺), равно 3,85 μ_B . Достаточно большое отклонение μ_{eff} TlCrSe₂ и TlCrSe₂ от теоретического значения указывает на наличие квазидвумерного магнитного упорядочения в парамагнитной области слоистых ферромагнетиков TlCrSe₂, TlCrSe₂. Низкоразмерность магнитной структуры этих ферромагнетиков отмечается также в работах [9,10].

Для решения поставленной в начале статьи физической задачи необходимо определить области гомогенного и гетерогенного сосуществования сегнетоэлектрика $TIGaSe_2$ с ферромагнетиками $TICrS_2$ и $TICrSe_2$.

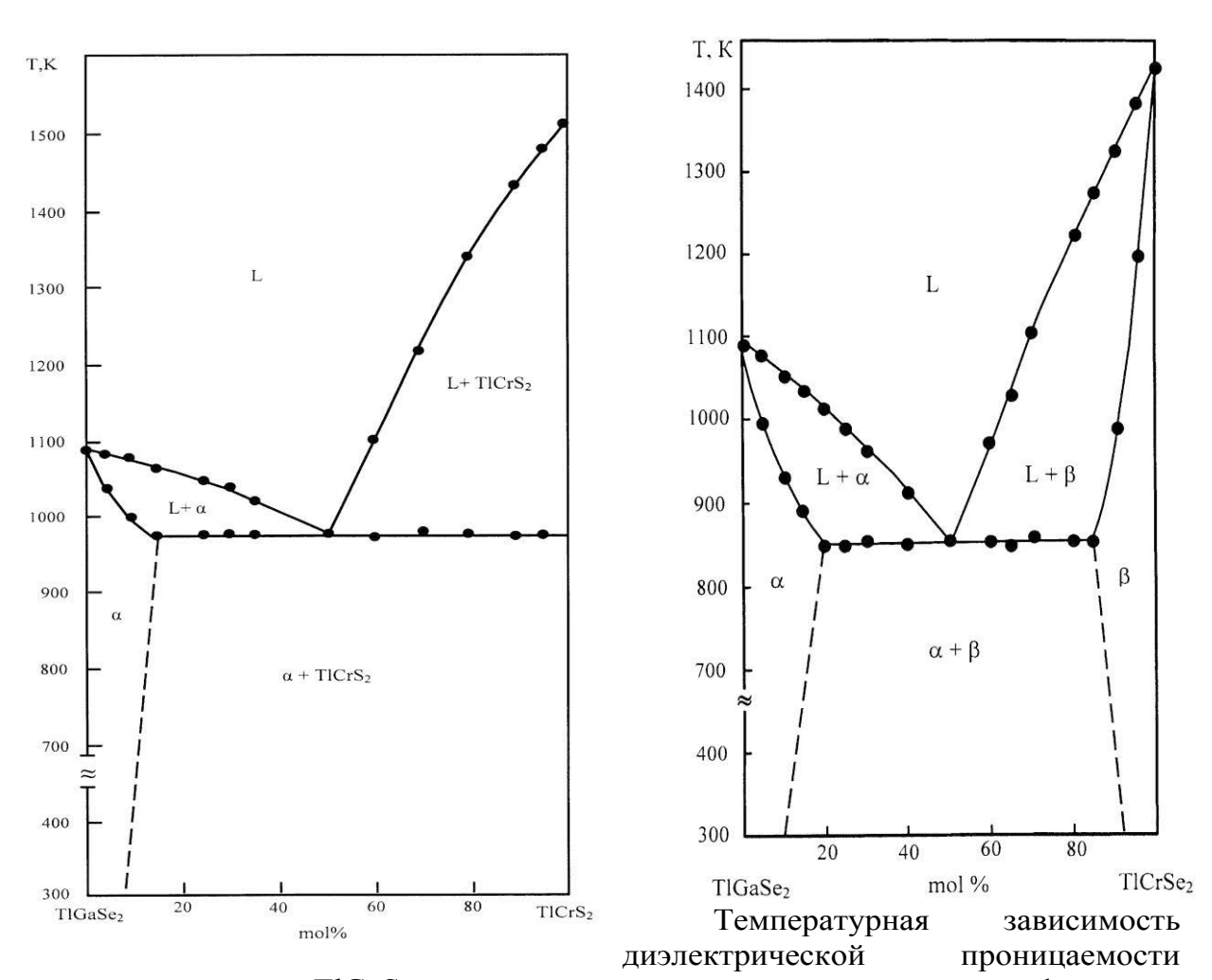
Построенная по результатам ДТА диаграмма состояния системы TlGaSe₂-TlCrS₂ представлена на Рис.3. Эта система является квазибинарной эвтектического твердыми растворами на основе TlGaSe₂ (гомогенная сосуществования сегнетоэлектрического ферромагнитного упорядочений). И доходящими при температуре 300К до 8мол% TlCrS₂. При соотношении компонентов 1:1 образуется эвтектика. Эвтектика плавится при температуре 975К и имеет состав ($TlGaSe_2$)_{0,5}($TlCrS_2$)_{0,5}, т.е. в этом эвтектическом сплаве гетерогенно сосуществуют сегнетоэлектрическое ферромагнитное (композиционно) И упорядочения.

Рис.3. Рис.4. Диаграмма состояния системы $TIGaSe_2$ - $TICrSe_2$. Диаграмма состояния системы $TIGaSe_2$ - $TICrSe_2$.

Диаграмма состояния системы $TlGaSe_2$ - $TlCrSe_2$, также построенная по результатам ДТА, представлена на Puc.4. Эта система является квазибинарной эвтектического типа с ограниченными областями твердых растворов на основе $TlGaSe_2$, доходящими до 10мол% $TlCrSe_2$, и на основе $TlCrSe_2$, до 8мол% $TlGaSe_2$ (гомогенные области сосуществования сегнетоэлектрического и ферромагнитного упорядочений) при 300К. При соотношении компонентов 1:1 образуется эвтектика, которая плавится при температуре 850К и имеет состав ($TlGaSe_2$)_{0,5}($TlCrSe_2$)_{0,5}, т.е. в этом эвтектическом сплаве гетерогенно (композиционно) сосуществуют сегнетоэлектрическое и ферромагнитное упорядочения.

Отметим, что эвтектические сплавы в системах $TlGaSe_2$ - $TlCrS_2$ и $TlGaSe_2$ - $TlCrSe_2$ могут быть базовыми материалами для синергетики.

ЗАКЛЮЧЕНИЕ



слоистого соединения $TIGaSe_2$ имеет две аномалии, которые связаны с фазовыми переходами в несоизмеримую фазу при температуре T_i =117,2K и соразмерную сегнетоэлект-рическую фазу при T_c =114K. В параэлектрической и сегнетоэлектрической фазах $\varepsilon(T)$ $TIGaSe_2$ следует закону Кюри-Вейсса с

Р.Г.ВЕЛИЕВ, МИР-ГАСАН Ю.СЕИДОВ, Э.М.КЕРИМОВА, Р.З.САДЫХОВ, Ф.М.СЕИДОВ, Ю.Г.АСАДОВ, Н.З.ГАСАНОВ

постоянной Кюри порядка 10^3 К. Температурная зависимость обратной парамагнитной восприимчивости слоистых соединений $TlCrS_2$ и $TlCrSe_2$ имеет вид, характерный для ферромагнитных соединений, при этом T_C^p для них равна 115 К и 120 К, соответственно. Достаточно большое отклонение μ_{eff} $TlCrS_2$ и $TlCrSe_2$ от теоретического значения указывает на наличие квазидвумерного магнитного упорядочения в парамагнитной области этих слоистых ферромагнетиков.

Методом ДТА определены области гомогенного и гетерогенного сосуществования сегнетоэлектрического и ферромагнитного упорядочений в системах $TlGaSe_2$ - $TlCrS_2$ и $TlGaSe_2$ - $TlCrSe_2$. Эвтектические сплавы в этих системах могут быть базовыми материалами для синергетики.

- 1. Л.Д.Ландау, Е.М.Лифшиц, Электродинамика сплошных сред, Москва, «Наука», (1982) 620.
- 2. N.Mamedov, K.Wakita, S.Akita, Y.Nakayama, *1D-TlInS*₂: Band Structure, Dielectric Function and Nanorods, Jpn. J. Appl. Phys., **44** (2005) 709-714.
- 3. D.Müller, H.Hahn, Zur Struktur des TlGaSe₂, Z. Anorg. Allg. Chem., **438** (1978) 258-272.
- 4. А.К.Абиев, Н.А.Бахышов, А.Э.Бахышов, М.С.Гаджиев, Поведение петель диэлектрического гистерезиса в области фазовых переходов в TlGaSe₂, Изв. Вузов. Физика, **12** (1989) 84-86.
- 5. H.Hochheimer, E.Gmelin, W.Bauhofer, Study of the Ferroelectric Phase Transition of TlGaSe₂ by Dielectric, Calorimetric, Infrared and X-ray Diffraction Measurements, J. Phys. B: Condens. Matter, **73** (1988) 257-263.
- 6. D.F.Mc.Moorrow, R.A.Cowley, P.D.Hatton, J.Banys, *The Structure of the Paraelectric and Incommensurate Phases of TlGaSe*₂, *J. Phys.: Condens. Matter*, **2** (1990) 3699-3712.
- 7. R.M.Sardarly, O.A.Samedov, I.Sh.Sadykhov, Ferroelectricity and Polytypism in TlGaSe₂ Crystals, Solid State Commun., 77 (1991) 453-455.
- 8. К.Р.Аллахвердиев, Н.Д.Ахмед-заде, Т.Г.Мамедов, Т.С.Мамедов, М.Ю.Сеидов, Особенности поведения слоистых кристаллов TlInS₂ и TlGaSe₂ вблизи фазовых переходов в постоянном электрическом поле, Физ. низк. темпер., **26** (2000) 76-83.
- 9. М.А.Алджанов, А.А.Абдуррагимов, С.Г.Султанова, М.Д.Наджафзаде, *Низкотемпературная теплоемкость TlCrS*₂, *ФTT*, **49** (2007) 309-310.
- 10. M.Aljanov, M.Nadjafzade, Z.Seidov, M.Gasumov, *Heat Capacity and Magnetic Susceptibility of TlCrSe*₂, *Tr. J. of Physics*, **20** (1996) 1071-1073.

TIGaSe₂-TICrS₂(Se₂) SİSTEMLƏRİNDƏ FAZA NİSBƏTLƏRİ VƏ FAZALARIN MAQNETODİELEKTRİK XASSƏLƏRİ

R.G.VƏLİYEV, MİR-HƏSƏN Yu.SEYİDOV, E.M.KƏRİMOVA, R.Z.SADIXOV, F.M.SEYİDOV, YU.G.ƏSƏDOV, N.Z.HƏSƏNOV

TlGaSe $_2$ laylı birləşməsinin dielektrik xassələrinin tədqiqi göstərmişdir ki, bu birləşmə aralıq qeyriölçülü (T $_i$ =117,2K) fazası olan seqnetoelektrikdir (T $_c$ =114K). TlCrS $_2$ və TlCrSe $_2$ laylı birləşmələrinin maqnit tədqiqatları nəticəsində müəyyən edilmişdir ki, bu birləşmələr uyğun olaraq T $_C$ P=115K və 120K olan ferromaqnetiklərdir. TlGaSe $_2$ - TlCrS $_2$ (Se $_2$) sistemlərində DTA metodu ilə seqnetoelektrik və ferromaqnit homogen və heterogen nizamlılığının movcud olması oblastı təyin edilmişdir.

PHASE RELATIONS AND THE MAGNETO-DIELECTRIC PROPERTIES OF PHASES IN THE SYSTEMS OF TIGaSe₂-TICrS₂(Se₂)

R.G.VELIYEV, MIR-GASAN YU.SEYIDOV, E.M.KERIMOVA, R.Z.SADYKHOV, F.M.SEYIDOV, Yu.G.ASADOV, N.Z.GASANOV

ФАЗОВЫЕ СООТНОШЕНИЯ И МАГНЕТОДИЭЛЕКТРИЧЕСКИЕ СВОЙСТВА ФАЗ В СИСТЕМАХ TlGaSe $_2$ - TlCrS $_2$ (Se $_2$)

The investigation of dielectric properties of layered compound $TIGaSe_2$ revealed that it has been ferroelectric (T_c =114K) with intermediate incommensurate phase (T_i =117,2K). The magnetic investigation of layered compounds $TICrS_2$ and $TICrSe_2$ has been discovered that these compounds have been ferromagnets with T_C ^p=115K and 120K, respectivily. By method of DTA the areas of homogenous and heterogeneous coexistence of ferroelectric and ferromagnetic orderings have been determined in the systems of $TIGaSe_2$ - $TICrS_2(Se_2)$.

Редактор: Г.Султанов

УДК 538.945

РАЗМЫТИЕ ФАЗОВЫХ ПЕРЕХОДОВ В СИСТЕМЕ Cd-Ba-Cu-O В.М.АЛИЕВ

Институт Физики НАН Азербайджана AZ 1143, Баку, пр.Г.Джавида, 33 v aliev@bk.ru

	РЕФЕРАТ					
поступила: 12.04.2011	Исследованы электрические свойства систем					
принята к печати: 13.06.2011	Cd-Ba-Cu-O. Показано, что сверхпроводящий					
	переход(СП) в них происходит при 86К; фазовые					
	переходы (ФП) имеют размытый характер.					
	Определены параметры размытия $\Phi\Pi$: T_0 , a , $L_0(T)$					
	и dL_0/dT . Установлено, что в иттриевых ВТСП					
	полное замещение Y на Cd приводит к					
	расширению области ФП и уменьшению					
Ключевые слова: сверхпроводимость,	максимального значения скорости $\Phi\Pi$ (dL ₀ /dT).					
фазовые переходы, степень размытия,	Установлено, что в иттриевых керамиках замена					
скорость фазовых превращений	Y на Cd приводит к смене типа проводимости от					
	дырочного к электронный.					

ВВЕДЕНИЕ

Исследование фазовых переходов (ФП) является одним из актуальных направлений физики твердого тела. Одним из важных вопросов является классификация исследуемого ФП: в какой мере он размыт и что влияет на степень размытия. Для решения этих проблем необходимо определение параметров ФП, позволяющее судить о степени его размытия. Анализ температурных зависимостей электрических свойств ВТСП вблизи и в области ФП показывает, что ФП в них носит размытый характер, обусловленные особенностями сверхпроводников второго рода. Исследование размытия вблизи и в области ФП позволяет выявить механизмы, приводящие к размытию, и судить о качестве исследуемого объекта. Особенно, это относится к новым, видоизмененным материалам ВТСП. Первые исследования размытия ФП в ВТСП выполнены для иттриевых керамик [1,2]. Результаты интерпретированы в рамках теории размытых ФП [3]. Поэтому данная работа посвящена определению параметров размытия ФП в системе Cd-Ba-Cu-O, полученной полной заменой атомов Y на Cd.

ЭКСПЕРИМЕНТ

Извстно, что Y-Ba-Cu-O, несмотря на максимальное число возможных изоморфных замещений, не входит в число систем, где изоморфное гетеровалентное замещение приводит к увеличению температуры перехода T_c . Несмотря на это исследование замещения в классической структуре $YBa_2Cu_3O_{7-\delta}$ остается актуальной проблемой, поскольку оно позволяет сделать определенные выводы о механизме сверхпроводимости и вкладе в сверхпроводимость Y, Ba, Cu-слоев.

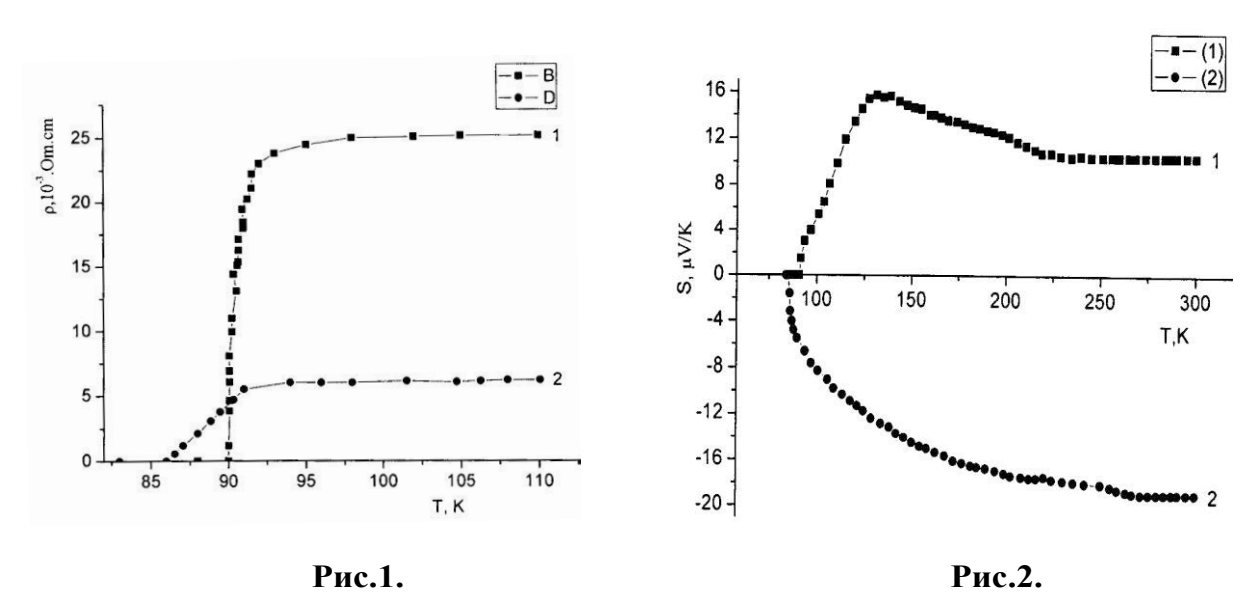
Отметим, что иттрий и кадмий гетеровалентны и близки по ионному радиусу [4] (соответственно 0,093 и 0,099нм), что дало основание для проведения исследований по замещению в Y-Ba-Cu-O иттрия на кадмий.

Новый керамический сверхпроводящий $CdBa_2Cu_3O_{7-\delta}$ получен следующим образом: исходные компоненты (Y_2O_3 , CdO, $BaCO_3$ и CuO) составов $YBa_2Cu_3O_{7-\delta}$ и $CdBa_2Cu_3O_{7-\delta}$ в стехиометрическом соотношении перемешивались, прессовались и

отжигались в платиновом тигле в воздушной среде при 1193К в течение 22 часов. По завершении нагрева полученный материал заново перетирался, прессовался, и выдерживался при этой температуре ещѐ пять часов. Затем температура повышалась до 1273К, и материал выдерживался при этой температуре в течение одного часа. Далее температура понижалась до прежнего уровня, после двухчасовой выдержки материал медленно охлаждался до комнатной температуры. Электрические измерения проводились четырехзондовым методом на постоянном токе. Измерительный ток составляло 2мА. Регистрация температуры проводилась с помощью медь-константановых термопар. Регистрация сигналов с термопар производилась с помощью компаратора напряжений, что делало возможным практически полностью скомпенсировать паразитные э.д.с. до начала измерений. Температурный шаг измерений зависимости $\rho(T)$ составлял $\sim 0,5 \div 1$ К. Измерение термоэдс (S) проведено при перепаде температур $\Delta T = 2 \div 3$ К.

Получение нового сверхпроводящего $CdBa_2Cu_3O_{7-\delta}$ ВТСП материала подтверждено рентгенофазным анализом [5, 6]. Установлено, что при замене Y на Cd в составе $YBa_2Cu_3O_{7-\delta}$ материал сохраняет свои сверхпроводящие свойства. В сверхпроводящем $CdBa_2Cu_3O_{7-\delta}$ материале кристаллическая структура остается неизменной, т.е. идентифицируется в орторомбической ячейке с параметрами =3,82Å, e=3,88Å и c=11,68Å.

На Рис.1 представлены температурные зависимости удельного сопротивление $YBa_2Cu_3O_{7-\delta}$ в сопоставлении с $CdBa_2Cu_3O_{7-\delta}$. Видно, что в иттриевой керамике $\rho(T)$, начиная с 97K, удельное сопротивление уменьшается, при 93K скачком падает и при 90K завершается СП ФП. В кадмиевой керамике в нормальной фазе значение удельного сопротивления в 3,5 раза меньше, но уменьшение ρ начинается с 94K и завершается при 86K.



Температурные зависимости удельного сопротивления образцов: 1- $YBa_2Cu_3O_{7-\delta}$, 2- $CdBa_2Cu_3O_{7-\delta}$.

Температурные зависимости термоэ.д.с.: 1- $YBa_2Cu_3O_{7\text{-}\delta}$, 2- $CdBa_2Cu_3O_{7\text{-}\delta}$.

Из температурных зависимостей термоэдс S(T) в $YBa_2Cu_3O_{7-\delta}$ и $CdBa_2Cu_3O_{7\delta}$, представленых на Puc.2, видно, что для $YBa_2Cu_3O_{7-\delta}$ керамик $C\Pi$ ФП наблюдается при 90K, а для $CdBa_2Cu_3O_{7-\delta}$ — при 86K. С замещением Y на Cd в системе Y-Ba-Cu-O происходит смена знака проводимости с положительного на отрицательный, значение S в нормальной области в двое больше, чем с Y. C понижением температуры, термоэ.д.с. $CdBa_2Cu_3O_{7-\delta}$ уменьшается, а термоэ.д.с. $YBa_2Cu_3O_{7-\delta}$ слегка возрастает. При переходе обоих образцов в $C\Pi$ состояние S резко падает до

нуля. Известно, что в составе ВТСП образцов ионы меди находятся в состоянии Cu^{1+} , Cu^{2+} , Cu^{3+} [7] и установлено, что для возникновения сверхпроводимости необходимая средняя валентность меди должна быть больше (дырочная сверхпроводники) или меньше +2 (электронные сверхпроводники). Это является основной причиной электронной проводимости образца $CdBa_2Cu_3O_{7-\delta}$.

ОБСУЖДЕНИЕ РЕЗУЛЬТАТОВ

Представленные данные о $\rho(T)$ и S(T) указывают на размытый характер сверхпроводимости в области ФП. В работах [8, 9] исследованы вопросы размытия ФП в ВТСП. Показано, что определение параметров ФП способствует выявлению закона перехода нормальной фазы в СП фазу, степень и область его размытия, влияние на него магнитного поля и различного рода дефектов в керамических образцах. Это становится возможным, если по экспериментальным данным определить точную температуру $\Phi\Pi$ (T_0), температурную постоянную $\Phi\Pi$ (a), функцию распределения фаз ($L_0(T)$) и температурную скорость $\Phi\Pi$ (dL_0/dT). Методика определения этих параметров основана на феноменологической теории РФП [3] и подробно описана и апробирована в работах [1,2,8-10]. Однако здесь следует напомнить об основных положениях теории и методики. Теория размытых ФП в конденсированных системах основана на введении функции включения L(T). Предполагается, что если термодинамические потенциалы а и β-фаз обозначить и Φ_{β} , TO общий термодинамический потенциал сосуществования фаз $\Phi(T)$ может быть представлен в виде:

$$\Phi(T) = \Phi_{\alpha}(T) - \Delta \Phi(T) \cdot L(T), \tag{1}$$

где его изменение $\Delta\Phi(T) = \Phi_{\alpha}(T) - \Phi_{\beta}(T)$.

Когда ФП происходит в интервале $\Delta T = T_2 - T_1$ ($T_2 > T_1$), функция включения L должна удовлетворять условиям

$$L(T) = \begin{cases} 0 & T < T_1 \\ 0 < L < 1 & T_1 < T < T_2 \\ 1 & T > T_2 \end{cases}$$
 (2)

Согласно теории РФП, для L(T) в нулевом приближении получено, что

$$L_0(T) = \frac{1}{1 + exp[a_0(T - T_0)]}$$
 (3)

Учитывая, что $L_0(T)$ характеризует относительную долю фаз в области их сосуществования, ее можно представить в простом виде

$$L_0(T) = \frac{m_{\beta}(T)}{m_{\alpha}(T) + m_{\beta}(T)} = \left[1 + \frac{m_{\alpha}(T)}{m_{\beta}(T)}\right] , \qquad (4)$$

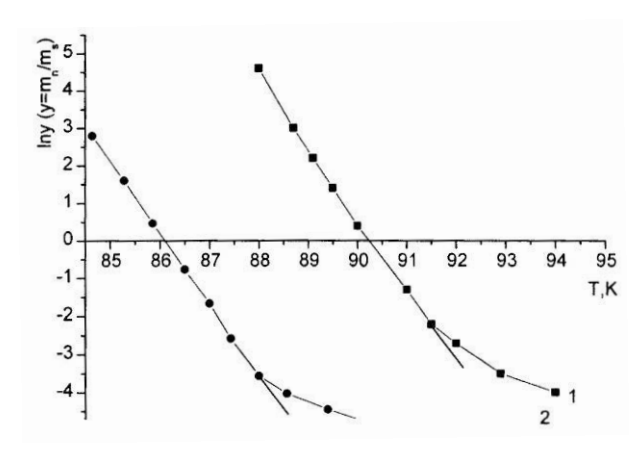
где m_{α} и m_{β} -массы α и β -фаз.

Из совместного решения (3) и (4) получено, что
$$a = (T_0 - T)^{-1}.ln \ m_\alpha / m_\beta. \tag{5}$$

Поскольку a постоянная величина, то множитель $\ln(m_\alpha/m_\beta=y)$ в (5) должен быть линейной функцией температуры. Поэтому из температурной зависимости Іпу определяется температура $\Phi\Pi=T_0$. Наиболее информативной является производная $L_0(T)$ по температуре, выражающая температурную скорость фазовых превращений каждой фазы

$$\frac{\partial L}{\partial T} = -\frac{a}{2} \cdot \frac{1}{1 + ch[a_0(T - T_0)]} \tag{6}$$

В случае сверхпроводников, если за одну фазу принять нормальную фазу (н.ф.), а за другую - сверхпроводящую (с.п.ф.), то предложенный метод можно применить и для ВТСП. Тогда соответствующие массы примут значение $m_{\rm h, \phi}$ и



 $m_{c.н.\varphi}$ и их следует определять по изменениям физических характеристик в области СП ФП. В данном случае они определены из данных $\rho(T)$ и S(T). Из температурной зависимости lny найдена температура ФП (T_0) (точка пересечения прямых с осью абсцисс), а из наклона $\Delta \ln y/\Delta T$ (тангенс угла) температурная постоянная a (Рис.3).

Рис.3.

Температурные зависимости lny(T) для образцов: 1- $YBa_2Cu_3O_{7-\delta}$, 2- $CdBa_2Cu_3O_{7-\delta}$.

Из этого рисунка видно, что в отрицательной области lny имеет место заметное отступление от прямой, которое связано с асимметрией низкотемпературной части кривой $\rho(T)$ в области $\Phi\Pi$. Такая зависимость $\rho(T)$ проявляется при сильном размытии $\Phi\Pi$, вызванном высокой концентрацией дефектов. Эти параметры позволили по формуле (3) вычислить температурную зависимость $L_0(T)$, а по (6) dL_0/dT . Результаты вычислений приведены на Рис. 4 и на Рис. 5, из которых видно, что в иттриевых керамиках при полном замещении Y на Cd степень размытия $\Phi\Pi$ $dL_0/dT=a/4=0,3$ и область размытия $2T^*=4K$ почти в двое возрастает, поскольку в $YBa_2Cu_3O_x$ они равны $dL_0/dT=0,6$ и $2\Delta T^*=2K$.

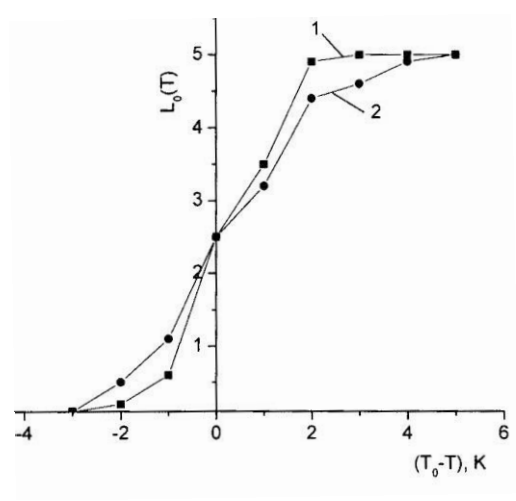


Рис.4.

Температурные зависимости функции включения L(T) для образцов: 1- $YBa_2Cu_3O_{7-\delta}$, 2- $CdBa_2Cu_3O_{7-\delta}$.

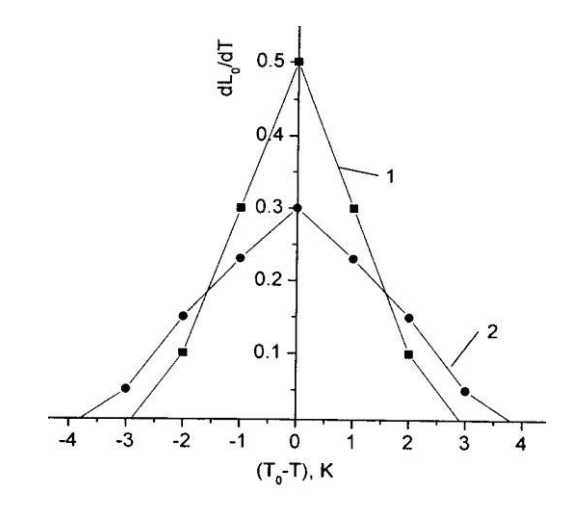


Рис.5.

Температурные зависимости производной функции включения dL/dT для образцов: 1- $YBa_2Cu_3O_{7-\delta}$, 2- $CdBa_2Cu_3O_{7-\delta}$.

Несмотря на это при полном замещении Y на Cd в системе $CdBa_2Cu_3O_{7-\delta}$ происходит изменение в кристаллической структуре. Это приводит к резкому понижение удельного сопротивление $CdBa_2Cu_3O_{7-\delta}$ по сравнению с $YBa_2Cu_3O_{7-\delta}$ (Puc.1).

1. С.А.Алиев, С.С.Рагимов, В.М.Алиев, О размытии фазового перехода в $Bi_2Sr_2CaCu_2O_X$, Transactions of Azerbaijan Academy of Sciences, Series of

РАЗМЫТИЕ ФАЗОВЫХ ПЕРЕХОДОВ В СИСТЕМЕ Cd-Ba-Cu-O

- *Physical-mathematical and Technical sciences, Physics and Astronomy,* **XXI** №2,5 (2001) 67-71.
- 2. S.A.Aliev, S.S.Ragimov, VM.Aliev, The diffuse phase transition in HTSC and the magnetic field influence on it, J.Fizika, 9 №3-4 (2003) 30-34.
- 3. Б.Н.Ролов, Размытые фазовые переходы, Рига, (1972) 311.
- 4. Ə.B.Əliyev, Y.H.Həsənov, S.İ.Sadıgzadə, Ümumi və geyri-üzvi kimya, "Maarif", Baki, (1987) 586.
- 5. В.М.Алиев, С.С.Рагимов, Р.И.Селим-заде, М.И.Абдуллаев, *Transactions of Azerbaijan Academy of Sciences, Series of Physical-mathematical and Technical sciences, Physics and Astronomy*, **XXVII** №5 (2007) 33-35.
- 6. В.М.Алиев, С.А.Алиев, С.С.Рагимов, Г.Дж.Султанов, Б.А.Таиров, Получение сверхпроводящей керамики $CdBa_2Cu_3O_{7-\delta}$ и исследование ее электрофизических свойств, ФНТ, **37** (2011) 351-355.
- 7. В.В. Немошкаленко, В.Х. Касияненко, Л.И. Николаев, П.В.Гель, С.К. Топлыго, А.Е.Морозовский, Валентность ионов меди, бария и празеодима в высокотемпературных сверхпроводящих соединениях системы $Y_{1-x}P_{1-x}Ba_{2}Cu_{3}O_{7-\delta}$, СФХТ, **3** (1990), 1051-1057.
- 8. В.М.Алиев, Размытие фазовых переходов в системе Bi-Sr-Zn-Cu-O *Transactions of Azerbaijan Academy of Sciences, Series of Physical-mathematical and Technical sciences, Physics and Astronomy,* **XXX** №2 (2010) 59-63
- 9. S.A.Aliev, *The phase transition in bismuth HTSC*, *J. Fizika*, №4 (2002) 32-35.
- 10. С.А.Алиев, Размытие фазовых переходов в полупроводниках и высокотемпературных сверхпроводниках, Изд. Элм, Баку, (2007) 286.

Cd-Ba-Cu-O SİSTEMİNDƏ FAZA KEÇİDLƏRİNİN YAYILMASI

V.M.ƏLİYEV

Cd-Ba-Cu-O sisteminin elektrik xassələri tədqiq olunmuşdur. Göstərilmişdir ki, bu sistemlərdə faza keçidi yayılmış şəkildə baş verir. $CdBa_2Cu_3O_{7-\delta}$ ifratkeçirici keramik materialın yayılmış faza keçidinin parametrləri: T_o , a, $L_o(T)$ və dL_o/dT təyin olunmuşdur. Müəyyən edilmişdir ki, ittriy ifratkeçirici sistemində onun Cd elementi ilə əvəz olunması faza keçidi oblastinin genişlənməsinə səbəb olur. Bu əvəzləmə faza keçidinin sürətinin (dL_o/dT) maksimum qiymətini azaldır. Eksperimentlə təsdiq edilmişdir ki, bu əvəzləmə Cd-Ba-Cu-O sistemində keçiriciliyin işarəsinin musbətdən mənfiyə dəyişməsinə səbəb olur.

THE DIFFUSION OF THE PHASE TRANSITION IN THE Cd-Ba-Cu-O SYSTEM

V.M.ALIEV

The electrical properties of the Cd-Ba-Cu-O system have been investigated. It has been shown the superconducting phase transition (PT) in this system took place at T=86K; the phase transitions had the diffusion character. The parameters of diffusion T_0 , a, $L_0(T)$ and dL_0/dT have been obtained. It has been established the full substitute Y by Cd in the Y-based high temperature superconductors has led to increase of PT region and to decrease of maximal value of PT speed (dL_0/dT). It has been established in the Y-based ceramics substitute Y by Cd has led to the change of conduction type from hole on electron.

Редактор: Ю.Асадов

Pacs 543.424.429.2

DYNAMIC LIGHT SCATTERING AND ELECTRON MAGNETIC RESONANCE OF MAGNETIC LIQUIDS BASED ON NANOSIZED IRON OXIDE PARTICLES IN POLYETHYLENE GLYCOL/WATER SOLUTION

E.A.MASIMOV, E.G.ISMAILOV, C.R.FARADZHEV

The Baku State University
AZ 1143, Baku, Z.Halilov st., 23
Institute of petrochemical processes NAS of Azerbaijan
AZ 1025, Baku, Hodjali ave., 30
spektr.masimov@rambler.ru

received: 18.06.2011 accepted: 12.09.2011

Key words: dynamic light scattering, nanosized iron oxide, electron magnetic resonance

ABSTRACT

Dynamic Light Scattering and Electron Magnetic Resonance Spectroscopy techniques were used to characterize the nanosized clusters of iron oxides in aqueous and waterpolyethylene-glycol dispersions. It was shown the formation of PEGylated nanoparticles of iron oxides.

INTRODUCTION

Structural studies of ultra-dispersions of magnetic materials in liquids (ML) are extremely important for understanding of mechanisms of stabilization of the given systems and their effective utilization in various industrial and biomedical applications. ML takes an appreciable place among researches in nanobiotechnology for development of approaches to high-precision management of processes in live systems at subcellular level [1-3]. Considerable progress was outlined to use of ML in biomedicine, first of all for cancer treatment. However, there is a number of the problems interfering with wide clinical use of nanosized particles - possible toxic action of nanoparticles, mechanisms of their deducing from an organism, risks concern the vessels, congestion of magnetic particles within vascular region of target area etc. [4,5]. All these problems demand the further researches in the field of synthesis and working out technologies of preparation of biocompatable nanostructured polymeric compositions, biomedical technologies for the decision of the above-stated problems.

In the present work dynamic light scattering (DLS) and an electron magnetic resonance (EMR) methods are used to control of synthesis process and characterize nanosized magnetic particles of iron oxides in polyethyeleneglycol/water solutions. The results on magnetic liquids with polar bases (ethylene glycol (EG), polyethylene glycol (PEG), pentanole, water) also are presented.

EXPERIMENTAL PART

Nanosized particles of iron oxides are received by chemical sedimentation from a solution of chlorides of iron (II, III). EMR spectra are registered on radio spectro- meter JES-PE-3X, JEOL (Japan) working at frequency 9.3GHz. Values of magnetic-resonance parametres were determined by comparison of experimental and calculated according to [6] EMR spectra. Calculations were executed have shown that the peak width, resonance fields and the form of lines as a whole are well enough adjusted under experimental spectra approximated by representation of the EMR line by a Combinations of Gauss and Lorentz type functions. The sizes of particles formed in solutions and their distribution were investigated by dynamic light scattering with use of LB-550 Analyzer, Horiba, Japan.

RESULTS AND DISCUSSION

The formation of nanosized iron oxide particles from chlorides of iron(II) and iron (III) in water solutions can be described by following equations:

FeCl₂+FeCl₃ +NH₄OH = Fe (OH) ₂+Fe (OH) ₃ +NH₄Cl
Fe (OH) ₂+2Fe (OH) ₃ =
$$\downarrow$$
 FeO ·Fe₂O₃ + 4H₂O

In Fig.1 DLC picture of distribution of particles in the sizes in water/PEG/iron salt solutions at 20° is shown.

The number of iron clusters essentially depend on a ratio iron solt/peg. So, in water-polymer solutions at a ratio iron solt/peg=1:1 three kinds of clusters are registrated at least. These clusters co-exist in dynamic equilibrium and their intensities depend on the temperature of registration. In the given system capture of iron particles by peg molecules leads to formation of pegylated iron oxide particles with the linear sizes from 100 to 600 nanometers (Fig.1).

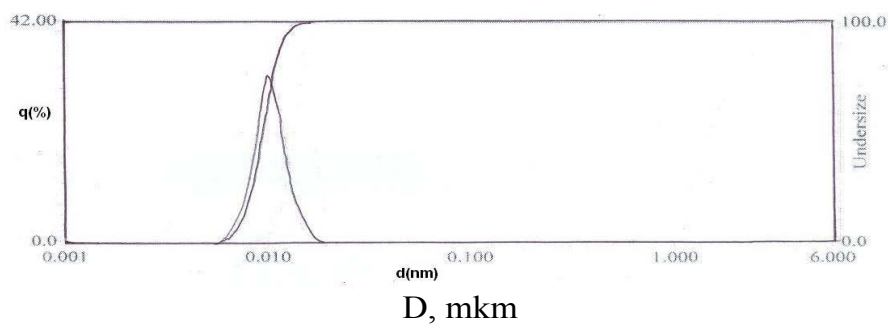


Fig. 1.

Distribution of particles in the sizes in the system $FeCl_2/FeCl_3/NH_4OH/PEG/H_20$ at a ratio (mole to mole) peg: iron salt =1:1

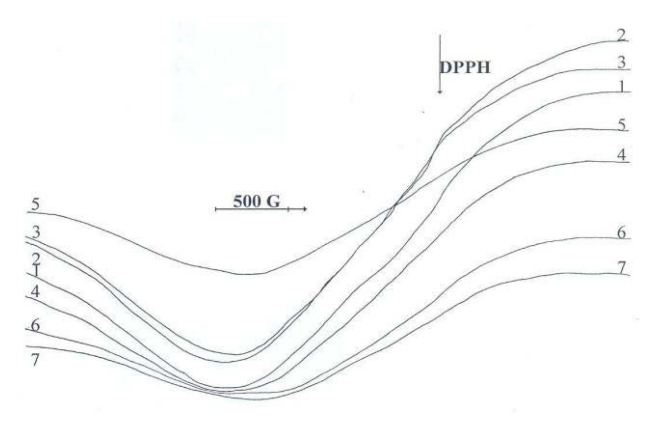
EMR spectra of the system FeCl₂/FeCl₃/NH₄OH/PEG/H₂0 at various ratio peg:iron salt (mole to mole) are presented in Fig.2. Apparently, experimental EMR spectra at room temperature represent asymmetric single lines with the effective g-factor 2.16÷2.31 and width 750÷1350Gs. The sizes of magnetic particles in investigated systems, their complexes with PEG were defined from EMR spectra by a technique described in [4] using own program of calculation. Modelling calculations have been executed for the systems differing in the ways of preparation. The sizes of particles estimated from EMR spectra in various conditions of carrying out of experiments, have made from 3 to 22 nanometers. It is established that at introduction of certain concentration low-molecular PEG in a water solution of iron salts magnetite particles are stabilised in the small sizes. In Fig.3 the position of resonance point as a function of temperature is presented for the polymeric films received from water/peg solutions (0.03÷10wt.% of magnetic particles). There is a sharp change of position of the centre of a signal - i.e. shift to lower fields. The shift reason is formation of linear chains of magnetic iron oxide in a spectrometer magnetic field.

Thus, application of DLS and EMR methods show the formation of pegylated particles of iron oxides in a wide range of sizes (begining from 120nm) and possibility to control of magnetic iron clusters formations of different sizes and distribution in water, water/polymer dispersions. Liquids are stabilized by means of a double layer of various combinations of the surface-active substances providing steric pushing away between magnetic nanoparticles [5]. Various types of the spatial structural organisation of investigated ML on the nanoscale [6,7] are found out.

The structure of highly stable ML based on pentanole is similar to that for ML on not polar organic bases (for example, benzene) with an unary stabilising layer of used surfactant. At the same time, influence of interpartial interaction on dispersion is stronger

E.A.MASIMOV, E.G.ISMAILOV, C.R.FARADZHEV

in such polar ML because of differences in structure of covers. At rise in temperature (to 80^{0} C) it is observed adsorption of a layer of surfactant which is shown in occurrence in ML a small amount large (the size more than 100 nanometers) agglomerates. The interesting fact is that the given effect begins long before a boiling point of pentanole and is shown the more strongly, than less volume fraction of nanoparticles stabilised in ML.



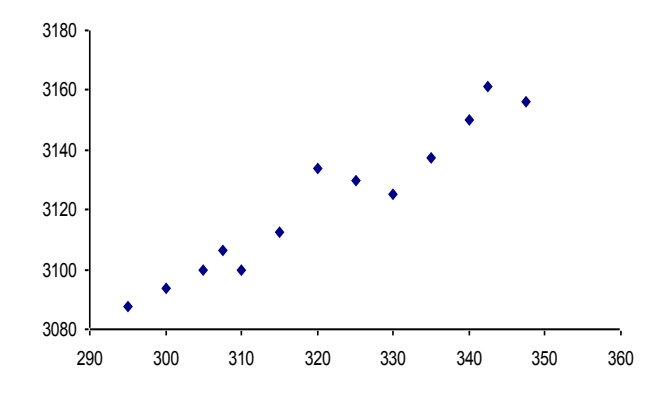


Fig. 2.

EMR spectra at 293K of iron oxides particles in water/peg system, where iron:peg ratio (mole to mole) is: 1 - 1:1; 2 - 1:3; 3 - 1:5; 4 - 1:10; 5 - 1:20; 6 - 1:50; 7 - 1:100.

Fig.3.

Dependence of position of EMR signal of doped with magnetic iron oxide particles PEG film as a function of temperature.

Structure of ML on a basis of polyethylene glycol and water strongly differs from structure of previous class of ML. In them formation of big (particle size more than 100 nanometers) extended or fractal units even for lack of an external magnetic field is fixed. The given fact answers lower stability of these kinds ML. The structure of fractal units in water ML does not depend on concentration of particles, but is sensitive to liquid temperature. The temperature increase (to 80°C) leads to reduction of fractal dimensions of units, reflecting their gradual destruction. At temperature returning to room values return growth of aggregation is observed. Also it is revealed that the given units in water ML consist from small (the size about 10 nanometers) primary associates which are steady against temperature.

- 1. Q.A.Pankhurst, J.Connoly, S.K.Jones, J.Dobson, *Applications of magnetic nanoparticles in biomedicine*, *J. Phys. D. Appl. Phys.*, **36** (2003) 167-181.
- 2. Walther W.Tscharnuter, *Mobility measurements by phase analysis, Applied Optics* **40** (2001) 3995-4003.
- 3. Y.Qiang, J.Antony, A.Sharma, J.Nutting, D.Sikes, D.Meyer, *Iron/iron oxide core-shell nanoclusters for biomedical applications, Journal of Nanoparticle Research*, **8** (2006) 489-496.
- 4. V.S.Kalambur, E.K.Longmire, Cellular Level Loading and heating of superparamagnetic iron oxide nanoparticles, Langmuir, 23 (2007) 12329-12336.
- E.A.Masimov, B.Yu.Zaslavsky, T.O.Bagirov, A.A.Borovskaya, A.A.Gasanov, N.D.Gulaeva, Yu.Levin, Aqueous biphasic systems formed by nonionic polymers. I Effects of inorganic salts on phase separation, Colloid and Polymer Science, 264 №12 (1986) 349-355.
- 6. X-H.Peng et al., Targeted Magnetic Iron Oxide Nanoparticles for Tumor Imaging and Therapy, International Journal of Nanomedicine, 3 (2008) 311-321.
- 7. The structural organisation of a local environment of ions of Cu^{2} in system $Cu(NO_3)_2$ - $3H_2O/H_2O/\Pi \supset \Gamma$, The bulletin of the Baku State University, a series physical and mathematical sciences, Ne2 (1999) 15-29.

NANOÖLÇÜLÜ DƏMIR OKSIDLƏRI VƏ SU, SU-POLIETILEN-QLIKOL ƏSASLİ MAQNIT MAYELƏRDƏ IŞİĞİN DINAMIK SƏPILMİƏSI VƏ ELEKTRON MAQNIT REZONANSI

E.Ə.MƏSIMOV, E.H.İSMAYILOV, Ç.R.FƏRƏCOV

Məqalədə işığın dinamik səpilməsi və elektron maqnit rezonansı metodlarının tətbiqi ilə dəmir oksidləri və su, su-polietilenqlikol əsaslı maqnit xassəli mayelər tədqiq edilmiş və göstərilmişdir ki, sistemdə reaksiya şəraitindən asılı olaraq müxtəlif qalınlıqda örtüyü olan peqləşdirilmiş nano-ölçülü dəmir oksidi zərrəcikləri əmələ gəlir.

ДИНАМИЧЕСКОЕ РАССЕЯНИЕ СВЕТА И ЭЛЕКТРОННЫЙ МАГНИТНЫЙ РЕЗОНАНС МАГНИТНЫХ ЖИДКОСТЕЙ НА ОСНОВЕ НАНОРАЗМЕРНЫХ ЧАСТИЦ ОКСИДОВ ЖЕЛЕЗА В РАСТВОРЕ ПОЛИЭТИЛЕНГЛИКОЛЬ/ВОДА

Э.А.МАСИМОВ, Э.Г.ИСМАИЛОВ, Ч.Р.ФАРАДЖЕВ

Методами динамического рассеяния света и электронного магнитного резонанса охарактеризованы наноразмерные кластеры оксидов железа в водных и вод/полиэтиленгликолевых растворах. Показано образование пегилированных наноразмерных частиц оксидов железа различной толщины оболочки в зависимости от условий проведения реакции.

Редактор: О.Касумов

УДК: 621. 315. 592

ВЛИЯНИЯ ИЗБЫТКА ТЕЛЛУРА И ТЕРМИЧЕСКОЙ ОБРАБОТКИ НА ЭЛЕКТРИЧЕСКИЕ СВОЙСТВА МОНОКРИСТАЛЛОВ ТЕЛЛУРИДА СВИНЦА

Г.З.БАГИЕВА, Г.Д.АБДИНОВА, Н.Б.МУСТАФАЕВ

Институт Физики НАН Азербайджана AZ1143, г.Баку, пр. Г.Джавида, 33 bagieva-gjulandam@rambler.ru

поступила 16.05.2011 принята к печати 30.06.2011

Ключевые слова: монокристалл, термоэлектрический преобразователь, фотоэлектрический, преобразователь, зонная структура, отжиг, антиструктурные дефекты

РЕФЕРАТ

Избыточные атомы Те и отжиг при 473 и 573К существенно влияют на значения и температурных зависимостей характер электропроводности, коэффициентов термоэ.д.с. и Холла, а также на тип проводимости при низких температурах монокристаллов теллурида свинца, что обусловлено акцепторным действием избыточных атомов теллура и образованием антиструктурных дефектов в результате размещения атомов Те при отжиге в вакансиях подрешетки свинца.

Теллурид свинца и твердые растворы на его основе используются для изготовления термоэлектрических и фотоэлектрических преобразователей различного назначения. Особенности электронной зонной структуры и кристаллизации, высокая диэлектрическая проницаемость и т. д. делают эти материалы также интересными объектами для исследования механизмов различных физических явлений в полупроводниках.

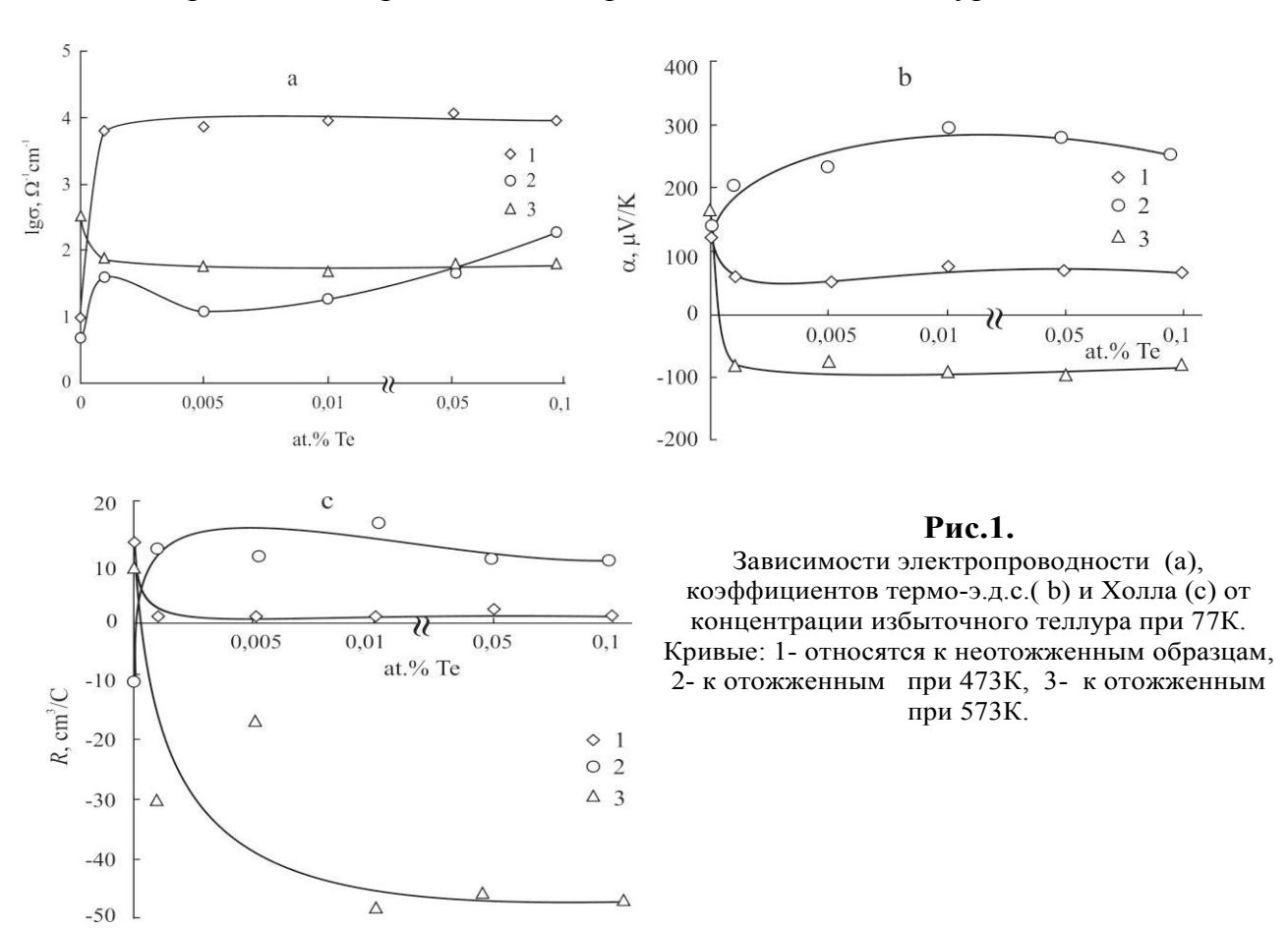
Теллурид свинца кристаллизуется в решетке типа NaCl со значительным отклонением от стехиометрии, что обуславливает наличие порядка $10^{18} \div 10^{19}$ см $^{-3}$ электрически активных собственных дефектов (например, вакансий в подрешетках свинца и теллура). При этом вакансия халькогена (избыток атомов свинца) дает 2 электрона, а вакансия свинца (избыток теллура) - 2 дырки [1,2]. Поэтому концентрация носителей тока в кристаллах РьТе, в первую очередь, будет определяться отклонением состава от стехиометрии, т. е. от избытка того или другого компонента в образце. Распределение и состояние избыточных атомов данного компонента, а также концентрация структурных дефектов должны зависеть также от режима термообработки образца [3]. Поэтому для получения информации о роли структурных дефектов в явлениях переноса носителей заряда в халькогенидах свинца в данной работе выращены и исследованы электрические монокристаллов РьТе, непрошедших термической обработки и предварительно прошедших обработки при температурах 473 и 573К, содержащих избыточный теллур в количестве до 0,1ат%. дополнительно введенный Монокристаллы PbTe с избытками теллура (до 0,1ат.%) были выращены методом Бриджмена. Режимы синтеза и выращивания монокристаллов соответствовали режимам, приведенных в [4], монокристалличность слитков подтверждена рентгеновским методом. Из монокристаллических слитков на электроэрозионной установке вырезались для исследования образцы в виде прямоугольных параллелепипедов геометрическими размерами 3х5х12мм. Удаление нарушенного слоя, образующегося на поверхности образцов при резке,

ВЛИЯНИЯ ИЗБЫТКА ТЕЛЛУРА И ТЕРМИЧЕСКОЙ ОБРАБОТКИ НА ЭЛЕКТРИЧЕСКИЕ СВОЙСТВА МОНОКРИСТАЛЛОВ ТЕЛЛУРИДА СВИНЦА

осуществлялось химическим травлением. Термообработка образцов проводилась в среде спектрально чистого аргона при температурах 473 и 573К в течение 120 часов.

Электрические параметры (электропроводность σ , коэффициенты термоэ.д.с. α и Холла R) измеряли на постоянном токе зондовым методом вдоль длины образца (слитка) в интервале температур $77 \div 300$ K.

Результаты измерений представлены на Рис.1-Рис.4. Видно, что малые избытки теллура сильно влияют на значения σ, α и R при 77К и характер зависимостей электропроводности и коэффициента температурных σ стехиометрического (синтезированный неотожженного образца. Так, неотожженного образца в интервале ~130÷240К с стехиометрической шихты) температурой растет с энергией активации ~0,1эВ, а коэффициент Холла падает. избытком Te сравнению образцов ПО электропроводности стехиометрического образца при 77К в ~600÷1000 раз больше, $\sigma(T)$ для ЭТИХ образцов носит металлический характер. Зависимость электропроводности от концентрации избыточного Te в образцах, т.е. $\sigma(N_{Te})$ хорошо коррелируется с зависимостями $R(N_{Te})$ и $\alpha(N_{Te})$ при 77К. Знаки α и R как стехиометрического образца, так и образцов с избытком теллура положительные.

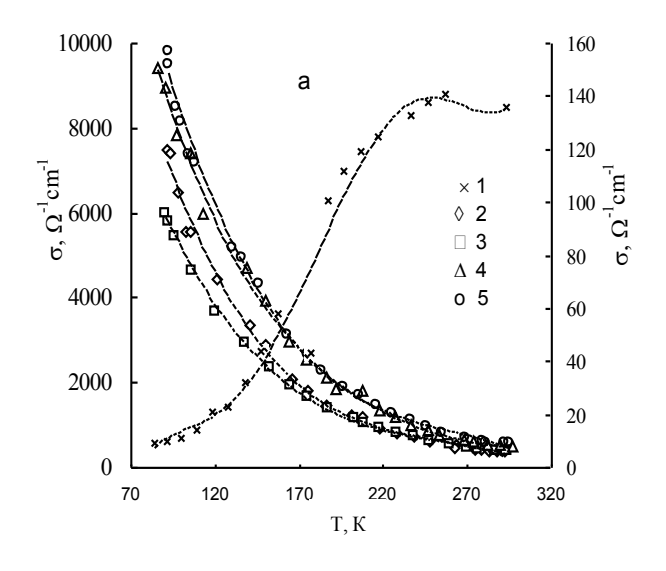


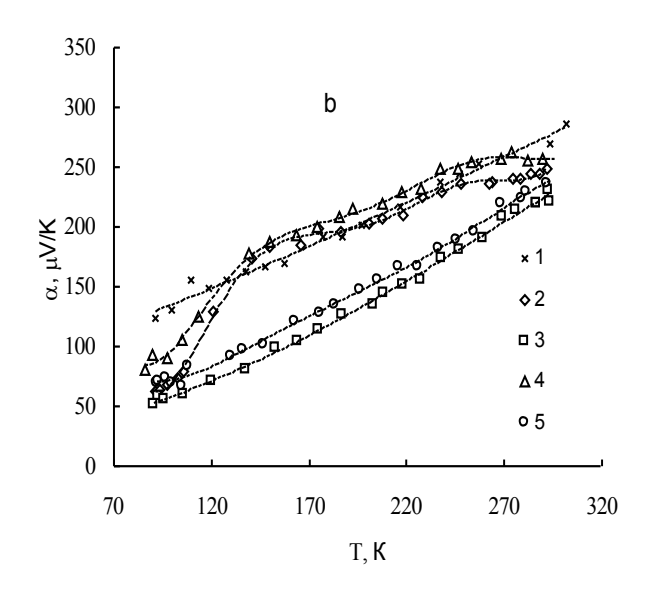
После отжига при 473К в течение 120 часов значения σ при 77К для всех образцов с избытком Те, по сравнению с неотожженными образцами, сильно падают (в ~50÷500 раз), и σ (T) в них при температурах ниже 150÷110К обладают полупроводниковым характером (Рис.3). Для стехиометрического состава температурная область, где наблюдался полупроводниковый характер σ (T), сужается (от ~130÷240К до ~130÷180К). Однако характер зависимости σ от

Г.З.БАГИЕВА, Г.Д.АБДИНОВА, Н.Б.МУСТАФАЕВ

концентрации избыточного теллура сохраняется. Образцы с избытком теллура обладают p-типом проводимости в интервале температур ~77÷300К. При этом отжиг сопровождается ростом значений R и α образцов с избытком теллура.

Холловская концентрация и подвижность дырок при $\sim 130 \mathrm{K}$ в образцах с избытком теллура, отожженных при 473 K, составляют $\sim 3,7\cdot 10^{17} \div 7,4\cdot 10^{17} \mathrm{cm}^{-3}$ и $\sim 1500 \div 7000 \mathrm{cm}^2/\mathrm{B}\cdot \mathrm{c}$ (принимается, что при этой температуре носители тока рассеиваются на колебаниях решетки), соответственно. В случае неотожженных образцов с избытком теллура концентрация и подвижность дырок в этой области температур составляют $\sim 7,2\cdot 10^{18} \div 1,2\cdot 10^{18} \mathrm{cm}^{-3}$ и $1500 \div 3300 \mathrm{cm}^2/\mathrm{B}\cdot \mathrm{c}$ соответственно (концентрация дырок в стехиометрическом неотожженном образце при 77 K равна $\sim 5\cdot 10^{17} \mathrm{cm}^{-3}$).





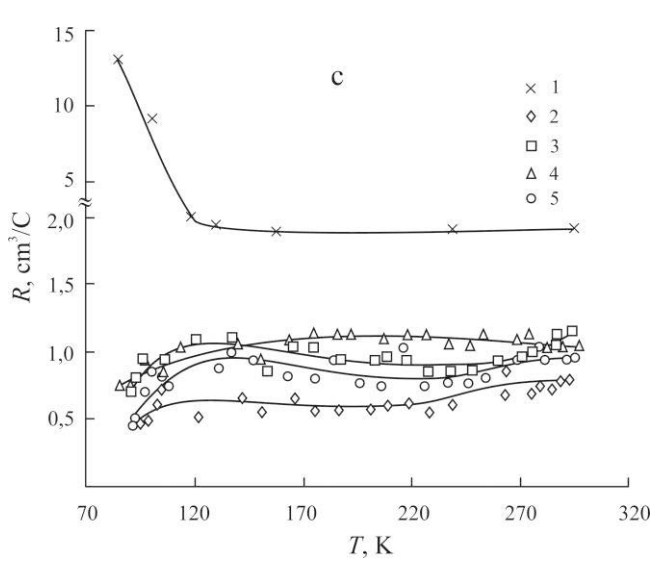
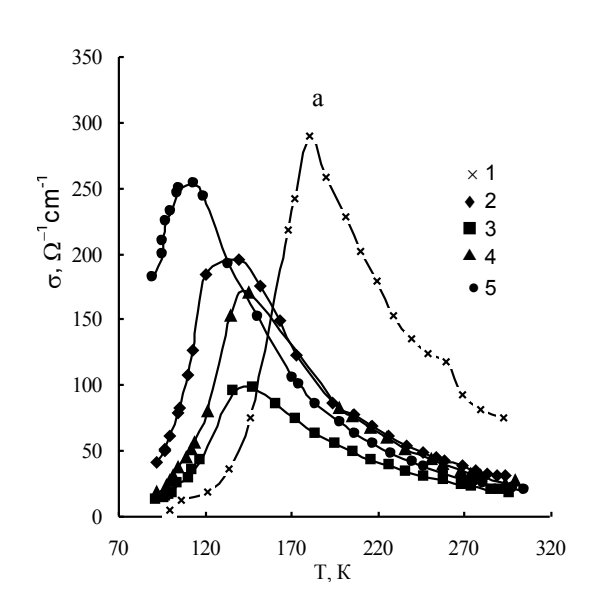


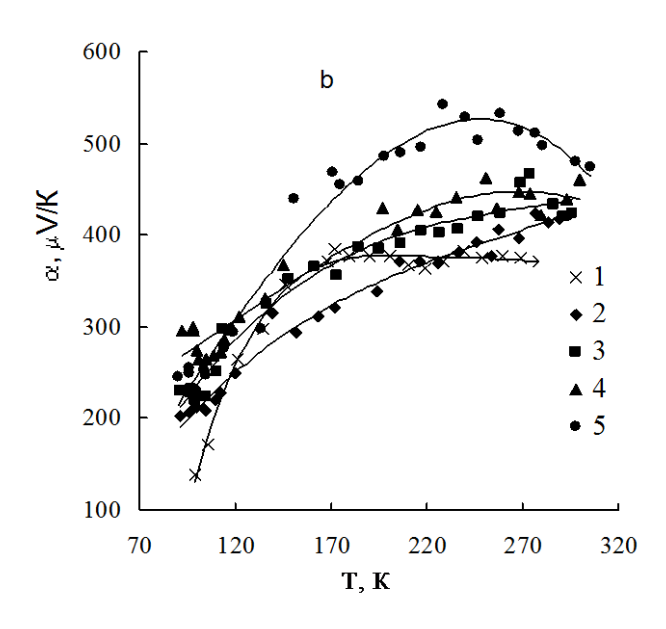
Рис.2.
Неотожженные образцы. Температурные зависимости: а- электропроводности, b-коэффициент термо-э.д.с, с-коэффициент Холла. Концентрация избыточного теллура, ат.%: 1-0; 2-0.001; 3-0.005; 4-0.01; 5-0.1.

Знаки коэффициентов термо-э.д.с. и Холла образцов с избытком теллура, прошедших отжиг при 573 K, при низких температурах отрицательные (Рис.4). С ростом температуры абсолютные значения α и R для этих образцов уменьшаются; при некоторых температурах (для α при ~130÷170 K, а для R при ~170÷220 K) α и R меняют свой знак с отрицательного на положительный, а затем α с температурой растет, а R почти не меняется. Значение коэффициента термо-э.д.с. стехиометрического состава после отжига при 573 K несколько растет по

ВЛИЯНИЯ ИЗБЫТКА ТЕЛЛУРА И ТЕРМИЧЕСКОЙ ОБРАБОТКИ НА ЭЛЕКТРИЧЕСКИЕ СВОЙСТВА МОНОКРИСТАЛЛОВ ТЕЛЛУРИДА СВИНЦА

сравнению с неотожженным образцом и остается положительным (как и R) во всем интервале температур. При температурах ниже $\sim 140 \rm K$ характер $\sigma(T)$ образцов с избытком теллура металлический, в интервале $\sim 140 \div 220 \rm K$ полупроводниковый, а выше $\sim 220 \rm K$ опять металлический. В случае стехиометрического образца полупроводниковый характер $\sigma(T)$ наблюдается только в интервале температур $\sim 77 \div 100 \rm K$.





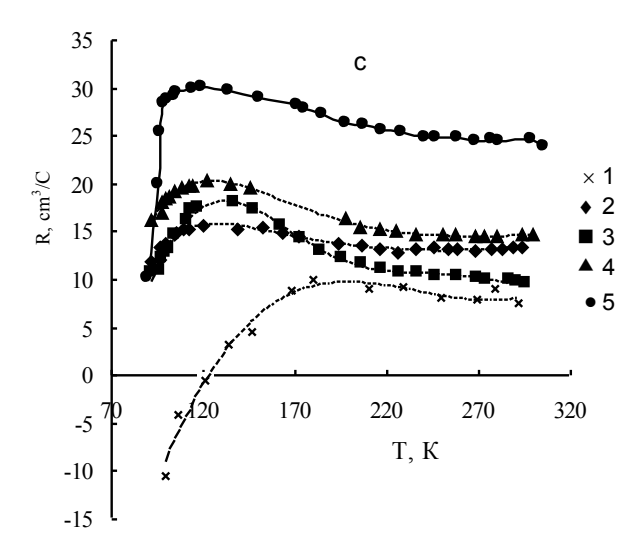
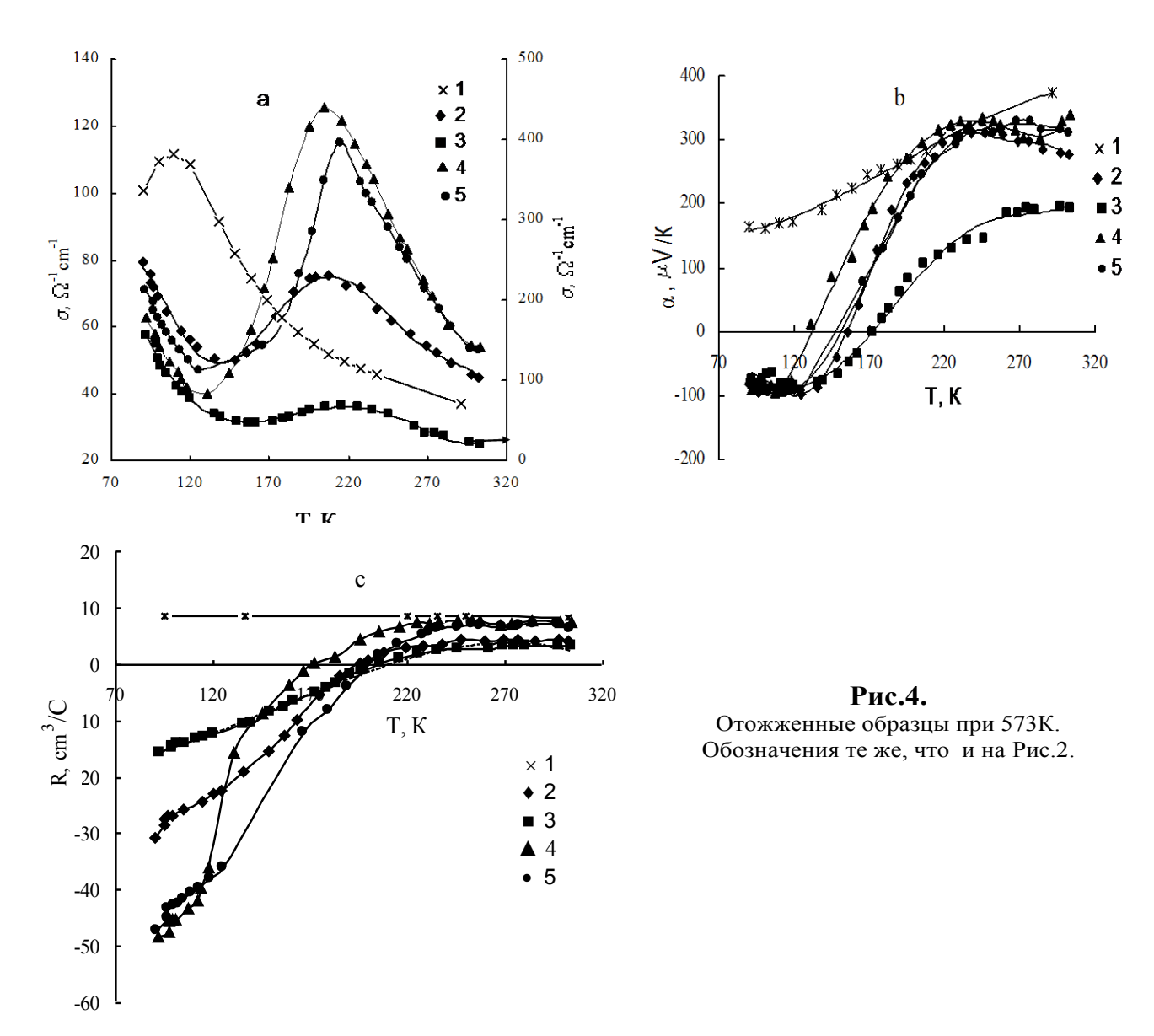


Рис.3. Отожженные образцы при 473К. Обозначения те же, что и на Рис.2.

Согласно [5], полупроводниковый характер $\sigma(T)$ стехиометрического неотожженного образца монокристаллов PbTe в интервале температур ~130÷240К обусловлен существованием в их запрещенной зоне акцепторных уровней с энергией активации ~0,1эВ. В [6,7] на основе результатов исследования по влиянию отжига на электрические свойства монокристаллов РьТе сделано вызванными заключение, что эти уровни связаны дефектами, макронапряжениями и неоднородным распределением атомов сверхстехиометрического теллура вдоль слитка, возникающими в процессе выращивания кристаллов PbTe.

Г.З.БАГИЕВА, Г.Д.АБДИНОВА, Н.Б.МУСТАФАЕВ

Избыточные атомы теллура в неотожженных образцах PbTe, играя роль акцепторов, дают дополнительные дырки в валентной зоне, что приводит к уменьшению коэффициентов Холла и термо-э.д.с. и увеличению концентрации дырок и электропроводности, а также к металлическому характеру $\sigma(T)$ во всем интервале температур (от 77 до 300К).



Особенности фазовой диаграммы PbTe затрудняют приготовление близкой по составу к стехиометрии кристаллов. Введенные избыточные атомы теллура могут располагаться либо в междоузлиях, либо в узлах подрешетки свинца (антиструктурные дефекты), либо в узлах своей решетки, но при одновременном образовании вакансий в подрешетке свинца. В зависимости от расположения избыточных атомов Те будут возникать разные по электроактивности точечные дефекты.

По-видимому, при отжиге образцов с избытком Те при 473К часть избыточных атомов Те, расположенных преимущественно в междоузлиях, диффундируя, располагаются в вакансиях подрешетки свинца, т.е. образуются антиструктурные дефекты (атомные радиусы Те и Рb соответственно равны 1,70 и 1,75Å). Этот процесс приводит к уменьшению концентрации дырок, обусловленных как избыточным теллуром, так и вакансиями в подрешетке свинца.

ВЛИЯНИЯ ИЗБЫТКА ТЕЛЛУРА И ТЕРМИЧЕСКОЙ ОБРАБОТКИ НА ЭЛЕКТРИЧЕСКИЕ СВОЙСТВА МОНОКРИСТАЛЛОВ ТЕЛЛУРИДА СВИНЦА

Поэтому коэффициент Холла и термо-э.д.с. образцов с избытком теллура после отжига при 473К растут, электропроводность уменьшается и на кривых зависимостях $\sigma(T)$ обнаруживаются участки с полупроводниковым характером, связанные с акцепторными центрами с энергией активации ~0,1эВ. Отжигом образцов при 573К диффузия и степень размещении атомов избыточного теллура в вакансиях подрешетки свинца усиливается, вследствие чего концентрация дырок в образцах претерпевает дальнейшее уменьшение, что приводит к превалированию электронной проводимости (т.е. к отрицательному знаку α и R) при ~77К. С ростом температуры за счет ионизации акцепторных центров с энергией активации ~0,1эВ превалирует дырочная проводимость, что приводит инверсии К коэффициентов термо-э.д.с. и Холла.

коэффициента термо-э.д.с. температурой c неотожженных отожженных образцов PbTe стехиометрического состава и составов с избытком теллура объясняется существованием второй валентной зоны (зоны тяжелых дырок) с относительно большой эффективной массой (около 1,2m₀). В PbTe, кроме главного L-экстремума валентной зоны, имеется второй дополнительный максимум в точке Σ [1,8]. Энергетический зазор между краями тяжелых и легких дырок при низких температурах равен ~0,17эВ. С ростом температуры ширина запрещенной зоны уменьшается, $E_g/\Delta T \approx 4.10^{-4}$ эВ/К при T>50K, а зазор между двумя максимумами валентной зоны уменьшается с температурой приблизительно с той же скоростью. Поэтому эффективные массы вблизи L-экстремумов изменяются E_{g} приблизительно пропорционально при вариациях температуры, обуславливает значительную температурную зависимость эффективных масс и, вследствие этого, коэффициента термо-э.д.с.

Вышеприведенные данные свидетельствуют O TOM, дополнительные атомы Те, создавая новые носители тока (дырки), существенно изменяют значения и характер температурных зависимостей электрических соединения. параметров монокристаллов ЭТОГО C отжигом образцов монокристаллов PbTe при различных температурах происходит залечивание структурных деформационных дефектов и процесс некоторого размещения дополнительно введенных атомов теллура в вакансиях подрешетки свинца, что также сопровождается изменением значения и характера температурных зависимостей электрических параметров, а также типа проводимости при низких температурах.

Таким образом, исследования электрических свойств неотожженных и отожженных при 473 и 573К в течение 120 часов образцов монокристаллов РbТе с избытком (до 0,1ат.%) теллура показали, что избыточные атомы Те и термическая обработка существенно влияют на значения и характер температурных зависимостей этих свойств, а также на знак коэффициентов α и R при низких температурах. Предполагается, что это обусловлено акцепторным действием избыточных атомов теллура и образованием антиструктурных дефектов в результате размещения атомов Те в вакансиях подрешетки свинца.

- 1. Ю.И.Равич, Б.А.Ефимова, И.А.Смирнов, *Методы исследования* полупроводников в применении в халькогенидам свинца PbTe, PbSe, PbS Москва, «Наука», (1968) 383.
- 2. С.А.Немов, Ю.И.Равич, Примесь таллия в халькогенидах свинца: методы исследования и особенности, УФН, **168** (1998) 818-842.
- 3. С.С.Горелик, М.Я.Дашевский, *Материаловедение полупроводников и диэлектриков*. Москва, «Металлургия», (1988) 574.

Г.З.БАГИЕВА, Г.Д.АБДИНОВА, Н.Б.МУСТАФАЕВ

- 4. З.Ф.Агаев, Э.М.Аллахвердиев, Г.М.Муртузов, Д.Ш.Абдинов, Выращивание и электрические свойства кристаллов твердых растворов $Pb_{l-x}Mn_xTe$, Неорганические материалы, **39** (2003) 543-545.
- 5. Н.Б.Мустафаев, Г.З.Багиева, Г.А.Ахмедова, З.Ф.Агаев, Д.Ш.Абдинов, Неоднородность электрических свойств монокристаллов PbTe в направлении роста, ФТП, **43** (2009) 149-151.
- 6. Г.А.Ахмедова, Г.З.Багиева, З.Ф.Агаев, Д.Ш.Абдинов, О природе глубоких акцепторных уровней в запрещенной зоне неотоженных образцов монокристаллов РЬТе, ФТП, **43** (2009) 1456-1459.
- 7. Г.А.Ахмедова, Г.Дж.Абдинова, Д.Ш.Абдинов, Влияние отжига на электрические свойства монокристаллов PbTe, легированных таллием, ФТП, **45** (2011) 149-151.
- 8. R.N.Tauber, A.A.Machonis, I.B.Cadoff, *Thermal and optical energy gaps in PbTe, J.Appl.Phys.*, **37** (1966) 4855-4860.

TELLUR ARTIQLIĞININ VƏ TERMİK İŞLƏNMƏNİN QURĞUŞUN TELLURİD MONOKRİSTALLARININ ELEKTRİK XASSƏLƏRİNƏ TƏSİRİ

G.Z.BAĞIYEVA, G.C.ABDİNOVA, N.B.MUSTAFAYEV

Göstərilmişdir ki, artıq Te atomları və 473 və 573K-də aparılan termik işlənmə PbTe monokristallarının elektrik parametrlərinin qiymətinə və temperatur asılılığına, habelə keçiriciliyinin tipinə güclü təsir göstərir. Buna səbəb artıq tellur atomlarının akseptor təsiri və termik işlənmə zamanı artıq tellur atomlarının qurğuşun alt qəfəsindəki vakansiyalarda yerləşərək antistruktur defektlər yaratmasıdır.

INFLUENCE OF TELLURIUM EXCESS AND HEAT TREATMENT ON ELECTRICAL PROPERTIES ON THE LEAD TELLURIDE SINGLE CRYSTALS

G.Z.BAGIYEVA, G.D.ABDINOVA, N.B.MUSTAFAYEV

The excess Te atoms, and annealing at 473 and 573K substantially has effected on the value and nature of the temperature dependence of electrical conductivity, thermo-e.m.f. and Hall coefficients as well as on the type of conductivity at low temperatures of lead telluride single crystals, which is due to the acceptor effect of excess tellurium atoms and the formation of antisite defects as a result of placement of Te atoms during annealing in vacancies of lead sublattice.

Редактор: Г.Аждаров

УДК: 538.935

ЭНЕРГИЯ ФЕРМИ ПОЛУМЕТАЛЛИЧЕСКОГО СПЛАВА Bi_{0.94}Sb_{0.06} B ОБЛАСТИ ТЕМПЕРАТУР 77–300K

Э.Р.ЮЗБАШОВ, Б.А.ТАИРОВ, М.А.АКПЕРОВ

Институт Физики НАН Азербайджана AZ1143, г.Баку, пр. Г.Джавида, 33 eltaj100@yahoo.com

поступила28.03.2011 принята к печати 23.05.2011

Ключевые слова: полуметаллический сплав, энергия Ферми, эллипсоидально-непараболическая модель (ENP), неэллипсоидально-непараболическая модель (NENP)

РЕФЕРАТ

Рассчитана температурная зависимость энергии Ферми электронов для различных моделей дисперсии энергетического спектра электронов в монокристаллах сплава $Bi_{0.94}Sb_{0.06}$ в области температур $77 \div 300$ К.

Изучение физических свойств Bi и его сплавов с сурьмой имеет большое значение как с теоретической, так и экспериментальной и практической сторон. Теоретический интерес вызван тем, что благодаря характерным энергетическим параметрам данных объектов легко можно проследить эволюцию полуметаллического, бесщелевого, полупроводникового состояний, а также различные топологические переходы, как, например, образование гантелеобразной формы, разделение и слияние электронных энергетических квазиэллипсоидов. Экспериментальный интерес вызван тем, что в системе Bi-Sb легко можно создать экспериментальные условия для наблюдения различных квантовых и размерных эффектов. Практический интерес к этим материалам, главным образом, вызван тем, что на их основе можно создать высокоэффективные малогабаритные источники глубокого охлаждения, комбинируя термоэлектрические, магнитотермоэлектрические и гальванотермомагнитные эффекты. В последнее время эти материалы широко исследуются также в тонкопленочных и наноразмерных формах [1-3].

Несмотря на то, что эти материалы изучаюся давно, все еще имеются некоторые вопросы, которые не имеют однозначного и точного ответа. Это, в основном, относится к некоторым параметрам энергетического спектра твердых сплавов Bi-Sb в области промежуточных и высоких температур.

Проблема определения энергии Ферми электронов в Bi и его сплавах с сурьмой при температурах выше 77К довольно сложна вследствие сильной температурной зависимости параметров L-зоны и малой величины энергетического зазора в L точке зоны Бриллюэна. В данной области температур для определения энергии Ферми носителей заряда обычно используют два разных метода: метод плотности носителей заряда (концентрационный) и метод термоэдс. Для Bi эта проблема рассмотрена в работах [4-6]. В отличие от прежних работ [см., например, 7], в вышеуказанных работах для оценки изменения уровня Ферми электронов с температурой были использованы экспериментально определенные [8] температурные зависимости энергетического зазора в L-точке ($\epsilon_{\rm g_L}$) и циклотронные массы электронов.

В данной работе, используя идеи развитые в работах [4,5], при помощи метода плотности носителей заряда рассчитана температурная зависимость энергии Ферми полуметаллического сплава $Bi_{0.94}Sb_{0.06}$ в области температур $77 \div 300 \mathrm{K}$. Для расчета энергии Ферми необходимо знать определенный набор экспериментальных

данных, таких как температурная зависимость концентрации электронов, температурные изменения энергетического зазора (ϵ_{g_L}) и циклотронных эффективных масс электронов.

Данные по температурной зависимости концентрации электронов и дырок в сплаве $Bi_{0.94}Sb_{0.06}$ взяты из нашей статьи [9]. Температурное изменение энергетического зазора в точке L зоны Бриллюэна ($\epsilon_{\rm g_L}$) для данного сплава, а также температурная зависимость циклотронной эффективной массы легких бинарных электронов определялась аппроксимацией данных Векки и др. [10]. Результаты аппроксимации таковы

$$\varepsilon_{gl} = |-3.146 - 1.487 \cdot 10^{-2} \cdot T + 6.229 \cdot 10^{-4} \cdot T^2|$$
 (mev) (1)

$$\frac{m_{Lbn}^c}{m_0} = \left| -2.821 \cdot 10^{-3} + 2.3835 \cdot 10^{-5} \cdot T + 1.1635 \cdot 10^{-7} \cdot T^2 \right|$$
 (2)

Отрицательный знак в формулах (1) и (2) связан с инверсией L_C и L_V зон (в расчетах использованы абсолютные значения ϵ_{g_L} и m_c). Значения величин, определяемых по формулам (1) и (2) в близи T=84К стремятся к нулю, что согласуется с выводами [10].

Для определения компонент тензора эффективных масс электронов на уровне Ферми использовались данные работ [11,12], а для компонент тензора эффективных масс дырок - данные работы [13]. Для нахождения компонент тензора эффективных масс электронов на дне L зоны, в случае эллипсоидальнонепараболической модели (*ENP*) для электронов, применялись следующие нормирующие формулы [14]

$$m_i(0) = \frac{m_i(\varepsilon_F)}{1 + 2\lambda},\tag{3}$$

где i=1,2,3 указывают главные оси энергетического эллипсоида, $m_i(0)$ – компоненты тензора эффективных масс на уровне Ферми, вычисленные на основе эллипсоидально-параболической модели (EP), m_i – те же массы на дне L зоны; $\lambda = \frac{\mathcal{E}_F}{\mathcal{E}_g}$, где \mathcal{E}_F – уровень Ферми электронов, \mathcal{E}_g – энергетический зазор в L - точке

зоны Бриллюэна (Оба значения берутся при гелиевых температурах). А для неэллипсоидально-непараболической модели (*NENP*), использовались следующие формулы [14]

$$m_{1}(0) = \frac{m_{1}(\varepsilon_{F})}{1+2\lambda},$$

$$m_{2}(0) = \left[\frac{\pi}{2}\right]^{2} \frac{r^{2}(1+2r)m_{2}'(\varepsilon_{F})}{(1+\lambda+\lambda r)[K(k)+(r-1)E(k)]},$$

$$m_{3}(0) = \frac{m_{3}(\varepsilon_{F})}{1+2\lambda},$$
(4)

здесь $r = \frac{m_2}{m_2}$, m_2 – компонента тензора эффективной массы на дне L-зоны про-

водимости в направлении вытянутости электронного квазиэллипсоида, m_2' — то же самое, но на потолке валентной зоны в L-точке зоны Бриллюэна: K(k) и E(k) — полные эллиптические интегралы первого и второго родов (в данной работе для простоты, принято, что r =1). Чтобы пользоваться формулами (3) и (4) надо знать значение λ , то есть величину уровня Ферми электронов и величину ε_g при гелиевых температурах. Аппроксимационная формула (3) для $|\varepsilon_{g_1}|$ дает значение ~3.14 mev.

Можно пользоваться значениями ε_{g_L} , найденными из работ Тиховольского и др. [15] ($\varepsilon_{g_L} \approx 6mev$), или же Брандта и др. [16,17] ($\varepsilon_{g_L} \approx 5.8mev$) или Ким и др. [18] ($\varepsilon_{g_L} \approx 5.5mev$). Для значения уровня Ферми имеем $\varepsilon_F \approx 3.1mev$ [17] или $\varepsilon_F \approx 7.5mev$ [19]. Величину уровня Ферми для данного сплава можно определить из данных Акимова и др. [13], что дает величину $\varepsilon_F(EP) \approx 5.9mev$. Для определения $\varepsilon_F(ENP)$ использована формула [20]

$$\varepsilon_F (ENP) = \varepsilon_F (EP) - \frac{\varepsilon_g}{2} + \left[\left(\varepsilon_F (EP) \right)^2 + \frac{\varepsilon_g^2}{4} \right]^{\frac{1}{2}} . \tag{5}$$

Из этой формулы видно, что при изменении ε_g от 0 до ∞ ε_F (*ENP*) изменяется в интервале $\varepsilon_F(EP) \le \varepsilon_F(ENP) \le 2\varepsilon_F(EP)$. В нашем случае получается, что $5.9 \le \varepsilon_F(ENP) \le 11.8 (mev)$.

Разброс в значениях $\varepsilon_{\rm g_L}$ и $\varepsilon_{\rm F}$ для данного сплава связан с большими трудностями точного определения этих параметров для полуметаллических сплавов Bi–Sb из осцилляционных экспериментов [19]. Для компонент тензора эффективных масс дырок на дне T зоны Бриллюэна приняты следующие значения, полученные из циклотронных эффективных масс дырок [13]: $m_1^h = m_2^h = 0.07 m_0$; $m_3^h = 0.63 m_0$.

Для описания температурной зависимости компонент тензора эффективных масс электронов, как и в работе [5], используются два допущения. В расчетах предполагается, что или все три элемента электронной массы имеют одну и ту же температурную зависимость

$$m_i(T) = m_i(0) \cdot f(T), \tag{6}$$

где

$$f(T) = \frac{m_{lbn}^*(T)}{m_{lbn}^*(0)} = \left| 1.0 - 11.98 \cdot 10^{-2} \cdot T + 2.655 \cdot 10^{-4} \cdot T^2 \right| \tag{7}$$

или же допускается, что тяжелая масса m_2 не зависит от температуры, в отличие от m_1 и m_3 .

Уровень Ферми электронов можно определить из следующей формулы

$$N = \frac{2\sqrt{2}}{\pi^2 \hbar^3} \sqrt{m_1 m_2 m_3} \int_0^{\infty} \left(\frac{\partial f_0}{\partial \varepsilon} \right) \varepsilon^{\frac{3}{2}} A_n(\varepsilon) d\varepsilon , \qquad (8)$$

здесь N — полная концентрация электронов, локализованных в трех эллипсоидах в L-точке зоны Бриллюэна, m_1 , m_2 , m_3 — компоненты тензора эффективных масс электронов на дне L зоны, $f_0 = \frac{1}{\frac{\varepsilon_n - \varepsilon_F}{k_0 T} + 1}$ — функция распределения Ферми-Дирака,

 A_n - в зависимости от принятой модели электронного спектра, принимает значение

$$A_{n} = \begin{cases} 1 & EP \\ (1 + \frac{\varepsilon}{\varepsilon_{g}})^{\frac{3}{2}} & ENP \end{cases}$$

$$\left(1 + \frac{1}{5}(r + 5)\frac{\varepsilon}{\varepsilon_{g}}\right) & NENP \end{cases}$$
(9)

Где, в нашем случае, r=1, а $\varepsilon_{\rm g}$ — энергетический зазор в L-точке зоны Бриллюэна. Формулу (8) можно переписать и в другом виде

$$N = \frac{2\sqrt{2}}{\pi^2 \hbar^3} \left(\det m\right)^{1/2} \left(k_0 T\right)^{3/2} \int_0^\infty \left(-\frac{\partial f_0}{\partial x}\right) x_n^{3/2} A_n(x) dx, \qquad (10)$$

где

$$A_{n} = \begin{cases} 1 & EP \\ (1+\beta x)^{\frac{3}{2}} & ENP \\ \left(1+\frac{6}{5}\beta x\right) & NENP \end{cases}, \tag{11}$$

здесь - $\beta = \frac{k_0 T}{\varepsilon_g}$; $x = \frac{\varepsilon}{k_0 T}$; $\eta = \frac{\varepsilon_F}{k_0 T}$.

Используя двухпараметрический

$$I_{n,k}^{m}(\eta,\beta) = \int_{0}^{\infty} \left(-\frac{\partial f_0}{\partial x}\right) \frac{x^{m}(x+\beta x^2)^{n}}{(1+2\beta x)^{k}} dx \tag{12}$$

и однопараметрический

$$F_{n+m}(\eta)=I_{n,k}^m(\eta,0)$$

интегралы Ферми, формулы (10) и (11) можно переписать в удобной для расчета форме

$$N(EP) = CF \cdot (\det m)^{1/2} \cdot T^{3/2} \cdot F_{3/2}(\eta),$$
 (12)

$$N(ENP) = CF \cdot (\det m)^{\frac{1}{2}} \cdot T^{\frac{3}{2}} \cdot I^{0}_{\frac{3}{2},0}(\eta,\beta), \tag{13}$$

$$N(NENP) = CF \cdot (\det m)^{1/2} \cdot T^{3/2} \cdot \left[F_{3/2}(\eta) + \frac{6}{5}\beta \cdot F_{5/2}(\eta) \right]. \tag{14}$$

Сюда же можно добавить формулу, описывающую концентрацию дырок,

$$P = \frac{1}{3} \cdot CF \cdot (\det m_h)^{1/2} \cdot T^{3/2} \cdot F_{3/2}(\eta^h), \tag{15}$$

здесь $CF = \frac{(2k_0)^{3/2}}{\pi^2\hbar^3}$, η^h — приведенный уровень Ферми дырок, определяемый по

формуле
$$\eta^h = \frac{\varepsilon_F^h}{k_o T}$$
.

При проведении расчетов уровня Ферми были использованы два набора данных по температурной зависимости концентрации электронов и дырок в сплаве $Bi_{0.94}Sb_{0.6}$ [9]: без учета вклада легких дырок в L точке зоны Бриллюэна, т.е. N=P, и с учетом вклада легких дырок, т.е. N_L = P_L + P_T , где P_L — концентрация легких дырок, локализованных в L точке зоны Бриллюэна, а P_T — концентрация тяжелых дырок, локализованных в T точке зоны Бриллюэна. График температурных зависимостей концентрации электронов и дырок в этом сплаве покзана на Puc.1.

Результат расчета для первого набора данных (N=P) показан в Таблице 1, а для второго набора данных (N_L = P_L + P_T) - в Таблице 2.

В Таблицах 1 и 2 приняты следующие обозначения:

 $E_F(NP)$ — величина энергии Ферми электронов, вычисленная из формулы (12); $E_F(ENP)$ - величина энергии Ферми электронов, вычисленная из формулы (13), с учетом предположения (6), т.е. $\det m(T) = f(T) \cdot \det m(0)$; $E_F(ENP_I)$ — величина энергии Ферми электрона, вычисленная из (13), с учетом предположения, что m_2 =const, а m_1 и m_3 изменяются с температурой согласно (7); $E_F(NENP)$ — величина энергии Ферми электрона, вычисленная из (14), с учетом предположения

(6); $E_F(NENP_I)$ —величина энергии Ферми электрона, вычисленная из (14), с учетом предположения m_2 =const.

Таблица 1. Температурная зависимость энергии Ферми электронов, вычисленная по различным моделям энертического спектра электронов для первого набора данных (N = P).

T, K	E_F (<i>EP</i>), mev	E_F (<i>ENP</i>), mev	$E_F(ENP_I)$, mev	$E_F(NENP)$, mev	$E_F(NENP_I)$, mev
77	26.74	23.03	7.15	18.8	6.95
90	30.61	20.03	6.67	20.2	7.16
110	39.12	3.69	3.09	12.3	7.12
130	49.04	-0.44	3.70	8.70	7.10
150	59.27	-4.50	3.84	5.45	6.85
170	71.41	-8.35	4.15	2.58	6.87
190	84.67	-12.34	4.38	-0.31	6.87
210	97.93	-16.79	4.22	-3.56	6.58
230	114.98	-20.67	4.82	-6.84	6.33
250	134.25	-24.47	5.64	-8.72	7.71
270	151.56	-29.20	5.58	-11.49	8.25
300	185.19	-35.33	6.81	-15.31	9.63

Таблица 2. Температурная зависимость энергии Ферми электронов, вычисленная по различным моделям энертического спектра электронов для второго набора данных $(N_L=P_L+P_T)$.

T, K	$E_F(EP)$, mev	$E_F(ENP)$, mev	$E_F(ENP_I)$, mev	$E_F(NENP)$, mev	$E_F(NENP_1)$, mev
77	28.34	25.12	9.05	19.9	6.95
90	32.42	20.93	7.39	22.2	9.36
110	41.56	4.58	3.98	14.3	8.55
130	51.61	-0.43	4.61	9.13	9.17
150	62.24	-3.55	4.85	7.05	7.64
170	74.62	-7.38	5.19	3.78	6.12
190	88.07	-11.36	5.43	0.64	6.98
210	101.95	-15.69	5.42	-2.16	7.05
230	119.29	-19.56	6.04	-5.24	7.93
250	138.31	-23.50	6.73	-6.92	8.41
270	157.01	-27.95	6.98	-10.19	9.05
300	190.41	-34.24	8.04	-13.31	11.43

В Таблице 3. приведены значения энергии Ферми дырок, вычисленные из формулы (15).

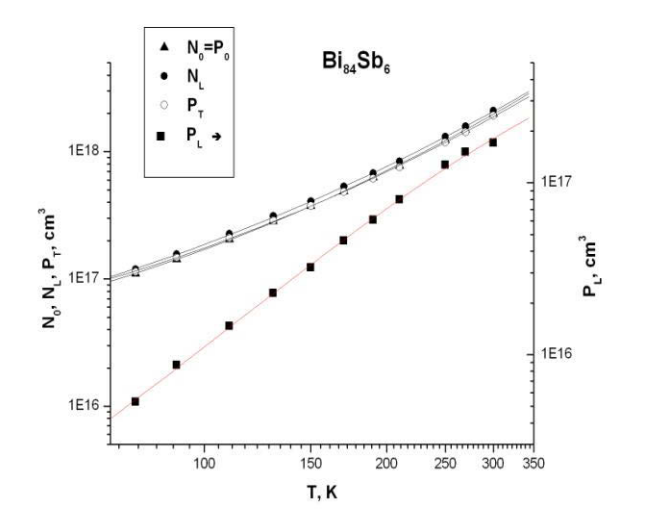
Из сравнения полученных значений энергий Ферми электронов, приведенных в Таблицах 1 и 2, можно сказать, что учет вклада легких дырок приводит лишь к незначительному изменению полученных результатов. Поэтому можно ограничиться рассмотрением одного набора данных. Для наглядности даные Таблицы 1. представлены в графическом виде на Рис.2. Из рисунка видно, что в приведенном интервале температур энергия Ферми электронов, вычисленная по эллипсоидально-параболической модели (EP), имеет монотонно возрастающий характер. Температурные зависимости энергии Ферми электронов, вычисленные по эллипсоидально-непараболической (ENP) и неэллипсоидально-непараболической (NENP) моделям, для случая когда все три элемента электронной массы имеют одну и ту же температурную зависимость (6), имеют схожий вид и с ростом температуры уменьшаются, причем в случае эллипсоидально-непараболической (ENP) модели это уменьшение больше в количественном отношении. Температурные зависимости энергии Ферми электронов, вычисленные по эллипсоидально-

Э.Р.ЮЗБАШОВ, Б.А.ТАИРОВ, М.А.АКПЕРОВ

непараболической (*ENP*) и неэллипсоидально-непараболической (*NENP*) моделям для случая, когда m_2 =const, а m_1 и m_3 изменяются с температурой согласно (7), также имеют схожий вид и с ростом температуры почти не меняются,

Таблица 3.Температурная зависимость энергии Ферми дырок.

T, K	77	90	110	130	150	170	190	210	230	250	270	300
\mathcal{E}_F^h ,mev	-2.071	-2.257	-2.332	-1.966	-1.497	-0.447	0.899	2.227	3.879	7.583	10.682	16.521



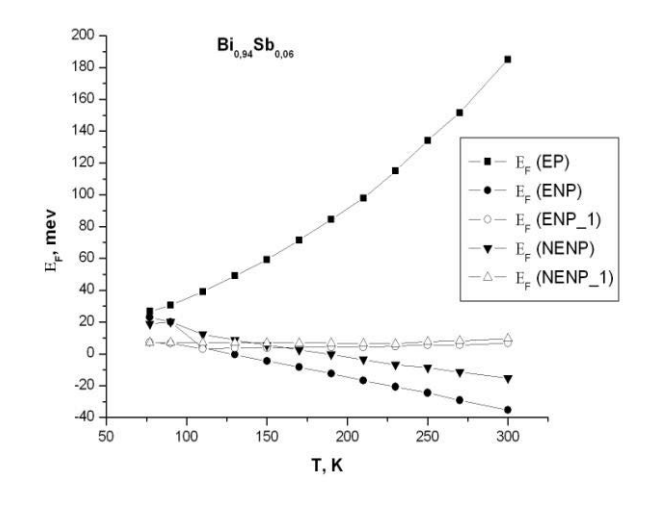


Рис.1.Температурные зависимости концентрации электронов и дырок в твердом растворе Ві_{0.94}Sb_{0.6} в интервале температур 77÷300К [9].

Рис.2. Температурные зависимости энергии Ферми электронов, вычисленные по различным моделям энергетического спектра электронов в твердом растворе $Bi_{0.94}Sb_{0.6}$ в области температур $77 \div 300 K$.

Для проверки правильности использованной в данной работе программы была рассчитана температурная зависимость энергии Ферми электронов и дырок для чистого висмута при тех же исходных данных, что и в работах [5] и [21].

Результаты расчета показали хорошее согласие с результатами работ [5] и [21]. А вопрос, какая модель лучше описывает температурный ход энергии Ферми электронов, требует дальнейших исследований.

- 1. S.Dutta, V.Shubhaa and T.G.Ramesha, *Effect of pressure and temperature on thermopower of Bi–Sb alloys. Physica B: Condensed Matter*, **405** (2010) 1239-1243.
- 2. D.S.Choi, A.A.Balandin, M.S.Leung, G.W.Stupian, N.Presser, S.W.Chung, J.R.He ath, A.Khitun, K.L.Wang, *Transport study of a single bismuth nanowire fabricated by the silver and silicon nanowire shadow masks, Appl. Phys. Lett.* **89** (2006) 1503-1506.
- 3. S.Dutta, V.Shubha, T.G.Ramesh, Florita D'Sa, *Thermal and electronic properties of Bi* $_{1-x}$ Sb $_x$ *alloys, Journal of Alloys and Compounds* **467** No1-2 (2009) 305-309.
- 4. I.F.Mikhail, O.P.Hansen, *The electron Fermi energy of bismuth at high temperatures, J. Phys. C: Solid State Physics*, **14** (1981) L27- L30.
- 5. J.Heremans, O.P.Hansen, *Influence of non-parabolisity on intravalley electron-electron scattering: The case of bismuth, J. Phys. C: Solid State Physics*, **12** (1979) 3483-3496.

- 6. H.Nielsen, *The intervalley scattering in Bi and its influence on the transport properties at intermediate temperatures, J. Phys. F: Metal Physics*, **8** №1 (1978) 141-150.
- 7. B.G.Martin, L.S.Lerner, Band-Edge Calculations for Bismuth and Bismuth-Antimony Alloys, Phys. Rev. B: Solid State, 6 N 8 (1972) 3032-3044.
- 8. M.P. Vecchi, M.S. Dresselhaus, *Temperature dependence of the band parameters*. *Phys. Rev. B: Solid State*, **10** N 2 (1974) 771-774.
- 9. E.Yuzbashov, B.Tairov, *Temperature dependence of the kinetic properties of alloy* Bi_{0.94}Sb_{0.06}, Fizika, **16** №2 (2010) 317-320.
- 10. M.P. Vecchi, E. Mendez, M.S. Dresselhaus, Temperature dependence of the band parameters in Bi and $Bi_{l-x}Sb_x$ alloys, "Physics of Semoconductors", Proceedings of the 13-th Intern. Conf., Rome, (1976) 459-464.
- 11. W.Braune, U.Straubel, N.Kubicki, J.Lebech, K.Saermark, *Relaxation Time and Effective Masses for Charge Carriers in Semimetallic BiSb Alloys versus Alloy Composition*, *Phys. Stat. Sol.* (b), **106** (1981) 587-592.
- 12. W.Braune, G.Kuka, H.J.Gollnest, R.Herrman, *Microwave Spectroscopy in Semimetallic Bismuth-Antimony Alloys, Phys. Stat. Sol. (b)* **89** (1978) 95-101.
- 13. Б.А.Акимов, В.В.Мощалков, С.М.Чудинов, Исследование эффекта Шубникова-Де Гааза в полуметаллических сплавах $Bi_{l-x}Sb_x$, ΦHT 4 (1978) 60-74.
- 14. R.J.Dinger, A.W.Lawson, Cyclotron Resonance and the Cohen Nonellipsoidal Nonparabolic Model for Bismuth, Phys. Rev. B: Solid State, 3 (1971) 253-262.
- 15. E.J.Tichovolsky, J.G.Mavroides, Magnetoreflection studies on the band structure of bismuth-antimony alloys, Solid State Communs., 7 (1969) 927-931.
- 16. Н.Б.Брандт, Х.Диттманн, Я.Г.Понамарев, С.М.Чудинов, Переход полупроводник—"квазиметалл"—полупроводник в сплавах $Bi_{1-x}Sb_x$ под действием давления, Письма в ЖЭТФ, (1970) **11** (1970) 250-253.
- 17. Н.Б.Брандт, С.М.Чудинов, Осцилляционные эффекты в полуметаллических сплавах Bi-Sb под давлением, ЖЭТФ **59** (1970) 1494-1507.
- 18. R.S.Kim, D.S.Kim, S.Narita, $Bi_{1-x}Sb_x$ alloys, Proceedings of III-rd Intern. Conf. on the Phys. of Narrow-gap Semicond., Warszawa, PWN, (1977) 764-768.
- 19. Г.А.Миронова, М.В.Судакова, Я.Г.Понамарев, Закон дисперсии носителей в сплавах $Bi_{l-x}Sb_x$, ΦTT , **22** (1980) 3628-3634.
- 20. L.S.Lerner, K.F.Cuff, L.R.Williams, Energy-band parameters and relative bandedge motions in the Bi-Sb alloy system near the semimetal-semiconductor transition, Reviews of Modern Physics, 40 (1968) 770-775.
- 21. O.P.Hansen, E.Cheruvier, J-P.Michenaud, J.P.Issi, *Diffusion thermoelectric power of bismuth in a magnetic field, J. Phys. C: Solid State Physics*, **11** (1978) 1825-1840.

77–300K TEMPERATUR INTERVALINDA Bi $_{0.94}$ Sb $_{0.06}$ YARIMMETAL XƏLITƏSININ FERMI ENERJISI E.P.YÜZBAŞOV, B.A.TAHIROV, M.A.ƏKBƏROV

Bi_{0.94}Sb_{0.06} monokristallarında 77÷300K temperatur intervalında elektronların müxtəlif energetik dispersiya modelləri çərçivəsində malik olduqları Fermi enerjisinin temperatur asılılığı tədqiq edilmişdir.

FERMI ENERGY OF THE SEMIMETALLIC ALLOY OF Bi_{0.94}Sb_{0.06} IN THE TEMPERATURE RANGE OF 77–300K

E.P.YUZBASHOV, B.A.TAIROV, M.A.AKBEROV

The temperature dependence electrons' Fermi energy has been studied by taking into account of various energetic band models (ENP, NENP) in $Bi_{0.94}Sb_{0.06}$ single in the temperature range of $77 \div 300$ K.

Редактор: Г.Аждаров

УДК 621.315.692

МОРФОЛОГИЯ ПОВЕРХНОСТИ ЭПИТАКСИАЛЬНЫХ ПЛЕНОК $Pb_{1-x}Sn_xSe$ И ФОТОЧУВСТВИТЕЛЬНЫЕ p-n СТРУКТУРЫ НА ИХ ОСНОВЕ

И.Р.НУРИЕВ, А.М.НАЗАРОВ, Н.В.ФАРАДЖЕВ, С.С.ФАРЗАЛИЕВ, Р.М.САДЫГОВ, В.Р.АЛИЕВА

Институт Физики НАН Азербайджана Баку, AZ1143, пр. Г.Джавида, 33 afinnazarov@yahoo.com

поступила: 02.05.2011

принята к печати: 22.06.2011

ключевые слова: эпитаксиальные пленки, фоточувствительность, гомопереходы, вольт-амперная характеристика, электронный микроскоп.

РЕФЕРАТ

На малогабаритном растровом электронном микроскопе (09ИОЭ-100-005) исследована морфология поверхности эпитаксиальных пленок $Pb_{1-x}Sn_xSe$ (x=0.03) толщиной $0.5\div1$ мкм, выращенных на свежесколотых гранях (111) BaF_2 методом конденсации молекулярных пучков в вакууме $10^{-4}\Pi a$. С применением дополнительного компенсирующего источника паров Se в процессе роста получены структурно совершенные пленки с чистой поверхностью свободной от черных скоплений, и на их основе созданы фоточувствительность наблюдается при λ_{max} =7мкм.

ВВЕДЕНИЕ

Эпитаксиальные пленки узкозонных полупроводников $A^{IV}B^{VI}$ и их твердые растворы широко применяются в инфракрасной (ИК) технике. На их основе созданы различные оптоэлектронные приборы [1].

Широко исследованы особенности роста структурно совершенных эпитаксиальных пленок твердых растворов $Pb_{1-x}Sn_xSe$ ($x=0.05\div0.07$), выращенных на различных подложках [2-6], и созданы изопериодические гетероструктуры $Pb_{1-x}Sn_xSe/PbSe_{1-x}S_x$. Получены p-n гомопереходы на основе $Pb_{1-x}Sn_xSe$ (x=0.01).

В настоящей работе рассматривается влияние морфологии поверхности на электрофизические свойства эпитаксиальных пленок $Pb_{1-x}Sn_xSe$ (x=0.03) толщиной 0.5÷1мкм, выращенных на свежесколотых гранях (111) BaF_2 методом конденсации молекулярных пучков в вакууме $10^{-4}\Pi a$, и создание на их основе фоточувствительных p-n структур.

ЭКСПЕРИМЕНТАЛЬНАЯ ЧАСТЬ

Известно, что структура поверхности кристаллов играет важную роль при изготовлении приборов [7], поэтому исследование морфологии поверхности в корреляции с электрофизическими и фотоэлектрическими свойствами кристаллов представляет научный и практический интерес. С применением дополнительного



компенсирующего источника паров Se во время роста определены оптимальные условия получения эпитаксиальных пленок $Pb_{1-x}Sn_xSe$ (x=0.03) с высоким кристаллическим совершенством (T_n =623÷673K, υ_κ =6÷8Å/s, T_{Se} =422 K). Электронограмма пленок $Pb_{1-x}Sn_xSe$ (x=0.03), полученных при указанных условиях, представлена на Puc.1.

Рис.1. Электронограмма пленок $Pb_{1-x}Sn_xSe$ (x=0.03).

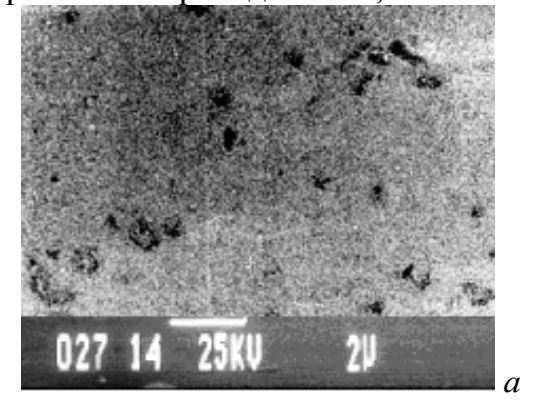
МОРФОЛОГИЯ ПОВЕРХНОСТИ ЭПИТАКСИАЛЬНЫХ ПЛЕНОК $Pb_{1-x}Sn_xSe$ И ФОТОЧУВСТВИТЕЛЬНЫЕ p-n СТРУКТУРЫ НА ИХ ОСНОВЕ

Пленки $Pb_{1-x}Sn_xSe$ на свежесколотых гранях (111) BaF_2 растут плоскостью (111), повторяя ориентацию подложки, и кристаллизуются в гранецентрированной кубической решетке (ГЦК) с a=6.11Å.

Исследование морфологии поверхности пленок проводилось на малогабаритном растровом электронном микроскопе (09ИОЭ-100-005).

Установлено, что на поверхности пленок наблюдаются черные скопления, приводящие к получению пленок с малыми значениями подвижности носителей заряда (μ_{77K} =(1.0÷1.5)·10⁴cm²/B·c) (Рис.2,а). С применением дополнительного компенсирующего источника паров Se в процессе роста удалось получить структурно совершенные пленки Pb_{1-x}Sn_xSe с чистой гладкой поверхностью свободной от черных скоплений (Рис.2,б), необходимым химическим составом, птипом проводимости и высокими электрофизическими параметрами (μ_{77K} =(2.0÷2.5)·10⁴cm²/B·c).

При температуре компенсирующего источника $T_{\text{к.ист.}}$ =422К происходит инверсия типа проводимости, и пленки приобретают р-тип проводимости.



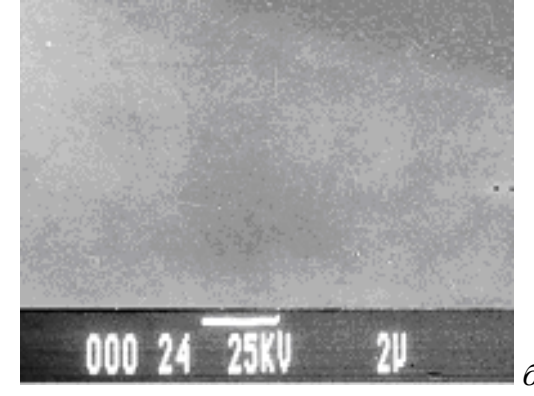


Рис.2.

Электронномикроскопические снимки поверхности эпитаксиальных пленок $Pb_{1-x}Sn_xSe$ (x=0.03): a) без дополнительного источника паров Se, δ) с дополнительным источником паров Se.

Таким образом, пленки, полученные без компенсации дополнительным источником Se обладали n-типом проводимости. Компенсация этих пленок дополнительным источником паров селена во время роста приводит к образованию пленок p-типом проводимости.

На основе полученных пленок $Pb_{1-x}Sn_xSe$ согласно разработанной технологии [8] в едином технологическом цикле, не нарушая вакуума, получены p-n гомопереходы.

Обычно создание р-п переходов затрудняется образованием различного рода поверхностных состояний, которые резко снижают параметры изготовленных на их основе приборов. Изготовление активных элементов в едином технологическом цикле **у**меньшает плотности поверхностных дефектов. Учитывая обстоятельство, вышеуказанные р-п гомоструктуры были созданы в едином технологическом цикле, без нарушения вакуума, в виде пересекающихся полос. После осаждения первой системы полос $n-Pb_{1-x}Sn_xSe$ (x=0.03) заслонка закрывалась и через определенное время, необходимое для установления температурного режима и перемещение маски, заслонка повторно открывалась и осаждалась вторая система полос $p-Pb_{1-x}Sn_xSe$ (x=0.03). Большинство полученных по вышеприведенному методу р-п гомопереходов обладали выпрямляющим свойством. Вольтамперная характеристика (ВАХ) одного из этих р-п гомопереходов представлена на Рис.3. При малых смещениях в прямом направлении, ВАХ описывается уравнением $J=J_0\exp(eu/\beta kT)$, где $\beta=1.5\div2.0$, что характерно для генерационно<u>И.Р.НУРИЕВ, А.М.НАЗАРОВ, Н.В.ФАРАДЖЕВ, С.С.ФАРЗАЛИЕВ, Р.М.САДЫГОВ, В.Р.АЛИЕВА</u> рекомбинационного механизма протекания тока через область пространственного

заряда.

J, mA
0,5

0,3

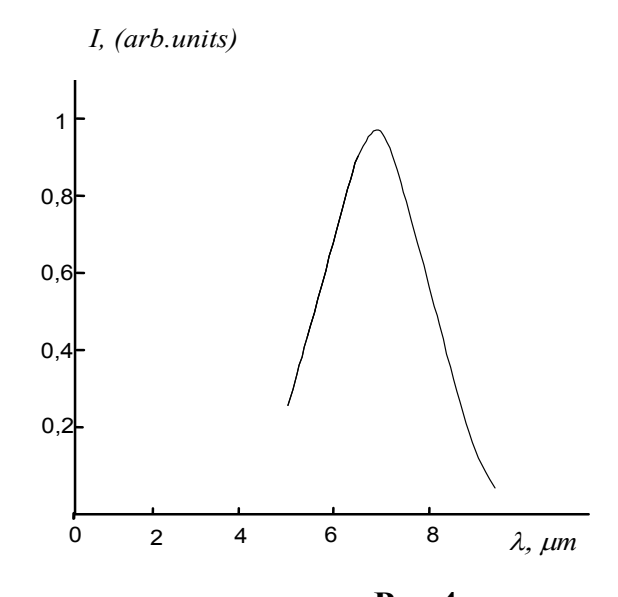
-0,1

0,5

Значение величины $R_oA=5\div6~Om\cdot cm^2$ (R_o -дифференциальное сопротивление при нулевом смещении; A-площадь p-n перехода), характеризующей данного перехода, сравнимо с соответствующей величиной для лучших диодов на основе PbSe, приведенных в литературе. Изготовленные p-n гомопереходы оказались фоточувствительными в ИК-области спектра.

Рис.3. ВАХ p-n гомоперехода в пленках $Pb_{1-x}Sn_xSe$ (x=0.03).

Спектральная характеристика полученного p-n гомоперехода представлена на Puc.4, согласно которой максимальная фоточувствительность наблюдается при $\lambda=7$ мкм.



0.5 U, mV

0.3

Рис.4. Спектральная характеристика p-n гомоперехода в пленках $Pb_{1-x}Sn_xSe$ (x=0.03).

ВЫВОДЫ

С применением дополнительного компенсирующего источника паров селена во время роста получены структурно совершенные пленки $Pb_{1-x}Sn_xSe$ (x=0.03) и на их основе созданы фоточувствительные p-n гомопереходы ($\lambda_{max}=7$ мкм).

- 1. Ф.Ф.Сизов, Твердые растворы халькогенидов свинца и олова и фотоприемники на их основе, Зарубежная электронная техника, **24** (1977) 50.
- 2. Э.Ю.Салаев, И.Р.Нуриев, Х.Д.Джалилова, Н.В.Фараджев, *Особенности* роста и электрофизические свойства эпитаксиальных пленок $Pb_{I-x}Sn_xSe:In$, Прикладная Физика, **3** (1999) 112-115.
- 3. И.Р.Нуриев, Н.В.Фараджев, Х.Д.Джалилова, Фоточувствительные эпитаксиальные слои $Pb_{1-x}Sn_xSe$ легированные индием, Transactions of Azerbaijan Academy of Sciences, Series of Physical-mathematical and Technical sciences, Physics and Astronomy, **XX** №5 (2000) 25-28.

МОРФОЛОГИЯ ПОВЕРХНОСТИ ЭПИТАКСИАЛЬНЫХ ПЛЕНОК $Pb_{1-x}Sn_xSe$ И ФОТОЧУВСТВИТЕЛЬНЫЕ p-n СТРУКТУРЫ НА ИХ ОСНОВЕ

- 4. E.Yu.Salaev, I.R.Nuriyev, Kh.D.Jalilova, N.V.Faradjev, *Optical properties of Pb_{1-x}Sn_xSe:In epitaxial films, Proceeding of SPIE*, **4340** (2000) 213-216.
- 5. I.R.Nuriyev, Kh.D.Jalilova, N.V.Faradjev, A.M.Nazarov, *Isoperiodic hetero-junctions based on Pb_{1-x}Sn_xSe, PbSe_{1-x}S_x epitaxial films, Φизика, 7 №4 (2001) 33-35.*
- 6. И.Р.Нуриев, Н.В.Фараджев, Структура и морфология поверхности эпитаксиальных пленок $Pb_{1-x}Sn_xSe$, Transactions of Azerbaijan Academy of Sciences, Series of Physical-mathematical and Technical sciences, Physics and Astronomy, XXVI №5 (2006) 43-46.
- 7. А.М.Афанасьев, П.А.Александров, Р.М.Имамов, Рентгенодифракционная диагностика субмикронных слоев, М.: Наука, (1989) 151.
- 8. С.А.Семилетов, Е.В.Ракова, Ф.А.Заитов, Н.А.Сулейманов, *Получение* фоточувствительных р—п переходов в пленках РЬТе методом конденсации в вакууме, Микроэлектроника, **13** №3 (1984) 280-281.

$Pb_{1-x}Sn_xSe$ EPİTAKSİAL TƏBƏQƏLƏRİNİN SƏTHİNİN MORFOLOGİYASI VƏ ONLARIN ƏSASINDA FOTOHƏSSAS p-n STRUKTURLAR

H.R.NURİYEV, A.M.NƏZƏROV, N.V.FƏRƏCOV, S.S.FƏRZƏLİYEV, R.M.SADIGOV, V.R.ƏLİYEVA

Kiçik qabaritli rastr elektron mikroskopunda (09ИОЭ-100-005), BaF $_2$ (111) altlıqları üzərində, molekulyar dəstədən kondensasiya metodu ilə böyüdülmüş $0.5\div1~\text{мкм}$ qalınlıqlı $Pb_{1-x}Sn_xSe$ (x=0.03) epitaksial təbəqələrinin səthinin morfologiyası tədqiq olunmuşdur. Böyümə prosesində, əlavə kompensəedici Se mənbəindən istifadə etməklə, təmiz səthə malik mükəmməl quruluşlu təbəqələr alınmış və onların əsasında fotohəssas p-n homokeçidlər yaradılmışdır ($\lambda_{max}=7\text{мкм}$).

SURFACE MORPHOLOGY OF $Pb_{1-x}Sn_xSe$ EPITAXIAL FILMS AND PHOTOSENSITIVE p-n STRUCTURES ON THEIR BASIS

I.R.NURIYEV, A.M.NAZAROV, N.V.FARADJEV, S.S.FARZALIYEV, R.M.SADIGOV, V.R.ALIYEVA

The surface morphology of epitaxial films $Pb_{1-x}Sn_xSe$ (x=0.03) with thickness $0.5 \div 1\mu m$, grown up on newly splited sides of (111) BaF2, by the molecular beam condensation method in $10 \div 4Pa$ vacuum has been investigated on a small-sized raster electronic microscope (09 μ OO-100-005). The structurally perfect films with a pure surface have been received by application of an additional compensating Se vapor source in the course of growth, which have been free from black congestions and on their basis photosensitive p-n homo junctions have been created. Maximum photosensitivity has been observed at λ_{max} =7 μ m.

Редактор:Дж.Абдинов

УДК 621.315.592

ЭЛЕКТРОФИЗИЧЕСКИЕ СВОЙСТВА ОБЛУЧЕННОГО ГАММА КВАНТАМИ ФОСФИДА ИНДИЯ

М.И.АЛИЕВ, Ш.Ш.РАШИДОВА, М.А.ГУСЕЙНЛИ, И.М.АЛИЕВ

Институт Физики НАН Азербайджана AZ 1143, Баку, пр. Г.Джавида, 33 sh.sh.rashidova@gmail.com

поступила 12.12.2011 принята к печати 12.09.2011

Ключевые слова: антиструктурный дефект, монокристалл, гамма кванты, InP

РЕФЕРАТ

Исследованы монокристаллы n-InP $(n_0=5.3\cdot 10^{15})$ до и после облучения гамма квантами 60 Co с дозой 10кГр. в температурном интервале $77\div 320$ К. При облучении гамма квантами в этих кристаллах образуются антиструктурные дефекты акцепторного типа, что благоприятствует получению нелегированного полуизолирующего фосфида индия.

Исследование радиационных дефектов (РД) в соединениях InP и твердых растворах на его основе представляет значительный практический и научный интерес. Изучению этого вопроса к настоящему времени посвящено относительно небольшое число работ. В большинстве исследований отмечается высокая устойчивость этого соединения к воздействию высокоэнергетических частиц. Так, скорость удаления носителей (- $\Delta n/D$) в кристаллах InP n-типа проводимости в случае облучения их электронами при 300К примерно на порядок меньше соответствующей величины для GaAs и GaP и составляет ~ 0.1cm⁻¹ [1,2].

Целью настоящей работы является изучение природы дефектов, созданных под действием гамма квантов и их влияния на электрофизические свойства кристаллов InP.

Облучение кристаллов проводилась на изотопном гамма-излучателе типа MPX- γ -25M дозой $10 \kappa \Gamma p$ при комнатной температуре. Образцы монокристаллов n-InP были получены методом Чохральского с исходной концентрацией n_0 =5,3 \cdot 10 15 cm $^{-3}$.

Проведены измерения электропроводности (σ), эффекта Холла (R_H) до и после облучения в температурном интервале от 80 до 320К.

По данным измерения эффекта Холла наблюдалось уменьшение концентрации носителей заряда (Рис.1) от $n_0=5.3\cdot10^{15} \text{cm}^{-3}$ до $n=4.6\cdot10^{15} \text{cm}^{-3}$ до и после облучения, соответственно.

Как раннее было показано [3], исследование точечных радиационных дефектов, вводимых облучением у-квантами и электронами в кристаллах GaAs, характер изменения подвижности связан с дополнительным рассеянием носителей тока на ионизированных центрах, появляющихся при облучении.

В соединениях A^3B^5 , в которых разность электроотрицательностей компонентов незначительна, появляется возможность нарушения кристаллического порядка за счет образования антиструктурных дефектов (АСД) A_B и B_A . В решетке кристалла A^3B^5 дефект A_B является акцептором, B_A -донором [4].

Уменьшение концентрации носителей заряда в кристаллах InP, повидимому, связано с образованием антиструктурных дефектов A_B (In_P) [5].

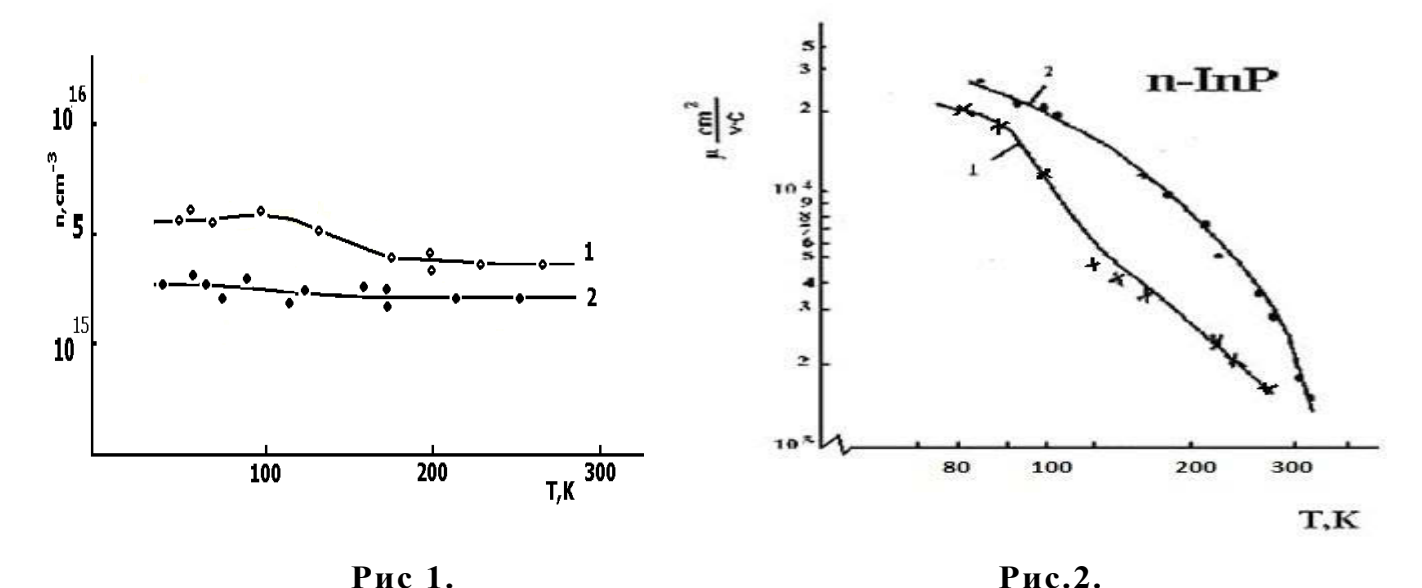


Рис 1. носителей Зависимость Зависимость концентрации заряда от температуры до (кр1.) и после заряда от температуры до (кр1.) и после (кр2.) облучения гамма квантами в (кр2.) облучения гамма квантами ⁶⁰Со. кристаллах InP.

подвижности носителей

На Рис.2. представлена зависимость подвижности от температуры после облучения у-квантами ⁶⁰Co. Как видно из рисунка, подвижность носителей заряда с увеличением температуры падает как до, так и после облучения.

При высокой температуре падение подвижности более резкое, чем соединений A^3B^5 . низкой температуры, что характерно для Подвижность электронов во всем температурном интервале падает. Начиная с азотной температуры до 150К, падение происходит медленно, затем наблюдается резкое падение, как до, так и после облучения.

Как отмечено в работе [4] уровень дефекта $P_{\rm In}{}^0$, расположенный середины запрещенной зоны, может аналогично уровню EL2 в вблизи способствовать арсениде галлия получению нелегированного полуизолирующего фосфида индия.

Полученные результаты свидетельствуют о том, что при облучении гамма квантами в кристаллах InP образуются дефекты акцепторного типа, что благоприятствует получению нелегированного полуизолирующего фосфида индия.

- 1. Я.И.Виклюк, В.Г.Дейбук, С.В.Золотарев, Оптические свойства неупорядоченных объемных и эпитаксиальных полупроводниковых сплавов $Ga_xIn_{1-x}P$, $\Phi T\Pi$, **36** (2002) 925-931
- 2. M.I.Aliyev, M.A.Huseynova, Sh.Sh.Rashidova, I.M.Aliyev, *The Role of radiation* defects on fabrication of Semiisolated materials, TPE-06 3rd International Conference on Technical and Physical Problems in Power Engineering, Ankara, Turkey, May 29-31, (2006) 799-801,
 - S.K.Sutradhar, D.Chattopadhyay, Thermoelectric power of n-GaAS, J. Phys. C. C. Solid State Phys., 12 (1979) 1693-1697.
- 4. P.R. Tapster, P.J. Dean, M.S.J. Shkolnik, Deep levels introduced by electron irradiation of InP, J.Phys.C.Sol.St.Phys., 15 (1982) P1007-1012.

М.И.АЛИЕВ, Ш.Ш.РАШИДОВА, М.А.ГУСЕЙНЛИ, И.М.АЛИЕВ

5. .Ш.Ш.Рашидова, Радиационные дефекты в монокристаллах InP < Sn > облученных гамма квантами ^{60}CO , $И\Phi \mathcal{K}$, 84 (2011) 442-444.

QAMMA KVANTLARLA ŞÜALANMIŞ INDIUM FOSFID KRISTALLARININ ELEKTROFIZIKI XASSƏLƏRI

M.İ.ƏLIYEV, Ş.Ş.RƏŞIDOVA, M.A.HUSEYNLI, İ.M.ƏLIYEV

n-InP ($n_0=5.3\cdot10^{15}$) monokristalları, dozası 10kGr olan 60 CO qamma-kvantlarla şüalanmadan əvvəl və sonra $77\div320$ temperatur intervalında tətqiq edilmişdur.

Müəyyən edilmişdir ki, qamma kvantlarla şüalanma nəticəsində n-İnP kristallarında akseptor tipli In_p antistruktur defektləri yaranır ki, bu da legirə olunmadan yarımizoləedici indium fosfid materiallarının alınmasına imkan verir.

ELECTROPHYSICAL PROPERTIES OF INDIUM PHOSPHIDE IRRADIATED BY GAMMA QUANTA

M.İ.ALIYEV, SH.SH.RASHIDOVA, M.A.QUSEYNLI, İ.M.ALIYEV

n-InP single crystals ($n_0 = 5.3 \cdot 1015$) have been investigated before and after irradiation by gamma rays from 60 Co with the dose of 10kGr in the temperature range 77÷320K.

It has been found that the irradiation of gamma rays in crystals formed antisite defects of the acceptor type, which has been favourable to obtaining undoped semi-insulating indium phosphide.

УДК: 621.315

TƏKDİVARLI YARIMKEÇİRİCİ NANOBORUDA POLYARONUN EFFEKTİV KÜTLƏSİ

O.Z.ƏLƏKBƏROV, S.M.SEYİD-RZAYEVA, S.S.HÜSEYNOVA

Azərbaycan MEA Fizika İnstitutu AZ 1143, Bakı, H.Cavid pr. 33 solma ori@mail.ru

Daxil olub: 16.05.2011 Capa verilib: 13.06.2011

Açar sözlər: polyaron, nanoboru, effektiv kütlə, elektron-fonon qarşılığlı təsiri

REFERAT

yarımkeçirici Təqdim olunan işdə təkdivarlı nanoboruda (NB) zəif əlaqəli optik polyaron məsələsinə baxılmışdır. Ölçüylə görə kvantlanmış səviyyələr arası keçidləri nəzərə almaqla, nanoborunun radiusunun polyaronun radiusuna nisbətinin r_0/r_p ixtiyari qiymətində polyaronun effektiv kütləsi üçün ümumi ifadələr alınmışdır. Altzonalar arası keçidlərin nəzərə alınması nanoborunun radiusu artdıqca polyaronun effektiv kütləsinin artmasına səbəb olur. Aşkar edilmişdir ki, n=0 əsas haldan n= (± 1) ÷ (± 10) altzonalarına keçidləri nəzərə aldıqda, r₀/r_p>1 qiymətlərində polyaronun effektiv kütləsi nəzərə çarpacaq dərəcədə artır. n=1 halından cırlaşmış n=-1 altzonsına keçidin

n=1 halından cırlaşmış n=-1 altzonsına keçidin nəzərə alınması isə n=0 halı ilə müqayisədə, polyaronun effektiv kütləsinin artmasına səbəb olur.

CIRIS

Aşağıölçülü sistemlər fizikasında ən aktual tədqiq obyektlərindən biri nanoborulardır (NB). Hal-hazırda yarımkeçirici NB-nun hazırlanmasına və tədqiqinə çox diqqət verilir. GaS-dən hazırlanmış çoxdivarlı nanoborular üçün sadə metod işlənilmişdir [1]. GaS-dən hazırlanmış nanoboruların diametri 30-150 nm və uzunluğu 10 mkm ölçülərinə malikdir [2]. İnGaAs/GaAs təkdivarlı nanoboruların hazırlanması texnikası [3] işində təsvir edilmişdir.

İkiqat layların özünü döndərmək üsulu ilə alınan NB–ın [3, 4] radius və divarlarının qalınlığı kimi parametrlərin qiymətinə nəzarət etmək mümkündür və onların ölçülərini geniş miqyasda [5,6] dəyişmək olur. Məsələn, diametri 50-200 nm və uzunluğu 130-500 nm həddində dəyişən nanoboruların alınmasının mümkünlüyü [3] işində qeyd olunur. Özünəməxsus fiziki xassələrinə görə qeyri-üzvi fullerenəbənzər NB-lar, laylı metallik xalkoqenidlərdən, A^3B^5 və Ge, Si yarımkeçiricilərindən düzəldilmiş NB-lar [1] müasir bərk cisim cihazlarında geniş tətbiq olunur.

90-cı illərdən başlayaraq aşağıölçülü sistemlər fizikasında NB-ların elektron xassələri intensiv olaraq araşdırılır. Elektron-fonon qarşılıqlı təsiri və ya polyaron effektləri NB-ların elektron dəyişdirə bilir.

Məlumdur ki, ölçüylə məhdudlaşan strukturlarda polyaron effektlərinin qiyməti həcmi nümunələrdəkindən [7] heç də az deyil. Həyəcanlaşma nəzəriyyəsindən istifadə etməklə, ədəbiyyatda təkdivarlı yarımkeçirici NB-da zəif əlaqəli polyaron məsələsinə baxılmışdır [8]. Bu işdə yalnız ölçüylə kvantlanmış ən aşağıda yerləşən zonadaxili keçidləri nəzərə almaqla, polyaronun əlaqə enerjisinin analitik ifadəsi həcmi fonon yaxınlaşmasında alınmışdır.

Polyaronun ən əsas xarakterik parametrlərindən biri onun effektiv kütləsidir. Polyaronun effektiv kütləsi ölçülən kəmiyyətdir. Maqnitofonon və siklotron rezonansı

O.Z.ƏLƏKBƏROV, S.M.SEYİD-RZAYEVA, S.S.HÜSEYNOVA

eksperimentləri polyaronun effektiv kütləsini təyin etməyə imkan verir. Qeyd edək ki, maqnitofonon rezonansı üçün siklotron tezliyi optik fononların tezliyinə uyğundur.

Silindrin r_0 radiusunun ixtiyari qiymətində polyaronun effektiv kütləsinin ümumi şəkildə analitik ifadəsini almaq üçün altzonalar arası keçidləri nəzərə almaq lazımdır. Təqdim olunan işində əsas məqsədi təkdivarlı yarımkeçirici NB–da altzonalar arası keçidləri nəzərə almaqla polyaronun effektiv kütləsinin hesablanmasıdır.

OPTIK POLYARONUN MƏXSUSI ENERJISI

Polyaronun effektiv kütləsinin analıtik ifadəsini almaq üçün elektronun uzununa optik LO-fononlarla qarşılıqlı təsirinin enerjiyə əlavəsini hesablamaq lazımdır. Nəzərdə tutulan məsələni həll etmək üçün r₀ radiuslu ikiölçülü silindrik səthdə yerləşmiş elektron qazından istifadə edilmişdir. Fərz olunur ki, elektron qazındakı elektronlar bir-biriilə qarşılıqlı təsirdə deyil. Kvantlanmış enerji spektri və elektronun normallaşmış dalğa funksiyasını [8] aşağıdakı şəkildə verək:

$$\varepsilon_{nk} = \frac{\hbar^2 k^2}{2m} + \frac{\hbar^2 n^2}{2m r_0^2},\tag{1}$$

$$\psi_{nk}(z,\varphi) = \frac{1}{\sqrt{2\pi L}} e^{i(kz+n\varphi)}, \qquad (2)$$

burada m - elektronun effektiv kütləsi, r_0 - silindrin radiusu, φ və z - silindrik koordinatlar, L- silindrin hündürlüyü, $n=0,\pm 1,\pm 2,...$. ölçüylə kvantlanmış altzonalararın sıra saylarıdır. $\hbar \vec{k}$ kvazi impulsu elektronun silindrin səthində z oxu boyunca hərəkətinə uyğundur. Həcmi LO- fononlarına kontinual yaxınlaşmada baxacağıq. Fərz edək ki, NB polyar həcmi kristalın içinə daxil edilmişdir.

Analoji həndəsi formaya malik ölçüylə məhdudlaşan strukturun oxşar təsvirinə [9] işində təsadüf olunur. Orada nazik lay şəklində olan mikrotubulun suyun içərisində rəqsi hərəkətləri modelləşdirilmişdi.

Adətən həcmi polyar kristalda LO-fononları ilə qarşılıqlı təsir nəticəsində elektronun enerjisi azalır. Belə qarşılıqlı təsirin nanoborunun səthindəki elektronun enerjisinə təsirini müəyyən edək. Bu məqsədlə LO-fononları ilə qarşılıqlı təsirin hesabına elektronun enerjisinin $\Delta E_{n,k}$ dəyişməsini müəyyən edək. Hesablamalar standart həyəcanlaşma nəzəriyyəsi [10] çərçivəsində aparılır. Zəif əlaqə halında, həyəcanlaşma nəzəriyyəsinin ikinci tərtib yaxınlaşmasında elektronun enerjisinə əlavə aşağıdakı şəkildə ifadə olunur:

$$\Delta E_{n,k} = \sum_{n,\bar{d}} \frac{\left| M_{n-n',q} \right|^2}{\varepsilon_{nk} - \varepsilon_{n'k-q} - \hbar \omega_L} , \qquad (3)$$

Burada q_{\perp} , q_z fononların dalğa vektorunun $\vec{q}(q_{\perp},q_z)$ eninə və uzununa proyeksiyalarıdır, ω_L - LO-fononlarının sərhəd tezliyidir. ($-e\sum_{\vec{q}}\Phi_{\vec{q}}$) həyəcanlaşma

enerjisinin matrisa elementi $M_{n-n',\vec{q}}$ elektron-fonon qarşılıqlı təsirinə uyğundur. Silindrik koordinatlarda yazılmış skalyar potensial [8] üçün ifadəni nəzərə alaraq

$$\Phi_{\bar{q}} = i\sqrt{\frac{2\pi\hbar\omega_L}{\in^* V}} \frac{1}{\sqrt{q_\perp^2 + q_z^2}} e^{-i(q_\perp r_0 \cos\varphi + q_z z)} , \qquad (4)$$

(2) dalğa funksiyasından istifadə etməklə φ və z-ə görə inteqrallamadan sonra, $M_{n-n',\vec{q}}$ matris elementi üçün aşağıdakı ifadəni alarıq

$$M_{n-n',\bar{q}} = -\hbar \omega_L \sqrt{\frac{4\pi\alpha r_p}{V}} \frac{i^{(n-n'+1)}}{\sqrt{q_\perp^2 + q_z^2}} J_{n-n'}(q_\perp r_0).$$
 (5)

(4) ifadəsindəki $(\in^*)^{-1} = \in_{\infty}^{-1} - \in_{0}^{-1}$ polyaron nəzəriyyəsində istifadə olunan effektiv dielektrik nüfuzluğudur, \in_{0} və \in_{∞} statik və yüksək tezlikli dielektrik sabitləridir. (5)—ə daxil olan α əlaqə parametri, polyaronun radiusu r_p aşağıdakı ifadələrlə təyin olunur

$$\alpha = \sqrt{\frac{m}{2\hbar\omega_L}} \frac{e^2}{\hbar} \left(\frac{1}{\varepsilon_{\infty}} - \frac{1}{\varepsilon_0} \right) , \qquad r_p = \sqrt{\frac{\hbar}{2m\omega_L}} ,$$

 $J_{n-n'}(q_{\perp}r_0)$ - (n-n') indeksli Bessel funksiyasıdır.

(5) ifadəsini aldıqda nəzərdə tutulmuşdur ki, kifayət qədər aşağı temperaturlarda, elektronların LO-fononları ilə qarşılıqlı təsiri yalnız optik fononun şüalanaması ilə nəticələnən virtual keçidlərə gətirir. (3) ifadəsində (1) və (5) münasibətlərindən istifadə edib, elektronun enerjisinə əlavə üçün alırıq:

$$\Delta E_{n,k} = \frac{4\pi\alpha}{V} (\hbar\omega_L)^2 r_p \sum_{n',\bar{q}} \frac{\left|J_{n-n'}(q_\perp r_0)\right|^2}{(q_\perp^2 + q_z^2)(\varepsilon_{nk} - \varepsilon_{n'k-q} - \hbar\omega_L)}.$$
 (6)

Sadəlik üçün yeni, adsız dəyişənləri daxil edək $x=r_pq_\perp$, $z=r_pq_z$, $\kappa=r_pk$. Silindrik q_\perp , q_z , φ koordinatlarında cəmləmədən inteqrallamaya keçək. φ bucağına görə inteqrallamanı apardıqdan sonra, polyaronun $\Delta E_{n,k} \longleftrightarrow \Delta E_{n,\kappa}$ əlaqə enerjisi üçün x, z, κ dəyişənlərində aşağıdakı ifadəni alarıq

$$\Delta E_{n,\kappa} = -\frac{\alpha \hbar \omega_L}{\pi} \sum_{n'} \int_{0-\infty}^{\infty} \frac{\left| J_{n-n'}(x \frac{r_0}{r_p}) \right|^2}{\left(z^2 - 2\kappa z + \left(\frac{r_p}{r_0} \right)^2 (n'^2 - n^2) + 1 \right)} \frac{1}{(x^2 + z^2)} x \, dx \, dz \tag{7}$$

(7)-də inteqralaltı ifadəni sıraya ayırdıqda, k-ya görə ikinci tərtib hədlərlə kifayətlənərək $\Delta E_{n,k}$ üçün aşağıdakı ifadəni alarıq:

$$\Delta E_{n,k} = \Delta E_{n,0} + A_n \kappa^2 \,. \tag{8}$$

İnteqralaltı ifadədə κ ilə mütənasib olan hədd sıraya ayırma zamanı z-ə görə tək funksiya olduğundan, həmin həddin inteqralı sıfıra bərabər olur. Son nəticədə $\Delta E_{n,0}$, A_n üçün aşağıdakı ifadələri alarıq

$$\Delta E_{n,0} = -\frac{2\alpha\hbar\omega_L}{\pi} \sum_{n'} \int_{0}^{\infty} \frac{\left| J_{n-n'} \left(x \frac{r_0}{r_p} \right)^2}{\left(z^2 + \left(\frac{r_p}{r_0} \right)^2 (n'^2 - n^2) + 1 \right)} \frac{1}{(x^2 + z^2)} x \, dx \, dz , \qquad (9)$$

$$A_{n} = -\frac{8\alpha\hbar\omega_{L}}{\pi} \sum_{n'} \int_{0}^{\infty} \frac{\left| J_{n-n'} \left(x \frac{r_{0}}{r_{p}} \right)^{2}}{\left(z^{2} + \left(\frac{r_{p}}{r_{0}} \right)^{2} (n'^{2} - n^{2}) + 1 \right)^{3}} \frac{z^{2}}{(x^{2} + z^{2})} x \, dx \, dz \,$$
 (10)

(9) və (10)-da x dəyişəninə görə integrallamanın nəticəsi aşağıdakı ifadəni verir

$$\int_{0}^{\infty} \frac{1}{(x^{2} + z^{2})} \left| J_{n-n'} \left(x \frac{r_{0}}{r_{p}} \right) \right|^{2} x \, dx = I_{n-n'} \left(z \frac{r_{0}}{r_{p}} \right) K_{n-n'} \left(z \frac{r_{0}}{r_{p}} \right), \tag{11}$$

burada $I_{n-n'}\left(z\frac{r_0}{r_p}\right)$, $K_{n-n'}\left(z\frac{r_0}{r_p}\right)$ uyğun olaraq birinci və ikinci tərtib Bessel funksiyalarıdır.

Beləliklə, (11) ifadəsini nəzərə alaraq x-a görə inteqrallamanın nəticəsində (9) və (10) üçün aşağıdakı ifadələri alarıq:

$$\Delta E_{n,0} = -\frac{2\alpha \hbar \omega_L}{\pi} \sum_{n'} \int_0^\infty I_{n-n'}(z \frac{r_0}{r_p}) K_{n-n'}(z \frac{r_0}{r_p}) / \left(z^2 - (\frac{r_p}{r_0})^2 (n^2 - n'^2) + 1\right) dz, \quad (12)$$

$$A_{n} = -\frac{8\alpha \hbar \omega_{L}}{\pi} \sum_{n'} \int_{0}^{\infty} z^{2} I_{n-n'}(z \frac{r_{0}}{r_{p}}) K_{n-n'}(z \frac{r_{0}}{r_{p}}) / \left(z^{2} - (\frac{r_{p}}{r_{0}})^{2} (n^{2} - n'^{2}) + 1\right)^{3} dz.$$
 (13)

Daha sonra, sadəlik üçün $b_{nn'} = \sqrt{1 - (\frac{r_p}{r_0})^2 (n^2 - n'^2)}$ işarələməsini qəbul edib,

yeni $z \rightarrow z b_{nn'}$ dəyişəninə keçdikdən sonra (12) и (13) inteqralları üçün alarıq

$$\Delta E_{n,0} = -\frac{2\alpha \hbar \omega_L}{\pi} \sum_{n'} \frac{1}{b_{nn'}} \int_{0}^{\infty} \frac{I_{n-n'}(z \frac{r_0}{r_p} b_{nn'}) K_{nn'}(z \frac{r_0}{r_p} b_{nn'})}{(z^2 + 1)} dz, \qquad (14)$$

$$A_{n} = -\frac{8\alpha \hbar \omega_{L}}{\pi} \sum_{n'} \frac{1}{b_{nn'}^{3}} \int_{0}^{\infty} \frac{I_{n-n'}(z\frac{r_{0}}{r_{p}}b_{nn'})K_{n-n'}(z\frac{r_{0}}{r_{p}}b_{nn'})}{(z^{2}+1)^{3}} z^{2} dz.$$
 (15)

Son iki integral G_1 , G_2 Meyer funksiyaları vasitəsilə ifadə olunur:

$$\Delta E_{n,0} = -\frac{\alpha \hbar \omega_L}{2\pi^{3/2}} \sum_{n'} \frac{1}{b_{mn'}} G_1 , \qquad (16)$$

$$A_{n} = -\frac{\alpha \hbar \omega_{L}}{\pi^{3/2}} \sum_{n'} \frac{1}{b_{nn'}^{3}} G_{2}. \tag{17}$$

 G_1 , G_2 Meyer funksiyaları aşağıdakı ifadələr vasitəsilə müəyyən olunur [11]

$$G_{1} = G_{2,4}^{3,2} \left(\left(\frac{r_{0}}{r_{p}} \right)^{2} + n'^{2} - n^{2} \right) \begin{vmatrix} \frac{1}{2}, \frac{1}{2} \\ 0, \frac{1}{2}, |n - n'|, -|n - n'| \end{vmatrix},$$

$$G_{2} = G_{2,4}^{3,2} \left(\left(\frac{r_{0}}{r_{p}} \right)^{2} + n'^{2} - n^{2} \right) \begin{vmatrix} -\frac{1}{2}, \frac{1}{2} \\ 0, \frac{1}{2}, |n - n'|, -|n - n'| \end{vmatrix}.$$

İndi (8) münasibətinin ikinci həddindən istifadə edib, polyaronun kütləsi üçün analitik ifadəni müəyyən edək. Belə ki, elektronun kütləsinə olan əlavəni tapmaq üçün (8) ifadəsində κ^2 ilə mütənasib həddə aşağıda göstərilən şəkildə çevirmə aparaq:

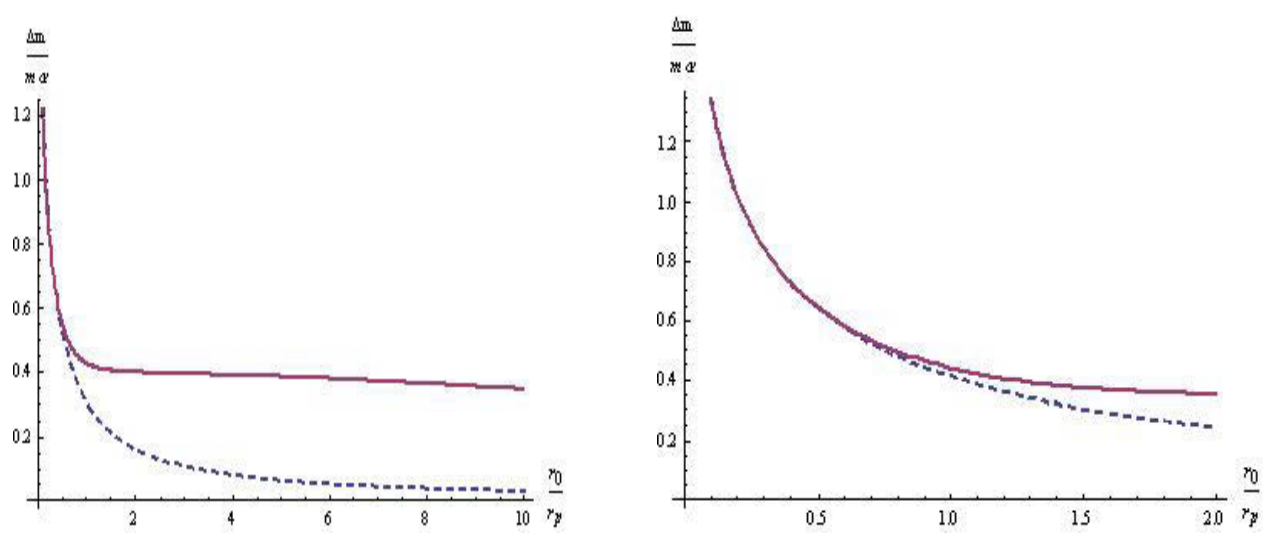
$$A_n \kappa^2 = A_n r_p^2 k^2 = \frac{A_n}{\hbar \omega_L} \frac{\hbar^2 k^2}{2m}, \qquad \frac{1}{m_p} = \frac{1}{m} \left(1 + \frac{A_n}{\hbar \omega_L} \right).$$
 (18)

 $A_n/\hbar\omega_L$ vuruğu vahiddən kiçik olduğuna görə sonuncu münasibətdən alarıq:

$$\frac{\Delta m}{m} = -\frac{A_n}{\hbar \omega_r}, \quad \text{burada} \quad \Delta m = m_p - m.$$
 (19)

(19) ifadəsində $r_0 \to 0$ keçid halında $\Delta m/\alpha m$ -in birölçülü sistem üçün doğru olan nəticəsini almaq olur. r_0/r_p nisbətinin artması ilə $\Delta m/\alpha m$ -in ədədi qiyməti ikiölçülü sistem üçün məlum olan $\pi/8$ qiymətinə yaxınlaşır.

ƏDƏDI HESABLAMALAR



Polyaronun kütləsi ilə bağlı ədədi hesablamaları apararaq baxdığımız model üçün alınan nəticələti təhlil edək. Şəkil 1 və 2- də $\Delta m/\alpha m$ -in r_0/r_p nisbətindən asılılıq qrafiki verilmişdir.

Şəkil 1.

n=0 halında olan polyaron üçün Δm/αm-in r₀/r₀ nisbətindən asılılıqları: a) qırıq xətli əyri – altzonalararası keçidlər nəzərə alınmadığını göstərir; b) bütöv xətlə olan əyri- n=(±1)÷(±10) nömrəli altzonalara keçidlərin nəzərə alındığını göstərir.

Şəkil 2.

Həyəcanlanmış n=1 halında olan polyaron üçün $\Delta m/\alpha m$ -in r_0/r_p nisbətindən asılılıqları: a)qırıq xətli əyri altzonalararası keçidlərin nəzərə alınmadığını göstərir; b) bütöv xətli əyri n=1 altzonasından n=(± 1)÷(± 10) nömrəli altzonalara keçidlərin nəzərə alındığını göstərir.

Şəkil 1-dən müşahidə etmək olar ki, $r_0/r_p < 1$ şərti daxilində altzonalararası keçidlərin polyaronun kütləsinə olan əlavəsi cüzidir. Baxılan halda polyaronun kütləsinə olan əlavə $r_0/r_p > 1$ şərti daxılındə əhəmiyyətli dərəcədədir və NB- nun radiusu artdıqca bu əlavə də artır. Belə mənzərə onunla əlaqədardır ki, NB—nun radiusu artdıqca altzonalar arası məsafə azalır və altzonalar arası keçidlərin hesabına polyaronun kütləsinə olan əlavə də artır. Buna görə də r_0 qiymətinin artması ilə daha çox altzonalararası keçidləri nəzərə almaq lazım gəlir.

Şəkil 2-dən görünür ki, altzonalar arası keçidlərin hesabına polyaronun kütləsinə olan əlavə cüzidir. Qeyd edək ki, cırlaşmış n=1 halından cırlaşmış n=-1 halına

O.Z.ƏLƏKBƏROV, S.M.SEYİD-RZAYEVA, S.S.HÜSEYNOVA

keçidin nəzərə alınması isə n = 0 halındakı polyaronla müqayisədə, polyaronun effektiv kütləsinin artmasına səbəb olur.

İndi GaAs üçün r_p -nin ədədi qiymətini hesablayaq. GaAs üçün elektronun effektiv kütləsi $m=0.067\,m_0$, burada m_0 -sərbəst elektronun kütləsidir, LO- fononu üçün $\hbar\omega_L=421\,K=35.3\,\mathrm{m}$ əB olduğunu nəzərə alaraq polyaronun radiusu üçün $r_p=4\,nm$ qiymətini alarıq. Burada alınan nəticələr $r_0>a$ şərti daxilində doğrudur. GaAs üçün qəfəs sabitinin a =0.57nm olduğunu nəzərə alaraq $r_0/r_p\approx0.14$ sərhəd qiymətini alırıq.

Prinsin həmmüəlliflərlə olan işində GaAs NB-sunun diametri 50 nm-dən 200 nm-ə qədər dəyişir [4]. Belə olan halda r_0/r_p nisbəti 6.25 dən 25-ə kimi qiymətləri ala bilər.

Müəlliflər prof. F.M.Haşımzadəyə işin müxtəlif icra mərhələlərində aparılan müzakirələrdə dəfələrlə iştirakına görə öz təşəkkürlərini bildirirlər.

- 1. Ujjal K.Gautam, S.R.C.Vivecchand, A.Govindaraj, G.U.Kulkami, N.R.Selvi, and C.N.R.Rao, Generation of Onions and Nanotubes of GaS and GaSe through Laser and Thermally Induced Exfoliation, J.Am. Chem. Soc., 127 (2005) 3658-3659.
- 2. P.A.Hu, Y.Q.Lu, L.Fu, L.C.Cao, D.B.Zhu, GaS multi-walled nanotubes from the lamellar precursor, Appl. Phys. A, 80 (2005) 1413-1417.
- 3. V.Ya.Prinz, V.A.Seleznev, A.K.Gutakovsky, A.V.Chekhovskiy, V.V.Preobrazhenskii, M.A.Putyato, T.A.Gavrilova, *Free-standing and overgrown InGaAs/GaAs nanotubes, nanohelices and their arrays, Physica E,* **6** (2000) 828-831.
- 4. V.Ya.Prinz, A.V.Chekhovskiy, V.V.Preobrazhenskii, B.R.Semyagin, A.K.Gutakovsky, A technique for fabricating InGaAs/GaAs nanotubes of precisely controlled lengths, Nanotechnology, 13 (2002) 231-233.
- 5. V.Ya.Prinz, V.A.Seleznev and A.K.Gutakovsky, Self-Formed InGaAs/GaAs nanotubes: Concept, Fabrication, Properties, in Proc.24-th Inter. Conf. on the Phys. of Semiconductors, Ed.: World Scientific, Singapore, The Physics of Semiconductors (1999).
- 6. V.Ya.Prinz, A new concept in fabricating building blocks for nanoelectronic and nanomechanic Devices, Microelectronic Engineering., **69** (2003) 466-475.
- 7. В.П.Драгунов, И.Г.Неизвестный, В.А.Гридчин, Основы наноэлектроники, Москва, Логос, (2006) 293.
- 8. N.M.Guseinov, O.Z.Alekperov, S.S.Guseinova, *Polaron in the Single-walled Polar Nanotube, Modern Physics Letters B*, **20** (2006) 1771-1776.
- 9. Y.M.Sirenko, M.A.Stroscio, K.W.Kim, Vibrations of Microtubules in a fluid, Phys. Rev. E., **53** (1996) 1003-1011.
- 10. Поляроны, Сборник, под редакцией Ю.А.Фирсова.. Изд. Наука (1975) 423.
- 11. И.С.Градштейн, И.М.Рыжик, Таблицы интегралов и сумм, рядов и произведений, Наука, Москва, (1971) 1108.

EFFECTIVE POLARON MASS IN SINGLE-WALLED SEMICONDUCTING NANOTUBES

O.Z.ALEKPEROV, S.M.SEYID-RZAYEVA, S.S.HUSEYNOVA

The problem of the weak-coupling optical polaron in single-walled semiconducting nanotube (NT) have been considered. The general expression for the effective polaron mass with an arbitrary value of the ratio of NT radius to the polaron radius r_0/r_p have been obtained, taking into account of inter-level dimensional quantization transitions.

TƏKDİVARLI YARIMKEÇİRİCİ NANOBORUDA POLYARONUN EFFEKTİV KÜTLƏSİ

On the basis carried out calculations has been established that the contribution to the polaron mass caused by transitions from the ground state with number n=0 to the subbands n=(± 1)÷(± 10) has been significantly for the values $r_0/r_p>1$.

For the values $r_0/r_p < 1$ contribution to the polaron mass from the inter-level transitions has been negligible.

The presence of transitions between the degenerated subbands with the number n=1 to subbands with the number $n=(\pm 1)\div(\pm 10)$ has led an increase to the polaron mass compared with the polaron in the state n=0.

ЭФФЕКТИВНАЯ МАССА ПОЛЯРОНА В ПОЛУПРОВОДНИКОВОЙ ОДНОСТЕННОЙ НАНОТРУБКЕ

О.З.АЛЕКПЕРОВ, С.М.СЕИД-РЗАЕВА, С.С. ГУСЕЙНОВА

Рассмотрена задача об оптическом поляроне слабой связи в одностенной полупроводниковой нанотрубке (HT). Получены общие выражения для эффективной массы полярона с учетом межуровневых переходов размерного квантования при произвольном значении отношения радиуса HT к радиусу полярона r_0/r_D .

Установлено, что с увеличением радиуса HT поправка к значению массе полярона от межуровневых переходов увеличивается. На основе проведенных вычислений установлено, что вклад к массе полярона с учетом переходов от основного состояния с номером n=0 к подзонам $n=(\pm 1)\div(\pm 10)$ для значений $r_0/r_p>1$ значителен. Для значений $r_0/r_p<1$ вклад к массе полярона от межуровневых переходов незначителен. Наличие переходов между вырожденными подзонами с номером n=1 приводит к увеличению поправки к массе полярона по сравнению с поляроном в состоянии n=0.

Редактор: Г.Оруджев

УДК 548.74; 539.234

КИНЕТИКА КРИСТАЛЛИЗАЦИИ НАНОТОЛЩИННЫХ АМОРФНЫХ ПЛЕНОК AgGaSe₂

А.Ч.МАМЕДОВА, Д.И.ИСМАИЛОВ

Институт физики НАНаук Азербайджана AZ-1143, Баку, пр. Г. Джавида, 33 amamedova@inbox.ru

поступила 14.03.2011 принята к печати 23.05.2011

Ключевые слова: кинетика кристаллизации, фазовое превращение, аморфная пленка, нанотолщины

РЕФЕРАТ

Методом кинематической электронографии исследована кинетика фазовых превращений, происходящих в результате кристаллизации аморфных пленок AgGaSe₂. Установлено, что кристаллизация тонких аморфных слоев AgGaSe2, полученных вакуумным осаждением на монокристаллы NaCl, **KC1** происходит закономерностям, установленным Колмогоровым, описывается аналитическим выражением $V_t = V_0[1 - \exp(-kt^m)]$. Определены мерность роста при кристаллизации аморфных пленок AgGaSe2, равная трехмерной, а также значения энергий активаций зародышеобразования и дальнейшего их роста, равные $E_3=17,5$ ккал/моль и $E_p=12,7$ ккал/ моль, соответственно.

Изучение процессов аморфных кинетики кристаллизации тонких полупроводниковых пленок, представляющих фазового собой процесс превращения, включающего в себя образование зародышей и их дальнейший рост, имеет большое значение в полупроводником материаловедении. Для изготовления нанотолщинных полупроводниковых материалов с заданными свойствами необходимы знания о механизме роста, мерности и зависимости скорости кристаллизации от температуры, т.е. температурно-временной зависимости кристаллизации тонких аморфных пленок.

Данная работа посвящена исследованию кинетики фазовых превращений, происходящих в результате кристаллизации аморфных пленок состава AgGaSe₂, полученных как в обычных условиях – в условиях отсутствия каких-либо внешних воздействий, так и в условиях воздействия на молекулярный пучок электрического поля напряженностью 3000в/см.

Объекты исследования — аморфные пленки $AgGaSe_2$, получали путем конденсации синтезированных соединений в вакууме $10^{-4}\Pi a$. В качестве подложек служили небольшие свежие сколы NaCl. Пленки с этих подложек снимались растворением каменной соли в дистиллированной воде и подхватывались на специальные печки, предназначенные для съемок кинематических электронограмм. Для определения кинетических параметров кристаллизации $AgGaSe_2$ были получены кинематические электронограммы при трех температурах 393, 403, 413 К соответственно.

На кинематической электронограмме (Рис.1), полученной при температуре 413К от аморфной пленки $AgGaSe_2$ толщиной 30нм, наблюдаются: аморфная фаза, сосуществование аморфной и кристаллической фаз и линии полностью закристаллизованного $AgGaSe_2$. Аморфные пленки $AgGaSe_2$ кристаллизуются в тетрагональной решетке с постоянными элементарных ячеек a=0,597; c=1,08нм, c/a=0,182нм. Кристаллические структура описываются пространственной группой симметрии $I42d(D_{2d}^{12})[1]$.

КИНЕТИКА КРИСТАЛЛИЗАЦИИ НАНОТОЛЩИННЫХ АМОРФНЫХ ПЛЕНОК AgGaSe2

Исчезновение диффузных максимумов аморфной фазы $AgGaSe_2$ сопровождается возникновением линий кристаллической фазы. Интенсивности линий кристаллического $AgGaSe_2$ соответствуют различным моментам термической обработки пленок. От интенсивности дифракционных линий к количеству закристаллизовавшегося вещества переходили с помощью формулы, приведенной в [2]

$$I_{hkl} = I_o \lambda \left| \frac{\Phi_{hkl}}{\Omega} \right|^2 V \frac{d_{hkl}^2 \Delta P}{4\pi L \lambda},\tag{1}$$

где I_o – интенсивность первичного пучка, λ – длина волны электронного пучка, Φ – структурный фактор, Ω – объем элементарный ячейки, V – облучаемый объем поликристаллического вещества, d_{hkl} – межплоскостное расстояния, Δ – малый участок Дебаевского кольца, P – фактор повторяемости, $L\lambda$ – постоянная прибора.



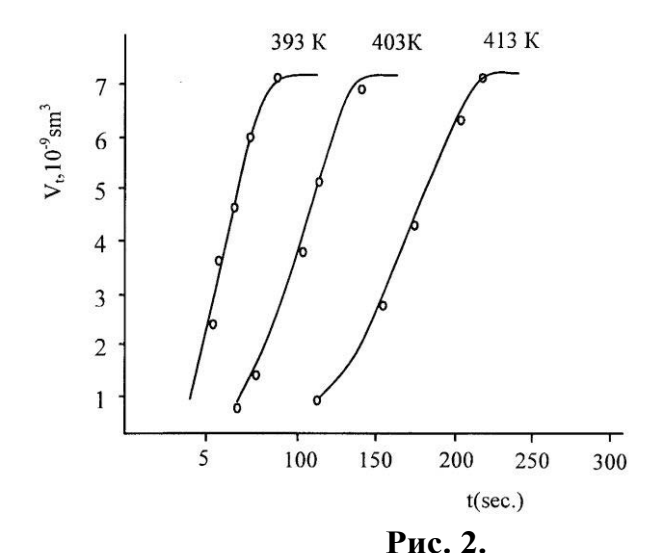


Рис. 1.

Кинематическая электронограмма от AgGaSe₂.

Кинетические кривые кристаллизации AgGaSe₂.

Во время кинематической съемки значения величин в (1), кроме объема V, остаются постоянными. Следовательно, определив изменение интенсивности линий на кинематических электронограммах, можно найти изменение количества вещества во время кристаллизации. Поскольку интенсивность линий (I_{hkl}) пропорциональна рассеивающему объему V, переход от интенсивности к объему осуществляется следующим образом. Максимальное значение интенсивности сопоставляется с облучаемым объемом $V=S\cdot h$, здесь S — сечение электронного пучка $\sim 2.8\cdot 10^{-3} \text{см}^2$, h — толщина пленки $\sim 2.5\cdot 10^{-6} \text{см}$.

Определив таким образом объем, приходящийся на единицу интенсивности, можно найти значение объема закристаллизовавшейся фазы в каждый момент времени. На основе этого были построены графики зависимости объема фазы, претерпевшей изменение от времени (Рис.2). Полученные изотермы сравнивались с аналитическим выражением для кинетических кривых фазовых превращений [3]

$$V_t = V_0[1 - \exp(-kt^m)], \tag{2}$$

здесь V_t — закристаллизовавшийся объем в момент времени $t,\ V_o$ — начальный объем, k — постоянная скорости реакции, m — константа, характеризующая мерность роста центра новой фазы.

Из (2) следует линейная зависимость $\ln \ln \frac{V_o}{V_o - V_t}$ от lnt. На основе эксперимен-

тальных данных построенный график указанной зависимости показывает, что она описывается прямыми линиями для всех вышеприведенных температур.

А.Ч.МАМЕДОВА, Д.И.ИСМАИЛОВ

Из наклона прямых вычислялось значение показателя степени "m" при времени t, для которого получались значения близкие к четырем. Это показывало, что при кристаллизации аморфных пленок AgGaSe₂ происходит трехмерный рост кристалликов, что описывается уравнением (2).

По значениям lnk, найденным для температур, указанных выше были построены график зависимости lnk от обратной температуры для AgGaSe₂. Поскольку оказалось, что эти зависимости имеют линейный характер, то скорости зародышеобразования и дальнейшего их роста в этом случае можно выразить уравнениями Аррениуса

$$\left. \begin{array}{l}
\vartheta_{3} = c_{1} \cdot e^{-E_{3}/RT} \\
\vartheta_{p} = c_{2} \cdot e^{-E_{3}/RT}
\end{array} \right\}.$$
(3)

Из наклона прямых зависимостей lnk(1/T) для $AgGaSe_2$ оценено значение общей энергии активации кристаллизации ($U_{oбщ.}$), равное 55,7ккал/моль.

Для определения энергии активации зародышеобразования E_3 , нами для $AgGaS_2(Se_2)$ были построены графики зависимости $ln1/\tau(1/T)$, где τ – инкубационный период, т.е. экспериментально наблюдаемое время начала кристаллизации. Для аморфных пленок $AgGaSe_2$ E_3 оказалось равно 17,5ккал/моль. Энергии активации роста кристалликов (E_p) , определены из соотношения E_p = $(U_{oбщ}$ - $E_3)/3$ и равно 12,7ккал/моль для $AgGaSe_2$.

Постоянные и переменные электрические поля оказывают существенное влияние на процессы кристаллизации. Согласно [4] наиболее ценными из них являются методы, позволяющие регулировать стадию образования зародышей конденсируемой фазы. Наряду с другими методами в этом направлении успешно используются методы воздействия внешним электрическим полем.

Для аморфных пленок $AgGaSe_2$, конденсированных в условиях воздействия внешнего электрического поля, значения общей энергии активации зародышеобразования и роста также как и в случае $AgGaS_2$ [5], оказались несколько заниженными, чем соответствующие значения для пленок полученных вне поля (Таблица 1). Наблюдаемый нами эффект электрического поля, который приводит к ускорению процесса кристаллизации и вызывает уменьшение значений активационных энергий объясняется тем, что происходит взаимодействие поля с заряженными точечными дефектами или их скоплениями в пленках.

Таблица 1. Кинетические параметры кристаллизации аморфных пленок AgGaS₂(Se₂).

Соединения	Напряженность		Энергия активации кристаллизации			
(аморфные)	электрического поля Е, (в·см ⁻¹)	m	U _{общ} .(ккал/моль)	Е ₃ (ккал/моль)	Е _р (ккал/моль)	
$AgGaS_2$	E=0	4	62,2	21,5	13,6	
	E=3000	4	53,3	17,2	12,0	
AgGaSe ₂	E=0	4	55,7	17,5	12,7	
	E=3000	4	48,3	13,5	11,6	

Таким образом, нами установлено, что кинетика фазовых превращений, протекающих в аморфных пленках AgGaSe₂, полученных в обычных и в условиях воздействия электрического поля напряженностью 3000/см описывается аналитическим уравнением (2) и подчиняется закономерностям, установленным Аврами и Колмогоровым.

1. А.Ч.Мамедова, Образование наноразмерных аморфных и кристаллических фаз в системах Ag-Ga-S(Se), фазовые превращения в тонких пленках

КИНЕТИКА КРИСТАЛЛИЗАЦИИ НАНОТОЛЩИННЫХ АМОРФНЫХ ПЛЕНОК AgGaSe₂

 $AgGaS_2(Se_2)$, дисс. на соискание степени докт. философии по физике Баку, (2010) 151.

- 2. Б.К.Вайнштейн, Структурная электронография М.: АН СССР, (1956) 315.
- 3. Д.И.Исмаилов, Фазообразование, структура и кинетика кристаллизации в тонких пленках A^3 –B– C_2 ⁶, эпитаксиальный рост сверхструктурных фаз. Дисс. на соискание степени докт. физ.—мат. наук. Баку, (2007) 346.
- 4. D.I.Ismailov, E.Sh.Alekberov, M.F.Aliyeva, Formation of Superlatices Under Phase Transformations in TlGaSe₂, Surfase Investigation, **15** (2000) 1897 1901
- 5. Д.И. Исмаилов, А.Ч.Мамедова, Фазовые равновесия в тонких пленках системы Ag—Ga—S, кинетические параметры кристаллизации $AgGaS_2$, Heopгaнические материалы, **44** (2008) 911-914.

AgGaSe₂ NANOQALINLIQLI AMORF TƏBƏQƏSİNİN KRISTALLAŞMA KİINETIKASI A.Ç.MƏMMƏDOVA, C.İ.İSMAYILOV

Kinematik elektronoqrafiya üsulunun tədqiqi ilə $AgGaSe_2$ amorf təbəqələrinin kristallaşması nəticəsində baş verən faza çevrilmələri tədqiq edilmişdir. Müəyyən olunmuşdur ki, NaCl, KCl monokristalları üzərində vakuumda çökdürmə ilə alınmış $AgGaSe_2$ nazik amorf təbəqələrin kristallaşması Avrami–Kolmoqorov qanunauyğunluqları əsasında baş verərək V_t = V_0 [1-exp (-kt^m)] analitik tənliyi ilə təsvir olunur. $AgGaSe_2$ amorf təbəqələrinin kristallaşması zamanı əmələ gələn kristallitlərin üçölçülü (m=4) olması təyin edilmiş, kristallit rüşeymlərin əmələgəlməsi və onların sonrakı böyümələri üçün tələb edilən aktivləşmə enerjilərinin (E_r və E_b) qiymətləri müəyyən olunmuşdur: E_z =17,5 κ kal/mol; E_b =27,6 κ kal/mol.

CRYSTALLIZATION KINETICS OF AMORPHOUS NANOTHICKNESS AgGaSe₂ FILMS A.Ch.MAMEDOVA, D.I.ISMAILOV

The kinetics of phase transformations occurring as a result of crystallization of $AgGaSe_2$ amorphous films has been investigated by kinematic electron diffraction method. The crystallization $AgGaSe_2$ of thin amorphous layers, obtained by vacuum deposition on monocrystals of NaCl, KCl occured in accordance with Avrami-Kolmogorov law and has been described by an analytical expression $V_t = V_0[1 - \exp(-kt^m)]$. The crystallization growth dimensionality at crystallization of $AgGaSe_2$ amorphous films has been equal to three and energy of activation nucleation ($E_z = 17.5 \text{kcal/mol}$) and crystal growth activation energy (Eg = 12.7 kcal/mol) have been determined.

Редактор:Ю.Асадов

УДК 631.315.592

РАССЕЯНИЕ НОСИТЕЛЕЙ ЗАРЯДА НА ДЕФЕКТАХ В Ag₂Te Ф.Ф.АЛИЕВ, Р.А.ГАСАНОВА, Е.Р.ГАСАНОВ, Г.П.ПАШАЕВ

Институт Физики Национальной Академии Наук Азербайджана AZ 1143, Баку, пр.Г.Джавида,33 farzali@physics.ab.az

поступила: 27.06.2011 принята к печати: 12.09.2011

Ключевые слова: подвижность, межэлектронные взаимодействия, точечные дефекты, подрешетка, эффективная масса.

РЕФЕРАТ

В теллуриде серебра исследованы температурные зависимости электропровдности и коэффициента Холла в интервале температур $80 \div 300 \text{K}$ при концентрациях электронов $n < 1 \cdot 10^{18} \text{cm}^{-3}$. Установлено, что с ростом температуры увеличивается число дефектов, влияющих на температурную зависимость подвижности и электропродности в виде $\sim T^{-0.3 \div 0.5}$.

Электрическим и тепловым свойствам Ag_2Te посвящен ряд работ [1-4]. Авторы показали, что закон дисперсии электронов в Ag_2Te подчиняется модели Кейна [1] и при T>80К преимущественным механизмом рассеяния носителей заряда является рассеяние на ионнах примеси и тепловых колебаниях решетки [2,3]. В интервале температур $80\div250$ К изучены электронные и фононные доли теплопроводности [5] и установлено, что в Ag_2Te число Лоренца L значительно меньше зоммерфельдовского L_0 , т.е. межэлектронное взаимодействие становится неупругим. Другой особенностью соединения Ag_2Te является дефектность, каторая оказывает сущетвенное влияние на кинетические явления. Однако, в литературе отсутствуют данные при концентрациях электронов n<1· 10^{18} cm⁻³. Изучение свойств этих кристаллов, являющихса перспективными материалами в термоэлектрических приборах, работающих в области изотопных сред, представляет особый интерес. Данная работа посвящена исследованию влияния дефектов на электрические свойства Ag_2Te .

На Рис.1 представлены зависимости $\sigma(T)$ и R(T). В образцах $n \approx 1 \div 8 \cdot 10^{17} \, cm^{-3}$ R(T) остается постоянной, а $\sigma(T)$ уменьшается с ростом температуры, что характерно для вырожденного электронного газа. Однако, при $n < 1 \cdot 10^{18} \, cm^{-3}$ ослабляется $\sigma(T)$, что обусловлено слабой зависимостью $U_n(T)$ в исследуемом интервале температур.

Для понимания данного вопроса следует рассчитать температурную зависимость подвижности носителей заряда при возможных механизмах рассеяния. Подвижность носителей заряда при любом вырождении и кейновском законе дисперсии при рассеянии на акустических фононах и на ионах примеси расчитаны в работах [2-4] (Рис.2). Из Рис.2 (кривые 1, 2) видно, что $U_n(T)$ уменьшается с ростом температуры, а рассчетные значения подвижности электронов качественно и количественно не согласуются с экспериментом.

Для выявления причины расхождения расчетных и эксперименталных данных необходимо учитывать новые центры рассеяния.

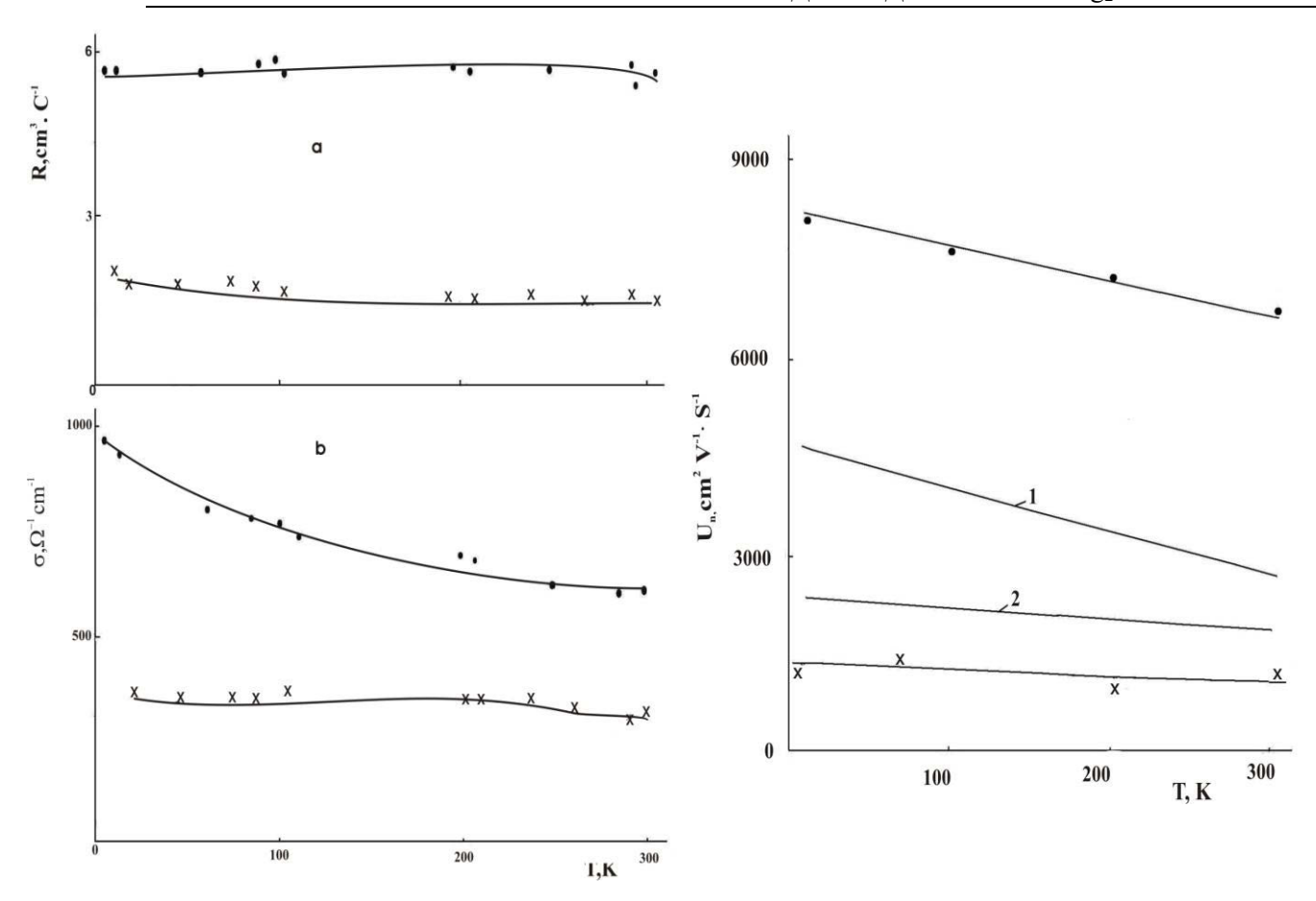


Рис.1. Температурные зависимости коэффициента Холла R(T) при $H=12\kappa\Im$ (a) и электропроводности $\sigma(T)$ (b).

Рис 2.
Температурные зависимости подвижности электронов при концентрациях п≈3·7·10¹⁷cm⁻³: 1- расчет по работу [2], 2 - расчет с учетом рассеяния электронов на ионах, акустических фононах и на точечных дефектах.

В работе [6] показано, что Ag_2Te характеризуется дефектами Френкеля, вакансиями Ag в междоузлиях, появляющихся за счет статистически расположенных атомов Ag в подрешетке. Принимая во внимание [2-4], можно учесть вклад подвижности U_d , рассчитанной с помощью времени релаксации при механизме рассеяния электронов на точечных дефектах (по [6] эти дефекты являются точечными) для стандартной зоны как в [7]

$$\tau_d(T) = \frac{\pi \hbar^4}{(2m_n K_0 T)^{1/2} m_n V_0^2 N_d} \left(\frac{E}{k_0 T}\right),\tag{1}$$

где m_n - эффективная масса электронов на дне зоны проводимости, V_0 - постоянная, характеризующая амплитуду δ -потенциала, N_d -концентрация точечных дефектов, которая определяется следующем образом: в настоящее время применительно к соединениям $A_{2-x}^1B^{VI}(A-Cu,Ag,;B-S,Te,Se,)$ существуют две модели образования возможных дефектов— Рай [8] и Вейса [9], в каждой из которых определяются доминирующие типы дефектов, обусловливающие отклонение от стехиометрии. В первой модели полагается, что образование дефекта происходит в две стадии: скачком образуется нейтральная вакансия металла V_a , затем происходит ионизация вакансии, в результате чего образуется дырка. Во второй модели возможно внедрение атомов в междоузлия. По модели Рай и Вейса, образование вакансий Ag

в соединениях $Ag_{2-x}B^V$ и последующая их ионизация всегда приводят к р-типу проводимости. Анализ дефектов [8-10] показывает, что в Ag_2Te межузельные атомы Ag обеспечивают n-тип проводимости. В работе [3] показано, что смещение атомов Ag в междоузлиях, играющих роль мелких донорных центров, приводит к соответствующим изменениям электронных явлений. Таким образом дефектами в Ag_2Te будут полностью ионизованные атомы Ag_i^+ и их вакансии (V_{Ag}). По модели Рая [8] получается, что полная концентрация дефектов определяется как $N_d = V_{Ag} + V_{Ag}'$ (2), а концентрация дырок равна $p = V_{Ag}$.

Применение закона действующих масс приводит к следующему выражению [8] $V_{4a} = K_1 \exp(-E_1/K_0T)$, (3)

а формула ионизации нейтральной вакансии имеет вид

$$[p][V'_{Ag}] = [V_{Ag}]K_2 \exp(-E_2/K_0T), \tag{4}$$

где E_1 - энергия образования нейтральной вакансии (E_1 =1,2eV [6]), E_2 - энергия ионизации вакансии серебра (E_2 =2eV [6]), K_1 и K_2 - множители, определяемые по методу [11] и для них получены следующие выражения

$$\lg K_1 = -12,04 + \frac{4617}{T} + 4,618 \lg T,$$

$$\lg K_2 = -18,108 + \frac{2513}{T} + 4,713 \lg T$$
(5)

здесь $p = \frac{n_i^2}{n}$, где $n_i = 4,884 \cdot 10^{15} \left(\frac{m_p^* m_n}{m_0^2}\right)^{3/4} T^{3/2} e^{-E_g/2K_0T}$, m_p^* -эффективная масса дырок

 $(m_p^* = 0.12m_0[2])_{-E_g}$ - ширина запрещенной зоны $(E_g = (0.03 - 7 \cdot 10^{-5} T, K^{-1})eV[2])$, а

концентрация электронов определяется как в [7]

$$n = \frac{(2m_n K_0 T)^{3/2}}{3\pi^2 \hbar^3} I_{3/2,0}^0(\mu_n^*, \beta), \tag{6}$$

где $\beta = K_0T/E_g$ - параметр непараболичности зоны, $\mu_n/K_0T,\mu_n$ - химический потенциал, $I^0_{3/2,0}(\mu^*,\beta)$ -двухпараметрический интеграл Ферми. Химический потенциал μ_n^* определяется из следующего выражения [7]

$$\alpha_{\infty} = -\frac{K_0}{e} \left[\frac{I'_{3/2,0}(\mu_n^*, \beta)}{I^0_{3/2,0}(\mu_n^*, \beta)} - \mu_n^* \right], \tag{7}$$

где α_{∞} - термо-эдс электронов в классически сильных магнитных полях (где $\alpha_{\infty} \approx \alpha_0 + 10\%\alpha_0$). Подставляя (5)-(7) в (3), (4), можно определить N_d , а значения N_d , V_0 и m_n в (1), определяем $\tau_d(T)$. Подвижность $U_d(T)$ определяется как в работе [2]

$$U_d(T) = \frac{e}{m_n} \tau_d(T) \,. \tag{8}$$

Расчитывая рассеяние носителей заряда на ионах и акустических фононах $U_1(T)$ (кривая 1) по методу [2-4], получаем

$$U_n(T) = \left(\frac{1}{U_1} + \frac{1}{U_d}\right). \tag{9}$$

Расчетные данные представлены на Рис.2. Как видно из Рис.2 (кривая 2), расчет по формуле (9) качественно соответствует экспериментальным данным. Количественные несогласия расчетных и экспериментальных данных могут быть связаны с тем, что в этой области ионный радиус атома серебра меньше длины

РАССЕЯНИЕ НОСИТЕЛЕЙ ЗАРЯДА НА ДЕФЕКТАХ В Ag₂Te

волны акустического фонона. Здесь также может быть другая причина: в данном интервале температур длина волны электронов меньше, чем радиус экранировки созданных от точечных дефектов. Расчет показывает, что при общем рассеянии вклад точечных дефектов (рассеивающий центр) составляет где-то ~30%. Из Рис.2 видно, что для концентрации $n<1\cdot10^{18}$ с m^{-3} в зависимости $U_n\sim T^{-\alpha}$ показатель степени составляет $\alpha\approx0,3\div0,5$ т.е. слабо зависит от температуры.

На основе вычисленных данных видно, что включение в расчет механизма рассеяния электронов на точечных дефектах приводит к сближению экспериментальных и расчетных кривых.

Итак, можно сделать вывод, что на энергетическом спектре носителей заряда в Ag_2 Те при концентрации $n<1\cdot10^{18}$ с m^{-3} в рассеянии существенную роль играют нейтральные и электроактивные точечные дефекты, созданные от атомов серебра.

- 1. С.А.Алиев, У.Х.Суюнов, М.И. Алиев, *Кинетические явления в п-Аg₂Te, ФТП*, **7** (1973) 2024-2027.
- 2. Ф.Ф.Алиев, Э.М.Керимова, С.А.Алиев, Электрические и термоэлектрические свойства p- Ag₂Te, ФТП, **36** (2002) 932-936.
- 3. Ф.Ф.Алиев, М.Б.Джафаров, Энергетический спектр носителей заряда в Ag_2Te , $\Phi T\Pi$, **42** (2008) 1297-1302.
- 4. Ф.Ф.Алиев, М.Б.Джафаров, Г.З.Аскерова, Э.М.Годжаев, Рассеяние электронов на акцепторных центрах в p- Ag_2Te при низких температурах, $\Phi T\Pi$, **44** (2010) 1042-1047.
- 5. С.А.Алиев, Ф.Ф.Алиев, С.Г.Абдинова, З.С. Гасанов, Д.М.Рагимова, Теплопроводность и термомагнитные эффекты в Ag_2Te при низких температурах, Изв. вузов, Физика, №6 (1990) 41-45.
- 6. A.Andre, C.Simon, *Proprietes electroniqueset electrogalvaniques du tellurure d'argent β domaine d'existence, J. Phys. Chem.*, **44** №22 (1983) 95-105.
- 7. Б.М.Аскеров, Кинетические эффекты в полупроводниках, Π ., «Наука», (1970) 320.
- 8. H.Rau, Defect equilibrid in silver sulphide, J.Phys.and Chem. Sol., 35 (1974)1553-1559.
- 9. K.Weiss, Untersuchungen an kubichem Kupfer (1) sulfid (Digenite), Ber. Runsenges. Phys. Chem., **75** (1969) 338-344.
- 10. Г.Б. Абдуллаев, Т.Д. Джафаров, Атомная диффузия в полупроводниковых структурах, Атом издат, (1980) 280.
- 11. H.Rau, Defect model for cubic high temperature cuprous sulfide (digenite), Sol. St. Commun., **16** (1975) 1041-1042.

Ag₂Te KRİSTALINDA YÜKDAŞIYICILARIN DEFEKTLƏRDƏN SƏPİLMƏSİ F.F.ƏLIYEV, R.A.HƏSƏNOVA, E.R.HƏSƏNOV, Q.P.PAŞAYEV

Gümüş telluriddə elektronların n<1· 10^{18} cm⁻³ konsentrasiyasında 80÷300K temperatur intervalında elektrikkeçirmənin və Holl əmsalının temperatur asılılıqları tədqiq edilmişdir. Müəyyən olunmuşdur ki, temperaturun artması ilə yürüklüyün və elektrikkeçirmənin ~ $T^{-0,3+0,5}$ şəkildə dəyişməsinə səbəb, temperatur artdıqca defektlərin sayının artması ilə əlaqədardır .

CARRIER SCATTERING BY DEFECTS IN Ag_2Te F.F.ALIYEV, R.A.HASANOVA, E.R.HASANOV, Q.P.PASHAYEV

The temperature dependence of electrical conductivity and Hall coefficient in telluride silver in the temperature range $80 \div 300 \text{K}$ at concentrations of electrons $n < 1 \cdot 10^{18} \text{cm}^{-3}$ has been researched. With the temperature rise the number of defects has been increased which have have an influence on the temperature dependence of the mobility and electrical conductivity according to the law $\sim T^{-0.3 \div 0.5}$.

Редактор: Г.Аждаров

УДК: 621.315.592

ФОТОЧУВСТВИТЕЛЬНЫЙ ЭЛЕМЕНТ НА ОСНОВЕ КОНТАКТА IrSi-Si

Э.А.КЕРИМОВ

Институт Космических Исследований Природных Ресурсов Национального Аэрокосмического Агентства AZ 1106, ул. C.C.Ахундова 1, корпус2 E_Kerimov.fizik@mail.ru

поступила 06.2011 принята к печати 05.09.2011

Ключевые слова: диод Шоттки, барьер Шоттки, фотоотклик, фотоэмиссия, фотовозбужденные электроны, фоточувствительность.

РЕФЕРАТ

В результате экспериментов установлено, что степень поглощения излучения в фоточувствительной структуре IrSi—Si, зависит также от толщины IrSi и диэлектрика. Максимум поглощения наблюдается при толщине IrSi около 90Å, достигая значения $0.30\pm0.05\%$ при толщине SiO₂ 0.75мкм (λ =4,2мкм).

ВВЕДЕНИЕ

Использование многоэлементных приемников излучения в ИК-системах, особенно в системах без оптико-механического сканирования, требует наличия высокой однородности чувствительности у приемных элементов в матрице, так как в противном случае резко возрастает геометрический шум [1]. Для обеспечения ШУМУ разности температур В 0.15Kнеравномерность чувствительности детекторов не должна превышать 0,5% при работе в диапазоне 3÷5мкм и 0,2% при работе в диапазоне 8÷14мкм. Геометрический шум многоэлементных матриц может быть устранен в приемном устройстве двух эталонных излучающих поверхностей с высоким и низким уровнями излучения, с последующей цифровой обработкой сигналов каждого приемного элемента по специальному алгоритму.

При использовании такого способа устранения геометрического шума для обеспечения эквивалентной шуму разности температур, например, 0,1К, при что интервал температур объектов воспринимаемых устройством лежит в диапазоне 286÷306K, в цифровой системе выравнивания чувствительность должна быть не менее 12 разрядов [2]. Отсюда видно, какие жесткие требования по быстродействию и разрядности накладываются обеспечить систему обработки сигнала, чтобы чувствительности и исключить геометрический шум в многоэлементных приемниках излучения с большим числом элементов и, тем самым, создать условия для работы приемного устройства в несканирующем режиме. Существует и принципиально иной путь исключения геометрического шума - создание многоэлементных приемников излучения на основе таких физических механизмов преобразования излучения в электрический сигнал, которые обеспечивают весьма высокую однородность по отдельным элементам. К таким физическим механизмам относится процесс преобразования оптического излучения в электрический заряд на барьерах Шоттки.

Для исключения влияния поверхностных состояний на высоту потенциального барьера Φ_0 и, тем самым, на фотоэлектрические свойства приемников ИК-излучения на основе Шоттки-диодов, последние изготавливают

посредством химической реакции с образованием силицидов, имеющих металлическую проводимость. К таким металлам, например, относятся иридий, палладий и др. В этом случае, барьер Шоттки возникает на границе раздела кремний—силицид металла. Преимуществом такого барьера является отсутствие влияния на его свойства поверхностных дефектов, окислов и загрязнений на поверхности кремния. Подбором необходимого материала можно обеспечить такую высоту барьера, которая определяет чувствительность в требуемом диапазоне ИК – спектра.

МЕТОДИКА ЭКСПЕРИМЕНТА

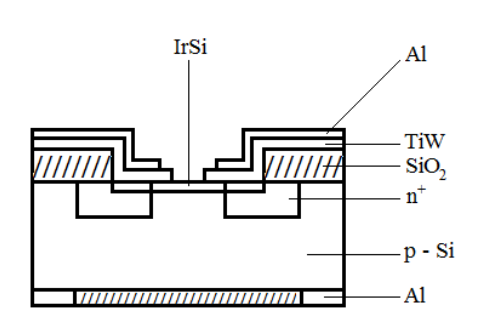
При изготовлении образцов в качестве подложек использовались пластины кремния п- и р-типов, легированного соответственно бором и фосфором с $1.5 \cdot 10^{15} \div 7 \cdot 10^{15}$ см⁻³, ориентацией <100> концентрацией <!!!>, подвергались стандартному химическому травлению. После травления пластинки промывались в растворе, состоящем из HF+H₂O (1:10) в течении 10с и в деионизованной воде, после чего проходили цикл термического окисления для образования слоя SiO_2 толщиной $0.4 \div 0.5$ мкм. Для уплотнения структуры SiO_2 перед подачей паров воды в реактор и после окончания окисления пластины в течении 10 минут в атмосфере сухого O_2 . выдерживались фотолитографией с последующим травлением слоя SiO₂ в буферном травителе вскрывались окна создания n^+ - и p^+ -охранных областей.

После снятия фоторезиста в смеси «Каро» и химической обработки формировались n^+ -области термической загонкой фосфора в Si. Источником легирующей примеси является $POCl_3$. Загонка поизводится при температуре $950^{0}C$ в течении 15 минут. При таких режимах получены следующие параметры n^+ -областей: глубина на контрольной пластине КДБ - 10<100> $x_j=0,5\pm0,02$ мкм; поверхностное сопротивление $\rho_S=8\div13$ Ом/ \square . p^+ -области создавались термической загонкой бора при $T=950^{0}C$, t=30 минут. Параметры p^+ - диффузионных областей; глубина $x_j=0,6\pm0,2$ мкм; $\rho_S=80\pm20$ Ом/ \square .

Окна площадью $10^{-6} \div 10^{-5}$ см² в окисном слое открывались методом фотолитографии. На очищенную поверхность кремниевой подложки при помощи вакуумного испарения (был использован также метод магнетронного испарения) при давлении $5 \cdot 10^{-6}$ мм.рт.ст. наносилась пленка платины толщиной $100 \div 350$ Å. Затем, полученную таким образом структуру Ir/Si подвергали термическому нагреву в интервале температур $530 \div 930$ К в течении $10 \div 60$ минут в вакууме и смеси газов N_2+H_2 .

Процесс магнетронного распыления проводился на установке "ANAD-2".

В качестве диффузионно-барьерного слоя использован сплав тугоплавких металлов Ті и W. После нанесения металлической пленки осуществлялся отжиг



пластин в рабочей камере при температуре 500^{0} C в течении 10 мин. для достижения более однородного содержания сплава TiW.

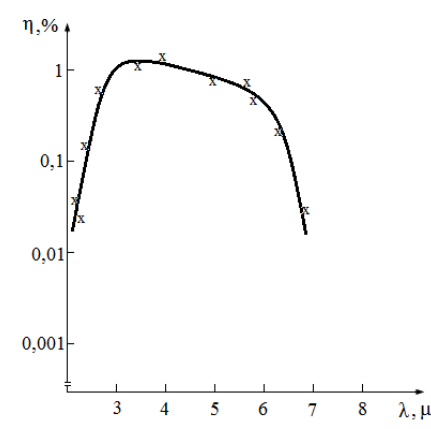
Для формирования омических контактов использовался алюминий, который наносился магнетронным распылением.

Рис. 1. Поперечное сечение структур с барьером Шоттки на основе IrSi-Si.

Нами использован метод травления, не требующий маску или дополнительный фоторезист, суть которого заключается в следующем: при двухстадийной термообработке на поверхности IrSi между силицидом и непрореагировавщей платиной образуется окисел кремния, который устойчив к воздействию горячей царской водки в течении 15 минут. Непрореагировавщая платина на окисной пленке и стенках окон в окисле стравливалась раствором царской водки (HNO+HCl+ $H_2O=1:3:4$). Схематический разрез структуры показан на Puc. 1.

ЭКСПЕРИМЕНТАЛЬНЫЕ ДАННЫЕ И ИХ ОБСУЖДЕНИЕ

Степень поглощения излучения в фоточувствительной структуре IrSi–Si зависит также от толщины IrSi и диэлектрика. Максимум поглощения наблюдается при толщине IrSi около 90Å, достигая значения $0.30\pm0.05\%$ при толщине SiO₂ 0.75мкм (λ =4,2мкм). При освещении структуры фототок возникал только в том случае, если полярность приложенного напряжения соответствовала отрицательному потенциалу на IrSi. При обратной полярности напряжения фототок незначительно увеличивался по сравнению с тепловым током, однако это



изменение тока было в пределах погрешности эксперимента. Наблюдаемый фототок связан не с объемной фотопроводимостью полупроводниковой пластинки, а с фотоэлектрическими явлениями на контакте: фотоэмиссией из металлического электрода в кремниевую подложку.

На Рис.2 представлено спектральное распределение чувствительности IrSi-p-Si структуры при 80К.

Рис. 2. Спектральная характеристика IrSi – p – Si при 80К.

Область спектральной чувствительности полностью перекрывает окна прозрачности 3÷5мкм. Спектральная зависимость квантового выхода внутренней фотоэмиссии ДШ (диод Шоттки) описывается

$$Y = \frac{C_1(h\nu - \varphi_B)^2}{h\nu}$$

где ϕ_B – высота барьера для дырок, C_1 – коэффициент квантовой фотоэмиссии, который зависит от геометрических, оптических и физических свойств контакта Шоттки. Для структур IrSi-p-Si фотоотклик монотонно увеличивается увеличением энергии ИК излучения. Механизм фоточувствительности фотодиода на основе контакта IrSi-Si недостаточно изучен, имеющиеся в литературе модели зачастую противоречат друг другу. Спектральная чувствительность определяется физикой процесса перехода через барьер, а не процессами фотопоглощения. В [3] показано, что фотовозбуждение электронов в металле (IrSi) создает пустые состояния (дырки), некоторые из которых имеют энергию меньше энергии барьера. Затем или дырка эмитируется из металла в полупроводник, или электрон переходит барьер из полупроводника, чтобы заполнить пустые состояния. Отметим, что предложенный механизм имеет недостатки, т.к. за счет ИК излучения электроны в полупроводнике не получают дополнительную энергию и поэтому не могут переходить через барьер. С другой стороны, известно, что фотодиоды Шоттки работают на основных носителях заряда. Предполагается, что при освещении структур с барьером Шоттки на основе контакта IrSi-Si фотовозбужденные

ФОТОЧУВСТВИТЕЛЬНЫЙ ЭЛЕМЕНТ НА ОСНОВЕ КОНТАКТА IrSi-Si

электроны переходят на более высокие энергетические уровни. При этом, чем больше энергия hv, тем на более высокие уровни переходят электроны в IrSi. Соответственно и меняется энергия образующихся дырок. Дырки с энергией больше высоты барьера контакта IrSi–Si будут переходить в полупроводник. С увеличением hv или с уменьшением длины волны света приращение числа дырок увеличивается. Это приводит к образованию фототока, т.к. для p–Si дырки считаются основными носителями. Значение коэффициента квантовой фотоэмиссии C_1 для структур с кольцевым и сплошным планарным контактом полученные из наклона зависимости

$$\sqrt{Y \cdot h \nu} = \sqrt{C_1} (h \nu - \varphi)$$

равно соответственно 0,13 и 0,05э B^{-1} . С уменьшением толщины IrSi от 500 до 90Å коэффициент квантовый эмиссии остается постоянным для структур с некольцевым контактом. Зависимость коэффициента C_1 очень чувствительна к толщине PtSi.

Для объяснения экспериментальных результатов была предложена упрощенная одномерная модель для фотоотклика Φ Д с пленкой диэлектрика. Эта модель предполагает идеальное отражение дырок на границе силицид—изолятор и силицид—полупроводник за исключением дырок, эмитировавших в кремний, и идеальное пропускание границы силицид—металл. Для фотодетектора с кольцевым контактом необходимо учесть многократные отражения дырок на границе IrSi—Si и IrSi—изолятор. В этом случае удобно ввести новый фактор W_i — вероятность того, что горячая дырка от одной границы раздела может достигнуть другой границы раздела, которая является функцией средней длины свободного пробега дырок и толщины силицида

$$W_i = exp\left(-\frac{d}{l}\right)$$

Тогда фактор улучшения γ (γ = $_1/Y_2$) представляет собой отношение фотооткликов и выражается следующим образом

у =
$$\frac{Y_1}{Y_2} = \frac{1}{\left[1 - exp\left(-\frac{d}{l}\right)\right]}$$

где при d=90Å и $\gamma=5$ длина свободного пробега дырок равна 450Å.

- 1. E.Ə.Kərimov, PtSi kontaktı əsasında Şottki fotodiodlarının (ŞFD) effektivliyinin artırılmasının fiziki əsasları , *Azerbaijan Journal of Physics Fizika*, **XVI** №3-4 (2010) 15-
- 2. А.А.Ширин–заде, Х.А.Асадов, Н.М.Пашаев, Э.А.Керимов, С.А.Фатуллаев, Н.Ф.Казимов, *Полупроводниковые сенсоры*, *Баку: Элм*, (2010) 179.
- 3. Э.Х.Родерик, Контакты металл-полупроводник, Москва: Наука, (1982) 170.

IrSi – Si KONTAKTI ƏSASINDA FOTOHƏSSAS ELEMENT E.Ə.KƏRIMOV

Eksperimentlər nəticəsində müəyyən edilmişdir ki, fotohəssas IrSi — Si strukturunda şüalanmanın udulma dərəcəsi həm də IrSi və dielektrikin qalınlığından asılıdır. Maksimum udulma $0.30\pm0.05\%$ qiymətini IrSi təbəqəsinin 90Å qalınlığında alır ki, bu da SiO₂ təbəqəsinin 0.75mkm ($\lambda=4.2$ mkm) qalınlığında müşahidə olunur.

PHOTOSENSITIVE ELEMENT ON THE BASIS OF IrSi - Si CONTACT E.A.KERIMOV

It has been established that absorption degree of radiation in the photosensitive structure IrSi-Si depends also from a thickness IrSi and dielectric. The absorption maximum has been observed at a thickness IrSi near by 90Å and has reached value $0.30\pm0.05\%$ at a thickness SiO₂ 0.75μ m (λ =4,2 μ m).

Редактор: А.Абдинов

УДК 666.972.

ДИФФЕРЕНЦИАЛЬНО<u>-</u>ТЕРМИЧЕСКИЕ ИССЛЕДОВАНИЯ АКТИВИРОВАННОГО СТРОИТЕЛЬНОГО ГИПСА

Э.Г.БАШИРОВ, Н.А.ЭЮБОВА

Компания «Матанат А» AZ 0123, г. Баку, магистраль Баку-Сумгаит 13,5км Институт Радиационных Проблем НАН Азербайджана AZ 1143, г. Баку, ул. Ф.Агаева, 9 nazifae@mail.ru

поступила 27.06.2011	РЕФЕРАТ
принята к печати 12.09.2011	Выполнены дифференциально-термические анализы строительного гипса и строительных гипсо-кальцитовых
	смесей, активированных добавками поверхностно-
Ключевые слова: дифференциально-	активных веществ. Изучены процессы, происходящие
термический анализ, гипс, кальцит,	при твердении активированных составов. Установлено,
поверхностно-активные вещества	что активация способствует закреплению молекул ПАВ
	на поверхности новообразования и улучшает качество
	затвердевших материалов.

ВВЕДЕНИЕ

Известно, что твердение полуводного гипса происходит вследствие присоединения воды и образования двуводного гипса. Теоретически для этого требуется 18,6% воды от взятой массы. Однако для обеспечения требуемой формуемости теста используется 60...80% воды, в результате этого после химического взаимодействия в объеме материалла образуются поры 50...60% затвердевшего гипса [1].

Для снижения объема пористости при затворении теста с водой вводят поверхностно-активные добавки, которые за счет функциональных групп, адсорбирующихся на поверхности зерен и продуктов гидратации, способствуют пластификации теста.

ЭКСПЕРЕМЕНТ И ОБСУЖДЕНИЕ

В наших исследованиях использовались 0,05...0,5% добавки суперпластификаторов на основе нафталинсульфонатов (добавка 1) и лигносульфонатов (добавка 2). Добавки вводились при помоле полуводного гипса [2]. Свойства полуводного гипса оценивались в соответствии с ГОСТ 125-79, результаты испытаний приведены в Таблице 1.

Таблица 1.

Свойства затвердевшего активированного гипса.

	актив	Состав вирова ипса, %	нного	густота, %	ı, MM		Физико-мех	ханические свойства		
No	гипс	W.C. Tar		2372	теста,	Прочно	ость, МРа:			
	Полуводный гипс	Добавка 1	Добавка 2	Нормальная	Расплыв	через 2 часа	в сухом состоянии	Средняя плотность, кг/м ³	Коэффициент размягчения	
1	100			66	180	2,5	7,1	1150	0,35	
2	99,9	0,1		58,5	180	3,9	11	1180	0,43	
3	99,9		0,1	65	190	3,4	10	1170	0,45	

ДИФФЕРЕНЦИАЛЬНО<u>-</u>ТЕРМИЧЕСКИЕ ИССЛЕДОВАНИЯ АКТИВИРОВАННОГО СТРОИТЕЛЬНОГО ГИПСА

Как видно из Таблицы 1, добавки способствуют снижению количества воды затворения в пределах до 10-12%, а это обусловливает существенное улучшение физико-механических свойств затвердевшего материала.

Изучение процессов, происходящих при твердении полуводного гипса и выяснение влияния активирующих добавок ПАВ нами исследовались посредством проводилось при помощи дифференциально-термического анализа.

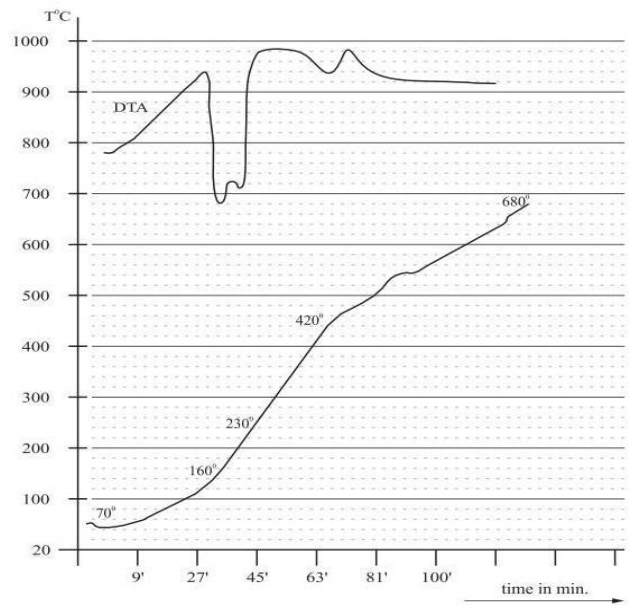
Дериватографические исследования проводились на Q дериватографе системы Паулик-Паулик Эрден фирмы МОМ (Венгрия) [3]. Навеска массой $450\div550$ мг, подвергалась нагреву в интервале температур 20...1000°C, при скорости нагрева 20° /мин.В качестве эталона для записи температуры служила окись алюминия $Al2O_3$, прокаленная при 1000°C в течении 10...12 часов.

Таблица 2.

Дифференциально-термический анализ затвердевшего гипса.
дифференциально-термический анализ затвердевшего гипеа.

Состав	Диффе	еренциаль эффект	но-термические гы Т°С	Термогравиметрический анализ ТG (интервал и		
	эндотермический		экзотермический	потери массы), Т°С/%		
	I	II	III	I	II	
Гипс (без добавки)	160	230	420	100-160/15	160-230/5	
Тоже с супер- пластификатором	100	128	240	80-100/0,5	100-128,7/16,5	

Как видно из дериватограммы контрольного образца затвердевшего гипса CaSO_{4 2H2O} (Puc.1 и Таблица 2.) на кривой ДТА обнаружены два эндотермических



эффекта при 160 230°C И И один экзотермический эффект 420°C. при Первый эффект при 160°C обусловлен дегидратацией гипса до полуводного, расчетам приводящего согласно кривой к потере воды 15,0% а при втором эффекте при T=230°C происходит дальнейшее обезвоживание гипса безводного CaSO₄ и теряется 5,00% воды. В исследованном составе гипса всего содержалось примерно 20,00%. 420°C Экзотермический эффект при соответствует перестройке кристаллической решетки CaSO₄.

Рис.1. Дериватограмма затвердевшего гипса.

Как видно из дериватограмм активированного гипса (Рис. 2 и Рис. 3) не зависимо от вида добавок получены идентичные эндоэффекты при тех же температурах обезвоживания двуводного гипса и такие же потери воды. Однако в составе без добавки потеря воды на 1,2-1,5% меньше, чем в образцах активированого гипса. Необходимо отметить, что в образцах без добавки, подвергнутых высушиванию и последующему водонасыщению, потеря воды увеличилась до 25,5%, а активированные составы имели потери в количестве 19%,

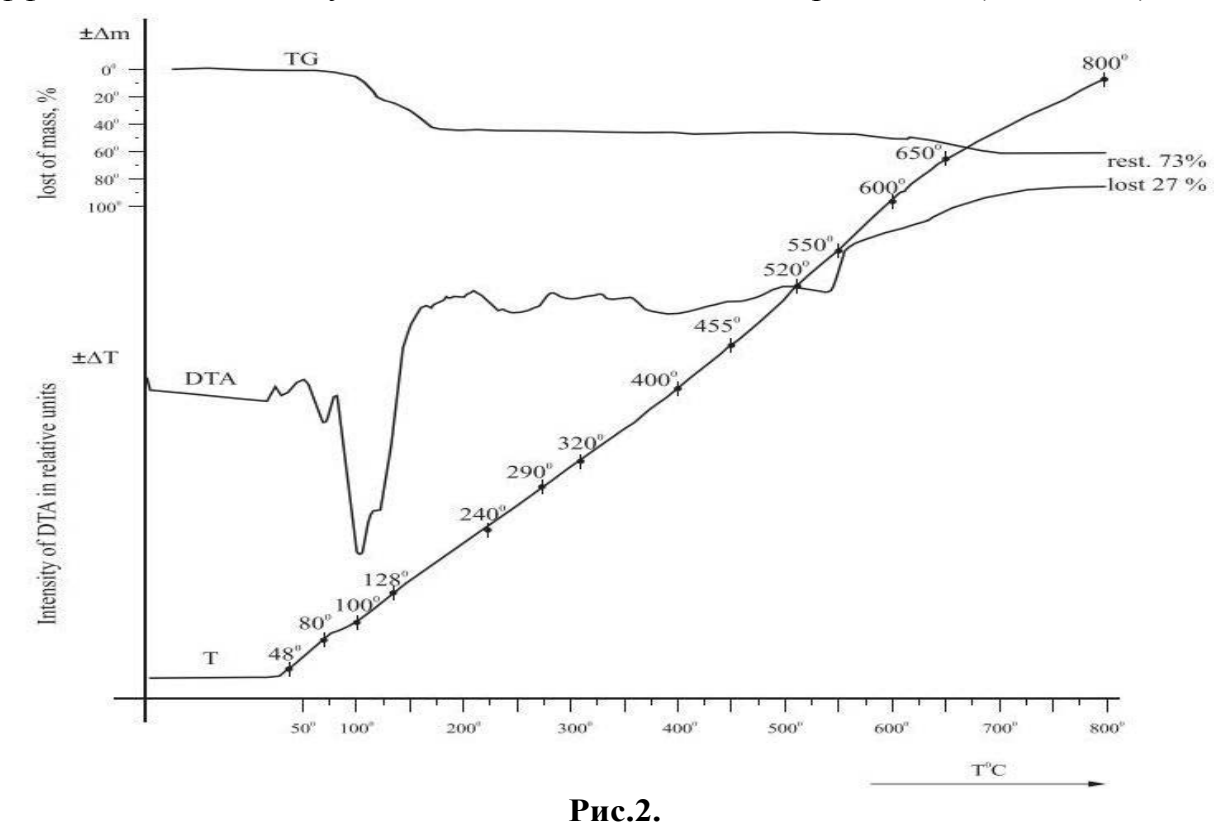
Э.Г.БАШИРОВ, Н.А.ЭЮБОВА

что, видимо, обусловлено частичной последующей гидратацией затвердевших составов без добавки (Таблица 3).

Таблица 3. Дифференциально-термический анализ затвердевшего гипса после водонасыщения и высушивания.

	Диффе	ренциаль эффект	но-термические гы Т°С	Термогравиметрический анализ СТG (интервал темп. и потери массы),		
Состав	эндотермический эк		экзотермический	темп: и потери массы), Т°С/%		
	I	II	III	I	II	
Гипс (без добавки)	93	130	285	93-130/25,5	140-620/6,76	
Тоже с доб. 1	100	130	285	100-130/19	140-665/6	
Тоже с доб. 2	105	140	290	100-130/17,45	130-670/8,15	

Из проведенных экспериментальных данных следует, что независимо от вида и количества введенных добавок ПАВ на кривых ДТА наблюдаются идентичные термоэффекты. Температура дегидратации и интенсивность эффектов смещаются в сторону низких температур, между ними появляются дополнительные эффекты, свидетельствующие о возникновении новообразований (Таблица 2).

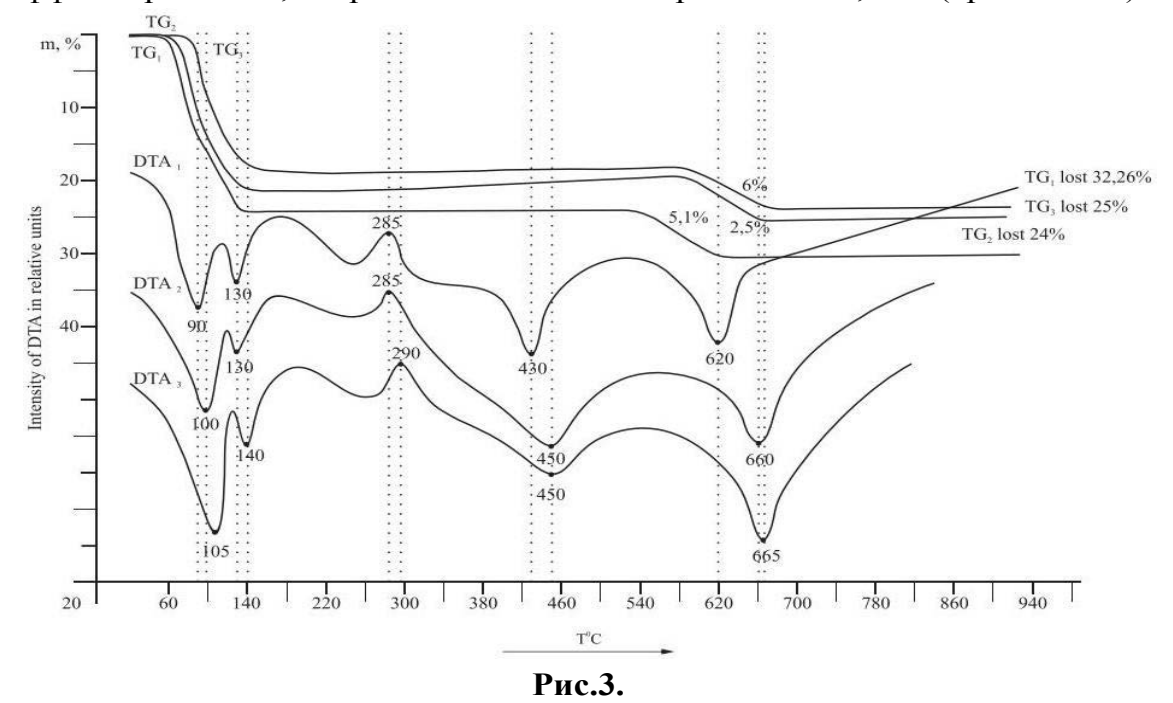


Дериватограмма затвердевшего гипса с добавкой 1.

На Рис.3 приведены дериватограммы смеси затвердевшего гипса с кальцитом в количестве 10 и 20% по массе, в Таблице 4 сведены термические показатели по расчетам кривых ДТА и ТG. Как видно из приведенных данных, на кривой ДТА состава 90:10 гипс:кальцит наблюдается один эндотермический эффект при 130°С, обусловленный дегидратацией полуводного затвердевшего гипса. При этом потеря воды составляет 4,5%.

ДИФФЕРЕНЦИАЛЬНО<u>-</u>ТЕРМИЧЕСКИЕ ИССЛЕДОВАНИЯ АКТИВИРОВАННОГО СТРОИТЕЛЬНОГО ГИПСА

Экзотермический эффект при 345°C соответствует перестройке решетки гипса после дегидратации. Эндотермический эффект при 690°C соответствует диссоциации обезвоженного гипса вещества и имеющегося в составе кальцита. В составе гипс:кальцит (80/20) на кривой ДТА 2 появляется широкий эндотермический эффект при 430°C, сопровождающийся потерей массы 2,18% (кривая ТG2).



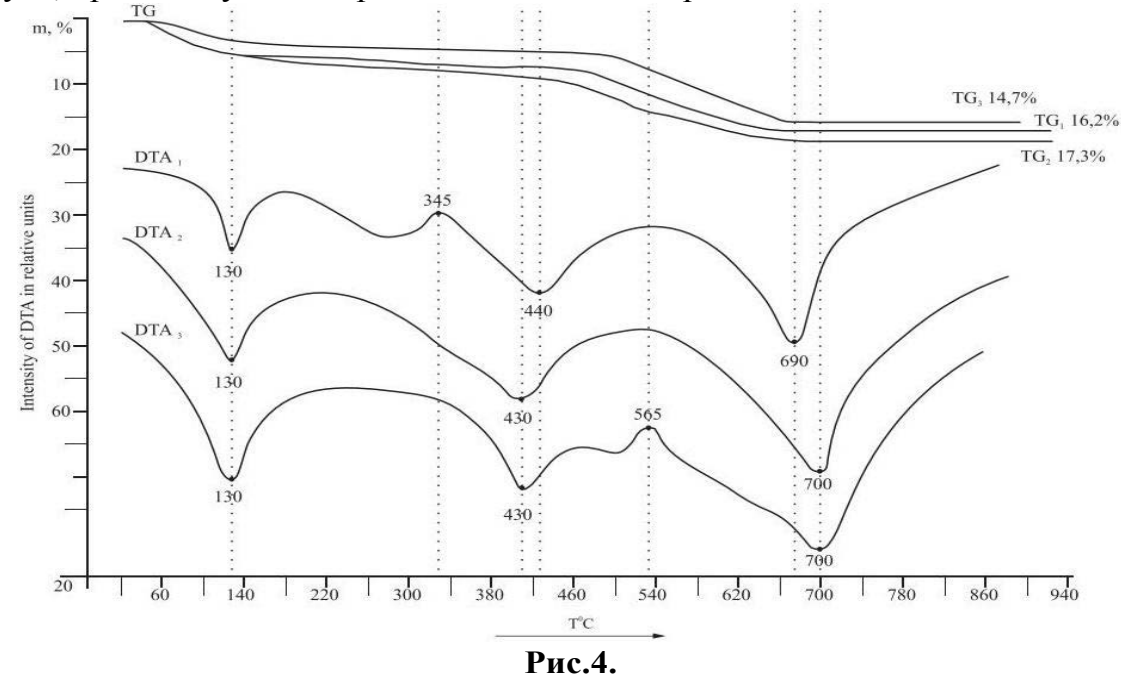
Дериватограмма затвердевшего гипса ПАВ: ДТ A_1 и Т G_1 гипс без добавки; ДТ A_2 и Т G_2 с добавкой 1 - 0,2%, ДТ A_3 и Т G_3 с добавкой 2 – 0,05%.

В составе 90:10 (гипс: кальций) с добавкой ПАВ 0,2% на кривой ДТАЗ (Рис.4) появляется новый экзотермический эффект при 565°C, обусловленный новообразованием. Количество потери воды уменьшилось на 0,3% по сравнению с составом 90/10 без добавки (Таблица 4). Эндотермический эффект при 700°C соответствует совместной диссоциации известняка новообразования. Новообразование, видимо, обусловлено тем, что на поверхности смеси состава 90:10 химосорбция поверхностно-активной добавки приводит в подвижность молекулы гипса и кальцита, которые внедряются в поры решетки известняка. Анализ термогравиметрических расчетов по кривым ТG, приведенным в Таблице 1 и Таблице 2 показывает, что введение добавки ПАВ в известняк уменьшает сорбцию влаги из воздуха вследствие повышения гидрофобизации поверхности. Таблица 4.

Термические показатели затвердевших составов смеси гипса с кальцитом.

Состав Гипс: кацит,	Диффе		но-термические гы Т°С	Термогравиметрический анализ ТG (интервал темп	
%	эндотерм	эндотермический экзотермический		и потери массы), Т°С/%	
90:10	65-130 130		345	130-690/11,7	16,2
90:20	65-130	130		130-700/122	17,3
90:10*	65-130	140	565	500-565/2,5	14,7

Образование на поверхности смеси 90:10 (гипса: кальцит) химосорбционных слоев из ПАВ способствует понижению сил капиллярного всасывания влаги из воздуха, препятствующих продвижению влаги через гипс.



Дериватограмма затвердевшего гипса: ДТА $_1$ и ТG $_1$ – 90/10; ДТА $_2$ и TG $_2$ -80/20; ДТА $_3$ и TG $_3$ 90/10 с добавкой бенафтон 0,2%.

Таким образом, из расчетов термических эффектов, обнаруженных на кривых ДТА, можно придти к заключению, что добавка в смесь 90:10 способствует улучшению качества затвердевшего гипса и уменьшает поглощение воды из атмосферы, которая в гипсе находится в виде адсорбционных полимолекулярных слоев. Под влиянием химосорбции ПАВ в смеси 90:10 молекулы гипса вступают во взаимодействие в контактном слое с минеральным порошком кальцита и закрепляют молекулы добавки на поверхности новообразования и, тем самы, улучшают качественные показатели затвердевшего гипсо-известняковой смеси.

- 1. Ю.М.Бутт, М.М.Сычов, В.В.Тимашев, Химическая технология вяжущих материалов, М., Высшая школа, (1980) 472.
- 2. E.H.Bəşirov, Aktivləşdirilmiş gipsin və əhəng daşın alinması üsulu, Patent A2-0223 (2010).
- 3. Л.Г.Берг, Введение в термографию, М., Наука, (1969) 154.

İNŞAAT GİPSİNİN DİFERENSİAL-TERMİKİ TƏDQİQATLARI

E.H.BƏŞİROV, N.A.EYYUBOVA

Səthi aktiv maddələr ilə inşaat gipsinin və kalsid qarışıqlarının differensial-termiki analizləri aparılmışdır.

Aktivləşdirmiş tərkiblərin bərkiməsi zamanı yaranmış prosesslər tədqiq edilmişdir. Təyin edilmişdir ki, aktivləşdirilmə nəticəsində SAM malekulları yeni əmələgəlmələrin üzərində saxlanılır və bərkimiş materialların keyfiyyətini yüksəldir.

THE DIFFERENTIAL THERMAL EXPLORATION OF ACTIVATED GYPSUM PLASTER

E.H.BASHIROV, N.A.EYYUBOVA

The differential thermal analyses of gypsum plaster and premixed calcite-plaster, activated admixture of surface materials have been executed. The processes of hardening activated compounds have been studied. It has been established that the activation has promoted fixed molecules keep on the surface of tumors and has improved quality of hardened materials.

Редактор: А.Аббасов

УДК 621.315.592

ИССЛЕДОВАНИЕ ПОЛИМОРФНЫХ ПРЕВРАЩЕНИЙ В $Rb_{0.975}Cs_{0.025}NO_3$ И $Rb_{0.950}Cs_{0.05}NO_3$ МЕТОДОМ ВЫСОКОТЕМПЕРАТУРНОЙ РЕНТГЕНОГРАФИИ

В.И.НАСИРОВ, А.Ф.ХАЗИЕВА, Ю.Г.АСАДОВ, Г.Г.ГУСЕЙНОВ

Институт физики НАН Азербайджана AZ 1143, Баку, пр. Г. Джавида, 33 yusifasadov@rambler.ru

поступила: 31.03.2011 принята к печати: 20.06.2011

Ключевые слова: полиморфизм, полиморфные превращения, модификация, энантиотропия.

РЕФЕРАТ

Методом рентгеновской дифракции исследованы полиморфные превращения в полученных нами кристаллах $Rb_{0.975}Cs_{0.025}NO_3$ и $Rb_{0.950}Cs_{0.05}NO_3$. От комнатной до температуры плавления в обоих кристаллах установлены четыре различных модификации. Определены температуры превращения и параметры элементарных ячеек кристаллов этих модификаций.

Изучение закономерностей полиморфного превращения в нитратовых соединениях щелочных металлов имеет не только научный, но и практический интерес, так как этот процесс тесно связан с вопросами технологии получения монокристаллов смешанного состава, обладающих полиморфизмом.

В интервале температур от комнатной до температуры плавления ($T_{\text{пл}}$ =587К) у нитрата рубидия установлены четыре различных модификации. При комнатной температуре IV-модификация имеет ромбоэдрическую решетку с симметрией Р31 [1]. При температуре T>437К ромбоэдрическая модификация превращается в кубическую III- модификацию с симметрией Fm $\overline{3}$ m [2]. При температуре T>492К III-кубическая модификация превращается в ромбоэдрическую II-модификацию с симметрией Pm $\overline{3}$ m [3] и при T>564К эта модификация в свою очередь превращается в кубическую I-модификацию с симметрией Fm $\overline{3}$ m [4]. Превращения IV \leftrightarrow III \leftrightarrow II относятся к числу энантиотропных.

Нитрат цезия при комнатной температуре кристаллизуется в ромбической псевдотригональной сингонии с симметрией P3/m (II-модификация) [5] и это модификация при T>434К превращается в кубическую (I-модификация) с симметрией Pa3 [6]. Превращения $II \leftrightarrow I$ в нитрате цезия относятся к числу энантиотропных.

На основе полученных данных о морфологии и кинетике полиморфных превращений в нитратах рубидия и цезия выявлено существование новых х-модификаций между III и IV модификациями в нитрате рубидия [7], и I и II модификациями в нитрате цезия [8].

В работе [9] молекулярно-динамическим моделированием исследованы структурные фазовые превращения в нитратах рубидия и цезия, а в [10]- методом ДСК составлена фазовая диаграмма системы RbNO₃-CsNO₃.

Исследования твердых растворов нитрата цезия в нитрате рубидия показывают, что I и III модификации не наблюдаются в твердых растворах при концентрации соли цезия ~ 25 мол % [11].

Для выяснения закономерностей полиморфных превращений в твердом растворе нитрата цезия и нитрате рубидия нами проведена серия микроскопических и рентгенографических исследований. Целью которых является установление влияния на механизм этих превращений в нитрате рубидия

В.И.НАСИРОВ, А.Ф.ХАЗИЕВА, Ю.Г.АСАДОВ, Г.Г.ГУСЕЙНОВ

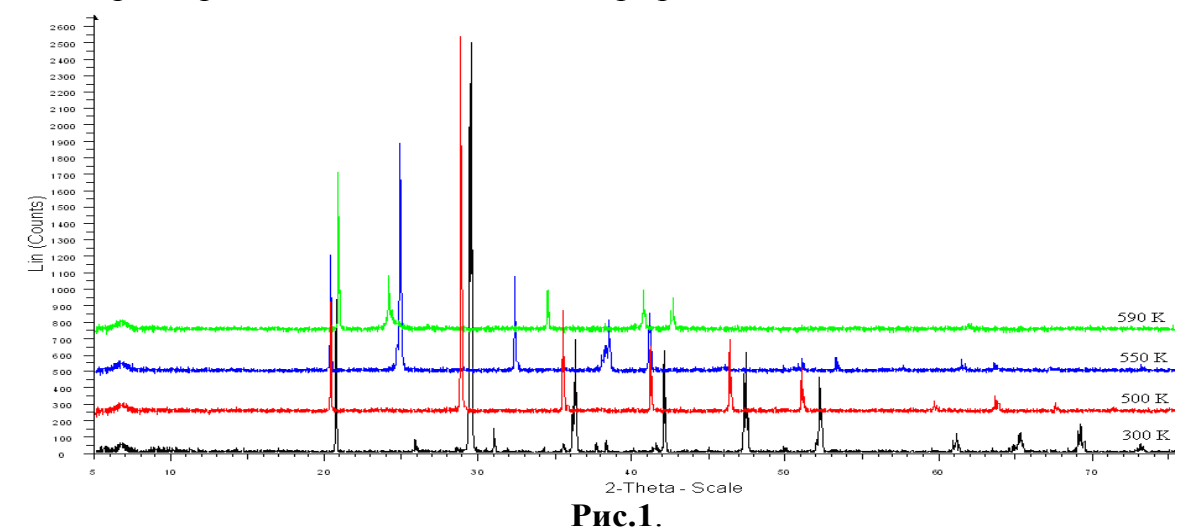
частичного замещения ионов Rb^{1+} ионами Cs^{1+} . Настоящая работа является частью запланированных нами серий работ [12,13,14] посвящена рентгенографическому исследованию полиморфных превращений в этих твердых растворах которые ранее не исследовались.

Монокристаллы $Rb_{0.975}Cs_{0.025}NO_3$ и $Rb_{0.950}Cs_{0.05}NO_3$, были получены из водного раствора при комнатной температуре (IV-модификация). Для совершенства и чистоты полученных кристаллов нитраты рубидия и цезия марки «ХЧ» подвергались дополнительной очистке путем многократной кристаллизации. Полученные хорошо ограненные кристаллы размерами в среднем 1x0,5x10мм имели разнообразные внешние формы. Для рентгенографических исследований из этих монокристаллов получены образцы в виде порошка, так рентгенографические исследования проведены на порошковом дифрактометре типа D8 ADVANCE фирмы "Bruker" при режиме 40kV, 40mA, CuK_{α} -излучения (λ =1.5406Å), на температурной камере типа TTK723K в интервале температур 77K < T < 723K.

1. Зафиксированные в образце $Rb_{0.975}Cs_{0.025}NO_3$ 11 четких дифракционных отражений индицируются в ромбоэдрической сингонии с параметрами элементарной ячейки в гексагональной установке: a=10.484Å, c=7.459Å, пр.гр. P31. После записи дифракционных отражений при комнатной температуре, при повышении температуры образца проводились записи через каждые 10К. Перед началом каждой записи температура образца поддерживалась постоянной в течении 30 минут.

По изменениям интенсивности тех структурно чувствительных отражений, которые исчезают при структурных превращениях, была определена температура превращения в $Rb_{0.975}Cs_{0.025}NO_3$ и установлено, что при T=500+1 К ромбоэдрическая модификация превращается в кубическую с параметрами элементарной ячейки a=4.372Å, пр.гр.Pm $\bar{3}$ m, а при температуре $T=500\div1$ К происходит обратный процесс.

Анализ дифракционных записей, зафиксированных при разных температурах показывает, что в интервале температур 500÷550К в количествах дифракционных отражений и их интенсивностях существенных изменений не происходят. Только при температуре 550±1К прежние дифракционные отражении исчезают и появляются новые отражения принадлежащие не кубической решетке как показана в [3], а тетрагональной решетке с параметрами а=3.942Å, c=8.765Å, пр.гр. I4.



Дифракционная картина $Rb_{0.975}Cs_{0.025}NO_3$ при различных температурах.

В интервале температур 551÷590К число и интенсивность зафиксированных отражений остаются без изменения, а при температуре T=590±1K принадлежащие тетрагональной решетке дифракционные отражения, полностью исчезают и появляются новые дифракционные отражения, которые индуцируются на основе кубической решетки с параметром a=7.370Å, пр.гр.Fm $\frac{1}{3}$ m. Расчет дифрактограм кристалла $Rb_{0.975}Cs_{0.025}NO_3$ записанных при разных температурах приведен в Таблице 1, а на Рис.1 дифракционная картина исследуемого кристалла При охлаждении образец Rb_{0.975}Cs_{0.025}NO₃ температурах. возвращается в исходное состояние, т.е. полиморфные превращения в данном образце имеют энантиотропный характер.

Таблица 1. Расчет дифрактограммы кристалла $Rb_{0,975}Cs_{0,025}NO_3$, записанных при разных температурах (излучения CuK_{α} , λ =1.5406Å, 40kV, 40mA).

r	(излучения CuK_{α} , λ =1.5406A, 40kV, 40mA).								
Тэкс. К	20	d _{экс} , Å	I/I ₀ , %	hkl	Параметры элементарной ячейки, Å				
	20.69^{0}	4.288	37.9	111					
	29.36^{0}	3.038	100	112					
	29.41^{0}	3.026	97.5	300					
	31.08^{0}	2.881	9.1	202	D				
	36.09^{0}	2.486	17.4	003	Ромбоэдрическая				
300	36.3°	1.472	25.9	221	a=10.484Å				
	38.26^{0}	1.35	38,1	302	c=7.459 Å				
	42.1^{0}	1.144	38.3	222	пр.гр. Р31				
	47.27^{0}	1.921	26.3	303					
	52.23^{0}	1.749	10.7	41					
	69.12^{0}	1.357	8.2	144					
	20.29^{0}	4.372	38.9	100					
	28.85^{0}	3.092	100	110	Кубическая				
	35.52^{0}	2.524	21.2	111	а=4.372 Å				
500	41.25^{0}	2.186	10.9	200	_				
	46.39^{0}	1.955	10.6	210	пр.гр. Рт 3 т				
	51.12^{0}	1.785	2.7	211					
	63.8°	1.457	1.7	300					
	20.28^{0}	4.375	43.5	002					
	24.83^{0}	3.582	100	101					
	32.37^{0}	2.763	45.5	110					
	38.22^{0}	2.352	8.8	112	Топроводо и мод				
550	38.47^{0}	2.338	23.4	103	Тетрагональная a=3.942Å				
	41.13^{0}	2.192	23	004	c=8.765 Å				
	51.1°	1.785	6.1	202					
	53.29^{0}	1.717	6.7	114	пр.гр. I4				
	61.51^{0}	1.506	5.2	123					
	20.86^{0}	4.255	100	111					
	24.13^{0}	3.685	37.2	200	Кубическая				
590	34.39^{0}	2.605	5.1	220	a=7.370Å				
	40.56^{0}	2.222	3.7	311	пр.гр. Fm $\overline{3}$ m				
	42.45^{0}	2.127	0.4	222					

2. Аналогичные эксперименты проведены в кристаллах $Rb_{0.950}Cs_{0.05}NO_3$ и установлено, что в данном образце полиморфные превращения происходят по той же схеме как в $Rb_{0.975}Cs_{0.025}NO_3$, но только с некоторым различием в параметрах элементарной ячейки. В Таблице 2 приведены расчеты дифрактограмм кристалла $Rb_{0.950}Cs_{0.05}NO_3$ записанных в различных температурах, а в Рис.2. дифракционная картина процесса превращения в исследуемых кристаллах.

В.И.НАСИРОВ, А.Ф.ХАЗИЕВА, Ю.Г.АСАДОВ, Г.Г.ГУСЕЙНОВ

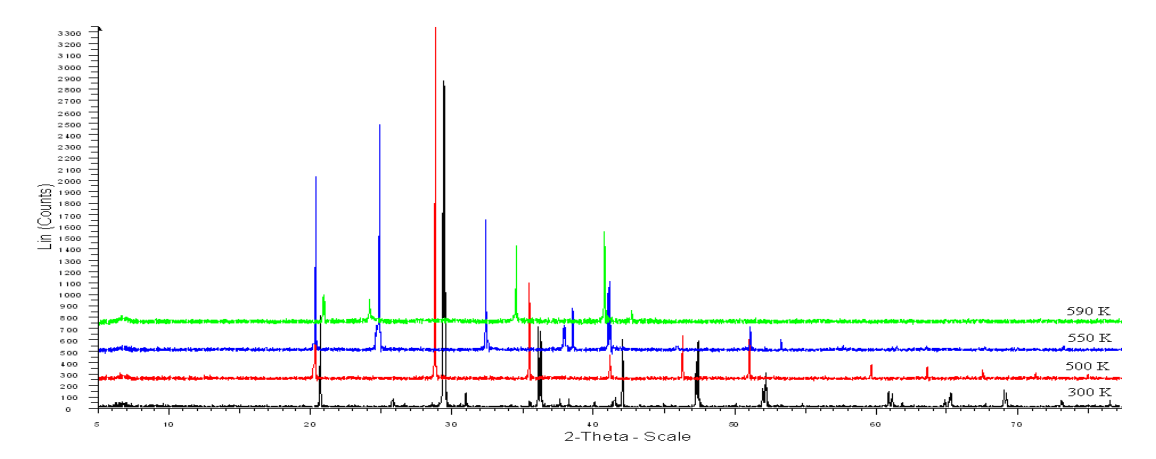


Рис.2. Дифракционная картина $Rb_{0.950}Cs_{0.05}NO_3$ при различных температурах.

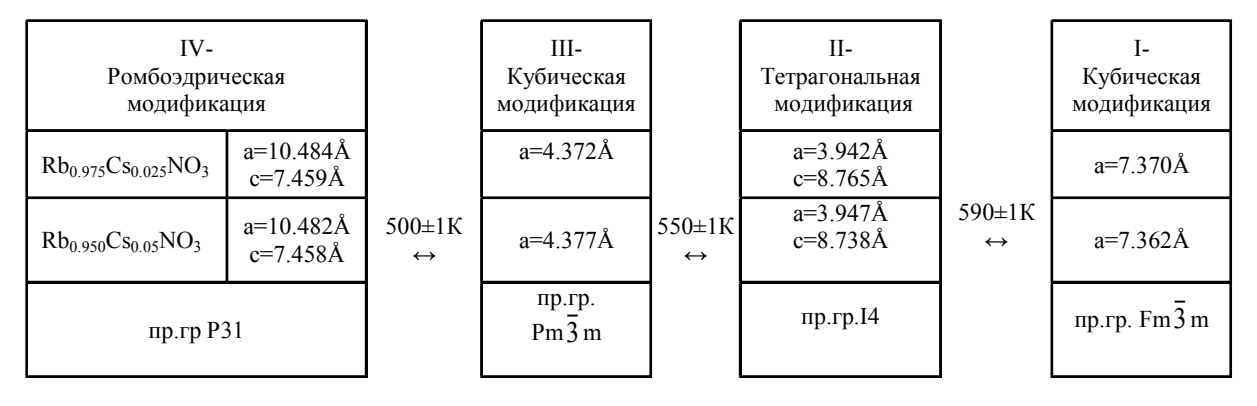
Таблица 2. Расчет дифрактограммы кристалла $Rb_{0,950}Cs_{0,05}NO_3$, записанных при разных температурах (излучения CuK_{α} , λ =1.5406Å, 40kV, 40mA).

Тэкс. К	2θ	d _{экс} , Å	I/I ₀ , %	hkl	Параметры элементарной ячейки, Å
300	20.69° 29.37° 29.49° 31.01° 36.1° 36.3° 38.27° 42.1° 47.44° 52.24° 69.324°	4.288 3.038 3.026 2.881 2.486 2.472 2.349 2.144 1.35 1.914 1.749 1.519 1.354	23.7 100 84.1 3 26.9 18.8 2.5 17.7 22.1 10.2 5	111 112 300 202 003 221 302 222 411 142 224 252	Ромбоэдрическая a=10.482Å c=7.458 Å пр.гр. Р31
500	20.29° 28.85° 35.52° 41.25° 46.39° 51.12° 63.8°	4.372 3.092 2.524 2.186 1.955 1.785 1.457	38.9 100 21.2 10.9 10.6 2.7 1.7	100 110 111 200 210 211 300	Кубическая a=4.377 Å пр.гр. Рт 3 т
550	20.28 ⁰ 24.83 ⁰ 32.37 ⁰ 38.22 ⁰ 38.47 ⁰ 41.13 ⁰ 51.1 ⁰ 53.29 ⁰ 61.51 ⁰	4.375 3.582 2.763 2.352 2.338 2.192 1.785 1.717 1.506	43.5 100 45.5 8.8 23.4 23 6.1 6.7 5.2	002 101 110 112 103 004 202 114 123	Тетрагональная a=3.947Å c=8.738 Å пр.гр. I4
590	20.86 ⁰ 24.13 ⁰ 34.39 ⁰ 40.56 ⁰ 42.45 ⁰	4.255 3.685 2.605 2.222 2.127	100 37.2 5.1 3.7 0.4	111 200 220 311 222	Кубическая a=7.362Å пр.гр. Fm3 m

ИССЛЕДОВАНИЕ ПОЛИМОРФНЫХ ПРЕВРАЩЕНИЙ В $Rb_{0.975}Cs_{0.025}NO_3$ И $Rb_{0.950}Cs_{0.05}NO_3$ МЕТОДОМ ВЫСОКОТЕМПЕРАТУРНОЙ РЕНТГЕНОГРАФИИ

По результатам экспериментальных данных в кристаллах $Rb_{0.975}Cs_{0.025}NO_3$ и $Rb_{0.950}Cs_{0.05}NO_3$ в интервале температур $300\div600$ К происходят структурные превращения по следующий схеме:

При охлаждении образец $Rb_{0.90}Cs_{0.10}NO_3$ возвращается в исходное состояния, т.е. полиморфные превращения в данном образце имеют энантиотропный характер. Структурные данные отдельных модификаций и температурные интервалы существования их приведены в Таблице 3. Таким образом рентгенографические исследования показывают, что в $Rb_{0.975}Cs_{0.025}NO_3$ и $Rb_{0.950}Cs_{0.05}NO_3$, как и в нитрате рубидия при нормальном давлении от комнатной до температуре плавления имеются четыре полиморфных модификаций и частичное изоморфное замещение ионов Rb^{1+} ионами Cs^{1+} в определенной мере влияет на температуры превращения и температурный интервал существования полиморфных модификаций.



Для сравнения в Таблице.3. приводится значения температурных интервалов существования полиморфных модификаций в нитрате рубидия [1-4] и в $Rb_{0.975}Cs_{0.025}NO_3$ и $Rb_{0.950}Cs_{0.05}NO_3$.

Таблице.3. Температурный интервал существования полиморфных модификации RbNO₃, Rb_{0.975}Cs_{0.025}NO₃ и Rb_{0.950}Cs_{0.05}NO₃.

Состав	IV-модификация	III-модификация	II-модификация	І-модификация
RbNO ₃	Ниже 437К	437-492К	492-564К	564-587K
Rb _{0.975} Cs _{0.025} NO ₃	300-500К	500-550К	550-590К	590-600К
$Rb_{0.950}Cs_{0.05}NO_3$				

Полиморфные превращения кристаллах исследуемых носят В энантиотропный характер, что подтверждается морфологическими И исследованиями, проведенными под оптическим микроскопом [15]. установлено, что III-модификация исследуемых кристаллов не имеет кубическую, была показана в [3], а тетрагональную решетку и х-модификация, обнаруженная между IV и III модификациями в нитрате рубидия [7], в Rb_{0.975}Cs_{0.025}NO₃ и Rb_{0.950}Cs_{0.05}NO₃ отсуствует.

- 1. R.N.Brown, A.C.Mclaren, *The thermal transformations in solid rubidium nitrate, Acta Cryst.*, **15** (1962) 974-978.
- 2. R.N.Brown, A.C.Mclaren, *The mechanism of the thermal transformation in solid rubidium and ammonium nitrate, Proc. Roy. Soc.*, **266** (1962) 329-34.
- 3. U.Korhonen, *The crystal structure of RbNO*₃, *Ann. Acad. Sci. Fennicae.*, Ser. 1, **102** (1951 37-41.

В.И.НАСИРОВ, А.Ф.ХАЗИЕВА, Ю.Г.АСАДОВ, Г.Г.ГУСЕЙНОВ

- 4. L.Pauling, J.Sherman, *Note on the crystal structure of rubidium nitrate, Z.Kristallogr. Kristallogeom*, **84** (1953) 213-215.
- 5. C. Finback, O. Hassel, The structure of CsNO₃, Z. Physic, 5 (1937) 460-465.
- 6. U. Korhonen, *The crystal structure of cesium nitrate, Ann. Acad. Sci. Fennicae.Ser.*, **150** (1953) 1-16.
- 7. Э.В.Насиров, В.И. Насиров, Ю.Г. Асадов, Морфология роста кристаллов при полиморфных III↔II ↔I превращениях в нитрате рубидия, Transactions of Azerbaijan Academy of Sciences, Series of Physical-mathematical and Technical sciences, Physics and Astronomy, XXVI № 5 (2006) 150-153.
- 8. В.И.Насиров, Ч.М.Алекперов., Ф.Г.Магеррамова, *Полиморфные превращения в CsNO*₃, *Изв. Азерб. Пед. Университета*, №1-2 (1995) 70-76.
- 9. J.Lin, C.Duan, M.Ossowski, W.Mei, R.Smith, J.Hardy, *Molecular dynamics simulation of structural phase transitions in RbNO₃ and CsNO₃*, J.Sol.State Chem., **60** (2001) 222-229.
- 10. E.A.Secco, R.A.Secco, Heats of solution/substitution in TlNO₃ and CsNO₃ crystals and in RbNO₃ and CsNO₃ crystals from heats of transition: the complete phase diagrams of TlNO₃–CsNO₃ and RbNO₃–CsNO₃ systems, J.Phys and Chem. of Solids, **63** (2002) 433-440.
- 11. E.C.Schlemper, W.C.Hamilton, *The phase diagrams of system RbNO*₃-*CsNO*₃, *J. Chem. Phys.*, **408** (B) (1966) 4498-4502.
- 12. В.И.Насиров, А.Ф.Хазиева., Ю.Г.Асадов, Полиморфные $IV \leftrightarrow III \leftrightarrow II \leftrightarrow I$ превращения в $Rb_{0,95}Cs_{0,05}NO_3$, Transactions of Azerbaijan Academy of Sciences, Series of Physical-mathematical and Technical sciences, Physics and Astronomy, **XXIX** №5 (2009) 157-161.
- 13. А.Ф.Хазиева, Ю.Г.Асадов, В.И.Насиров, Полиморфные превращения в монокристаллах $Rb_{0.950}Cs_{0.05}NO_3$, Докл. НАН Азерб., **65** (2009) 66-70.
- 14. В.И. Насиро., А.Ф. Хазиева, Ю.Г. Асадов, Полиморфные превращения в монокристалл \leftrightarrow монокристалл $Rb_{0,975}Cs_{0,025}NO_3$, Кристаллография, **56** (2011) 990-994.
- 15. А.Ф.Хазиева, В.И.Насиров, Ю.Г.Асадов, Ю.И.Алыев, Полиморфные превращения в монокристаллах $Rb_{0,975}Cs_{0,025}NO_3$, Transactions of Azerbaijan Academy of Sciences, Series of Physical-mathematical and Technical sciences, Physics and Astronomy, **XXX** №5 (2010) 87-91.

YÜKSƏKTEMPERATURLU RENTGENOQRAFİK METOD VASİTƏSİLƏ Rb_{0.975}Cs_{0.025}NO₃ VƏ Rb_{0.950}Cs_{0.05}NO₃-DƏ POLİMORF ÇEVRİLMƏLƏRİN TƏDQİQİ

V.İ.NƏSİROV, A.F.HƏZİYEVA, Y.Q.ƏSƏDOV, Q.H.HÜSEYNOV

Rentgenoqrafik difraksiya metodu ilə suda məhluldan alınan $Rb_{0.975}Cs_{0.025}NO_3$ və $Rb_{0.950}Cs_{0.05}NO_3$ kristallarında polimorf çevrilmələr tədqiq olunmuşdur. Otaq temperaturundan ərimə temperaturuna kimi hər iki kristalda dörd müxtəlif polimorf modifikasiya müəyyən edilmişdir. Həmin kristallarda bütün modifikasiyaların kristal qəfəslərinin parametrləri və keçid temperaturları təyin olunmuşdur.

RESEARCH OF POLYMORPHIC TRANSFORMATIONS IN $Rb_{0.975}Cs_{0.025}NO_3$ AND $Rb_{0.950}Cs_{0.05}NO_3$ BY METHOD OF HIGH-TEMPERATURE X-RAY

V.I.NASIROV, A.F.HAZIEVA, Yu.G.ASADOV, Q.Q.QUSEINOV

 $Rb_{0.975}Cs_{0.025}NO_3$ and $Rb_{0.950}Cs_{0.05}NO_3$ have been investigated by method of x-ray diffraction polymorphic transformations. In both crystals from room temperature to the melting temperature four various updating have been established. Temperatures of transformation and parameters of elementary cells of crystals of these updatings have been defined.

Редактор: И.Нуриев

УДК 621.374

МОДЕЛИРОВАНИЕ АНИЗОТРОПНОГО ПРЯМОУГОЛЬНОГО ВОЛНОВОДА, ЧАСТИЧНО ВНЕДРЕННОГО В АНИЗОТРОПНУЮ ПОДЛОЖКУ

И.Дж.ИСЛАМОВ, М.Б.ДЖАФАРЗАДЕ

Азербайджанский Технический Университет AZ 1073, Баку, пр. Г.Джавида, 25 icislamov@mail.ru, jafarzademb@yahoo.com

поступила: 02.05.2011 принята к печати: 13.06.2011

Ключевые слова: СВЧ, анизотропный прямоугольный волновод, анизотропная подложка, моделирование анизотропного прямоугольного волновода.

РЕФЕРАТ

учетом дифракции рассматривается анизотропного моделирования прямоугольного волновода, частично внедренного в анизотропную подложку. Проведены численные расчеты анизотроп-Экспериментально волновода. исследован прямоугольный анизотропный волновод в СВЧ диапазоне. Сопоставление теоретических и экспериментальных данных показывает, что одноволновое приближение достаточно точно описывает основные типы прямоугольных анизотропных волноводов.

ВВЕДЕНИЕ

Исследование распространения электромагнитных волн вдоль прямоугольных диэлектрических волноводов имеет большой научный практический интерес. Это, в первую очередь, связано с тем, что такие волноводы не только могут служить для ограничения и направления электромагнитного сигнала, но и являются основой различных устройств телекоммуникации. Следует отметить, что строгая теория прямоугольных волноводов далека от завершения. Существующие методы расчета условно можно разделить на численные и аналитические [1-3]. Численные методы применимы, как правило, для волноводов с малыми перепадами диэлектрической проницаемости [3] или, окруженных однородной средой. Наибольший интерес представляют приближенные методы, поскольку они применимы к более широкому кругу задач. Необходимо отметить, что приближенные методы анализа [5-8] не дают полного решения граничной задачи, но их отличает простота конечных результатов. Так, постоянная распространения мод находится из характеристических уравнений для двух плоских волноводов. При этом различные методы отличаются лишь выбором показателей преломления этих волноводов. Для получения полной картины распределения поля в прямоугольном волноводе необходимо учесть дифракцию волн на гранях волновода.

ПОСТАНОВКА ЗАДАЧИ

В настоящей работе приближенно, но с учетом дифракции, рассматривается задача моделирования анизотропного прямоугольного волновода, частично внедренного в анизотропную подложку. Задача решается методом частичных областей в одноволновом приближении, суть которого заключается в следующем. Поле в центральной части волновода представляется модой плоского волновода. При взаимодействии с боковыми гранями предполагается, что мода отражается преимущественно в себя. Приближенное согласование полей на границах частичных областей приводит к нахождению амплитуд разложений и дисперсионному уравнению относительно постоянной распространения.

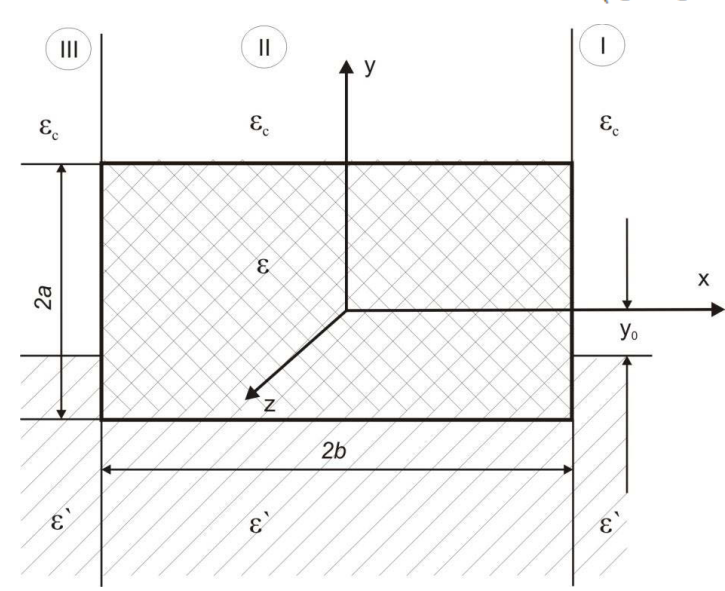
РАЗРАБОТКА МАТЕМАТИЧЕСКИХ МОДЕЛЕЙ

Основной интерес представляет решение данной задачи для произвольной ориентации главных осей тензора диэлектрической проницаемости относительно выбранной системы координат. Однако ее решение весьма затруднительно. Поэтому ограничимся частным случаем, когда анизотропный волновод характеризуется тензором диэлектрической проницаемости диагонального вида, у которого два элемента равны:

$$\varepsilon = \begin{pmatrix} \varepsilon_0 & 0 & 0 \\ 0 & \varepsilon_e & 0 \\ 0 & 0 & \varepsilon_0 \end{pmatrix}. \tag{1}$$

Предполагаем, что тензор диэлектрической проницаемости подложки имеет имеет аналогичный вид:

$$\dot{\varepsilon} = \begin{pmatrix} \dot{\varepsilon}_0 & 0 & 0 \\ 0 & \dot{\varepsilon}_e & 0 \\ 0 & 0 & \dot{\varepsilon}_0 \end{pmatrix}.$$
(2)



Выберем декартову систему координат таким образом, чтобы ось волновода совпадала осью OZ. координатной поперечной плоскости область, стержнем, занимаемая определялась неравенствами |x|≤b, $|y| \le a$ (Рис.1). Принимаем, что волновод внедрен в подложку на величину $(a + y_0)$.

Рис. 1. Прямоугольный волновод, частично внедренный в подложку.

Предполагаем также, что среда над волноводом и подложкой - изотропный диэлектрик с диэлектрической проницаемостью ε_c . Следует отметить, что задача в такой постановке не решается известными методами [5-8]. Данная задача решается методом частичных областей в одноволновом приближении.

Разобьем плоскость поперечного сечения системы на три частичные области. Область I ограничена плоскостями $x=\pm b$ области II и III задаются соответственно неравенствами x>b и x<-b. Решение уравнений Максвелла ищем в виде бегущих вдоль оси волновода гармонических волн [10-14]:

$$E = E(x,y) \exp(ihz - i\omega f), \quad H = H(x,y) \exp(ihz - i\omega f). \tag{3}$$

При этом поперечные составляющие поля во всех точках системы выражаются посредством дифференцирования через продольные составляющие E_z и H_z . Найдем распределение поля в областях I—III. С учетом симметрии системы относительно плоскости x=0 возможно существование двух независимых групп волн. Пренебрегаем процессом трансформации волн при отражении на гранях x= $\pm b$, т. е. поле в частичной области I приближенно представим одной модой плоского анизотропного волновода на анизотропной подложке. Граничным условиям при y= $\pm a$ удовлетворяют два типа независимых волн. Для первого типа, который определяется условием E_y =0, выражения для продольных составляющих в области I имеют вид:

$$E_z(x,y) = A_0 \varphi_0(x,y), \ H_z(x,y) = A_0 \varphi_0(x,y), \tag{4}$$

а волновые числа u_0 , θ_0 , q_2 и q_3 связаны с h_0 выражениям

$$k_0^2 \varepsilon_0 = u_0^2 + \theta_0^2 + h_0^2 \,, \tag{5}$$

$$k_0^2 \dot{\varepsilon}_0 = u_0^2 + \theta_0^2 - q_3^2 \,, \tag{6}$$

$$k_0^2 \dot{\varepsilon}_0 = u_0^2 + \vartheta_0^2 - q_3^2 , \qquad (6)$$

$$k_0^2 \varepsilon_{\theta} = u_0^2 + \vartheta_0^2 - q_3^2 , \qquad (7)$$

являющимися обычными уравнениями для постоянных распространения. При этом 9_0 , q_2 и q_3 удовлетворяют уравнению

$$tg(2\theta_0 a) = \theta_0(q_2 + q_3) / (\theta_0^2 + q_2 q_3), \tag{8}$$

которое аналогично характеристическому уравнению для обыкновенных волн плоского анизотропного волновода на анизотропной подложке.

Для второго типа волн с поляризацией $H_{\nu} = 0$ в области будем иметь

$$E_z(x,y) = B_e \varphi_e(x,y), \ H_z(x,y) = B_e \varphi_e(x,y),$$
 (9)

а волновые числа u_e , $\boldsymbol{9}_e$, $\boldsymbol{\acute{q}}_2$ и $\boldsymbol{\acute{q}}_3$ связаны с h_e выражениям

$$k_0^2 \varepsilon_0 \varepsilon_e = \varepsilon_e u_e^2 + \varepsilon_0 (u_e^2 + h_e^2), \qquad (10)$$

$$k_0^2 \dot{\varepsilon}_0 \dot{\varepsilon}_e = \dot{\varepsilon}_0 (u_e^2 + h_e^2) - \dot{q}_3^2 \dot{\varepsilon}_e , \qquad (11)$$

$$k_0^2 \varepsilon_e = u_e^2 + h_e^2 - \dot{q}_2^2 , \qquad (12)$$

$$k_0^2 \varepsilon_{\rho} = u_{\rho}^2 + h_{\rho}^2 - \hat{q}_2^2 \,, \tag{12}$$

соответствующими необыкновенным волнам. При этом θ_e , \dot{q}_2 и \dot{q}_3 удовлетворяют уравнению

$$tg\left(2\vartheta_{0}a\right) = \frac{\varepsilon_{0}\vartheta_{e}(\dot{\varepsilon}_{0}\dot{q}_{2} + \varepsilon_{e}q_{3})}{\varepsilon_{0}\dot{\varepsilon}_{0}\vartheta_{0}^{2} + \varepsilon_{0}^{2}\dot{q}_{2}\dot{q}_{3}},$$
 (13) подобному характеристическому уравнению для необыкновенных волн плоского

анизотропного волновода на подложке.

Таким образом, волны (4) соответствуют обыкновенным волнам ($E_v = 0$), а (9) - необыкновенным волнам $(H_v=0)$ анизотропного прямоугольного диэлектрического волновода.

Во внешних областях II (x > b и III (x < --b) поля представим в виде суперпозиции собственных волн системы, состоящей из двух сред, одна из которых имеет диэлектрическую проницаемость ε_c , а вторая характеризуется тензором диэлектрической проницаемости (2), разделенных плоской границей $y=y_o$.

Для обыкновенных волн с поляризацией $E_{\nu}=0$ имеем (верхний знак соответствует области x < -b, а нижний области x > b):

$$E_{z}(x,y) = \int_{0}^{\infty} \propto_{\pm} (\lambda_{1}) F_{1}(\lambda_{1},y) \exp[\pm \beta_{1}(x \pm b)] d\lambda_{1}$$

$$+ \int_{0}^{\infty} \gamma_{\pm} (\sigma_{1}) F_{2}(\sigma_{2},y) \exp[\pm \beta_{2}(x \pm b)] d\sigma_{2}$$

$$H_{z}(x,y) = \int_{0}^{\infty} \frac{h}{\pm \beta_{1} \kappa_{0}} \propto_{\pm} (\lambda_{1}) E_{1}(\lambda_{1},y) \exp[\pm \beta_{1}(x \pm b)] d\lambda_{1} +$$

$$+ \int_{0}^{\infty} \frac{h}{\pm \beta_{2} \kappa_{0}} \gamma_{\pm} (\sigma_{2},y) E_{2}(\sigma_{2},y) \exp[\pm \beta_{2}(x \pm b)] d\sigma_{2}$$

$$(14)$$

Для необыкновенных волн с поляризацией H_v=0 выражения для продольных составляющих полей аналогичны

$$H_{z}(x,y) = \int_{0}^{\infty} c_{\pm}(\lambda_{1})\overline{F}_{1}(\lambda_{1},y) \exp[\pm\beta_{1}(x\pm b)] d\lambda_{1}$$

$$+ \int_{0}^{\infty} d_{\pm}(\sigma_{2})\overline{F}_{2}(\sigma_{2},y) \exp[\pm\beta_{2}(x\pm b)] d\sigma_{2}$$

$$E_{z}(x,y) = \int_{0}^{\infty} \frac{h}{\pm\beta_{1}\kappa_{0}} c_{\pm}(\lambda_{1})\overline{E}_{1}(\lambda_{1},y) \exp[\pm\beta_{1}(x\pm b)] d\lambda_{1} +$$

$$+ \int_{0}^{\infty} \frac{h}{\pm\beta_{2}\kappa_{0}} d_{\pm}(\sigma_{2})\overline{E}_{2}(\sigma_{2},y) \exp[\pm\beta_{2}(x\pm b)] d\sigma_{2}$$

$$(15)$$

В выражениях (15) нижний знак соответствует области II, а верхний области III. При этом, если $e_c = e'_0 = e_e$ (среда в областях II u III однородна), выражения (14) и (15) преобразуются в интегралы Фурье по плоским волнам.

Амплитуды разложений $\alpha_{\pm}(\lambda_1)$ и $y_{\pm}(\lambda_2)$, $C_{\pm}(\sigma_1)$ и $d_{\pm}(\sigma_2)$ определяют электромагнитное поле в областях II и III для двух типов волн полоскового волновода и в зависимости от четности решения по x могут отличаться только знаком. Эти амплитуды, а также постоянная распространения h, определяющие поле полоскового волновода, находятся из условий согласования полей на границах $x=\pm b$. Вследствие симметрии системы относительно плоскости x=0достаточно учесть граничные условия лишь на одной поверхности x=b. Предположим, что отражение воли на гранях $x=\pm b$ происходит преимущественно без трансформации, т. е. поле в частичной области I имеет вид (4) или (9). При этом, как и прежде, составляющие поля H_z для волн (4) и E_z для волн (9) не учитываются. Тогда из согласования E_z компонент для обыкновенных волн (4) и H_z , составляющих для необыкновенных волн (9) на границе x=b соответственно и из условий равенства H_{ν} составляющих для обыкновенных волн (4) и E_{ν} составляющих для необыкновенных волн получим характеристические уравнения для нахождения постоянной распространения для двух типов волн полоскового волновода

$$\begin{aligned}
&-ctg(ub) \left\{ \frac{u^2 + h^2}{u} \int_{-\infty}^{+\infty} |\varphi_e(b, \hat{y})|^2 dy \\
&= \int_{-\infty}^{+\infty} \frac{\lambda_1^2 - k_0^2 \varepsilon_e}{\beta_1} * \left| \int_{-\infty}^{+\infty} \varphi_e(b, y) \hat{F}_1(\lambda_1, y) d\lambda_1 \right|^2 d\lambda_1 \\
&+ \int_{0}^{\infty} \frac{\sigma_2^2 - k_0^2 \hat{\varepsilon}_0}{\beta_2} \left| \int_{-\infty}^{+\infty} \varphi_0(b, y) \hat{F}_2(\sigma_2, y) dy \right|^2 d\sigma_2
\end{aligned} \tag{16}$$

(обыкновенные волны),

$$\frac{-tg(ub)}{ctg(ub)} \left\{ \frac{u^{2} + h^{2}}{u} \int_{-\infty}^{+\infty} \left| \frac{1}{\sqrt{\dot{\varepsilon}(y)}} \varphi_{e}(b, y) \right|^{2} dy \right.$$

$$= \int_{0}^{\infty} \frac{k_{0}^{2} \varepsilon_{e} - \lambda_{1}^{2}}{\beta_{1}} * \left| \int_{-\infty}^{+\infty} \varphi_{e}(b, y) \overline{\dot{F}_{1}}(\lambda_{1}, y) dy \right|^{2} d\lambda_{1}$$

$$+ \frac{\dot{\varepsilon}_{e}}{\dot{\varepsilon}_{0}} \int_{0}^{\infty} \frac{k_{0}^{2} \dot{\varepsilon}_{0} - \sigma_{2}^{2}}{\beta_{2}} \left| \int_{-\infty}^{+\infty} \varphi_{e}(b, y) \overline{\dot{F}_{2}}(\sigma_{2}, y) dy \right|^{2} d\sigma_{2}$$
(17)

(необыкновенные волны).

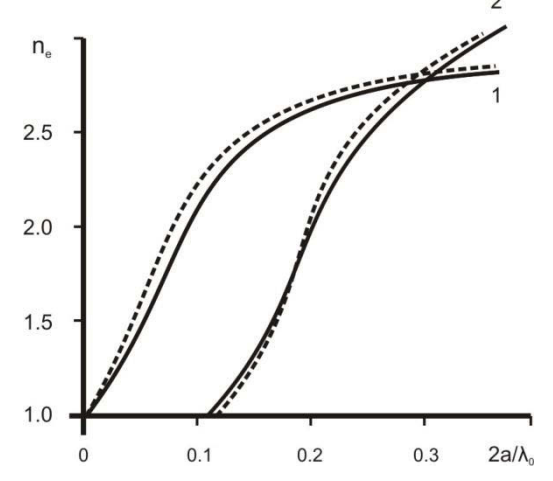
При этом интегралы по y в выражениях (16) и (17) легко берутся в явном виде при любых $|y_0| \le a$. Кроме очевидного перехода к изотропным средам, полученное решение задачи содержит ряд других частных случаев. Приравнивая диэлектрические проницаемости подложки и окружающей среды, получаем результат для волновода в однородной среде. Если же приравнивать проницаемости подложки и окружающей среды лишь в боковых областях II u III (|x| > b), то получится результат для прямоугольного волновода на подставке.

СРАВНЕНИЕ ТЕОРИИ С ЭКСПЕРИМЕНТОМ

В работе сделаны численные расчеты характеристических уравнений, полученных для анизотропного волновода с однородным окружением и для анизотропного полоскового волновода, которые исследовались экспериментально в СВЧ диапазоне. Сопоставление теоретических и экспериментальных результатов позволило установить границы применимости принятого метода расчета. Для обеспечения надежности полученных результатов экспериментальные исследования проводились в миллиметровом (6÷16мм) диапазоне длин волн, методика измерений для которых хорошо разработана и позволяет достаточно точно контролировать форму и размеры волноводов.

Образцы из исследуемого материала помещались в открытый резонатор Фабри—Перо, образованный сетчатым отражателем и медным зеркалом. Возбуждение нужного типа колебаний в резонаторе производилось через сетчатый отражатель с помощью диэлектрического волновода, который одновременно использовался для индикации резонанса. Использованная аппаратура (клистронные генератор, гетеродинным частотомер) обеспечивает измерение волноводного показателя преломления с точностью до 1%.

При этом измеренные значения отличаются от теоретических лишь в третьем



знаке после запятой, т. е. они совпадают в пределах точности эксперимента. Из Рис.2 видно, что для обыкновенной волны (кривая 1) и для необыкновенной волны (кривая 2) - отклонение теории от эксперимента не превышает 1%.

Рис. 2.

Теоретические и экспериментальные данные для двух основных типов волн волновода на подложке из фторопласта-4

Кривая 1 - обыкновенная волна, Кривая 2 — необыкновенная волна.

Сплошная линия – теоритический расчет, пунктирная линия - эксперимент

ЗАКЛЮЧЕНИЕ

Таким образом, сопоставление теоретических и экспериментальных данных показывает, что одноволновое приближение достаточно точно описывает основные типы прямоугольных анизотропных волноводов. Причем точность метода растет с увеличением отношения боковых сторон волноводов.

- 1. W.Schlosser, *Der rechteckige dielektrische Draht, Arch. Elekt. Ubertz.*, **18** №7 (1964) 403-408.
- 2. M.Matsuhara, Analysis of TEM modes in dielectric waveguides by a variation

И.Дж.ИСЛАМОВ, М.Б.ДЖАФАРЗАДЕ

method, JOSA, 63 (1973) 1514—1517.

- 3. T.Itoh, Numerical techniques for microwave and millimeter wave passive structures, New York: Wiley, (1989) 720.
- 4. Н.Н.Войтович, Б.З.Каценеленбаум, А.Н.Сивов, А.Д.Шатров, Собственные волны диэлектрических волноводов сложного сечения (обзор), Радиотехника и электроника, **24** (1979) 1245-1263.
- 5. J.E.Goell A circular harmonic computer analysis of rectangular dielectric waveguide, B. S. T. J., 48 (1969) 2133-2160.
- 6. E.A.J.Marcatili, *Dielectric rectangular waveguide and directional coupler for integrated optica*, B. S. T. J., **48** (1969) 2071.
- 7. Integrated circuits for the millimeter through optical frequency range, Proc. of Symp. Submil. Waves. Brooklyn, (1970) 497-506.
- 8. V. Ramaswamy, Strip-loaded film waveguide, B. S. T. J., **53** (1974) 697-704.
- 9. G.G.Liang, Y.W.Liu, K.K.Mei, Full-wave analysies of complanar wave GUIDE, IEEE Trans. Microwave Theory Tech., **37** (1989) 1949-1957.
- 10. M.A.Solano, A.Vegas and A.Prieto, Numerical analysis of discontinuities in a rectangular waveguide loaded with isotropic or anisotropic obstacles by means of the coupled-mode method and the mode-matching method. International Journal of Numerical Modelling, VII (1994) 433–452.
- 11. D.M.Sheen, S.M.Ali, M.D.Abouzahra, J.A.Kong, Application of the 3D trinity difference timedomane metod analysies of planar microstrip circuites, IEEE Trans. Microwave Theory Tech. 38 (1990) 849-851.

QİSMƏN ANİZOTROP ALTLIĞA YERLƏŞDİRİLƏN DÜZBUCAQLI ANİZOTROP DALĞAÖTÜRÜCÜSÜNÜN MODELLƏŞDİRİLMƏSİ

İ.C.İSLAMOV, M.B.CƏFƏRZADƏ

Difraksiya nəzərə alınmaqla, qismən anizotrop altliğa yerləşdirilən düzbucaqlı anizotrop dalğaötürən modelləşdirilməsi məsələləri hazırlanmışdır. Anizotrop dalğaötürəninin ədədi hesablanması aparılmışdır. İYT diapazonda anizotrop dalğaötürəninin təcrübi tədqiqi aparılmışdır. Nəzəri və təcrübi nəticələrin müqayisəsi göstərir ki, bir dalğalı yaxınlaşma düzbucaqlı anizotrop dalğaların əsas tiplərini dəqiq xarakterizə edir.

MODELLING OF THE ANISOTROPIC RECTANGULAR WAVEGUIDE, PARTIALLY LOADED IN THE ANISOTROPIC SUBSTRATE

I.J.ISLAMOV, M.B.JAFARZADE

The modeling of the anisotropic rectangular waveguide, partially introduced in an anisotropic substrate has been considered with diffractions on account. Numerical calculations of the anisotropic waveguide have been carried out. The rectangular anisotropic waveguide has been experimentally investigated in the microwave range. Comparison of the theoretical and experimental data has demonstrated that one-wave approach precisely enough describes the basic types of rectangular anisotropic wave guides.

Редактор: И.Мамедов

УДК 524.4

ИССЛЕДОВАНИЕ СПЕКТРА И БЛЕСКА RY TAU

${ m H.3.ИСМАИЛОВ^{1,2},\,\Pi.H.ШУСТАРЕВ^2,\,Б.H.РУСТАМОВ^2,}\ { m A.H.АДЫГЕЗАЛЗАДЕ}^1$

Бакинский Государственный Университет¹
AZ 1148, г. Баку, ул. З.Халилова 23
Шамахинская Астрофизическая Обсерватория НАН Азербайджана²
AZ 5624, г. Баку, ул. Ю.Мамедалиева
ismailovn@yahoo.com

поступила 29.04.2011 принята к печати 20.06.2011

Ключевые слова: околозвездная материя, нестационарность, RY Tau.

РЕФЕРАТ

По двум сериям квазисинхронных фотометрических и УФ-спектральных наблюдений показано, что при монотонном увеличении И ослаблении блеска наблюдается неоднозначное изменение интенсивности эмиссии. Впервые обнаружена периодическая переменность интенсивности эмиссии с периодом 23 дня. Кривая РЭС показала, что излучение звезды является комбинированным, и это излучение можно представить тепловым излучением тел с разными температурами. Спектральный Фурье-анализ блеска выявил вероятные периоды 14 лет и 6 лет.

ВВЕДЕНИЕ

RY Tau (HD 283571, V=10.^m3) является одной из классических звезд типа Т Тельца (CTTS), которая впервые была приведена в оригинальном списке Джоя [1] как одна из 11 звезд с эмиссионными линиями, подобными линиям солнечной хромосферы. Спектральный класс звезды определен как K1e IV–V (Li) [8] и K1 [3], а позже как G2 [4] и G1-2IV-V [5]. Звезда имеет слабую степень вуалирования в видимой области спектра [4], а в фиолетовой части вуалирование не наблюдается [7]. Эквивалентная ширина линии Н α около 20 Å, а линия $H\beta$ находится либо частично в эмиссии, либо в абсорбции [8]. Профиль линии $H\alpha$ показывает изменение за сутки, имеется абсорбция в красном или фиолетовом крыле линии (см., например, [10, 9, 8]). По данным разных авторов, сведения об изменении потока в линии Н α с изменением блеска противоречивы [5].

Петров и др. [5] приводят результаты комплексных наблюдений звезды при увеличении ее блеска в 1996 г. Авторы показали, что основной причиной переменности RY Таи может быть затмение звезды околозвездными газовопылевыми облаками. Первые исследования УФ-спектра показали присутствие слабой эмиссии в линиях FeII [11]. В работе [12] показано, что при ослаблении блеска в V-полосе от 9.^m9 до 10.^m8 структура линии $MgII \lambda 2800$ Å переходит от абсорбции к эмиссии. На основании анализа $V\Phi$ - спектра звезды Ламзин [13] показал, что эмиссионные линии RY Таи не могут образовываться в гидростатические равновесной хромосфере, а причиной их образования является аккреция из околозвездного вещества.

Звезда является относительно быстрым ротатором vsini=51.6 км/с [14] и показывает частые затмения подобно звездам типа UX Ori [8, 5]. Звезда давно заподозрено в двойственности [2], а в работе [15] последним данным Hipparcos на минимальном расстоянии около 3 а.е. в позиции $314^{\circ} \pm 34^{\circ}$ был обнаружен второй компонент системы.

Из анализа фотографических данных 1900–1955 гг. было выявлено два типа изменений блеска звезды: 1) переменность с характерным временем около 10 лет и

амплитудой 2^m-3^m ; 2) переменность с характерным временем около года с амплитудой до 1^m [16]. После необычного увеличения блеска в V-полосе от 11^m до в 1983-1984 гг. [17, 9], интерес к фотометрическим и спектральным исследованиям этой звезды значительно возрос. Анализы кривой блеска звезды, проведенные разными авторами целю обнаружения периодической c составляющей блеска не приводили к положительному результату. Так, в наблюдениях Хербста и др. [18] обнаружены фотометрические периоды 5.6 суток (с достоверностью всего 10%) и 66 суток. В последующей работе [19] показано, что из-за частых иррегулярных изменений блеска звезды существование этих периодов по фотоэлектрическим наблюдениям не подтверждается.

По результатам фотометрических наблюдений 1985-1986 гг. в [20] было подтверждено существование периода 5.6 и 7.25 дней. Недавно, при поиске долговременных и кратковременных периодических изменений Зайцева [21] провела анализ 30-летней UBV- кривой блеска по данным, полученным за 1965-2000 гг. В этой работе было подтверждено существование 2000-дневного который был выявлен долговременного цикла, ранее ПО фотографических наблюдений [22]. В работе [21] подтверждается существование также периода 7.5 дней, но не выявляется период 5.6 дней, что автор объясняет изменением фазы периода. В работе [23] показано, что в 1983-2004 гг. изменения блеска звезды носили циклический характер. Частотный анализ позволяет выделить периоды 377±10 и 146±3 суток. Статистический анализ распределения блеска показал, что переменность блеска невозможно описать нормальным распределением. Кривую распределения энергии в спектре звезды в первом приближении ОНЖОМ представить комбинированным излучением температурами 6000 К, 3000 К и 90 К.

По данным [24], распределение энергии в спектре (РЭС) RY Таи имеет плоскую форму в ИК-диапазоне. Имеется также сильный избыток в миллиметровом континууме [25].

Целю настоящей работы является анализ результатов спектральных наблюдений в УФ и оптической части спектра и проведения спектрального Фурье анализа кривой блеска звезды.

10-ЛЕТНИЙ МОНИТОРИНГ УФ СПЕКТРА И БЛЕСКА

В архиве IUE имеются спектры, которые были получены с помощью трех камер; первая из них охватывает диапазон 1175-2000 Å (Short Wavelength Prime - SWP), вторая и третья — 2000-3200 Å (Long Wavelength Prime — LWP и Long Wavelength Redundant - LWR). Спектральное разрешение составляет около 6Å. Такие спектрограммы нами были использованы для изучения временных изменений в спектре звезды. О методике обработки этих спектрограмм подробно изложено в работе Исмаилова и др. [26]. Для RY Таи нами было обработано 15 спектрограмм SWP и 86 спектрограмм типа LWP и LWR, полученных в 1979÷1990гг.

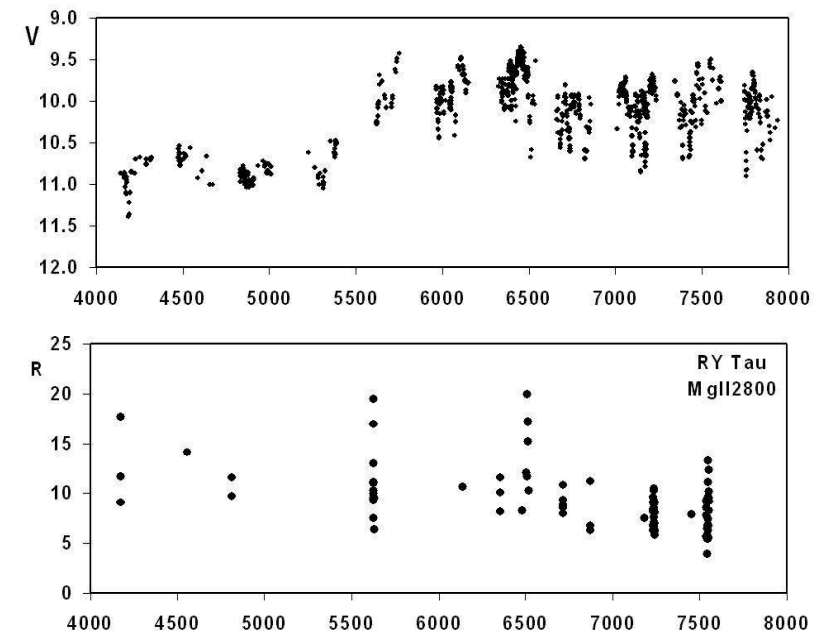
Во избежание учета межзвездного покраснения в эмиссионных линиях спектра мы применяли классический метод обработки спектрограмм, в котором измерение производится в относительных единицах: после проведения уровня непрерывного спектра определялись центральные глубины (R_{λ} =1- $\frac{I}{I_0}$) и полуширины ($\Delta\lambda_{1/2}$ – FWHM) линий или бленд. Здесь I – абсолютный поток при вершине

рины ($\Delta \lambda_{1/2}$ – FWHM) линий или бленд. Здесь I – абсолютный поток при вершине линии, I_0 – абсолютный поток на уровне континуума при основании линии. В таком измерении основная ошибка при измерении интенсивности линии возникает из-за неправильного проведения уровня непрерывного спектра. Поэтому, процедуру

проведения непрерывного спектра мы выполняли очень тщательно, добиваясь постоянства проведения континуума через отдельные участки спектра. Центральные глубины линии R_{λ} измерялись ошибкой не хуже 5%. Так как полуширины линий $\Delta\lambda_{1/2}$ определяются с ошибкой ± 1.5 Å (для SWP камеры) и \pm 3Å (для LWP и LWR камер), вычисленные по этим параметрам эквивалентные ширины также дают большую ошибку измерений — до $15 \div 20$ %. Так как из-за низкого разрешения эквивалентные ширины определяются с относительно большой ошибкой, для дальнейшего анализа мы использовали глубины линий R_{λ} . Вычисленные значения R_{λ} для эмиссионных линий являются отрицательными. Для удобства на рисунках знак минус намеренна не приводиться.

Нами были измерены центральные глубины и полуширины наиболее сильных эмиссионных линий. Среди наиболее сильных эмиссионных линий в области λ 2000÷3000Å имеются линии дублета MgII $\lambda\lambda$ 2795, 2802Å. Параметры этого дублета уверенно измерены по всем спектрограммам. Из-за низкой дисперсии этот дублет наблюдается как одна сильная эмиссия — MgII λ 2800Å. Результат измерений по дублету MgII λ 2800Å составил 86 точек, и это является наибольшим массивом среди измеряемых линий. В настоящей работе приводим результаты анализа этого дублета.

На Рис.1 в верхней панели приведена V-кривая блеска звезды, взятая из архива [27], а на нижней панели приведена временная зависимость интенсивности R_{λ} для всего интервала наблюдений. Значения R_{λ} являются отрицательными для эмиссионной линии, но на рис.1 и на последующих рисунках мы для простоты приводим модуль значений этого параметра. Как отсюда видно, несмотря на то, что



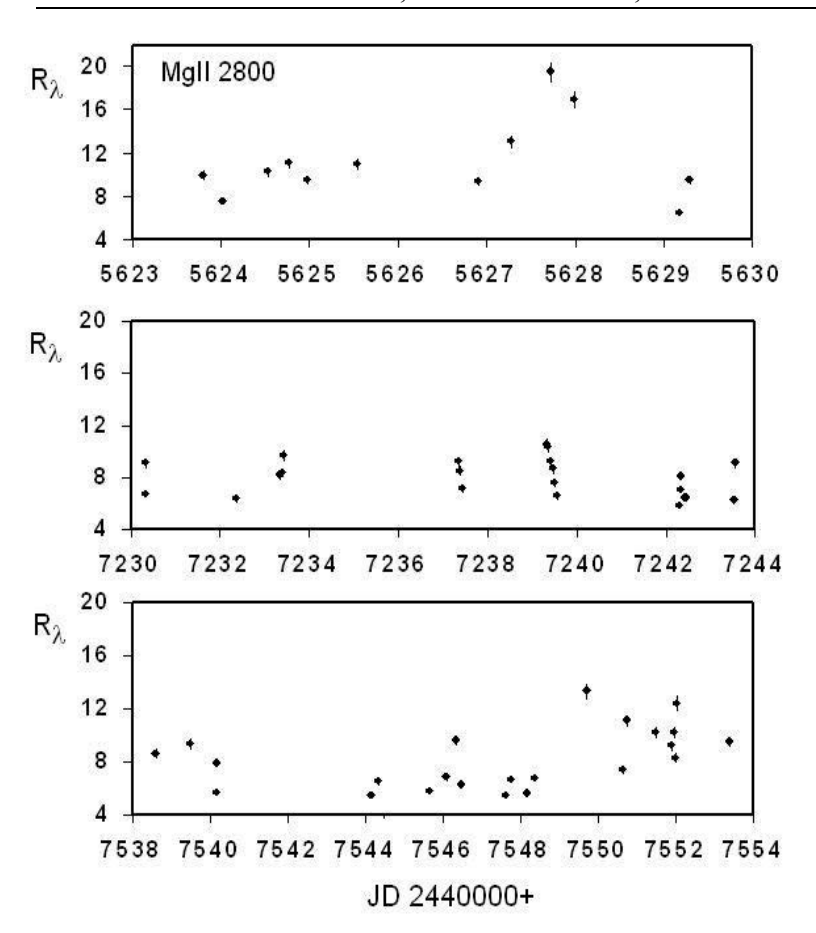
JD2440000+

блеска кривая хорошо увеличение демонстрирует активности в 1983-1984 гг., эмиссия дублета *MgII* $\lambda 2800$ Å не показала однозначную ЭТИМ событием. связь c Изменение интенсивности линии носит целом иррегулярный характер, что является характерным для большинства звезд типа Т Тельца.

Рис.1

Зависимость V-значений блеска RY Tau (вверху) и переменность глубины (интенсивности) линии MgII λ 2800Å в промежутке времени 2444000-2448000.

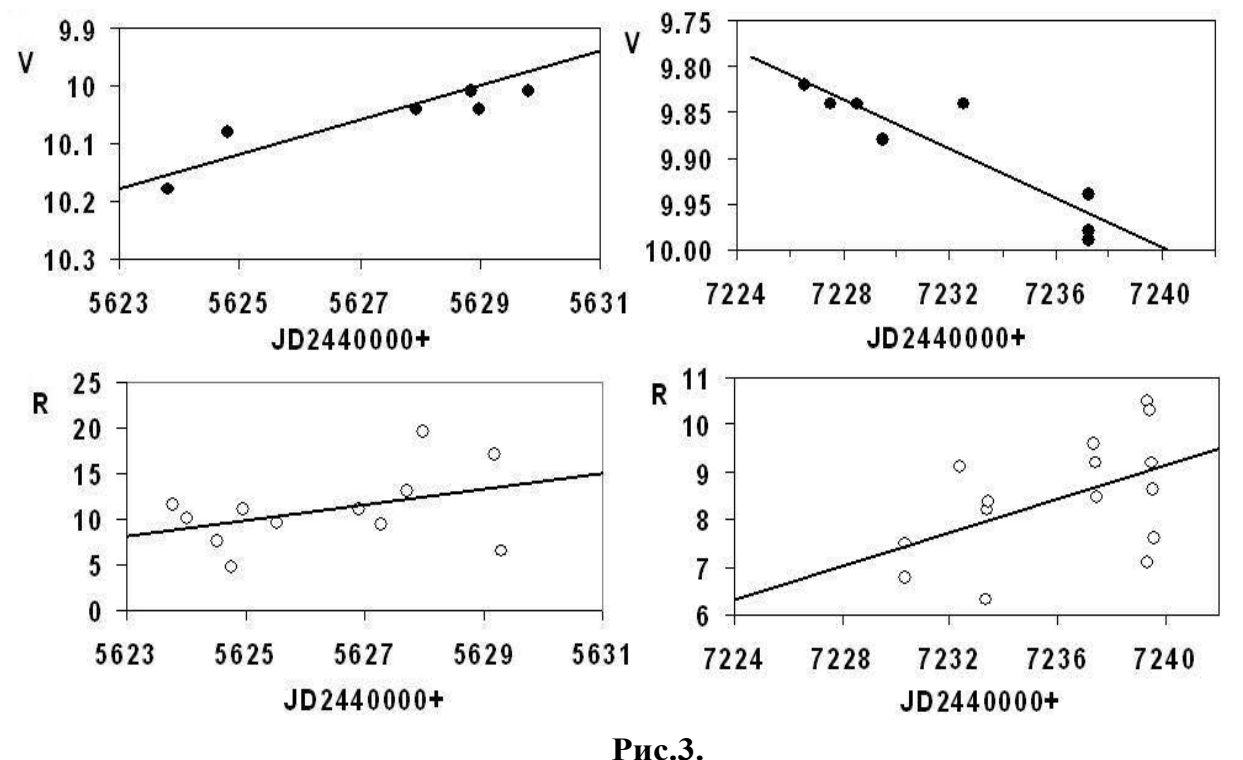
Рассматриваемый спектральный материал в отдельные промежутки времени был получен с более плотным временным рядом. Это позволяет проследить быструю переменность эмиссионного спектра звезды. На Рис.2 нами приведены три более плотные по времени отдельные фрагменты из интервала наблюдений. Первый фрагмент был получен в 1983 г. (JD 2445623-2445630, данные [17, 28]). Это тот период времени, когда наблюдается увеличение блеска в 1983 гг. (рис.1). В этом промежутке времени наблюдаются отдельные всплески вспышечного характера – увеличиваются интенсивности линий примерно в 3 раза.



Второй фрагмент был 1988 получен В (JD 2447224-2447244, данные [21, 27]), т.е. уже после события 1983 г., а третий фрагмент - в 1989 г. (JD 2447538-2447554, данные [27]). Интересно, что фрагмента, три характеру переменности и по амплитуде переменности, отличаются друг от друга. К наиболее активному состоянию онжом отнести наиболее пер-вый, К a спокойному - второй интервал времени. Эти результаты пока-зали, что наблюда-ется также быстрая переменность интен-сивности линии от ночи к ночи.

Рис.2. Суточная переменность глубины дублета MgII λ2800 Å в трех разных фрагментах.

На Рис.3 приводится зависимость блеска и интенсивности эмиссионного дублета $MgII \lambda 2800 \text{ Å}$ для вышеуказанных временных интервалов.



Гис. 3. Изменение блеска и интенсивности линии MgII λ2800Å для разных временных интервалов. Линии проведены линейным полиномом.

Как видно из Рис.3, в JD 2445623-2445630 наблюдается монотонное увеличение блеска на ΔV =0.2 $^{\rm m}$, в то время как, среднее значение интенсивности линии увеличивается более чем в 2 раза. При JD 2447224-2447244 наблюдается уменьшение блеска на ΔV =0.2 $^{\rm m}$, когда интенсивность спектральной линии монотонно растет примерно в два раза. В интервале JD 2447538-2447554 наблюдается быстрая иррегулярная переменность блеска и интенсивности линии без какой-либо закономерности.

Изменение V-значений блеска в указанные промежутки времени равны примерно $0.^{m}2$, что соответствует изменению излучения в континууме около 1.2 раза. Однако излучение в эмиссионной линии изменяется в два раза. Это показывает, что механизм изменения блеска и эмиссионного спектра отличаются.

Полученный массив центральных глубин дублета MgII $\lambda 2800$ Å был обработан методом Скаргла [29] на предмет периодичности. В периодограмме нами получено 5 наиболее значимых частот с достоверностью более 90% в 2÷300 дней. интервале периодов Свертки показали, наиболее удовлетворительную картину периодичности можно получить по фазам периода P=23.26±0.06 дней. Среди найденных наиболее вероятных периодов привлекает внимание и менее значимый период 7.8^d, напоминающий период 7.25^d, полученный по анализу кривой блеска звезды [25, 26]. Однако степень значимости последнего периода по спектральным данным является невысокий. Заметим, что по данным Зайцевой [21] анализ кривой блеска дает близкие к 23.26 дней значения изменение блеска с периодами 20 и 29 дней.

На Рис.4. приведена фазовая кривая изменения интенсивности линии MgII $\lambda 2800 \text{Å}$ по всем измерениям. Как видно, наблюдается удовлетворительная картина периодичности.

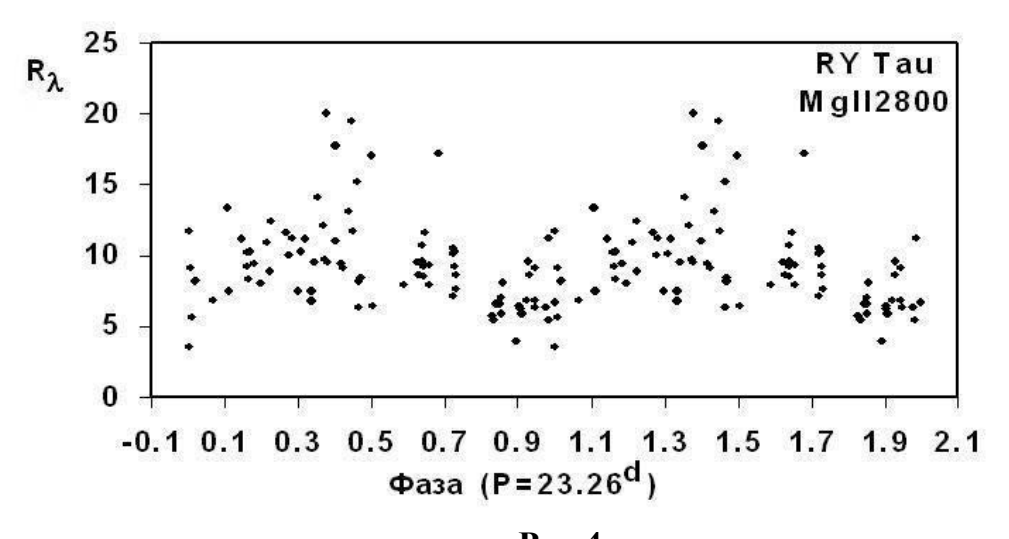


Рис.4. Фазовая кривая интенсивности эмиссионного дублета MgII $\lambda 2800 \mbox{\normalfont\AA}.$

Наши измерения показали, что существует группа эмиссионных линий, интенсивности которых также меняются с фазой определенного периода. Мы проверили изменение с фазой периода 23.26 дней для интенсивностей 15 разных эмиссионных линий. Анализ показал, что, например, для линии HeII $\lambda 1640$ Å, CIV $\lambda 1756$ Å, SII $\lambda 1756$ Å при фазах 0.4-0.5P наблюдается периодическое увеличение интенсивности. Интересно, что фазовая кривая интенсивности для полузапрещенных линий SiIIII λ 1892Å и CIIII $\lambda 1908$ Å показала уменьшение интенсивности в этой фазе. О физическом происхождении этих линий в УФ

спектре звезд типа Т Тельца было сообщено в работе [30]. На Рис.5 приведен пример изменения интенсивностей указанных линий с фазой этого периода.

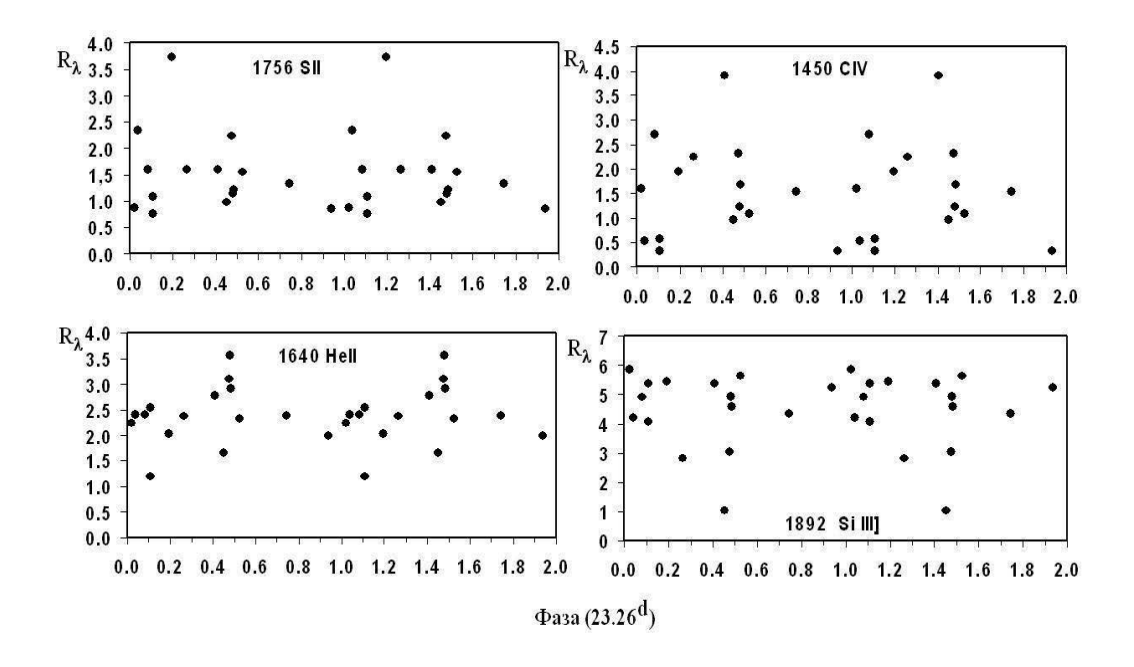


Рис.5. Изменение интенсивностей некоторых линий с фазой периода 23.26 дней.

СПЕКТР В ОПТИЧЕСКОМ ДИАПАЗОНЕ

Спектры звезды были получены на Кассегреновском фокусе 2м телескопа с применением штатного дифракционного спектрографа с дисперсией 75Å/мм. Применялись пластинки Kodak103aO (для синей части) и 103aF и пленки A700 (для участка линии H α). Спектрограммы получены 3.А.Исмаиловым в отдельные сезоны 1975, 1984 и 1985 гг. Диапазон наблюдений λ $3600\div5100\text{Å}$ и λ $5100\div6700\text{Å}$, спектральное разрешение около 3Å. Спектры обрабатывались стандартным методом. Средняя ошибка позиционных измерений составляет ±15 км/с, а в эквивалентных ширинах, около $15\div20\%$. Основная часть результатов измерений полинии $H\alpha$ было опубликована в работе [8]. В настоящей работе мы использовали эти результаты для анализа на предмет периодичности. Наблюдения в оптическом диапазоне по времени охватывают второй сезон после вспышки 1983/1984 гг., когда блеск звезды внезапно был увеличен от $11^{\rm m}$ до $9^{\rm m}$ в V- полосе [17, 9].

Линия $H\alpha$ имеет двухкомпонентную структуру с центральным провалом. Профиль и спектральные параметры линии показали значительную переменность по разным датам. В Таблице1, приведенной в работе [8], даны суммарные значения эквивалентных ширин W_{λ} компонент эмиссии $H\alpha$, лучевые скорости по отдельным компонентам V_B (фиолетовая), V_a (центральная абсорбция), V_R (красная), а также отношение центральной глубины фиолетового компонента к красному I_B/I_R .

Результаты измерений лучевых скоростей показали, что красная компонента линии $H\alpha$ не показала значительных изменений лучевых скоростей, в то время как компоненты V_B , Va показали смещение на 200 и 100км/с, соответственно.

На Рис.6 в верхней панели мы приводим зависимость лучевых скоростей отдельных компонент линии $H\alpha$ от фазы периода 23.26 дней. Как видно, получена удовлетворительная картина периодического изменения синего V_B и центрального Va компонент линии Ha. На нижней панели Рис.6 приведена зависимость I_B/I_R от фазы того же периода. Как видно, минимумы значений лучевых скоростей

ИССЛЕДОВАНИЕ СПЕКТРА И БЛЕСКА RY TAU

соответствуют фазе 0.4P, в то время как минимумы относительных интенсивностей компонент соответствуют фазе 0.25P. Сплошные кривые на Рис.6 проведены полиномом 6 степени.

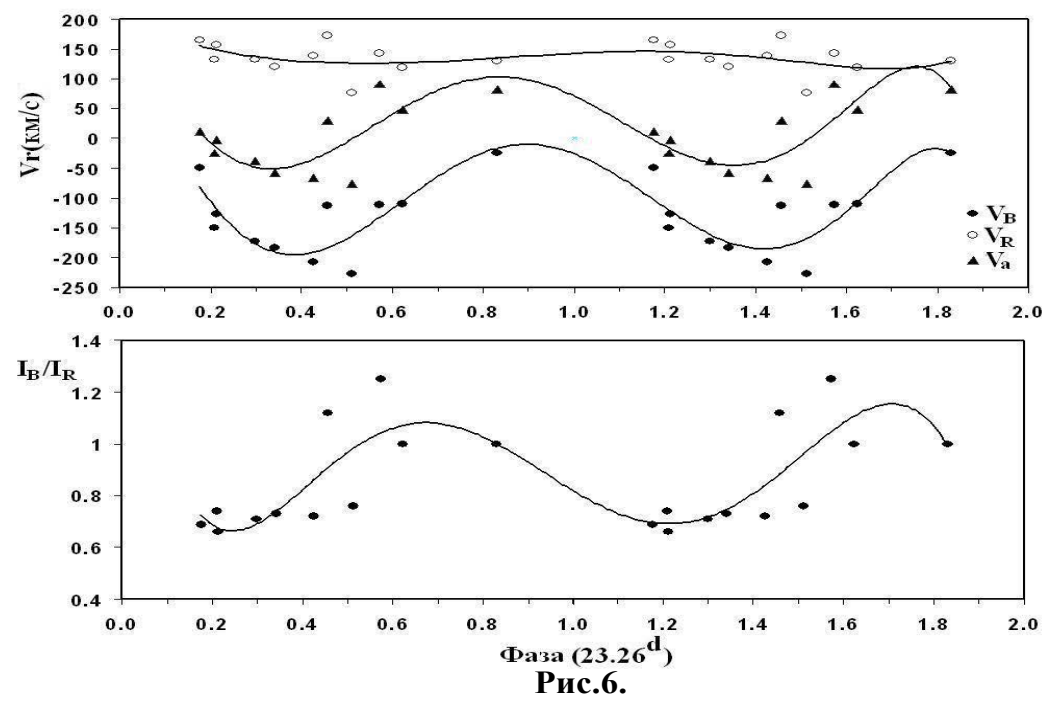
В Таблице 1 приведены неопубликованные к настоящему времени результаты измерений эквивалентных ширин спектральных линий H_{β} - H_{δ} , H+ H_{ε} , K CaII. Измерения спектрограмм показали, что эмиссии в линиях H_{β} - H_{δ} в явном виде не наблюдается, и все эти линии наблюдаются в абсорбции. В отдельные ночи при повышении вклада эмиссии линия H_{β} полностью «заливается» эмиссией до уровня континуума. В то же время, линии H+ H_{ε} , и K CaII наблюдаются в эмиссии.

Полученные значения эквивалентных ширин линий H_{β} , H_{γ} , H_{δ} , а также эмиссионных линий $H+H_{\varepsilon}$, K CaII были свернуты с найденным периодом 23.26 дней. На Рис.7 приведены фазовые кривые эквивалентных ширин линий H_{γ} , H_{δ} , $H+H_{\varepsilon}$ и K CaII. Из этих данных следует, что только эмиссионные линии H и K CaII показали определенное увеличение интенсивностей при фазе 0.4P. В целом, по всем линиям сохраняется тенденция к увеличению эквивалентных ширин при фазе 0.4P. Это говорит о том, что изменения в оптическом диапазоне сопровождаются с аналогичным изменением УФ спектра, причем максимумы интенсивностей в оптическом диапазоне показали отставание по фазе найденного периода на $\sim 0.1P$. Сплошные кривые были проведены полиномом 6 степени.

Эквивалентные ширины спектральных линий RY Tau в оптическом диапазоне.

Таблица 1.

		Η _β	Нγ	Η _δ		
№ Sp	JD2440000+	(abs.)	(abs.)	(abs.)	$H+H_{\epsilon}$	K CaII
•					(em.)	(em.)
1	2415.26		3.8	3.2		3.7
2	2416.30		4.3	2.8	1.7	4.2
3	2416.32		4.1	3.3	1.9	7.3
4	2416.36		3.1	2.8	2.6	4.9
5	6029.35	4.4	3.4	3	2.1	
6	6029.49	5		2.5		
7	6031.27	3.5	4.1	2.9		
8	6031.35	3.8	3	1.7		
9	6031.38	3	3.4	1.9		
10	6045.26		3	2.2	1.8	3.1
11	6047.24	3.1	3.9	2.9		
12	6049.20	2	3	2.5	1.1	2.1
13	6048.34		2.6	2	0.5	2.7
14	6084.47	2	3.2			
15	6110.27	1.8	3.4	2.8	0.7	2.3
16	6332.49	1.7	4	2.6	1.6	2.9
17	6331.56	1.9	3.9	2.8	1.4	2.7
18	6332.51	2.5	4	2.6	1	2.5
19	6331.51	1.7	4.2	2.6	0.7	1.5



Фазовые кривые лучевых скоростей отдельных компонент линии $\mathrm{H}\alpha$ (верхняя панель) и относительной интенсивности эмиссионных компонент I_B/I_R (нижняя панель). Сплошные кривые проведены полиномом 6 степени.

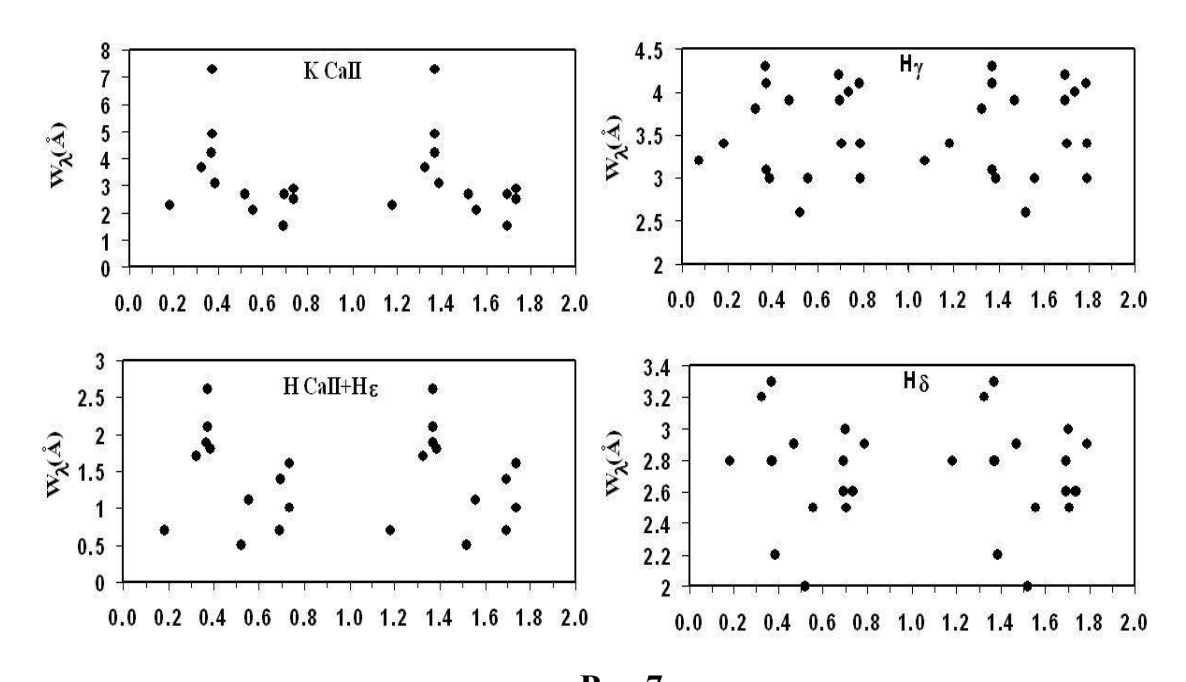
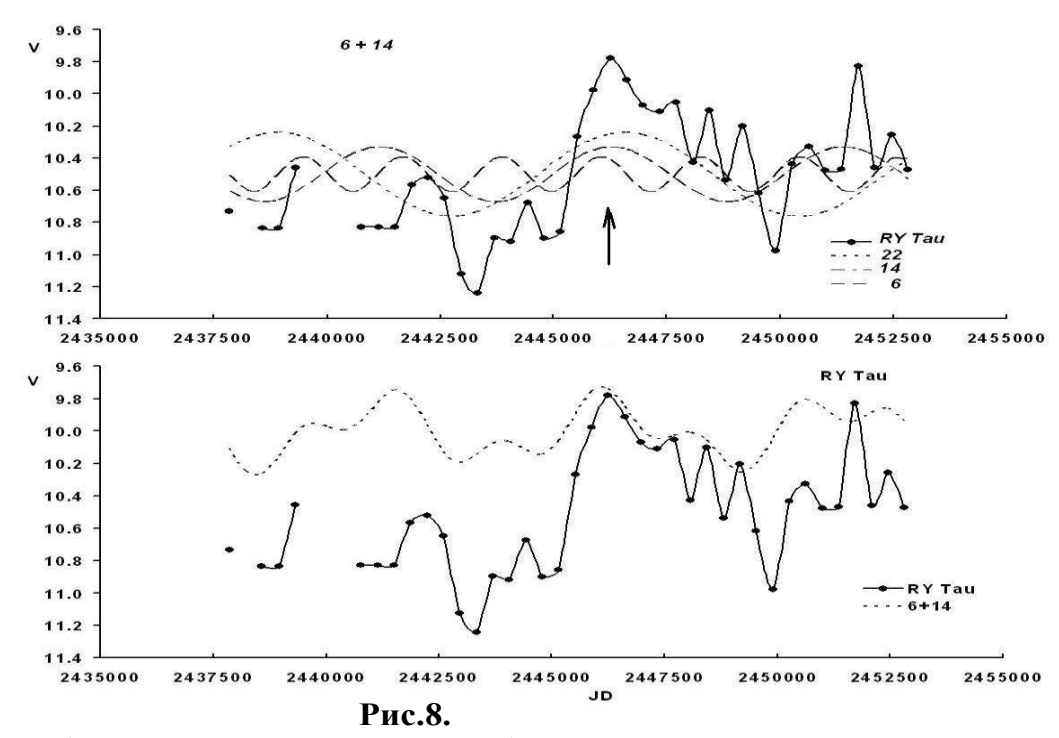


Рис.7. Фазовые кривые зависимость эквивалентных ширин линий $H\gamma$, $H\delta$, $H+H\epsilon$, K CaII от фазы периода 23.26 дней.

Таким образом, спектральные наблюдения в оптическом диапазоне показали, что эмиссионный спектр в оптическом диапазоне можно описать периодом, найденным по изменению эмиссионного дублета *MgII* 2800 Å УФ спектру звезды.

СПЕКТРАЛЬНЫЙ АНАЛИЗ КРИВОЙ БЛЕСКА

Как нами было предположено в [23], что скорее всего RY Таи звездная система состоит, по крайней мере, из трех тел разной температуры. Кривая РЭС подтверждает существование комбинированного излучения в системе RY Tau. Для проверки этих предположений и выяснения причины многолетних изменений блеска звезды мы построили среднегодовую кривую блеска. Для спектрального анализа кривой блеска звезды мы собрали все фотоэлектрические UBV измерения, опубликованные в литературе и доступных в архивах [27, 31]. Всего было собрано около 1800 измерений V, и немного меньше в других полосах, охватывающих период наблюдений 1965÷2004гг. Массивы данных обрабатывались методом спектрального анализа помощью программы STATISTIKA-6.0. c высокотехнологичная программа, основанная на СОМ-архитектуре, она обладает разными функциональными и пользовательскими возможностями. Алгоритм классического статистического анализа для этой программы был разработан в 1965г.[32], а затем был усовершенствован разными авторами (см. например, [33, 34]).



В верхней панели - наблюдаемая среднегодовая кривая блеска RY Tau и Фурье кривые, в нижней панели — наблюдаемая кривая блеска звезды (сплошная кривая) и суммарная Фурье кривая (пунктир) для периодов 14+6 лет.

Метод ом,

подробно описанным в нашей работе [35], мы проанализировали кривую блеска звезды RY Таи. Фурье-кривые были построены как для отдельных колор-индексов U-B и B-V, так и для V-значений блеска. Для уменьшения ложных периодов, получение которых является неизбежным в данном методе, фотометрические данные нами были усреднены по годам, поэтому формальная ошибка определения периода не меньше 1 года. Отбор полученных фурье-кривых основывался на значении параметра $P\kappa$ (в дальнейшем достоверность), который можно интерпретировать как дисперсию данных на κ -ой частоте (спектр мощности), и который вычисляется по формуле:

$$P_k = (a_k^2 + b_k^2)N/2$$
,

где a_{κ} и b_{k} - коэффициенты при синусе и косинусе в фурье-разложении, соответственно, N – число наблюдательных точек. Соответственно, чем больше

значение $P\kappa$, тем меньше различается фурье-кривая рассматриваемого периода и исходные данные.

Вычислялась фурье-кривая для наиболее достоверного периода и ее соответствующие значения вычитались из данных исходного массива. Полученная разностная кривая вновь подвергалась спектральному анализу. Описанный метод помогает выявлять случаи, когда в исходном массиве мы имеем несколько периодических составляющих одного и того же периода, но сдвинутых по фазе. Параллельно, для контроля над достоверностью получаемых периодических составляющих, мы каждый раз вычисляли коэффициенты корреляции между получаемыми разностными кривыми и соответствующими фурье-кривыми. Значения коэффициентов корреляции при этом монотонно уменьшаются с каждым очередным вычитанием. Значения коэффициентов корреляции вычислялись нами как параметрическими методами (критерий Пирсона), так и непараметрическими (критерии Кенделла и Спирмена).

ЗАКЛЮЧЕНИЕ И ВЫВОДЫ

Анализ результатов измерений эмиссионного дублета MgII $\lambda 2800$ Å показал, что невозможно однозначно говорить о какой-либо корреляции блеска и эмиссионного спектра звезды. Наблюдается как быстрое, так и медленное изменение эмиссионного спектра. Более плотные ряды спектральных и фотометрических наблюдений показали, что при изменении блеска на ΔV =0.2 $^{\rm m}$, т.е. при изменении потока в 1.2 раза, интенсивность линии меняется в несколько раз. В двух различных сериях наблюдений в одном случае эмиссионный спектр с блеском синхронно возрастает (JD 2445623-2445630), а в другом случае (JD 2447224-2447244), убывает. Третий ряд таких наблюдений определенной корреляции эмиссионного спектра с блеском не обнаруживает. Это свидетельствует о том, что изменение спектра и блеска происходит независимо. Возможно поэтому разные авторы получили противоречивые результаты: Холтсман и др. [36] получили уменьшение потока $H\alpha$ при ослаблении блеска, а Врба и др.[37] — увеличение потока в линии $H\alpha$ при ослаблении блеска звезды.

Поиск периода по массиву эмиссионного дублета MgII $\lambda 2800$ Å показал, что одним из наиболее вероятных периодов может быть 23.26 дней. Также обнаружено увеличение интенсивностей группы эмиссионных линий HeII $\lambda 1640$ Å, CIV $\lambda 1756$ Å, SII $\lambda 1756$ Å при фазах 0.4-0.5P с фазой найденного периода. Такой характер изменений обнаруживается далеко не у всех эмиссионных линий УФ спектра. Существует тенденция уменьшения интенсивностей в этой фазе для полузапрещенных линий Si IIII λ 1892 Å и C IIII $\lambda 1908$ Å. Это может указать на то, что области излучения, ответственные за периодическое изменение эмиссии, имеют ограниченные размеры и локальные физические условия.

Наблюдения, проведенные в 1975, 1984 и 1985гг., и анализ результатов спектральных наблюдений в оптическом диапазоне показали, что в то время как компоненты эмиссионной линии $H\alpha$ и линий H, K CaII хорошо описываются периодом 23 дней, абсорбционные компоненты линий H_{β} и H_{γ} и H_{δ} не показали переменности с этим периодом. Обнаружено, что при фазе увеличения интенсивностей эмиссионных линий как в УФ, так и в оптической части спектра наблюдается смещение линий в коротковолновую часть спектра. Такой характер изменений часто наблюдается в двойных системах: при приближении компонента к наблюдателю увеличиваются интенсивности эмиссионных линий. Мы считаем, что возможно, этот факт указывает на орбитальное движении вокруг центральной звезды кометообразного тела. Отсутствие корреляции между изменением блеска и интенсивностью эмиссионных линий говорит о том, что, в целом, вклад излучения

в эмиссионных линиях у звезды RY Tau незначителен, поэтому изменение блеска не может быть чувствительным к изменению эмиссионных линий.

С помощью спектрального анализа среднегодовой кривой блеска были обнаружены наиболее вероятные периоды 22, 14 и 6 лет. Первый из этих периодов хорошо согласуется с данными Хербста [38], а последний - с данными [21, 23]. У звезд типа Т Тельца явления с периодами, превышающими период осевого онжом объяснить наличием дополнительных вращения, компонентов околозвездном пространстве [39,40]. Анализ среднегодовой кривой блеска показал, что кривую блеска звезды можно в первом приближении интерпретировать в трехкомпонентной модели с периодами 14 и 6 лет. Это является косвенным фактом в пользу гипотезы о многокомпонентной природе звезды. Наш анализ дает аргументы в пользу того, что существуют, по меньшей мере, несколько несформировавшихся тел около центральной звезды.

Согласно нашему анализу кривой РЭС, один из компонентов имеет температуру около 3000К, что соответствует спектральному классу М. По данным [22] период 2000 дней стабилен и наблюдается как по фотографическим, так и по фотоэлектрическим наблюдениям. Используя массу первичного компонента (для G-звезды) равной $1.6 M_{\odot}$ (см например, [41]) и вторичного компонента с $0.5 M_{\odot}$ (для M-звезды), можно оценить расстояние между компонентами при периоде около 6 лет в гипотетической двойной системе. При таких параметрах для большой полуоси орбиты получим a=4.2a.e. Если учитывать массу и других околозвездных тел, то это расстояние изменится незначительно. Согласно данным [42], по полученным изображениям RY Таи в диапазоне 1.3мм и 2.8мм показано, что в околозвездном окружении, на расстоянии $10 \div 50$ а.е. должны быть планеты типа более 5 масс Юпитера. Наши вычисления показали, что для подтверждения этих результатов в будущем нужно получить изображения околозвездного окружения с более высоким пространственным разрешением.

Интересно, что в момент вспышки в 1983г. фазы максимумов 14 и 6-летних Фурье кривых совпадают, т.е. в этот момент оба компонента выстраиваются по одну сторону от центральной звезды и гравитационные силы обоих компонентов могут создать значительное возмущение в околозвездном пространстве. В этом случае достаточно разумно предположить, что происходит отрыв некоторой массы вещества от верхних холодных слоев атмосферы звезды RY Таи. В результате центральная звезда частично раскрывается и светимость системы возрастает. В сгустке вещества, оторвавшегося от звезды, возникают благоприятные условия для процесса фрагментации и возникновения больших фрагментов прототел, которые время от времени беспорядочно затмевают звезду. Все вышеперечисленные явления не противоречат фотометрическим наблюдениям, а также современным теоретическим моделям образования планетных систем [43].

Таким образом можно сделать следующий вывод:

- Изменение *V*-значений блеска и эмиссионного дублета MgII λ2800Å показало что, невозможно однозначно говорить о какой либо корреляции блеска и эмиссионного спектра звезды. Это свидетельствует о том, что переменность эмиссионного спектра и блеска имеют различную природу.
- Спектральные параметры группы линий эмиссионного спектра как в УФ (MgII, HeII, CIV и др.), так и в оптической части (H+H и K CaII) меняются с периодом $P=23.26\pm0.06$ дней.
- В интервале времени 1983—2004гг. выявлено два наиболее вероятных периода изменения блеска звезды RY Tau: 14 и 6 лет. В комбинации 14 и 6 летних периодов нами построена синтетическая кривая блеска,

Н.З.ИСМАИЛОВ, П.Н.ШУСТАРЕВ, Б.Н.РУСТАМОВ, А.Н.АДЫГЕЗАЛЗАДЕ

которая удовлетворительно описывает среднегодовую кривую блеска звезды.

Данная работа выполнена при финансовой поддержке Фонда Развития Науки при Президенте Азербайджанской Республики (Грант № EIF-2011-1(3)-82/31/1).

- 1. A.H. Joy, *T Tauri variable stars, Astrophys. J.*, **102** (1945),168-195.
- 2. G.H. Herbig, Radial velocities and spectral types of T Tauri stars, Astrophys. J., **214** (1977) 747-758.
- 3. M.Cohen, L.V.Kuhi, *Observational studies of pre-main sequence evolution, Astrophys. J., Suppl. Ser.*, **41** (1979) 743-843.
- 4. S.Cabrit, S.Edwards, S.E.Strom, K.M.Strom, Forbidden-line emission and infrared excesses in T Tauri stars, Astrophys. J., **354** (1990) 687-700.
- 5. P.P.Petrov, G.V.Zajtseva, Yu.S.Efimov, R.Duemmler, I.V.Ilyin, I.Tuominen, V.A.Scherbakov, Brightening of the T Tauri star RY Tau in 1996, Astron.Astrophys., **341** (1999) 553-559.
- 6. P.Hartigan, S.Edwards, L.Ghandour, Disk Accretion and Mass Loss from Young Stars" Astrophys. J., **452** (1995) 736-768.
- 7. J.A. Valenti, G.Basri, C.M. Johns, *T Tauri stars in blue, Astron. J.*, **106** (1993) 2024-2050.
- 8. З.А.Исмаилов, Б.Н.Рустамов, *Наблюдение линии На в период повышенного блеска звезды, Письма в АЖ.*, **13** (1987) 51-55.
- 9. Г.В.Зайцева, Е.А.Колотилов, П.П.Петров, А.Е.Тарасов, В.И. Шенаврин, А.Г.Щербаков, *Яркое состояние RY Tau Спектроскопия и фотометрия, Письма в АЖ*, **11** (1985) 271-277.
- 10. C.M Johns, G.Basri, *Hamilton Echelle Spectra of Young Stars. II. Time Series Analysis of H (alpha) Variations, Astron. J.*, **109** (1995) 2800-2816.
- 11. G.H.Herbig, R.W.Goodrich, Near-simultaneous Ultraviolet and Optical Spectrophotometers of T Tauri Stars, Astrophys. J., **309** (1986) 294-305.
- 12. N.L.Eaton, W.Herbst, L.A Hillenbrandt, *Rotation periods and Variability of Stars in the Trapezium Cluster, Astron. J.*, **110** (1995) 1435-1478.
- 13. С.А.Ламзин, Анализ УФ спектров звезд типа T Тельца, полученных с космического телескопа: RYTau и HD 115043, Письма в АЖ., **26** (2000) 683-694.
- 14. J.Bouvier, Rotations in T Tauri stars II. Clues for magnetic activity, Astron. J., 99 (1990) 946-964.
- 15. C.Bertout, N.Robichon, F.Arenou, *Revisiting Hipparcos data for pre-main sequence stars, Astron. Astrophys.*, **352** (1999) 574-586.
- 16. T.L.Beck, M.Simon, *The Variability of T Tauri, RY Tauri, and RW Aurigae from 1899 to 1952, Astron. J.*, **122** (2001) 413-417.
- 17. W.Herbst, P.C.Stine, *Photometric variations of Orion population stars. III RY Tau, T Ori, NV. Ori, and HH Aur, Astron. J.*, **89** (1984) 1716-1720.
- 18. W.Herbst, C.F.Booth, D.L.Koret et al, *Photometric variations of Orion population stars*". *V A search for periodicities, Astron.J.*, **94** (1987) 137-149.
- 19. W.Herbst, D.L.Koret, Rotation periods of four T Tauri stars, Astron. J., **96** (1988) 1949-1955.
- P.F.Chugainov, G.V.Zajtseva, M.N.Lovkaya, Rotational light modulation and differential rotation of RY Tau epochs 1981-1986, Izvestia KrAO, 83 (1991), 139-146.

ИССЛЕДОВАНИЕ СПЕКТРА И БЛЕСКА RY TAU

- 21. G.V.Zajtseva, Analysis of a 30-year series of photoelectric observations of RY Tauri. I. Search for possible periodicities, Astrophys. J., **53** (2010) 241-256.
- 22. G. V.Zajtseva, N. E.Kurochkin, Long Period Variations of Ry-Tauri, Astronomicheskii tsirkulyar, **3** (1980) NO.1126.
- 23. Н.З.Исмаилов, А.Н.Адыгезалзаде, *Анализ кривой блеска RY-Таи, Астрон. журн.*, **5** (2011) 5-15.
- 24. C.Bertout, G.Basri, J.Bouvier, Accretion disks around T Tauri stars, Astrophys. J., 330 (1988) 350-373.
- 25. S.V.W.Beckwith, A.L.Sargent, R.S.Chini, R.Gusten, A survey for circumstellar disks around young stellar objects, Astron. J., 99 (1990) 924-945.
- 26. N.Z.Ismailov, N.K.Quliyev, O.V.Khalilov, W.Herbst, *Periodic variability in the emission spectrum of T Tauri, Astron&Astrophy. J.*, **511** (2010) 131-138.
- 27. W.Herbst , V. S.Shevchenko, A Photometric Catalog of Herbig AE/BE Stars and Discussion of the Nature and Cause of the Variations of UX Orionis Stars, Astron. J., 118 (1999) 1043-1060.
- 28. F.J.Vrba, A.E.Rydgren, P.F.Chugainov, N.I.Shakovskaya, D.S.Zak, Further evidence for rotational modulation of the light from T Tauri Stars, Astrophys. J., 306 (1986) 199-214.
- 29. J.D.Scargle, Studies in astronomical time series analysis. II. Statistical aspects of spectral analysis of unevenly spaced data, Astrophys. J., **263** (1982) 835-853.
- 30. A.I.Gomez de Castro Verdugo, Evidence of stellar-driven outflows from the classical T Tauri star RY Tau, Astron. Astrophys., **654** (2007) 91-94.
- 31. K.N.Grankin, S.Yu.Melnikov, J.Bouvier et al., *The long-term photometric variability of classical T Tauri stars, Astron. Astrophys.*, **461** (2007) 183-195.
- 32. J.W.Cooley, J.W.Tukey, An algorithm for the machine calculation of complex Fourier series, Math.Comp., 19 (1965) 297-301.
- 33. D.M.Monro, B.L.Branch, *The chirp discrete Fourier transform of general length, Appl. Stat.*, **26** (1976) 351-361.
- 34. R.H.Shumway, Applied statistical time series analysis (Englewood Cliffs, NJ: Prentice Hall, (1988).
- 35. Н.З.Исмаилов, П.Н.Шустарев, Ф.Н.Алимарданова, А.А.Алиева, *Поиск* долгопериодических изменений блеска и спектра молодых звезд, Астрономический журнал, **86** (2009) 694-701.
- 36. J.A.Holtzmann, W.Herbst, J.Booth, *Photometricvariations of Orion population stars. IV. Coordinated spectroscopy in 1984/85 with some success for RY Tau, Astron. J.*, **92** (1986), 1387-1395.
- 37. F.J.Vrba, P.F.Chugainov, W.B.Weaver, J.S.Stauffer, *Photometric and spectroscopic monitoring of AA Tau, DN Tau, UX Tau A, T Tau, RY Tau, LK CA 4, and LK CA 7, Astron. J.*, **106** (1993) 1608-1626.

Н.З.ИСМАИЛОВ, П.Н.ШУСТАРЕВ, Б.Н.РУСТАМОВ, А.Н.АДЫГЕЗАЛЗАДЕ

- 38. W.Herbst, *T Tauri variables, Publ. Astron. Soc. Pacif.*, **98** (1986) 1088-1094.
- 39. С.А.Артеменко, К.Н.Гранкин, П.П.Петров, Поиск кеплеровских периодов в изменениях блеска звезд типа Т Тельца и Ае Хербига, Астрон. журн., **87** (2010) 1-11.
- 40. N.Z.Ismailov, K.N.Grankin, Synchronous UBVR photometry and spectroscopy of DI Cephei, Astron. Lett., **134** (2007) 33-52.
- 41. D.R.Ardila, G.Bari, F.M.Walter, J.A.Valenti, C.M.Johns-Krull, *Observations of T Tauri stars using the Hubble space telescope GHRS. I.Far -ultraviolet emission lines, Astrophys. J.*, **566** (2002) 1000-1023.
- 42. A.Isella, J.M.Carpenter, A.I.Sargent, *Investigating planet formation in circumstellar disks:CARMA observations of RY Tau and DG Tau, Asrophys. J.*, **714** (2010) 1746-1771.
- 43. A.I.Gomez de Castro, A.Lecavelier, M.D.Avillez, J.L.Linsky, J.Cernicharo, *UV* capabilities to probe the formation of planetary systems: from the ISM to planets, *Astron.Space Sci.*, **303** (2006) 33-52.

RY-TAU ULDUZUNUN SPEKTR VƏ PARLAQLIĞININ TƏDQİQİ N.Z.ISMAYILOV, P.N.SHUSTAREV, B.N.RÜSTƏMOV, H.N.ADIGÖZƏLZADƏ

RY Tau ulduzunun İUE tərəfindən aparılmış 10 illik UB spektral müşahidələri əsasında alınan MgII λ2800Å şüalanma xəttinin nəticələri verilir. 1983÷1984-cü illərdə parlaqlığın kəskin dəyişməsinə baxmayaraq MgII λ 2800Å şüalanma xətti UBV fotometrik nəticələrlə sinxron dəyişmə göstərməmişdir. İki ayrıca aparılmış kvazisinxron UB spectral müşahidə əsasında göstərilmişdir ki, parlaqlığın monoton artdığı və ya azaldığı hallarda şüalanmanın intensivliyi eyni qaydada dəyişmir. İlk dəfə şüalanmanın intensivliyinin 23 günlük periodla dəyişməsi aşkar olunmuşdur. Periodiklik həmçinin CIV λ1450Å, HeII λ1640Å, SII λ1756Å xətləri üçün də müşahidə olunur. Alınmış period optik diapazonda aparılan müşahidələrdə də özünü göstərmişdir. Qurulmuş spektral enerji paylanması əyrisini temperaturları 6000, 3000 və 90 K olan cisimlərin istilik şüalanması kimi təsvir etmək mümkündür. Parlaqlığın aparılmış Furye analizi 14 və 6 illik periodların mövcud olmasını ehtimal etməyə imkan vermişdir. Qurulmuş sintetik işıq əyrisi illə qənaetedici uyğunluq təşkil edir.

INVESTIGATION OF SPECTRUM AND BRİGHTNESS RY TAU N.Z.ISMAILOV, P.N.SHUSTAREV, B.N.RUSTAMOV, H.N.ADIGOZALZADE

UV spectral observations of the IUE data results of MgII $\lambda 2800\text{Å}$ emission doublet of the star RY Tau On the 10 year have been presented. The emission doublet MgII $\lambda 2800\text{Å}$ showed no change with simultaneous UBV-photometric data despite the considerable variability of brightness in 1983÷1984. The monotonically increasing and fading observed an ambiguous variation in emission intensity has been shown on two series of quasi-photometric and UV spectroscopic observations. Firstly has been detected a periodic variability of emission intensities with a period of 23 days. The periodicity has been also observed for a group of such lines as CIV $\lambda 1450\text{Å}$, HeII $\lambda 1640\text{Å}$, SII $\lambda 1756\text{Å}$. The observed period also has revealed the results of observations in the optical spectrum. Constructed SED curve has shown the radiation of the star has been a composite, and this radiation could be represented by thermal radiation of bodies with temperatures of 6000, 3000, and 90K. Carried out spectral Fourier analysis of light has revealed the probable periods of 14 years and 6 years. Obtained synthetic light curve has been in satisfactory agreement with the average light curve of the star.

Редактор: И.Юсифов

UOT-524.4

HD223385 (6 CAS A3Ia) ULDUZU ATMOSFERİNDƏ DƏYİŞKƏNLİKLƏRİN SPEKTROSKOPİK TƏDQİQİ

Y.M.MƏHƏRRƏMOV, İ.M.MƏMMƏDOVA, Ə.S.BALOĞLANOV

N. Tusi adına Şamaxı Astrofizika Rəsədxanası AZ 372 243, Şamaxı şəh. y meherremov@rambler.ru

	REFERAT		
Daxil olub: 16.05.2011	Bu məqalədə 6 Cas ulduzu spektrlərində H_{α} və H_{β} xətləri		
Çapa verilib: 12.09.2011	profillərinin struktur dəyiQkənliyi, Qua sürəti və digər spektral		
	parametrlərin dəyiQmələri tədqiq olunmuQdur. Müəyyən		
	edilmi Glir ki, H _a xətti profilinin absorbsiyasında diskret		
	komponentlər yaranır, yerini dəyiGi və yox olur. Furye		
Açar sözlər: Ġratnəhəng, absorbsiya,	analizin köməyi ilə bu diskret komponentlərdə Çia sürəti		
diskret komponent.	dəyiÇkənlikləri üçün 24.1 ^d və 285.7 ^d günlük periodlar		
-	tapılmıÇdır.		

GÖRÖg

Gratnəhənglər böyük kütləyə, geniG örtüyə və yüksək iGqlığa malik olan ulduzlardır. Bunlara ən çox ulduz assosiasiyalarında və cavan seyrək ulduz topalarında rast gəlmək olur. Gratnəhənglərin əksəriyyətində maddə axını baGverir ki, bunun da əsas səbəbi ulduz örtüyündə baGverən geniGlanmə və digər mexanizmlərdir. Bu baxımdan 6 Cas iGqlıq və kütlə itgisi tempinə görə ağ ifratnəhənglərlə LBV-s (Luminous Blue Variable Stars) arasında ən çox diqqəti cəlb edən ulduzdur. Belə ki, bu ulduz yeganə obyektdir ki, A2 və F0 spektral sinifləri arasında yerləGir və adi ağ ifratnəhəng ulduz olmaqla ağırlıq qüvvəsi təcilinin kiçik anomal dəyiGnələri ilə digərlərindən fərqlənir. 6 Cas ulduzu P Cyg tipli ulduzlar qrupuna aiddir və baGqalarından fərqli olaraq onun optik və ultrabənövGyi spektrlərində bənövGyi və qırmızı tərəfə sürüGnüG komponentlər müGahidə olunur. Digər P Cyg tip ulduzlardan fərqli olaraq 6 Cas ulduzu spektrlərində H α –da udulma (absorbsiya) və Gialanma (emissiya) komponentlərində tez-tez dəyiGnə müGahidə olunur [1,12]. Hesab edilir ki, B, A, F siniflərinə daxil olan parlaq ifratnəhənglərdə Güasürətləri və H α xəttinin profili dəyiGləndir [2,3,15].

Ġratnəhəng ulduzların spektroskopiyasında xəttin əsas parametrlərinin (ekvivalent en, yarım en, tam en, qalıq intensivliyi, Güavə turbulent sürətlər və.s) tədqiqi əsasında həmin ulduzların atmosferlərinin fundamental öyrənilməsi kifayət etmir. Bu baxımdan H_{α} xəttinin profillərində müĢahidə olunan detalların tədqiqi xüsusi əhəmiyyət kəsb edir. Bu xətt örtük boyunca və atmosferin ulduz küləyinin yarandığı üst qatlarında əmələ gəlir ki, nəticədə H_{α} xətti profilinin absorbsiya hissəsində çox komponentlə struktur müĢahidə olunur. Beləliklə müĢahidə olunan Diskret Absorbsiya Komponentləri (DAK-lar) yaranır, kontur boyunca sürüĢürvə müəyyən müddətdən sonra itir. Öndiyədək 6 Cas ulduzunun H_{α} xəttinin profilində heç bir periodik dəyiĢlənlik müəyyən edilməmiÇdir. H_{α} xətti profilinin Güanma komponentində isə heç bir detal müĢahidə olunmur, lakin zamana görə bəzi spektral (W_{λ} –ekvivalent en, r_{ν} -qalıq intensivliyi, $\Delta \lambda_{1/2}$ -yarım eni, $\Delta \lambda$ -tam eni) parametrləri dəyiĢr.

6 Cas ulduzu atmosferində müQahidə olunan qeyri stasionarlığın tədqiqi üçün hələ çox analiz və interpertasiyaların verilməsinə ehtiyac var. Hazırki məqalədə əsas məqsəd H_{α} və H_{β} xətlərində Qüasürətlərinin və digər bütün spektral parametrlərin dəyiQməsinin monitorinqini aparmaqdan ibarətdir.

Y.M.MƏHƏRRƏMOV, ĠM.MƏMMƏDOVA, Ə.ġ.BALOĞLANOV

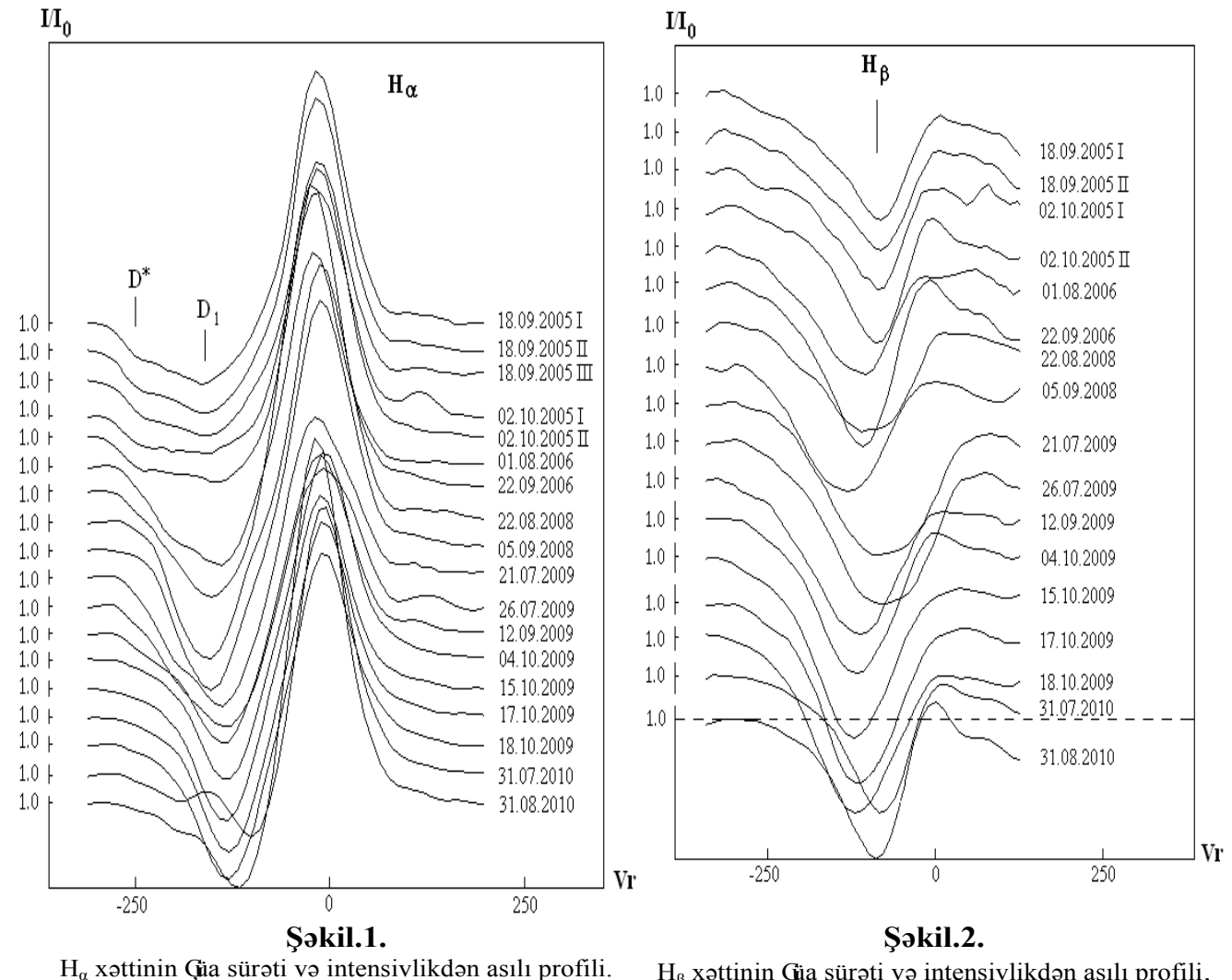
MÜġAHĠDƏ MATERĠALLARI VƏ ONLARIN ĠŁƏNMƏSĠ

1998-2010-cu illərdə AMEA N.Tusi adına gAR-ın 2m-lik teleskopunun Kude və Kassegren fokuslarında gura@lırılmı@ müasir CCD spektrometri vasitəsilə 6 Cas ulduzunun spektrləri alınmı Gdr [13]. Yeni spektrlərin az olması səbəbindən H_{α} –da DAK-ların Güasürətlərinin monitorinqini aparmaq üçün əvvəllər alınmıGspektrlərdən də istifadə olunmuGdur[10,11]. Alınan spektrlər DECH-20 və DECH-20T paket programları vasitəsilə iGənmiGdr [14]. güa sürətləri üçün ölçmə xətası ±2km/s, ekvivalent en üçün xəta 5÷7%-dir.

AlınmıGspektral materiallar sistematiklik təGkl etmir və yalnız ilkin monitoring aparmaq üçün yetərlidir.

H_α VƏ H_β XƏTTĞPROFĞLLƏRÖNÖN MONĞTORÖNQĞ

6 Cas ulduzunun çoxillik müÇahidələri göstərir ki, bu ulduzun H_α xətti profilində emissiya, enli və dərin olmayan absorbsiya xəttindən baQqa absorbsiya daxilində yaxQ ayırd oluna bilən diskret udulma komponentləri də müÇahidə olunur. Amma bu DAK-lar müəyyən müddətdən sonra yox olur, ümumi absorbsiya isə həmi enli və dərin olmayan Gikildə görünür. Qeyd edək ki, 6 Cas üçün H_{α} xətti profilinin yalnız udulma komponentindən ibarət olması 1976-1977-ci illərdə müGanidə olunub. 1993-cü il tarixində isə absorbsiyada iki udulma komponenti müGanidə olunub [10]. Bu xətlər və onların komponentləri ulduz küləyi ilə əlaqədardır.



H_β xəttinin Çia sürəti və intensivlikdən asılı profili.

Cədvəl.1

Spektrlərin		Vr	r_{ν}	r_{ν}		$\Delta\lambda_{1/2}$	ı	Δλ	Δλ	W	W
alınma	(D*)	(D_1)	(abs)	(em)		` /	(abs)	` /		(abs)	
tarixi	km/s				Å	Å	Å	Å	Å	Å	Å
	H_{α}	H_{α}	H_{α}	H_{α}	H_{α}	H_{α}	H_{α}	H_{α}	H_{α}	H_{α}	H_{α}
18.09.1998	-247	-129	0.52	1.61	2.1	1.0	4.3	3.4	7.7	1.00	1.83
18.09.1998	-246	-127	0.51	1.72	2.2	1.2	4.1	3.4	7.5	1.05	1.82
18.09.1998	-247	-131	0.50	1.70	2.1	1.6	4.2	3.2	7.4	1.08	1.71
18.09.1998	-247	-128	0.51	1.62	2.2	1.6	4.2	3.2	7.4	1.03	1.79
18.09.2005	-246	-164	0.78	1.85	3.2	1.6	4.8	5.7	10.5	0.60	1.71
18.09.2005	-245	-161	0.77	2.02	3.2	1.6	4.8	5.6	10.4	0.62	1.64
18.09.2005	-236	-158	0.79	2.03	3.9	1.6	4.8	5.1	9.9	0.57	1.55
02.10.2005	-246	-153	0.83	1.80	3.5	1.8	5.1	5.5	10.6	0.50	1.54
02.10.2005	-240	-145	0.82	2.20	3.4	1.7	5.2	5.4	10.6	0.54	1.66
01.08.2006	-200	-141	0.62	1.78	2.6	1.5	4.3	3.6	7.9	0.95	1.25
22.09.2006	-	-153	0.62	2.12	2.5	1.6	4.2	6.2	10.4	0.90	2.10
22.08.2008	-	-155	0.50	1.94	2.0	1.6	4.3	6.1	10.4	1.05	1.63
05.09.2008	-	-152	0.48	1.92	2.0	1.7	4.7	5.4	10.1	1.05	1.65
21.07.2009	-186	-139	0.52	1.58	2.7	1.9	4.6	6.7	11.3	1.15	1.14
26.07.2009	-239	-132	0.54	1.48	2.8	2.0	4.8	4.8	9.6	1.16	0.91
12.09.2009	-243	-136	0.59	1.64	2.3	1.6	4.6	5.3	9.9	0.87	1.22
04.10.2009	-	-133	0.57	1.76	2.0	1.8	4.6	6.1	10.7	0.84	1.40
15.10.2009	-245	-134	0.52	1.71	1.8	1.5	5.0	5.1	10.1	0.94	1.25
17.10.2009	-	-131	0.50	1.71	1.7	1.6	4.9	5.6	10.5	0.96	1.27
18.10.2009	-246	-132	0.52	1.70	1.8	1.6	4.3	5.0	9.3	0.93	1.29
31.07.2010	-194	-102	0.76	1.97	2.8	1.7	4.7	5.5	10.2	0.45	1.68
31.08.2010	-188	-119	0.68	2.35	2.1	1.5	4.7	4.7	9.4	0.59	2.26

Əvvəlcədən məlum olan H_{α} xətti profilinin və Güasürətlərinə bizim aldığımız yeni qiymətlər əlavə olunduqdan sonra onun detallarının zamandan asılı olaraq variyasiyası haqqında məlumat geniGəndi və həmçinin periodikliyin tapılması ehtimalı artdı [11].

ġskil 1-də 2005-2010-cu illərdə alınmıG spektrlər əsasında H_{α} xəttində Güa sürətinin qalıq intensivliyinə görə profilləri verilib. ġəkil 1 və Cədvəl 1-dən görünür ki, H_{α} xətti profillərində həm komponentlərin, həm də profilin struktur dəyiGnəsi əsasən mərkəzi hissədə baGverir. 18.09.2005-ci ildə alınmıGmüGnüGemissiya komponentindən ibarətdir. H_{α} profilindəki DAK-ların profil üzərində hərəkətinin dinamikası və dəyiGlənliyi 02.10.2005-ci illərdə alınmıG spektrlərdən də aGtar görünür. ġəkil.1-dən aydın olur ki, 01.08.2006-cı il tarixinə uyğun profildə D_1 komponenti aydın müGnidə olunsa da D* diskret komponenti zəifləmiGdr. 22.09.2006-cı il tarixində isə D* komponenti tamamilə itmiGdr. 22.08.2008 və 05.09.2008 –ci il tarixlərində alınmıG spektrlərdə H_{α} profilində yalnız ümumi absorbsiya komponenti (yəni D_1) müGnidə olunur, 2-ci D* komponenti isə yox olmuGdur

Y.M.MƏHƏRRƏMOV, ĠM.MƏMMƏDOVA, Ə.ġ.BALOĞLANOV

2009-cu ildə daha intensiv müÇahidələr aparıldığından qeyd olunan faktlara daha tez-tez rast gəlinmiÇdir. Cədvəl 1 və gəkil 1-dən göründüyü kimi 21.07.2009, 26.07.2009, 12.09.2009, 15.10.2009 və 18.10.2009-cu il tarixli müÇahidə materiallarında 2-ci D*komponenti zəif olsa da müÇahidə edilmiÇdir. Lakin 04.10.2009 və 17.10.2009-cu il tarixlərində isə həmin 2-ci diskret komponent müÇahidə olunmur.

6 Cas ulduzu üçün 2010-cu ildə aparılmıG31.07.2010 və 31.08.2010-cu il tarixli müGahidə materialları bu baxımdan daha çox uğurlu olmuGdur Doğrudan da gəkil 1-dən görünür ki, 31.07.2010-cu il tarixində alınmıGspektrdə 2-ci D^* komponenti maksimum dərinlik səviyyəsində müGahidə olunur. Lakin 31.08.2010-cu il tarixinə uyğun profildən görünür ki, absorbsiyada yaranıb yoxa çıxan ikinci diskret D^* komponenti nisbətən zəifləmiGolsa da yenə də müGahidə olunur.

MüÇahidə materiallarında H_{α} xətti profilinin ümumi absorbsiya komponentində 3 və daha çox diskret udulma komponentlərinin də yarandığı müÇahidə olunmuÇdur Lakin bu iÇab əsasən qırmızı tərəfdə olan 1-ci (D_1) və ən çox bənövÇəyi tərəfə sürüÇmüÇ sonuncu (D^*) komponentlərindəki Çüasürətlərinin dəyiÇlənliklərinə baxılmıÇdır.

Bu diskret detallar əvvəlcə qırmızı tərəfdə əmələ gəlir və sonra bənöv \mathbf{G} yi tərəfə sürü \mathbf{G} ürlər. Göründüyü kimi 6 Cas ulduzunda \mathbf{H}_{α} xətti profilinin struktur dəyi \mathbf{G} lonliyi əsasən absorbsiya komponentində ba \mathbf{G} verir. Bu zaman emissiya komponenti öz yerini dəyi \mathbf{G} \mathbf{S} də onda heç bir diskret komponent mü \mathbf{G} laidə olunmur.

Qeyd edək ki, H_{α} xətti profilinin ümumi absorbsiya hissəsində yaranan diskret udulma komponentləri ulduz atmosferinin yuxarı qatlarında — ulduz küləyi yaranan qatlarda yaranır ki, bunlara bəzən külək komponentləri də deyilir. Onu da əlavə etməliyik ki, profilin absorbsiya hissəsində meydana çıxan bu külək komponentləri — onların yaranması və inkiGatı fotosfer xətləri ilə də sıx bağlıdır. Hələ indiyə qədər 6 Cas-ın H_{α} xətti profilində belə külək komponentlərinin yaranması, inkiGatı və onların yox olması hadisələrinin dəqiq periodikliyi müəyyən edilməmiGdi.

6 Cas ulduzu atmosferinin tədqiqi üçün alınmı Gmü

Gabidə materiallarında H_{β} xətti profilinin öyrənilməsi də əsas yer tutur. On
a görə də bu i Çab H_{β} profilinin struktur dəyi Ç
lənliyinə baxılmı Ç
, Güa sürəti və həm də spektral parametrlərin qiymətləri ölçülmü Çabi
də Cas ulduzunda H_{β} xətti profili bir qayda olaraq həmi
Çabidə olunur.

ğəkil 2-dən görünür ki, 6 Cas-ın H_{β} xətti profilində də ciddi struktur dəyiQlənliyi müQlənidə olunur. Belə ki, profilin həm bənövQəyi, həm də qırmızı tərəfə kəskin sürüQmələri və beləliklə ümumi udulma komponentinin mərkəzi hissəsinin müxtəlif istiqamətlərdə kəskin yerdəyiQmələri diqqəti cəlb edən haldır. Bundan əlavə H_{β} xətti profilinin dərinliyinin artıb azalması, xəttin yarım eninin böyük dəyiQmələri vizual olaraq aQkar görünür.

Nəhayət daha maraqlı müGahidə faktı kimi 31.08.2010-cu il tarixində alınmıG spektrdə H_{β} xətti profilinin qırmızı qanadında zəif emissiya komponentinin yaranması müGahidə olunmuGdur Həmin emissiya komponentinin qalıq intensivliyi ölçülərək r_{ν} =1.03 olduğu müəyyən edilmiGdr.

Məlumdur ki, ulduz atmosferində H_{β} xətti H_{α} -ya nəzərən daha dərin qatlarda yaranır. Göründüyü kimi H_{β} xətti profilində də yuxarıda qeyd olunan dəyi Glonliklər onu deməyə əsas verir ki, ifratnəhənglərə xas olan ulduz küləyi və pulsasiya prosesi təkcə atmosferin örtüyə yaxın üst qatlarında deyil, atmosferin daha dərin qatlarında da güclü dəyi Glonliklər yaradır ki, bu da xəttin profilində özünü göstərir.

EKVÖVALENT EN, YARIM EN, TAM EN, QALIQ ÖNTENSÖVIÖYÖVƏ ġÜA SÜRƏTLƏRÖNÖN MONÖTORÖNQÖ

Bu məqalədə 6 Cas ulduzu spektrlərində H_{α} xətti profillərinin diskret komponentlərində Güasürətləri, o cümlədən H_{α} və H_{β} xətlərində Güa sürəti, ekvivalent en, xətlərin yarım eni, tam eni və qalıq intensivliklərinin qiymətləri analiz olunmuGdur Cədvəl 1-dən görünür ki, H_{α} -da xəttin r_{ν} qalıq intensivliyi, $\Delta\lambda_{1/2}$ yarım eni, $\Delta\lambda$ tam eni və W_{λ} ekvivalent eni uyğun olaraq absorbsiyada $0.50\div0.83$, $1.7\div3.9$ Å, $4.1\div5.2$ Å və $0.45\div1.16$ Å, emissiyada isə $1.48\div2.35$, $1.0\div2.0$ Å, $3.2\div6.7$ Å və $0.91\div2.26$ Å intervalında dəyiGir. Xəttin hər bir spektral parametrinin aldığı maksimum qiymətin onun minimum qiymətinə nisbətinə dəyiGlənlik nisbəti desək, bu yeni meyar əsasında dəyiGnələrin analizindən görünür ki, H_{α} xətti profilinin absorbsiyasında xəttin tam eni və qalıq intensivliyində uyğun dəyiGlənliklər nisbəti ~1.3 və ~1.7 dəfə olmaqla zəifdir, lakin xəttin yarım eni və ekvivalent enlərinin qiymətlərindəki nisbətlər isə ~2.3 və ~2.5 dəfə olmaqla güclü dəyiGlənlik baGverir. Absorbsiyadan fərqli olaraq emissiyada yalnız xəttin r $_{\nu}$ qalıq intensivliyi güclü dəyiGlənliyə məruz qalmır, digər bütün spektral parametrlərinin qiymətlərindəki nisbətlər (max/min) $\sim2.0\div\sim2.5$ dəfə olmaqla güclü dəyiGlənlik baGverir.

Cədvəl 2-dən görünür ki, H_{β} -da xəttin r_{ν} qalıq intensivliyi, $\Delta\lambda_{1/2}$ yarım eni, $\Delta\lambda$ tam eni və W_{λ} ekvivalent eni uyğun olaraq 0.50÷0.75, 1.4÷3.2Å, 4.2÷6.1Å və 0.64÷1.32Å intervalında dəyiĞir. Bu dəyiĞlənliklərin analizindən məlum olur ki, yalnız absorbsiya komponentindən ibarət olan H_{β} xətti profilinində xəttin tam eni və qalıq intensivliyində uyğun dəyiĞlənliklər nisbəti ~1.5 dəfə olmaqla zəifdir, lakin xəttin ekvivalent en və yarım enlərinin qiymətlərindəki nisbətlər isə ~2.1 və ~2.3 dəfə olmaqla daha güclü dəyiĞlənlik baĞverir.

Beləliklə H_{α} və H_{β} xətti profiillərində absorbsiya komponentləri üçün uyğun spektral parametrlərin $(r_{\nu}, \Delta\lambda_{1/2}, \Delta\lambda$ və $W_{\lambda})$ yuxarıda qeyd olunan dəyiÇkənliklərinin nisbətlərini müqayisə etsək aÇkar olur ki, hər iki xəttin tam eni və qalıq intensivliyində nisbətən zəif, yarım en və ekvivalent enlərində isə daha güclü dəyiÇkənliklər baÇverir. Bununla da hər iki xəttin absorbsiyasında eyni spektral parametrlərdə baÇ verən dəyiÇkənliklər arasında nəticə etbarı ilə maraqlı uyğunluq aÇkar edilmiÇ dur.

Digər tərəfdən cədvəl 1 və cədvəl 2-də verilmiG H $_{\alpha}$ və H $_{\beta}$ üçün spektral parametrlərin qiymətlərini analiz etsək aGkar olunur ki, hər iki xəttin absorbsiyalarında uyğun spektral parametrlərin minimum və maksimum qiymətləri əksər hallarda eyni tarixlərə uyğundur. Nümunə üçün W $_{\lambda}$ -nın qiymətlərini qeyd etmək olar. Belə ki, H $_{\alpha}$ -da min (W $_{\lambda}$) = 0.45 Å \rightarrow 31.07.2010 və max (W $_{\lambda}$)=1.16Å \rightarrow 26.07.2009-cu il tarixlərinə uyğun gəlir. Eyni ilə H $_{\beta}$ -da da min (W $_{\lambda}$) = 0.64 Å \rightarrow 31.07.2010 və max (W $_{\lambda}$)=1.32Å \rightarrow 26.07.2009 –cu il tarixlərinə uyğun gəlir.

ġəkil 1-dən göründüyü kimi H_{α} xəttinin profillərində emissiya və bənövGəyi tərəfə ən çox sürüGnüGDAK-lar (D^*) müGahidə olunur. Həmin müGahidə olunan DAK-lar kontur boyunca yerlərini dəyiGr. Cədvəl 1 və 3-də H_{α} xətti profilində DAK-ların heliosentrik Güa sürətlərinin qiymətləri verilmiGdr. Müqayisə üçün digər [10-12]-dən götürülmüG qiymətlərdən də istifadə olunmuGdur [10]-da qeyd olunmuGdur ki, Güa sürətlərinin zamana görə dəyiGnəsi həm ulduz fotosferinin dərinliyi və həm də ulduz küləyi ilə əlaqədardır. Cədvəl 1, 2 və 3-dən və G0kil 1-dən görünür ki, DAK-lar $(D_1$ və D^*) üçün Güa sürətlərinin qiyməti uyğun olaraq -164km/s÷-102km/s və -247km/s÷-135km/s, H_{β} xəttində isə -136km/s÷-84km/s intervalında dəyiG0i. Ölçmələrin nəticələrindən müəyyən edilir ki, H_{α} –da D^* üçün ϕ =0.95÷1.0 (həm də ϕ =0÷0.1) fazaları ətrafında G0a sürətinin qiyməti modulca maksimum, ϕ =0.2÷0.3 intervalında isə minimumdur. H_{β} -da isə ϕ =0.9 və ϕ =0÷0.1 intervalında G0a sürətinin qiyməti modulca minimum, ϕ =0.6÷0.7 intervalında isə modulca maksimumdur.

Cədvəl.2.

Cədvəl.3.

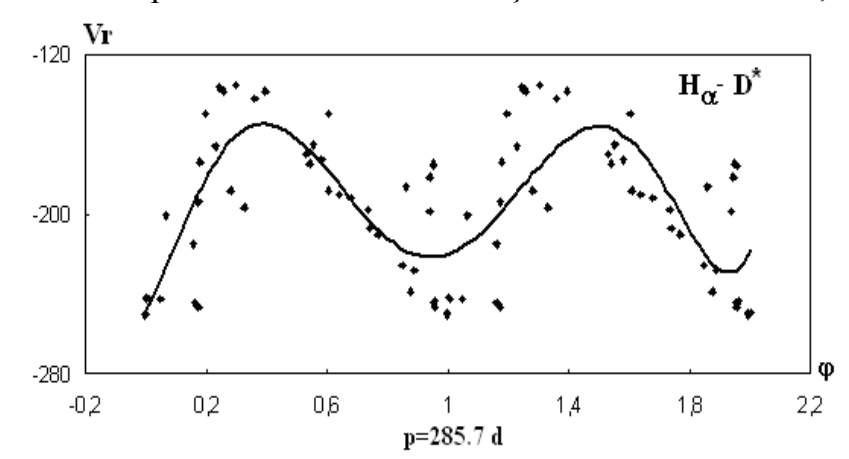
Spektrlərin					
alınma	Vr _{1/2} ; (km/s)	rν	$\Delta\lambda_{1,2}$; (Å)	$\Delta\lambda;~(\text{\AA})$	W; (Å)
tarixi	${ m H}_{\!eta}$	H_{β}	$\mathbf{H}_{\!eta}$	${ m H}_{\!eta}$	${ m H}_{\!eta}$
18.09.1998	-105	0.50	1.8	5.9	1.03
18.09.1998	-106	0.56	1.7	4.8	0.84
18.09.1998	-104	0.52	1.8	4.5	0.93
18.09.1998	-105	0.54	1.6	4.4	0.89
18.09.2005	-102	0.68	2.1	5.3	0.71
18.09.2005	-103	0.70	2.0	5.5	0.67
18.09.2005	-104	0.72	2.0	5.4	0.68
02.10.2005	-88	0.69	1.8	5.0	0.65
02.10.2005	-87	0.75	1.5	5.0	0.66
01.08.2006	-121	0.58	2.3	5.1	0.94
22.09.2006	-117	0.66	1.9	4.8	0.86
22.08.2008	-135	0.71	2.5	5.1	0.75
05.09.2008	-136	0.66	2.4	4.5	0.87
21.07.2009	-84	0.59	3.2	6.1	1.27
26.07.2009	-85	0.57	3.1	5.6	1.32
12.09.2009	-120	0.59	2.7	5.0	1.08
04.10.2009	-117	0.59	2.3	5.1	0.95
15.10.2009	-118	0.53	2.2	5.7	1.20
17.10.2009	-111	0.51	2.1	6.0	1.28
18.10.2009	-115	0.53	1.4	5.9	1.20
31.07.2010	-85	0.64	1.7	5.3	0.64
31.08.2010	-95	0.61	1.7	4.2	0.71

		Vr (km/s)				
φ	H_{α} ; D^*	H _α ; D ₁	$\mathbf{H}_{\!eta}$			
0.943	-181	-	-			
0.951	-175	-	-			
0.954	-176	-	-			
0.195	-145	-	-			
0.245	-136	-	-			
0.258	-138	-	-			
0.301	-135	-	-			
0.360	-142	-	-			
0.179	-174	-	-			
0.397	-138	-	-			
0.604	-150	-	-			
0.232	-166	-104	-			
0.532	-170	-125	-			
0.542	-175	-132	-			
0.608	-188	-130	-130			
0.637	-190	-140	-			
0.735	-198	-138	-			
0.941	-199	-154	-			
0.159	-215	-179	-			
0.330	-197	-145	-			
0.554	-165	-90	-102			
0.582	-173	-115	-105			
0.680	-192	-112	-106			
0.743	-207	-138	-			
0.768	-210	-142	-135			
0.851	-225	-158	-			
0.887	-228	-162	-			
0	-247	-129	-105			
0.999	-246	-127	-106			
0.998	-247	-131	-104			
0.997	-247	-128	-105			
0.954	-246	-1 64	-102			
0.957	-245	-161	-103			
0.960	-236	-158	-104			
0.004	-246	-153	-88			
0.007	-240	-145	-87			
0.064	-200	-141	-121			
0.246	-	-153	-117			
0.696	-	-155	-135			
0.745	-	-152	-136			
0.861	-186	-139	-84			
0.879	-239	-132	-85			
0.047	-243	-136	-120			
0.124	-	-133	-117			
0.162	-245	-134	-118			
0.169	-	-131	-111			
0.173	-246	-132	-115			
0.174	-194	-102	-85			
0.282	-188	-119	-95			
	•					

 H_{α} xətti profillərinin diskret komponentlərdə ölçülən Gü sürətlərinin müqayisəsindən aydın olur ki, bunlar hər hansı qanunauyğunluq təQkil etmir. Beləliklə H_{α} xətti profilinin həm struktur və həm də Güasürətlərinin dəyiQmə monitorinqi göstərdi ki, ən çox dəyiQlənliklər udulma komponentində baQverir.

6 Cas ulduzu spektrlərində H_{α} xətti profilinin absorbsiya hissəsində diskret komponentlərin yaranıb-yox olmasının təkrarlanması həmin hadisənin periodik ola bilməsi təsəvvürlərini yaratdı. Ona görə də ilk növbədə H_{α} xəttində Güa sürətlərinin dəyiGnəsinin hansısa periodikliyə malik olması ehtimalı nəzərdən keçirilmiGdir. Bununla belə qeyd edək ki, P Cyg tip ifratnəhəng ulduzlarda atmosfer parametrlərinin dəyiGnəsində dəqiq periodiklik müGdnidə olunmur, amma bir sıra hallarda həmin atmosfer parametrləri xarakterik vaxtla dəyiGr ki, bu da kvaziperiodiklik adlanır.

Kvaziperiodiklik atmosfer qatlarının ulduzun kütlə mərkəzinə nəzərən kvaziperiodik hərəkəti ilə baG verir. Məlumdur ki, müGabidə olunan kvaziperiodiklik



ifratnəhənglərin iGqlıgi ilə müəyyən əlaqəsi var [15]. Bu münasibətlərdən istifadə edərək 6 Cas-da kvaziperiod üçün P_S =24.1 d gün, fundamental period üçün isə P_0 =1286 d günlük period tapılmıGd \mathbf{r} .

Şəkil.3. H_{α} –nın D^* diskret udulma komponentində Çia sürətlərinin fazadan asılılıq əyrisi.

Furye analiz tətbiq olunmaqla cədvəl 3-dəki qiymətlər əsasında H_{α} —nın ən çox bənövQəyi tərəfə sürüQnüQD* komponentində Qüasürəti dəyiQkənliklərinin periodunun təyini üçün güc spektri qurularaq 285.7^d günlük dayanıqlı period tapılmıQdr. Bu perioda uyğun əyri (Qüa sürətinin fazadan asılılıq əyrisi) Qəkil 3-də göstərilmiQdr. Əyridən göründüyü kimi periodun tapılmıQ 285.7^d qiymətini qənaətbəxQ hesab etmək olar. Həmçinin 98.5^d , 103.1^d , 135.1^d günlük periodlar da tapıldı, lakin onlardan ən ehtimallı olanı P= 285.7^d gündür.

 H_{β} -da Güasürətlərinin periodikliyinin müəyyən edilməsi ilə bağlı H_{α} –nın diskret komponenti üçün periodun tapılmıGP=285.7^d gün qiyməti uyğun gəlmədi. Digər tərəfdən güc spektri qurulmaqla Furye analiz vasitəsilə ayrıca olaraq H_{β} -da Güa sürətlərinin dəyiGknliyində hansısa periodiklik aÇkar olunmadı.

NƏTĠ@LƏR

6 Cas ulduzu örtüyünün faza aktivliyindən asılı olaraq H_{α} xətti profilinin absorbsiya komponentində diskret udulma detalları müÇahidə olunur. Lakin emissiya komponentində belə detallar müÇahidə olunmur.

 H_{α} —nın absorbsiya komponentində yaranan ən çox bənövGəyi tərəfə sürüGnüGD * diskret komponentinin Güasürətləri -247km/s÷-135km/s intervalında, D_1 komponentində Güasürətləri isə -164km/s÷-102km/s intervalında dəyiGr.

 H_{β} xətti həmiQ absorbsiya komponenti formasında müQahidə olunur. Bu xətdə Qüa sürəti -136 km/s÷-84 km/s intervalında dəyiQi.

 H_{α} xətti profilində yaranan D^* komponentində Güasürəti üçün ən dayanıqlı period p=285.7^d gün olduğu tapılmı Gd**r**.

 H_{α} və H_{β} xətti profillərinin absorbsiyalarında uyğun spektral parametrlərin dəyiGlənlikləri arasında aGağıdakı Gləkildə münasibətlər aGlar olunmuGdur H_{α} - da $\Delta\lambda$ və r_{ν} üçün

 $\max (\Delta \lambda) / \min (\Delta \lambda) \sim 1.3$,

 $\max(r_v) / \min(r_v) \sim 1.7$ olmaqla nisbətən zəif dəyiGlənlik baÇverir.

H_β xətti üçün də bu nisbətlər

 $\max (\Delta \lambda) / \min (\Delta \lambda) \sim 1.5$,

Y.M.MƏHƏRRƏMOV, ĠM.MƏMMƏDOVA, Ə.ġ.BALOĞLANOV

 $\max(r_v) / \min(r_v) \sim 1.5$ olmaqla yenə də nisbətən zəif dəyiQlənlik baÇverir.

 H_{α} –da $\Delta\lambda_{1/2}$ və W_{λ} üçün isə

max $(\Delta \lambda_{1/2})$ / min $(\Delta \lambda_{1/2}) \sim 2.3$

 $\max (W_{\lambda}) / \min (W_{\lambda}) \sim 2.5$ olmaqla nisbətən güclü dəyiQlonlik baQverir.

H_β xətti üçün də bu nisbətlər

 $\max (\Delta \lambda_{1/2}) / \min (\Delta \lambda_{1/2}) \sim 2.3$

 $\text{max }(W_{\lambda}) \ / \ \text{min }(W_{\lambda}) \sim 2.1$ olmaqla burada da nisbətən güclü dəyi Çl
ənlik ba Ç verir.

 H_{α} və H_{β} üçün uyğun nisbətlər bir-birilərinə çox yaxındır və bəzi hallarda isə üstüstə düĞür Yəni dəyi**Ç**tənliyin belə növündə də korrelyasiya vardır.

Absorbsiyadan fərqli olaraq H_{α} -nın emissiya komponentində yalnız xəttin r_{ν} qalıq intensivliyi nəzərəçarpacaq dəyiÇkonliyə məruz qalmır. Lakin $\Delta\lambda$, $\Delta\lambda_{1/2}$ və W_{λ} spektral parametrləri üçün isə uyğun (max/min) nisbətlər ~2.0÷~2.5 olmaqla nisbətən güclü dəyiÇkonlik baÇverir.

 H_{β} xətti profilinin qırmızı qanadında zəif emissiya komponenti yaranmıGdr. H_{α} və H_{β} xətti profillərində Güasürətlərinin və digər spektral parametrlərin qiymətlərinin dəyiGməsi və H_{α} -nın absorbsiya profilində müGdıidə olunan diskret udulma komponentlərin yaranması, kontur boyunca sürüGməsi və yox olması ifratnəhəng ulduz atmosferlərinin aGağı qatlarında baGverən qeyri-radial pulsasiyaların nəticəsidir.

- 1. С.К.Зейналов, Наблюдательные доказательства подтверждающие неустойчивость атмосфер звезд высокой светимости, ŞAR Sirkulyarı, **110** (2005) 62-69.
- 2. Mc.Kellar.A, Spectroscopic variations of P Cyg-type stars, Publ. American Astron. Soc, 9 (1939).
- 3. H.A.Abt, The variability of supergiants, Astrophys. J., 126 (1957) 138-151.
- 4. J.D.Rosendhal, G. Wegner, *Spectrum Variations in A-Type supergiants, Ap.J*, **162** (1970) 547-556.
- 5. И.М.Копылов, *Красные гиганты и сверхгиганты*, *Изв. САО*, **2** (1970) 42-50.
- 6. C.Aydin, Atmospheres of A-type supergiants, Astr. And Ap., 19 (1972) 369-375.
- 7. Г.И.Аббасов, С.К.Зейналов, Е.Л.Ченцов, *Атмосфера сверхгиганта 6 Cas. II.* Скорости турбулентных движений, электронная плотность и ускорение силы тяжести, Изв. САО, **5** (1973) 81-88.
- 8. E.L.Chentsov, U.Heber and C.S.Jefferi (eds.), *Atmospheres of Early-Type Stars, Lecture Notes Phys*, **401** (1992) 128-155.
- 9. R.A.Bartaya, K.B.Chargeishvili, E.L.Chentsov and Z.U.Shkhagoshova, *Hypergiant 6 Cas and association Cas OB5, Bull. Special Astrophys. Obs,* **38** (1994) 103-118.
- 10.В.В.Соколов, Е.Л.Ченцов, *Атмосфера сверхгиганта 6 Cas, III.* Дифференциальные сдвиги линий и аномалии профилей как проявление расширения атмосферы и потери ею вещества, Изв. CAO, **18** (1984) 8-28.
- 11. E.L.Chentsov, *Unstable wind of 6 Cassiopeae, Astroph. And Space Science*, **232** (1995) 217-232.
- 12. С.К.Зейналов, Я.М.Магеррамов, И.М.Мамедова, А.Г.Бабаев, Исследование профиля линии Н_α в спектре звезды 6 Cas (A3Ia), *Transactions of Azerbaijan Academy of Sciences*, *Series of Physical-mathematical and Technical sciences*, *Physics and Astronomy*, **XXVIII** №**2** (2008) 163-166.
- 13. Х.М.Микаилов, В.М.Халилов, И.А.Алекберов, Эшелле-спектрометр фокуса Кассегрена 2-м телескопа ШАО НАН Азербайджана, ŞAR Sirkulyarı, 109 (2005) 21-29.

HD223385 (6 CAS A3Ia) ULDUZU ATMOSFERÓNDƏ DƏYÇKƏNLÓKLƏRÓN SPEKTROSKOPÓK TƏDQÓÇÓ

- 14. Г.А.Галазутдинов, *Система обработки эшелле-спектров DECH-20, Препринт CAO PAH,* **92** (1992).
- 15. К.де Ягер, Звезды наибольшей светимости, Москва, Мир, (1984), 493с.

THE SPECTROSCOPIC INVESTIGATION OF VARIABILITY IN THE ATMOSPHERE OF 6 CAS STAR

Y.M.MAHARRAMOV, I.M.MAMMADOVA, A.Sh.BALOQLANOV

The results of variations of the radial velocities and other spectral parameters and changing of the structure of profiles H_{α} and H_{β} lines in the spectra of 6 Cas star have been presented. It has been found that the discrete components (DAC) are formed, displaced and then disappear in the profiles of absorption of H_{α} line. By means of Fourye analysis for variability radial velocities in the discrete components have been found 24.1^d and 285.7^d periods.

ИССЛЕДОВАНИЯ СПЕКТРОСКОПИЧЕСКОЙ ПЕРЕМЕННОСТИ В АТМОСФЕРЕ ЗВЕЗДЫ 6 CAS

Я.М.МАГЕРРАМОВ, И.М.МАМЕДОВА, А.Ш.БАЛОГЛАНОВ

Приведены результаты изменений структуры профилей, лучевых скоростей и других параметров линий H_{α} и H_{β} в спектрах звезды 6 Cas. Выявлено, что в профиле абсорбционной компоненты линии H_{α} наблюдаются дискретные компоненты (ДАК), которые со временем смещают в пределах профиля, а затем исчезают. С помощью Фурье анализа найдены периоды изменения лучевых скоростей дискретных компонент 24.1^d и 285.7^d .

Редактор:Ю.Исмайлов

MÜNDƏRİCAT

TlFeS ₂ kristalının elektron quruluşunun ferromaqnit fazada hesablanması
Z.A.Cahangirli, Kojiro Mimura, Kazuki Wakita,
Yonggu Shim, H.S.Orucov, N.T.Məmmədov
Səthin üzərində adsorbat layları olduğu halda AQM təsvirlərinin formalaşmasının
xüsusiyyətləri
S.C. Ələkbərov
Mikro-pikselli selvari fotodiodların radiasiyaya davamlılığının tədqiqi
F.İ.Əhmədov, R.S.Mədətov, Z.İ.Sadıqov, Y.M.Mustafayev
TlSe kristalının qəfəs dinamikası
V.N.Cəfərova, H.S.Orucov
Ge _{1-x} Si _x kristal təbəqələrini <u>n elektrik xas</u> sələrinin xüsusiyyətləri
H.Mehdavi, R.S.Mədətov, Ş.M.Abbasov, Y.M.Mustafayev, Ü.F.Fərəcova31
ε – GaSe kristalının fonon spektrinin ilk prinsiplərdən hesablanması
Z.A.Jahangirli36
Qamma kvantları ilə şüalandırılmış Pb _{1-x} Mn _x Te epitaksial təbəqələrinin səthinin AQM-
tədqiqi
T.İ.Kərimova, H.R.Nuriyev, Ş.M.Abbasov, M.Ə.Ramazanov
EuF ₃ aşqarlı Se ₉₅ As ₅ şüşəvarı halkogenid yarımkeçiricinin elektrikkeçirməsinə güclü
elektrik sahəsinin təsiri
S.N.Gəribova, A.İ.İsayev, S.İ.Mehdiyeva, V.Z.Zeynalov
Lazer şüalarının təsiri ilə silisium kristallarında elektron – deşik səpilməsi
A.H.Kazimzadə, A.M.Əliyeva, V.M.Salmanov, İ.M.Əliyev, A.A.Salmanova53
İndium monoselenidi kristallarında induksiyalanmış aşqar fotokeçiriciliyin xüsusiyyətləri
Ə.Ş.Abdinov, R.F.Babayeva, R.M.Rzayev. 59
5keV enerjili indium ionları ilə şüalandırılmış Hg _{1-x} Cd _x Te əsasında fotodiodlar
N.C.İsmayilov, E.K.Hüseynov, İ.S.Həsənov, S.M.Guliyev, R.Muxtarova67
Ga _{0.83} In _{0.83} Fe _{0.34} S ₃ bərk məhlul kristallarının quruluşu və optiki xassələri
C.Hasani Barbaran, Q.H.Hüseynov, Y.İ.Alıyev, G.M.Ağamirzəyeva71
Cu ₅ SmSe ₄ birləşməsində kinetik xassələrin xüsusiyyəti
R.N.Rəhimov, Y.R.Əliyeva, Z.İ.Süleymanov, Q.Q.Hüseynov78
Fe In_2S_4 —ün dielektrik nüfuzluğunun temperaturdan və dəyişən elektrik cərəyanının
tezliyindən asılılığı
N.N.Niftiyev, O.B.Tağıyev, F.M.Məmmədov, M.B.Muradov,
Ü.F.Qasimov, F.A.Kazimova
Alkanların müxtəlif temperaturlarda buxarlanma istiliyi
A.H.Əhmədov89
Kükürd vakansiyalarının heksaqonal TlInS ₂ kristallarının fotokeçiriciliyinə təsiri
R.S.Mədətov, A.İ.Nəcəfov, M.Ə.Məmmədov
EuF ₃ aşqarlı Se ₉₅ As ₅ halkogenid şüşəvari yarımkeçiricisində injeksiya cərəyanları
A.İ.İsayev, S.İ.Mehdiyeva, S.N.Gəribova, V.Z.Zeynalov, M.M.Seyidov
TlGaSe ₂ -TlCrS ₂ (Se ₂) sistemlərində faza nisbətləri və fazaların maqnetodielektrik
xassələri
R.G.Vəliyev, Mir-Həsən Yu.Seyidov, E.M.Kərimova, R.Z.Sadıxov, F.M.Seyidov,
Yu.G.Əsədov, N.Z.Həsənov
Cd-Ba-Cu-O sistemində faza keçidlərinin yayılması
V.M.Əliyev
Nanoölçülü dəmir oksidləri və su, su-polietilen-qlikol əsaslı maqnit mayelərdə işığın
dinamik səpilməsi və elektron maqnit rezonansı
E.Ə.Məsimov, E.H.İsmayılov, Ç.R.Fərəcov

MÜNDƏRİCAT

Tellur artıqlığının və termik işlənmənin qurğuşun tellurid monokristallarının elektrik
xassələrinə təsiri
G.Z.Bağıyeva, G.C.Abdinova, N.B.Mustafayev
77–300K temperatur intervalında Bi _{0.94} Sb _{0.06} yarımmetal xəlitəsinin fermi enerjisi
E.P.Yüzbaşov, B.A.Tahirov, M.A.Əkbərov
Pb _{1-x} Sn _x Se epitaksial təbəqələrinin səthinin morfologiyası və onların əsasında fotohəssas
p-n strukturlar
H.R.Nuriyev, A.M.Nəzərov, N.V.Fərəcov, S.S.Fərzəliyev,
R.M.Sadıgov, V.R.Əliyeva
Qamma kvantlarla şüalanmış indium fosfid kristallarının elektrofiziki xassələri
M.İ.Əliyev, Ş.Ş.Rəşidova, M.A.Huseynli, İ.M.Əliyev140
Təkdivarlı yarımkeçirici nanoboruda polyaronun effektiv kütləsi
O.Z. Ələkbərov, S.M. Seyid-Rzayeva, S.S. Hüseynova
AgGaSe ₂ nanoqalınlıqlı amorf təbəqəsinin kristallaşma kinetikası
A.Ç.Məmmədova, C.İ.İsmayilov150
Ag ₂ Te kristalında yükdaşıyıcıların defektlərdən səpilməsi
F.F. Əliyev, R.A. Həsənova, E.R. Həsənov, Q.P. Paşayev154
IrSi-Si kontaktı əsasında fotohəssas element
E.Ə.Kərimov
İnşaat gipsinin diferensial-termiki tədqiqatları
E.H.Bəşirov, N.A.Eyyubova
Yüksəktemperaturlu rentgenoqrafik metod vasitəsilə Rb _{0.975} Cs _{0.025} NO ₃ və
Rb _{0.950} Cs _{0.05} NO ₃ -də polimorf çevrilmələrin tədqiqi
V.İ.Nəsirov, A.F.Həziyeva, Y.Q.Əsədov, Q.H.Hüseynov167
Qismən anizotrop altlığa yerləşdirilən düzbucaqlı anizotrop dalğaötürücüsünün
modelləşdirilməsi
İ.C.İslamov, M.B.Cəfərzadə173
RY-TAU ulduzunun spektr və parlaqlığının tədqiqi
N.Z.Ismayılov, P.N.Shustarev, B.N.Rüstəmov, H.N.Adıgözəlzadə179
HD223385 (6 CAS A3Ia) ulduzu atmosferində dəyişkənliklərin spektroskopik tədqiqi
Y.M.Məhərrəmov, İ.M.Məmmədova, Ə.Ş.Baloğlanov

AZƏRBAYCAN MİLLİ ELMLƏR AKADEMİYASININ XƏBƏRLƏRİ Fizika-riyaziyyat və texnika elmləri seriyası, fizika və astronomiya 2011 №5

CONTENTS

Calculation of electronic structure of TlFeS ₂ crystal in ferromagnetic phase
Z.A.Cahangirli, Kojiro Mimura, Kazuki Wakita, Yonggu Shim, H.S.Orudjev,
N.T.Mamedov
AFM images formation peculiarities in the presence of layers of a surface adsorbate
S.D.Alekperov8
Investigation of radiation hardness of micro-pixel avalanche photodiodes
F.I.Ahmadov, R.S.Madatov, Z.Y.Sadygov, Y.M.Mustafaev14
Lattice dynamics of TlSe crystal
V.N.Jafarova, G.S.Orudzhev
Features of electric properties of crystal layers $Ge_{1-x}Si_x$
N.Mehdevi, R.S.Madatov, Sh.M.Abbasov, Y.M.Mustafaev, I.F.Farajova31
AB INITIO calculation of phonon spectra of ε – GaSe
Z.A.Jahangirli 36
AFM research of qamma-kvhants irradiated Pb _{1-x} Mn _x Te epitaxial films surface
T.I.Kerimova, N.R.Nuriyev, Sh.M.Abbasov, M.A.Ramazanov
Influence of strong electric field on the current flow in Se ₉₅ As ₅ chalcogenide glass-like
semiconductor, containing EuF ₃ rare-earth atoms impurities
S.N.Garibova, A.I. Isayev, S.I.Mekhtiyeva, V.Z.Zeynalov
Electron-hole scattering in silicon at laser excitation
A.G.Kyazym-Zade, A.M.Alieva, V.M.Salmanov, I.M.Aliev, A.A.Salmanova53
Features of induced impurity photoconductivity in crystals of indium monoselenides
A.Sh.Abdinov, R.F.Babayeva, R.M.Rzayev59
Photodiodes on the basis OF Hg _{1-x} Cd _x Te obtained by irradation of 5kev indium ions
N.D.İsmayilov, E.K.Guseyinov, İ.S.Gasanov, S.M.Guliyev, R.Mukhtarova67
Synthesis, structure investigation and optical properties of Ga _{0.83} In _{0.83} Fe _{0.34} S ₃ compound
J. Hasani Barbaran, G.G.Guseinov, Y.I.Aliyev, G.M.Agamirzeyeva71
Features of kinetic properties of Cu ₅ SmSe ₄ compound
R.N.Rahimov, Y.R.Aliyeva, Z.I.Suleymanov, G.G.Guseynov
Dependence of the dielectric constant of FeIn ₂ S ₄ on frequency of alternating electric
currents and temperature
N.N.Niftiyev, O.B.Taghiyev, F.M.Mammadov, M.B.Muradov, U.F.Gasimov,
F.A.Kazimova83
Heat of vaporization of alkanes at different temperatures
A.H.Ahmadov89
Influence of sulfur vacancies on the photoconductivity of hexagonal crystals TlInS ₂
R.S.Madatov, A.I.Najafov, M.A.Mamedov93
The injection currents of Se ₉₅ As ₅ glass-like semiconductor, containing EuF ₃ impurity
A.I.Isayev, S.I.Mekhtiyeva, S.N.Garibova, V.Z.Zeynalov, M.M.Seyidov98
Phase relations and the magneto-dielectric properties of phases in the systems of
$TlGaSe_2$ - $TlCrS_2(Se_2)$
R.G.Veliyev, Mir-Gasan Yu.Seyidov, E.M.Kerimova, R.Z.Sadykhov, F.M.Seyidov,
Yu.G.Asadov, N.Z.Gasanov
The diffusion of the phase transition in the Cd-Ba-Cu-O system
V.M.Aliev
Dynamic light scattering and electron magnetic resonance of magnetic liquids based on
nanosized iron oxide particles in polyethylene glycol/water solution
E.A.Masimov, E.G.Ismailov, C.R.Faradzhev

CONTENTS

Influence of tellurium excess and heat treatment on electrical properties on the lead
telluride single crystals
G.Z.Bagiyeva, G.D.Abdinova, N.B.Mustafayev122
Fermi energy of the semimetallic alloy of Bi _{0.94} Sb _{0.06} in the temperature range of 77-
300K
E.P.Yuzbashov, B.A.Tairov, M.A.Akberov
Surface morphology of Pb _{1-x} sn _x se epitaxial films and photosensitive p-n structures on
their basis
I.R.Nuriyev, A.M.Nazarov, N.V.Faradjev, S.S.Farzaliyev,
R.M.Sadigov, V.R.Aliyeva
Electrophysical properties of indium phosphide irradiated by gamma quanta
M.I.Aliyev, Sh.Sh.Rashidova, M.A.Quseynli, I.M.Aliyev140
Effective polaron mass in single-walled semiconducting nanotubes
O.Z.Alekperov, S.M.Seyid-Rzayeva, S.S.Huseynova143
Crystallization kinetics of amorphous nanothickness AgGaSe ₂ films
A.Ch.Mamedova, D.I.Ismailov
Carrier scattering by defects in Ag_2Te
F.F.Aliyev, R.A.Hasanova, E.R.Hasanov, Q.P.Pashayev154
Photosensitive element on the basis of irsi-Si contact
E.A.Kerimov
The differential thermal exploration of activated gypsum plaster
E.H.Bashirov, N.A.Eyyubova
Research of polymorphic transformations in $Rb_{0.975}Cs_{0.025}NO_3$ and $Rb_{0.950}Cs_{0.05}NO_3$ by
method of high-temperature X-ray
V.I.Nasirov, A.F.Hazieva, Yu.G.Asadov, Q.Q.Quseinov
Modelling of the anisotropic rectangular waveguide, partially loaded in the anisotropic
substrate
I.J.Islamov, M.B.Jafarzade
Investigation Of Spectrum And Brightness RY TAU
N.Z.Ismailov, P.N.Shustarev, B.N.Rustamov, H.N.Adigozalzade
The spectroscopic investigation of variability in the atmosphere of 6 CAS STAR
Y.M.Maharramov, I.M.Mammadova, A.Sh.Baloqlanov

СОДЕРЖАНИЕ

Расчет электронной структуры кристалла $TIFeS_2$ в ферромагнитной фазе
З.А.Джахангирли, Коджиро Мимура, Казуки Вакита, Енг Шим,
Г.С.Оруджев, Н.Т.Мамедов
Особенности формирования АСМ-изображений при наличии слоев поверхностного
адсорбата
С.Д.Алекперов
Исследование радиационной стойкости микро-пиксельных лавинных фотодиодов
Ф.И.Ахмедов, Р.С.Мадатов, З.И.Садиков, Ю.М.Мустафаев14
Динамика решетки кристалла TlSe
В.Н.Джафарова, Г.С.Оруджев
Особенности электрических свойств кристаллических слоев $Ge_{1-x}Si_x$
Н.Мехдеви, Р.С.Мадатов, Ш.М.Аббасов, Ю.М.Мустафаев, И.Ф.Фараджова31
AB INITIO расчет фононного спектра ε – $GaSe$
3.А.Джахангирли
АСМ-исследование поверхности облученных гамма-квантами эпитаксиальных
пленок Pb _{1-х} Mn _x Te
Т.И.Керимова, Н.Р.Нуриев, Ш.М.Аббасов, М.А.Рамазанов
Влияние сильного электрического поля на токопрохождение в халькогенидном
стеклообразном полупроводнике $Se_{95}As_5$, содержащем примеси редкоземельных атомов EuF_3
атомов Енг ₃ С.Н.Гарибова, А.И.Исаев, С.И.Мехтиева, В.З.Зейналов
Электронно-дырочное рассеяние в кремнии при лазерном возбуждении
А.Г.Кязым-Заде, А.М.Алиева, В.М.Салманов, И.М.Алиев, А.А.Салманова53
Особенности индуцированной примесной фотопроводимости в кристаллах
моноселенида индия
А.Ш. Абдинов, Р.Ф. Бабаева, Р.М.Рзаев
Фотодиоды на основе $Cd_xHg_{1-x}Te$, полученные облучением ионами индия с
энергией 5 кэВ
Н.Д.Исмайлов, Э.К.Гусейнов, И.С.Гасанов, Ш.М.Кулиев, Р.Мухтарова
Исследование структуры и оптические свойства кристаллов твердых растворов
$Ga_{0.83}In_{0.83}Fe_{0.34}S_3$
Дж.Хасани Барбаран, Г.Г.Гусейнов, Ю.И.Алыев, Г.М.Агамирзоева71
Особенности кинетических свойств соединения Cu ₅ SmSe ₄
Р.Н.Рагимов, Е.Р.Алиева, З.И.Сулейманов, К.Г.Гусейнов
Зависимость диэлектрической проницаемости $FeIn_2S_4$ от частоты переменного
электрического тока и температуры
Н.Н.Нифтиев, О.Б.Тагиев, Ф.М.Мамедов, М.Б.Мурадов,
У.Ф.Гасымов, Ф.А.Казымова
Теплоты парообразования алканов при различных температурах
А.Г.Ахмедов
Влияние вакансий серы на фотопроводимость гексагональных кристаллов $TlInS_2$
Р.С.Мадатов, А.И.Наджафов, М.А.Мамедов
Инжекционные токи в халькогенидном стеклообразном полупроводнике Se ₉₅ As ₅ ,
содержащем примеси EuF ₃
А.И.Исаев, С.И.Мехтиева, С.Н.Гарибова, В.З.Зейналов, М.М.Сеидов98
Фазовые соотношения и магнетодиэлектрические свойства фаз в системах TlGaSe ₂ -
$TlCrS_2(Se_2)$
Р.Г.Велиев, Мир-Гасан Ю.Сеидов, Э.М.Керимова, Р.З.Садыхов,

СОДЕРЖАНИЕ
Ф.М.Сеидов, Ю.Г.Асадов, Н.З.Гасанов
Размытие фазовых переходов в системе Cd-Ba-Cu-O
В.М.Алиев
Динамическое рассеяние света и электронный магнитный резонанс магнитных
жидкостей на основе наноразмерных частиц оксидов железа в растворе
полиэтиленгликоль/вода
Э.А.Масимов, Э.Г.Исмаилов, Ч.Р.Фараджев
Влияния избытка теллура и термической обработки на электрические свойства
монокристаллов теллурида свинца
Г.З.Багиева, Г.Д.Абдинова, Н.Б.Мустафаев
Энергия Ферми полуметаллического сплава $\mathrm{Bi}_{0.94}\mathrm{Sb}_{0.06}$ в области температур
77–300K
Э.Р.Юзбашов, Б.А.Таиров, М.А.Акперов
Морфология поверхности эпитаксиальных пленок $Pb_{1-x}Sn_xSe$ и
фоточувствительные р-п структуры на их основе
И.Р.Нуриев, А.М.Назаров, Н.В.Фараджев, С.С.Фарзалиев,
Р.М.Садыгов, В.Р.Алиева
Электрофизические свойства облученного гамма квантами фосфида индия
М.И.Алиев, Ш.Ш.Рашидова, М.А.Гусейнли, И.М.Алиев
Эффективная масса полярона в полупроводниковой одностенной нанотрубке
О.З.Алекперов, С.М.Сеид-Рзаева, С.С. Гусейнова
Кинетика кристаллизации нанотолщинных аморфных пленок AgGaSe ₂
А.Ч.Мамедова, Д.И.Исмаилов
Рассеяние носителей заряда на дефектах в Ag ₂ Te
Ф.Ф.Алиев, Р.А.Гасанова, Е.Р.Гасанов, Г.П.Пашаев
Фоточувствительный элемент на основе контакта IrSi-Si
Э.А.Керимов
Дифференциально-термические исследования активированного строительного
гипса
Э.Г.Баширов, Н.А.Эюбова
Исследование полиморфных превращений в $Rb_{0.975}Cs_{0.025}NO_3$ и $Rb_{0.950}Cs_{0.05}NO_3$
методом высокотемпературной рентгенографии
В.И.Насиров, А.Ф.Хазиева, Ю.Г.Асадов, Г.Г.Гусейнов
Моделирование анизотропного прямоугольного волновода, частично внедренного в
анизотропную подложку
И.Дж.Исламов, М.Б.Джафарзаде
Исследование спектра и блеска RY TAU
Н.З.Исмаилов, П.Н.Шустарев, Б.Н.Рустамов, А.Н.Адыгезалзаде
Исследования спектроскопической переменности в атмосфере звезды 6 CAS